

بيير فلوري

جان بول ماريه

مجلس يوسف اللبني

الفيزياء

الغناصة والنجربية

٠@•ã~^ÁÖ..}...!æ^ÁöÖc]...!ã^}æ^

الضوء Š { ã+^

مجلس يوسف اللبني

الكتاب الأول

مطبوعات المجلس الأعلى للعلوم

محمد يوسف اللواتي

جان بول مايتو

بيير فلوري

R^æ ÆÛæ |Ä æ@æ^

Üä::^Äq^!^

الفيزياء

العامة والنخبية

Ü@•ã^ ^ÄÖ..}..!æ^ ÄöÄc] ..!ä ^} æ^

الضوء

Š { ä^

ترجمة

المهندس وجيه السمان
معيد كلية الهندسة سابقاً
جامعة دمشق

الدكتور طاهر التبردار
معيد كلية العلوم سابقاً
جامعة دمشق

الدكتور توفيق المنجد
رئيس جامعة حلب
سابقاً

محمد يوسف اللواتي

مراجعة
المهندس وجيه السمان

الكتاب الأول

مطبوعات المجلس الأعلى للعلوم

هنا يوسف اللواتي

متاح للتحميل ضمن مجموعة كبيرة من المطبوعات من صفحة

مكتبتي الخاصة

على موقع ارشيف الانترنت

الرابط

https://archive.org/details/@hassan_ibrahem

مطبعة جامعة دمشق

١٣٩٤ هـ - ١٩٧٤ م

محمّد يوسف اللبّيني

الفيزياء العامة والتجريبية

(في ثمانية أجزاء)

تأليف فلوري وماتيو

- ١ - الميكانيك الفيزيائي .
- ٢ - الحرارة . الترموديناميك . حالات المادة .
- ٣ - الاهتزازات الميكانيكية . الصوت .
- ٤ - الأخيلة الضوئية .
- ٥ - الضوء .
- ٦ - الكهرباء الراكدة . الكهرباء المتحركة . المغناطيسية .
- ٧ - التيارات المتناوبة . الأمواج الهرتزية .
- ٨ - الذرات . الجزيئات . النويات .

المقدمة

يكمل هذا الجزء الكتاب^(١) الذي سبق تخصيصه لمواضع الضوء الهندسي والآلات البصرية ، ولظواهر الضوء الموجي الذي يتدخل في تشكيل الأخيلة الضوئية ، وهو يعالج أيضاً ، انطلاقاً من الأضواء التي نحس بها العين ، الشعاعات غير المرئية التي أصبحت دراستها ممكنة باستعمال المستقبلات الحرارية أو الكيميائية أو الكهربائية .

وقد خصص القسم الأول منه للتقنيات الكلاسيكية منها والحديثة لقياس سرعة الضوء ، وقرائن الانكسار ، وأطوال الموجة ، ومقادير القياسات الضوئية واللونية والاستقطابية ، التي تتوسع تطبيقاتها باستمرار . ثم تبحث بعد ذلك الشروط التي يصدر الضوء بموجبها أو ينعكس أو ينتقل أو ينتثر أو يقبّد أو تمتصه المادة ، وكذلك ظواهر الانكسار المضاعف الطبيعي أو الصناعي ، وقدرة الدوران .

ويعنى القسم الثالث من المؤلف بالحصول على أطيايف الاصدار والامتصاص الناجمة عن الذرات والجزيئات والبلورات (بما فيها أطيايف الأشعة السينية) وتعليلها . ثم تأتي أخيراً دراسة مختصرة للحالات التي يتدخل فيها علم الضوء ، في فيزياء الأرض ، والفيزياء الفلكية ، وفي الفيزياء الحيوية ، ومن ثم مبادئ في نظرية النسبية .

(١) الاخيلة الضوئية ، الجزء ٤ من مؤلف الفيزياء العامة والتجريبية . إن إشارة مختزلة نحو (١،٤-١) مثلاً ستكون بمثابة دلالة الى الرجوع الى الجزء ٤ ، والفقرة (١-١) .
الاشارة - ٥ - تدل كما في الأجزاء الاخرى على تجربة (بسيطة غالباً) للايضاح وللتحقق من المعلومات المشروحة .

وقد دأبنا ، كما في جميع اجزاء هذا المؤلف ، في التأكيد على مآثر التجربة وتطبيقاتها ، ولكن ، ربما كان هنا اكثر مما في المجالات الاخرى من الفيزياء ، من الاستنتاج بالفرضيات المنسقة ، لتسهيل عرض العلاقات بين المادة والاشعاع . وقد استقدنا حسب الضرورات ، تارة الى النظرية الكهرطيسية الكلاسية (التي نفرض مبادئها معلومة لدى القارىء)^(١) وتارة اخرى الى نظرية الكم .

إن الخدمات التي أدتها للفيزياء الحديثة دراسة الاشعاعات التمجعية ، وخاصة علم الأطياف (وهو على صلة بدراسة حزم الجسيمات) ستظهر خلال عرض معارفنا عن البنيات الذرية والجزيئية والنووية ، التي تؤلف مع الاستحالات ، موضوع الجزء الأخير من هذه المجموعة .

ومنذ كتابة هذا المؤلف ، ظهرت تركيبات ضوئية حديثة سميت « ليزر » وكانت موضوع دراسات وتحقيقات عديدة . وبسبب فائدتها النظرية وتطبيقاتها الهامة ، رأينا أنه لا غنى عن تخصيص فصل مكمل عنها في هذه الطبعة الحديثة . هذا وقد اعدنا النظر في عدد من النقاط التفصيلية .

ب.ف - ج.ب.م

محمد يوسف اللبني

(١) راجع عند الحاجة مؤلفاً في الكهربية ، كالجزيئين السادس والسابع من مجموعة هذا المؤلف .

اهم رموز المقادير المستعملة

في هذا الكتاب

(راجع ايضا ترجمة الجزء ٤ الصفحة خ)

l	عدد كمي سمّي .	\vec{B}	نحريض مغناطيسي .
M	إصدارية ، المرتبة النجمية المطلقة .	c	سرعة الضوء في الحلاء .
m	عزم مغناطيسي (امبيري) .	D	خطوة شبكة ؛ كثافة ضوئية .
m	المرتبة النجمية الظاهرية ،	D	انتقال كهربائي .
	عدد كمي مغناطيسي .	E	استنارة .
N	قرينة الانكسار (المطلقة) .	E	حقل كهربائي .
$N = N - Jk$	قرينة عقدية .	e	نخن ، سطوع نجمي .
n	قرينة بالنسبة للهواء ، عدد كمي	F	تدفق ضوئي ، تواتر ميكانيكي .
	اساسي .	G	عزم حركي .
\mathcal{T}	استطاعة ، تدفق طاقي .	\vec{H}	حقل مغناطيسي .
P	رتبة التداخل ، عامل النقاوة .	h	ثابتة بلانك .
R	قوة الحل .	I	شدة ضوئية ، شدة الاشعاع .
\mathcal{R}	ثابتة رايدبرغ .	i	زاوية .
S	سطح .	J	عدد كمي داخلي .
s	مطال الاهتزازة عدد كمي ، اسبيني .	K	فعالية ضوئية ، عامل الامتصاص .
T	دور .	k	قرينة الامتصاص ، ثابتة بولتزمان .
t	زمن .	L	لمعان .

λ (لامبدا) طول الموجة .	U امتداد .
μ_0 (مو) نفوذية الحلاء .	V_λ فعالية ضوئية نسبية ، للشعاعة λ .
μ_r (مو) نفوذية نسبية .	v سرعة .
ν (نو) تواتر شعاعة ، حصر .	W طاقة .
π (بي) درجة الاستقطاب .	x, y, z امثال ثلاثية الصبغة .
ρ (رو) عامل الانعكاس ، عامل	الحروف اليونانية :
إزالة الاستقطاب .	α (الفا) زاوية ، عامل الامتصاص ،
σ (سيغما) عدد الموجات في واحدة	قابلية الامتصاص .
الطول .	β (بيتا) زاوية ، عامل المعان .
τ (تو) عامل النفوذ أو التوصيل .	النسبة v/c .
φ (في) اختلاف الطور .	γ (غما) ناقلية .
Ω (أوميغا كبيرة) زاوية صلبة	ϵ (ابيسلون) سماحية الحلاء .
(مجسمة) .	ϵ_p - السماحية النسبية .
ω (اوميغا صغيرة) نبضان .	θ (ثيتا) درجة الحرارة .

ملاحظة : من أجل اصطلاحات الطباعة راجع ترجمة الجزء الرابع
الصفحات ث ، ج ، ح .

الجدول ١ - ١

الشعاعات الكهرطيسية

الكم ϵ (eV)	التواتر ν (Hz)	العدد الموجي σ (cm ⁻¹)	طول الموجه (وحدات أخرى) (m)
$1,24 \cdot 10^8$	$3 \cdot 10^{22}$	10^{12}	10^{-14}
$1,24 \cdot 10^7$	$3 \cdot 10^{21}$	10^{11}	$10^{-13} \rightarrow 1 \text{ U. X.}$
$1,24 \cdot 10^6$	$3 \cdot 10^{20}$	10^{10}	10^{-12}
			أشعة كونية
			أشعة γ
$1,24 \cdot 10^5$	$3 \cdot 10^{19}$	10^9	10^{-11}
$1,24 \cdot 10^4$	$3 \cdot 10^{18}$	10^8	$10^{-10} \rightarrow 1 \text{ \AA}$
$1,24 \cdot 10^3$	$3 \cdot 10^{17}$	10^7	$10^{-9} \rightarrow 1 \text{ m}\mu$
			أشعة X
124	$3 \cdot 10^{16}$	10^6	10^{-8}
12,4	$3 \cdot 10^{15}$	10^5	10^{-7}
1,24	$3 \cdot 10^{14}$	10^4	$10^{-6} \rightarrow 1 \mu$
			فوق البنفسجي
$1,24 \cdot 10^{-1}$	$3 \cdot 10^{13}$	10^3	10^{-5}
$1,24 \cdot 10^{-2}$	$3 \cdot 10^{12}$	10^2	10^{-4}
$1,24 \cdot 10^{-3}$	$3 \cdot 10^{11}$	10	$10^{-3} \rightarrow 1 \text{ mm}$
			تحت الأحمر
$1,24 \cdot 10^{-4}$	$3 \cdot 10^{10}$	1	10^{-2}
$1,24 \cdot 10^{-5}$	$3 \cdot 10^9$	10^{-1}	10^{-1}
$1,24 \cdot 10^{-6}$	$3 \cdot 10^8$	10^{-2}	1
			موجات هرتزية
$1,24 \cdot 10^{-7}$	$3 \cdot 10^7$	10^{-3}	10
$1,24 \cdot 10^{-8}$	$3 \cdot 10^6$	10^{-4}	10^2
$1,24 \cdot 10^{-9}$	$3 \cdot 10^5$	10^{-5}	$10^3 \rightarrow 1 \text{ km}$

فوق البنفسجي λ (Å)

136
ملليكان
500
ليمان
1200
شومان
1850
2800
بيد
3150
متوسط (B)
4000
أحمر (A)

المرئي λ (mμ)

400
بنفسجي
440
أزرق
500
أخضر
560
أصفر
590
برتقالي
610
أحمر
780

ماتحت الأحمر λ (μ)

0,78
أحمر (A)
1,4
متوسط (B)
3
بيد (C)
1000

محمد يوسف الدويهي

الفصل الأول

الاشعاع والمادة

١ - ١ - — الموضوع البسيط والمركب ، المركب وغير المركب .

(١) نذكر القارئ ببعض المفاهيم الاساسية : فالمادة مكونة من ذرات (راجع مثلاً الجزء ٢ ، الفصل ٩) جميعها متماثلة لكل نوع كيميائي بسيط او عنصري (أو لها عدد صغير من الانواع التي تسمى « الموحدة الخواص ») ، ومنظمة بصورة عامة بشكل جزيئات ، كلها متماثلة ايضاً في حالة جسم معين بسيط أو مركب. والذرات والجزيئات ، التي أبعادها من رتبة جزء من عشرة ملايين من المليمتر (١٠^{-١٠}) مفصولة بفراغات خالية اكبر منها كثيراً نسبياً ، ومندفعة بمركات مستمرة . والذرات نفسها مؤلفة من نواة مركزية محاطة بالكترونات في حركة دائمة ، وابعاد هذه المكونات الذرية من رتبة ١٠^{-١٥} م .

والضوء تصدره المادة ، ويبدو بفضل تأثيره في المادة . وهو ظاهرة اهتزازية تنتشر بدءاً من منبع ، ناقلة للطاقة (الجزء ٤ ، الفقرة ١ - ١) . ويمكن أن تتلقاه العين او مستقبل آخر (الجزء ٤ الفقرة ٣ - ٢) يتمصه جزئياً على الاقل ويصبح مقراً لسخونة أو لانتقال إلكترونيات أو لتفاعل كيميائي أو لاعادة اصدار للضوء .

ولفظ **الشعاعات** الذي أطلق على مختلف الاضواء يذكر بأن طاقاتها (التي تدعى « المشعة ») تنتشر على طول الأشعة ، التي هي مستقيمة في وسط متجانس . ومجموعات من مثل هذه الأشعة تكون حزمًا ضيقة أو واسعة . ولسرعة انتشار الضوء في الفراغ قيمة واحدة بالنسبة لجميع الأضواء ، وهي $c = 2,98 \cdot 10^8 \text{ m/s}$ (٤ ، ١ - ٨ والفصل ٢ التالي) . والامتطاعة التي تنقلها حزمة ضوئية تدعى **تدفقها الطاقى** ، وغالباً ما تستعمل ايضاً كلمة الشدة (مع ضرورة تجنب الخلط مع الشدة الضوئية لمنبع ما ، راجع الفقرة ٥ - ٢) عندما نقصد القيم النسبية لمختلف التدفقات .

(ب) تبدو الدورية (٤ ، ٢ - ١) بظواهر التداخل والانعراج ، ويستنتج منها أن الإنتشار يتم بموجات (٤ - ٢ ، ٢ - ٢) . وفي وسط متائل الخواص تكون الاشعة دوماً ناظمية على سطح الموجة .

ان أي ضوء كان موكب على الغالب ، أي أنه مماثل لمجموع أضواء ذوات ادوار مختلفة ، كل واحد منها يسمى بسيطاً أو وحيد اللون . على اننا سنرى أنه ليس ثمة ضوء وحيد اللون بالدقة التامة (الفقرة ٤ - ١٦) . والضوء البسيط يمكن تمييزه في الوقت ذاته إما بتدفقه الطاقى أو بدوره T ، أو ما يتول الى النتيجة نفسها ، بتواتره $\nu = \frac{1}{T}$ (١١) ، أو بطول موجته في الحلاء $\lambda = CT$ ، أو أخيراً بعدد موجاته في واحدة الطول :

$$[١١] \quad \sigma = \frac{1}{\lambda} = \frac{1}{cT} = \frac{\nu}{c} \quad (\text{بواحدات مترابطية})$$

وتقدر ν بالهرتز (s^{-1}) ، و λ بالمتر أو بالميكرون (10^{-8} m) ، أو في حالة

(١) عبارة لاستعمال عام في كشف الطيف ، سنستعمل في هذا الجزء الرموز ν للدلالة على التواترات الضوئية . محتفظين بالرمز f للتواترات الميكانيكية .

الموجات القصيرة بواحدات الانفسروم (10^{-10}) وحتى بالميلي أنغستروم ، التي تدعى أيضاً واحداث X ، ويعبر عن σ بصورة عامة بـ cm^{-1} .

كل اهتزازة بسيطة تابع جيبي بالنسبة للزمن ، نبضانه $\omega = 2\pi\nu$ ، وشدة متناسبة ومربع سعة الاهتزازة (٢،٤ - ١٠) .

ج) لدراسة تركيب ضوء ما ، تشكل له ، بواسطة جملة ضوئية مناسبة (موشور ، اوجهاز آخر « مبدد ») مجموعة أخلية مفصولة تقريباً وناتجة عن مختلف مركباته .

والطيف (١ ، ٤ - ٤) الذي نحصل عليه هكذا ، قد يكون متصلاً ، أي أنه يظهر متتالية غير منقطعة من اطوال الموجة ، وإلا فهو طيف خطوط أو عصابات . وطرق قياس الاطياف (فصلها وقياس أطوال الموجة) التي أشرنا إليها في الجزء الرابع ، سنفحصها بتفصيل أكثر في هذا المجلد (الفصل ٤) .

د) من الملاحظ أن للشعاعات البسيطة الموثية أطوال موجات محصورة بين ٤٠٠ و ٧٨٠ ميلي ميكرون (تقريباً) ، وأن ألوانها تتدرج من البنفسجي الى الاحمر كما تدل على ذلك اللوحة ١-١ . وثمة أيضاً شعاعات اطوال موجاتها اقصر (الاشعة فوق البنفسجية ، الاشعة السينية ، أشعة γ ، الاشعة الكونية) أو أطول (الاشعة ما تحت الاحمر ، الاشعة الهرتزية) التي لا تدر كها العين ، إنما نستطيع أن نتلقاها بعض المستقبلات الفيزيائية ، والتي تنقاد فيما يتعلق باصدارها وانتشارها ، الى قوانين مشابهة لتلك التي تتحكم في الاشعاعات المرئية (انظر الفقرات من ١ - ٨ الى ١ - ١٢) .

٢ - ١ . التوهج والتألق .

أ) لقد أشرنا (١ ، ٤ - ٦) الى منابع الضوء الأساسية المستعملة في علم الضوء ، وبعضها دارج الاستعمال في الاثارة (١٧ - ١٤) .

عندما تنجم الطاقة المشعة بكاملها عن تحول طاقة حرارية يقال : ثمة إشعاع حراري محض أو توهج . وقد درست هذه الحالة في الفصل ٢٠ من الجزء ٢ ، وعرف فيه بصورة خاصة الجسم الاسود وأشير الى خواصه . وسنرى أنه يكون معياراً مفيداً جداً لدراسة الضوء كميّاً (قياس شدة الضوء ، قياس الضوء الطيفي ، فصل ٥) . والاجسام المتوهجة تصدر في حالتها المتكاثفة (جوامد ، سوائل ، غازات مضغوطة جداً) ضوءاً ذا طيف متصل .

(ب) يسمى التألؤء كل اصدار للضوء بميكانيكية أخرى غير الاشعاع الحراري ، وان الاطيف المقابلة له ، واطيف الغازات والابخرة في درجة عالية جداً من الحرارة ، هي بصورة عامة ، منقطعة (خطوط أو عصابات = شرائط ، راجع الفصل ١٣ وما يليه) . وقد ينشأ التألؤء عن تهييج ذرات او جزيئات جسم بتأثير حقل كهربي (حالات الانقراغ في الغازات ، راجع الفصل ١٧ من الجزء ٦) او من اصطدام الكترونات سريعة (راجع بصورة خاصة اصدار الاشعة السينية : الجزء ٦ ، ١٧ - ٢٢) أو ايضاً امتصاص شعاعات مناسبة .

١ - ٣ . — النظرية الكهرطيسية :

(أ) بين ماكسويل (١٨٧٢) أنه يمكن اعتبار كل اشعاع وحيد اللون (مرئي او غير مرئي) وكأنه مرتبط بالانتشار بموجات حقل كهربائي E وحقل مغناطيسي H (راجع الجزئين ٦ و ٧) ولكليهما التواتر ν للاشعاع (وهو عالٍ جداً بالمقارنة بتواترات التيارات المتناوبة الصناعية) . فالموجات المرئية التي نستعملها للاتصالات اللاسلكية هي اذن من طبيعة الامواج الضوئية نفسها ، وتقع بالنسبة اليها كما يشير الى ذلك الجدول ١-١ .

وآلية انتشار هذه الموجات، معروضة في الفصل ٩ من الجزء ٧ . ففي حالة

حقل مواز للحدود OZ ، نجد أن المشتقات الثانية لـ E_z بالنسبة للاحداثيات الفراغ والزمن مرتبطة بالمعادلة التفاضلية (معادلة الموجة) :

$$\frac{\partial^2 E_z}{\partial z^2} + \frac{\partial^2 E_z}{\partial y^2} + \frac{\partial^2 E_z}{\partial x^2} = \mu_0 \epsilon_0 \frac{\partial^2 E_z}{\partial t^2} \quad [٢،١]$$

حيث ϵ_0 و μ_0 هما على التوالي سماحية الخلاء (٦ ، ٤ - ١) ونفاذية (٦ ، ٨ - ٨) الخلاء .

ويمكن كتابة المعادلة [٢،١] بالشكل المكثف (٧ ، الصيغة [١٠،٩]) :

$$\Delta E_z = \mu_0 \epsilon_0 \frac{\partial^2 E_z}{\partial t^2} \quad [٣،١]$$

وفي حالة مواجهة موجة مستوية تنتشر وفق Ox ، فإن المعادلة السابقة تصبح (٧ ، [٩ - ١١])

$$\frac{\partial^2 E_z}{\partial x^2} = \mu_0 \epsilon_0 \frac{\partial^2 E_z}{\partial t^2} \quad [٤،١]$$

والمعادلة [٤،١] تقبل بصورة خاصة حلولاً جيبية (٧ ، [١٣،٩]) .

$$E_z = E_m \sin \omega \left(t - \frac{x}{c} \right) \quad [٥،١]$$

حيث سرعة الانتشار :

$$c = \frac{1}{\sqrt{\mu_0 \epsilon_0}} \quad [٦،١]$$

وبأخذنا بعين الاعتبار العلاقة [٥،١] نجد أن معادلة الموجة تصبح :

$$\frac{\partial^2 E_z}{\partial x^2} = - \frac{4\pi^2 \nu^2}{c^2} E_x \quad [٧،١]$$

(ب) لقد ثبت بالبرهان (٩،٧-٩) ان الموجات الكهرومغناطيسية المستقرة ، الناتجة عن الانعكاس على سطح ناقل ، تبدي على المرآة عقد اهتزاز للموجة E . وبطون اهتزاز للموجة H ، الا انه في تجربة فينر (١٣،٤ - ١٠) يشاهد أن السطح العاكس مستو عقدي فيما يخص التأثير في طلاء صفيحة التصوير وإذن في العين ايضاً . فيعزى هذا التأثير اذن للحقل الكهربائي ، مما يؤدي الى مطابقة المتجه E (وليس H) « لمتجه فرينيل المضيء » (٢،٤ - ١٠) .

١ - ٤ - الضوء في الاوساط المادية

(أ) لسرعة الضوء في المادة قيمة « أصغر دوماً مما هي عليه في الفراغ . فتحدث بالتالي على السطح الذي يحدد هذه المادة ظواهر انعكاس وانكسار (١٤،٤-٧ و ٩-١) حيث لقرينة الانكسار قيمة $N = c/v$ (٢،٤ - ٤) . وفي بعض الاوساط ، قد تتوقف سرعة الضوء على جهة الانتشار وحالة استقطاب الضوء الوارد ، الامر الذي يبدو بالانكسار المضاعف (٤ ، فصل ١١) وقوة الدوران (٥ فصل ١٢) .

وتعاني شدة الحزمة الضوئية دوماً تناقصاً أثناء انتشارها في وسط مادي ، فيقال إن الحزمة تكابد الانطفاء . وينتج هذا التناقص عن انحراف جزء من الضوء ، عن منحى انتشاره على طول مسيرته . وتدعى هذه الظاهرة الانتثار . وقد تنشأ ايضاً عن أن جزءاً من الطاقة المشعة التي تنقلها الحزمة يتحول الى شكل آخر من الطاقة ، هو على الغالب الحرارة : فثمة حينئذ امتصاص للضوء من قبل الوسط .

(ب) إن النظرية الكهرومغناطيسية للضوء تأخذ بعين الاعتبار ، الى حد ما ، الظواهر السابقة ، بادخال عوامل مميزة للوسط المادي مماحيته النسبية ϵ_r ونفوذته النسبية μ_r وناقليته γ (٩،٧ - ٦ ، آ) . وقابلية النفوذ النسبية ، القريبة

جداً من الواحد في كل وسط ليس من حديد ممغنط ، لا تلعب دوراً هاماً إلا في بعض ظواهر ضوئية خاصة جداً ، لذا لن نأخذ بعين الاعتبار تغيراتها . هذا ، وقدل التجربة (٧ ، ٩ - ٦) على أن سرعة الضوء في المادة هي :

$$v = c / \sqrt{\mu_r \epsilon_r} \quad [٨٠١]$$

وقرينة الانكسار هي بالتالي :

$$N = c/v = \sqrt{\mu_r \epsilon_r} \quad [٩٠١]$$

وتستبدل بالمعادلة [٣٠١] الخاصة بالحلاء ، المعادلة التالية :

$$\Delta E_z = \mu_0 \epsilon \frac{\partial^2 E_z}{\partial t^2} = \frac{N^2}{c^2} \frac{\partial^2 E_z}{\partial t^2} \quad [١٠٠١]$$

وسنرى في الفصل ٨ ، أنه اذا أخذنا بعين الاعتبار الشروط التي يجب أن نحققها حقول الامواج عند سطح الفصل بين الوسطين (٧ ، ٩ - ٧) أممكن تفسير سير الحزم ونسب الشدة في الانعكاس والانكسار . ومن جهة أخرى تبين التجربة أن سعة حزمة ضوئية وحيدة اللون تتناقص أسياً مع البعد x الذي تجتازه في وسط مادي معين .

واذا أخذنا بعين الاعتبار الطريق الضوئي Nx (٤ ، ٢ - ٢ و ٢ - ٥) كانت العبارة الجبرية لمتجه الحقل الكهربائي :

$$E = E_0 \exp (- kx) \sin 2\pi \nu (t - Nx/c) \quad [١١٠١]$$

وهي المعادلة [٣٢٠٩] من الجزء ٧ .

واذا كان تناقص السعة ناتجاً فقط عن استحالة للطاقة الممتصة الى حرارة ، فإن عامل الامتصاص يكون مرتبطاً بالموصلية γ بالعلاقة (٧ ، ٩ - ٦ د) :

$$K = \sqrt{\frac{\pi \nu \gamma}{c^2 \epsilon_0}} \quad [١٢،١]$$

ويمكن عندئذٍ تعريف قرينة عقدية^(١)

$$N = N - Jk \quad [١٣،١]$$

(ندعى $k = cK/\omega$ قرينة الامتصاص) ومقابلة المعادلة [٥ ، ١] بالسعة العقدية^(٢)

$$E_z = E_m \exp \left(-J \omega \frac{N}{c} x \right) \quad [١٤،١]$$

وتحل حينئذٍ محل معادلة الموجة [١٠،١] المعادلة التالية :

$$\Delta E_z = \frac{N^2}{c^2} \frac{\partial^2 E_z}{\partial t^2} \quad [١٥،١]$$

١ - ٥٥ - قصور النظرية الكهرطيسية :

أ) إن المعادلات السابقة لا تؤدي الى تعليل مرض لجميع الظواهر الضوئية المألوفة . فهي لا تستطيع في الواقع أن تتكيف لظواهر التبدد (فصل ١٠) ما لم نقبل أن γ, ϵ_r تتحولان بتحول التواتر دون أن نفهم سبب هذا التحول . ولتجاوز هذه الصعوبة لا بد من ادخال البنية الجزيئية للمادة ؛ ومن المعلوم (٦ ، ٣ - ١٠) أن تبدد سرعة انتشار الموجات المرنة مرتبط بانقطاع الوسط؛ وكذلك الأمر بالنسبة للموجات الكهرطيسية . علاوة على ذلك ، سنرى في

(١) فيما يتعلق باستعمال الاعداد العقدية ، راجع عند الحاجة الجزء ٣ ، الفقرة

٥ - ١١ أو الجزء ٧ الفقرة ٢ - ٧ .

(٢) يمكن دون عناء مطابقة هذه المعادلة [٣٧،٩] من الجزء ٧ .

الفصل العاشر أن عدم التجانس الأصلي الناشئ عن البنية الجزيئية لكل وسط مادي هو سبب الانتثار الذي لم تحسب نظرية مكسويل حسابه .

إذن فابعاد الجزيئات ومكوناتها (الذرات ، الالكترونات ، النوى) ومسافات المتبادلة مقارنة بطول الموجة ، هي التي تعطي المادة خواصاً اصطفاية بالنسبة لمختلف الشعاعات ، وتعلل خاصيات انتشارها . والنظرية الكهربائية سعت الى التوافق مع وجود الجزيئات ، معتبرة التبادلات بينها وبين الموجات الكهربائية كما لو كانت مشابهة لتلك الموجودة بين الأمواج المترتبة وأبسط الساريات المذبذبة أو اللاقطة (الجزء ٧ ، الفصل ١٠) .

في الحالة التي يكون فيها الوسط المادي جسماً نقياً بحالة غاز أو بخار تحت ضغط ضعيف تبين التجربة (الفصل ١٣) بأن الشعاعات الصادرة والمنتصة تشكل طيفاً متقطعاً وأن كل واحدة منها تشغل فاصلاً طيفياً ضيقاً الى حد يمكن معه اعتباره كوحيد اللون بتقريب جيد . والنظرية الكهربائية تقبل بأن يحوي الجزيء (أو الذرة أو الإيون) الذي يصدر شعاعة ذات نواتر معين شحنات كهربائية تهتز جيئاً بنواتر ميكانيكي يساوي التواتر الضوئي ، كما هو الأمر في مهتز هرتز (٧ ، ١٠ ، ٤) .

هذا التصوير يقود الى اعتبار امتصاص وسط عازل مثل الغاز المذكور اعلاه كظاهرة طنين (٣ ، فصل ٤) : فالموجة الكهربائية تؤثر في الدقائق المشحونة والمحصورة في الجزيئات بقوى تدفعها لاهتزازات قسرية . وتتخلل الموجة عن جزء من طاقتها للمهتز وتمر بقيمة عظمى عندما يصبح نواترهما قريبين . أما خارج مناطق الامتصاص ، فتوافق المهتزازات الجزيئية بعزل الانكسار وتبدده (فصل ٩) وانتثار الضوء (الفصل ١٠) والانكسار المضاعف المستقيم (الفصل ١١) أو الدائري (فصل ١٢) .

وأخيراً ان وجود الظواهر الكهروضوئية : الانكسار المضاعف الكهربائي (فصل ١١) ، تأثير الحقل الكهربائي في الاصدار (فصل ١٣) وتأثير الظواهر المغناطيسية الضوئية : الانكسار المضاعف المغناطيسي (فصل ١١) قوة التدوير المغناطيسي (فصل ١٢) ، تأثير حقل مغناطيسي على الاصدار (الفصل ١٣) تجد كلها تفسيراً سهلاً ، في تقريب اول ، في تأثير الحقول على الجزيئات او على الدقائق المشحونة التي تتربك منها .

(ب) غير أن النظرية السابقة تبدي بعض الصعوبات فيما يتعلق بخصائصها الاساسية. فقد وجب الاعتراف بأن تمثيل مصادر الاشعاع ومستقبلاته بمهتزات هرتز كان غير جائز بالقياس الذري . وبالفعل (فقرة ١٤ - ٤) اذا اعتبرنا طيف خطوط ذرة بكماله ، لا خطأ واحداً من خطوطه فقط ، فإن توزع المجموع لا يتفق مع ما يجب توقعه من المهتزات الدورية . علاوة على ذلك ، فإن اصدار الاشعاع يحدث خسارة مستمرة في الطاقة الميكانيكية للمهتز ، مناقضة بذلك استقرار الذرة . ومن المعلوم ايضاً أن الاصدار (٢٠،٢ و ١٧،٦ - ١١) وكذلك الامتصاص (٦،٦ - ٢٢) يبينان ان تبادل الطاقة بين الاشعاع والمادة يحدث بكميات متقطعة (كمات) وان للطاقة المشعة بنية حبيبية (فوتونات) .

وقد أمكن (٢٤،٤ - ١٢) اثبات أن هذه البنية الاخيرة قابلة للتوفيق مع المظهر الموجي للاشعاع . ولكن الصعوبات الناشئة عن الاصدار والامتصاص ، لم يكن من الممكن ازالتها إلا بالتخلي عن تطبيق قوانين ميكانيك نيوتون على حركات مكونات الجزيئات . وقد اقتضى ذلك اعداد الميكانيك الكمي الذي قام بتفسير عدد كبير جداً من الحوادث الفيزيائية والكيمياء الذرية ، وينبغي النظر اليه كالصحيح الوحيد في هذا المجال .

(ج) مع ذلك ، فيما يتعلق بالظواهر الضوئية ، فإن الصيغ التي يقود اليها

الميكانيك الكوانتي من اجل الانتثار والانكسارات المضاعفة والتبديد ، شبيهة بتلك التي تنتج عن النظرية « التقليدية » للمهتزازات الكهرطيسية . وفي حالات عديدة يكفي ، كما سنرى مثلاً في الفقرة ٩ - ١٤ ، أن نغير تأويل الوسطاء التي تحتوي عليها الصيغ التقليدية لجعلها في وفاق مع النظرية الصحيحة . هذه الطريقة وإن كانت قليلة الدقة ، لها ميزة تقديم تعليل أكثر بداهة وبسط من الآراء النظرية ، وهي كافية في مصنف ذي طابع تجريبي يساعد على النفوذ فيما بعد في نظرية أكثر تجريداً وهي التي نستعملها على الأقل في البداية .

١ - ٦ . — مبادئ النظرية التقليدية لعلم الضوء الجزيئي .

سنعتمد إذن النموذج الجزيئي المكون من مجموعة مهتزازات متوافقة كدليل في كثير من فصول هذا الكتاب ، وذلك بقبول الفرضيات التالية :

أ) تفرض قوانين ميكانيك نيوتون قابلة للتطبيق على الذرات ومركباتها . فحركاتها تتعين من جهة « بقوة العطالة » ma — حيث a هو تسارع دقيقة كتلتها m ، ومن جهة أخرى بما أن الجزيء ثابت فينبغي (للحصول على اهتزازات جيبية) قبول أنه إذا ازيج أحد مكوناته عن وضعه التوازني فإنه يخضع لقوة اعادة k_0s — (حيث s هو الانتقال و k_0 ثابتة) . وأخيراً اصدار الطاقة بالاشعاع وتبديدها المحتمل بأشكال أخرى (خاصة بشكل حرارة) تؤدي الى تدخل قوة اخماد تقبل على أنها متناسبة والسرعة $\frac{ds}{dt}$ ، أي من الشكل $-k\frac{ds}{dt}$ — فمعادلة حركة ذرة شوهت — بصدمة مثلاً — وتركت شأنها هي إذا :

$$m \frac{d^2s}{dt^2} + k' \frac{ds}{dt} + k_0s = 0 \quad [١٦،١]$$

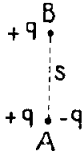
والحل (٣ ، ٤ ، ٤) هو اهتزازة جيبية متخامدة عقدياً .

$$s = A \exp (- \lambda) \sin (\omega t + \varphi) \quad [١٧،١]$$

ثابتة خردھا $\lambda = \frac{k'}{2m}$ ونبضانھا $\omega = \sqrt{\omega_0^2 - \lambda^2}$ ، حيث ω_0 نبضان الحركة غير المحمّدة

$$\omega_0 = \sqrt{\frac{k_0}{m}} \quad [١٨،١]$$

(ب) عندما تنتقل دقيقة شحنتھا q من وضع توازنھا في A (الشكل ١ - ١) إلى B ($\overline{AB} = s$) فذلك يؤول الى أن



نضيف الى الحالة الابتدائية (q في A)
ثنائي قطب كهربائي ($q -$ في A ، $q +$ في B) قيمة عزمه :

$$p = qs \quad [١٩،١]$$

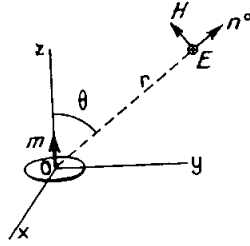
الشكل ١ - ١ . انتقال الشحنة
 q من A الى B يعادل ظهور
ثنائي القطب .

فدقيقة شحنتھا q ، ومتحركة حركة
جيبية مستقيمة تعادل إذن ثنائي قطب
جبي ، وتصدر إشعاعاً مشابهاً لاشعاع

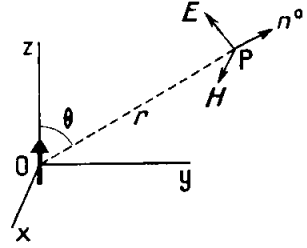
ثنائي الاقطاب لهرتز (١٠،٧ - ٤) ؛ ليكن OZ (الشكل ١ - ٢) منحى
الحركة و O وضع توازن الدقيقة ، فيقابل التواتر ν الاهتزازة في الفراغ طول
موجة $\lambda = c/\nu$ للشعاع الوحيدة اللون . وفي نقطة P واقعة على بعد r من
النقطة O و كبير بالنسبة الى λ ، يكون الحقل الكهربائي E للموجة الكهربائية
واقعة في المستوي الذي يحوي المنحنيين OP و OZ . والحقل المغناطيسي \vec{H} عمود
عليه ومنحياً E و \vec{H} والمنحى n^0 لمتجه الموجة (٢،٤ - ٣) تشكل ثلاثية
مستقيمة وطولتا E و \vec{H} تعطيان بالمعادلة [١٥ ، ١٠] من الجزء ٧ ،
ويكون :

$$E = - \frac{\pi p \sin \theta}{\epsilon_0 \lambda^2 r} \quad [٢٠،١]$$

حيث θ هي الزاوية التي يحدتها OP مع OZ و p قيمة العزم الثنائي القطب في

$$t = \frac{r}{c}$$


الشكل ١ - ٣ . اشعاع ثنائي القطب المغناطيسي



الشكل ١ - ٢ . اشعاع ثنائي القطب لهرتز

(ج) ان اشعاع ثنائي القطب الكهربائي هو الام في بحث الضوء ، ولكنه ليس الوحيد. لنلاحظ مجموعة شحنات لها عزم ثنائي القطب المغناطيسي \vec{m} (١٤،٦ - ٥) . فاذا تحول هذا العزم جيئاً نتج عنه اصدار اشعاع ثنائي القطب مغناطيسي . ليكن OZ (شكل ١ - ٣) منحى \vec{m} . فالموجة الكهربائية الصادرة تتعين في نقطة P بأسلوب شبيه بموجة اشعاع ثنائي القطب الكهربائي (الشكل ١ - ٢) ، إنما المتجه المغناطيسي هو الذي يقع هذه المرة في المستوي POZ . والحقل الكهربائي للموجة يستنتج منه بالعلاقة [١٦،٩] من الجزء ٧ . ونسبة قيمة E في اشعاع ثنائي القطب المغناطيسي الى قيمته في اشعاع ثنائي القطب الكهربائي تساوي اذن النسبة بين عزمي ثنائي القطب . والحال ان العزوم الكهربائية هي من رتبة ea (تدل على بعد ذري) والعزوم المغناطيسية (الصيغة [١٤،١٤] من الجزء ٦) من رتبة $ea^2 \frac{2\pi c}{\lambda}$ فنسبة قيم E هي اذن من رتبة المقدار $\frac{2\pi a}{\lambda}$ ، أي نحو بضعة اجزاء من الف للشعاعات المرئية . وشدة اشعاع ثنائي الاقطاب المغناطيسي هي في هذه الشروط نحو 10^{-5} مرة اصغر من شدة اشعاع ثنائي القطب الكهربائي .

(د) اذا وضعت دقيقة شحنتها q ، ومتحركة بسرعة v في حقل كهربائي ،

عانت تأثير قوة ناجمة في آن واحد عن الحقل الكهربائي E والحقل المغناطيسي \vec{H} ، وتعطى بالصيغة [١٦، ١٣] من الجزء ٦ :

$$F = qE + \mu_0 q [\vec{v} \wedge \vec{H}] \quad [٢١، ١]$$

والقوة المغناطيسية مهمة من جهة أخرى بالنسبة للقوة الكهربائية طالما السرعة v صغيرة بالنسبة لسرعة الضوء لأن H و E مرتبطان بالصيغة [٩، ١٥] من الجزء ٧ :

$$\frac{E}{H} = \sqrt{\frac{\mu_0}{\epsilon_0}} = \frac{\mu_0}{c}$$

١ - ٧ . — نرذل مقادير الكم والبنيات الذرية :

أ) لا تسمح النظرية الكهربائية ، كما ذكرنا آنفاً في الفقرة ١-٥ . ب ، بتعليل ظواهر اصدار الضوء أو امتصاصه بالضبط تماماً . فيجب أن نقبل بأن تبادلات الطاقة بين المادة والإشعاع لا تتم إلا « بعدد من الكمات » غير قابل للتقسيم ، كل كم منها هو جداء التواتر ν الصادر أو الممتص بثابتة بلانك h :

$$h = 6,624.10^{-34} \text{ J.s} \quad [٢٢، ١]$$

ويمكن التعبير عن قيمة الكم $h\nu$ بالوحدات الدارجة للطاقة : الجول ، والإرغ $= 10^{-7}$ جول أو ايضاً بالإلكترونات - فولت ، التي كل واحد منها هو بالتعريف (١٦،٥ - ٣٣) الطاقة التي يكتسبها إلكترون متسارع بفرق كمون قدره فولت واحد :

$$١ \text{ إلكترون فولت} = ١,٦٠٢ \times 10^{-19} \text{ جول}$$

فيقابل طول موجة قدره : $1 \mu = 10^{-6} \text{ m}$ مثلاً ، التواتر :

$$\nu = c/\lambda = 3.10^{14} \text{ Hz}$$

$$h\nu = 1,98.10^{-19} \text{ J} = 1,24 \text{ eV}$$

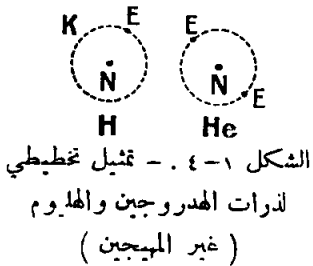
والكم

وتقابل الأشعة السينية والأشعة الكونية (انظر الجدول ١ - ١ ، صفحة ١)
مقادير من الكم ، عالية الطاقة ، تبلغ ألوف وملايين الالكترتون فوات
($1 \text{ MeV} = 1,60 \cdot 10^{-13} \text{ J}$) .

(ب) سنرى في الفقرة ١٠ - ١٣ كيف أن دراسة انتشار الأشعة السينية
بالذرات يُعلم عن عدد الالكترونات المحيطة لهذه الذرات. وهذا العدد Z (الرقم
الذري يدل على مكان العنصر الملاحظ في التصنيف الدوري لمندليف الذي يمثله
الجدول ١ - ٢ من الصفحة ٢ والذي سنعطيه عنه تفاصيل أوسع في
الجزء الثامن .

وقد قاد الأمر بور الى قبول أن حركات هذه الالكترونات حول النواة
تقابل طاقات ذرية قيمها الممكنة في نظام ثابت لا تشكل متتالية متصلة بل انها
بعدد محدود : ويمكن تصور الالكترونات وكأنها موزعة وفق طبقات او
مستويات الكترونية بشار اليها بالحروف K, L, M الخ... والطبقة K الاقرب
الى النواة لا تستطيع من جهة أخرى ان تحوي سوى الكترونين ، والطبقة L
الأبعد قليلاً لا يمكنها أن تحوي سوى ثمانية الخ (الجزء ٨) .

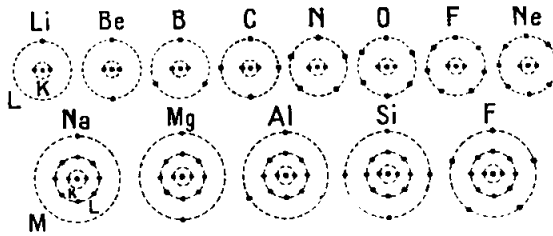
مثال ذلك (انظر اللوحة ١ - ٢) في حالة ذرات لامتأينة يكون للهيدروجين



الالكترون واحد على الطبقة K ، وللهليوم
الالكترونان (الشكل ١ - ٤) ولليوم
الالكترونان على الطبقة K ، والالكترون واحد
على الطبقة L ، الخ... وممر في تركيب الجدول
من دور الى التالي كل مرة تمتلئ فيها الطبقة ،

وهو ما يحدث بعد زمرة الغازات العاطلة (هليوم ، نيون ، ارجون ، الخ...) وتشابه الخواص الكيميائية للمعادن القلوية التي تؤلف الزمرة I يعلل بوجود الكترون واحد في كل منها (يسمى الكترون التكافؤ) على الطبقة الخارجية النهائية (المحيطة بالطبقات المليئة سابقاً) . وللعناصر القلوية الترابية (الزمرة II) الكترونان على هذه الطبقة ، وهلم جرا .

هذه الهيئات التي يبين الشكل ١-٥ بعض صورها التخطيطية المبسطة جداً



الشكل ١-٥ - تمثيل تخطيطي مبسط لذرات (غير المهيجة)
الادوار الاولى من الجدول الدوري

توضحت بفضل دراسة اطياف الاصدار ، او الامتصاص الذرية ؛ فقادير الكم المحررة او الممتصة تعطي فعلاً قياس تغيرات الطاقة المستخدمة عند قفزة الكترونية من طبقة لأخرى (راجع الفصل ١٤) .

١-٨ - اسماءات ما تحت الأحمر :

أ) إن حدود الطيف المرئي سيئة التحديد . ففي أقصى الأحمر ثمة أضواء تتجاوز اطوال موجاتها ٨٥٠ ميكرون تدركها بعض العيون شريطة أن تكون الاستطاعة التي تنقلها كافية (ولكن ليس دون خطر حروق بالغة) .
ويمكن اصطلاحاً قبول أن ماتحت الاحمر يبدأ من ٧٨٠ ميكرون ، وهي

القيمة التي من أجلها تتدنى الفعالية الضوئية الى اقل من ٠.٠٠٠٠٠٢ . مما هي عليه من أجل الضوء ذي الفعالية العظمى (٠.٥٥٥ ميكرون) . ومن جهة أخرى يمكن تحديده اعتباطياً بطول الموجة الاعلى من ١ ميليمتر وتسمية :

ما تحت الاحمر القريب (أو ما تحت الاحمر A) المجال الذي من أجله

$$0,78 \mu < \lambda < 1,4 \mu;$$

ما تحت الاحمر الوسط (أو ما تحت الاحمر B) المجال الذي من أجله

$$1,4 \mu < \lambda < 3 \mu;$$

ما تحت الاحمر البعيد (أو ما تحت الاحمر C) المجال الذي من أجله

$$3 \mu < \lambda < 1000 \mu.$$

وهذه الحدود تقابل اجمالاً تغيرات وسائل الاحداث او الدراسة .

ب) منابع ما تحت الاحمر الاكثر استعمالاً هي من جهة القوس الكهربائية ذات الغلاف الكوارتزي ، ومن جهة أخرى بعض الاجسام المتوهجة كالشمس (انظر الفقرة ١٧ - ٦) والقوس الكهربائية ، وقنديل أوير ، وحرافات نرست (١٩٤٦ - ١٤) وغولبار (كروبرندوم) . ان الاستطاعة الصادرة عن جسم متوهج اسود في درجة الحرارة المطلقة T ، بدلالة طول الموجة (٢ ، ٢٠ - ٧) لها حد اقصى لقيمة λ_m من قيم λ يكون معها :

$$\lambda_m T \simeq 2900 \mu.dg. \quad [٢٣٤١]$$

والفوهة الموجبة من قوس الفحم مثلاً يمكن تشبيهها بجسم اسود درجة حرارته $T \simeq 3800^\circ K$ ومنه نستنتج $\lambda_m 0,76 \mu$. فالقيمة العظمى تقع اذن أبعد ما يكون في ما تحت الاحمر كلما كانت T أقل ارتفاعاً ؛ ولكن قيمتها تتغير مثل T^5 مما يقود الى استعمال منابع عالية الدرجة قدر الامكان .

(ج) إن مصطلح «الاشعاع الحراري» كان مخصصاً (خطأ) لما تحت الاحمر ، الذي كانت دراسته تتم على افضل وجه بوساطة المستقبلات الحرارية مثل البيل الحراري (فقرة ٥-١٧) . فهذه المستقبلات لا تزال الوحيدة التي توافق الاحمر البعيد، ولكن يمكنها ايضاً أن تكشف وتقيس الاشعاعات من أي طول موجة كانت فيما إذا كانت الاستطاعة التي تتلقاها كافية . أما في اشعة ما تحت الاحمر القريبة فتستعمل ايضاً طلاءات تصويرية (حساسة لجميع الالوان) وبعض الخلايا الكهروضوئية (٦ ، الفصل ١٦ - ج والفقرة ١٧-١٣ ، ١٩-١٧ ، ٢١-١٩) .

هذا وسنقدم في الفصلين ٤ و ٥ بعض التفاصيل عن هذه المستقبلات وعن المعدات الضوئية التي تستخدم لتشكيل الاخيلة أو الاطياف في ما تحت الاحمر : عدسات ومواسير من الملح الصخري او من بلورات أخرى ، مرايا وشبكات ، علماً بأن الزجاج ليس شفافاً لما بعد ٢ الى ٣ ميكرون (حسب بنيتة) . هذا وان بخار الماء وغاز الفحم الموجودين بكميات متفاوتة في الهواء الجوي يمتصان ايضاً عصابات مختلفة من طيف ما تحت الاحمر (الفقرة ١٧-٣) ؛ فيجب اخذ ذلك بعين الاعتبار في بعض الدراسات .

١ - ٩ . — السماعات الهرتزية ؛ وصلها بما تحت الاحمر .

أ) من المعلوم ان هرتز حقق نظرية ماكسويل باثبات أن الامواج الكهربية تستطيع بانعكاسها على لوح معدني أن تؤدي الى ظواهر الامواج المستقرة (٧، ٩-٥) ؛ ومنه نشأ اسم « الاشعاع الهرتزي » الذي اطلق على مجال هذه الامواج التي تستعملها اليوم الاتصالات اللاسلكية .

وتستطيع أطوال الموجات المقابلة لها أن تتحول ، حسب الاجهزة المولدة لها ، من عدة عشرات الكيلومترات (الموجات الكبيرة) الى مادون السنتيمتر

(الموجات البالغة القصر) ، ويوصى اليوم باستعمال التسميات : موجات كيلومترية هكتومترية ... ميليمتوية .

ب) إن توليد الاشعاعات الهرتزية واستقبالها بالطرق الكهربائية قد عرضا في الجزء ٧ (الفصلان ٩ و ١٠) . ومنذ هرتز ، تحقق أن سرعة انتشار هذه الاشعاعات في الفراغ ، وعملياً في الهواء ، هي تماماً نفسها كما هي للضوء المرئي (انظر فيما يلي ، الفصل ٢) ، وأنه يمكن ملاحظة ليس انعكاسها فحسب ، بل أيضاً انكسارها خلال العدسات أو المواشير ، وانعراجها بالشبكات ، وابيضاح استقطابها .

— ٥ — إن بعض تجارب الانعكاس على مرآيا مستوية او ناقصة ، وتجارب الانكسار والانعكاس الكلي بواسطة منشور من البارافين ، وتجارب التداخل بمساعدة هوائي اصدار موجة ، قد شرحت في الجزء ٧ (الفقرة ١٠ - ٧) .
إن كشف طيف الأمواج فوق القصيرة يكمل كشف طيف المرئي تكميلاً مفيداً وكذلك طيف ما تحت الاحمر (انظر الفقرة ٤ - ١٥ . وبصورة خاصة ان بعض العصابات من ذوات اطوال الموجات الهرتزية يمتصها الجو (الفقرة ١٧ - ٣) .

ج) هذا وقد توطن الوصل بين الموجات الهرتزية وما تحت الاحمر البعيد في حوالي عام ١٩٢٣ من قبل نابكولس و تير Nichols & Tear اللذين اصدرا موجات بطول بضعة أعشار المليمتر بواسطة مهتزات كهربائية خاصة ، ودرساها بطرق ضوئية (شبكات اسلاك معدنية ومقاييس تداخلية من نوع بيرو وفابري .

١ - ١٠ . — سماعات ما تحت البنفسجي .

أ) ان نهاية الطيف المرئي من جهة ما فوق البنفسجي سيئة التحديد أيضاً ، كما هو الامر من جهة ما تحت الاحمر . وقد تدرك بعض العينون اضواءً ذوات

اطوال موجات ادنى من ٠,٣٥ ميكرون اذا كانت شدتها كافية . والمتفق عليه غالباً كحد لما فوق البنفسجي القيمتان ٠,٤٠ ميكرون (التي من أجلها حساسية العين المتوسطة عند تساوي الاستطاعة الواقعة عليها ، هي قريبة من ٠,٠٠٠٤ من قيمتها العظمى) و ٠,١٣٦ ميكرون (١٣٦ أنغستروم) . وبسمى (انظر الجدول ١-١) :

ما فوق البنفسجي القريب (A) المجال الذي من أجله : $4000\text{\AA} > \lambda > 3158\text{\AA}$
 المتوسط (B) : $3150\text{\AA} > \lambda > 2800\text{\AA}$ / / /
 البعيد والاقصى (C) : $2800\text{\AA} > \lambda > 136\text{\AA}$ / / /

هذا ، وتدعى احياناً باسماء العلماء الذين درسوها : اشعة ما فوق البنفسجي شومان : المجال الذي يمتد من ١٨٥٠ الى ١٢٠٠ أنغستروم ، اشعة ما فوق البنفسجي للايمان من ١٢٠٠ الى ٥٠٠ أنغستروم ، اشعة ما فوق البنفسجي لميليكان الممتدة من ٥٠٠ الى ١٣٦ أنغستروم. وهذان الاثنان الاخيران لا يمكن دراستها إلا في الفراغ (على اعتبار ان الهواء ماص شديد) وبواسطة الشبكات . وأنواع الزجاج العادية : الكراون (الزجاج التاجي) وخاصة الفلنت (الزجاج الرفيع) كثيفة بالنسبة لما فوق البنفسجي المتوسط والبعيد ، في حين أن الكوارتز شفاف حتى نحو ١٨٥٠ أنغستروم، والفليورين حتى نحو ١٢٠٠ (انظر الفصل ٤) .

(ب) يتوقف الطيف الشمسي (فقرة ١٧ - ٦) عملياً عند حدود ما فوق البنفسجي القريب . ويمتد طيف القوس الفحمية حتى بدء ما فوق البنفسجي البعيد . وتستعمل بعض الاقواس الأخرى والشرارات في الهواء حتى ١٨٥٠ أنغستروم ، وكذلك مصابيح بخار الزئبق ومصابيح الإنفراغ الهيدروجينية ، وكلها ذوات جدران من الكوارتز، ولمصابيح الهيدروجين فائدة هي اعطاء طيف

متصل في بعض الشروط (الفقرة ١٥ - ٨ - ٥) . وفي أقصى حدود ما فوق البنفسجي ، لا يوجد سوى الشرارات في غاز مخلخل وحدها التي يمكن استعمالها .

ج (إن المستقبلات التي تستخدم لدراسة ما فوق البنفسجي هي على الغالب تصويرية أو كهربائية ضوئية (راجع الفصل ٤) . وتستعمل أحياناً مادة مفلورة ، تحول الأشعاع الى آخر ذي طول موجة اكبر (الفقرة ١٣ - ٧) يُدرك بدوره بمستقبل كهروضوئي ، أو حتى بالعين .

كانت الشعاعات التي اطوال موجاتها قصيرة تدعى أحياناً « كيميائية » لأنها تيسر بعض التفاعلات وبصورة خاصة التخليق الضوئي (راجع الفصل ١٧ - ج) .

١ - ١١ . — الأشعة السينية ، وصلها بما فوق البنفسجي :

أ (تولد حزم الالكترونات السريعة جداً ^(١) (١٧،٧ - ٢٢ - ٥) عند اصطدامها بالمادة شعاعات تستطيع أن تؤثر في طلاء صفائح التصوير ، وتبيج فلورة بعض الاجسام مثل بلاطينو سيانور الباريوم . هذه الاشعاعات تنتشر في خطوط مستقيمة ، ولا تنحرف بالحقول المغناطيسية والكهربائية ، فهي ليست اذن مؤلفة من جسيمات مكهربة .

وطبيعتها الموجية ، التي لم تكن معروفة آن اكتشافها من قبل رنتغن (١٨٩٥) - منه اسمها الاشعة السينية ، أي الغامضة - قد برهن عليها بإمكانها

(١) توليد الاشعة السينية شبيه في مبدئه لاصدار الشعاعات المرئية او ما فوق البنفسجية باصطدامات الكترونية (الفقرة ١٣ - ٤) ، إنما للحصول على اصدار غزير من الشعاعات العالية التواترات ، تقصف مادة ، كبيرة الكتلة الحجمية (معدن) ، بسيل من الالكترونات ذوات الطاقة الحركية الكبيرة .

من الانعراج بالبلورات ، مما ساعد ايضاً على تقدير اطوال موجاتها (١٦٥ - ٩ الى ٦ - ١١) .

ب) واطوال الموجات هذه ، محصورة ، في حالة الاشعة السينية الممكن الحصول عليها بسهولة بين ١٢ انغستروم (أشعة L_{α} للتوتياء) و ١٠٠ انغستروم (انقطاع K للأورانيوم ، راجع الفقرة ١٤ - ٢٠) .

يمكن اعتبار اصدار الأشعة السينية كظاهرة مقابلة للتأثير الكهربائي الضوئي (١٦٤ - ٣٢) ؛ ان الكم (الفقرة ١ - ٧) للفوتون الصادر الذي تواتره ν يساوي على الأكثر الطاقة الحركية eV للالكترون الذي يحدث الاصدار (الكترون شحنته e ، خاضع لكمون مسرّع V) . ومنه : بين هذا الكمون V والتواتر الأعظم ν للأشعة السينية (أو طول موجتها الصغرى λ) العلاقة :

$$h\nu = hc / \lambda = eV$$

$$\lambda V = \frac{hc}{e} = \frac{6,6 \cdot 10^{-34} \times 3 \cdot 10^8}{1,60 \cdot 10^{-19}} \quad \text{أو} \quad [24,1] \quad \text{أ}$$

$$= 1,24 \cdot 10^{-6} \text{ V.m} = 1,24 \text{ V.}\mu.$$

(وهو ما اشير اليه بشكل آخر في الفقرة ١ - ٧ - أ) .

والأشعة السينية تكون اكثر نفاذاً في المادة (الا في حالة الامتصاص الاصطناعي) بقدر ما يكون كمها اكبر قيمة : والاشعة التي اطوال موجاتها أعلى من الانغستروم (كمها اعلى من 12 400 eV) تسمى « قاسية » ، والتي اطوال موجاتها ادنى من ذلك تدعى « رخوة » .

ج) لقد أمكن قياس سرعة انتشار الأشعة السينية التي هي تماماً في الحلاء كسرعة الموجات الاخرى الكهربائية ، ودراسة تبددها (الضعيف جداً) بوشور ،

وانعكاسها الكلي، وانعراجها بشق دقيق جداً أو بشبكة مخططة وبورود ملامس (فقرة ٤ - ١٣) واستقطابها (فقرة ١٠ - ١٣) إذا كان ثمة داع . ودراسة الأشعة الرخوة جداً صعبة لأنها جميعها قابلة للامتصاص ، مع ذلك فقد تقدمت بفضل هولويك Holweck حتى بلغت نحو ٣٠٠ أنغستروم (كم أدنى من 50 eV) مما يغطي مجال ما فوق البنفسجي لميليكان .

د (ثمة وسيلة ثمينة لدراسة الاشعاعات السينية تنجم عن قابليتها لتأين الغازات (١٧٤٦-٣) . وتحدث تأثيرات مشابهة بالأشعة γ للأجسام ذات النشاط الاشعاعي (أطوال الموجة من رتبة اعشار حتى اجزاء من الانغستروم) و ببعض مركبات الأشعة الكونية ^(١) . وسيجد القارئ في الجزء ٨ بعض التدقيقات بشأنها .

* * *

(١) المكونات الاخرى هي من طبيعة جسيمية .

القياسات المتعلقة بالضوء

الفصل الثاني

سرعة الضوء

٢ - ١ . — ملاحظات تمهيدية :

أ) في كل وسط متجانس ، ينتشر الضوء على خط مستقيم بحركة منتظمة : ويمكن التحقق ، بصورة جيدة من أن أزمنة المسيرات ، متناسبة مع المسافات المجتازة . وبما أن الموجات هي التي تنتشر ، وليست الدقائق المادية ، فقد تكون كلمة العجلة ^(١) (١٤٣ - ٥) افضل من كلمة السرعة ؛ ومع ذلك سنستعمل هذه الكلمة الاخيرة طبقاً للعرف .

هذه السرعة كبيرة للغاية : فقيمتها c في الفراغ (التي هي واحدة من اجل جميع الشعاعات ، المرئية وغير المرئية ، كما تتوقعه النظرية الكهرومغناطيسية ، وكما تحققة التجربة) قريبة من ثلاث مئة ألف كيلومتر في الثانية (3.10^8 m/s) . وسنقف فيما يلي اولاً موقف النظرة التاريخية مذكرين كيف أن قياسات سابقة قديمة أثبتت أن c ليست لانهائية ، بمعنى أن تأثير الضوء عن بعد إنما يحدث بتأخير غير معدوم . وسنشير بعد ذلك الى الجهود التي بذلت لمعرفة قيمة c (معتبرة كثابتة فيزيائية ذات أهمية أساسية) بدقة اكبر فأكبر .

(١) (célérité) ومنه الرمز c لسرعة الضوء في الفراغ .

ب) إن قيمة هذه السرعة الكبيرة جداً :

$$c = l/t \quad [١٠٢]$$

تقود الى ادخال مسافات l اكبر من أبعاد الارض (على الاقل 300 000 km)
اذا أردنا ان لا يكون الزمن t اقل من ثانية او أزمنة t صغيرة الى اقصى حد
(10^{-1} s) إذا أردنا أن لا يكون البعد l اكبر من 30 km .

وإذا كنا لا نعمل في الحلاء ، فإن السرعة تتناقص بنسبة عكسية مع
القرينة المطلقة N (أو القرينة بالنسبة للخلاء) للوسط من اجل طول الموجة
المعتبرة ؛ فالى النتيجة المجملة :

$$v = c/N \quad [٢٠٢]$$

لقياس جرى مثلاً في الهواء، الذي قرينته من رتبة 1,000 275 بالنسبة للشعاعات
المرئية ، ينبغي أن نضيف نتيجة لذلك تصحيحاً من رتبة :
 $300\,000 \times 0,000\,275 \simeq 80 \text{ km/s}$

وهذا يؤدي الى أن نأخذ كقيمة لأجل l في الصيغة [١٠٢] لا الطريق
الهندسي بل الطريق الضوئي الاكبر N مرة (٢٤٤ - ٥) . وسنفرض فيما
يلي ان هذا التصحيح قد تم ، ما لم نصرح بخلاف ذلك . وعلينا ان نتذكر بان
التغيرات المحتملة لتكوين الجو وضغطه على مسيرة طويلة ، تستطيع ادخال
شك لا يمكن اهماله .

ج) من المعلوم أنه على بعد x من منبع مطاله $s_0 = S_0 \sin \omega t$ تكون
الاهتزازة المنقولة من الشكل : $s = S \sin \omega (t - x/v)$ حيث v هي السرعة التي
ينتشر بها طور الاهتزازة . ومن سرعة الطول هذه ، ثمة ما يدعو (٦٤٣ - ٩)
لأن يميز في كل وسط غير مبدد (اذن غير الحلاء) وحيث تتوقف السرعة على
طول الموجة λ ، سرعة المجموعة u التي تحقق العلاقة :

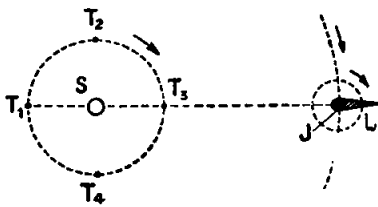
$$u = v - \lambda \frac{dv}{d\lambda} \quad [٣١١]$$

وانتشار اشارة ما (قطار امواج محدد المدة) يتم بشكل ملموس بسرعة المجموعة هذه (اذا لم تكن مرفقة بامتصاص شديد) ؛ وهذا ما يحدث خاصة من أجل جميع القياسات التي تتم في الهواء والتي سنتكلم عنها ، ما عدا تلك التي تستعمل الامواج المستقرة (فقرة ٢ - ٨) .

ثم تصحيح اضافي مكمل $N(v-u) \simeq \lambda \frac{dv}{d\lambda}$ ، حيث N هي قريبة جداً من الواحد، ضروري إذن للحصول على الطريق الضوئي ؛ وهو في حالة الضوء المرئي من رتبة 3 km/s ، ولا يتحتم الا في القياسات ذات الدقة العالية جداً . وسنرى أن الفرق بين v و u يصبح جسيماً في الاوساط الاشد كسراً والأكثر تبديداً في الوقت ذاته (فقرة ٢ - ١٠ - ب) .

٢ - ٢ . — خسوف توابع المشتري .

للكوكب السيار المشتري (J على الشكل ٢ - ١) عدة توابع مثل L ، تنفذ داخل ظله كل مرة تم فيها دورة . ولكن المدة بين خسوفين متتاليين تبدو



الشكل ٢ - ١ . — مبدأ قياس
ملاحظة خسوفات توابع المشتري
(الابعاد النسبية غير مرعية) .

تارة أقصر قليلاً من متوسط القيم المقیسة لعدد كبير جداً من الخسوفات ، وأحياناً اطول قليلاً . وقد فسر الفلكي رومر عام ١٦٧٦ هذا التغير كما يلي : إن الخسوفات هي اشارات تنطلق من المشتري في فترات متساوية تقريباً ، ولكن المسافة التي يجب ان تجتازها لتبلغ الارض تتناقص من

خسوف الى التالي عندما يقترب الكوكبان السياران أحدهما من الآخر ،
وتتزايد في الحالة المعاكسة .

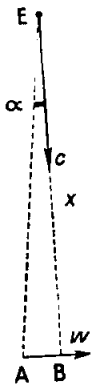
وعندما تمر الارض من وضعها T_1 الأبعد عن المشتري الى وضعها T_3
الأقرب (الامر الذي يتطلب نصف عام بالضبط ، لو كان المشتري لا يدور هو
أيضاً حول الشمس S) فإن تقدمات الزمن الملحوظة آنفاً تتراكم بحيث يصبح
مجموعها من رتبة الف ثانية . ونجد زمناً يساويه تقريباً ، لمجموع تأخرات الزمن
الملحوظة عندما تنتقل الارض من T_3 الى T_1 . هذا الزمن t هو الوقت الذي
يستغرقه الضوء ليجتاز القطر l لفلك الارض الذي يبلغ نحو ٣٠٠ مليون كيلو
متر . ومنه c .

ويقدر بعد الارض عن الشمس $\frac{l}{2}$ بدلالة قطر الارض d ، بقياس
لانطباق المواضع الشمسي او الاختلاق الظاهري، أي بالزاوية التي يرى d ضمنها
من مركز الشمس ؛ وانطباق المواضع هذا يستنتج من الزاوية الصغير جداً (اما
القابلة للقياس) التي يصنعها شعاعان فيما بينهما يران من نقطتين موقعاهما معلومان
على الارض ، ومتجهان في اللحظة نفسها نحو عين النقطة من الشمس . وثمة
تصحیحات ينبغي اجراؤها لتأخذ بعين الاعتبار شكل القطع الناقص لفلك
الارض ، من جراء أن المشتري لا يقع تماماً في هذا الفلك (الذي يدعى مستوى
فلك البروج) وأخيراً من الحركة الخاصة للمشتري J حول الشمس S (دورة في
اثني عشر عاماً) .

وقد كانت تقديرات رومر قليلة الدقة جداً (إذ أعلن كقيمة لـ c نحو
 $350\,000\text{ km/s}$. وأعطت قياسات حديثة بالطريقة نفسها $299\,840\text{ km/s}$) .
والقيم المقبولة اليوم من اجل c تدخل في تقدير الابعاد في علم الفلك ؛ وبالمناسبة
نذكر باستعمال « السنة الضوئية » كوحدة كبيرة جداً للطول ، وهي المسافة
التي يجتازها الضوء في سنة ، وهي نحو $9.45 \cdot 10^{12}\text{ km}$.

٢ - ٣ . زيغ النجوم

في عام ١٧٢٨ اكتشف فلكي آخر ، هو: برادلي ، حوكة ظاهرية مستوية للنجوم على الكرة السماوية (زيغ) فسرهما بوجود سرعة غير معدومة w للأرض على مداها ، وسرعة للضوء c ليست لانهاية . لنحاطم للتبسيط على نجم E منحاه ناظمي تقريباً على مستوي دائرة البروج . ليكن x بعده عن الارض (الشكل ٢ - ٢) .



الشكل ٢ - ٢ .
زيغ النجوم

خلال الزمن $t = x/c$ الذي يستغرقه الضوء ليأتي من النجم حتى الارض فإن مراقباً مرتبطاً بهذه الاخيرة ينجز من A الى B بحيث يكون $AB = wt$. ومحور النظارة ، الذي ينبغي أن يكون موجهاً بصورة موازية الى BE لو كانت الارض ثابتة في B ، ينبغي إذن أن يكون موازياً الى AE (كذلك عندما تتساقط قطرات المطر شاقولياً فإن ملاحظاً ينتقل

افقياً يشعر وكأن المطر يتساقط مائلاً ، آتياً من منحنى يقع أمامه : وفي هذا المنعنى يجب عليه أن يوجه أنبوباً كيما تجتازه قطرات الماء موازية لمحوره رغم حركته) .

إن AE يصنع مع BE زاوية α يكون معها :

$$\alpha = \frac{AB}{EA} = \frac{wt}{ct} = \frac{w}{c} \quad [٤, ٢]$$

وخلال سنة يدور منحنى w بصورة منتظمة ، ويبقى مقداره ثابتاً تقريباً :

فمسار E الظاهري هو اذاً دائرة قطرها الزاوي 2α . والقياسات تؤدي الى :

$$\alpha \simeq 20'' \simeq 10^{-4} \text{ rd}$$

وقيمة w (نحو 30 km/s) تستنتج من قيمة نطاق فلك الارض ، اذن كما في

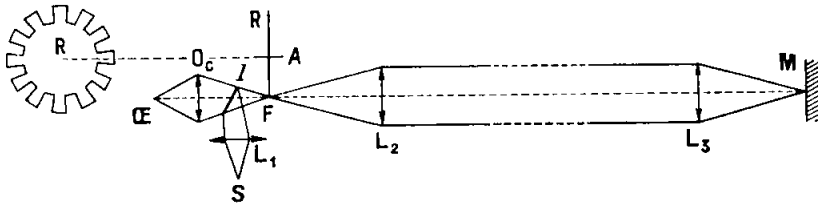
حسابات رومر ، من انطباق المواضع الشمسي . ومنه $c = \frac{w}{\alpha}$.

ونرى بسهولة في حالة النجوم التي منحناها ليس نظاماً على مستوي فلك البروج ان الزيف يقابل مساراً ناقصاً يرى قطره الاكبر ضمن الزاوية 2α .

ملاحظة . - لا يتوقف الزيف على بعد النجم x ، وينطبق على حركة ظاهرية اخرى ذات سعة اقل كبراً (متجولاً مثل $1/x$ ودوماً اقل من $1''$)
ناشئة عن انتقالات نسبية للأرض وللنجوم القريبـة نسبياً ، بالنسبة للنجوم البعيدة جداً .

٢ - ٤ . طريقة الدوروب المسنن :

كان فيزو (١٨٤٩) أول من قام بقياس c بطريقة أرضية تماماً . وبين الشكل ٢ - ٣ تمثيلاً تخطيطياً للتركيبة التي استعملها . وهي تتألف من منبع



الشكل ٢-٣ - قياس سرعة الضوء c بواسطة دولاب مسنن (فيزو)

ضوئي S ، ذي ابعاد صغيرة ، تشكل له العدسة L_1 المتبوعة بصفيحة نصف عاكسة ، خيلاً يقع في الحرق الجسمي F لعدسة ثانية L_2 . ومجموعات الاشعة

المتوازية التي تنقلها L_2 تتلقاها على بعد كبير عدسة L_3 تشكل خيلاً جديداً للمنبع على المرآة M . وهذه المرآة الاخيرة موجهة عمودياً على المحور المشترك للعدستين L_2 و L_3 . والحزمة المنعكسة تحتازها ثانية لتشكيل في F خيلاً آخرأ ، تلاحظ العين CE خلال الصفيحة l والعينية Oc . وثمة دولاب R يحيطه بجهاز بعدد d من الاسنان المتأثلة والموزعة بانتظام ، مركب عمودياً على محور الحزمة بحيث أنه أثناء ما يدور حول محوره A فإن F يقع بالتناوب إما على سن أو على الفجوة بين سنين (جوف) .

تضبط سرعة الدوران المنتظمة (دورة/ثانية) بحيث أنه في نهاية الزمن $t = \frac{1}{2dq} s$ اللازم لتحل سن محل الجوف المجاور ، أو في نهاية زمن $2k+1$ مرة أكبر (k عدد صحيح) ، تصبح الاشعة الضوئية الصادرة عن S ، والتي استطاعت أن تمر من خلال الاجواف المتتالية متتابعة في F متوقفة بدورها تماماً بسن . ويلزم وبكفي لذلك أن تحقق q الشرط :

$$\frac{2k+1}{2dq} = \frac{2l}{c} \quad [٥،٢]$$

حيث l هي الطريق الضوئي FM .

إذا عملنا على زيادة سرعة الدوران تدريجياً ، فالعين تدرك إذن انطفآت الضوء الذي تتلقاه من F ، من أجل قيم q التي هي في ما بينهم - كالأعداد الفردية المتتالية .

ونجد مثلاً أنه من أجل $q = 0$ (الانطفاء الأول) $d = 500$ و $l = 15 \text{ km}$ ويجب أن تساوي q عشر دورات في الثانية .

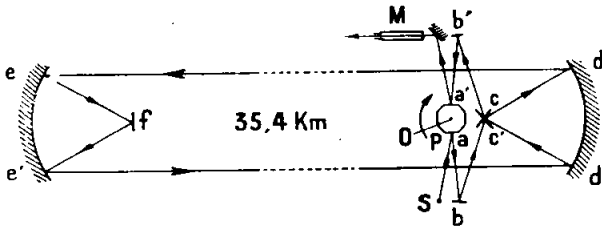
$$\text{ومنه : } c \simeq 4 dql \simeq 4 \times 500 \times 10 \times 15 = 300\,000 \text{ km/s}$$

والقياسات الاولى كانت أيضاً مريبة جداً ، وإن استعمال جملة عدسة - مرآة ثانية مشابهة الى L_3M وموضوعة أبعد من L_2 يساعد على الحصول على خيالي العودة (بدلاً عن خيال واحد) ويسعى في جعلها متجاورين ومتساويين النور ، وهو الأسهل للتقدير من انطفاء الواحد أو الآخر . فيمكن هكذا انقاص الارتياب على c الى اقل من 100 km/s .

٢-٥٠ - طريقة المرآة البرأفة .

أ) لقد أشرنا في الجزء الرابع (فقرة ١ - ٨) الى مبدأ هذه الطريقة التي طبقت عام ١٨٥٠ من قبل فوكو (وفيزو أيضاً) ؛ وقد ادخلت عليها عدة تحسينات متتالية من قبل فيزيائيين مختلفين ، وجهت بصورة خاصة الى استعمال مرآة دائرة متعددة الوجوه يحل بعضها محل الآخر ، والى استعمال تركيبات ضوئية تساعد في زيادة المسافة التي يجتازها الضوء .

ب) وهكذا فإن مايكلسون استعمل عام ١٩٢٦ التركيب الممثل بالشكل ٢-٤ ، حيث P موشور ثنائي الوجوه ، وجوهر عاكسة ، ويدور حول محور



الشكل ٢ - ٤ : تجارب مايكلسون على بعد كبير .

O بفعل عنفه هوائية بسرعة ثابتة تقاس بدقة بطرق كشف الدوران (الجزء ٢-٤٣) التي تستعمل رقانة معايرة .

فضوء منبع S (قوس) يسقط على أحد الوجوه a من المراة الدائرة ، ويجتاز بعد معاناته الانعكاس في a و b و c و d و e و f مسيراً ضوئياً يقرب من $35,4 \text{ km}$ (مقدراً بالاستناد لتثليثات ، لم يتجاوز احتمال الشك النسبي فيها 10^{-7}) ثم يعود وفق المسير f ، e' ، d' ، c' ، b' ، a' الى المراة المثمنة الوجوه ، وينعكس على الوجه a' الموازي الى a ، ويستقبل في الجهر M الذي يساعد الناظر على فحص خيال العودة . فيضبط الجهاز هكذا في حين أن الموشور يبقى ثابتاً .

ومنى تم هذا الضبط ، تجعل المراة تدور ، فيزول خيال العودة ، حيث يكون الوجه a' قد دار بزاوية ما خلال المسير الضوئي . إنما نعود فنجد هذا الخيال في المكان نفسه عندما تم المراة ٥٢٨ دورة في الثانية ، حيث يكون الوجه العاكس عند العودة هو الوجه الذي يلي a' والذي حل بالضبط محله . فيكون الضوء حينئذ قد أتم المسير $l = 2 \times 35,4 \text{ km}$ خلال الزمن t الذي تستغرقه المراة لتدور بقدر $\frac{1}{8}$ الدورة . وعليه يكون :

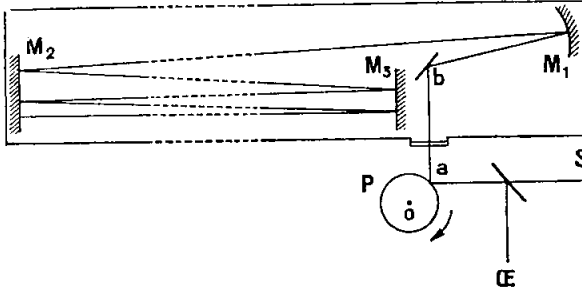
$$t = \frac{1}{528 \times 8} \text{ s}$$

$$c = l/t = 2 \times 35,4 \times 528 \times 8 \simeq 300\,000 \text{ km/s} \quad \text{ومنه :}$$

وعملياً يحسب حساب ازاحة صغيرة جداً لخيال العودة ، يلاحظ بمجهر ذي مقياس دقيق .

(ج) في قياسات لاحقة قام بها مايكلسن وبيز وبيرسن ، حذف تأثير العوارض الجوية باستعمال انبوب طوله ١٦٠٠ متر (ميل واحد) ، يمكن احداث خلاء جيد في داخله ($0,5 \text{ mm}$ من الزئبق) . والشكل ٢-٥ يمثل تركيبهم ، حيث P هو موشور ذو ٣٢ وجهاً عاكساً . فعزمة اشعة تصدر عن القوس S ، وتنعكس في a و b ، تجعل متوازية بالمراة

المقبرة M_1 ، وتمازي من ثم على المراآتين المستويتين المتوازيتين تقريباً M_2 و M_3 خمسة

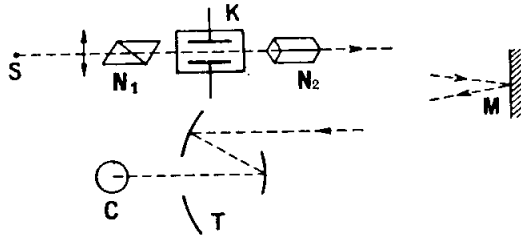


الشكل ٢ - ٥ - تجربة ميز ويبرسون في الفراغ

انعكاسات متتالية ، الاخيرة منها تحت وررد ناظمي ، فتعود إذآ في جهة معاكسة ، لتسقط بعد مسير قريب من ١٦ كيلو متراً على وجه الموشور الدائر المجاور الى a وتشكل اخيراً خيال العودة الملاحظ كما في تجارب مايكلسن السابقة . وقد تم اجراء نحو ٣٠٠٠ قياس (خلال ٣ سنوات) بفارق متوسط من رقبة 10 km/s .

٢ - ٦ . استعمال فعل كبير :

ان ظاهرة كبير التي ستدرس في الفقرة ١١ - ١٦ تسمح بتدوير مستوي الاستقطاب لحزمة الضوء التي تبرز من مقطب (نيكول) N_1 (شكل ٢ - ٦)



الشكل ٢ - ٦ - تركيب بيرغسترااند

والتي توقف بحلل N_2 متصاب مع N_1 (٤ ، ٢ - ٩) . ونحصل على هذا الدوران

بتوسط حوض محوي نيترو البنزين بين N_1 و N_2 وخاضع لتأثير حقل كهربائي (نحده مكثفة K) موجه بشكل مناسب عمودياً على محور الحزمة . فإذا كان هذا الحقل E متناوباً ، فإن الحزمة البارزة من N_2 تكون متكيفة بتواتر f (ضعف تواتر E) قد يكون من رتبة أكبر بألف مرة من تواتر استبدال الاجواف بالأسنان في دولاب فيزو المسنن . وهكذا بتهيئة قطر من الامواج المتتالية في فترات من رتبة 10^{-7} s يمكن قياس سرعة الضوء على مسير بضعة عشرات الامتار ، إذن داخل غرفة ، حيث تكون حالة الجو معينة تماماً .

و اذق التجارب التي أجريت بوساطة خلية كير هي تجارب بير كستراند Bergstrand (١٩٥٠) التي يمثل الشكل ٢ ٦ تركيبها تخطيطياً . تسقط جملة ضوئية خيال المنبع على مرآة M تعكس الاشعة نحو راصدة T مجهزة بخلية كهروضوئية مضاعفة ومصعد هذه الاخيرة يغذيه منبع التواتر العالي ذاته الذي يغذي خلية كير بحيث لا يحدث تيار كهروضوئي الا إذا كان الضوء قد مر خلال التناوبات التي يكون فيها المصعد موجباً .

بعد أن عين بير كستراند بدقة النقاط التي تتكيف فيها الحزمة عند الانطلاق ، وتتلقى عند الوصول على البقعة الكهروضوئية ، وكذلك المعطيات الاخرى التي تحدد الطريق الضوئي ، وجد ان $c = 299\,793,1 \text{ km/s}$ وأن الشك المقدّر من قبله لا يتجاوز $0,3 \text{ km/s}$.

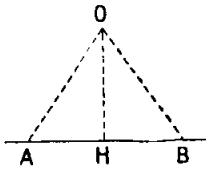
ملاحظة : بعد قبول قيمة c ، يمكن استخدام الجهاز لقياس الابعاد الجيوديزية بدقة ومنه اسمه : الجيوديمتر .

٧ - ٢ . سرعة انتشار الاشارات الكهربائية :

أ) منذ عام ١٩١٣ بين ابراهام وفيرييه Abraham et Ferrié أن

الاشارات الكهرشعاعية تنتشر بالسرعة c تماماً (راجع الجزء ٧ الفقرة ٩-١) .
ومرعة انتشار الموجات الهرتزية على طول اسلاك معدنية ، ينبغي أن
تكون ايضاً، حسب نظرية ماكسويل، نفس سرعة الضوء . وقد عُنيت بصورة
خاصة من قبل مرسيه Mercier (١٩٢٣) فكانت نتيجتها (بعد التصحيح)
متفقة اتفاقاً جيداً مع نتيجة القياسات الضوئية بشك من رتبة 30 km/s .

ب) أجريت قياسات دقيقة جداً، خاصة من قبل أسكلاسون Askason ،
بطريقة يمكن تبسيطها كما يلي : ترسل طائرة U (الشكل ٢ - ٧) ، ارتفاعها



الشكل ٢-٧ .
تجربة أسكلاسون

OH ثابت ومعين ، بواسطة رادار (١٠،٧ - ٢٢)
دفعات قصيرة جداً ، على موجتين حاملتين موجبتين
الى محطتين على الارض A و B . وهذه الاشارات
تصدر ثانية فوراً من A و B بعد تغيير التواتر ،

وتستلم من قبل O ، بما يعطي زمني المسيرين $t_A = \frac{2 \overline{OA}}{v}$

و $t_B = \frac{2 \overline{OB}}{v}$. ولما كانت الطائرة تنتقل في المستوي الناطمي في منتصف القاعدة

AB (الأمر الذي يتحقق منه بالشرط $t_A = t_B$) ، فيبحث عن الوضع الذي
من اجله يكون هذان الزمانان اصغرين . فيكون O حينئذٍ في مستوي الدائرة
الارضية الكبرى التي تمر بـ A و B . واذا كان AB و OH معلومين بدقة فإن

المثلث المتساوي الساقين OAB يكون معيناً تماماً، ومنه OA وبالتالي $v = 2 \frac{OA}{t_A}$.

وتم تصحيحات تأخذ بعين الاعتبار الارتفاعات المختلفة لكل من A و H و B ،
وكذلك ، احتمالاً ، للشكل غير المستقيم (٩،٧ - ١٤) للأشعة الهرتزية OA
و OB . والنتيجة المعلنة كانت $c = 299\,794,2 \text{ km/s}$ بشك قدره $1,4 \text{ km/s}$.

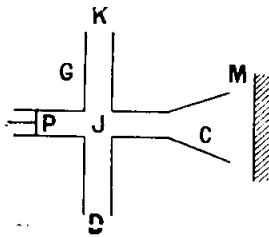
هذه الطريقة التي احكم ضبطها خلال الحرب الاخيرة لتحديد موضع
الطائرات تستعمل ايضاً لرسم الخرائط .

ج) يمكن أن تقرّب من التعيينات السابقة تلك التي أجريت على أشعة X واشعة γ . فمن أجل هذه استعمال منبع تواتره 10^{20} Hz موضوع بين عدادين من ذوي التطابقات (الجزء ٨) ، أحدهما كان متحركاً ، وقدر فرق أزمّة المسيرات لأوضاع مختلفة للعداد المتحرك ، فوجد :

$$c = 298\,300 \pm 15\,000 \text{ km/s}$$

٢-٨ . — القياسات التي تستعمل الامواج المستقرة :

أ) إذا جربنا على أمواج مستقرة ، تواترها f معلوم ، وقسنا طول الموجة λ ، حصلنا مباشرة على سرعة الطور $v = \lambda f$. وفي تجارب فروم Froome



الشكل ٢-٨ .
تجارب فروم

(١٩٥٢) التي أجريت على موجات من رتبة السنتيمتر، كان للجهاز بعض التشابه مع مقياس مايكلسون للتداخل . فيرسل اشعاع كليسترون K ثابت التواتر تماماً ومعلوم القيمة في دليل للموجات G . وتنفصل الموجة في الملتقى J : فنصفها ينعكس على الجانب P ، والنصف الآخر يشع في الفراغ بالبوق C بشكل موجة مستوية

تنعكس على المرآة M الموضوعة على بعد بضعة أمتار . والموجات المنعكسة عند P وعند M تتداخل في J وحاصلتها تستقبل بكاشف D ، يستخدم كآلة للصفر تساعد على التأكد من أن الموجتين متضادتان في الطور . وانتقال M لتمر من وضع انطفاء الى آخر يعطى $\frac{\lambda}{2}$ بشك نسبي قدره $2 \cdot 10^{-6}$. وهكذا وجد أن : $c = 299\,792,6 \pm 0,7 \text{ km/s}$.

ب) ثمة قياسات أخرى، تتفق نتائجها بصورة مرضية مع السابقة، أجريت على أمواج

هرتزية مستقرة بتركيبية يذكر مبدأها بوق كونيغ (٦،٣ - ١٤) وباستعمال نوع من مقياس التداخل لفابري وببرو (٤ - ١٣، ٥) . وقد أمكن أيضاً تعيين نواتر الطنين للتجاويف الاسطوانية الفارغة من الهواء ، ذات الابعاد المعلومة جيداً ، واستنتاج c منها بالصيغ المشار اليها في الجزء ٧ (فقرة ٩ - ١١) .

٢ - ٩ . — استنتاجات منغلقة بقيمة c .

أ) تبين نتائج الفقرات السابقة أن للأمواج الكهروطيسية كلها نفس سرعة الانتشار في الفراغ ، وذلك في حدود دقة القياسات .

ومن جهة أخرى (١١،٧ - ١٢) من المعلوم أنه اذا قابلنا جملتي الواحدات CGS المدعويتين على التوالي الكهرا كدة والكهروطيسية المستعملتين في الكهرباء ، فإن نسب الواحدات ES و EM لمقدار واحد هي من الشكل $1/c$ ، c ، أو $1/c^2$. والقياس الادق لأحد هذه النسب الذي تم عام ١٩٠٦ من قبل روزا و دورمي Rosa — Dorsy قاد الى النتيجة التالية : $c = 299\,776 \text{ km/s}$.

ب) إن نتائج أدق القياسات لـ c ، قد احتاج الامر في كثير من الاحوال لتصحيحها بعد نشرها لأول مرة ، وذلك للأخذ بعين الاعتبار ، خاصة ، الأخطاء على المسافات أو على قرائن انكسار الهواء . والشك المقدر غالباً بأقل من الحقيقة من قبل صانعي كل مجموعة قياسات كان يناقش مرة بعد أخرى بعناية زائدة . ويبدو انه من الممكن حالياً ان نقبل كقيمة لسرعة الضوء الاكثر احتمالاً :

$$c = 299\,793,0 \text{ km/s}$$

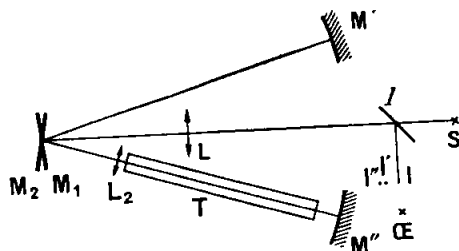
بشك لا يتجاوز 1 km/s وحتى ربما $0,3 \text{ km/s}$.

والدقة النسبية ، من رتبة 10^{-6} التي توصل اليها هكذا ، جديرة بالملاحظة ، ولم يقنط بعد من تحسينها . ولكن ينبغي من أجل ذلك أن يجعل تعريف واحد

الطول المؤمنة حتى الآن بقدر 10^{-7} تقريباً (تعريف واحدة الزمن مؤمنة بقدر 10^{-10} تقريباً) ويدأب على ذلك حالياً (راجع الفقرة ٤ - ١٩) .

٢ - ١٠ . — سرعة الضوء في المادة الساكنة :

(أ) قورنت سرعتا الضوء في الماء (v) وفي الهواء (عملياً c) منذ عام ١٨٥٠ ، من قبل فوكو بواسطة الجهاز الممثل بالشكل ٢ - ٩ (انظر الشكل ١ - ٢٠ من الجزء ٤) . فالضوء الصادر عن S يتركز محرقياً على المرآتين المقعرتين M' و M'' ، عندما تمر المرآة الدائرية بالوضعين M_1 و M_2 ؛ ثم يعود في الجهة المعاكسة ، وبسبب دوران المرآة فإن خيالي العودة (المرسلين جانباً بالصفيفة نصف العاكسة L) اللذين يقع أحدهما أو الآخر في I لو كانت المرآة ثابتة في M_1 أو M_2 يقع في I' (مسير في الهواء) وفي I'' (مسير جزئي في ماء الانبوب T) . وقد وجد فوكو أن $II' < II''$ ، ومنه يستخلص (بمناقشة مشابهة لمناقشة الفقرة ١ - ٨ من الجزء ٤) ان $v < c$. وهذه النتيجة في جهة معاكسة لما تتنبأ به نظرية نيوتون في الاصدار وفي اتفاق مع وجهة نظر النظرية التموجية لهويغنس وفريينيل



الشكل ٢ - ٩ . — مقارنة سرعتي الضوء في الهواء وفي الماء (فوكو) . دور العدسة L تعويض الانتقال الطولي للخيال الناشئ عن اجتياز الصفيفة المتوازية الوجهين .

التي ساعدت على قبولها^(١) (٢٤-١١) .

(ب) أعاد مايكلسون تجربة فوكر عام ١٨٨٨ وعين بدقة النسبة c/v : فوجد 1,330 ، وهذه النسبة وفقاً للنظرية ، تساوي تماماً قرينه الماء N (بالنسبة للخلاء) للضوء المرئي .

في حالة كبريت الفحم CS_2 وجد أن السرعة تبلغ $c/1,878$ في حين أن القرينة المتوسطة هي 1,635 : وهذا الفرق ناشيء عن أن ما قيس في الحقيقة (الفقرة ٢ - ١ - ج) هو سرعة المجموعة u وليس سرعة الطور v ؛ والحد المصحح $v - u = \lambda \frac{dv}{d\lambda}$ مهمل في تقريب اول) بالنسبة للماء ، لا في CS_2 الذي هو أكثر تبديداً . وبعد التصحيح يحصل وفاق مرض بين c/v و n . وقد حصل غوتون Gutton على نتيجة مشابهة بدراسة سرعة انتشار الأمواج الهرتزية في كبريت الفحم .

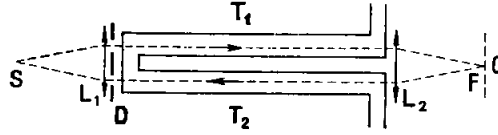
٢ - ١ . — سرعة الضوء في المادة المتحركة :

(أ) من المعلوم (٣ ، ٧ - ٧ - ج) أن سرعة الصوت الذي ينتشر في الهواء المتحرك ، بين منبع ومراقب ثابتين ، هو المجموع الشعاعي لما تكون عليه في الهواء الهادىء ولما رتبة سرعة الهواء وفق منحنى انتشار الصوت . وسنرى أن انتشار الضوء في وسط مادي متحرك لا يخضع لقانون بسيط بهذا القدر .

(ب) في تجربة فيزو التي سمحت بدراسة هذه القضية ، كان ثمة أمواج ضوئية

(١) يمكن مع ذلك، ضمن اطار نظرية الاصدار، تخيل ميكانيكية للانكسار ، معقدة مع ذلك ، تتفق مع تجربة فوكر . ومن المعلوم ان ظواهر اخرى (تداخلات ، انعراج) قادت الى قبول النظرية الاهتزازية .

تصدر عن منبع نقطي S (الشكل ٢ - ١٠) تجعلها العدسة L_1 متوازية وتنور



الشكل ٢ - ١٠ - سرعة الضوء

في وسط متحرك (فيزو)

ناظمياً شقين مثقوبين في حاجز D ، ثم نجتاز أنبوبين اسطوانيين T_1 و T_2 ، متساويين طولاً ، وفق محورها . فيلاحظ في المستوي المحرق في F للعدسة L_2 تداخل الحزمتين الضوئيتين (٤ ، ١٦ ، ١)^(١) . والانبوبان متصلان فيما بينهما في احدى النهايتين . فعندما يكونان مملوئين بالماء الساكن ، تشغل حزمة اهداب التداخل وضعاً ما معيناً ، وعندما يجعل الماء يتحرك بسرعة w وفق محور الانبوبيين ، في جهة انتشار الضوء في T_1 ، وفي جهة معاكسة في T_2 ، تنتقل الاهداب مبينة ان الطريق الضوئي لم يعد كما كان على طول الانبوبيين .

لتكن $v = c/N$ سرعة الضوء في الماء الساكن ؛ فإذا صارت $v+w$ في T_1 و $v-w$ في T_2 ، فالزمنان اللازمان لاجتياز الطول l لكل انبوب هما :

$$t_2 = \frac{l}{v - w} \quad , \quad t_1 = \frac{l}{v + w}$$

(١) يذكر الجهاز بمقياس الانكسار لرابلي (الفقرة ٣ - ١٠) . في الحقيقة كان يعتمد الى زيادة المسير الضوئي يجعل كل من الحزمتين يجتاز الانبوبيين في جهتين متعاكستين بفضل مرآة موضوعة في F وصفيحة نصف عاكسة موضوعة بين S و L_1 .

والحزمة 2 تكون متأخرة عن الحزمة 1 بقدر :

$$\Delta t = t_2 - t_1 = \frac{l}{v(1 - w/v)} - \frac{l}{v(1 + w/v)} = \frac{2wl}{v^2(1 - w^2/v^2)}$$

أو اذا اعملنا w^2 بالنسبة الى v^2 (w هي من رتبة 10 m/s) :

$$\Delta t = \frac{2wl}{v^2} = \frac{2wlN^2}{c^2}$$

ويقابل هذا التأخر تغير Δp من رتبة التداخل p في 0 :

$$\Delta p = \frac{c\Delta t}{\lambda} = \frac{2wlN^2}{c\lambda} \quad [٧،٢]$$

(نحو 0,8 من البعد الهدبي في شروط تجربة فيزو) .

ولكن هذه التجربة تعطي نتيجة أدنى :

$$\Delta p' = \Delta p (1 - 1/N^2)$$

(نحو $0,437 \Delta p$ من اجل الماء) كما لو أن سرعة الضوء لم تكن $w \pm \frac{c}{N}$ ، وإيما :

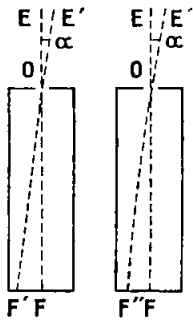
$$\frac{c}{N} \pm w \left(1 - \frac{1}{N^2}\right) \quad [٨،٢]$$

ويقال إن عامل جو الموجات الضوئية بالمادة المتحركة هو $1 - 1/N^2$.

ج) تأيدت هذه النتيجة عندما تأكد ايري من أن القيمة الملاحظة لزيغ النجوم لا تتغير اذا ما استعملت للتسديدات نظارة مملوءة بالماء .

وللتبسيط ، لنمثل هذه النظارة بغرفة مظلمة ، بما لا يغير شيئاً في النتيجة .
فالمحاكمة المطبقة (فقرة ٢ - ٣) على المسير الكلي للنجم حتى المراقب ، يمكن نقلها بسهولة اذا اعتبر مسير الضوء في النظارة المفروضة قبلاً في الخلاء (عملياً في

الهواء) . فمركز دائرة الانعراج ينبغي أن يكون في المحرق الأصلي F (الشكل ١١ - ٢ - أ) . ولكن النظارة مجرورة بسرعة w للحركة الانتقالية



ا) \xrightarrow{w} ب)

الشكل ١١ - ٢ .
تجربة إيرى

للأرض . والمحور الضوئي OF ينتقل موازياً لنفسه . وخلال الزمن $t = f/c$ الذي يستغرقه الضوء ليجتاز الطول المحرقى $f = OF$ يكون هذا الانتقال $F'F = wt = wf/c$ ، ويلاحظ مركز دائرة إيرى في F' ، لا في F . ويقاس الزيف بالزاوية :

$$\alpha = \widehat{E'OE} = \frac{F'F}{OF} = \frac{w}{c} \quad [١٢]$$

لنفرض الآن أن النظارة مليئة بالماء (وان قد نظم بنتيجة ذلك سحبها) فالموجات لا تكون مجرورة ناظماً على OF بكل السرعة w ، لأنه حينذاك ، كانت النظارة تنتقل بالسرعة نفسها فنقطة وصولها تكون في F كما لو كانت الأرض ساكنة ، ولن يكون ثمة زيف (هذه المحاكاة تنطبق من جهة أخرى أيضاً على حالة نظارة مملوءة بالهواء) .

إذا كان عامل جر الموجات هو k ، فسرعتها العرضانية النسبية بالنسبة

للنظارة هي $w - kw$ ، ومنه انتقال مركز دائرة الانعراج (الشكل ١١ - ٢ - ب)

$$F''F = (1 - k) wt$$

ولكن مدة المسير OF هي الآن $t = f/v = fN/c$ بحيث أن الانحراف

الزاوي هو في الماء ، $\frac{(1-k)wt}{f} = \frac{N(1-k)w}{c}$. ويقابله في الهواء وفق

قانون كبلر (١٤، ١٠ - أ) زاوية زيع اكبر بـ N مرة .

وبما أن هذه الزاوية α هي نفسها كما في الحالة الأولى ، فيكون :

$$N^2 (1-k) w/c = w/c$$

$$k = 1 - 1/N^2 \quad \text{ومنه :}$$

(د) ان مظهر انجرار الامواج الضوئية بالمادة ، وقيمة العامل k توقعهما فريينيل نظرياً بتمثيله الأثير - الذي كان يقبل أن تنتشر فيه الشعاعات - كجسم صلب مرن ، أكثف في المادة منه في الفراغ بـ N^2 مرة . وتجارب فيزو وإيري تفسر اليوم (فقرة ١٨ - ٥) بنظرية النسبية .

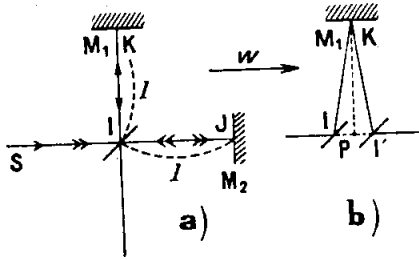
٢ - ١٢ . — تجربة مايكلسون ومورلي

(أ) نفرض منبعاً ضوئياً ومراقباً ثابتين احدهما بالنسبة للآخر ، ومتحركين كليهما مع الأرض التي تحملها ، بالنسبة لهذا الأثير الذي يعتبر (٢٤ ، ١١ - ب) وكأنه يقوم حتى في الفراغ بدور وسط ينتشر فيه الضوء . لتكن w سرعتها التي تدعى « المطفلة » و c سرعة الضوء بالنسبة للأثير . فهل يجب ان نقبل أنه اذا كان لكل من c و w منحى واحد وجهة واحدة ، فالسرعة الحاصلة للضوء ، بين المنبع والمراقب هي $c - w$ (تكون حينئذٍ معدومة من أجل $w = c$) وأما $c + w$ اذا كانت الجهتان متعاكستين ؟ وهذا ما دعا مايكلسون ومورلي بغية الاجابة على هذا السؤال للقيام عام ١٨٨٧ بتجربتهما التي سنشرحها إذ أن أهميتها كانت أساسية لأنها كانت منشأ نظرية النسبية .

نحن نجعل كيف يمكن أن تكون حركة الشمس بالنسبة الى الاثير ، ولكننا اذا قبلنا أنها منتظمة وأن الأرض تدور على فلكها بسرعة 30 km/s ، أمكننا أن نستنتج من ذلك أنه في مدة ستة أشهر تأخذ w قيماً تختلف جبرياً بمقدار

60 km/s . فيكفي اذن أن نعمل بفواصل منتظمة خلال سنة كما يتدخل هذا الفرق .

(ب) في تجربة مايكلسون ومورلي يستعمل مقياس تداخل مايكلسون (١٣-٣) المحكم لاعطاء اهداب القرنة الهوائية . ولايجاد تغير جملة الاهداب التي يجب ان تحدثها حركة الآلة ،



الشكل - ٢ - ١٢ - مبدأ تجربة مايكلسون ومورلي

لنفرض أنها متحركة بالسرعة w المتجهة نحو المراة M_2 (شكل ٢ - ١٢ - ١) ولتقارن الازمنة التي يستغرقها الضوء كيمجتاز المسافتين IKI و IJI احدهما في منحى w والأخرى ناظمية على w .

ليكن $IJ = l$ ، ففي الفرضية

التي نعمل على التحقق منها ، يستغرق الضوء لاجتياز IJI الزمن :

$$t_2 = \frac{l}{c-w} + \frac{l}{c+w} = \frac{2lc}{c^2 - w^2} = \frac{2l}{c} \frac{1}{1 - w^2/c^2}$$

او على فرض $w/c = \beta$ ، وباهمال اسس β الاكبر من الثانية :

$$t_2 = \frac{2l}{c} \frac{1}{1 - \beta^2} \simeq \frac{2l}{c} (1 + \beta^2) \quad [٩،٢]$$

والضوء الذي ينعكس على M_1 يجتاز طريقاً IKI' (الشكل ٢ - ١٢ - ب)

في زمن t_1 يكون معه $II' = wt_1$. وفي المثلث IKI' (P منتصف II') يكون :

$$IK^2 = l^2 + IP^2$$

$$\text{أو : } \frac{c^2 t_1^2}{4} = l^2 + \frac{w^2 t_1^2}{4}$$

$$\text{ومنه : } t_1^2 = \frac{4l^2}{c^2 - w^2} = \frac{4l^2}{c^2} \frac{1}{1 - \beta^2}$$

وإذا أهملنا أيضاً الحدود الحاوية β التي هي من مرتبة أعلى من المرتبة الثانية :

$$t_1 = \frac{2l}{c} \frac{1}{\sqrt{1 - \beta^2}} \simeq \frac{2l}{c} (1 + \beta^2/2) \quad [١٠٠٢]$$

فيكون لدينا إذا :

$$t_2 - t_1 = \frac{l}{c} \beta^2 \quad [١١٠٢]$$

وإذا دورنا مقياس التداخل المحمول على بلاطة عائمة على الزئبق بحيث يمكن على التوالي من جعل IM_1 و IM_2 موازيين للسرعة w ، وجب ان نلاحظ انتقال الاهداب الذي يقابل تحولاً قدره :

$$\Delta P = \frac{2c(t_2 - t_1)}{\lambda} \simeq \frac{2l}{\lambda} \beta^2 \quad [١٢٠٢]$$

ΔP يتغير إذا كمرربع β : ويقال ان النتيجة المتوقعة هي من المرتبة الثانية^(١).

(١) يرى بسهولة ان كل قياس لتحول ممكن للسرعة مع المنحى يجتاز فيه الضوء على التوالي في جهتين متعاكستين نفس المسير لا يمكنه أن ينتج الفرصة الا لنتيجة من المرتبة الثانية . والطرق الارضية لقياس c التي وصفت آنفاً لم تكن قابلة للتطبيق للبحث الحالي لانها قليلة الدقة جداً (وليس شأنها في ذلك بأسوأ من شأن الطرق الفلكية حيث انتأثير يكون من المرتبة الاولى ، ولكن الدقة اقل أيضاً) .

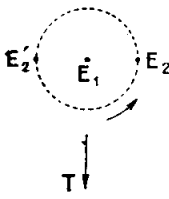
ومن أجل : $l = 10\text{m}$ و $\lambda = 0,5 \mu = 0,5 \cdot 10^{-6}\text{m}$ و $w = 30 \text{ km/s}$ فإن
العلاقة [١٢،٢] تعطينا :

$$\Delta P = \frac{20 \cdot 10^{-8}}{0,5 \cdot 10^{-6}} = 0,4,$$

ولكن رغم أنها أعيدت في امكنة مختلفة وأزمنة متباعدة من السنة فإن التجربة أعطت دوماً نتيجة معدومة ، في حين أن انتقالاً أقل بعشر مرات بما قدر كان يمكن ان يكون ذا قيمة . ولتسهيل دووان الجهاز ، وانقاص أخطار التشوه فإن كلاً من المسيرين 2l كان في الحقيقة مطوياً على نفسه عدة مرات .

ج) ان تجربة مايكلسون ومورلي ، مؤيدة بكل الاختبارات التي تلتها ، وكانت الدقة في بعضها قد ازدادت كثيراً ، تعطي نفس النتائج كما لو أنه رغم الحركة المدارية للأرض تبقى هذه الأخيرة ساكنة بالنسبة للأثير : وبالتشابه مع الصوت يقال إنه لم يمكن كشف « ربيع الاثير » . بالنسبة للأرض .

وثمة محاولة أولى للتفسير ترتكز على قبول أن الأرض تجر الاثير على سطحها كله كما تفعله بالنسبة للجو . ولكن هذه الفرضية لا تتفق مع واقع أن قياس زيبغ النجوم (الفقرة ٣-٢) يؤدي الى قيمة صحيحة لـ c . بعد ذلك قامت فرضية أن سرعة الضوء تتعلق بسرعة المنبع وأنها تتركب معها . ولكن هذه الفرضية فقت بصورة خاصة بمراقبة



الشكل ١٣ - ٢

النجوم المزدوجة ، وهي مجموعة نجمين متحركين بحركة دوران احدهما حول الآخر . لنقبل انه عندما تبعد احدى المركبتين عن الأرض T وتكون في E_2 (الشكل ١٣-٢) فسرعة الشعاعات التي تصدرها تكون مثلاً قد نقصت ؛ وعندما تكون هذه النجمة في E_3 فإن هذه السرعة يجب ان تزداد . وفي نهاية زمن كاف ، تصبح بعض النجوم المضاعفة بعيدة للغاية ، وفروق ضعيفة في السرعة قد تحدث فروقاً في مدة المسيرات بحيث ان المراقبين الأرضيين يرون في آن واحد E_2 و E_3 . وهذا الامر لا يحدث بحيث يمكن التأكيد ، بشك نسبي من رتبة 10^{-6} ، باستقلال سرعة الضوء عن سرعة المنبع .

وفرضية ثالثة ، معزوة الى لورانتز وفيتز جيرالد Lorentz — Fitz gerald ، ترتكز على قبول أن ابعاد الجسم المتحرك تتقلص وفق منحى الحركة بنسبة $\sqrt{1-w^2/c^2}$ وتفسر في الحال النتيجة السلبية لتجربة مايكلسون : فعلى الشكل ١٢ - ٢ لا يعاني الطول IM_1 أي تغير خلال الحركة ؛ والطول IM_2 يصبح $l \sqrt{1-\beta^2}$. وبالتالي تحتفظ t_1 بالعبارة [١٠،٢] ولكن t_2 تصبح حسب [٩،٢] :

$$t_2 = \frac{2l}{c} \frac{\sqrt{1-\beta^2}}{1-\beta^2} = t_1$$

مع ذلك ان هذه الفرضية « الموافقة » تبدو مصطنعة جداً ؛ اضافة الى ذلك اجريت تجارب مختلفة للتحقق مباشرة من وجود هذا التقلص فأعطت نتائج سلبية .

اقترح أنشتاين عام ١٩٠٥ القبول بأن نتيجة تجربة مايكلسون تدل على ان ثمة عجزاً أساسياً هو موجود بالنسبة للملاحظين في حركة مستقيمة ومنتظمة عن ايضاح تغير في سرعة الضوء . فهذه هي مقدار ثابت ، لا متغير ، في جميع جهل المقارنة المدفوعة بحركات نسبية منتظمة . هذه الفرضية التي لم تخطيء نتائجها مطلقاً حتى الآن قد غدت القاعدة لمبدأ النسبية الذي سنتكلم عنه في الفصل ١٨ .



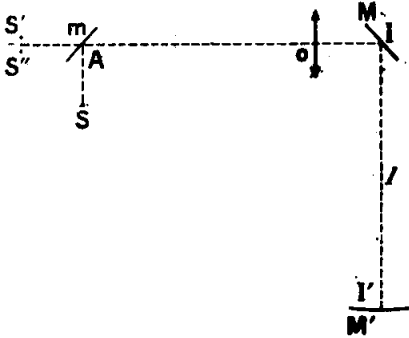
تمارين

٢ - أ - تبلغ قيمة قرينة انكسار كهريت الفحم بالنسبة الى الشعاع التي طول موجتها في الخلاء $\lambda_0 = 550 \text{ nm}$: $n = 1,64$. ويجرى قياس سرعة الضوء u في هذا السائل بالضوء الابيض وبطريقة المراة الدائرة ، فيعطي للنسبة c/u (بافتراض c سرعة الضوء في الخلاء) القيمة ١,٧٥ . فسر هذه النتيجة ، مع العلم بأن تبديد كهريت الفحم في جوار λ_0 هو بحيث أن :

$$\frac{dn}{d\lambda_0} = - 0,20 \cdot 10^6 \text{ m}^{-1} .$$

٢ - ب - بطراً على أحد توابع المشتري حوادث خسوف في لحظات تفصل بينها المدة الوسطية ($T = 1,75$ يوماً) . فاذا قبلنا بأن المشتري يظل ساكناً في مستوي مدار الأرض ، وعلمنا بأنه ابعـد عن الشمس من الأرض بكثير ، فاحسب القيمة العظمى ΔT لتغير الدور الظاهري للتابع المذكور . يستغرق

الضوء الف ثانية ليقطع القطر $2R$ لمدار الارض .



٢ - ج - يمثل الشكل بصورة مبسطة تجربة لقياس سرعة الضوء

$c \approx 3 \cdot 10^8 \text{ m/s}$. و S هو منبع

نقطي و m صفيحة نصف عاكسة ،

و O المركز البصري لعدسة تعطي

في I' خيال S بعد الانعكاس في I

الشكل ٢ - أ

على المراة المستوية M ، التي تدور بمعدل $N=1000$ دورة في الثانية . و M' هي

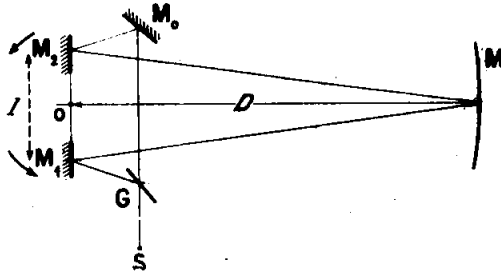
مرآة كروية مقعرة مركزها I ، و S' و S'' هما خيالا الرجوع اللذين يلاحظان بالترتيب عندما تدور M في اتجاه ما او في الاتجاه المعاكس حول محور عمودي في I على مستوي الشكل .

١. - احسب $\overline{S'S''} = x$. بفرض :

$$\overline{II'} = l = 9,000 \text{ m} , \overline{OI} = b = 1000 \text{ m} , \overline{SA} + \overline{AO} = a = 10,000 \text{ m}$$

٢. - اذا جرى قياس x بخطأ قدره 0,01mm وكانت المعطيات السابقة صحيحة بمحدود تقرب قدره وحدة من آخر رقم عشري معطى ، فما هو الارتباب (المطلق) في قيمة c ؟

٢ - د - اعطى مايكلسن لقياس c بطريقة فوكو الترتيب الآتي : يضيء المنبع s المرآة نصف الشفافة G التي تفصل الحزمة الواردة الى حزمتين . تتبع الحزمة المنعكسة المسار $M_1MM_2M_0$ وتعود الى G . وتتبع الحزمة النافذة (أي الموصلة) المسار $M_0M_2MM_1G$. ويعمل الضبط بحيث ان فرق المسير بين الحزمتين المجتمعين في G يكون معدوماً عندما تكون المرآتان اللتان يفصل بين



الشكل ٢ - ب

مركزها البعد $l = 26,5 \text{ cm}$ ، يمكنها أن تدور حول محور O عمودي على مستوي الشكل ، بمعدل $N = 30$ دورة في الثانية . والبعد بين O ومركز المرآة الثابتة M هو $D = 6,08 \text{ m}$ ($D \gg l$) . ويجري الدوران في جهة السهمين .

احسب التأخر δ (مقدراً بأطوال الموجة $\lambda = 6.10^{-7}m$) للحزمة المنعكسة عن الحزمة النافذة .

٢ - ٥ - اعيدت تجربة فيزو بدقة اضافها وزادها زيمان . بلغ طول كل انبوب (الشكل ٢ - ١٠) $l = 6,00m$ وسرعة الماء $w = 5,50m/s$. وقرينة انكسار الماء من اجل الشعاع المستخدمة $\lambda_0 = 546nm$ هي $n = 1,3345$. كان التسديد يجري على الهدب المركزي من اجل جهة معينة للسرعة ، ثم تعكس هذه الجهة ويسدد على الوضع الجديد للهدب المركزي . احسب الانتقال الملاحظ بدلالة كسر البعد الهدي .

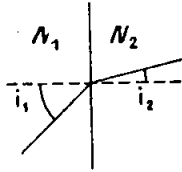
• • •

الفصل الثالث

القياسات العائدة للانكسار

٣- ١ . — تعاريف . طرق القياسات :

أ) عندما يجتاز شعاع ضوئي السطح الفاصل بين وسطين متجانسين (١ ، ٤)
- ٩) فإن الزاويتين i_1 و i_2 (الشكل ٣ - ١) اللتين يصنعهما مع الناظم في
الوسطين تكونان بحيث أن :



$$N_1 \sin i_1 = N_2 \sin i_2 \quad [١،٣]$$

يمكن اعتبار هذه العلاقة كتعريف لقانوني

الانكسار المطلقين N_1 و N_2 للوسطين بالاتفاق الشكل ٣-١ - الانكسار:
على أن قيمة القرينة المطلقة للخلاء هي الواحد .
 $N_1 \sin i_1 = N_2 \sin i_2$

ويطلق اسم القرينة (النسبية) للوسط الثاني بالنسبة للوسط الأول على
النسبة :

$$n_{2,1} = \frac{\sin i_1}{\sin i_2} = \frac{N_2}{N_1} \quad [٢،٣]$$

بحيث أن القرينة المطلقة لوسط ما تتوحد مع قرينته بالنسبة للخلاء .

ب) لوضع مشاريع الآلات الضوئية التي تحوي عدسات ، وربما
مواشير ، لا بد من معرفة قرائن انكسار انواع الزجاج أو الأوساط الشفافة

الآخرى التي يُنبؤ استعمالها بدقة كبيرة . وتدخل القرائن أيضاً في عبارة الطرق الضوئية وبالتالي في توقع أو تفسير ظواهر التداخل (الجزء ٤ الفصل ١١ الى ١٤) .

وتقاس أيضاً قرائن البلورات ، والاصناف الكيميائية المختلفة بمجالتها السائلة أو الغازية وحتى المزائج (الزيوت ، انواع البترول ، السوائل الحيوية ، غاز المناجم ، مثلاً) بغية التحقق من ذاتيتها أو معايرتها أو مراقبة نقاوتها ، أو البحث عن انواع الغش فيها ...

ج (قياس القرائن أو القياسات الانكسارية ^(١) يؤدي اذاً فائدة عملية كبرى . وقرائن الغازات بالنسبة للخلاء أعلى قليلاً جداً من الواحد ، ولا تختلف عنه إلا ببضع عشرات اجزاء من الألف ، ولا يمكن قياسها إلا بالطرق التداخلية (انظر الفقرة ٣ - ١٠) . مثلاً في الشروط العادية من الحرارة والضغط تكون قرينة الهواء الجوي $N_a \simeq 1,00027$. وقرائن السوائل أو الجوامد ليست ادنى من 1,3 أو اكبر من 2 إلا استثنائياً . وتعين عادة ، كما سنرى ذلك ، بانحراف حزمة أشعة خلال موشور ، أو من قيمة زاوية الحد .

ولكن ثمة طرقاً أخرى تستعمل في بعض الحالات الخاصة كطريقة الطبقات أو الترسبات التي سمكها من رتبة الميكرون والتي اشير الى تطبيقاتها في الجزء ٤ (انظر الفقرتين ١٣ - ١٢ و ١٣ - ١٣) : فيمكن استنتاج قرائنها من قيمة عامل انعكاسها (الفصل ٨) أو من زاوية ورودها البروستيرية (٤ ، ٢ - ٩) .

د (القياسات التي تُجرى على جسم صلب أو سائل ، موضوع في الهواء ،

(١) يطلق هذا التعبير ايضاً ، ولكن بمعنى مختلف جداً ، على قياس عيوب العين

تعطي مباشرة قرينته n بالنسبة للهواء ، ويستنتج منه عند الحاجة قرينته المطلقة N بالعلاقة (الناتجة عن [٢ ، ٣]) :

$$N = nN_a \quad [٢،٣]$$

حيث N_a هي القرينة المطلقة للهواء .

٣ - ٢ . — تحويلات القرائن مع درجة الحرارة ومع الضغط :

أ) ليكن ΔN تغير القرينة N لجسم ما عندما تتغير درجة حرارته بقدر $\Delta \theta$. فخارج القسمة

$$\alpha = \frac{\Delta N}{\Delta \theta} \quad [٢،٣]$$

يسمى عامل درجة الحرارة للقرينة . وهو في الطيف المرئي من رتبة بضعة أجزاء من المليون أو أحياناً بضع مئات من الألف للجوامد (من 2 الى $4 \cdot 10^{-6}$ من أجل الزجاج التاجي - الكراون - ومن 3 الى $10 \cdot 10^{-6}$ للزجاج الرفيع - الفلنت) و $3 \cdot 10^{-5}$ من أجل الماء ومن 4 الى $8 \cdot 10^{-4}$ في السوائل الأخرى .

وإذا أريد معرفة قرينة نوع من الزجاج الضوئي بتقريب قدره $2 \cdot 10^{-5}$ يكفي إذا بصورة عامة أن تكون درجته ثابتة ومعلومة بتقريب قدره 5° . مع ذلك فإن بعض الأجهزة تشمل موشور مقارنة قرينته مرتفعة ($> 1,70$) قد تبلغ α من أجله 10^{-5} مما يوجب ضبط درجتها الى نحو 1° تقريباً . وفي حالة السوائل ، تستلزم بعض قياسات القرائن بتقريب قدره 10^{-3} ، استعمال مثبتة الحرارة تؤمن عشر الدرجة .

ب) في حالة الغازات ، يتناسب فرق القرينة N بالنسبة للواحد تقريباً مع الكتلة الحجمية ρ :

$$\frac{N-1}{p} \simeq \text{ثابتة} \quad [٣،٣]$$

وبالتالي يتناسب والضغط ، ومقلوب درجة الحرارة المطلقة .

وفي حالة القياسات العالية الدقة ينبغي اجراء التصحيحات المرغوب فيها لتحسين قرائن الاجسام المدروسة بالنسبة للهواء النظامي (درجة حرارة الصفر 0°C والضغط 760 mm زئبق) أو في الفراغ .

٣-٣ . — تحولات القرائن مع طول الموجة . المحصر :

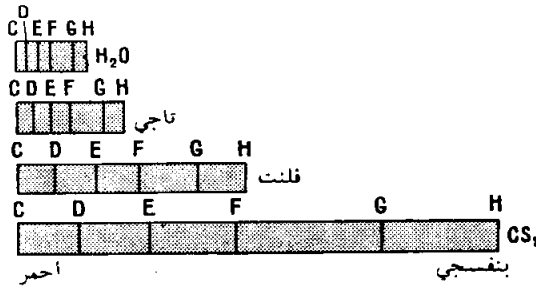
في حالة المواد المألوفة ، تزداد القرينة N بانتظام وبسرعة اكثراً كثر من ما تحت الاحمر الى ما فوق البنفسجي (تحولات N بالقرب من عصابات الامتصاص ستدرس في الفصل ٩) . ونجري القياسات لعدد من الشعاعات التي تصدرها الغازات المهيجة كهربائياً والتي يوسم بعضها بحروف الهجاء (انظر الجزء ٤ ، الجدول ١ - ١) .

في ما تحت الاحمر البعيد ، تستعمل أيضاً شعاعات بعض انواع اللهب المعزولة كما سنرى ذلك في الفصل الرابع ، او ايضاً الحدود القصوى لامتصاص مختلف المواد (الجبس ، بخار الماء ، الميكا) أو الحدود القصوى للتوصيل في المعايير التداخلية (٤ ، ١٣ - ٥) الموضوعة امام منبع ذي طيف متصل .

ب) إن تبعد القرائن بدلالة طول الموجة يتغير كثيراً بتغير المادة .

٥ - باستعمال اربعة مواشير زواياها الكامرة واحدة ، ومساوية ٦٠ درجة ، مكونة على التوالي من الماء والكراتون والفلنت وكهريت الفحم ، وفي وضع الانحراف الاصغر بالنسبة للشعاعة D الصفراء للصوديوم مثلاً ، نلاحظ انحرافات وتبدلات متزايدة . والشكل ٣ - ٢ يقرب هذه الانطاف المختلفة بوضع نهاياتها

الحرارة في نقطة الانطلاق نفسها ؛ واطوالها فيما بينها هي تقريباً كالأعداد ١،٠،٦،



الشكل ٣ - ٢ - مقارنة الطيف
المكونة من بعض المواشير

٢٠ ، ٤٠ . وفي هذه الاطراف حددت خطوط العلامات H, G, F, E, D, C . وكان بالامكان الحصول على تبددات مختلفة بواسطة الكراون أو الفلنت باختبار اصناف أخرى .

ج) غالباً ما يميز الانكسار والتبدد لمادة ما بالقيمة n_D لقرينته « المتوسطة » في الهواء بالنسبة للشعاع D ذات الطول الموجي 5893 Å بالنسبة :

$$v = \frac{n_D - 1}{n_F - n_C}$$

التي تسمى الحصر (عكس قوة التبدد) وحيث n_C و n_F هما قرينتا الشعاعين C (6563 Å) و F (4861 Å) .

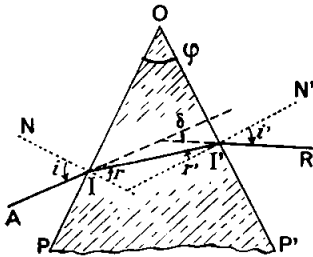
و التي هي لأنواع الزجاج الضوئي (انظر الجزء ٤ : اللوحة ١ - ٤) من رتبة 25 (فلنت شديد التبدد) الى 60 (كراون قليل التبدد) ينخفض بالنسبة لبعض الاجسام الى اقل من 20 ، ويمكنه في اجسام أخرى أن يبلغ 100 .

د) اطوال موجة خطوط الاصدار المستعملة محددة بدقة بحيث توافق قياسات القرائن الاكثر دقة ، ولكن اذا ما حذفت شعاع ما من طيف متصل بواسطة

موحد اللون (فقرة ٤-١- ب) لزم للتمكن من الحصول على دقة في القرينة قدرها 2.10^2 . ضبط طول الموجة حتى 1\AA تقريباً في حالة المواد الشديدة التبديد .

٤ - ٢ — استعمال موشور في وضع الانحراف الأصغر :

أ) من المتعذر في حالة الجوامد (وغالباً أيضاً في حالة السوائل) وضع آلة قياس في الوسط الذي يبحث عن قرينته : فلا يمكن إذن قياس زاوية الانكسار او زاوية الحد في هذا الوسط ، مما يجب ان يدبر الأمر بحيث يخرج الضوء ثانية في الهواء : ومنه استعمال الموشور .



الشكل ٣ - ٣ - ٠
الانحراف بالموشور

من المعلوم (الجزء ٤، ٥ - ٦) أنه عندما يجتاز شعاع ضوئي وحيد اللون موشوراً زاويته φ ، موضوعاً في الهواء ، بصورة يكون معها هذا الشعاع عمودياً على حرف الموشور ، فثمة بين الزوايا φ و r, r', i', δ التي يشير إليها الشكل ٣ - ٣ - ٣ لعلاقات :

$$\left. \begin{aligned} \sin i &= n \sin r \\ \sin i' &= n \sin r' \\ r + r' &= \varphi \\ \delta &= i + i' - \varphi \end{aligned} \right\} [٦,٣]$$

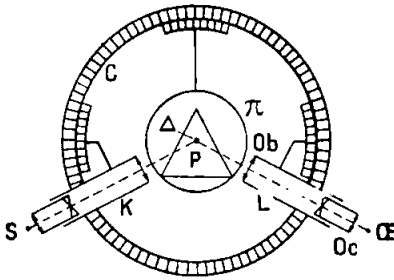
حيث n هي قرينة الموشور بالنسبة للضوء الملاحظ .

ير الانحراف δ بقيمة صغرى δ_m عندما يكون $i = i'$ ومنه $r = r' = \varphi/2$ ويكون لدينا حينئذ :

$$n = \frac{\sin \frac{\varphi + \delta_m}{2}}{\sin \frac{\varphi}{2}} \quad [٧٤٣]$$

فيمكن هكذا حساب n اذا قيست φ و δ_m .

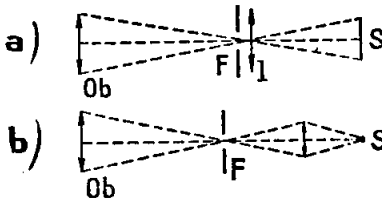
ب) يجري القياس بواسطة مقياس الزوايا (الشكل ٣ - ٤) الذي يتألف



الشكل ٣ - ٤ مقياس الزوايا

لقياس القرائن (طريقة الموشور) .

بالعينية Oc للنظارة طبقة حساسة تصويرية موضوعة في المستوي المحرق للجسمية



الشكل ٣ - ٥ - استعمال خلية كهروضوئية
او مستقبل حراري :

- a - اذا كان السطح S لهذا المستقبل دائرياً
فالعندسة تشكل فوق S خيلاً لـ OB .
- b - اذا كان السطح S خطياً فيشكل عليه
خيلاً للشق F .

من مصطبة π موضوعة فوق دائرة

مدرجة C ، يوضع فوقها الموشور

P ، وجمعة K (٧٤٤ - ١١)

ونظارة ذات شبكية L محكمة

على اللانهاية (٢١٤٤ - ١) .

عندما لا يراود او يتعذر

تسديد الأخيلة بالعين ، تستبدل

بالعينية Oc للنظارة طبقة حساسة تصويرية موضوعة في المستوي المحرق للجسمية

Ob ، أو بتركيب ذات شق

وحلية كهروضوئية أو مستقبل

حراري (انظر الشكل ٣ - ٥) .

والنظارة والمصطبة (وحيثاً

الجمعة أيضاً) تستطيع الدوران

حول المحور Δ للدائرة C بجر

سواعد مجهزة بفرنات تسمح

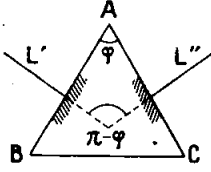
بقياس دقيق لزوايا الدوران

(٢٤١ - ١٤) وسنفرض ان

النظارة L ذات تجميع ذاتي (٤)

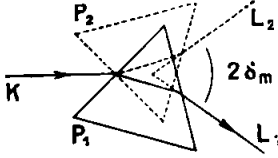
. (١٠ - ٧)

ويجب ان يركب الموسور على مصطبه (بالتلمس) بحيث يكون حرفه موازياً الى Δ : ويدرك ذلك عندما يُرى أن أخيلة محكمة النظارة الحاصلة بالانعكاس الناطمي على وجه الدخول AB ثم على وجه الخروج AC من الموسور المفروض ثابتاً، تنطبق تماماً على هذه المحكمة وزاوية الوضعين L' و L'' للمحور الضوئي للنظارة في هاتين الحالتين هي $\varphi - \pi$ (الشكل ٣-٦) ومنه φ .
وتختار عادة من اجل φ قيمة قريبة من 60° .



الشكل ٣-٦ - قياس الزاوية φ بواسطة نظارة ذاتية التجميع

لتعين δ_m ينور السطح AB من P بالحزمة التي تخرج من المجمعة K ، ويدور P ببطء مع البحث لكل من أوضاعه عن النظارة L الذي يسمع باقتياد خيال شق المجمعة على محوره الضوئي . وعندما يصبح الانحراف أصغرياً، والموسور في الوضع L_1 (الشكل ٣-٧) يُعلم الوضع P_1 للنظارة ؛ ثم يدور P ليُجعل في وضع مثل P_1 يكون معه الانحراف اصغرياً ايضاً ولكن في جهة معاكسة لجهة الحالة السابقة . وبما أن L_2 اصبح الوضع الجديد للنظارة ، فإن زاوية محوري L_1 و L_2 هي $2\delta_m$.



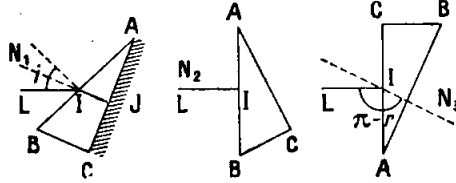
الشكل ٣-٧ - قياس الانحراف الاصغر δ_m

ملاحظة - يمكن قياس قرينة سائل بوضعه في موسور أجوف ، محدود بصفائح متوازية الوجهين لا تؤثر وجوها في الانحراف .

ج) يمكن تجنب استعمال المجمعة باستخدام موسور زاويته قريبة من 30° ، وأحد وجوهه AC مطلي بمادة معدنية : يعطى على التوالي الاوضاع الثلاثة التالية مع ترك النظارة الذاتية التجميع L (الشكل ٣-٨) ثابتة :

١) الحزمة التي تخرج من L تنكسر في I خلال الوجه AB وتنعكس في J على الوجه AC ثم تعود وفق JIL في النظارة بحيث أن خيال العودة للمحكمة ينطبق على هذا الاخير.

(٢) بوجه الموشور بحيث تسدد النظارة بالتجميع الذاتي على الوجه AB . فالزاوية التي لزم التدوير بقدرها من الوضع السابق هي زاوية الورد i في I .



الشكل ٣ - ٨ .

استعمال موشور زاويته θ_3 .

(٣) بوجه الموشور بحيث تسدد النظارة بالتجميع الذاتي على الوجه AC . فالزاوية التي لزم تدويره بقدرها بدءاً من وضعه السابق هي الزاوية المتممة لزاوية الانكسار r في I .

نحسب حينئذ القرينة n بتطبيق الصيغة $\sin i = n \sin r$.

هذه الطريقة أقل دقة . ولكننا اسرع من طريقة الانحراف الاصغر بموشور زاويته الضعف .

(د) لمناقشة دقة هذه الأخيرة ، لنكتب التفاضل اللوغارتمي للعبارة الجبرية [٧،٣] ولتكن :

$$\begin{aligned} \frac{dn}{n} &= \cot \frac{\varphi + \delta_m}{2} d\left(\frac{\varphi + \delta_m}{2}\right) - \cot \frac{\varphi}{2} d\frac{\varphi}{2} \\ &= \frac{d\varphi}{2} \left[\cot \frac{\varphi + \delta_m}{2} - \cot \frac{\varphi}{2} \right] + \frac{d\delta_m}{2} \cot \frac{\varphi + \delta_m}{2} \quad [٨،٣] \end{aligned}$$

$$\frac{\varphi}{2} < \frac{\varphi + \delta_m}{2} < \frac{\pi}{2} \quad \text{او} \quad r < i < \frac{\pi}{2} \quad \text{من}$$

يسفنتج :

$$\cot \frac{\varphi}{2} > \cot \frac{\varphi + \delta_m}{2} > 0$$

وإذا قبلنا أن φ و δ_m مقيسان بالشك ε نفسه مع جهل الإشارة ، فإن الشك النسبي على n هو (١ ، ٢ - ٧) :

$$\frac{\Delta n}{n} \leq \frac{\varepsilon}{2} \left[\cot \frac{\varphi}{2} - \cot \frac{\varphi + \delta_m}{2} \right] + \frac{\varepsilon}{2} \cot \frac{\varphi + \delta_m}{2}$$

أو :

$$\frac{\Delta n}{n} \leq \frac{\varepsilon}{2} \cot \frac{\varphi}{2} \quad [١,٣]$$

مثلاً في حالة $n = 1,5$ و $\varphi = 60^\circ$ ، ومنه $\cot \frac{\varphi}{2} = 1,73$ ، يكون لدينا بقبول $\varepsilon \simeq 1'' \simeq 5.10^{-6} \text{ rd}$ (باستعمال مقياس زوايا متقن الصنع) .

$$\Delta n \simeq 1,73 \times 1,5 \times 2,5 \cdot 10^{-6} \simeq 6,5 \cdot 10^{-6}$$

ونصل فعلاً الى قياس قرينة انكسار موشور جامد، متجانس تماماً ومنحوت جيداً، بخمسة ارقام عشرية صحيحة. وفي حالة سائل درجة حرارته منتظمة بقدر كافٍ وثابتة ، يمكن اعطاء أربعة ارقام عشرية صحيحة .

ملاحظتان . - (١) ثمة طريقة بدائية لتقدير الشك تقوم على استبدال الإشارة + بالإشارة - في الافادة الجبرية [٨,٣] : إن ذلك يقود من أجل Δn الى نتيجة كبيرة جداً بصورة محسوسة .

(٢) إن دقة قياسات الزوايا لا تستعمل تماماً إلا اذا كانت مادة الموشور متجانسة تجانساً كافياً ، وكانت وجوهه مستوية جيداً (بتقريب $\lambda/5$) .

(٣) في حالة القياسات في ما فوق البنفسجي ، بما أن انواع الزجاج لم تعد شفافة تحت 3700\AA ، فيمكن استعمال جمل ضوئية ذات عدسات من الكوارتز - فليورين أو ذوات مرايا ، وتجهيز العينة بمجاذر مفلور ، أو باستبدال مستقبل تصويري بالعين . فتدوير الموشور في جهة ثابتة خلال اخذ الصورة ، مع بقاء

بقية الجهاز ثابتاً ، نحدث حركة ذهاب وإياب لخيال الشق ومنه ينتج على الرسم عصابة تنتهي بمجد واضح يقابل الانحراف الأصغر .

أما في ما تحت الأحمر فتستعمل مع أجهزة ضوئية ذات مرايا ، مستقبلات حرارية أو كهر ضوئية (انظر الفصل ٥) وأحياناً محولات للاخيلة (٤ ، ٣ - ١٠ ج) .

٣-٥ - طرائق أخرى للانحراف :

أ) كسباً للوقت ، يمكن بدل البحث عن الانحراف الأصغر ، ترك المشور ثابتاً في وضع يكون معه محور المجمعة ناظماً على وجه الخروج AC (الشكل ٣ - ٩) حيث زاوية الورود $i = \varphi$ وزاوية البروز $i' = \delta$.

والصبيغ [٦،٣] نكتب حينئذ :

$$\begin{cases} \sin \varphi = n \sin r \\ \sin \delta = n \sin r' \\ r + r' = \varphi \end{cases}$$

ومنه يستنتج :

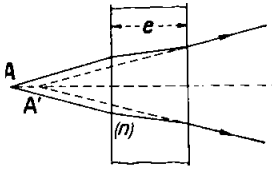
$$\sin \varphi = n \sin (\varphi - r') = n \sin \varphi \cos r' - \cos \varphi \sin \delta$$

$$(\sin \varphi + \cos \varphi \sin \delta)^2 = \sin^2 \varphi (n^2 - \sin^2 \delta)$$

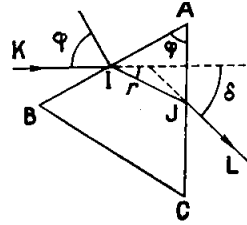
$$n^2 = 1 + \sin^2 \delta + 2 \cot \varphi \sin \delta + \frac{\sin^2 \delta}{\sin^2 \varphi}$$

وبما أن φ تقاس مرة واحدة فحسب ، لذا تقاس δ بالتصوير (كليشة واحدة تسمح بارتداد مجال واسع من اطوال الموجة) او بدوران نظارة أو أي مستقبل آخر .

(ب) منصف في الفقرة ٣-٧ تركيبات مختلفة يكون فيها الانحراف بالموشور المدروس مكافئاً كلياً أو جزئياً بانحراف مواشير مساعدة معروفة .



الشكل ٣ - ١٠
طريقة الدوق دوشون



الشكل ٣ - ٩
استعمال موشور ثابت

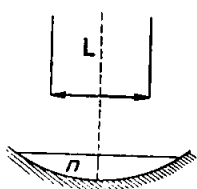
(ج) من المعلوم (٤ ، ٥ - ٢) أن صفيحة متوازية الوجهين ١ ، سمكها e وقرينتها n ، تكون لنقطة جسمية A خيالياً A' (الشكل ٣ - ١٠) واضحاً وضوحاً كافياً ، عندما لا تستعمل سوى الأشعة القليلة الميل على الناظم وبحيث يكون :

$$\overline{AA'} = e (1 - 1/n) \quad [١١،٣]$$

طبقت هذه الصيغة على صفائح بلورية صغيرة حيث الجسم A هو نفسه خيال حقيقي ، يرصد بالمجهر قبل توسط الصفيحة ١ وبعده (طريقة الدوق دوشون De Chaulnes) . ومع أن e صغيرة (من رتبة الميلي متر مثلاً) فإنه من الممكن تقدير n حتى 0,01 تقريباً مثلاً ، علماً بأن عمق حقل المجهر (٤ - ٢٠ ، ٤) صغير بقدر كاف رغم صغر الفتحة لحزم الأشعة القابلة للاستعمال .

(د) من الممكن أيضاً ، عند معرفة الشكل الهندسي لعدسة ما ، تعيين طولها المحرقي واستنتاج قرينتها : وهذه الطريقة (القليلة الدقة) تطبق مثلاً على عدسة

سائلة موضوعة فوق مرآة مقعرة (الشكل ٣ - ١١) وجهاها العلوي مستو (غير غير مشوه بالتوتر السطحي) وتقاس f بواسطة نظارة L ذاتية التجميع .



٣-٦ . - مقياس الانكسار ذو الزاوية الحدية ،

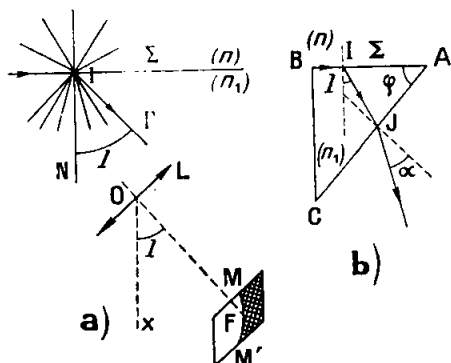
الشكل ٣ - ١١ .
قياس قرينة عدسة
سائلة مستوية عدبة

جهاز بولفريخ وآبه Pulferich - Abbe :

(أ) ليكن Σ (الشكل ٣ - ١٢ - أ) السطح

المستوي الفاصل بين وسطين متجانسين قرينتهما

n و $n_1 < n$. فاذا كان هذا السطح يتلقى في الوسط الاول أشعة لها جميع اتجاهات الورود الممكنة ، بما فيها الورود الملامس فانه ينقلها في كل من نقاطه



مثل i داخل مخروط I' محوره IN ناظم على Σ وزاويته المولدة l هي الزاوية الحادة (١٠ - ١٤) التي يكون معها :

$$n = n_1 \sin l \quad [١٢،٣]$$

الشكل ٣ - ١٢ .
مبدأ الطرائق التي تستعمل زاوية الحد

ومن قياس مباشر او غير مباشر لـ l يمكن استنتاج n اذا كان n_1 معلوماً (أو بالعكس) .

عندما تتلقى هذا الضوء عدسة مقربة L ، مركزها البصري O ، وعرقها F ، تكون موجهة بحيث يكون محورها موازياً أحد مولدات المخروط Γ ، وليكن MM' منحنى تقاطع المستوي المحرق مع مولدات مخروط رأسه O ،

ومحوره OX يوازي IN وزاويته المولدة l . والمستوي المحرقى منور بانتظام من جهة MM' داخل هذا المخروط ، وفي الظلام من الجهة الاخرى . ويستعان بعينية تسمح بملاحظة الخط MM' .

ب) لنفرض الآن أن الضوء يصل الى Σ داخل الوسط ذي القرينة n_1 ، فالمستوي المحرقى يكون حينئذ اكثر تنوراً من جهة MM' خارج المخروط منه في الجهة الداخلية (راجع التجربة الموصوفة في الفقرة ٥ - ١١ من الجزء ٤) فالتباين اقل مما هو عليه عندما يستعمل الورود الملامس ، ولكن استعمال هذا الانعكاس الكلي يسمح بقياس قرائن المواد الشديدة الامتصاص كما يمكن دراستها بطريقة من طرائق التوصيل .

ج) ليس بالامكان قياس الزاوية l مباشرة في جسم صلب قرينته n_1 : فلا بد من وضع العدسة L في الهواء . وفي بعض مقاييس الانكسار يعطى هذا الجسم الصلب شكل نصف الكوة B ، حيث النموذج E يطبق على الوجه المستوي بالقرب من مركز B . ويقع الخط المستقيم MM' حينئذ في المستوي المحرقى للجملة الضوئية المؤلفة من كاسر الخروج ل B وبالعدسة L التى تختار تبعاً لذلك .

ولكن وجه الخروج في الهواء مستو على الغالب ، وليكن AC (الشكل ٣-١٢-b) ، وهو يصنع مع Σ زاوية φ . وتقاس زاوية بروز α بحيث يكون :

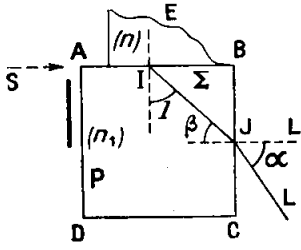
$$\sin \alpha = n_1 \sin (\varphi - l) = n_1 \sin \varphi \sqrt{1 - n^2/n_1^2} - (\cos \varphi) n/n_1$$

ومنه ، اذا أخذنا بعين الاعتبار [١٢،٣] :

$$(n_1^2 - n^2) \sin^2 \varphi = (\sin \alpha + n \cos \varphi)^2 = \sin^2 \alpha + 2 n \sin \alpha \cos \varphi + n^2 \cos^2 \varphi$$

$$n_1^2 \sin^2 \varphi = n^2 + 2 n \sin \alpha \cos \varphi + \sin^2 \alpha, \quad [١٣،٣]$$

(د) يبين الشكل ٣ - ١٣ مخططاً لمقياس الانكسار لبولفريخ . فالنموذج E الذي يرغب في تعيين قرينته n ينحت بحيث يكون له وجهان يؤلفان زاوية قائمة قدرها 90° . واحد هذين الوجهين يطبق ، بتوسيط قطرة سائل ، على الوجه



الشكل ٣ - ١٣ .

مبدأ مقياس الانكسار لبولفريخ

المستوي الافقي من موشر مستطيل P (أو من أسطوانة قائمة) قرينته n_1 معلومة واكبر من n . فأشعة المنبع S تنفذ في الوجه الشاقولي من الزجاج الذي يدرس ثم تأتي فتلاقي السطح الفاصل Σ بين E و P ضمن زاوية ورود تبلغ 90° . والحزمة التي تنفذ بالانكسار في P تكون مع الناظم زاوية أصغر أو مساوية الى l وذلك بالنسبة لكل

من نقاط تماس E و P ، ثم تعاني الاشعة انكساراً ثانياً في J مثلاً ، لتبرز من P . ويلاحظ المنحني الحدي بنظارة يضبط وضعها L' ، بحيث أن هذا المنحني الحدي يمر بالتصالب الخططي للمحكمة ، ثم تنقل هذه النظارة الى L' بحيث ترصد ناظماً بطريقة التجميع الذاتي وجه البروز BC من الموشر P ، فزاوية البروز α اذا ما قيس على دائرة مدرجة ومجهزة بورنية (ليست ممثلة على الشكل) كان لدينا :

$$n = n_1 \sin l = n_1 \cos \beta = \sqrt{n_1^2 - n_1^2 \sin^2 \beta} = \sqrt{n_1^2 - \sin^2 \alpha} . \quad [١٤ ، ٣]$$

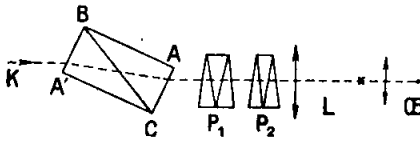
تستعمل غالباً جداول تعطي n بدلالة α من اجل قيمة محددة لـ n_1 . وإذا كان استواء وتوازي الوجوه الملامسة لكل من E و P موفورين جيداً فإن الدقة قد تكون ايضاً جيدة بقدر ما هي عليه بطريقة الموشر ، والقياسات اسرع كثيراً .

ملاحظات . - ١) يجب أن تكون القرينة n_1 اكبر من جميع القرائن التي ينوي قياسها ، والغاية من السائل المدخل بين E و P هي لتجنب الانعكاس الكلي على طبقة الهواء التي يحل محلها . فقريته يجب إذن أن تكون أعلى من n .

٢ - لقياس قرينة سائل يمكن حصره في حوض صغير لا قعر له ، موضوع مكان E ومحاط بنطاق يحفظ درجته ثابتة تماماً ومعلومة .

٣) يمكن أيضاً العمل بالانعكاس الكلي بادخال ضوء S من الوجه AD لـ P (شكل ٣ - ١٣) .

٥) في مقياس آبه للانكسار (الشكل ٣ - ١٤) الذي يستعمل خاصة



الشكل ٣ - ١٤ .
مقياس آبه للانكسار

لقياس قرائن السوائل ، ثمة

موشوران من الفلنت BAC

و $BA'C$ متماثلان ، قائمان في

A و A' ، وملصوقان بوجهيهما

الوترين مع وساطة قطرة من

السائل المدروس الذي قريته

n ، وتنتشر هذه القطرة بشكل صفيحة BC رقيقة السمك جداً .

وثمة منبع ضوئي واسع بكفاية ، ينير BA' بحيث أن بعض الاشعة تبرز من الموشور الأول ضمن الورود الحدي ، وبالتالي تنفذ في الثاني تحت هذا الورود . فاذا كان منحهاها بعد اجتيازها AC ينطبق كما يفرضه الشكل ، على محور النظارة L ، فان المنحني الحدي يأتي ليمر بتقاطع خططي المحكمة وبحقق هذا الشرط بتدوير مجموعة المواشير حول محور ناظم على مستوي الشكل .

وثمة عضادة متصلة اتصالاً صلباً بالموشورين تشمل ورنية متحركة أمام اطار مدرج تسمح بقراءة مباشرة لـ n بثلاثة ارقام عشرية صحيحة . ولكن

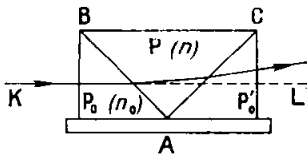
يمكن أيضاً، إذا علمت n_1 وزوايا المواشير، حساب n بدلالة زاوية بروز الأشعة الحدية بالصيغة [١٤،٣] .

هذا ويمكن استعمال هذه الآلات في النور الأبيض بالتعويض عن تأثير تبديد الزاوية الحدية مع طول الموجة، الذي يجعل المنحني الحدي الملاحظ ملوناً ومشوش الوضوح . ويتأمن التعويض بمجموعة موسشرين متماثلين F_1 و P_2 للرؤية المباشرة (الفقرة ٤ - ٦) يمكن تدويرهما معاً بزوايا متساوية في جهتين متعاكستين حول محور النظارة بصورة يتغير معها تبديد المجموعة بين الصفر وقيمة ما عظمى : تضبط جهة وقيمة هذا التبديد للحصول على المنحني الحدي الأكثر وضوحاً بقدر المستطاع . ويكون التدريب بحيث أن القرينة المقيسة تقابل حينئذ الشعاع D ؛ ويمكن أن نستنتج قيمة تقريبية للحصر من الوضع الذي وجب اعطاؤه الى P_1 و P_2 .

وقد أمكن استعمال أجهزة مشابهة في ما تحت الأحمر .

٣ - ٧ . — القياسات التفاضلية بالطرق السابقة :

من الممكن تبسيط بعض مقاييس الانكسار، وأحياناً زيادة دقتها، عندما تبعد القرائن n المطلوب قياسها بعداً قليلاً عن قيمة واحدة n_0 .



وثمة أجهزة عديدة قابلة للاستعمال لهذه الغاية، نورد فيما يلي بعض أمثلة منها .

الشكل ٣ - ١٥ .

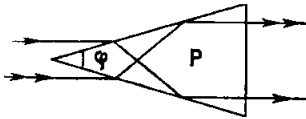
أ) ففي الجهاز الذي يمثله الشكل مقياس الانكسار التفاضلي

٣ - ١٥ يتجهأور الموسور P ذو القرينة n مع الموسورين P_0 و P'_0 اللذين قرينتهما n_0 ، بتوسط طبقة سائلة رقيقة قرينتها تساوي على الأقل n و n_0 .

وتتلقى المجموعة الضوء من مجمعة K تليها نظارة L ذات محكمة مكرومترية . ولما كان وجهها الدخول والخروج ناظمين على محور المجمعة فخيال شق هذه الاخيرة بتشكيل على القسم المركزي من المقياس الدقيق عندما $n = n_0$ وبتبعد عنه بقدر ما يزيد اختلاف n عن n_0 . ويمكن تدريب الجهاز بقيم n ، ومجمل عند الحاجة عدة مجموعات من المواشير $P_0 P'_0$ قرائتها n_0 مختلفة .

ويمكن أن يكون الموشور P نفسه مؤلفاً من سائل موضوع في الحوض الذي يحده P_0 و P'_0 مع قارورتين مفلطحتين موازيتين لمستوي الشكل .

(ب) عندما نرغب في دراسة تغيرات القرينة n لمادة ما بدلالة درجة الحرارة



(او الزمن) يمكننا الاستغناء عن مواشير المقارنة ، باعطاء الموشور المدرس P هيئة كالبيئة في الشكل (٣ - ١٦) .

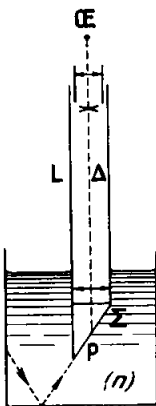
الشكل ٣ - ١٦ .

تركيبة لدراسة تحولات قرينة موشور

وبتعبق المسيرات المبينة ، تولد

الحزمة المتوازية من الضوء الوارد حزمتين

بارزتين يمكن أن يجعل منحاهما متوازيين ، من اجل $n = n_0$ ، باختيار مناسب للزاوية φ . وعندما يحدث هذان المنحيان فيا بينها زاوية صغيرة α (يقام بقياسها) يمكن استنتاج قيمة $n - n_0$.



الشكل ٣ - ١٧ .

مقياس الانكسار ذو الموشور الغاطس

ج (يتألف مقياس بسيط لانكسار السوائل ذو ورود ملاس ، كما يشير الى ذلك الشكل ٣ - ١٧ ، من موشور P ، قرينته n_1 ، مغموس في السائل الذي قرينته n . ووجه الدخول منه Σ يحدث مع المحور Δ للنظارة ذات المقياس الدقيق L زاوية يستطيع معها الشعاع اخدي البارز ان يتجه وفق Δ عندما تكون قيمة n

معلومة وقدرها n_0 . وإذا لم يتحقق ذلك فإن المنحني الحدي يتبعد عن مركز المقياس الدقيق بمسافة تقاس ويستنتج منها $n - n_0$. هذا ويمكن استعمال مواشير مختلفة P تقابل قيم n_0 المختلفة .

٨ - ٣ . — القياسات بالغمس المتجانس :

تقضي الطرق السابقة لقياس قرائن انكسار الأجسام الصلبة بإمكان توافر نماذج مصقولة ، منحوتة بشكل مواشير أو تحوي على الاقل وجهاً مصقولاً يستطيع الانطباق تماماً على مؤشر للمقارنة . فإذا لم يتحقق ذلك ، يغمس النموذج E ذو القرينة n في سائل L مؤلف من مركبين L_1 و L_2 ، قابلين للامتزاج بنسب مختلفة بحيث أن القرينة n' للمزيج تستطيع أن تتغير بين حدين يحيطان بـ n . ويغير المزيج الى أن يتحقق الشرط $n' = n$ فيقاس n' . ويراقب تساوي القرينتين n و n' من جراء ان حوضاً متوازي الوجوه يحوي السائل المغموس فيه النموذج يسلك سلوكاً صفيحة متجانسة فيما يتعلق بالأخيلة التي تنقلها أو أيضاً بمراقبة اهداب التداخل التي تستطيع توليدها (انظر الفقرة ٣ - ١٠) .

٩ - ٣ . — قرائن انكسار البلورات :

أ (إن تقدير الفروق بين قرينتي جسم مضاعف الانكسار في اتجاه معين يمكن ان يجري بارسال حزمة مستقطبة خطياً على صفيحة متوازية الوجهين من هذا الجسم ، وتحليل الضوء البارز (انظر الفصل ٧) . والقياس المباشر للقرائن الاساسية بطريقة المؤشر شاقة بصورة عامة ، ولا تختصر الا في حالة البلورات الوحيدة المحور والمواشير المنحوتة بصورة موافقة بالنسبة للمحور الضوئي (٤ ، ١١ - ٣ - ب) .

ب) ان طريقة الانعكاس الكلي بعكس ذلك تطبق بسهولة كافية ، ولكن احد المنحنيين الحديين الملاحظين على الاقل (٤ ، ١١ - ٦) يتوقف على وضع مستوي الورود بالنسبة لمحور البلورة .

ويجب ان لا ننسى بأن شعاعاً منكسراً شاذاً وليكن IR' (الشكل ١١-٥ من الجزء ٤) لا ينطبق بصورة عامة على الناظم IQ' على الموجة المنكسرة : فعلى الزاوية q' التي يصنعها هذا الاخير مع الناظم على السطح الكاسر ينطبق قانون سنيل :

$$\frac{\sin i}{\sin q} = \frac{c}{c'} = n'$$

حيث i هي زاوية الورود ، و c مرعة الضوء في الحلاء ، c' هذه السرعة في البلورة و n' القرينة المقابلة من أجل الموجة المنكسرة الملحوظة . وهذا المنحني IQ' يقع في مستوي الورود ، ولكن IR' لا يقع إلا في حالات خاصة .

وباستعمال مقياس الانكسار ذي نصف الكرة (الفقرة ٣ - ٦ - ب) أو مقياس بولفريخ (الذي يستبدل فيه بالموشور ذي القرينة n_1 أسطوانة دورانية محورها Δ ناظم على الوجه الكاسر Σ) يمكن بسهولة تدوير البلورة وحاملها حول Δ مع بقاء مستوي الورود ، الذي يحوي المحور الضوئي للنظارة المراقبة ، ثابتاً .

في حالة بلورة وحيدة المحور ، يبقى احد المنحنيين الحديين ثابتاً (وهو الذي يقابل القرينة الثابتة n_0) وأما الآخر فيتأرجح بين وضعين نهائيين يقابلان بالترتيب القرينة الشاذة n_v وقيمة v للقرينة محصورة بين n_0 و n_2 وتتوقف على الزاوية التي يصنعها محور البلورة مع السطح الكاسر . ويمكن تفسير هذه النتائج إنطلاقاً من شكل سطوح الموجة وباعتبارات التناظر .

وفي حالة بلورة ثنائية المحور ، يتأرجح المنحنيان الحديان كلاهما بين أوضاع نهائية تقابل القرائن الثلاث الهامة (الكبرى n_g والمتوسطة n_m والصغرى n_p) وكذلك لقيمة رابعة ν محصورة بين n_g و n_p . ويمكن ازالة الغموض الواقع بين n_m و ν باستثناف القياسات على وجه آخر من البلورة (بما يغير ν) . وهذا القياس الثاني مفيد أيضاً لتجنب الخلط مع حالة بلورة وحيدة المحور مع حالة بلورة ثنائية المحور ، يقع وجهها المدرس ناظماً على أحد المحاور الاصلية ؛ إذ انه في هذه الحالة في الواقع يكون احد المنحنيين الحديين غير مقيد باتجاه مستوي الورد .

٣- ١٠ . قياسات الانكسار التداخلية

(أ) ان اهداب التداخل التي تنتج عن تطابق موجتين وحيدتي اللون طول موجتيها λ ، تتوقف كما رأينا في الجزء ٤ على رتبة التداخل $p = \delta/\lambda$ في النقطة المعتبرة ، على فرض δ فرق الطريقتين الضوئيتين اللذين يجتازهما الموجتان اعتباراً من المنبع . و δ نفسها هي جداء طول l بقرينة انكسار n ، بحيث ان فحص ظواهر التداخلات يستطيع أن يقدم وسيلة إما لقياس طول l ما (انظر الجزء ٤ الفصل ١٣) أو لقياس طول موجة (انظر في ما بعد الفصل ٥) أو لقياس قرينة ، وذلك بدقة كبيرة .

عندما يستبدل على طول l في مقياس تداخل ذي حزم مفصولة وسط قرينته n بوسط قرينته n_0 ، فإن الاهداب تنتقل بعدد من الابعاد الهدبية :

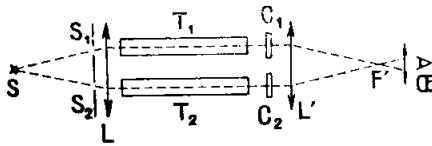
$$p - p_0 = (n - n_0) l / \lambda$$

من أجل $\lambda = 0,6 \mu$ و $l = 12 \text{ cm}$ مثلاً ، يقابل انتقال (محسوس) قدره عشر البعد الهدي ، تغيراً في القرينة $\Delta = 5.10^{-7}$.

والطريقة التداخلية تطبق بصورة خاصة على الغازات التي قرائنها تختلف دوماً اختلافاً قليلاً جداً عن الواحد ، وكذلك على التغيرات الصغيرة لقرائن السوائل ، واستثنائياً لقرائن الجوامد .

(ب) للمواد التي يقارن بينها تبددات متماثلة غالباً او مختلفة قليلاً حالة الغازات ونماذج من جسم واحد عانى تغيرات صغيرة في بنيته أو تركيزه) ، ويمكن اجراء القياسات حينئذ في الضوء الابيض . وتقاد الهدبة المركزية الى مركز الحقل إما بنقل مرآة بصورة موازية لنفسها وبقدر معلوم بحيث تنعكس عليها احدى الحزمتين ، وإما بالتدوير بقدر زاوية معلومة لمكافئ مؤلف من صفيحة متوازية الوجهين تجتاها بصورة مائلة احدى الحزمتين : هاتان الطريقتان العمليتان وصفتا بمناسبة مقياس التداخل لمايكلسون (١٣٠٤ - ٣) .

ويمكن أيضاً استعمال مرآيا جامان (١٣٠٤ - ٢) وايضاً مقياس رايلي



الشكل ٣ - ١٨ .

مقياس الانكسار رايلي

التداخلي (الشكل ٣ - ١٨)

وفي هذا الجهاز ، يعتمد كما في

تجربة يونغ (١٦٠٤ - ١)

الى تداخل أشعة تصدر عن

منبع واحد S ، وتجتاز

شقين S_1 و S_2 ، ثم عدسة

مجمعة L ، ويجري النظر في المستوي المحرق F' للعدسة L' . والانبوبان T_1 و T_2

متماثلان ، أحدهما فارغ (أو مليء بالهواء المعلومة قرينته) والآخر مملوء بالغاز

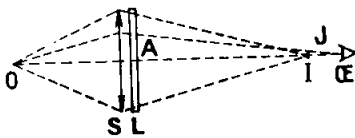
المدرّوس (غاز المناجم مثلاً) وأحد المعدلين C_1 ، C_2 يتروك ثابتاً والآخر يمكن تدويره بزوايا معلومة .

ونستعمل أجهزة مشابهة لدراسة سوائيل مختلفة كالموصول .

٣-١١ . — قياس التحولات الموضعية للقربنة .

(أ) يمكن أن يجري هذا القياس أيضاً بواسطة مقاييس التداخل : فالوسط الذي يرغب في دراسته يجعل بشكل صفيحة مستوية الوجين ومتوازيتهما (أو يغمر في سائل له القربنة المتوسطة نفسها) وتوضع في مقياس للتداخل مثل مقاييس ماينكسون أو بيرو وفابري (٤ ، ١٣ - ٥) ، وفي حالة نماذج صغيرة جداً يستعمل مجهر تداخلي (٤ ، ٢٠ - ١١) . وتظهر تغيرات الطريق الضوئي لثلاث الأشعة بشكل اهداب ، يدل تباعدها ، إذا أمكن قياسه ، على تحولات القربنة المتوسطة (في اجتياز الصفيحة) من شعاع لآخر . فهكذا يمكن تقدير التجانس التام تقريباً لأنواع الزجاج الضوئي ، ودراسة ظواهر الانتشار في السوائيل ، وتوزع الكثافات لغاز ما في معصفة (أي غرفة النفخ) لانبجاث الديناميكا الهوائية .

(ب) هنالك طريقة أخرى مشتقة من طريقة فوكو (٤ ، ٣ - ٦) وتدعى أحياناً طريقة الظلال أو التذيل ترتكز على توضيح انحرافات الأشعة الناشئة عن



الشكل ٣ - ١٩ .
طريقة الظلال

تغيرات القرانين بين نقاط متجاورة

في صفيحة متوازية الوجين L

ونستعمل لهذه الغاية (الشكل ٣-١٩)

جـمـلـة ضوئية S (عدسة أو مرآة)

بمتازة الصفات ، تشكل في I خال نقطة ضوئية O ، وبحجب قرص صغير كثيف هذا الحيال تماماً . فإذا ادخلت الصفيحة L ، تلقت العين الموضوعه خلف I الأشعة المنحرفة قليلاً ، مثل AJ ورأت بعض النقاط مثل A نيرة على قاع مظلم . وباستبدال شبكة مؤلفة من حلقات متمر كزة ، كثيفة وشفافة على التناوب بالحاجز والموضوع في I ، يمكن تقدير الانحرافات وبالتالي تغيرات القرينة المتوسطة .



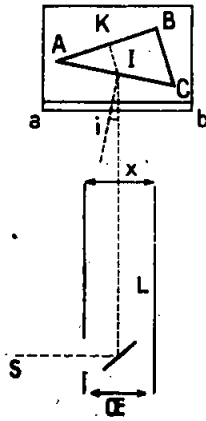
نماذج

٣ - ١ يتألف مقياس للانكسار من :

- حوض K احد جدرانها ab قائم ومؤلف من صفيحة زجاجية ذات وجهين مستويين ومتوازيين .

- مؤشر ABC من زجاج الفلنت ، موضوع في داخل K ؛ حروفه قائمة ووجهه AB مفضل ؛ وزاويته $\hat{A} = 30^\circ$ قد قيست بدقة وكذلك قرينته $n = 1,5585$ بالنسبة الى الشعاع D (الصفراء العائدة للصوديوم) ؛ وهو قابل للدوران حول محور قائم ، ويمكن قياس الزاوية i للناظم في I على وجهه AB مع مستقيم افقي Ix .

- نظارة مجمعة ذاتية L محورها Ix ، البعد المحرقي لجسميتها $f = 200 \text{ mm}$.



الشكل ٣ - أ

- منبع ضوئي S ذي بخار الصوديوم .

١. - يملأ الحوض K بسائل قرينته N بالنسبة الى الشعاع D ، ويوجه المؤشر لتحقيق التجميع الذاتي. وينبغي من اجل ذلك ان تعطى لـ i القيمة $27^\circ, 24', 30''$: احسب N .

٢. - بدون تنزيل المؤشر يستبدل بضوء الصوديوم الشعاع الحمراء C ، التي قرينة المؤشر بالنسبة اليها هي $n' = 1,5549$. احسب القرينة N' للسائل مع العلم بأن خيال المحكمة R للنظارة قد انتقل بمقدار $\varepsilon = 1,22 \text{ mm}$ نحو عين المشاهد .

يؤخذ بعين الاعتبار ان $dn = n' - n$ و $dN = N' - N$ هما صغيران جداً .

٣- ب يستخدم مقياس الانكسار لبولفريخ (الشكل ٣-١٣) ،
الذي تبلغ قرينة انكسار مكعبه P بالنسبة الى طول الموجة المستعملة ، القيمة
 $n_1 = 1,634\ 56$. ويراد قياس القرينة n للبنزين ، المحتوى في حوض ليس له
قعر ، وموضوع فوق الوجه AB .

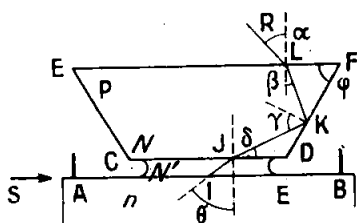
١٠- إذا كانت زاوية البروز α تساوي 38° و 8° ، فاحسب n . ماهو
الرتيب الاعظم d_i الذي يمكن قياس i به لكي يكون الارتفاع الذي
يقابله dn في n ، لا يتجاوز 1.0000 ؟

٢. - اذا قبلنا بأن n تتغير مع درجة الحرارة θ وفقاً للقانون :

$$\frac{n-1}{\rho} = \text{ثابت}$$

بفرض ρ الكتلة الحجمية للبنزين ، وأهملنا تحولات n_1 ، فبأي دقة ينبغي تثبيت θ من أجل عدم تجاوز الارتياح dn الوارد اعلاه ؟
عامل تمدد البنزين ، في شروط التجربة 12×10^{-4} .

٣ - ج من اجل تعيين القرينة n لنموذج من الزجاج E له وجه مستو AB ، بطريقة الزاوية الحدية ، يستخدم موشور المقارنة (او كمرجع) ذو مقطع شبه منحرف P ، زاويته عند القاعدة $\angle B$



الشكل ٣ - ب

$\varphi = 60^\circ$ وقرینته $N=1,760$.

۱. - يفترض أولاً أن القاعدتين CD و EF هما موازيتان لـ AB ؛
ويضع مسائل قريبته N بين AB و CD .

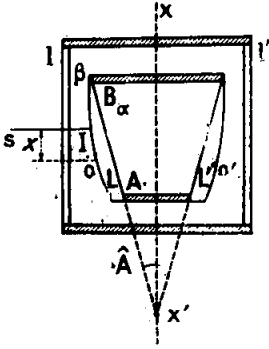
وهناك شعاع حدي يصدره المنبسم S

يتبع المسار SIJKLR المبين في الشكل . اي شرط ينبغي ان تحقق N ؟ اذا كانت زاوية البروز $\alpha = 2^\circ$ ، فاحسب n .

٢. - كيف تتغير α اذا كان CD يؤلف مع AB زاوية قدرها $1' = \epsilon$ ،
بفرض N قريبة من N ؟

٣ - د يتألف مقياس الانكسار ل (فري) من :

- صفيحتين I و I' من النوع ذي الوجهين المتوازيين والشفافين .
- قسمين من عدستين L و L' مستويتين محدبتين متماثلتين ، لهما نصف قطر
- المحنا كبير ، من الزجاج التاجي (كراون) قريته N بالنسبة للضوء المستعمل .



الشكل ٣ - ج

- من حواجز ممتلئة بالتظليل على الشكل .
- ترتب هذه الاشياء كلها بحيث تؤلف حوضين متمازين ، احدهما (α) موشوري وزاويته الصغيرة $2A$ وثانيها (β) يحيط بالأول تماماً . ولهذا الجملة مستوي تناظر π شاقولي يقطع مستوي الشكل (المفروض افقياً) بالمستقيم $x'x$.

الشعاع الضوئي الوارد SI الثابت والعمود على π يقع في مستوي الشكل ، الذي يحوي المركزين البصريين O و O' للعدستين . ويمكن

لجملة الحوضين ان تنزلق انزلاقاً موازياً ل $x'x$ يكون من نتيجته تغير البعد x بين o (او بين o') و SI .

والحوض β مملوء بالماء الذي قريته e ، والحوض α يحوي مادة قريته γ .
'تجرى ثلاث تجارب ، تكون فيها هذه المادة هي على التعاقب : الماء ، ثم الهواء ($\gamma = 1$) ثم سائلاً قريته n بمجولة .

ولكي يكون الشعاع البارز في كل هذه الاحوال على امتداد SI ، ينبغي ان يعطى ل x القيم x_0 ، x_1 ، x_2 . عين n بعد ان تأخذ بعين الاعتبار ان زوايا

الورود والانكسار هي صغيرة . تؤخذ كمتحول مساعد ، الزاوية θ للمستوي في I للعدسة L ، مع الوجه المستوي AB .

٣ - هـ يتلقى مقياس الانكسار لرايلي ضوءاً طول موجته $\lambda = 589 \text{ nm}$. وفي انبويه T_1 و T_2 (الشكل ٣-١٨) اللذين طول الواحد منها $l = 22,0 \text{ cm}$ ، هواء بالضغط النظامي P وبالدرجة $\theta = 15^\circ \text{C}$. يضح هواء T_1 ببطء فيلاحظ انه تمر خمسة اهداب في حقل الملاحظة ، عندما يكون نقصان الضغط Δp معادلاً لتغير ارتفاع قدره $50,0 \text{ cm}$ في ميزان ضغط مائي .

قدر قرينة الانكسار n_0 للهواء ، في الضغط الجوي بالدرجة صفر مئوية . واحسب الارتياب Δn_0 باعتبار ان التسديدات قد اجريت بتقريب قدره ١ من ٢٠ من البعد الهدي .

هـس إبراهيم (اللموشي)

★ ★ ★

متاح للتحميل ضمن مجموعة كبيرة من المطبوعات من صفحة

مكتبتي الخاصة

على موقع ارشيف الانترنت

الرابط

https://archive.org/details/@hassan_ibrahem

الفصل الرابع

كشف الطيف

٤ - ١ . — تعاريف وتصنيف :

أ) نسمي طيف ضوء مركب مجموعة الاخيلة (أو الحزم) المؤلفة من المكونات المختلفة الوحيدة اللون لهذا الضوء ، والتي يمكن ملاحظتها أو استعمالها منفصلة : فكشف الطيف هو ، من وجهة نظر أطوال الموجة ، دراسة مختلف الشعاعات الوحيدة اللون التي يصدرها منبع ما ، أو أيضاً الموصلة أو المنعكسة أو المنتثرة من قبل مادة ما . وسندرس قياس الضوء الطيفي ، الذي يهتم بالتعيين الكمي للتراكيب الطيفية في الفصل الخامس .

ان تحليل الاشعاع الذي يصدره منبع (طيف الاصدار) يمكنه أن يفيد في التعيين الكيماوي لهويات مراكز اصدار الضوء ، أو في تعيين صفات المنبع بغاية استعماله في الاضاءة (الطيف المرئي) أو في التدفئة (خاصة بما تحت الاحمر) أو في الكيمياء العضوية والتطبيقات الحيوية (خاصة بما فوق البنفسجي) وفي التصوير الاشعاعي (بالأشعة السينية) . ومن الممكن أيضاً تحليل الاشعاع الذي يمتصه مادة ما (طيف الامتصاص) بهدف تحديد تركيبه الكيماوي ، وتعيين بنية جزيئاته ، واستعماله كملوّن ، الخ ...

هذا ، وإن كان اصطلاح كاشف الطيف يطلق غالباً على جميع الاجهزة التي تستخدم في هذه الدراسة ، فإن لفظ واسم الطيف يصلح اكثر للأجهزة التي

يكون فيها الطيف مسجلاً (بالتصوير مثلاً) ، واسم مقياس الطيف الأجهزة التي تساعد على قياس مباشر لأطوال الموجة .

(ب) سندرس أولاً كشف الطيف للشعاعات المرئية ، ثم لشعاعات ما فوق البنفسجي وما تحت الأحمر (التي لها مع السابقة كثير من النقاط المشتركة) . وثمة تقنيات خاصة تطبق على كشف طيوف الاشعة السينية والامواج المرئية . ومن أجل هذه الاخيرة . فالاشعاع الذي يصدره المنبع يكون عامة وحيد اللون .

ولكن في الحالات الاخرى ، يكون فصل الشعاعات ذوات اطوال الموجة المختلفة ضرورياً ؛ وتختلف شتى نماذج كواشف الطيف فيما بينها بتركيباتها التي تقوم بهذا الفصل ، وبالمستقبل الذي يسمح برؤية الشعاعات المفصولة هكذا . والجهاز الفاصل الذي يسمح بعزل هذه الشعاعة او تلك (بقصد استعمالها لتجارب في الضوء الواحد اللون يسمى موحد اللون .

(ج) يتغير طول الموجة لشعاعة نواترها ν بتغير الوسط الذي تنتشر فيه . لنفرض λ_0 قيمته في الخلاء ، حيث السرعة هي c ، و λ قيمته في وسط قربنته N بالنسبة للخلاء ، حيث سرعة الطور هي $c/N = \nu$ ، فيكون :

$$\nu = c/\lambda_0 = v/\lambda$$

ومنه :

$$\lambda_0 = N \lambda \quad [١٠٤]$$

واذا كانت القياسات قد اجريت في الهواء ، تحت الضغط الجوي وفي درجة الحرارة العادية كما هو الحال على الغالب ، فإن N (التي تتغير مع التواتر) تكون محصورة بين 27 1,000 و 28 1,000 . وطالما لا يبحث عن انقاص الشك الى ما دون جزء من الف ، فمن الممكن إذاً الباس λ بـ λ_0 .

ونذكر بأن الواحدات المستعملة في تقدير أطوال الموجة ، والتي سبق أن أشرنا إليها في الفقرة ١ - ١ هي حسب الاحوال : الميكررون ($1 \mu = 10^{-6} \text{ m}$) والميلي ميكررون ($1 \text{ m} \mu = 10^9 \text{ m}$) والانغستروم ($1 \text{ A} = 0,1 \text{ m} \mu = 10^{-10} \text{ m}$) . وعدد الموجات في واحدة الطول $\sigma = 1/\lambda$ الذي استعماله ملائم غالباً لأسباب نظرية ، يعبر عنها في غالب الاحيان بـ cm^{-1} ويسمى بعض المؤلفين كيزر kayser ؛ ولكن هذا الاسم للواحدة لم يعترف به رسمياً .

د) يقال عن الطيف انه اكثر نقاوة بقدر ما يمكن أن تميز فيه أضواء مركبة متجاورة . لنفرض λ و $\lambda + d\lambda$ طولي موجة يستطيع كاشف الطيف فصلها ، علماً بأن $d\lambda$ أصغر ما يمكن أن تكون . فالنسبة :

$$R_\lambda = \frac{\lambda}{d\lambda} \quad [٢،٤]$$

تسمى قدرة حل الجهاز لطول الموجة λ .

مثلاً اذا كان بالامكان تمييز خطي مزدوجة الصوديوم تماماً (الفقرة ١٤ - ١٢) اللذين طول موجتهما 589,0 و 589,6 ميلي ميكررون تكون R قريبة من 1 000 .

٤ - ٢ . — فصل الشعاعات . المرشحات :

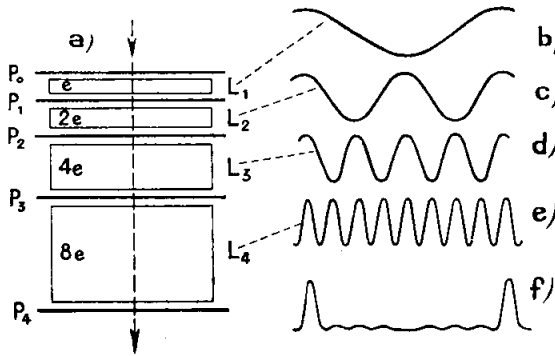
أ) لفصل شعاعات ضوء مركب يستعمل على الغالب التبييد بموشور واحد أو أكثر ، أو بشبكة ، أو بفضل تداخلات صفائح شفافة متوازية الوجهين . وقد استعمل ايضاً (استثنائياً) التبييد بوساطة عدسة ، أو الانعكاس الاصطفاقي لبعض المواد .

والتوصيل الاصطناعي لصفائح من الزجاج أو الجيلاتين الملوثة ، أو لمحاليل مختلفة ، يساعد في بعض الحالات على تحقيق مجموعات (حواجز أو مرشحات) تدعى أحياناً « وحيدة اللون » لا تسمح بالمرور من خلالها إلا لعصابة طيفية محدودة .

والفصل المحقق هكذا يكون عادة غير كامل ، حيث أن التوصيل يتغير تدريجياً في مجال واسع (الى حد ما) من أطوال الموجة ، مع قيمة عظمى يكون أضعف كلما كانت العصابة المنقولة أضيق ؛ ومع ذلك فتستعمل أحياناً مرشحات كموحدات للون بدائية ، مثلاً لتجنب تطابق عدة أطواف في استعمال الشبكات (الفقرة ٤ - ٧ - ب) أو التداخلات (الفقرة ٤ - ٩) .

والمرشحات التداخلية (٤ ، ١٣ - ١٣ و ١٦ - ١٣) ترجع غالباً على المرشحات الماصة حيث يمكن ضبط خواصها حسب المراد بين بعض الحدود .

ب) ومرشحة ليو Lyot الاستقطابية المستعملة خاصة لفحص سطح الشمس في الضوء الوحيد اللون هي اصطناعية بصورة خاصة ، وتتألف (شكل ٤ - ١ - ١) من مجموعة صفائح مقببة ... $P_0 P_1 P_2$ (بولارويد فقرة ١١ - ١٠)



الشكل ٤ - ١ - . - مرشحة استقطابية

مقاطعها الاصلية متوازية ، وقد وضعت فيما بينها صفائح مضاعفة الانكسار

(من السبات أو الكوارتز) $L_1 L_2 L_3 \dots$ أنغانها على الترتيب $e, 2e, 4e \dots$.
وتقع الخطوط المعتدلة لهذه الصفائح ، بميل قدره 45° ، على المقاطع الأصلية
لـ $P_0, P_1, P_2 \dots$. فإذا كانت e كبيرة بقدر كاف ، ونورت الجملة P_0, L_1, P_1
ناظماً بالضوء الأبيض ، فإنها تسمح بأن يجتازها ضوء ذو طيف مخطط (٤ ،
١٤ - ٦) ، أطوال موجاته الموصلة نحقق في حدها الاعظم الشرط :

$$e (n_e - n_0) = k \lambda \quad (k \text{ عدد صحيح})$$

n_e و n_0 هما القريبتان العادية والشاذة في الصفيحة الثنائية الانكسار . ولتخن
مضاعف تكون الخطوط أكثر رصاً بمرتين ، وهكذا على التوالي . فمثلاً إذا كان
ثمة ٤ صفائح والاخيرة سمكها $8e$ فالأطياف النافذة من كل واحدة منها والطيف
الناتج من تطابقها تبدو على التوالي كما تشير الى ذلك الاشكال ٤-١ b, c, d, e, f
وفي المجموع يحدد العنصر الأرق الفرق بين الخطوط الباقية والعنصر الاسمك
يحدد ضيقها . وبتدوير P_0 بقدر 90° في مستويها ، يستبدل بالخطوط اللامعة
الخطوط المظلمة من الجملة $P_0 L_1 P_1$ مما يؤدي الى تحريك العصابات المنقولة
بالمجموعة بنحو نصف الفرق الذي يفصل بينها .

ومن الممكن انقاص العصابة السابقة الى أقل من نصف الانغستروم (بنحو
١٠ صفائح من الكوارتز أنغانها قريبة من 1,2,...,500 mm . ويكتفى غالباً بـ ٧
او ٨ صفائح) . وبتغير طول موجتها المتوسط λ_1 مع درجة الحرارة θ (بنحو
 $0,7 \text{ \AA}$ لكل درجة من أجل $\lambda_1 \approx 6000 \text{ \AA}$) ؛ فتثبت بواسطة مثبت للحرارة ،
ويمكن بالتأثير في θ ، وبالأخذ بعين الاعتبار لوجود عدة عصابات نافذة ،
وحسب الرغبة ، فصل هذا المكون او ذاك ، لطيف الخطوط .

ج (في طريقة الغمس المتجانس) (فقرة ٣-٨) لا يتحقق تساوي القرينة
بين الجسم المغموس والسائل الذي يحيط به بصورة عامة إلا من أجل طول موجة
واحدة حيث انه ليس لجسمين قانون تبديد واحد . ومرشحات كريستالين

(فقرة ٩-١٣- أ) تتألف من مسحوق شفاف مغمور في سائل ، له في الدرجة θ نفس قرينة المسحوق للشعاع λ : هذه الشعاع تمر دون انحراف في حين أن الشعاعات الاخرى تنحرف انحرافات متفاوتة الشدة . فيمكن هكذا عزل عصابة ضيقة جداً (متغيرة مع تركيب السائل ومع درجة الحرارة) .

(د) اخيراً ، عندما تسقط حزمة متوازية مركبة على السطح الفاصل بين وسطين شفافين ، يحدث من اجل قيمة مناسبة لزاوية الورود انعكاس كلي (١٠-١٤٤)

للشعاعات ذوات اطوال الموجة الدنيا أو العليا بالنسبة لقيمة λ حسب ما تكون القرينة النسبية $n_{1/2}$ (المفروضة اصغر من الواحد) تزداد او تنقص بدلالة λ ؛ ومنه طريقة للفصل تستعمل أحياناً .

٤ - ٣ - استقبال الشعاعات المختلفة

(أ) إن مستقبل كاشف الطيف أو مصور الطيف للشعاعات المرئية ، أو ما فوق البنفسجية أو ما تحت الاحمر ، هو حسب الحالة : العين ، أو الطبقة الحساسة من آلة التصوير ، أو خلية كهروضوئية أو جهاز قياس حراري صغير طلي بالسناج . وسنعود في الفصل الخامس الى الميزات المقارنة لهذه المستقبلات المختلفة .

ونذكر بأن مجال حساسية العين يمتد من نحو 400 الى 750 m μ ، حيث أن الحدود الدنيا لا يمكن بلوغها على الغالب بسبب النقص النسبي للمنباع الضوئية المألوفة بالشعاعات ذوات الموجة القصيرة (عندما تكون قابلة للمقارنة بالاجسام السوداء ، راجع الجزء ٢ الفقرة ٢٠ - ٧) . ومن جهة اخرى لا تفصل العين خيالين قريبين ، دقيقين بالافتراض ، ومضيئين اضاءة كافية ، مالم يكن البعد الزاوي بينها من رتبة الدقيقة (١٧٤٤ - ١٠) .

(ب) ان الطبقات الحساسة للوحات التصوير تسمح بتسجيل طيف كامل ، يدرس على مهل بعد الاظهار والتثبيت ، وذلك خلال زمن قصير جداً أحياناً

(ظواهر خاطفة أو متحولة كالانفجارات والبروق والهب) . وهي تساعد ، بتأمين زمن تعريض كاف ، على دراسة أطيف قليلة الشدة كإطيف النجوم . وبحال استعمالها ، الذي يمتد من 200 الى 700 mμ تقريباً من أجل الطبقات الدارجة الحساسة لجميع الألوان ما عدا الأحمر ، يمكن ان تصل الى 1μ وحتى الى 1,4μ بتحسيس خاص ، وأن تبلغ من جهة أخرى ما فوق البنفسجي البعيد من أجل الطبقات المعدومة الجلاتين (الفقرة ٤-١٢-ج) .

يتوقف فصل الأخيلة المتجاورة على حبيبات الرسم بعد الاظهار (١٨،٤) - ٥) ، ويمكن تحديدها بنحو 30μ من أجل الطبقات الحساسة السريعة ، وبنحو 10 الى 15μ من أجل الطبقات العادية ، ولبضع الميكرونات فقط من أجل الطبقات الحساسة الخاصة جداً .

(ج) ان المستقبلات الكهروضوئية ، التي يزداد استعمالها أكثر فأكثر ، يمكن ان تكون خلايا اصدار ضوئية عادية (٦ ، ١٦ - ٢٤) أو أفضل من ذلك مضاعفات ضوئية ذات حساسية كبيرة (٦ ، ١٦ - ٢٥) . وتستوجب ابعادها بصورة عامة وضعها خلف شقوق تعزل في الطيف الشعاعات التي تطلب دراستها (أو خلف جهاز آخر موحد للألوان) .

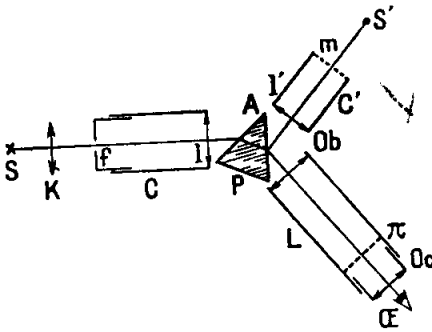
والمهابط ذات أنتموات السيزيوم تناسب أطوال الموجات الأدنى من 650 mμ ، ومهابط السيزيوم فوق الفضة المؤكسدة تستخدم حتى 1,1μ . ومن أجل ما تحت الأحمر الأبعد يلجأ الى صمامات ثنائية ضوئية (١٩ - ٢١،٦) من الجرمانيوم أو الى خلايا ناقلة ضوئية من كبريت او تلور الرصاص (١٧-١٩،٦) .

(د) المستقبلات الحرارية (انظر الفقرة ٥-١٨) هي على الغالب اعمدة حرارية ، او محرات طيفية (بولومتر) ، أو ايضاً مقاييس درجة الحرارة الضغطية (نموذج غولي Golay) . وينبغي ضمها كالسابقة الى موحد للألوان . ولها الميزة التالية التي سنعود اليها فيما بعد ، وهي انها ليست « اصطفاية » بمعنى ان استجابتها

تحدد فقط باستطاعة الاشعاع الممتص ، مهما كان طول موجته . ولكنها غالباً ما تكون اقل حساسية من مستقبل اصطناعي اختير جيداً بما يحدد استعمالها في كشف الطيف بدراسة ما تحت الاحمر البعيد ، الذي لا تصلح له لا الطبقات الحساسة التصويرية ولا الخلايا الكهروضوئية .

٤ - ٤ - مبدأ كواشف الطيف زوايا المواشير . التبريد والحل .

يبين الشكل ٤-٢ ، تخطيطياً ، مطيافاً ابصارياً ، مجهزاً بموشور . وأجزاؤه



الشكل ٤-٢ .

الاساسية هي : مجمعة C ، وموشور مبدد P ، ونظارة L ؛ ويقع المحوران الضوئيان لكل من C و L في مستوي مقطع أصلي واحد من P . فالجهاز يذكرنا اذا باحدى التركيبات المستخدمة في قياسات قرائن الانكسار

(انظر الفقرة ٣-٤ - ب) كاشف الطيف ذو الموشور . التخطيط المبسط للمبدأ إنما ليس له دائرة مدرجة .

أ (تتألف المجموعة من شق f يوازي حرف الموشور (ناظم على مستوي الشكل) وعدسة لالونية l موضوعة بحيث أن منتصف f يقع في محورها الجسمي . والاشعاع الذي يطلب تحليله ينور الشق f ، الذي يركز عليه عند الضرورة بكثافة K ذات عدسة أو ذات مرآة . والاشعة الصادرة من مختلف نقاط f والتي

أصبحت متوازية باجتيازها العدسة I ، تسقط على وجه الدخول من P ضمن ورود يقابل الانحراف الاصغر (الجزء ٤ ، ٥ - ٧) من أجل منتصف الطيف المرئي (مثلاً) .

ب) بعد اجتياز P ، نحصل من أجل كل نقطة جسمية على عدد من الحزم المتوازية المختلفة المنحى بقدر ما يوجد من شعاعات بسيطة في الاشعاع الوارد ، ويكون الانحراف الزاوي اكبر كلما كان طول الموجة اصغر .

والجسمية اللاونية Ob للنظارة ، والناظمية على منحى الاشعة المتوسطة ، تجعل كلاً من هذه الحزم تتقارب في نقطة متميزة من مستوي المحرق Π . فيتشكل إذن على Π عدد من الاخيلة الحقيقية للشق f بقدر عدد الشعاعات الوحيدة اللون . ومجموع هذه الاخيلة هو طيف الضوء المدروس ، ويمكن ان يكون مؤلفاً من خطوط متميزة ، أو من عصابات متفاوتة في العرض كما يمكن أن يكون متصلًا في مجال واسع .

والعينية Oc تسمح للعين E بفحص هذا الطيف المكبر .

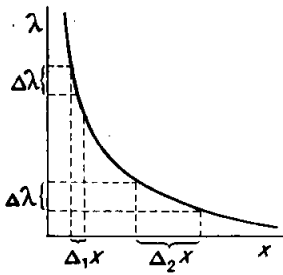
وبجذف Oc ووضع صفيحة أو شريط تصوير في Π (وهذا ما يؤول الى استبدال آلة التصوير بالنظارة) يحوّل كاشف الطيف الى مصور للطيف . ويصبح الجهاز موحداً للون اذا استبدل بصفيحة الحالة السابقة حاجز كثيف مثقوب بشق يحكم في وضعية مناسبة .

ج) اذا وضعنا في المستوي Π مقياس الابعاد الدقيقة ، وهو نوع من مسطرة صغيرة مدرجة بخطوط سوداء فوق قاع شفاف ، نهأت لدينا خطوط استدلال أو مقارنة تحدد المواضع النسبية لخطوط الطيف (لأن هذه موجهة بصورة موازية لخطوط الطيف) .

هذا ويرجح في بعض الآلات المستخدمة في التعليم استعمال مقياس دقيق

ذي خطوط شفافة متساوية الابعاد على قاع عاتم m (الشكل ٤ - ٢) منور بنبع مساعد S' وموضوع في المستوي المحرقى لعدسة l' ؛ ومجموعة m و l' تؤلف مجمعة ذات مقياس دقيق C' ، يشكل ضوؤها في المستوي Π خيالا حقيقيا لـ m ، بعد انعكاسه على وجه البروز من المؤشور واجتيازه الجسمية Ob .

ليكن x قسم المقياس الدقيق المقابل لطول الموجة λ ، فالمنحني $\lambda = f(x)$ يمكن استنتاجه من القيم المقيسة x_3, x_2, x_1, \dots التي تقابل اطوال موجات معلومة



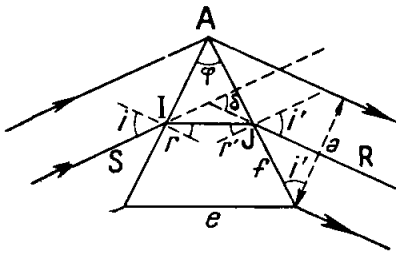
$\lambda_1, \lambda_2, \lambda_3, \dots$ وهو يشبه جزءاً من قطع زائد متساوي الفرعين (الشكل ٤ - ٣) مما يدل على أن الخطوط المقابلة لتغير واحد طول الموجة $\Delta \lambda$ تكون اكثر تباعداً بقدر ما تكون λ أصغر .

الشكل ٤ - ٣ . - منحنى معايرة كاشف الطيف ذي المؤشور

هذا ويختار لتكوين المؤشور مادة ذات قوة تبديد كبيرة بقدر الامكان . فدراسة

تكوين الطيف 'تدخل في الواقع' كما سنرى ذلك ، من اجل كل قيمة من قيم λ ، تبعد مادة المؤشور التي تعرف كنتائج القسمة $\frac{dn}{d\lambda}$ على فرض dn تغير القرينة

المقابل لتغير صغير جداً من طول الموجة .



الشكل ٤ - ٤ - حساب الانحراف ، والتبديد ، وقوة الحل لمؤشور

لتكن φ الزاوية الثنائية للمؤشور . فالانحراف δ لشعاع AI يقع في مستوي مقطع أصلي بحسب باستعمال تأثيرات الشكل ٤ - ٤ ، كما رأينا ذلك في الفقرة ٥ - ٦ من الجزء ٤ . فمن المعلوم أنه يكون لدينا :

$$\left. \begin{aligned} \sin i &= n \sin r \\ \sin i' &= n \sin r' \\ r + r' &= \varphi \\ \delta &= i + i' - \varphi \end{aligned} \right\} \quad [٣،٤]$$

وتستنتج منها بالتفاضل ، بين المتحولات ، التي تفرض صغيرة جداً ، والتي تقابل r' و r و n و i' و i و φ ثابتان (العلاقات :

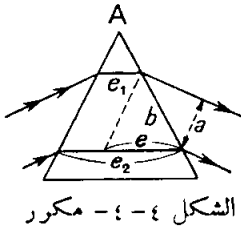
$$\left. \begin{aligned} 0 &= n \cos r \, dr + \sin r \, dn \\ \cos i' \, di' &= n \cos r' \, dr' + \sin r' \, dn \\ dr + dr' &= 0 \\ d\delta &= di' \end{aligned} \right\} \quad [٤،٤]$$

ومنها بحذف ، di' و dr' ، ثم dr :

$$\begin{aligned} \cos i' \, d\delta &= -n \cos r' \, dr + \sin r' \, dn \\ &= \cos r' \frac{\sin r}{\cos r} \, dn + \sin r' \, dn \\ &= \frac{\sin \varphi}{\cos r} \, dn \end{aligned}$$

ومنه :

$$\frac{d\delta}{d\lambda} = \frac{\sin \varphi}{\cos r \cos i'} \frac{dn}{d\lambda} \quad [٥،٤]$$



لنفرض a عرض الحزمة (في مستوي الشكل) التي اجتازت الموشور ، و b العرض المفيد من وجه البروز و e السمك الاعظم المجتاز عند قاعدة الموشور (نفرض حرف هذا الاخير قد بلغته

(١١) الحزمة الواردة

$$a = b \cos i'$$

فن

$$\frac{e}{\sin \varphi} = \frac{b}{\cos r}$$

و

تستنتج ان العلاقة [٥،٤] يمكن كتابتها :

$$\frac{d\delta}{d\lambda} = \frac{e}{a} \frac{dn}{d\lambda} \quad [٦،٤]$$

وسيجد القارئ في الجزء ٤ (الفقرة ٢٢-١ ، والجدول ١ - ٤) معطيات تتعلق بالقرائن والتبدلات لمختلف المواد الشفافة . وسنرى (الفقرة ٩ - ١) أنه عندما نجعل λ تتغير فإن التبدد يزداد بالقرب من مناطق الامتصاص . فلأنواع الفلنت الثقيل مثلاً تبديد اكبر في المرئي ولكنها تمتص (بصورة مزعجة للاستعمالات الطيفية) ، الاشعاعات البنفسجية (ومنه لونها المصفر) وعلى الاخص شعاعات ما فوق البنفسجي .

(د) ان فصل اطوال الموجات المتجاورة جداً غير ممكن الا اذا كانت الخطوط المقابلة لها لا يغطي بعضها بعضاً جزئياً ، مما يفرض في حالة تبديد معين ، حداً أعلى لعرض الشق f (راجع الفقرة ٤ - ١١ - أ) . ولكن الطيف يكون أقل ضياءً كلما كان هذا الشق اكثر ضيقاً . ومن المناسب ، من ناحية اخرى ، في مطياف ابصاري اعطاء النظارة L تجسيماً (٢١٤،٢ - ٢) قوياً بقدر كاف كجا يتجاوز الفرق بين خطين يسعى في تمييزهما ، حد الفصل للعين (١٧٤،١٠ - ١٠) . واذا كان الامر يتعلق برامم للطيف وجب اعطاء جسيمته طولاً محرقياً كافياً بحيث ان الفرق بين هذين الخطين يتجاوز حد الفصل للطبقة الحساسة .

(١) اذا لم يكن الامر كذلك ، ينبغي عند استعمال تأسيورات الشكل ٤-٤-٤-٤ مكرر

فرض $e = e_0 - e_1$.

ولكن ، حتى ولو كان التبديد والتكبير مرتفعين ارتفاعاً كافياً ، فإن ظواهر الانعراج تتدخل لتحديد قوة حل الموشور كما سنرى ذلك . وسنفرض تأثير الزبوغ المتبقية ، وكذلك تأثير عيوب صنع القطع البصرية مهمة ، كما هو الحال في الآلات البصرية الجيدة .

وتقابل كل نقطة من شق المجموعة في المستوي π ، لطول الموجة λ ، بقعة ايري (١٥،٥ - ٩) يرى نصف قطرها من المركز البصري للجسمية ضمن زاوية قريبة من $\frac{\lambda}{a}$ ، حيث a هو عرض الحزمة التي تبرز من الموشور . وإذا قبلنا بأن الشرط لإمكان تمييز خطين متجاورين هو أن يكون الفرق الزاوي θ المقابل مساوياً على الأقل لهذه القيمة $\frac{\lambda}{a}$ ، فيجب أن نحصل بموجب العلاقة [٦،٤] على :

$$\frac{e}{a} \frac{dn}{d\lambda} d\lambda \geq \frac{\lambda}{a}$$

ومنه قيمة قوة الحل :

$$R = \frac{\lambda}{d\lambda} = e \frac{dn}{d\lambda} \quad [٧،٤] \quad (\text{صيغة اللورد رايلي})$$

وإذا تغيرت n وفق القانون التقريبي (انظر الفقرة ٩-٢) $n = A + B/\lambda^2$ على فرض A و B ثابتين فإن $\frac{dn}{d\lambda}$ يتحول مثل $\frac{1}{\lambda^3}$: فقوة الحل هي سبع مرات أكبر في البنفسجي المتطرف ($0,4 \mu$) مما هي عليه في الأحمر المتطرف ($0,75 \mu$) .

في حالة فلنت عادي ، سمكه عند القاعدة $e = 4 \text{ cm}$ ، ومن أجل $\lambda = 0,5 \mu$

تقدر R بنحو 6000 ؛ وباستعمال عدد من المواشير الموضوعة خلف بعضها بعضاً
أمكن تجاوز $R = 50\ 000$ في الأزرق .

٤-٥ . - اختيار عناصر طائف الطيف ذي الموشور .

أ) للمواشير أبعاد عرضية من رتبة بضعة سنتيمترات (وقلما تتجاوز ١٥ سم) وزاوية ثنائية قريبة من 60° . وعدسات الجمعية وبستبدل بها أحياناً مرآة مقعرة كروية (استثنائياً مكافئة) مفضضة او مطلية بالالمنيوم وتمتاز بكونها لالونية تماماً . ولكن هذا الحل يعتمد خاصة عندما ينبغي استخدام الجهاز خارج الطيف المرئي (انظر الفقرة ٤-١٢ و ٤-١٤) . وتعطى هذه القطع الضوئية أطوالاً محترقة واقطاراً كافية للإفادة على أحسن وجه من حل الموشور ، بما يؤدي بالنسبة لمجموعة كاشف الطيف الى ابعاد من رتبة ٦٠ الى ٨٠ سم في حالة الأجهزة الدارجة . ولكن كواشف الطيف الفلكية (الفقرة ١٧-٨) قد تكون اكبر كثيراً ، وبعض كواشف الطيف الصغيرة (الجيبية) لايتجاوز طولها ١٠ الى ١٥ سم : وعند تساوي التدفق ، تتغير استنارة الاخيلة المتشكلة بالجسمية كعقلوب مربع طولها المحرقى .

ب) ينبغي أن يكون الموشور متجانساً تماماً ودون انكسار مضاعف والجدول ٤ - ١ يدل على المواد الاكثر استعمالاً : ففي حالة الطيف المرئي ، يستعمل دوماً تقريباً فلنت كثيف ، مبددٌ بقدر ما يسمح بتحديد الشفافية المقبول من ناحية البنفسجي . ففي حالة موشور من الفلنت زاويته 60° منضم الى جسمية من ٣٠ سم يكون امتداد الطيف بين الخطين F و C من رتبة السنتيمتر . واستعمال السيليس المصهور أو بلورات مختلفة سيبحث في الفقرتين ٤ - ١٢ و ٤ - ١٤ . والبلورات المستعملة تنتمي الى زمرة المكعب وهي بالتالي متماثلة

الجدول ٤ - ١			
المواد المستعملة في صنع المواشير لمناظير الطيف			
ملاحظات	مجال الاستعمال (التقريبي)	N _D	طبيعة المادة
شديد التبديد يمتص ما فوق البنفسجي القريب تبدد في الطيف المرئي أضعف مما هو عليه للفلنت عصابة امتصاص حتى 2.9 μ.	من 0,3 إلى 3 μ	1,57	فلنت خفيف
	من 0,4 إلى 2,5 μ	1,65	فلنت كثيف
	من 0,185 إلى 3,5 μ	1,458	المصهور SiO ₂
تبدد ضعيف بين 0,5 و 8 μ. ماص للرطوبة	من 0,2 إلى 15 μ (7 إلى 15 μ)	1,544	ملح النجم (NaCl)
	من 14 إلى 8 μ	1,434	(فليورين) CaF ₂
	من تحت الأحمر حتى 6 μ	1,394	LiF
	23	1,490	(سيلفين) KCl
	من 15 إلى 27 μ	1,559	KBr
	40 μ - 28	1,698	CsBr
شديد التبديد	50 μ - 20	1,788	CsI
	35 μ - 20	2,617	TlBr
	من 0,22 إلى 5,8 μ	1,629	كبريت الفحم
	(مع عصابات امتصاص في نحو: 4 μ و 0,32 μ)	1,560	سينمات الأنيل

المناحي ضوئياً (٤ ، ١١ - ١) باستثناء الكوارتز الذي خواصه الضوئية تتطلب احتياطات في الاستعمال سنشير إليها في الفقرة ١٢ - ٤ ب .

وبلجاً أحياناً الى مواشير سائلة (كبريت الفحم ، أو تفضل سينمات الانيل ، التي لا تلتهب مثل CS₂) نحوها احواض رقيقة الجوانب ، من الزجاج عامة . وهي ممتاز بأنها أشد تبديداً من السيليكات ، ولكن تغيرات قرائنها ونجاساتها عندما تتغير درجة الحرارة θ هي أيضاً اشد وضوحاً ، مما يضطر معه الى الحفاظ بالدرجة θ ثابتة بتقريب قدره ٠,٠١° مثلاً (بدلاً عن ٠,١° في حالة الزجاج) وهو شرط يصعب تحقيقه في حالات مدات التعريض الطويلة الامد .

ج (ينبغي ان يكون الشق ذا حرفين متوازيين تماماً ، وقد يتغير عرضه من ١ مم الى ٠,٠١ مم تقريباً حسب ما يحتاج من تآلق كبير (ثقب عريض)

او من صفاء كبير (شق دقيق) ، ولكن ليس ثمة فائدة من جعل الزاوية ، التي يُرى صمها من مركز العدسة المجمعة ، أدنى من الحد $\frac{\lambda}{a}$ الذي يدخل في الدراسة التي قمنا بها في الفقرة ٤-٣-د . وحافتا الشق الحادتا المقطع سريعتا العطب . ويوضع أحياناً موشور صغير كلي الانعكاس ، وقابل للنقل والعزل ، فوق جزء من ارتفاع الشق ، مما يسمح عند اثاره جزئية بواسطة منبعين مختلفين من مراقبة طيفها ، احدهما فوق الآخر .

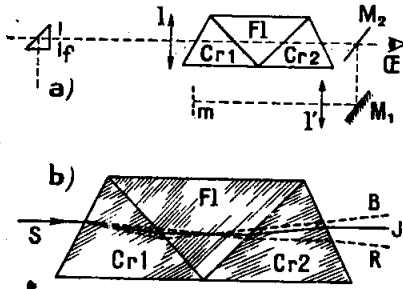
٤-٦ . — كواشف الطيف زوايا الرؤية المباشرة ، والانحراف الثابت ، والفسرير الذاتي .

يمثل الشكل ٤-٥ نموذجاً صغيراً لكاشف الطيف ذي الرؤية المباشرة . وهو يتألف من موشور من الفلنت Fl ، ألصق به موشوران متماثلان من الكراون Cr_1 و Cr_2 ، وحروف هذه المواشير متوازية ، واتجاهاتها وزواياها الثنائية اختيرت بحيث ينعدم الانحراف بالنسبة لشعاع من وسط الطيف . وتدعى المجموعة موشور أميسي Amici . ولما كان حصر الفلنت والكراون متباينين فتبديدهما لا يتعادلان^(١) (الشكل ٤-٥-ب) : وتأثير الفلنت هو المسيطر .

وفي النموذج الممثل على الشكل ٤-٥-ا حذفت النظارة : وبما ان الشق f يقع في محرق العدسة r ، فالعين السليمة أو المصححة ترى في اللانهاية أخيلة f

(١) ان حساب موشور أميسي المبدد وذي الانحراف المتوسط المعدوم ، يطرح قضية تذكر بمسألة حساب موشور لالوني (٤-٨-٢) ، ويجب أن يؤمن بالانعكاس انحرافاً دون تبديد .

التي يؤديها الموشور : فيشكل الطيف على الشبكية . و خيال المقياس الدقيق m ،

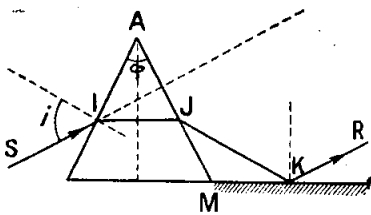


الشكل ٤ - ٥ .

أ) كاشف الطيف ذو الرؤية المباشرة

ب) اجتياز موشور أميسي بأشعة زرقاء B وصفرى J وحمراء R .

هذه الآلة تساعد على القيام بقياسات سريعة غير متقنة ، ولكن يمكن أيضاً استعمال موشور ذي رؤية مباشرة في كاشف طيف أكثر دقة وذو أبعاد أقل صغراً ومجهز بنظارة . وهذا النموذج من الموشور مستعمل جداً للتجارب بالاسقاط .



الشكل ٤ - ٦ .

تركيبة ذات انحراف ثابت

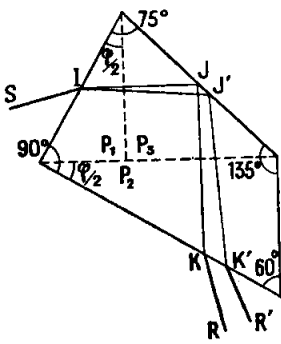
ب) لاقتياد شعاعين معينتين ، على التوالي ، الى منتصف حقل المراقبة ، مع مراعاة شرط الانحراف الاصغر ، ينبغي ، في حالة الشكل ٤-٢ ، تدوير الجمعية والنظارة في جهتين معاكستين بالنسبة للموشور الذي يفرض ساكناً . والأيسرهو استعمال تركيبة ذات انحراف ثابت

تحتوي سطحاً عاكساً M يوازي حرف الموشور كالسطح الذي يمثله تخطيطاً

الشكل ٤ - ٦ مثلاً، حيث المرآة M ناظمية على المستوي المنصف للثنائية الكامرة. لنلاحظ شعاعاً، طول موجته λ ، يجتاز الموشور، وهو في وضع الانحراف الاصغر، وفق SIJK، مما يفرض بين زاوية الورود i وزاوية الموشور φ وقرينة انكسار هذا الأخير n بالنسبة للشعاعة λ العلاقة :

$$\sin i = n \sin \varphi/2 \quad [٨،٤]$$

ليكن KR منحى هذا الشعاع بعد انعكاسه على M : فكل الشعاعين SI و KR مناظران لـ JK بالنسبة لمنحنيين ناظمين على M، والشعاع البارز يوازي إذا الشعاع الوارد (الانحراف الزاوي معدوم) من أجل الشعاعة λ . وإذا جعلنا i تتحول، أي إذا جعلنا مجموعة الموشور والمرآة تدور حول محور موازي للحرف A (مع بقاء المجموعة والنظارة ثابتين) تغير طول الموجة الذي من أجله يتحقق الشرط [٨،٤].



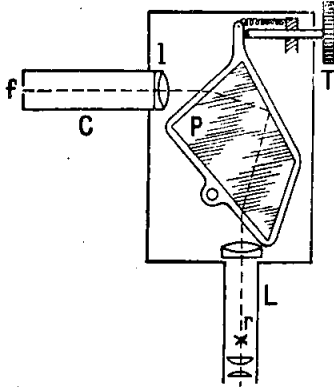
الشكل ٤ - ٧ .

موشور بروكا - بلان

وموشور بروكا - بلان Broca-Pellin يعادل مجموعة موشورين كاسرين P_1 و P_2 ، زاويتاهما واحدة $\frac{\varphi}{2}$ ، ومن موشور قائم متساوي الساقين، وكلي الانعكاس P_3 . وحروف هذه المواشير الثلاثة متوازية، و P_1 و P_2 ملصوقان بوجهي الدخول والبروز للموشور B_3 ، او بصورة أبسط منحوتان في نفس الكتلة، وموجهان كما يدل على ذلك الشكل ٤-٧. ومن أجل $\varphi/2 = 30^\circ$ ، وهي قيمة عادية، يكون للثنائيات P القيم المدرجة على هذا الشكل.

عندما يتوفر الشرط [٨،٤] تتسكفا الانحرافات عند الدخول في I والخروج من J تماماً ، ويبقى الانحراف الناتج عن الانعكاس في K وهو $\frac{\pi}{2}$. ومن أجل ضوء طول موجته أقصر : ينحرف الشعاع SI وفق $I'K'R'$ ، ويمكن إعادته وفق KR بتدوير الموشور .

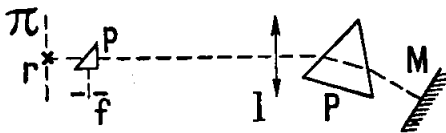
يمثل الشكل ٤ - ٨ كاشف الطيف ذا الموشور P ، لـ بروكا - بلان ، حيث دوران الموشور فيه ، يقوده دوران طبل T ، يحمل تدريجياً يتحرك أمام دليل . ونحوي النظارة شبكية r ؛ وطول الموجة للخط الذي يتشكل عند



الشكل ٤ - ٨ .

كاشف الطيف دور الموشور لـ بروكا - بلان

حيث تلعب العدسة p في آن واحد دور المجوعة بالنسبة للضوء الصادر عن الشق f والمنعكس بالموشور الصغير الكلي الانعكاس p ، ودور جسمية تجمع في



الشكل ٤ - ٩ .

مبدأ كواشف الطيف الذاتية التجميع

تصاب خطي r يقرأ على التدريج ، بشك قد يتراوح من بضعة أعشار الميلي ميكرون (في الأزرق) إلى بضعة الميلي ميكرون (في الأحمر) . وهذا النوع من الاجهزة حل محل الآلات ذات الميكرومتر .

ج) يمكن ضم موشور P

لتوكبية ذاتية التجميع (٧،٤-١٠)

كما يدل على ذلك الشكل ٩ - ٤ :

مستويها المحرق π حزم الاشعة

المبددة بالموشور P ، والمنعكسة

بالمرآة المستوية M (الناظمية تقريباً

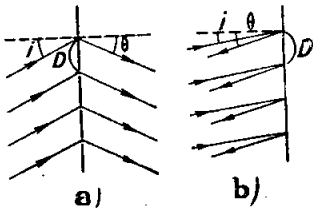
على الاشعة الوسطى) والتي اجتازت

مجدداً P ، بما يضاعف التبديد .

ولكي لا تتوقف الاشعة المتجهة نحو π فإن الموشور p يقع في الحقيقة فوق مستوي الشكل قليلاً ، ويتشكل الطيف اخفض قليلاً ، حيث أن المرآة M جعلت لهذه الغاية مائلة قليلاً . فإذا دورت هذه المرآة (والموشور عند الاقتضاء) حول محور يوازي حرف الموشور ، أمكن استعراض خطوط الطيف المختلفة فوق تصالب خطي محكمة موضوعة في r . وتعرف هذه التركيبة باسم ليتروف Littrov ، وهي تقابل انحرافاً ثابتاً يساوي π . ويمكن زيادة التبديد وقوة الحل باجتياز عدة مواشير كما هو الحال في كواشف الطيف العادية .

٤ - ٧ . مبراً كواشف الطيف زوايا الشبكة

(١) نسمي في بحث الضوء شبكة سطحاً نفرضه في بداية الامر مستوياً ، وتكرر عليه ألوف الاخاديد المتائلة والمتوازية على بعد ثابت تماماً يسمى الخطوة ، وهو من رتبة الميكرون . وهذه الخطوط تحدد أشرطة ضيقة ، شفافة أو عاكسة ، تنور بحزمة متوازية (الشكل ٤ - ١٠) . وتتداخل مختلف الحزم المنعرجة (٤ ، من ١٦ - ٤ إلى ١٦ - ٦) بحيث أن الضوء المنقول أو المنعكس يستقر عملياً في مناحي (محددة بزوايتها θ مع الناظم على الشبكة) تحقق الشرط :



$$\sin i + \sin \theta = k \frac{\lambda}{D} \quad [٩٤٤]$$

حيث i هي زاوية الورود ، و k عدد صحيح صغير ، موجب أو سالب ، λ طول موجة الضوء و D خطوة الشبكة . وفي الصيغة [٩٤٤] يجب عد الزاويتين i و θ موجبتين في جهة واحدة من الناظم .

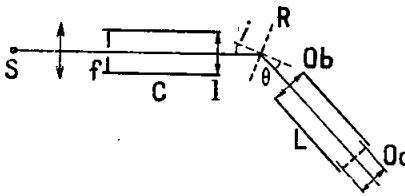
الشكل ٤ - ١٠ .
شبكة مستوية تستعمل
أ - بالنفوذ .
ب - بالانعكاس .

إذا كان الضوء مركباً ، فمجموع الحزم المقابلة لقيمة واحدة من قيم k يمكنها أن تكون في المستوي المحرقى لعدسة أو مرآة طيفاً يدعى من المرتبة k .
والشرط $k = 0$ يقود إلى $i = -\theta$ وتقابله الحزمة النافذة أو المنعكسة نظامياً .
وقيم k الوحيدة المقبولة هي القيم التي من أجلها $\sin \theta$ محصور بين -1
و $+1$ ، مثلاً من أجل $i = 0$ يجب أن يكون لدينا :

$$|k| < D/\lambda \quad [١٠،٤]$$

بما يبين أنه يجب أن يتوافق اختيار الخطوة D مع مجال اطوال الموجة التي يرغب في دراستها : وتستعمل شبكات مؤلفة من نحو ٥٠٠ خط في المليمتر ($D \approx 2\mu$) من أجل الضوء المرئي ، وأكثر رصاً من أجل ما فوق البنفسجي وأكثر تباعداً من أجل ما تحت الأحمر . وسنرى أن الشبكات تصلح حتى من أجل قيم مناسبة من قيم D (وقيم i) لدراسة أشعة X والموجات المترتبة .

(ب) لتأليف كاشف للطيف ، تضم للشبكة المستوية مجموعة C ونظارة L



(الشكل ٤ - ١١) أو جهاز تصوير
كما في الآلات ذوات الموشور .

لنفرض f الطول المحرقى للجسمية
Ob ، فمن أجل $i = 0$ ، وإذا كانت

$k \lambda / D$ صغيراً بقدر كاف ، فخيال

شق المجموعة ، من أجل طول الموجة

λ ، في الطيف ذي الرتبة k ، يقع على بعد x من المحرق الاصيل لـ 0 ، يعطى
بالعلاقة :

$$x \simeq f \theta \simeq k \frac{f}{D} \lambda \quad [١١،٤]$$

الشكل ٤ - ١١ - شكل تخطيطي
لكاشف طيف ذي شبكة (بالانفعال)

من أجل $k = 1$ و $f = 30 \text{ cm}$ و $D = 5 \mu$ و $\lambda = 0,5 \mu$ نجد $x \simeq 3 \text{ cm}$

والتناسب الذي يظهر هنا بين x و λ يميز ما يسمى بالطيف النظامي ،
ويكون الطيف أكثر انبساطاً واتساعاً بقدر ما تكون D أصغر و k أكبر .

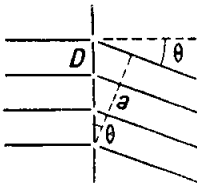
وفي الضوء الأبيض ، ومن أجل $i = 0$ ، تقابل الطيوف ذات الرتبة ± 2
في الضوء المرئي :

$$\frac{1,2}{D(\mu)} < |\sin \theta| < \frac{3}{D(\mu)} \text{ تقابل } \pm 3 \text{ وتلك التي رتبتهما } \pm 3 \text{ و } \frac{0,8}{D(\mu)} < |\sin \theta| < \frac{1,5}{D(\mu)}$$

الخ ... فالطيوف تغطي اذن جزئياً بعضها بعضاً وبقدر أكبر كلما كانت k
مرتفعة أكثر . ونحذف عند الضرورة الشعاعات المزعجة ، بواسطة مرشحة
ماصة مثلاً (الفقرة ٤ - ٢) .

ج (لنقدر قوة الحل R مفترضين دوماً i معدومة للتبسيط . فمن العلاقة
[٩،٤] نستنتج في هذه الحالة :

$$\cos \theta \, d\theta = \frac{k}{D} \, d\lambda \quad [١٢،٤]$$



ليكن N العدد الكلي لخطوط الشبكية ،
فعرض الحزمة البارزة هو (الشكل ٤ - ١٢) :

$$a = ND \cos \theta$$

الشكل ٤ - ١٢ .
حساب قوة الحل لشبكة

وبقبول أن قيمة $d\theta$ الصغرى التي يفرضها
الانعراج كي ما يمكن فصل خطين متجاورين هي

λ / a (راجع الفقرة ٤ - ٤ - د) يكون لدينا من أجل هذا الحد :

$$\frac{k \, d\lambda}{D \cos \theta} = \frac{\lambda}{ND \cos \theta}$$

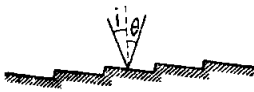
ومنه :

$$R = \frac{\lambda}{d \lambda} = KN \quad [١٣،٤] \quad (\text{غير متعلق بـ } \lambda)$$

هذا وتوجد شبكات تبلغ فيها N رتبة ١٠٠ ٠٠٠ (وهو ما يقابل ، من أجل $D = 2\mu$ عرضاً $ND = 20 \text{ cm}$) ، ما يسمح ببلوغ قوة حل قدرها ٣٠٠ ٠٠٠ في طيف المرتبة الثالثة ، وهي اعظم من قوة حل افضل كواشف الطيف ذوات المواسير .

٨ - ٤ - كواشف الطيف ذوات الشبكة : أمثلة عن تحقيقها .

أ (تصنع الشبكات عادة بواسطة مرايا مستوية أو كروية (انظر الى ماييلي) طبقتها العاكسة (راسب من الألمنيوم) حفرت بواسطة آلة تقسيم جيدة جداً . واختيار جانبية مناسبة (مثلاً الشكل ٤-١٣) يساعد (٤-١٦ ، ٦) في العمل على توزيع الضوء بين أطياف مختلف الرتب وكذلك في تحسين نورانية الشبكة^(١) أو تألقها من اجل شروط سير عمل محددة .



الشكل ٤ - ١٣ .

المنظر الجانبي لشبكة سليبية

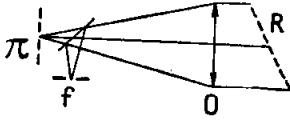
ان بعض العيوب الدورية الناجمة عن نقص في الآلة المستعملة للتخطيط يمكن ان تكون لها نتيجة تعادل فعل شبكة خطوتها $D' \neq D$ منطقة على الشبكة المرغوبة : وينتج عن ذلك في الطيف خطوط تسمى « شبحية » ، تقريباً واضحة ، وقد تحمل على الخطأ .

والشبكات الجيدة غالبية الثمن جداً . ويمكن بالصب (بالاستعانة بالكولوديون

(١) في حالة شبكة مؤلفة من عصابات شفافة أو عصابات عاكسة تقع جميعها في مستو واحد فإن القسم الاكبر من الضوء المنقول والمنعكس يتجمع دون فائدة في الحبال ذي الرتبة صفر .

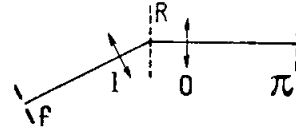
مثلاً) اتاجها على نسخ عديدة ؛ وتستعمل هذه النسخ في آلات ذات صفات مقبولة أيضاً من اجل العديد من الاستعمالات . هذا ويجب تجنب كل تماس مع سطح الشبكة الذي قد يفسده أقل احتكاك .

ب) يجب ان تكون للعدسات او المرايا المنضمة للشبكات أقطار كافية بحيث يُستعمل السطح المحفور بكامله . وتركيبه الشكل ٤-١٤ ، التي محور الجسمية 0 فيها قريب من الناظم على الشبكة R ، تسمح باستعمال حزم تكون θ من أجلها صغيرة جداً ، وتعطي بالتالي خطوطاً طيفية فاصلتها تابع خطي لطول الموجة . وتستعمل تركيبه المجمع الذاتي لليتروف (فقرة ٤-٥ - ج) مع شبكة (الشكل ٤-١٥) ويكفي لذلك تدويرها لتغيير طول الموجة λ للخط الذي



الشكل ٤-١٥ .

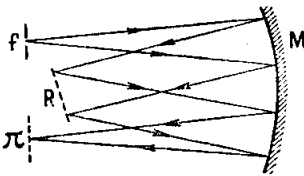
كاشف الطيف ذو الشبكة
تركيبه ليتروف



الشكل ٤-١٤ .

رأس الطيف ذو الشبكة
(زاوية البروز θ قريبة من الصفر)

يتشكل على الشبكة (هذه الحالة تقابل قيمة متساوية تقريباً للزاويتين i و θ).



الشكل ٤-١٦ .

الطيف ذو الشبكة (تركيب
إيرت فاستي)

والشكل ٤-١٦ يمثل تركيب مجمع ذاتي بسيط بوجه خاص (إيرت فاستي Ebert-Fastie) يستعمل مرآة كروية واحدة M تعمل في شروط تكون معها جميع زيوغها قد انقصت جداً .

سوية) فإنه 'يحتفظ باسم مقاييس الطيف التداخلية للأجهزة كالتي وصفت في الفصل ١٣ من الجزء ٤ ، التي تكون فيها رتبة التداخل $p = \delta/\lambda$ (حيث δ فرق المسير بين موجتين متطابقتين) ذات قيمة مرتفعة .

وقد ساعدت هذه الآلات على قياس عدد من أطوال الموجات ، بدقة كبيرة جداً ، بحيث تستعمل كعيارات يرجع إليها (فقرة ٤ - ١٨) ، وعلى فصل أطوال موجات متجاورة للغاية (فقرة ١٤ - ١٨) ، وعلى دراسة جانبية الخطوط (الفقرة ١٣ - ١٠) . ويمكن أن يكون لها ، كما ثبت ذلك حديثاً ، تألق اكبر ، مع تساوي الأشياء الأخرى ، مما للأجهزة ذوات الموشور أو ذات الشبكة (انظر الفقرة ٤ - ١١) .

ب) ليكن جهاز تداخل ذو فرق كبير في المسير δ . فإذا كانت رتبة التداخل المقابلة $p = \delta/\lambda$ هي مثلاً 500 000 ، وكانت الاهداب دقيقة بقدر كاف ، بحيث يمكن تحديد موضعها بتقريب قدره $1/20$ تقريباً من البعد الذي يفصلها (يقال حينئذٍ أن عامل الدقة هو 20) تكون قوة الحل النظرية :

$$R = \left| \frac{\lambda}{d\lambda} \right| = \frac{p}{dp} = \frac{500\,000}{1/20} = 10^7.$$

ج) للشبكات السطحية (٤ ، ١٦ ، ٦ - د) قوة حل قابلة للحساب بالصيغة نفسها ($R = KN$) كالشبكات العادية ، حيث N هنا هو عدد الدرجات (٣٠ مثلاً) و K عدد أطوال الموجة التي يحتوي عليها فرق المسير الكائن بين الشعاعين المنعرجين بعنصرين متجاورين من الشبكة . ولما كانت k تستطيع أن تبلغ عشرات الألوف ، فإن R تكون بالتالي من رتبة المليون . وقد استعملت قوة الحل هذه ، المرتفعة جداً ، لفصل المركبات القريبة جداً من بعضها لحظ طيفي معقد (الفقرة ٤ - ١٦) . وبما أن طيوف مختلف الرتب تتطابق ،

فتفسيرها وتأويلها يصبح مستحيلاً إذا لم نعمل على عصابات طيفية ذات عرض ضيق جداً .

والشبكة السامية ، قد توضع فوق سطحية كاشف طيف عادي ، بين المجمعة والنظارة ، ناظمية على الاشعة الواردة ؛ وينظر في منحى قليل الميل جداً على الناظم على الصفائح . ويفحص خط بعد عزله بواسطة موشور يرسله إلى شق المجمعة . وهذا الجهاز لم يعد يستعمل وتفضل عليه اليوم تلك التي سنصفها فيما يلي :

٤ - ١٠ - الاستعمالات الحديثة لمقاييس التداخل في القياس الطبقي

أ) جهاز فابري وبيرو (٤ ، ١٣ - ٥) الذي سنشير إليه اختصاراً بالحرفين ف.ب ، يستطيع كما بينت أعمال جاكينو Jacquinet وتلاميذه الحديثة ، أن يؤدي خدمات كبيرة جداً بقيامه بدور العنصر المبدد من مقياس طيف ذي مستقبل كهروضوئي^(١) .

والتدفق الضوئي المقيس F هو الذي يعطيه ف.ب بجوار مركز حلقاته في اللانهاية ، وهو معزول بمجازز دائري ، عين قطره بعناية . ومن أجل شعاعة طول موجتها λ ، يمر F بقيمة عظمى من أجل كل قيمة صحيحة من مرتبة التداخل $p = \delta / \lambda = 2ne / \lambda$ حيث n هي قرينة الوسط الذي يفصل صفيحتي مقياس التداخل و e بعدهما . ويسقط هذا التدفق سريعاً جداً إلى الصفر حالما نبتعد عن قيم p الصحيحة بالتحويلات الطارئة على n أو e أو λ .

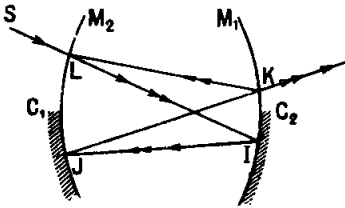
(١) السطحان المفيدان من صفائح القياس التداخلي هما ، في النماذج الحالية ، مغطيان بطبقتين عاكستين غير ماصتين متعددي مواد العزل (٤ ، ١٣ و ١٦ - ١٣) ، وحالتين محل طبقات الفضة أو الألمنيوم المستعملة سابقاً .

وبشرط تجهيز مقياس الطيف بموحد اللون متقن ، يجب تطابق القيم العظمى للضوء المقابل لرتب تداخل مختلفة ، يمكن تغيير متواصل لـ n أو لـ e ، الحصول بالتوالي على استجابات من المستقبل لجميع اطوال الموجة الكائنة في احدى العصابات الطيفية ، وتسجيل الطيف المقابل .

ب) يحصل على تغيرات القرينة n بسهولة كبيرة ، وذلك بوضع الف.ب في حوض يحتوي على غاز يغير ضغطه (انظر الفقرة ٣ - ٢) : ويمكن بالإضافة الى ذلك التحكم في انتقالات المسجل المنضم للمستقبل بحيث تكون متناسبة وتغيرات الضغط ، وبالتالي اذن وتغيرات λ . ففي حالة الهواء مثلاً ، اذا انخفض هذا الضغط بقدر ١ ضغط جوي حتى بلغ جوار الصفر فان $\frac{d\lambda}{\lambda} = \frac{dn}{n} \simeq 3.10^{-4}$. وهذا التغير غير كاف غالباً لمسح العصابة الطيفية كلها التي يراد تحريها . ولكن اذا أثرتنا في السمك e ، فيجب أن يتم ذلك ببطء شديد ، كأن تحرك مثلاً ، بوساطة مخففة مرنة للحركة (من مرتبة 1/5000) ودون لعب ، صفيحة معدنية ثبتت في مركزها إحدى صفيحتي الف ب .

ويمكن من جهة أخرى (شابال وجاكينو Chabbal et Jacquinet) بالرجوع الى الترخن الأصلي بعد جعل e تتحول بقدر $\lambda/2n$ ، ارتياد الطيف بعصابات طيفية متتالية تقابل رتب تداخل $p, p+1, p+2 \dots$.

ج) اثبت كونز Connes ، أنه عندما يكون بعد الصفائح ، الذي هو من رتبة بضعة سنتيمترات على الأقل ، ليس في حاجة للتغيير ، يكتسب ايضاً في التآلق (عندما تكون



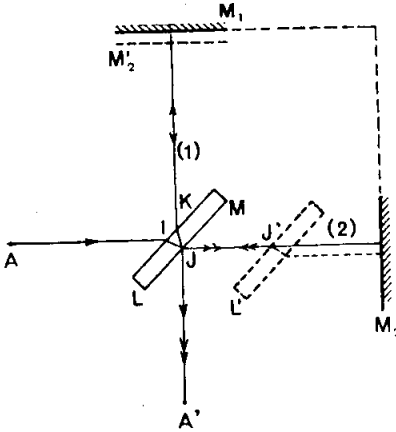
الشكل ٤ - ١٨ .

مقياس التداخل ذو الوجهين
الكرويين (كونز)

قوة الحل مرتفعة جداً) بأن يستبدل بالمرايا المستوية مرايا كروية مقعرة ، بحيث أن كل واحدة يقع مركز انحنائها عند رأس الأخرى . وكل واحدة من الكرتين عاكسة كلياً بنصف سطحها ، ونصف عاكسة على الآخر (الشكل ٤ - ١٨) بحيث أن شعاعاً وارداً ما SI يولد عدداً لا نهاية له من الأشعة التي تبرز مختلطة (وليست موازية كما هو الحال في الف ب ذي الوجوه المستوية) متبعة

مرة أو عدة مرات على التوالي المسير IJKLI. وقد استعملت هذه التركيبة في ما نحت الأحمر.

د) استعمل الباحث نفسه مقياس تداخل مايكلسون (٤، ١٣ - ٣) ذا فرق في



الشكل ٤ - ١٩.

مقياس تداخل مايكلسون (المبدأ)

المركبة المتناوبة للإشارة الحاصلة. والشعاعات ذوات طول الموجة λ_0 وحدها تعطي نسبة تعديل محسوسة. أما تلك التي أطوال موجتها مجاورة لها فتدرك أيضاً من قبل الخلية، ولكن التدفق الضوئي بالنسبة إليها لا يتغير، والإشارة المقابلة لا ينقلها المضخم.

وهنا أيضاً لا يستوجب الجهاز ضيقاً، ولذلك فهو مضيّ جداً. وقد استعمل في ما نحت الأحمر جهاز شبال Chabbal الملائم بالأحرى من أجل المرئي وما فوق البنفسجي.

هـ) لنفرض أيضاً مقياس تداخل يتغير فيه فرق المسير خطياً بدلالة الزمن

فالتدفق الخارج هو بالتالي، من أجل كل شعاعة λ ، يتغير بتواتر يتناسب و $1/\lambda$.

ويؤدي مستقبل كهروضوئي منظم، بدلالة الزمن، تياراً i ، هو مجموع توابع

دورية. فمن الممكن، بمعرفة تحويلات $i = f(t)$ ، حساب هذه التوابع المختلفة

(كما تحسب مدروجات تابع دوري ما، راجع الجزء ٣، ٣-٥) ومنها استنتاج

قانون تحويلات التدفق بدلالة طول الموجة في الإشعاع الذي يدرس. وهذه

المسير صغير جداً، ومعكم التوازي بأن

استبدال بالمرآتين M_1 و M_2 (الشكل

٤ - ١٩) شبكتين مستويتين. وهما

مائلتان بحيث أن شعاعة طول موجتها

λ_0 تكون في الطيف ذي المرتبة الأولى

(مثلاً) منعكسة كما لو كانت كذلك

بفعل مرآة ناظمية على الشعاع الوارد.

وبإمالة الصفيحة المكافئة I' تدريجياً

تتحول رتبة التداخل خطياً بدلالة الزمن،

ويتحول حينئذ التدفق الخارج من

مقياس التداخل دورياً، فتستطع خلية

كهروضوئية متبوعة بمضخم لا ينقل

الطريقة في قياس الطيف التي تدعى « بمحولة فورية » قد طبقت في علم الفلك لدراسة بعض طيوف ما تحت الأحمر القليلة الشدة .

٤ - ١١ . — الحل والنأل في قياس الطيف .

أ) إن الخاصة الأولى لمقياس الطيف هي فصل شعاعات متجاورة بقدر ما تستلزمه الدراسات المقدرة له ، والثانية هي أن يكون مضيئاً بقدر الامكان .
وقوة الحل $R = \lambda/d\lambda$ ، حيث $d\lambda$ أصغر فارق لطول الموجة يمكن إدراكه بالقرب من λ ، تكون ، في حالة جهاز كامل من وجهة نظر الضوء الهندسي ، وعندما يكون شق الدخول فيه لا متناه في الدقة ، محددة بالانعراج بالقيمة :

$$R = e \frac{dn}{d\lambda} \quad [٧،٤]$$

وذلك في حالة موشور قرينته n وسمكه عند القاعدة e (الفقرة ٤-٤-٤ ج) ،
وبالقيمة :

$$R = kN \quad [١٣،٤]$$

في حالة شبكة ، العدد الكلي لخطوطها N ، وتستعمل ضمن الورد الناظمي ، في الطيف ذي الرتبة k (الفقرة ٥ ، ٤ - ٧ - ج) . ويمكن أن تكون أكبر كثيراً لتوكية تداخلية ذات فرق كبير في المسير (فقرة ٤ - ٩ - أ) .

لاستعمال قوة الحل هذه بصورة كاملة ، ينبغي أن يسمح المستقبل المنضم إلى جهاز التبديد بتمييز الأخيلة مفصولة تماماً بواسطة هذا الجهاز ، ويفرض ذلك استعمال عينية قوية بقدر كاف ، في حالة المراقبة العينية ، أو عدسة جسمية ذات بعد محرق كبير بقدر كاف ، في حالة المستقبلات الأخرى (الفقرة ٤ - ٣) .
إن استعمال منبع هو شق f عرضه غير مهم يُنقص من قوة الحل الفعلية R :

فإذا كانت نسبة العرض الزاوي لـ f (المرئي من مركز العدسة المجمعة) إلى العرض الزاوي لحيال انعراج نقطة هي $1/2$ فالتخفيض $\frac{dR}{R}$ لا يبلغ إلا نحو 10% . وإذا كانت هذه النسبة تتجاوز الواحد بكثير فإن عرض الشق هو الذي يحدد الحل .

ب) ينبغي تعريف التألق بأسلوبين مختلفين ، حسب طراز المستقبل المستعمل . فإذا كان هذا الأخير حائزاً على بنية حبيبية خاصة (حالة العين أو لوحة التصوير) ، وعرض الاخيلة الوحيدة اللون يساوي على الأقل عرض العناصر المستقبلية ، فإن استنارتها E ^(١) هي المهم اعتبارها ، ويُعرف التألق كحاصل القسمة $P_1 = E/L$ ، حيث L هو لمعان المنبع .

يقابل عنصر من المنبع مساحته dS عنصراً من الحيال مساحته dS' ، يتلقى تدفقاً $\tau L dS \Omega$ حيث τ هو عامل توصيل الآلة ، و Ω الزاوية المجسمة للحزمة المفيدة الصادرة عن المنبع . لنفرض ψ الزاوية المجسمة لهذه الحزمة نفسها عندما تتقارب على الحيال ، فيكون لدينا وفق علاقة لاغرانج (٤ ، ٩ - ٦) ، وحيث الحيال والجسم كلاهما في الهواء أو في الخلاء :

$$\Omega dS = \psi dS'$$

$$E = \frac{\tau L dS \Omega}{dS'} = \tau L \psi \quad \text{ومنه :}$$

$$P_1 = E/L = \tau \psi \quad \text{و [١٤ ، ١]}$$

ومن المفيد زيادة ψ ، (أي من أجل قطر ضوئي مفروض) ، انقاص الطول المحرق ، ولكن ذلك يتم على حساب قوة الحل . على أن المحاكمة السابقة

(١) من أجل تعاريف المقادير الضوئية القياسية ، راجع الفقرة ٥ - ٢ .

ليست صحيحة إلا اعتباراً من عرض شق جسمي كاف : فعندما يسعى هذا العرض نحو الصفر ، يسعى التآلق أيضاً نحوه .

ج (في حالة المستقبلات الكهروضوئية والحرارية ، تتعين استجابتها بالتدفق F الذي تتلقاه ، ويعرف التآلق بالعلاقة :

$$L_2 = F/L \quad [١٥،٤]$$

وتزداد L_2 بصورة متناسبة والعرض المفيد من شق الدخول (اذا كان خيال هذا الشق يغطي المستقبل كلياً) ولكن ذلك يتم أيضاً على حساب R . وفي هذه الحالة يمكن البرهان على أنه في افضل الشروط (اذا كانت القطع الضوئية كاملة بصورة كافية ، واختيرت الحظارات على افضل وجه) لا يتوقف الجداء RF/L ، من اجل كل طول موجة ، الا على نموذج مقياس الطيف المستعمل وابعاده . مثلاً اذا ضوعفت فتحة شق الدخول في مقياس طيف ذي موشور ، تضاعف في آن واحد التدفق البارز ، من اجل طول كل موجة ، وعرض أخيلة الشق الوحيدة اللون (طالما تأثير الانعراج غير راجح) مما يؤدي الى قسمة قوة الحل على اثنين .

أثبت ب . جاكينو P. Jacquinet أنه يمكن ان نكتب :

$$RF/L = S \cdot C \quad [١٦،٤]$$

حيث S هو سطح العنصر المبدد (السطح المفيد من الموشور ، او الشبكة أو صفيحتي الف . ب) و C عامل النفوذ ، والعامل C ، من أجل مقياس لغابري - بيرو ، يساوي 2π ، في حين أنه من أجل شبكة هو من الشكل Kh (h الارتفاع الزاوي للشقوق) ، ومن أجل موشور ، من الشكل $Kh \frac{dn}{d\lambda}$. و $K(<1)$ هو نفسه عدد يتجاوز 0,8 بمجرد ما تصبح قوة الحل الفعلية أدنى من

ربع قيمتها النظرية من اجل العنصر المبدد المستعمل .

من اجل الأجهزة التي يمكن تحقيقها تقود هذه الصيغ الى النتائج التالية :
من أجل قيمة واحدة لقوة الحل (مها كانت هذه القيمة) يستطيع مقياس
الطيف ذو الشبكة انفاذ تدفق نحو عشر مرات اكبر من مقياس الطيف ذي
الموشور ، ومقياس طيف ل ف . ب ، تدفقاً نحو ثلاث مئة مرة اكبر من مقياس
طيف ذي شبكة . وهكذا تبين اهمية الاعمال التي تستمر الآن لتحقيق مقياس
الطيف التداخلية واستخدامها العملي .

٤ - ١٢ . كواشف الطيف لما فوق البنفسجي .

أ) في ما دون $0,4\mu$ (تقريباً) ، تستعمل مواشير وعدسات من الكوارتز
وأحياناً من الفلورين ، أو تستعمل ايضاً شبكات عوضاً عن المواشير ، ومرايا
بدلاً عن العدسات . والشكل ٤ - ٢٠ يبين بصفة مثال ، راسماً للطيف لما فوق

البنفسجي (جوابات

- ايفون Jobin-Yvon)

ذا موشور من الكوارتز

P ، ومراة مجمعة M

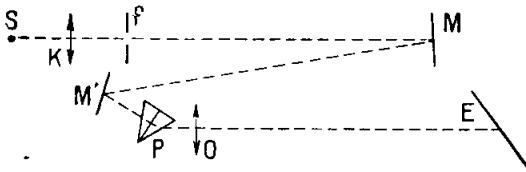
(المراة المستوية M' لا

تفيد إلا في طي الحزم

لتقصير طول الآلة) وغرفة تصوير ذات عدسة من الكوارتز 0 . وربما ان هذه

الجسمية ليست لا لونية، فإن الطبقة الحساسة E هي كما نرى مائلة جداً على المحور

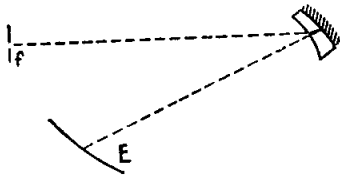
0 . والموشور P هو من طراز كورنو الذي سنصفه في الفقرة ١٢-٤-ب .



الشكل ٢ - ٤ . - مثال لراسم الطيف

لما فوق البنفسجي (جوابات وايفون)

وموشور فيري Féry (الشكل ٤ - ٢١) وهو من الكوارتز أيضاً يتجنب



بوجوهه الكروية (وجهه الخلفي مطلي بطبقة معدنية) استعمال عدسة مستقلة (أو مرآة) . وبسبب ميل الحزم فان

الشكل ٤ - ٢١ . مخطط لرسم الطيف ذي الموشور المنحني الوجوه (فيري) .

الأخيلة تكون مشوبة باللانقطية (٩،٤ - ٨) : يُشكل الطيف بوساطة المستقيمت المحرقة الموازية للشق الجسمي .

ان التراكيبات المشابهة لتركيبية إبرت - فاستي (Ebert - Fastie) (الشكل

٤ - ١٦) هي مناسبة لنطاق ما فوق البنفسجي ، وأفضل منها أيضاً التركيبات ذوات الشبكة المقعرة (الشكل ٤ - ١٧) لأن السطوح المعدنية للمرآيا لا ترد ، في حالة الموجات القصيرة جداً ، إلا جزءاً ضئيلاً من الضوء الوارد .

ونحت 200 mμ (تقريباً) يصبح الهواء نفسه ماصاً (الفقرة ١ - ١٠) وهذا يقود الى ضرورة تخلية الهواء من مسجلات الطيف (او في بعض الحالات لمنها بالآزوت) .

(ب) لا يعرف حتى الآن تخطيط شبكات خطوطها D أدنى من بضعة اعشار الميكرون ؛ فالنسبة λ/D هي اذن دوماً صغيرة جداً في ما فوق البنفسجي البعيد . ومن الممكن ، رغم ذلك ، الحصول على طيوف تنتشر بقدر كاف ، وذلك باعطاء زاوية ورود i قيمة قريبة من $\frac{\pi}{2}$ كما سنرى ذلك بمناسبة الاشعة السينية (الفقرة ٤ - ١٣) التي لا تزال من أجلها هذه الطريقة (المسماة طريقة الشبكة المماسية) قابلة للاستعمال .

٥ - تذكر التجربة التالية باستعمال شبكة مماسة في الضوء المرئي : عندما ننظر سلكاً متوهجاً بالانعكاس على سطح مسطرة مقسمة الى ميليمترات (محفورة

بعمق) يلاحظ طيف إذا كان الورود ملامساً تقريباً ، مع أن λ/D هي هنا صغيرة جداً .

ج) المستقبلات الحرارية هي على الغالب غير صالحة لدراسة طيوف ما فوق البنفسجي ، لعدم وجود استطاعة مشعة كافية . أما المستقبلات التصويرية فمناسبة لذلك ، ولكن جيلاتين لوحات التصوير العادية يصبح ماساً تحت $200 \text{ m}\mu$ تقريباً ، مما يؤدي الى استعمال لوحات طبقتها الحساسة رقيقة جداً أو مغطاة بطبقة مفلورة (سليسيلات التيل) .

إن ظهور الخلايا الاصدارية الضوئية الحساسة - وبصورة خاصة تلك المسماة المضاعفات الضوئية الالكترونية (٦ ، ١٦ - ٢٥) - قد أتاح تطوير تقنيات القياس السريع جداً في مجال القياس الطيفي لما فوق البنفسجي ، التي سنتكلم عنها في الفقرة ٥ - ٢ .

٤ - ١٣ . — كشف طيف الاشعة السينية :

أ) ان المستقبلات المستخدمة للأشعة السينية تعتمد على الخواص التالية التي أشير اليها في الفقرة ١ - ١١ : ان هذه الأشعة تهيج الفلورة المرئية لبعض الأملاح مثل تنغستات الكالسيوم أو كبريت التوتياء المنشط ، وتؤثر في الطبقة الحساسة من لوحة التصوير ، وهي تأين أغلب المواد ، وبصورة خاصة الغازات . وعداد غايغر (٦ ، ١٧ - ١٠) هو الكاشف الأكثر حساسية لها ؛ واستعمال غرفة تأين (٦ ، ١٧ - ٥) يساعد على قياس شدة الحزمة السينية .

ب) في مجال اطوال الموجة المميزة للأشعة السينية (من رتبة 0,1 إلى 20 \AA) تكون قرينة جميع المواد ، (الأقل من الواحد) ، لا تختلف عن الواحد إلا ببضع أجزاء من مائة الف ، مما يستبعد معه ، من أجل الكشف عن

الطيف استعمال العدسات أو المواشير . ولعوامل الانعكاس من جهة أخرى قيم ضعيفة جداً لا تسمح باستعمال المرايا ضمن ورود ضعيف . وقد يمكن أن يكون ثمة انعكاس كلي للأشعة السينية التي تصادف سطحاً معدنياً أو زجاجياً في الفراغ أو الهواء ، ولكن فقط لورود قريب من $\pi/2$ أي ملامساً تقريباً .

من الممكن إذاً الحصول على طيوف للأشعة السينية بطريقة الشبكة المماسية

(الفقرة ٤ - ١٤ - ب) .

ولاثبات العلاقة التي تُطبق

حينئذ ، لنحوّل الصيغة :

$$\sin i + \sin \theta = k\lambda/D \quad [٩،٤]$$

التي فيها الزاوية θ سالبة ، وفقاً

لمصطلحات الشكل ٤ - ٢٢ . لنفرض $\alpha = \frac{\pi}{2} - i$ ، فانحراف الشعاع SIR

هو $\delta = \alpha + \frac{\pi}{2} + \theta$ ، ومن أجل $k=1$ يكون لدينا :

$$\cos \alpha - \cos (\delta - \alpha) = \lambda/D$$

ومنه ، علماً بأن الزاويتين α و δ صغيرتان :

$$(\delta - \alpha)^2 - \alpha^2 \simeq 2\lambda/D \quad [١٧،٤]$$

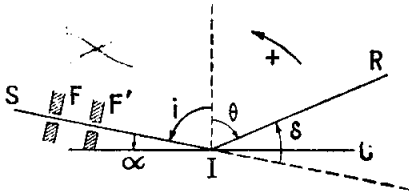
مثال : من أجل $\lambda = 20 \text{ \AA} = 2 \cdot 10^{-4} \mu$ ، $D = 1 \mu$ ، $\alpha = 10' \simeq 0,003 \text{ rd}$

يكون لدينا :

$$(\delta - \alpha)^2 = 4 \cdot 10^{-4} + 9 \cdot 10^{-6} \simeq 2 \cdot 10^{-2} \text{ ad} \quad \text{ومنه}$$

أي أكثر قليلاً من درجة واحدة .

لعدم توفر المجموعة تكون الحزمة الواردة محددة بشقين دقيقين F و F' ،



الشكل ٤ - ٢٢ . الشبكة المماسية

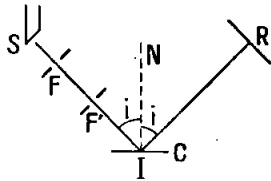
وتستقبل على لوحة تصوير ، أو في غرفة تأين قابلة للتوجيه على نوع من مقياس الزاوية (الفقرة ٣ - ٤ - b) .

ج) إن استعمال الشبكة المماسية قد أتاح حساب أطوال الموجة لبعض حزم الاشعة السينية مباشرة . ويجعل هذه الحزم تنعرج على بلورات مختلفة (١٦ ، ٤ - ١٠) أمكن هكذا تقدير الابعاد d لمستوياتها الشبكية ، ومن ثم بالعكس استعمال إحدى البلورات المدروسة هكذا لتعيين أطوال الموجة للحزم السينية الاخرى .

والشكل ٤ - ٢٣ يبين تبسيط تركيب الجهاز : فجزمة رفيعة صادرة من المنبع S ومحددة بالشقين F و F' تسقط في I على البلورة وتنعكس عندما يحقق ورودها (الزاوية مع الناظم على المستويات الشبكية المفيدة C) صيغة براغ^(١):

$$[١٨ ، ٤] \quad 2 d \cos i = k \lambda \quad (k \text{ عدد صحيح }) .$$

تتلقى الاشعة المنعكسة في R . وعندما تدور البلورة حول محور مار من I وناظم على مستوي الورود SIN ، فإن الشعاعات



الوحيدة اللون التي تؤلف الاشعاع الوارد تنعكس بالتتابع مشكلة على لوحة التصوير الموضوعية في R آثار خطوط مستقيمة

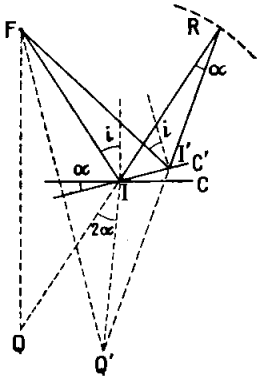
الشكل ٤ - ٢٣

تشكل الطيف .

وهنا أيضاً يمكن استعمال غرفة تأين قابلة الانعكاس الاصطفائي على بلورة للتوجيه . ومن السهل رفع الشك عن العامل k بمقارنة قيم i التي يحصل من أجلها انعكاس .

(١) ثمة تصحيح صغير جداً متعلق بوجود قرينة انكسار تختلف قليلاً عن ١ ، وضروري عندما يبحث عن دقة كبيرة .

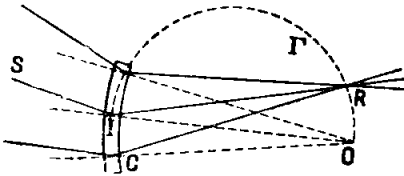
يمكن التحرر من استعمال الشق الثاني F' ، والحصول عند R على أخيلة واقعية لـ F تشكلها مختلف الشعاعات البسيطة . وفي الحقيقة (الشكل ٤ - ٢٤)



الشكل ٤ - ٢٤ .
طريقة البلورة الدائرة

لنفرض i زاوية الورود العائدة الى الانعكاس الاصطفاي للشعاع FIR . فهذا الشعاع وحده هو الذي ينعكس من بين جميع الاشعة التي تسقط على المستويات الشبكية C . وإذا دورنا البلورة بزاوية قدرها α ، الأمر الذي يقود C الى C' ، فإن الشعاع الجديد المنعكس اصطفايياً $F'R$ ، والذي يقطع الشعاع السابق في R ، يحدث أيضاً الزاوية i مع الناظم على C' ؛ وبالتالي يصنع مع IR الزاوية α .

لنفرض Q و Q' نظيرتي F بالنسبة الى C و C' على التوالي ، فيكون $\widehat{QIQ'} = 2\alpha$ (١ ، ٤ - ٧) ومنه $IR = IQ = IF$ مهما كانت قيمة α . وبتدوير البلورة بصورة متواصلة نحصل اذن في R على خيال ثابت لـ F من أجل طول الموجة λ . والاخلية الناتجة عن الشعاعات الاخرى تقع جميعها على محيط الدائرة التي مركزها I ونصف قطرها IF . ويمكن ان نستعمل كمستقبل شريط تصوير قد أحنى وفق قوس من هذه الدائرة وسنقدم في الفصل ١٤ أمثلة للطيف التي يتم الحصول عليها هكذا .



الشكل ٤ - ٢٥ . - راسم الطيف
للأشعة السينية ذو البلورة المنحنية
(كوشوا)

(د) تخيلت الآنسة كوشوا Cauchois جهازاً أكثر ضياءً حيث أنه يتيح استعمال منبع واسع . وهو يتألف (الشكل ٤ - ٢٥) من صفيحة بلورية (ميكا) أحنيت على

شكل اسطوانة C ذات قاعدة دائرية ، محورها O بحيث أن جميع المستويات الشبكية النازمة على وجوه البلورة تمر بالنقطة O . فمن أجل كل واحد منها ، يوجد في مستوي الشكل ، شعاع وارد مثل SI يحقق الشرط [١٤،٤] . ومحكمة شبيهة بتلك التي اجريت في حالة الشبكية المقعرة (فقرة ٤ - ٨ - ج) تبين أن مختلف الاشعة المنعكسة هكذا تتجمع في نقطة بؤرية R تقع على محيط الدائرة I' التي قطرها IO . وبتنظيم شريط تصوير على اسطوانة القاعدة I' ، يمكن تسجيل طيف عليه . واضح الخطوط تماماً .

هـ (تبين العلاقة [١٤،٤] أنه لا يمكن أن يكون ثمة انعكاس اصطفاي (من أجل $\theta \neq 0$) إلا اذا كان $\frac{\lambda}{2d} < 1$. فيجب اذن ان يكون بعد المستويات الشبكية - وكذلك الخطوة D في حالة الشبكيات ذوات الخطوط (فقرة ٤ - ٦) - مختاراً وفق مجال الشعاعات التي هي قيد التحليل . والجدول ادناه يبين بعض قيم d المستعملة غالباً :

البلورة	الملح الصخري	الكلسيت	الخص	الميك	حمض الملبسيا
d (بـ Å)	2,81	3,03	7,58	10,1	73,5

و (طريقة دباي وشيرر Debye - Scherrer تركز على اسقاط الحزمة السينية الضئيلة على ذرور يحصل عليه بسحق البلورة بشكل حبيبات دقيقة بقدر كاف ، وبما ان هذه الحبيبات تتجه الى جميع المناحي والانعكاس يحدث على جميع المستويات الشبكية بحيث نستجيب i للشرط [١٤،٤] . وعلى لوحة تصوير ناظمية على الحزمة الضيقة الواردة (التي نفرضها رفيعة جداً) نحصل على طيف مؤلف من سلسلة من الدوائر المتمركزة . ويمكن ان لا يسجل منه الا جزء من هذه الحلقات على شريط اسطواني أعد بصورة موافقة (تطبق هذه الطريقة في تعيين البنات اكثر من طريقة طول الموجة) .

ز) تستعمل طريقة المرشحات لفصل الاشعة السينية. فالعناصر المختلفة تبدي في الواقع بالنسبة لبعض الاشعة امتصاصاً اصطفاًياً (الفقرة ١٤-٢٠). فبالنسبة لشعاع معينة يزداد الامتصاص بسرعة مع العدد الذري، وتحذف هكذا في التطبيق الشعاعي الاشعة السينية الاقل نفاذاً، أي ذات اطوال الموجات الكبرى، بواسطة حواجز من الألمنيوم.

و كذلك تؤخذ فكرة عن طول الموجة للشعاعات التي يصدرها أنبوب أشعة سينية بجعل الاشعاع يجتاز اثخاناتاً متزايدة من الألمنيوم وملاحظة الجزء النافذ.

ح) ان التآين بالاشعة السينية (وبأشعة γ للأجسام ذات النشاط الاشعاعي وذات أطوال الموجة الاقصر أيضاً) ينتج عن أنها تنتزع من بعض الذرات احد الكتروناتها، وهو تأثير اصداري - ضوئي (٦، ١٦ - ٢١). وبحرف الإلكترونات الضوئية بحقل مغناطيسي، يمكن تجميع كل تلك التي سرعتها واحدة وفق خط مستقيم صغير مسجل على لوحة تصوير. والطاقت الحركية مرتبطة بتواترات الشعاعات الممتصة وبطاقات الخروج (حالة الاجسام الصلبة) أو التآين (حالة الغازات) بعلاقة اينشتاين (٦، ١٦ - ٢٢ و ١٧ - ٣). ودراسة الطيوف الجسيمية التي يحصل عليها، كما أشرنا إلى ذلك، تقدم إذن طريقة غير مباشرة لقياس اطوال الموجات القصيرة جداً وسنعود إلى بحث ذلك في الجزء الثامن.

٤ - ١٤. — كرواسف الطيف لما تحت الأحمر.

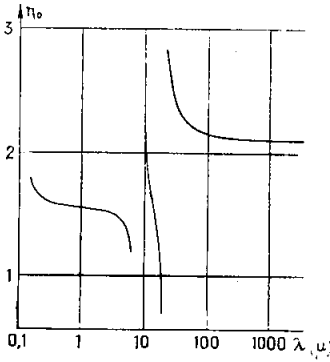
أ) إن البصريات الزجاجية تلائم حتى 2,5 أو 3 μ ، ويمكن في حالة أطوال الموجة التي هي أعلى، استعمال مواشير من البلورات الطبيعية أو الصناعية (انظر الجدول ٤ - ١) وبصورة خاصة من ملح المنجم، ولكن هذه البلورات غالية الثمن وسريعة التلف أحياناً (يجب أن يحفظ الملح في جو جاف داخل نطاق

مغلق أو ساخن سخونة قليلة) . ولدراسة مجال طيفي واسع يجب استعمال عدة مواشير من مواد مختلفة .

عندما تستعمل الشبكات (وهو الامر الغالب) فإن خطواتها ، التي هي من رتبة كبر طول الموجة ، تجعل صنعها أسهل مما هو الحال من أجل المرئي وبالاخص ما فوق البنفسجي .

تضم عادة للمواشير أو الشبكات ، لدراسة ما تحت الأحمر ، مرابا من الزجاج مغطاة بالفضة أو الألمنيوم ، ولكن معادن أخرى قد تناسب ، حيث أن عامل الانعكاس المعدني هو عامة أعلى من 0,9 في ما تحت الأحمر . هذا وتضع منذ فترة قريبة عدسات من الجرمانيوم (شفافيتها من 1,8 إلى 16μ ، وقربتها مرتفعة جداً ، وضعيفة التبيد) أو من السيلسيوم (خواصه الضوئية مشابهة) .

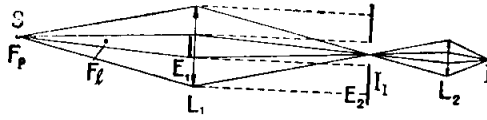
(ب) ثمة طريقتان لاصطفاء الشعاعات ، استثنائيتا الاستعمال ، قدمتا بعض الخدمات لدراسة ما تحت الأحمر البعيد : هما طريقة العزل المحرق وطريقة الاشعة الباقية .



الشكل ٤ - ٢٦
تبديد الكوارتز
(فواصل لوغاريتمية)

طريقة العزل المحرق : وهي تستعمل ، في حالة خاصة ، الزجاج اللوني الطولي للعدسة (٤ ، ٨ - ٣) . فقريبة الكوارتز n_0 القريبة من 1,5 ، بالنسبة للشعاعات التي اطوال موجتها اقل من 3μ ، تبلغ 2,2 فيما فوق 60μ (الشكل ٤ - ٢٦) . وفي المنطقة المتوسطة ، تفتص الشعاعات من قبل سمك كاف من المادة . والطول المحرق لعدسة بسيطة من الكوارتز L_1

(الشكل ٤ - ٢٧) الذي ينحوا تبعاً للمصيغة [٢،٦] من الجزء ٤ ، مثل $\frac{1}{n-1}$ ، هو إذن من أجل المرئي وما تحت الأحمر القريب أكبر بنحو مرتين مما هو عليه من أجل ما تحت الأحمر البعيد . لنفرض F_p و F_l المحرقين - الجسمين المقابلين لها . فمن أجل منبع جسمي S ، موضوع بالقرب من F_p يقابله في حالة أطوال الموجة الكبيرة خيال حقيقي I_l ومن أجل الأخرى خيال يقع تقريباً في اللانهاية I_{pl} . وتشكل عدسة ثانية

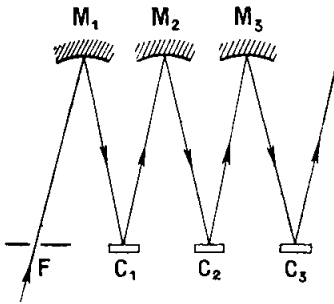


الشكل ٤ - ٢٧ . - العزل المحرق

L_2 للخيال I_l خيالياً نهائياً I ، في حين ان الاشعة التي تبدو وكأنها واردة من I_p ، توقف بالحاجزين E_1 (في مستوي L_1) و E_2 (واقع في مستوي I_2) ومنقوب بحرق يسمح بمرور الاشعة التي تشكل I . وهكذا امكن ان 'ننزل من إشعاع مصباح لبخار الزئبق (ذي حبابه من الكوارتز) اشعاعات ذات طول موجة يتجاوز 300μ .

طريقة الأشعة الباقية : لبعض البلورات ، كما سنرى في الفقرة ٩ - ١٣ - C ، عامل انعكاس ρ ، ير بقيمة عظمى واضحة ، من أجل طول موجة معينة λ_m .

— ٥ — لتسقط الاشعاع المركب الذي ينير شقاً F (الشكل ٤ - ٢٨) على سلسلة من



الشكل ٤ - ٢٨ .

الاشعة الباقية

أجل 52μ والى $0,062 = (0,5)^4$ من أجل طولي الموجة الآخرين الملحوظين .

مرايا مقعرة $M_1, M_2, M_3 \dots$ ومن سطوح مستوية عاكسة $C_1, C_2, C_3 \dots$ من مثل هذه البلورة ، بحيث ان اخيلة F المتتالية التي تكونها المرايا تشكل على البلورات . فالاشعاع الذي انعكس عدة مرات يحوي نسبة زائدة جداً من شعاعات λ_m . وفي حالة NaCl ، مثلاً ، $\rho = 0,81$ من أجل $\lambda = 52 \mu$ و $\rho = 0,50$ من أجل $\lambda = 45 \mu$ ، ومن $\lambda = 65 \mu$. فبعد ٤ انعكاسات نقصت

الشدة الاصلية الى $0,43 = (0,81)^4$ من

والجدول ٢-٤ يبين اطوال الموجة التي يمكن هكذا استخراجها بالانعكاسات المتعددة على عدد من البلورات المصقولة (انظر ايضاً الشكل ٩ - ١٩) .

الجدول ٤ - ٢ الاشعة الباقية للبلورات المتماثلة المناحي							
المادة $\lambda_m(\mu)$	F_2Ca 20 et 31	ZnS 31	NaCl 52	KCl 63	KI 94	TlCl 117	TlI 152

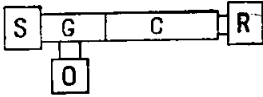
ج) المستقبلات المستعملة هي مستحلبات تصويرية خاصة (محمسة بالسيانين) حتى نحو $1,4 \mu$ ، وما بعد ذلك مولدات كهروضوئية من الجرمانيوم أو السليسيوم (١٩-٢١،٦) الى نحو $1,2 \mu$ ومن خلايا ضوئية ناقلة (١٧-١٩،٦) من كبريت الرصاص (حتى نحو 3μ) او من تلور الرصاص (حتى 5μ) .
في مجال حساسية الخلايا الاصدارية الضوئية (حتى $1,5 \mu$) يمكن استعمال محولات للأخيلة شبيهة بمحولات النظارات الالكترونية (٣،٤ - ١٠) لتشكيل خيال مرئي لطيف ما تحت الاحمر .
ولكن غالباً (بالنسبة لما دون الأحمر البعيد دوماً) يلجأ الى المستقبلات الحرارية التي ليست اصطفاائية وسنعود اليها في الفقرة ٥-١٨ .

٤ - ١٥ . — كشف الطيف الهرتزي .

أ) « الموجات الهرتزية الدقيقة » (التي اطوال موجتها من رتبة المليمتر أو السنتيمتر) في استطاعتها ، كبقية الموجات الكهربائية ، أن 'تمتص بصورة اصطفاائية' بالمادة ، وذلك بادخال محولات طاقة (فقرة ١٤ - ٦) أضعف

(١) لأسباب سنعرضها في الفقرة ٤-٧، نادراً ما نواجه شيئاً سوى طيوف الامتصاص في مجال الامواج الهرتزية .

كثيراً من موجات ما تحت الاحمر ، وبالأحرى من الموجات الاعلى نواتراً . واستعمال هذه الموجات الدقيقة وأحياناً استعمال الموجات الديسيمترية أو الاكبر ايضاً ، يتطور بسرعة في بحوث كشف الطيف منذ عام ١٩٤٥ ، وقد ادى الى نتائج هامة (انظر الفقرة ١٤ - ١٦ - ج و ١٥ - ٩) .



في الجهاز البسيط الذي يمثله الشكل ٤ - ٢٩

تخطيطياً ، تنتشر الموجات المنبعثة من المنبع S

(كليسترون ١٠،٧ - ٩) في دليل الموجات G

(١٢ - ٩،٧) وتصل بعد اجتيازها حوض

الاتصاص C الى مستقبل R مثل الكاشف ذي

الشكل ٤ - ٢٩ .

مخطط كاشف للطيف خاص

بالامواج الهرتزية

البلورة ، او الى تركيبة مضخمة للموجات ، شبيهة بتلك التي تستعمل في الرادار (١٠،٧ - ٢٢ - ب) . وبحول تدريجياً (بتغيير الجوف الرنان للمنبع) نواتر هذه الموجات ، الذي يقاس في كل لحظة بواسطة مقياس الموجات O (١١،٧ - ٣٠ - ج) أو راسم اهتزاز الكتروني (أو أحياناً مسجل ذي ريشة) منضم الى مستقبل R ، يُبرز بوضوح القيم العظمى للاتصاص .

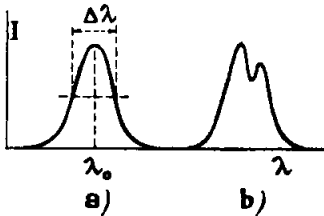
ب (عندما يكون التواتر منخفضاً بقدر كاف (300 MHz) يمكن كشف الاتصاص بطرق تقوم على التقنية الكهربائية . فاذا كان الأمر يتعلق بامتصاص ثنائي القطب الكهربائي ، فان المادة تخضع حينئذٍ لحقل كهربائي متناوب بوضعها في مكثفة دائرة مهتزة تواترها متحول . والسماحية ϵ_r مقدار عقدي في مناطق الاتصاص كقريئة الانكسار في البصريات (الفقرة ٩ - ١٢) ويمكن كتابة $\epsilon_r = \epsilon' - j\epsilon''$. والمنحني $\epsilon'' = f(\nu)$ يمر بقيمة عظمى من أجل تواتر الاتصاص (انظر الشكل ٩ - ١٥) . وتحول ϵ'' هذا يؤدي بسبب معاوقة الدائرة (بمانعتها) (٧ ، ٤ - ٤) الى تحول يمكن توضيحه بطرق حساسة جداً . وبما أنها تدخل منحنيات تجاوب ، لذا تسمى هذه الظواهر وطرق دراستها ظواهر

الطين الكهربائي . وإذا كان الأمر يتعلق بامتصاص ثنائي القطب المغناطيسي فتوضع المادة في وشيعة الدارة المهتزة حيث تخضع لحقل تحريض متناوب .
وحينئذ تصبح النفوذية عقدية في مناطق الامتصاص ، متيحة الفرصة أيضاً لتغيرات في معاوقة (بمانعة) التيار: وتواجه حينئذ ظواهر تجاوب مغناطيسي .
وفي حالة تواترات أعلى ، يمكن تمييز تأثير الحقل الكهربائي للموجة عن تأثير حقله المغناطيسي بفضل الامواج المستقرة المتكونة في اجواف طنانة ، وذلك بوضع المادة فيها في مواضع مختارة وبصورة مناسبة .

٤ - ١٦ . — عرض الخطوط الطيفية ونعقدتها :

١) رأينا في الفقرة ٤ ، ١٢ - ٢١ ، أن اهداب التداخل التي يكونها خط طيفي ، والتي تظهر وكأنها وحيدة اللون عندما تفحص بواسطة منظار طيف عادي ، تتشوش بعد فرق أعظمي في السير يتوقف على الخط الذي يدرس ، ولا يبلغ إلا استثنائياً 10^8 من طول الموجة .

وهذا يقود الى التفكير بأن كل خط طيفي هو في الحقيقة عصابة تحوي سلسلة متصلة من أطوال الموجة في فاصلة تقريباً كبيرة (كالنقط على قطعة من مستقيم) . وكلما ضاقت العصابة زاد اقتراب الخط من المفهوم المثالي للشعاعة الوحيدة اللون .

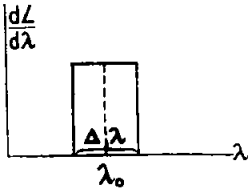


الشكل ٤ - ٣٠ . - خطوط طيفية :
(أ) بسيطة ؛ (ب) مضاعفة .

في أبسط الحالات ، يكون توزع الشدات بدلالة طول الموجة قابلاً للتمثيل بمنحن على شكل الجرس (الشكل ٤ - ٣٠) من نمط منحني غاوس (١ - ٢٤١ - ٦) .
فالشدة العظمى من أجل طول الموجة λ_0

تنقص بقدر النصف من أجل أطوال الموجة $\lambda_0 \pm \frac{\Delta\lambda}{2}$ ، والمسافة $\Delta\lambda$ تدعى عرض الخط الطيفي ، فهو مثلاً 0,013 Å في حالة الشعاعة الحمراء للكاكديوم التي تولد أهداباً حتى رتبة التداخل $p = 450\,000$.

ولتبسيط المحاكاة ، لنشبه الخط بمجموعة شعاعات ذات لمعان طيفي واحد ،



الشكل ٤ - ٣١ .
خط طيفي مبسط

محصورة في الفاصلة $\Delta\lambda$ (الشكل ٤ - ٣١) .

فالأهداب تصبح غير مرئية عندما تكون الجملتان اللتان تولدهما شعاعات حافتي الخط في توافق .

وبالفعل يمكن عندئذٍ ضم جميع الشعاعات الموجودة في أزواج يكون معها فرق أطوال الموجة مساوياً $\frac{\Delta\lambda}{2}$ ، وتعطي جمل أهداب

متنافرة . فيحدث الاختفاء إذن عندما الشعاعات التي تختلف بقدر $\Delta\lambda$ تكون رتب تداخلها التي تختلف بقدر الواحد ، هي ، وفق [١٤ ، ٢٥] من أجل رتبة تداخل حدية :

$$p = \frac{\lambda}{\Delta\lambda} \quad [١٩،٤]$$

يمكن مثلاً قياس رتبة كبر p بواسطة مقياس تداخل مايكلسون المحكم أولاً من أجل فرق في المسير معدوم ، ومن ثم من أجل وضع تنقل فيه إحدى المرآتين بصورة موازية لنفسها بطول d إلى أن تغيب الأهداب . فرتبة التداخل الحدية تكون $p = \frac{2d}{\lambda}$.

ب (يمكن اعطاء تحليل آخر ، مختلف في بدايته ، لاستحالة ملاحظة أهداب ذات فرق كبير جداً في المسير . فالشعاعة الوحيدة اللون تماماً تعود إلى ظاهرة لا بداية لها ولا نهاية ، والمنحني الذي يمثلها هو منحني جيبي غير محدود . لنفرض

أن الذرات ، المهيجة باسهام طاقة ما ، تبددها في إشعاع وحيد اللون ، ولكن خلال مدة محدودة بالضرورة . فشعاع كهذا يكون قطار موجات ذا طول محدود L ، والجهاز التداخلي يفصله إلى جزأين متساويي الطول ومتساويي السعة ، يصلان إلى نقطة P بعد أن يجتازا مسيرتين ضوئيتين مختلفتين . وعندما يكون فرق مسيرتهما δ صغيراً جداً ، فإن قطاري الموجة يصلان إلى P في اللحظة نفسها تقريباً ، ويمكنهما أن يتداخلا . وعندما تكون δ كبيرة بقدر كاف بحيث أن قطار الموجات المتقدم يمر في P قبل أن يبلغها قطار الموجات المتأخر ، أي $L > \delta$ ، فلا يمكن أن يحدث تداخل . ومن أجل قيم متوسطة لـ δ فإن قطاري الموجة يغطي أحدهما الآخر تغطية جزئية فقط ويولدان أهداباً ذات تباين متفاوت .

إن التفسيرين السابقين يؤولان في الحقيقة ، إلى نفس الشيء ، وفي الواقع إن قطارات الموجات التي قبل وجودها يكون لها في لحظة معينة سعة قدرها $a \sin 2\pi\sigma x$ في حالة $0 < x < L$ وسعة معدومة من أجل $x < 0$ أو $x > L$. فهي تشمل عدداً $N = L\sigma$ من طول الموجة λ ($N \gg 1$) .

يمكن تمثيل قطار موجات محدد كهذا ، استناداً للقواعد الواردة في الفصل الثالث من الجزء الثالث ، بتركيب الموجات الجيبية المقابلة لمختلف الشعاعات الوحيدة اللون ، التي تتركب الخط في التعليل الأول . ومجموعها يكون :

$$S = \sum s_m \sin 2\pi (\nu t - \sigma x)$$

وفي الحالة الحالية ، ثمة عدد لا نهاية له من الشعاعات ، عرضها لا متناه في الصغر $d\lambda$ (أو $d\sigma$) . وشدة كل منها ، وبالتالي السعة ، تابعة إلى λ (أو إلى σ) أي $s(\sigma) d\sigma$. فالمجموع S السابق حل محله إذن تكامل يمتد إلى حدي الخط ، وليكن :

$$S = \int s(\sigma) \sin 2\pi (\nu t - \sigma x) d\sigma. \quad [٢٠، ٤]$$

ونتيجة حساب S يعبر عنها الشكل ٦ - ١٤ من الجزء الثالث : فتتشكل قطر من

الأمواج تكون أطول - أي تقرب أكثر من موجة جيبية - كلما كانت أطوال الموجة النهائية المركبات أقرب ، أي كلما كان الخط أكثر ضيقاً .

من الممكن دون إجراء حسابات طريفة تقدير العرض $\Delta\lambda$ المقابل لقطار الموجات الذي طوله L . ولتمثيل هذا الأخير بتنضيد موجات جيبية ، ينبغي ، بالإضافة إلى الموجة التي عددها الموجي σ ، إدخال تلك التي أعددتها الموجية تحقق العلاقة :

$$(N-1)\sigma' = (N+1)\sigma'' = L$$

لأنه إذا كانت هذه الموجات في طور واحد مع الموجة σ في منتصف القطعة L ، فإنها ستكون في تضاد عند الحدين ويمكنها تخريبها بالتداخل ، وفقاً للشروط المفروضة . ورتبة كبر فاصلة أعداد الموجات التي يشغلها الخط هي إذن :

$$\Delta\sigma = \sigma' - \sigma = \frac{1}{L} \quad [21,4]$$

أي ، حيث أن $\sigma = \frac{1}{\lambda}$:

$$\frac{\Delta\lambda}{\lambda^2} = \frac{1}{L} \quad [22,4]$$

ووفقاً لما رأينا أعلاه تنقطع قابلية الأهداب للرؤية من أجل $\delta = L$ ، أي :

$$p = \frac{\delta}{\lambda} = \frac{L}{\lambda} = \frac{\lambda}{\Delta\lambda}$$

وهكذا نجد ثانية الرتبة الحدية للتداخل المحددة بالعلاقة [19,4] .
ولنلاحظ أن العلاقة [21,4] قد أثبتت آنفاً في الفقرة ٦-٩ من الجزء الثالث (حيث فرض $\sigma = \frac{2\pi}{\lambda}$) .

ج (يحدث غالباً ان تحولات قابلية رؤية الاهداب تبعاً لرتبة التداخل

لا تكون تناقصاً خطياً بل تبدي قيماً عظمى وصغرى متتالية . وحالة الضوء الاصفر للصدويم ، المكون من شعاعين ، طول موجتيها قريبان من بعضهما ، ولكنها متميزتان ، قد درست في الجزء الرابع (الفقرة ١٢-٢١) .

هذا وفي حالة كثير من الشعاعات ينبغي ان نقبل بأن توزع الشدات بدلالة طول الموجة يعبر عن وجود خطين متجاورين ، متطابقين جزئياً ، وشدتهما النهائيان غير متساويتين في أغلب الاحيان (الشكل ٤ - ٣٠ - ب) ، ويعبر أحياناً أيضاً عن عدد من الخطوط يتجاوز الاثنين .

٤ - ١٧ . — ملاحظات على طبيعة الضوء الابيض .

أ) يحدث الضوء الابيض بتوهج الاجسام الكثيفة الجامدة أو السائلة المرفوعة الى درجة عالية علواً كافياً . ولنحني توزع الشدة الصادرة بدلالة طول الموجة في حالة « جسم اسود » بالهيئة التي تبينها الاشكال ٢٠-٩ من الجزء الثاني . واذا فحص بمنظار لطيف ذي قوة حل مرتفعة الى اقصى ما يمكن تحقيقه ، فإن طيف هذا الاشعاع يكون متصلاً . ويمكن القبول بأنه في وسط كثيف متوهج تصدر الذرات خطوطاً كما هو الأمر في حالة الغازات ، ولكن هذه الخطوط عريضة ، ويوجد منها عدد هائل ، بحيث أنها يغطي بعضها بعضاً ، ويمتد الاصدار في مجال طيفي واسع جداً .

ب) في الفصل ١٢ من الجزء ٤ ، درسنا ظواهر التداخل في الضوء الابيض ، معتبرين هذا الضوء كأنه مكون من شعاعات وحيدة اللون بصورة كاملة ومستقلة . لندقق في هذه النظرية النقطة التالية . فالتجربة تبين أننا لا نحصل على طيف مقلم (١٢،٤-١٩) واضح في حالة فروق كبيرة في المسيرة بين الحزم المتداخلة الا اذا كان منظار الطيف ذا قوة حل مرتفعة . وتعلل هذه النتيجة كما

يلي : بين أطوال الموجة λ و $\lambda + d\lambda$ لقلمين متتاليين توجد العلاقة (٤ ، فقرة ١٣-٦-ج) :

$$\delta = p\lambda = (p-1)(\lambda + \Delta\lambda)$$

حيث p هي رتبة التداخل الصحيحة في النقطة الملاحظة . ومنه :

$$\lambda = (p-1)\Delta\lambda \simeq p\Delta\lambda \quad [٢١،٤]$$

ان رتبة التداخل p كبيرة . وبما أن قوة الحل هي $R = \frac{\lambda}{\Delta\lambda}$ ، فإننا نلاحظ أن منظار الطيف لا يشكل ، طيفاً مقلماً إلا إذا كانت الفاصلة بين قلمين أكبر من فرق أطوال المراجعة التي يمكن حلها .

وإذا كان الامر كذلك فيجب أن لا يستطيع الناظر ملاحظة أية تداخلات بواسطة مستقبل قوته الحالة معدومة . وهذا ما تحققه التجربة . وإذا ارتدنا حقل التداخل الذي تعطيه في الضوء الابيض ، مرآتا فرينيل مثلاً (١٢ ، ٤ - ١٨) ، بواسطة مستقبل حراري غير اصطفاائي كالبولومتر أو النضد الحراري) نحصل على منحنى شدات لا يبدي أية دورية . والمظاهر التي تشاهد في هذه الحالة بالعين ، التي تميز بضعة اهداب ملونة حول هذب مركزي لا مع ، تنشأ عن أنها مستقبل اصطفاائي يفضل أطوال الموجة التي يكون بالنسبة إليها أكثر حساسية .

ج) حسب ما رأينا في الفقرة السابقة ، كل مركز مضيء في جسم متوهج ينبغي ان يصدر قطر أمواج محددة . وقد تساؤل الباحثون قديماً عما اذا كان يجب اعتبار الضوء الابيض وكأنه مكون من مزيج من جميع قطارات الموجات هذه ، أو كأنه نتيجة تركيبها . ومن المعلوم اليوم أن السؤال وهمي ، بمعنى أنه لا تعرف تجربة تسمح بالاختيار بين المفهومين .

ففي المفهوم الاول ، توجد قطارات الموجات في حزمة الضوء الابيض ،

ومنظار الطيف يفصلها ، وتستطيع أن تتداخل اذا كانت الشروط التي نوقشت في الفقرة السابقة قد تحققت .

ومن وجهة النظر الثانية ، فإن مختلف الاهتزازات التي يصدرها المنبع تتوحد في حركة حاصلة تنتشر بشكل قطار موجات قصير جداً لا يُظهر أية خاصية دورية ، ومكونة نبضة من الطاقة المشعة . لتتلقى نبضة كهذه ناظماً على شبكة نفوذية خطوطها D ، لها N خطاً . وكل خط يجعلها تنعرج مولدة موجة اسطوانية (الجزء ٤ ، الشكل ١٦ - ١٩) . وفي منحى ما ، يحدث الزاوية α مع الناظم على الشبكة ، تتابع N نبضة متباعدة بقدر $D \sin \alpha$. وقطار الموجات اللاجبي هذا ، يمكن تحليله بسلسلة فورية وفق [١٩،٤] ، في متتالية موجات جيبية سعتها S_m ، وتواترها ν ، وطول موجتها λ ، $\lambda/2, \dots$ ، $\lambda = D \sin \alpha$. وإذا تلقاه مستقبل اسطواني كالعين ، فانه لن يرى إلا احدى مركبات سلسلة فورية ، الحمراء من أجل $D \sin \alpha = 0,75 \mu$ ، والبنفسجية من أجل $D \sin \alpha = 0,4 \mu$. في طيف الرتبة الاولى .

نرى في هذا المثال أن ميكانيكية عمل الشبكة ^(١) في الضوء الابيض ليس واحداً في النظريتين : ففي الاولى ، يكشف الانتظام الكائن في الحزمة ؛ وفي الثاني يخلقها ، ولكن النتيجة في الحالتين واحدة والشبكة تعمل في النهاية كمحلل نوافقي (٣ ، ٣ - ٥) .

د) لننظر الى الفوتون المشارك لقطار الموجات الذي ألمحنا إليه في البند ج) . فلا يمكن ان نعزو اليه تواتراً ν (وبالتالي طاقة $h\nu$) محدودتين . ولكن بعد المرور في منظار الطيف ، يجب أن نجد الفوتون ثانية في احدى الحزم الوحيدة

(١) من المستطاع البرهان ، ولكن بصعوبة اكثر ، على أنه يمكن النظر الى عمل المؤشور بطريقتين معادلتين لطريقتي الشبكة .

اللون المفرقة بهذه الآلة. وان احتمال إيجادها نهائياً في حالة الوحيد اللون بتواتر ν يقاس برربع السعة s_m من الحد المقابل في منشورة فورييه [٤، ١٩].

٤ - ١٨ . - القياس الطيفي المرفيق :

أ) يمكن تطبيق صيغة الشبكات [٤، ٩] لتقدير مطلق لأطوال الموجة. ولكنه من الصعب تعيين الزوايا بدقة كبيرة. ومن جهة أخرى فإن رسم الخطوط يحتمل دوماً بعض الشذوذ. وكذلك لا يمكن خفض الشك النسبي على λ ، الى أقل من بضعة أجزاء من مائة ألف : ولا يلجأ بتاتاً الى هذه الطريقة الا في حالة ما نحت الأحمر أو ما فوق البنفسجي البعيدين ومن أجل الأشعة السينية. ب) يمكن اجراء القياس الدارج لطول موجة ما بفحص الخط الذي طول موجته مجهول بنظر الطيف، وفي الوقت ذاته خطوطاً أطوال موجتها معلومة بدقة كبيرة. فالحط الذي يراد قياس طول موجته يقع بين اثنتين من هذه العلامات، فيقاس البعدان اللذان يفصلانه عنها، ويحسب طول موجته بالتوسط. وتجري القياسات بدقة كبيرة بوساطة مقاييس مقارنة خاصة، على الرسوم الحاصل بتصوير الخطوط.

ج) للحصول على علامات عديدة بقدر كاف ومتقاربة على طول الطيف (واحدة كل ٥٠ أنغستروم على الأقل) اختبرت بصورة خاصة خطوط طيف قوس من الحديد. وأطوال الموجة لهذه الخطوط عينت بواسطة أهذاب ذات فروق كبيرة في المسير بمقارنتها بطول موجة الخط الأحمر للكاويوم، والمقصود ثمة قياسات نسبية صعوبتها ليست كبيرة جداً.

ولفرق واحد في المسيرة، يقابل، أجل طولي الموجة λ_1 و λ_2 رتبتان للتداخل p_1 و p_2 تقاسان .

$$\delta = p_1 \lambda_1 = p_2 \lambda_2 \quad \text{ومن :}$$

يستنتج :

$$\lambda_2 / \lambda_1 = p_1 / p_2 \quad [٢٢٠٤]$$

والشك النسبي على λ هو :

$$\frac{\Delta \lambda_1}{\lambda_1} \leq \frac{\Delta \lambda_2}{\lambda_2} + \frac{\Delta p_1}{p_1} + \frac{\Delta p_2}{p_2} \quad [٢٣٠١]$$

ويمكن أن يكون أدنى من 10^{-6} .

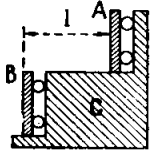
(د) ثمة طريقة أخرى قابلة للتطبيق ، لمعايرة مقاييس الطيف ، وبصورة خاصة في ما تحت الأحمر ، تقوم على تدخل الطيوف المقلمة التي تعطيها تركيبة فابري وبيرى المنورة بضوء ذي طيف متصل : تكون الأقلام دقيقة جداً واطوال موجتها قابلة للحساب بدقة جيدة بقدر كاف كما ذكر في الجزء الرابع (الفقرة ١٣ - ٦ - ج) .

٤ - ١٩ . — المعيار الاولي لاطوال الموجة ونسبته للمتر .

(أ) إن معيار الاسناد الأساسي (المرجع) المستعمل حتى الآن ، هو كما ذكر آنفاً ، خط أحمر من طيف الكاديوم الذي قيس طول موجته λ في الهواء الجاف ، في الدرجة 15°C وتحت الضغط الجوي . ومع أنه اختير لأنه نسبياً وحيد اللون جداً ، فإن هذه الشعاعة لا تسمح بتحقيق سوى فروق في السير ضعيفة بالنسبة لطول المتر المعياري .

(ب) في تجارب مايكلسون وبنوا (١٨٩٢) استعملت ٩ معايير أطوالها متوسطة وتبلغ على التوالي نحو 10 cm ، و $10/2$ و $10/2^2 \dots$ و 0,039 cm $\simeq 10/2^8$. وكان كل واحد منها مؤلفاً من مرآتين مستويتين A و B محمولتين بكتلة من

الشبه C (الشكل ٤ - ٣٢) وتعادان إلى التوازي بتشويهاً مرنة لحواملها .
والمعيار الأقصر E_1 ، قد وضع مكان إحدى المرآتين ، ولتكن M_1 (الشكل
٤ - ١٩) ، من مقياس التداخل لمايكلسون ، وكان يحكم وضع وتوجيه المرآة
الأخرى M_2 بحيث يُقتاد خيالها M'_2 الذي يشكله الوجه نصف العاكس M من
الصفيفة الفاصة L ، بالتتابع إلى التماس الضوئي مع المرآتين



الشكل ٤ - ٣٢

معيار متوسط

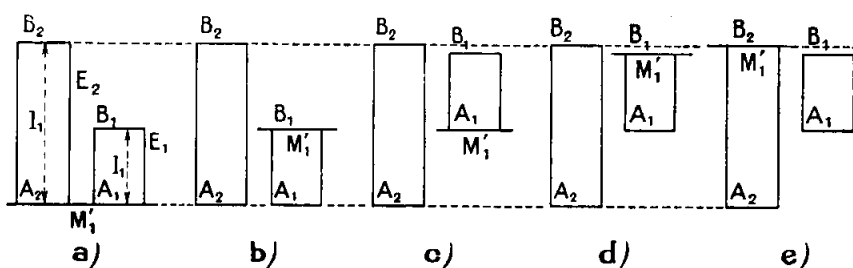
وكان يوضع بعد ذلك بجانب E_1 ، ولكن على عربة (تجربة مالكلسون
وبنوا) مستقلة ، المعيار E_2 الذي طوله l_2 قريب من $2l_1$ ، وبحقن
بالتتابع التماسات الخمسة الضوئية الممثلة على الشكل ٤ - ٣٣ . فالانتقال (وهو
مبالغ فيه جداً على الشكل) الذي كان ينبغي إعطاؤه إلى M_1 للمرور من ما قبل
الآخر إلى الأخير كان يقابل تتابع عدد من الاهداب $x_2 \geq 0$ (عدد غير صحيح
بصورة عامة) بحيث أن $l_2 - 2l_1 = x_2 \lambda / 2$ ، ومنه :

$$l_2 = (2x_1 + x) \lambda / 2$$

وكانت تعين بعد ذلك بطريقة مشابهة الاطوال : $l_3 \simeq 2l_2, l_4 \simeq 2l_3, \dots, l_9 \simeq 2l_8$:
للمعايير الأخرى E_3, E_4, \dots, E_9 .

ولمقارنة l_9 ($\simeq 10$ cm) بالمتر ، كان ينتقل E عشرة انتقالات مساوية
لطوله الخاص (الحكم الضبط بطريقة التماس الضوئي) محققاً هكذا مسافة قريبة
جداً من متر واحد ومعلومة بدلالة λ . وثمة خط إشارة يحمله E_9 ، ويزاوي
مرآتيه ، كان يأتي هكذا ، في وضعه الاول والحادي عشر ، ليأخذ مكانه قريباً

جداً من خطوط متر عياري ، وعلى أبعاد منه كانت تقاس بواسطة مقياس المقارنة (٢٠١ - ١٢ - ٥) .



الشكل ٤ - ٣٢ . تعيين $l_2 - 2l_1$

أ (A_1 و A_2 جعلاً في تماس ضوئي مع M_1' ،

ب (M_1' جعل - - B_1 ،

ج (A_1 - - - M_1' ،

د (M_1' - - - B_1 ،

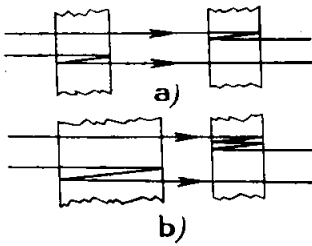
هـ (M_1' - - - B_2 ،

ومعلومة بدلالة λ . وثمة خط إشارة يحمله E_0 ، ويوازي مرآتيه ، كان يأتي هكذا ، في وضعه الاول والحادي عشر ، ليأخذ مكانه قريباً جداً من خطوط متر عياري ، وعلى أبعاد منه كانت تقاس بواسطة مقياس المقارنة (١ ، ٢ - ١٢ - ٥) .

ج (في تجارب فابري وبيرى وبنوا (١٩٢٧) هيئت خمسة معايير مساعدة تساوي تقريباً ١٠٠ ، ٥٠ ، ٢٥ ، ١٢٥ ، ٦٢٥ سم . وكان طول كل واحد منها هو البعد الذي يفصل الوجهين المتقابلين نصف المفضضين من صفيحتين من الزجاج . وكان أطول هذه المعايير يقارن مباشرة بالمتر بالطرق القياسية العادية . وكان معيار الـ ١٠٠ سم يقارن بعد ذلك بضعف معيار الـ ٥٠ سم ثم معيار الـ ٥٠ سم بضعف معيار الـ ٢٥ سم وهكذا دواليك حتى الاخير الذي كان يعلم نهائياً طوله بدلالة المتر العياري .

وكانت هذه المقارنات تجري باستعمال اهداب التنضيد التي مبدؤها هو التالي : ترسل حزمة شديدة من الضوء الابيض خلال معيارين موضوعين بالتالي ، فتحدث انعكاسات عديدة بين الوجوه المفضضة لكل واحد منها ، ويستطيع الضوء انبعاث عدد كبير من الطرق المختلفة . وبالتالي بين الاشعة البارزة ثمة أشعة تستطيع ، رغم السمك البالغ للصفيفتين المتوازيين الوجهين المؤلفتين من المعيارين ، أن يكون بينها فروق في المسير معدومة تقريبا : فهذه الاشعة تولد في الضوء الابيض اهدابا تلاحظ بنظارة احكمت على الانهاية .

نحصل بصورة خاصة ، بواسطة صفيفتين تكاد أن تكونا متساويين السمك بالضبط على اهداب التنضيد الناشئة عن الاشعة التي انعكست مرتين في احدى الصفيفتين أو في الاخرى (الشكل ٤ - ٣٤) . وبواسطة صفيفتين لاحداهما سمك يكاد يكون يساوي



بالضبط ضعف سمك الاخرى ، نحصل على اهداب تنشأ عن الاشعة التي انعكس احدها مرتين في الصفيفة السميكة والآخر اربع مرات في الصفيفة الارق . وهكذا دواليك .

اخيرا كان يقارن المعياره ٦,٢ سم بطول موجة الخط الأحمر للكادميوم ، باستعمال مقياس تداخل بيرو وفابري (١٣,٤ - ٥) الذي كان يضبط بعد صفائح دوما بواسطة اهداب التنضيد بحيث يكون خمس أو اربع أو ثلث أو نصف سمك المعيار .

(د) ادت هذه التجارب من اجل طول موجة المعيار الاساسي الى القيمة $6\ 438,469\ 6 \cdot 10^{-10} \text{m}$ مؤيدة بعد ذلك^(١) بشك نسبي ادنى من 10^{-7} .

واعطت القياسات التداخلية وسيلة لمراقبة عدم تغير المتر المعياري منذ عام ١٨٩٢ . وبما انه يمكن اعتبار أطوال الموجة كثابتات (بتوسط احتياطات

(١) واحدة انفستروم ، التي عرفت بالكسر $1/6\ 438,469\ 6$ من طول الموجة الحمراء للكادميوم ، تساوي اذن 10^{-10}m بتقريب قدره 10^{-7} .

مدروسة جداً عن منابع الضوء المستعمل (فقد اقترح تبني احداها كمعيار اولي جديد للطول بدل النموذج الاصلي الدولي للمتر المصنوع من البلاتين والإيريديوم (٢٠١ - ٤) .

والشعاع التي تبدو اليوم كالأنسب لهذا الاستعمال هي تلك التي يصدرها النظير 86 للكربيتون والتي يشير إليها أخصائيو الطيوف بالرمز $2p_{10} - 5d_5$ (راجع الفقرة ١٤ - ١٣) ، وهي ذات لون برتقالي ، وطول موجتها في الفراغ $6\ 057,802\ 11\ 10^{-10}\text{m}$ بشك نسبي اقل من 10^{-9} . وستستعمل هذه القيمة في المستقبل لتعريف المتر الذي نمودجه الحالي سيكون نمودجاً ثانوياً^(١) .

(هـ) إن أهمية الطرق التداخلية لقياس الاطوال لا تقتصر على المتر العياري : فهذه الطرق تنطبق فعلاً (بعد تبسيطها قليلاً او كثيراً حسب الدقة المطلوبة) على مقارنات العيارات الثانوية ذات الاطراف ، مثل قضبان جونسون (راجع (٢٠١ - ٨) .



(١) اتخذ المؤتمر العام الحادي عشر « للأوزان والمكاييل » (١٩٦٠) القرار التالي :
المتر هو الطول الذي يساوي $1\ 650\ 763,73$ من طول الموجة في الفراغ للشعاع العاقلة للانتقال بين السويتين $2p_{10}$ و $5d_5$ لذرة الكربيترون 86 .
ان تعريف المتر المعمول به منذ عام 1889 والمنشأ على النموذج الدولي من البلاتين والإيريديوم أصبح لاغياً .

تمارين

٤ - ١* . - يوضع بين نيكولين متوازيين P_0 و P_1 صفيحة ذات انكسار مضاعف L_1 خطاها المعتدلان ox و oy يؤلفان 45° مع المقطعين الاصلين للنيكولين . ولنفرض أن e هو سمك الصفيحة و $\delta = (m_x - m_y)e$ فرق المسير بين الاهتزازة المتأخرة و الاهتزازة المتقدمة .

احسب بدلالة فرق الطور φ السعة a_1 للاهتزازة الوحيدة اللون التي طول موجتها λ عند الخروج من النيكول P_1 . (تؤخذ وحدة السعة ، السعة a_0 للاهتزازة التي ينفذها النيكول P_0 وتهمل تضيعيات الضوء الحاصلة بالامتصاص أو بالانعكاس الجزئي .)

٢* - يوضع بعد المقطب P_1 ، صفيحة ثانية L_2 ثخنها $2e$ ونيكول ثان P_2 ، ثم صفيحة ثالثة L_3 ثخنها $4e$ ونيكول ثالث P_3 ؛ وأخيراً صفيحة رابعة L_4 ثخنها $8e$ ونيكول P_4 .

من أجل لقيم φ تنعدم الشدة البارزة I أو تمر بنهاية عظمى ؟ احسب بصورة تقريبية قيم النهايات العظمى الثانوية الأقرب إلى النهايات العظمى الرئيسية .

٣* - احسب « العرض الكلي » $\Delta\lambda$ للشريط الطيفي النافذ حول أحد النهايات العظمى المطلقة (التباعد بين اطوال الموجات المتجاورة التي يكون من أجلها $I = 0$) ، مع العلم بأن هذه النهاية العظمى تقابل طول الموجة $\lambda = 5400 \text{ \AA}$. يعطى : $m_x = 1,553$ ، $m_y = 1,544$ ، $e = 6_{mm}$.

٤ - ٥ في مؤشر من نوع بروكا بيلن (الشكل ٤ - ٧) تبلغ الزاوية بين وجه الدخول والوجه العاكس $\hat{A} = 76^\circ$.

١. - كم ينبغي أن تكون الزاوية B الواقعة بين وجه الدخول ووجه البروز (أو الخروج) ؟

٢. - إذا نظم الموشور من أجل طول الموجة $\lambda_1 = 589\text{nm}$ ، التي تكون القرينة من أجلها $n_1 = 1,560$ ، فبمقدار أية زاوية π ينبغي تدويره للوصول الى طول الموجة $\lambda_2 = 486\text{nm}$ التي تكون القرينة عندها $n_2 = 1,673$ ؟

٤ - ج تحتوي شبكة مخططة على $N = 5000$ حزراً في عرض كلي يبلغ $L = 5\text{ cm}$. احسب الزاوية θ لاستقامة الرصد التي تقابل النهاية العظمى من المرتبة الأولى تحت زاوية الورود النظامية من أجل $\lambda = 6.000\text{\AA}$ ، والبعد الزاوي $2\Delta\theta$ بين الحدين الأصغر المجاورين لهذه النهاية العظمى وقوة الحل R للشبكة .

إذا كان المنبع الذي يضيء هذه الشبكة فرجة (شقاً) طولها $l = 1\text{ cm}$ ، موضوعة في مستوى المحرق الجسمي لعدسة طولها المحرق $f = 50\text{cm}$ ، فكيف ينبغي ان يكون عرضها a لكي يمكن الاستفادة كلية من قوة حل الشبكة ؟

٤ - د ١. - خطت على وجه الخروج لموشور قرينته n وزايرته $\varphi = 30^\circ$ ، شبكة نفوذية تحتوي في المليمتر الواحد على $\eta = 50$ خطاً موازياً لحرف الموشور .

عين زاويتي البروز θ_1 و θ_2 للأشعة الحمراء ($\lambda_1 = 600\text{ nm}$ ، $n_1 = 1,520$) والاشعة البنفسجية ($\lambda_2 = 400\text{nm}$ ، $n_2 = 1,540$) العائدين إلى أطراف المرتبة الاولى ، عندما يسقط بصورة ناظمية على وجه الدخول في الموشور حزمة متوازية من الضوء الابيض) .

٢. - لنفرض الآن $\varphi = 1^\circ$ ، و $\eta = 500$ ، فما هو تأثير عدم توازي الوجهين في قياس λ_1 بواسطة شبكة كهذه (ورود ناظمي على وجه الدخول ، وطيف من المرتبة الاولى) .

٤ - هـ . قارن بين قوة الحل النظرية R_1 لشبكة خطوطها $2 \mu m$ وعرضها المحرز $d = 4cm$ ، استعملت في المرتبة الاولى ، وبين القيمة المتوسطة R_2 لقوة الحل في موشور من الفلنت عرض قاعدته $e = 6 cm$ وقرنيتا انكساره هما بالترتيب $n_1 = 1,660$ من اجل طول الموجة $\lambda_1 = 589 nm$ و $n_2 = 1,673$ من اجل طول الموجة $\lambda_2 = 486 nm$.

٤ - و . يتألف راسم للطيف من شبكة مستوية تستخدم بالانعكاس ومن جهاز يجمع ذاتي (الشكل ٤ - ١٥) . ويرسل الضوء المنبعث من شق رفيع جداً f واقع على جانب الجهاز ، على عدسة لالونية O بواسطة صفيحة نصف شفافة . تتلقى الشبكة حزمه من الأشعة الموازية للمحور الضوئي لـ O . تفيد هذه العدسة ايضاً في تشكيل الاطيف على المستوي π حيث توضع اللوحة التصويرية . تحتوي الشبكة على $n = 560$ خطاً في المليمتر ، و يبلغ طول القسم المحرز مقيساً بصورة عمودية على التحزب $L = 8 cm$.

يجري فحص الضوء الصادر من بخار الصوديوم . يتألف طيفه من خطين متجاورين طولاً موجتيهما هما :

$$\lambda_1 = 589,0 nm \quad \text{و} \quad \lambda_2 = 589,6 nm$$

أ . - كم ينبغي ان يكون ميل الشبكة (اي الزاوية i الواقعة بين الناظم عليها وبين المحور الضوئي للعدسة) لكي يتشكل الخط الذي طول موجته λ_1 ، في منتصف الحقل ، اي على المحور الضوئي للعدسة في الطيف الذي رتبته $k=3$ ؟ ويفترض فيما يلي ان الخط λ_1 هو دوماً في منتصف الحقل .

٢ . - يُتلقى الطيف على لوحة تصويرية . ونقبل بأن هذه اللوحة تسمح بفصل النقاط التي تباعد عن بعضها بالمقدار $\epsilon = 2.10^{-2} mm$.

كم ينبغي ان يكون الطول المحرقي الادنى f للعدسة لكي يمكن الاستفادة

من قوة الحل النظرية R ؟

٣ . - ان الطول المحرق الحقيقي لهذه العدسة هو $2,50 \text{ m}$. احسب التباعد x للنظيرين اللذين طولاً موجتيها λ_1 و λ_2 وكذلك ثخنها النظري e على اللوحة التصويرية (مع اهمال تأثير حيبيات اللوحة)

٤ - ز نقبل بأن الاهداد المضيئة بالنفوذ في مقياس التداخل لبيرو وفابري ، ذي صفيحة الهواء التي ثخنها e ، التي تقابل طولي موجتين متجاورتين λ و $\lambda + d$ لا تمتنع عن الانفصال عندما يصبح تباعد محوريها اصغر من ضعفي البعد الذي تنقص من اجله شدة كل منها بقدر نصفها .

وليكن φ تغير الطور $2\pi e/\lambda$ الذي يقابل تغيراً في λ قدرة $d\lambda$ ؛ وبحسب الصيغة [١٣ ، ٢] في الجزء الرابع ، يقابل الحد السابق هذا الى $\sin \frac{\varphi}{2} = \frac{1-\varepsilon}{2\sqrt{\varepsilon}}$ حيث ε هو عامل الانعكاس في صفائح مقياس التداخل .

١ . - احسب بدلالة ρ وبدلالة مرتبة التداخل $p=2e/\lambda$ قوة الحل R .
٢ . - عين الثخن الادنى e لمعيار كهذا قابل لان يفصل مركبتى الثنائية الحمراء لليتيوم التي عدادها الموجيان هما بالترتيب $14\ 903,75$ و $14\ 904,09 \text{ cm}^{-1}$.
ويُعطى $\rho = 0,90$.

٤ - ح تحتوي شبكة مستوية ، مرسومة على سطح معدني ، على $n=00$ خطأ في المليمتر . وتتلقى بورود ماسح (مماسي) حزمة سينية ضيقة طول موجتها $\lambda = 1,54 \text{ \AA}$ ، محددة بشقين عرضها a يوازن خطوط الشبكة ، يفصل بينها البعد $l = 40 \text{ cm}$. يقع الشعاع الاوسط من الحزمة في مستوى المقطع الاصلي للشبكة . ويؤلف زاوية قدرها α مع مستوى الشبكة وزاوية ε مع شعاع منعرج (الشكل ٤ - ٢٢) .

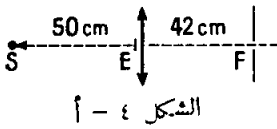
١ - إذا فرضنا a مهملاً ، فاكتمب العلاقة بين δ و λ . توضع لوحة تصوير عمودياً على امتداد الشعاع الوارد المتوسط على بعد قدره $L = 1\text{m}$ من نقطة الورود على الشبكة . فلو لم تكن الشبكة موجودة لشكلت الحزمة الواردة على لوحة التصوير اثر T . أما في وجود الشبكة فانه يحصل بالانعكاس المنتظم على السطح المعدني اثر : T' . يقاس البعد بين الأثرين : $TT' = b = 6,0\text{mm}$. احسب الابعاد عن T ، وهي x_1 ، x_2 ، x_3 لآثار الحزم المنفرجة ذات المراتب $k = 1, 2, 3$.

٢ - إذا تغير λ بالمقدار $d\lambda = 0,02\text{\AA}$ ، فاحسب مايقابله من التغير dx_2 في x_2 .

٣ - إذا ثبتت الشبكة ولم تتغير λ ، فاحسب التغير dx لـ α الذي يولد نفس التغير dx_2 لـ x_2 .

إذا قبلنا بأن الأثرين العائدين الى شعاعين λ و $\lambda + d\lambda$ يكونان مفصولين إذا كانت الفتحة الزاوية الكلية للحزمة الواردة اقل من dx ، فاحسب القيمة العظمى a_m التي ينبغي اعطاؤها الى a للحصول على هذا الفصل .

٤ - ط ان قرينة الانكسار العادية للكوارتز هي قريبة من $n_1 = 1,50$ في جوار طول الموجة $\lambda = 3\text{ }\mu\text{m}$ ومن $n_2 = 2,1$ في جوار $\lambda_2 = 300\text{ }\mu\text{m}$



(الشكل ٤ - ٢٦) بين انه يمكن
بعدسة محدبة الوجهين من الكوارتز يكون
نسفا قطر انحناء وجهها $R = 0,50\text{ m}$ ،

عند استخدامها كما يبين الشكل المجاور ، ان نزل فيما بعد الشق F الاشعاعات ذات الموجات الطويلة التي يصدرها المنبع S (تمثل E حاجزاً معتماً صغيراً) .

٤ - ي نحصل من موحد اللون ومن منبع للضوء الأبيض على ضوء طول

موجته المتوسط $\lambda = 5000 \text{ \AA}$ وعرضه الطيفي $\Delta\lambda$. وشق الدخول وشق الخروج لهما نفس العرض $0,1\text{mm}$ والتبديد الخطي للجهاز هو 20 \AA/mm . عين الطول L لقطار الامواج والمدة = لأصداره .

٤ - ك نحوي صورة طيف λ خطوط أطوال امواجها معروفة وعلى أربعة خطوط أطوال امواجها مجهولة ؛ وقد اعطيت فواصلها x (بوحدات اختيارية) بالجدول الآتي :

الرقم	x	$\lambda(\text{\AA})$	الرقم	x	$\lambda(\text{\AA})$
١	٠	٤١٩١,٦٧٨	٧	٥٨٩٧٧	٤٠٦٢,٤٥١
٢	٢٠٧٢٦	٤١٤٣,٨٧٤	٨	٨٨٣٥٢	٤٠٠٥,٢٥٠
٣	٢٦٠٣٨	?	٩	٨٨٣٥٤	?
٤	٤٠٤٩٩	٤١٠٠,٧٤٥	١٠	١١٢٤٠٨	٣٩٦١,٥٣٤
٥	٤٨٢١٧	٤٨٠٤,٥٠٨	١١	١٣٤٩٣٧	?
٦	٥٤٣٩٨	?	١٢	١٣٦٥٣٠	٣٩٢٠,٢٦١

١ - عين ، ابتداء من النتائج ذوات الأرقام ١٢ و ٧ ، ١ ، الأمثال a و b و c في الصيغة التقريبية :

$$\lambda = a + \frac{c}{x - b} (\text{\AA})$$

٢ . استخدم النتائج ذوات الارقام ٢، ٤، ٨ و ١٠ لرسم منحنى التصحيح لنتائج الصيغة ، أي :

$$f(\lambda) = \lambda (\text{المحسوبة}) - \lambda (\text{الصحيحة})$$

٣ - عين اطوال الامواج ذوات الارقام ٣، ٦، ٩ و ١١

الفصل الخامس

القياسات الضوئية

والقياسات الضوئية الطيفية

٥ - ١ . — معلومات عامة :

القياسات الضوئية Photométrie ، او قياسات الشدة الضوئية هي دراسة منابع الضوء (الاولى منها او الثانوية) والحزم الضوئية بحسب ادراكها بالعين ، بدون ان يُعرف بالضرورة تركيبها الطيفي . وتطبق هذه التسمية ايضاً (كما تسمى احياناً بقياس الاشعاع) على الحالة التي يكون فيها الجهاز المستقبل للضوء غير العين ، وعلى الاضواء تحت الحمراء وفوق البنفسجية . واما القياسات الضوئية الطيفية فتقدر مختلف المركبات وحيدة اللون التي توجد في ضوء معين ، او تقارن بين اضواء مختلفة من حيث اطوال موجاتها .

لقد الحنا في الجزئين ٢ و ٤ الى تطبيقات القياسات الضوئية والقياسات الضوئية الطيفية على البصريات الادوية وعلى البصريات الفيزيولوجية وفي قياس الحرارة المرتفعة ضوئياً ، الخ ...

وسندرس اولاً القياسات الضوئية الابصارية المتماثلة لونياً ، اي التي تجري على اضواء لها كلها نفس اللون ، بحيث تكون تراكيبيها الطيفية متطابقة أو

قريبة جداً من ذلك^(١) اما حالة الاضواء غير المتماثلة لونياً (اي المختلفة في ألوانها) فتحتاج الى اصطلاحات خاصة . وقبل ان نقوم بالكلام عن طرق القياس وادواته ، علينا ان نحدد التعاريف التي سبق ان اشرنا اليها في الفقرتين ١ - ٥ و ٣ - ٣ من الجزء الرابع وفي الفقرة ٢٠ - ٢ من الجزء الثاني . وسنلتزم فيما يخص المفردات والرموز العائدة للشدة الضوئية بالتوصيات المشبعة درساً ، والتي اعطتها اللجنة الدولية للانارة (C. I. E.) .

أ . — القياسات الابصارية للشدة الضوئية

٥ - ٢ . — القرار الفوتومتري :

أ (نقول عن سطحين انها مضاءان اضاءتين متساويتين فيما اذا هما لدى تغطيتها بمجاذير ناثرين ابيضين مماثلين^(٢) ، بدا هذان الحاجزان بنفس المظهر ، بشرط ان تبقى المميزات الابصارية للشخص الناظر اليها ثابتة اذن بقدر الامكان على منطقتين متجاورتين .

واذا تلقى نفس السطح ضوء المنبع S_1 ثم ضوء المنبع S_2 ، ثم اسقط في آن واحد ضوء هذين المنبعين S_1 و S_2 ، فان الاستنارة العائدة لهذه الاحوال الثلاثة اي E_1 و E_2 و E هي بحيث ان $E = E_1 + E_2$ ، فالاستنارة هي اذاً قدر قابل للقياس ؛ ان وحدات الاستنارة وكذلك الوحدات الفوتومترية الاخرى ستعرف في الفقرة ٥ - ٣ .

(١) يمكن ان يكون لضوئين لون واحد وتركيبان طيفيان مختلفان (انظر الفقرة

٦ - ٤ ب) وعندئذ يمكن ان تتعلق نتائج مقارنتها الفوتومترية بالشخص المبصر .

(٢) ستحدد مبزات الحاجز الابيض الناثر في الفقرة ٥ - ١١ .

ملاحظة . - يجوز التكلم عن الاستنارة في نقطة ما من الفضاء ، حتى ولو لم يكن في تلك النقطة جسم مضاء ، ولكن بشرط ان نحدد التوجيه (الافقي مثلاً) للسطح الذي ستقدر عليه هذه الاستنارة .

ب (التدفق الضوئي F الذي يتلقاه سطح ما ، هو تعريفاً : جداء الاستنارة E لهذا السطح بمساحته S . واذا تغيرت الاستنارة من نقطة الى اخرى على هذا السطح ، فان التدفق يكون :

$$F = \iint_s E \cdot dS \quad [١٠٥]$$

مع تعميم التكامل على كل السطح المبحوث . واذا سقطت عدة حزم على نفس السطح ، فان التدفقات المتلقاة عليه تنضاف حسابياً .

يكون التدفق F في ضوء ذي تركيب طيفي معين ، متناسباً مع تدفق الطاقة \mathcal{P} (الجزء ٢ ، ٢٠ - ٢) العائد له ويطلق على خارج القسمة :

$$K = F/\mathcal{P} \quad [٢٠٥]$$

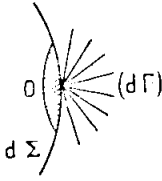
اسم **الفعالية الضوئية** لذلك الاشعاع . وتكون الفعالية معدومة في الاضواء غير المرئية .

في وسط غير ماص تنقل كل حزمة من الشعاعات تدفقاً طاقياً يظل ثابتاً مهما كان موقع المنطقة من الحزمة الضوئية التي يقاس فيها التدفق . نتيجة لذلك يمكن التكلم عن التدفق الضوئي لحزمة بدون تحديد السطح الذي تسمح لنا الصيغة [١٠٥] بتقديره عليه . وان مجموع تدفقات الحزم التي يصدرها منبع هو ، بحسب التعريف ، التدفق الضوئي لهذا المنبع .

يطلق اسم الاصدارية^(١) (الضوئية) لمنبع ضوئي في نقطة ما O ، على المقدار:

$$M = \frac{dF}{d\Sigma} \quad [٣،٥]$$

حيث dF هو التدفق الضوئي الذي يصدره عنصر من المنبع سطحه $d\Sigma$ ، يحيط بالنقطة O (الشكل ٥ - ١) في جميع النواحي التي يشع فيها (اي من جهة المستوى المماس للعنصر ، التي لا توجد فيها مادة المنبع .



وإذا كان السطح غير مضيء بنفسه ، فإن اصداريته تساوي استنارته على أكثر حد .

الشكل ٥ - ١
الاصدارية

$$M = \frac{dF}{d\Sigma}$$

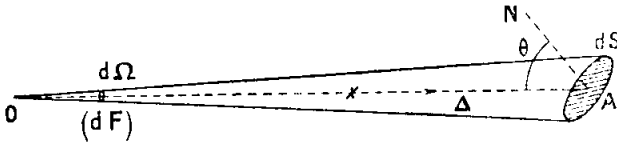
ج) يكون المنبع (أو جزء من المنبع) نقطياً إذا كان اكبر ابعاده a صغيراً جداً بالنسبة الى بعد الاستفاد

منه x . وان الحد الأقصى لـ a/x الذي يجري عليه هذا الاصطلاح يتعلق بدقة القياسات التي يراد اجراؤها . فيكون مثلاً $1/100$.

يطلق اسم الشدة الضوئية لمنبع نقطي O في استقامة معينة Δ على القسمة :

$$I = \frac{dF}{d\Omega} \quad [٤،٥]$$

بفرض dF التدفق الضوئي الصادر من المنبع داخل مخروط صغير جداً ذروته O (الشكل ٥ - ٢) يحوي على الاستقامة Δ وزاويته المجسمة $d\Omega$.



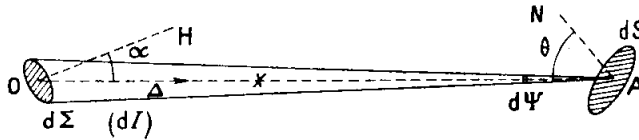
$$E = \frac{I \cos \theta}{x^2} \quad \text{الشكل ٥ - ٢ - الشدة } I = df/d\Omega \text{ ، الاستنارة } \frac{I \cos \theta}{x^2}$$

(١) قررت اللجنة الدولية عام ١٩٥٥ توصية استعمال الرمز M من أجل الاصدارية

يطلق اسم لمعان عنصر من المنبع الضوئي ، محيط بالنقطة O (في استقامة Δ) ، يمكن اعتباره نقطياً ، على النسبة :

$$L = \frac{dI}{d\Sigma \cos \alpha} \quad [٥،٥]$$

بفرض dI شدة العنصر في الاستقامة Δ (الشكل ٥ - ٣) و $d\Sigma$ سطحه و α الزاوية التي يؤلفها مع الناظم HO على العنصر .



الشكل ٥ - ٣

$$dE = L d\psi \cos \theta \quad \text{، والاستنارة} \quad L = \frac{dI}{d\Sigma \cos \theta}$$

(د) ان الزاوية المجسمة $d\Omega$ لخروط صغير جداً ، ذروته O ويستند على عنصر سطح قدره dS يحيط بنقطة A واقعة على البعد x من O ، هي :

$$d\Omega = \frac{dS \cos \theta}{x^2} \quad [٦،٥]$$

بفرض θ الزاوية التي يؤلفها OA مع الناظم AN على dS .

من العلاقتين [٤،٥] و [٦،٥] نستنتج استنارة dS :

$$E = \frac{dF}{dS} = \frac{I d\Omega}{dx} = \frac{I \cos \theta}{x^2} \quad [٧،٥]$$

— ٥ — يضاء حاجزان ابيضان متماثلان بنفس زاوية ورود θ ، اولهما A_1 بمصباح متوهج O_1 والثاني A_2 باربعة مصابيح O_2 بمائلة لـ O_1 ومغذات بنفس الكيفية ، ولا يججب احدها الآخر ، بحيث ان جملة هذه المصابيح لها شدة ضوئية تساوي

اربعة اضعاف شدة O_1 . فاذا راقبنا A_1 و A_2 بنفس الميل ، تحققنا من ان الشرط اللازم لكي يكون لهما مظهر واحد (وبالنقيجة نفس الاستنارة) هو ان يكون بعدهما عن المنبعين اللذين ينيرانهما ، متناسبين فيما بينهما كنسبة ١ الى ٢ .

اذا كانت الاستنارة ناجمة عن عنصر المنبع $d\Sigma$ المبحوث اعلاه (الشكل ٥-٣) وكانت قيمتها هي dE ، فانه ينتج من [٥،٥] ان :

$$dE = \frac{L d\Sigma \cos \alpha \cos \theta}{x^2} = L d\psi \cos \theta \quad [٥،٥]$$

وبإظهارنا لعبارة الزاوية المجسمة :

$$d\psi = \frac{d\Sigma \cos \alpha}{x^2} \quad [٥،٥]$$

التي يرى ضمنها من النقطة A العنصر $d\Sigma$.

ممكنا هذه الصيغة من ان نحسب ، ولو حساباً تقريبياً على الأقل ، الاستنارة التي تولدها حزم ذوات شكل هندسي معروف ، صادرة عن منابع يعرف لمعانها في كل استقامة مفيدة ، كاستقامة OA . وذلك حتى ولو كنا نجهل بُعد هذه المنابع ومساحة سطحها وتوجيهها . تلك مثلاً هي الحالة التي يرد فيها الضوء من السماء . واذا كان الوسط لا يمتص الطاقة الضوئية ، فان L هي مميزة للأشعة التي تنتشر في جوار OA : فيمكن اذن ان نسميها **اللمعان على طول OA** .

يعرّف الامتداد d^2U لحزمة الاشعة الصادرة من جميع نقاط العنصر $d\Sigma$ والمستندة على جميع نقاط العنصر dS بالعلاقة :

$$d^2U = \frac{dS \cos \theta d\Sigma \cos \alpha}{x^2} = x^2 d\Omega d\psi \quad [٥،٥]$$

حيث θ و α و x و $d\Omega$ و $d\phi$ لها الدلالات التي تقدم بيانها .
يستعمل هنا رمز التفاضل الثاني لأنه ينبغي المكاملة مرتين للوصول الى حزمة ذات مدى او امتداد متناه .

اذن فالتدفق الضوئي الذي تحمله هذه الاشعة ، بفرض L لمعانها :

$$d^2F = L d^2U = L d\Sigma \cos \alpha d\Omega \quad [١١,١٥]$$

ومن المعلوم (الجزء ٤، ١٩٤٤ - ٦) ان اللمعان الظاهري L' لحيال ضوئي هو (بتقريب قدره عامل النفوذ) مرتبط باللمعان L للجسم بالعلاقة $L' = \frac{n'^2}{n^2} L$ ، بفرض n و n' قرينتي الوسيطين : اي وسط الجسم ووسط الحيال ، فسينتج من انحفاظ التدفق ومن العلاقة [١١,٥] ان :

$$L d^2U = L' d^2U' \quad [١٢,٥ \text{ مكرر}]$$

باعتبار d^2U' المدى ، في وسط قرينته n' لحزمة مداها dU في الوسط الذي قرينته n . ويستنتج من ذلك :

$$n^2 d^2U = n'^2 d^2U' \quad [١٢,٥]$$

يمكن الحصول على هذه العلاقة مباشرة بالانطلاق من قوانين الانكسار .
(هـ) نقول عن منبع ضوئي انه يخضع لقانون لامبير (او انه مستقيم المناحي) عندما يكون لمعانه L واحداً في جميع المناحي التي يشع فيها . وفي هذه الحالة تكون اصداريته :

$$M = \pi L \quad (\text{في الوحدات المترابطة}) \quad [١٣,٥]$$

يمكن البرهان على هذه العلاقة بنفس المحاكمة التي طبقت على الاصدارية وعلى اللمعان الطائي (الجزء ٢ ، الفقرة ٢٠ - ٢ ج) .

(و) من الملائم أحيانا (ولا سيما في تقنية الانارة) ان يظهر جداء التدفق الضوئي بالزمن الذي استخدم فيه هذا التدفق . وهذا المقدار Q_1 يسمى كمية الضوء ، واذا تغير التدفق بدلالة الزمن t نكتب :

$$Q_1 = \int F \cdot dt \quad [١٤,٥]$$

وبنفس الكيفية نطلق اسم كمية الاستنارة على المقدار :

$$Q_e = \int E \cdot dt \quad [١٥,٥]$$

الذي هو جداء استنارة بمدة استعمالها .

يلخص الجدول ١٥ - ١ التعاريف التي تقدم عرضها ، كما ويسرد اقداراً اخرى تميز الخواص الفوتومترية للأجسام العاكسة والنافذة والماصة للضوء ، والتي سيرد الكلام عنها في الفقرتين ٥ - ١٠ و ٥ - ١١ .

الجدول ٥ - ١		
الاقطار والوحدة الفوتومترية		
الوحدة	الرمز	
لومن (lm)	F	التدفق الضوئي
لوكنس (لوكنس = ١ لومن / م ^٢) فوت (١ فوت = ١ لومن / م ^٢)	$E = \frac{dF}{dS}$	الاستنارة
لوكنس / م ^٢ = ١٠ ^٤ لوكنس / سم ^٢	$M = \frac{dF}{d\Sigma}$	الاصدارية
كانديلا (١ كانديلا = ١ لومن / ستراديان)	$I = \frac{dF}{d\Omega}$	الشدة الضوئية
فيت (١ فيت = كانديلا / م ^٢) سنيلب (١ سنيلب = ١ فيت / م ^٢)	$L = \frac{dI}{d\Sigma \cos \alpha}$	اللمعان
لومن - ساعة (١ لومن ساعة = ٣٦٠٠ لومن ثانية) لوكنس - ثانية	$\frac{Ll}{El}$	كمية الضوء كمية الاستنارة
$\alpha = F_o/F_i$ $\beta = \pi L/E$	عامل الامتصاص عامل اللمعان	$\tau = F_t/F_i$ $\rho = F_r/F_i$ عامل النفاذ أو التوصيل عامل الانعكاس

٥ - ٣ - الوحدات الفوتومترية .

يمكن التفكير بربط الوحدات الضوئية مباشرة بالوحدات الميكانيكية الأساسية وذلك بأن نتخذ كمعيار للتدفق الضوئي حزمة شعاعات تنقل استطاعة محددة ولها منحني توزيعي طيفي محدد تماماً . ولكن العلم لا يزال بعيداً عن الوصول في القياسات المطلقة للطاقة الاشعاعية وفي المقارنات الطيفية الضوئية الى الدقة اللازمة .

لاسباب عملية اتخذت وحدة الشدة الضوئية وحدة اساسية فوتومترية ، وهي الوحدة التي تسمى الآن كانديلا Candela (ورمزها cd) وقد حل هذا الاسم ، نتيجة توصيات اللجنة الدولية للمكاييل والموازين (عام ١٩٤٨) محل اسم الشمعة التي كانت تمثل سابقاً نفس الوحدة . وسيرد تعريف هذه الوحدة في الفقرة ٥ - ٨ .

ب (وحدة التدفق الضوئي هي الـ لومن lumen (ورمزه lm) وهو التدفق الذي يصدره ، ضمن زاوية مجسمة قدرها استيرديان ، منبع شدة في جميع المناحي المفيدة ١ كانديلا .

ويطلق اللوكس lux (ورمزه lx) على استنارة سطح يتلقى على متر مربع تدفقاً قدره لومن واحد موزع بانتظام ، وفوت phot (ورمزه ph) على استنارة سطح يتلقى لومناً واحداً في السنتيمتر المربع ، فيكون بنتيجة ذلك :

$$1 \text{ ph} = 10^4 \text{ lx} \quad [١٦٠٥]$$

تفيد نفس الواحدات في قياس الاصدارية ، ولكن تسميتها تصبح : لومن في المتر المربع (بدلاً من اللوكس) او لومن في السنتيمتر المربع (بدلاً من الفوت) .

يعطينا الجدول ٥ - ٢ بعض الأمثلة على الاستنارات مقدرة باللوكس :

الجدول ٥ - ٢ أمثلة عن قيم الاستنارة	
الاستنارات التي تحدثها :	
السماء الليلية	٣ ٠٠٠٠٠ لو كس
ضوء البدر	٢ ٠٠ لو كس
الانارة الاصطناعية	عشرات اللوكس
- الطبيعية (الداخلية)	مئات اللوكس
في اشعة الشمس	١٠٠ ٠٠٠ لو كس تقريباً

ج (يقاس المعان عادة بالكانديلا في المتر المربع وتسمى هذه الوحدة ايضاً نيت^(١)) (ورمزها nt) ويستخدم ايضاً الـ ستيلب (sb) او الكانديلا في السانتمتر المربع $1 \text{ sb} = 10^4 \text{ nt}$.

يعطينا الجدول ٥ - ٣ بعض أمثلة عن المعان، ومن المفيد لتجنب العشاوة

الجدول ٥ - ٣ أمثلة لقيم المعان	
البدر في سماء صافية	2.5×10^3 نيت
الذهب المضيء	١٠ الى 20×10^3
الورق الابيض المضاء بالشمس	30×10^3
الشعيرة الفحمية للمصباح المتوهج	0.8×10^6
شعيرة التنغستين = (في جو غازي)	$5 - 10 \times 10^6$
قوس كهربائية بين مسريين من الكربون الصافي	160×10^6
الشمس من خلال الجو	1600×10^6

(١) لم توص اللجنة الدولية للانارة بهذا الاسم .

(٤ ، ١٧ ، ٨) ان تستخدم عند الزوم عاكسات للضوء او ناثرات مناسبة كيلا تعرض العين لمنايع ضوئية يتجاوز لمعناها ٦١٠ نت تقريباً .

ملحوظة . - ينبغي دوماً ، عند تطبيق الصيغ ، استعمال وحدات مترابطة ، وخاصة عند تطبيق العلاقة [١٣ ، ٥] . تقدر M بـ lm/m^2 و L بالنيت (cd/m^2) .
او انه تقدر M بـ lm/cm^2 و L بالسيتليت (cd/cm^2) .

فلنتصور مثلاً قطعة من الورق الابيض في عين الشمس ، تتلقى استنارة قدرها ١٠٠ الف لو كس . فاذا اهملنا الامتصاص ، رأينا ان اصداريتها تقارب ١٠٠ ٠٠٠ لومن / m^2 ، وانه بالنتيجة يكون لمعناها قريباً من $\pi/100.000 = 3 \times 10^{-4}$ نيت او ٣ سيتليب .

د (يمكن تقدير كميات الضوء باللومن - ساعه ، وكميات الاستنارة باللوكس - ثانية .

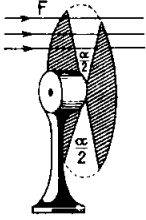
٥ - ٤ - الطرق المختلفة لتدريج الضوء :

أ (ان القياسات الفوتومترية الابصارية (اي قياس شدة الضوء وما يتبعها) ليس لها نصيب من الدقة الا اذا قامت على المقارنة بين لمعائين يلاحظان في آن واحد تقريباً . فيستطيع المراقب ان يقدر فيما اذا كانا متساويين تقريباً او غير متساويين ، ولكنه لا يستطيع ان يقدر كم مرة يكبر احدهما الآخر او يصغر عنه . لذلك لا بد من الاستعانة بجاهزين (شاشتين) فوتومتريتين مماثلتين ، تضاءان وتراقبان تبعاً لزاويتين متساويتين (بحيث ان تساوي اللعائين فيها يقضي حتماً بتساوي الاستنارتين) وتكونان في غالب الاحيان متجاورتين ، كما سيرد ذكره في ٥ - ٥ . وينبغي على الأقل ان تكون احدي الاستنارتين E اللتين يراد مقارنتها ببعضها ، يمكن جعلهما مساوية للأخرى بانقاصها بنسبة معروفة . ولدنيا من اجل ذلك وسائط الانقاص (التدريج) التي سنبينها .

ب) تقوم أبسط هذه الطرائق على تغيير البعد x للسطح المفروض عن المنبع الذي يضيئه ، فإذا بقيت زاوية ورود الأشعة θ على حالها ، فإن E تتغير مثلما تتغير $1/x^2$ وفقاً للصيغة [٧،٥] وليست هذه الطريقة قابلة للتطبيق إلا إذا كان يمكن اعتبار المنبع نقطياً ، أي إذا كان البعد x ليس بالصغير . (الفقرة ٥ - ١ ، ج) ولا يمكن إلا في حالات استثنائية) تغيير الزاوية θ ، لأن الخواص الناتجة للشاشات هي بحيث أن نسبة لمعانها إلى استنارتها تتعلق بنحبي السقوط والمراقبة .

ج) إذا كان لدينا منبع له نفس اللمعان في جميع نقاطه ، فإنه يمكن تغيير مساحته السطحية (أو طوله إذا كان خطياً) باستعمال حظائر ، وهذه الطريقة قليلة الدقة في الجملة بسبب عدم انتظام المنابع .

ان قرص تالبوت Talbot (الجزء ١٧٤٤ - ١٤ ب) هو قرص عاتم فيه قطاعات مفرغة (الشكل ٥ - ٤) ، يوضع في طريق الحزمة التي يراد انقاص



مفعولها الضوئي ، ثم يدار بحيث أن الضوء يمر خلال الجزء $\alpha/2\pi$ من كل دورة لدورانه ، بافتراض أن α (راديان) هي الزاوية المركزية الكلية للقطاعات المفرغة في المنطقة المستعملة . وينبغي أن تكون سرعة الدوران كافية حتى يمكن الاستفادة من دوام الانطباعات الضوئية (بضع عشرات من الدورات في الثانية لقرص له فتحة واحدة .

الشكل ٥ - ٤ .

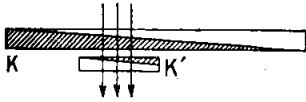
قرص تالبوت ، له
فتحتان متناظرتان

غير أن ضرورات التوازن تحمل على تفضيل الأقراص التي لها عدة فتحات (فتبدو عندئذ استنارة الرقعة

الفوتومترية ثابتة ومخففة بنسبة $\alpha/2\pi$ ، وتنقضى الزاوية α في أغلب الأحيان انتقاءً نهائياً) (أو أنه يمكن تغييرها وفق قيم متقطعة) ولكنه توجد أيضاً لقرص تالبوت نماذج يمكن فيها تنظيم α أثناء الدوران .

(د) ان قانون مالوس (الجزء ٢٤٤ - ٥٩ د ، وفي الفقرة ٧ - ٢ من هـ هذا الكتاب) يعطينا وسيلة مناسبة لانقاص التدفق الضوئي انقاصاً يتناسب مع مربع نجيب الزاوية التي تؤلفها مناحي الاهتزازات الضوئية النافذة من مقطب ، والمناحي النافذة من محلل موضوع بعده على استقامة الاشعة . على انه اذا كان المقطب هو الذي يدور ، فينبغي ان لا يكون الضوء الساقط عليه قد استقطب قبلاً ، واذا كان المحلل هو الذي يدور ، فينبغي ان لا يتعرض الضوء بعد اختراقه له الى النفوذ او الى الانعكاس بواسطة اجسام اخرى بشكل يتعلق بحالته الاستقطابية . واذا اهملنا هذه الشروط تعرضنا لاختفاء جسيمة .

(هـ) يمكن أخيراً انقاص التدفق الضوئي بوضع مرشحة في طريقه كالزجاج المسود ، الذي يمكن ان يكون صفيحة متوازية الوجهين ، او جملة من قرنتين لهما زاوية حادة تكون كل واحدة منها قابلة للتحريك بالنسبة الى الاخرى (الشكل ٥-٥) بحيث تؤلفان ما يعادل صفيحة ذات ثخن قابل للتنظيم .



الشكل ٥ - ٥ . - مرشحة نفوذية متغيرة تتألف من قرنة متحركة K ومن قرنة مقابلة K' .

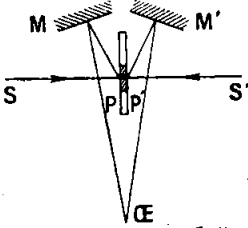
ان نفوذية المرشحات التي من هذا النوع تتغير في الجملة مع طول الموجة ، حتى ولو كانت من النوع المسمى بالمعتدل (اي غير اصطفائي) . ويمكن استخدامها من

أجل القياسات التي تجرى على الاضواء الوحيدة اللون بعد ان تدرج مثلاً ، بتطبيق قانون المسافات ؛ واما اذا كان الضوء مركباً ، فإنه ينبغي التوثق من ان تركيبه الطيفي لا يتعدل تعديلاً محسوساً بعد اختراقه للمرشحة .

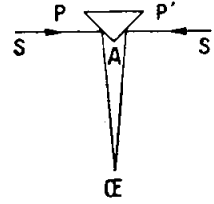
٥ - ٥ - ٥ . - الرفاع الفوتومترية .

(أ) لصنع الرفاع الفوتومترية التي تتلقى الاضواء التي يراد مقارنتها ، استخدمت حواجز (شاشات) ناترة بيضاء من الورق او من الكرتون او الزجاج الشاف او

الجص ... ، وتدل التجربة على ان القياسات تصبح اذق كلما كان السطحان اقرب تجاوراً وان الزاوية التي ينظر اليها منها هي 4° الى 8° .
يتألف مقياس الشدة (فوتومتر) لريتشي Ritchie (الشكل ٥ - ٦) من موشر قائم الزاوية من الجص حرفه A رفيع بقدر الامكان ، ويضاء السطحان P و P' ويراقبان تحت زاوية ورود قريبة من 45° . فعندما تتساوى استنارتاهما يخففي الحظ الفاصل بينهما اذا كان للضوئين نفس اللون ، ويقال انه قد حصل حينئذ توازن فوتومتري .



الشكل ٥ - ٧ .
مقياس الشدة الضوئية
لبنزن (ذو التباين)

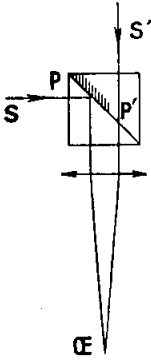


الشكل ٥ - ٦ .
مقياس الشدة الضوئية
لريتشي

ب) في مقياس الشدة الضوئية لبنزن Bunsen (الشكل ٥ - ٧) تضاء شاشة شافة (من الورق) اضاءة ناظمية بالضوئين اللذين يراد المقارنة بينهما . ولهذا الشاشة منطقة مركزية شبيهة ببقعة من الزيت ، عاملاً نفوذها وانعكاسها يختلفان عن سائر الشاشة (الفقرة ٥ - ١٠) يلاحظ الوجهان P و P' بالانعكاس على مرآتين M و M' ، وتكون العين CE موجودة في مستوى تناظر الجهاز .
لا يتفق التوازن الفوتومتري مع التساوي في لمعاني السطحين فحسب (وهذا امر صعب التقدير لانها ليسا متماثلين) ، بل مع تساوي التباين في خيالي بقعة الزيت المنظورين في المرآتين (٤ - ٣ ، ٤) : فاذا تغيرت احدى الاستنارتين ازداد تباين احد هذين الخياليين ، بينما نقص الآخر . وذلك امر تسهل ملاحظته .

ج) يشمل عدد من مقاييس الشدة الضوئية على جهاز يسمى مكعب لومر وبرودون Lummer et Brodhun . وهو يتألف من موشرين شفافين قائمي

الزاوية متساوي الساقين متلاصقين بالوجه الوتري (الشكل ٥-٨) ويجعل هذا الوجه شفافاً في جزء من سطحه (بواسطة طلي احـد الموشورين بالمعدن او بازالة التماس ما بين الموشورين ، مع جعل الموشور الخلفي بجوفاً قليلاً بحيث يحصل انعكاس كلي) فهذا القسم يؤلف احدى الرقعتين P اللتين تلاحظهما العين AE ، وعلى بقية وجه الوتر ، التي تؤلف الرقعة الثانية P' ، يكون تماس الموشورين بحيث ان جملتهما تصبح معادلة لصفحة متوازية الوجهين . ويكون لـ P و P' شكل



الشكل ٥ - ٨ .

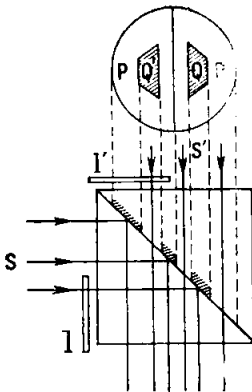
المكعب الفوتومتري

لومر وبرودون

مستطيلين او نصف دائرة متلاصقين ، او دائرة صغيرة وحلقة تحيط بها . وان اهمية هذا الجهاز هي في أن خط الفصل فيه يمكن جعله رقيقاً جداً . ويأتي الضوء الساقط على P و P' من حاجزين ناثرين يضاءان بالضوءين اللذين

يراد عمل المقارنة بينهما (انظر الشكل ٥-١٠) الا اذا استعملت تركيبة ليس فيها حاجز ناثر . كما سيرد بيانه في الفقرة ٥-٦ ب .

يجوي مكعب لومر ذو التباينات على ٤ رقاع تكون اشكالها مثلاً نصف دائرة



الشكل ٥ - ٩

مكعب لومر ذو التباينات

وشبه منحرفين، المبينة في الشكل ٥ - ٩ . فيتلقى نصف الدائرة P وشبه المنحرف Q ، بالانعكاس ، ضوء المنبع S . ويتلقى نصف الدائرة P' وشبه المنحرف Q' بالانفوذ ضوء المنبع S' . وهناك صفيحتان رقيقتان متوازيتا الوجهين I و I' موضوعتان في طريق الضوء تنقصان الضوء الوارد على Q وعلى Q' بنفس النسبة (وتكون على العموم في حدود ٨ ٪ ، وهو مجموع التضييعات بالانعكاس على وجهي الدخول والخروج لكل من I و I' ، باعتبار الامتصاص ضعيفا مهملًا) . بنتيجة ذلك ، عندما يحصل التوازن الفوتومتري ، يكون لمعانا P و P' متساويين وكذلك لمعانا Q و Q' ايضا ،

ولكنها اقل قليلا من الاولين . واذا زادت استنارة P قليلا على استنارة P' فان تباين Q' بالنسبة الى P يتناقص ، وتباين Q بالنسبة الى P' يزداد . وان امكان تحقيق رفاع ذوات تباين بخطوط فصل رفيعة جداً تجعل هذا الجهاز مرضياً جداً .

٥-٦ . دقة القياسات . المنابع العيانية :

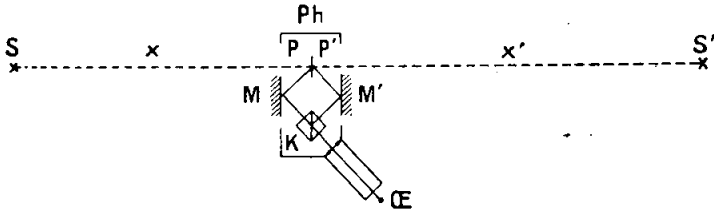
اذا كرر قياس فوتومتري ابصاري عدة مرات وجد في النتائج تشتت ملحوظ . وان الارتياب في القياسات الوسطية للشدة المتأثلة الألوان التي يقوم بها مجرب خبير ، لا ينزل ابدأ دون ٢ - ٣ بالألف .

يضاء احد السطوح عادة بمنبع ضوئي عياني تجعل شدته ثابتة بدون ان يكون ثمة ضرورة الى معرفتها . وهذه الطريقة التي تذكر بطريقة الوزن بعيار ثابت (الجزء الاول ، ٦ - ٤) تمتاز بانها تتخلص من بعض اسباب الخطأ الناجمة عن عيوب التناظر في اجهزة القياس .

والعيار اليوم يكاد يكون دوماً مصباحاً كهربائياً متوهجاً ذا شعيرة ، له مواصفات استعمال شبيهة بمواصفات العيارات الكهربائية المتوهجة (الفقرة ٥ - ٨ أ) وتكون متفاوتة في دقتها حسب درجة دقة القياس المطلوبة .

٥-٧ . القياس الابصاري للشدات الضوئية . التوزيع الفراغي :

أ) تجرى عمليات مقارنة الشدات الضوئية في اكثر الاحيان ، بواسطة المنضدة الفوتومترية . وتتألف من سكتين متوازيتين طول الواحدة منها عدة امتار . وعليها عربتان تحملان المنبعين S و S' و الرأس الفوتومتري Ph (الشكل ٥ - ١٠) وعلى هذا الرأس الرقعتان الفوتومتريتان وعينية تحدد موضع العين CE . وعندما يحصل التوازن الفوتومتري يكون :



الشكل ٥ - ١٠ - مبسط مبدئي لمنضدة فوتومترية ؛ الحالة التي زود فيها
الراس الفوتومتري Ph بمكعب لومر K ، مقروناً بجهاز ناشر عام ، ينظر الى
وجهيه PP' بالانعكاس على المرآتين M و M'

$$I/x^2 = I'/x'^2 \quad [١٥٠٥]$$

I و I' هما شدتا المنبعين S و S' و x و x' هما بعداهما عن مقياس الشدة الضوئية .
يبحث عن التوازن بتحريك Ph بين S و S' الثابتين (وذلك في اغلب
الاحيان ايسر وانسب من تحريك المنبعين) او بتغيير x فقط او x' ، بحيث
تظل احدى الاستنارتين ثابتة . وتقرأ المسافات (بتقريب قدره ٥,٥ مم مثلاً)
على مسطرة مدرجة مثبتة على المنضدة .

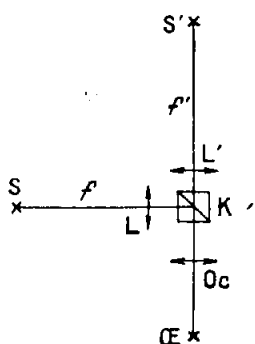
٥ - يتحقق بسهولة ، بواسطة المنضدة الفوتومترية ، من صحة مختلف طرق
تدريج الضوء التي سبق ذكرها في الفقرة ٥-٤ .

ب) اذا كانت النسبة I/I' (مثلاً) كبيرة ، في حدود ١٠٠ وكان x ينبغي
الا يقل عن ١ م لكي يمكن اعتبار المنبع S' نقطياً ، فان الصيغة [١٧٠٥] تبين
اننا نضطر عندئذ الى ان نجعل x قريباً من ١٠ م ، اي ان نستعين بمنضدة ذات
طول مزعج جداً . في مثل هذه الحالة يمكن ان نعترض طريقين ، الضوء بين S و
Ph بقرص تالбот ، يكون عامل التخفيض فيه كافياً ، اي واقعاً بين ١/٢٠ و
١/١٠٠ مثلاً .

ج) لدى دراسة الضوء ذي الشدة الضعيفة (وخاصة في قياسات شدة الضوء

الطيفية ، او في القياسات على التفلور) يستعان أحيانا بمقاييس لشدة الضوء ليس لها شاشة ناترة . فيوضع المنبعان S و S' بالترتيب في المحرقين الجسميين لعدستين L و L' بعداهما المحرقان f و f' (الشكل ٥ - ١١) . فالحزمتان المتوازتان

الثان تخرجان من هاتين العدستين تسقطان بعدئذ على مكعب لومر K الذي تراقبه العين E الواقعة في المحرق الخيالي للعينية Oc ، حيث يتشكل الخيالان الحقيقيان لـ S و S' . وما دام هذان الخيالان داخل البؤبؤ (أي صغيرين جداً) ومتطابقين فوق بعضها ، فانه يحصل لدينا عند تحقيق التوازن الفوتومتري :



الشكل ٥-١١ .

مبدأ مقياس شدة الضوء
بدون حاجز ناثر

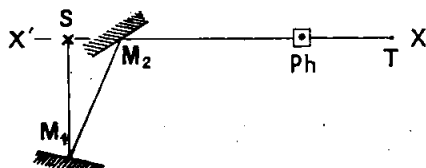
$$I/f^2 = I'/f'^2 \quad [\Delta \wedge, 5]$$

وتبدو لنا الرقعتان أضواً بكثير مما لو استعملنا
حاجزاً ثالثاً (حتى ولو كانت المسافات x و f و

x' و f' متقاربة في أقدارها (لأن التدفقين الضوئيين الساقطين على الرقعتين في هذه الحالة يكونان موجّهين تماماً نحو العين ، في حين ان انتشار الضوء على الحاجز يدفع بعيداً عن العين القسم الأكبر من هذين التدفقين . غير انه للحصول على التوازن الفوتومتري عندما يكون f و f' قابتين ، ينبغي ان نستعين بإحدى الأدوات المبينة في الفقرات ٥-٣ ج الى ٥-٣ هـ .

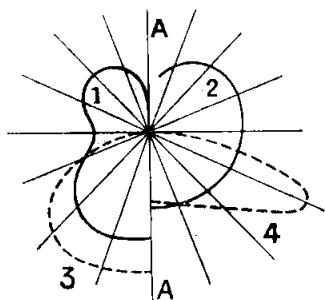
(د) يحتاج في كثير من الاحيان الى معرفة توزيع الشدات الضوئية لمنبع S ، في مختلف مناحي الفراغ . واذا كان لا يمكن ان يعطى للمنبع كل التوجيهات ، المرغوبة ، فانه يستعان بمجموعة من المرايا تستخدم بزوايا ورود ثابتة ، مثلما هو

الشان عندما ندور معاً M_1 و M_2 اللتين في الشكل ٥-١٢ حول المحور $X'X$ المار



الشكل ٥-١٢ . مثال الجهاز المستخدم لدراسة التوزيع الفراغي للشدات الضوئية . T هو المنبع العياري .

بالمنبع وبقياس شدة الضوء . ويعطينا الشكل ٥-١٣ أمثلة عن النتائج العائدة الى المنابع الضوئية التي لها تناظر دوراني تقريباً .



الشكل ٥-١٣ .

أمثلة عن المنحنيات القطبية للتوزيع الفراغي للشدة الضوئية (A محور الدوران) : ١ ، المصباح العاري ذو الشعيرة الحلزونية ، ٢ نفس المصباح مع زجاج شاف ، ٣ - مصباح مع عاكس ، ٤ - مصباح مع كاسر .

٥ - ٨ . معياريات الشدة الضوئية .

أ) ان تعريف وحدة الشدة الضوئية (الفقرة ٥ - ٢ أ) قد طرأت عليه تعديلات متتابة القصد منها زيادة الدقة في التعريف بدون تغيير قيمتها تغييراً محسوساً .

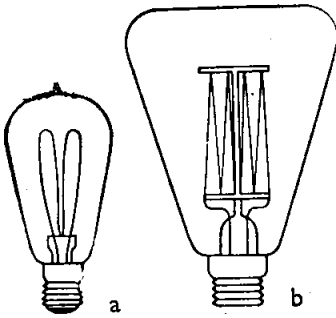
فبعد الشمعات ومصابيح اللهب (مصابيح كارسل Carcel الزيتية وغيرها) خلفتها كمنابع عيارية او عديلة ثم كمنابع معيارية مصابيح التوهج ذات شعيرة الكربون المصنوعة بعناية زائدة . بعد ان

تقضي هذه المصابيح برهة تكون تبلغ بضع عشرات من الساعات ، وبشرط ألا تتعرض لتوتر يتجاوز توترها الكهربائي النظامي ، تصبح شدتها الضوئية مستقرة

بتقريب بضعة اجزاء من الألف عندما يثبت التوتر بين مربطيهما بتقريب بضع عشرات من الألف . وعندما تمضي مدة طويلة على استعمال المصباح ، يغطي الكربون المتطاير جدار الحبابة الداخلي فيصبح ماصاً بدرجات متزايدة وتزيد مقاومة المصباح ولا يعود صالحاً للاستعمال في القياسات الدقيقة .

اختير عدد من المصابيح بالاصطفاء وعينت شداتها الضوئية بالمقارنة مع معيارات سابقة ، واستخدمت في فترات نادرة لتعير معيارات ثانوية واستبدل بها في الوقت المناسب . وهكذا اتفق على ان الشمعة تمثل بكسر (جزء) معين من وسطي الشدات في منحنى معين ، خمسة مصابيح مودعة لهذه الغاية في الكونسيرفانوار القومي للفنون والحرف .

يرينا الشكل ٥ - ١٤ نموذجين من المصابيح المتوهجة العيارية ، فاما ذو



الشكل ٥ - ١٤

المصابيح المعيارية

(a) ذوات شعيرة الكربون

(b) ذوات شعيرة التنغستين

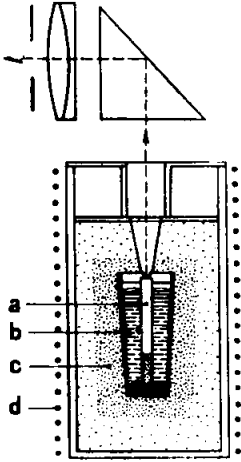
شعيرة التنغستين فان التغير النسبي فيه لشدة الضوء dI/I فهو في حدود ٤ أمثال التغير dV/V للتوتر الكهربائي بين مربطيه المصباح (مقابل ٦ أمثال في مصباح الكربون) وان درجة حرارة اللون الحاصلة تسمح بمقارنات أكثر تجانساً في اللون في شعيرة التنغستين منها في شعيرة الكربون في الاضواء المستعملة . تركّز الشعيرة في مستو ونجري قياسات الشدة الضوئية في منحنى عمودي على هذا

المستوي . وتؤمن التغذية الكهربائية بواسطة المدخرات ونجري القياسات الكهربائية بواسطة مقياس الكمون (الجزء ٦ ، ٦ - ١٥) .

ان المصابيح التي تتخذ كمصابع عيارية تستدعي كلها عين الحيلة والحذر ،

وبتفاوت ذلك حسب الدقة المنشودة. وتنظم عادة شدة التيار الذي يغذيها (بدلاً من تنظيم التوتر بين مربطيه) ، وتراقب أحياناً مقاومتها الكهربائية (بتوكيها في جسر وتسطن راجع الجزء ٦ ، الفقرة ٦ - ١١) وذلك يثبت درجة حرارتها وبالتالي نظامها الضوئي .

ب (ظل المعيار المؤلف من مصابيح التوهج ذا صفة كيفية غير مضمونة الضبط ، ولم يكن استقراره يبدو مضموناً ضماناً مطلقة ، غير ان التقدم الذي تحقق في مجال صنع الاجسام السوداء (٢ ، ٢٠ - ٣ ب و ٢٠ - ٧) قد تمكن اخيراً من تبنيها كمعايير اولية : وتعرف الكانديلا اليوم بأنها جزء من ستين من الشدة المشعة في المنحى الناطمي لسنتمتر مربع من جسم اسود موجود في درجة تصلب البلاتين . وهذه الدرجة يمكن تحقيقها ويبقى البلاتين نقياً اذا سخن بواسطة التحريض في التواتر العالي (٤٥ - ٣) في بوتقة من التورين . ويمثل لنا الشكل ٥ - ١٥ هذا الضرب من الجسم الاسود المعياري .



الشكل ٥ - ١٥
جسم اسود في درجة انجذاب
البلاتين ، (a) جسم اسود
(b) بلاتين ، (c) تورين
مسحوق ، (d) وشيعة التسخين

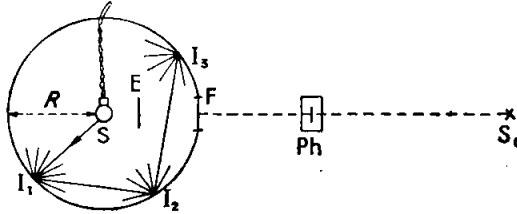
٩-٥. القياس الابصاري للتدفق الضوئي

تميز المنابع الضوئية اليوم بواسطة تدفقها ، بدلاً من شدتها، ويمكن تحقيق هذا التدفق بالعلاقة :

$$F = \int Id\Omega \quad [١٩٠٥]$$

المستنتجة من [٤٥] (او بوجه افضل بمجموع يحل محل هذا التكامل) اذا عرفنا الشدة في جميع المناحي ، الداخلة في هذا الحساب .

متى كان لدينا منبع ذو تدفق معروف ، فإنه يمكن ان نقارن به منابع اخرى بواسطة جهاز مقياس اللومن (او مقياس التدفق) كجهاز اولبريشت - بلوندل Ulbricht - Blondel . (الشكل ٥ - ١٦) وهو يتألف من كرة



الشكل ٥ - ١٦ - مقياس اللومن الكروي (لم يمثل فيه حامل الشاشة E) . وقد مثل فيه الانتثار الحاصل في نقطة ما I_1 لشعاع صادر من S ، والانتثار في I_2 لأحد الاشعة المنتشرة في I_1 ، الخ .

جوفاء Σ ، نصف قطرها R ، مطلية من الداخل بطلاء ابيض ناثر ، ولها نافذة صغيرة F مجهزة بزجاج شفاف ، وليكن S منبعاً تدفقه الضوئي F ، موضوعاً في داخل الكرة ، ويمنعه الحاجز E من ان يضيء F مباشرة . ان هذا الحاجز ، وجميع الحوامل مطلية بالبياض . فاذا كانت ابعادها وابعاد المنبع والفتحة F كلها صغيرة بازاء R ، وكان الطلاء يعكس في كل نقطة من نقاطه نفس الجزء (الكسر) ρ القريب من الواحد ، من التدفق الضوئي الذي يتلقاه ، فإن الاستنارة E للزجاج الشاف تكون متناسبة مع F .

والتدفق الضوئي الذي اصابه انعكاس هو $F\rho$ ، والذي اصابه انعكاسان هو $F\rho^2$ ، الخ ... ونحصل على استنارة النافذة التي تتلقى كل هذه التدفقات المنتثرة (ولكن لا تتلقى الاشعاع المباشر) بتقسيم مجموعها بسطح Σ اي $4\pi R^2$:

$$E = \frac{F}{4\pi R^2} (\rho + \rho^2 + \rho^3 + \dots) = \frac{1}{4\pi R^2} \cdot \frac{\rho}{1 - \rho} F \quad [٢٠٠٥]$$

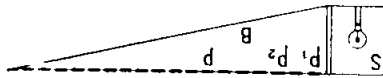
واذا احلنا عدة منابع بعد الآخر محل الأول ، فإن نسبة تدفقاتها

تساوي نسبة الشدات الضوئية للزجاج الشاف (في منحنى معين) وهذه النسبة تقاس بواسطة مقياس الشدة الضوئية Ph ذي المصباح العياري S_0 . ولا حاجة لمعرفة R ولا ρ ، بشرط ان يظل هذا الأخير ثابتاً تماماً . وتستخدم **كروات** كاملة مبنية على هذا المبدأ في عدة مقاييس للشدة الضوئية .

٥ - ١٠ . - القياس الابصاري للاستنارة والمعان :

أ) يطلق اسم لو كس متر (او مقياس اللوكس) على الاجهزة التي تقيد في قياس الاستنارة ، واسم مقياس المعان او نيتومتر على الاجهزة التي تستعمل لقياس المعان . وليس على العموم فرق مبدئي بين هذين النوعين من الاجهزة ، لأنه اذا اريد قياس الاستنارة في نقطة ما A في استقامة معينة على مستو ، يوضع وفق هذه الاستقامة حاجز ابيض يكون جيد النثر الى اقصى حد (انظر ٥ - ١١) يسمى احياناً لوحة التجريب الفوتومتري . ويقاس لمعانها .

على ان نموذج مقياس اللوكس الممثل بالشكل ٥ - ١٧ لا يمكن ان يستعمل



الشكل ٥ - ١٧ .
مقياس اللوكس ذو الرقاع المتعددة

مقياساً للمعان . وهو يحوي

سلسلة من الرقاع P_1, P_2, \dots

الشفافة ينيرها منبع عياري

بالتفؤذية وتتناقص انارته لها

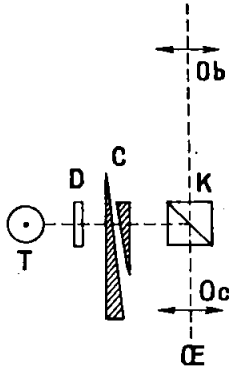
كلما زاد بعده عنها . وهذه

الرقاع قد اقطعت من غطاء عاتم ابيض ناثراً بالانعكاس لعلمة B قد بيضت جدرانها الداخلية ايضاً . وعندما يتلقى الغطاء استنارة قدرها E ، فانه يصادف على العموم ان اقرب الرقاع الى S تبدو اضعاً من الحلقة التي تحيط بها وان الرقاع القاصية

عن S تبدو أقل ضياءً من هذا الخلفية . فتقدر E تقديراً تقريبياً حسب موقع الرقعة P التي يبدو ان لها عين لمعان الخلفية .

(ب) يوجد اشكال عديدة من مقاييس اللوكس والنيت الابصارية . وكل النماذج الحديثة منها تحوي على مصباح عياري كهربائي يغذى ببطارية مدخرات وله مقاومة قابلة للتعديل لتنظيم شدة التيار ، ومقياس للأمبير (او تركيبة على اساس جسر وتستون ، راجع الفقرة ٥-٧ ج) وتكون الرقاع الفوتومترية هي سطوح مكعب لومر ، ويحصل على التوازن باحدى طريقتي تدريب الضوء الموضحتين في الفقرة ٥-٣ .

نذكر على سبيل المثال مقياس النيت لجويان وايفون Jobin-Yvon ، الذي يبين لنا الشكل ٥-١٨ صورة مبسطة عنه .



الشكل ٥-١٨

مبسطة مقياس النيت لجويان وايفون. T مصباح عياري ، D صفيحة ناثرة ، C قرنة مضاعفة ماصة ، K مكعب لومر ، Ob جسمية تؤلف على خيالاً للجسم الذي يقاس لمعانه ، Oe عينية ؛

كثير من هذه الاجهزة قد درج رأساً باللوكس او بالنيت . وهي تعير أو تراقب عند الازوم بارسال استنارة معينة معروفة على لوحة التجريب او باستخدام عيار ثانوي للمعان . ويمكن ان يكون هذا مصباحاً ذا شعيرة من التنغستين شبيه بالمعيار النارية (الحرارية) (٢٠٠٢-٩ أ) .

يمكن ان تتدخل عدة اسباب للخطأ ، في استعمال مقياس اللوكس : تغير المصباح العياري ، خلخلة (لعب) القطع الميكانيكية ، الظلال التي يسقطها الشخص المراقب او المحرب ، أضواء طفيلية ... ولحسن الحظ يمكن الاكتفاء في اغلب القياسات باستنارات (او بلمعانات) قليلة الدقة (اي في حدود بضعة أجزاء من مائة فقط) .

٥ - ١١ - . عوامل الانعكاس ، والنفاذ (التوصيل) والامتصاص .

أ (يطلق اسم عامل الانعكاس لسطح ما ، على النسبة :

$$\rho = F_r / F_i \quad [٢١-٥]$$

بين التدفق المنعكس والتدفق الوارد العائد اليه ، ونفترض في هذه الفقرة ان الانعكاس موضوع البحث هو انعكاس نظامي .

كذلك يعرف عامل النفاذ او التوصيل للجسم بالنسبة :

$$\tau = F_t / F_i \quad [٢٢-٥]$$

بفرض F_i التدفق النافذ من خلال الجسم .

وعامل الامتصاص

$$\alpha = F_a / F_i \quad [٢٣-٥]$$

باعتبار F_a التدفق الممتص .

واذا أخذنا بعين الاعتبار عند تقدير ρ جميع الضوء المنعكس (كالذي ينعكس مثلاً على وجه الخروج ووجه الدخول في صفيحة متوازية الوجهين) يحصل معنا طبعاً :

$$\rho + \tau + \alpha = 1 \quad [٢٤-٥]$$

وعندما يكون τ معدوماً :

$$\rho + \alpha = 1$$

تتغير هذه العوامل احياناً تغيراً كبيراً مع التركيب الطيفي للضوء . وفي

الحالة المخالفة لذلك (حالة الضوء الوحيد اللون) يكون قياسها عملية من عمليات قياس شدة الضوء المتجانس اللون .

وإذا كان الامر امر انعكاس ونفوذ نظاميين ، 'يشكل الجسم لمعانه L خيال يكون لمعانه حسب الأحوال اما $L' = \rho L$ أو $L' = \tau \frac{n'^2}{n^2} L$ ، بفرض n' و n قرينتي وسط الخيال ووسط الجسم (١٩٤٤-٦) وفي الجملة يكون الجسم والخيال في الهواء وتكون $n' = n$ ، ويعود قياس ρ و τ اذن الى قياس النسبة L'/L ، وتستنتج α من ذلك بالعلاقة [٣٤،٥] .

ب) في الوسط المتجانس غير الناثري ينقص اجتياز سماكة قدرها de القيمة النسبية للسعة L_λ لشعاع وحيدة اللون انقاصاً متناسباً مع de ، أي أنه يمكن أن نكتب :

$$\frac{dE_\lambda}{E_\lambda} = -K de \quad [٢٥،٥]$$

يسمى K عامل الامتصاص^(١) للوسط بالنسبة الى طول الموجة λ .

ولما كانت التدفقات الضوئية متناسبة مع مربعات السعات ، فان التدفق F_1 يصبح بعد اجتيازه لسماكة قدرها e ، هابطاً الى القيمة F_2 ، بحيث يكون :

$$F_2/F_1 = \exp (- 2 Ke) \quad [٢٦،٥]$$

ملحوظة . - يطلق بعض المؤلفين اسم عامل الامتصاص على الكمية :

$$\ln \frac{F_2}{F_1} = 2 K \quad \text{بدلاً من } K$$

(١) يجب الا نخلط عامل الامتصاص مع الفعالية الضوئية (الصيغة [٢،٥]) الممثلة بنفس الرمز .

[١١-٥] عوامل الانعكاس ، والنفاذ (التوصيل) والامتصاص ١٧٥

وابعاد K هي أبعاد مقلوب الطول ، فبعد سير قدره $\frac{1}{2K}$ يهبط التدفق الى النسبة $\frac{1}{e}$ من قيمته الأصلية ، بفرض e اساس لوغاريتم نيبير .

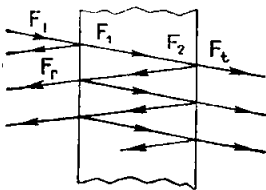
$$\frac{1}{e} = \frac{1}{2,72} = 0,37$$

يكون الوسط ضعيف الامتصاص او شديده بالنسبة الى طول الموجة λ حسبما يكون $\frac{1}{2K}$ اكبر بكثير أو أصغر بكثير من λ .

أمثلة :

المادة	λ (m)	$2K$ (m ⁻¹)	$\frac{1}{2K\lambda}$
الماء	$10^{-6} \times 0,8$	٢,٤	٥٢٠ ٥٠٠
الزجاج الاسود	— ٠,٥	٤١٠	٢٠٠
الفوشسين	— ٠,٥	610×٥	٠,٤
الذهب	— ٠,٥	710×٨	٠,٠٢٥

فالجسمان الأولان (حتى الزجاج الاسود) هما قليلا الامتصاص ، والاخيران هما شديدا الامتصاص ، مع فارق هو أن الامتصاص الشديد للفوشسين مقصور على منطقة من الطيف ، بينما ان امتصاص الذهب يمتد من الموجات الهرتزية حتى ما فوق البنفسجي .



الشكل ١٩-٥ .

التدفق الضوئي النافذ من خلال
صفیحة متوازية الوجهين

(د) لنفرض ، بصورة خاصة ، صفیحة متوازية الوجهين ثخنها e (الشكل ١٩ - ٥) عامل الانعكاس على وجهه الدخول ووجهه الخروج فيها هو ρ (مع اخذ ظاهرة الانعكاس المتكرر بعين الاعتبار ، عند الضرورة) . يقابل التدفق الوارد النظامي F_i ، عند الدخول

الى الصفیحة ، تدفق F_1 يساوي $F_1 (1 - \rho)$ و يقابل التدفق F_2 ، تدفق بارز :

$$F_1 = (1 - \rho) F_2$$

فاذا اخذنا العلاقة [٢٦،٥] بعين الاعتبار ، نتج :

$$F_t / F_i = (1 - \rho)^2 \exp (-2 Ke) \quad [٢٧،٥]$$

د) يطلق اسم **الكثافة الضوئية** على لوغاريم $1/\tau$ ، اي :

$$D = \log (F_i / F_t) = \text{col } \tau \quad [٢٨،٥]$$

فالكثافات ١ ، ٢ ، ٣ ... تقابل اذن عوامل نفوذ قدرها ٠،٠١ ، ٠،٠١ ، ٠،٠٠١ ...

وفي حال الصفیحة الذي اعتبرناه اعلاه ، يكون :

$$D = 2 Ke + 2 \text{col } (1 - \rho) \quad [٢٩،٥]$$

اذا كانت الصفائح شديدة الامتصاص كان الحد الثاني من هذه العبارة يمكن اهماله ، وفي الصفائح الكثيرة الشفافية يمكن ان يكون هو الأهم .

واذا طبقنا عدة صفائح ، فان التدفق الوارد على الثانية هو الخارج من الاولى ، وهكذا ، فينتج من ذلك ان الكثافات الضوئية تتضاف .

ملحوظة . - ليست هذه النتيجة صالحة ، ولا كذلك العلاقة [٢٦،٥] الا في حالة الضوء الوحيد اللون ، او اذا كان الضوء مركباً ، فتكون صالحة عندما يمكن اعتبار K هو نفسه بالنسبة الى جميع المواد المركبة للصفیحة .

٥ - ١٢ . — **الوننتار** ، **عامل اللومانه** ، **الامتصاص الظاهري** :

١) ان الجسم الذي ينثر الضوء ، سواء اكان ذلك بالانعكاس والنفوذ

(كالزجاج الشاف والزجاج اللبي) او بالانعكاس فقط (كالورق المقوى الابيض) يسمى مستقيم المناحي اذا كان لمعانه واحداً في جميع المناحي ، مها كانت زوايا الورود ، وتكون اصداريته عندئذ (الفقرة ٥ - ٥١) :

$$M = \pi L \quad [١٣،٥]$$

فهذا هو النثر الكامل ، واذا كان امتصاصه بالاضافة الى ذلك معدوماً ، فان اصداريته M بالانعكاس الانتثاري تساوي في هذه الحالة استنارته E ، ولمعانه هو $L_0 = E/\pi$. وهذه حالة مثالية ، اما في الحالات الحقيقية ، فان هنالك عاملاً للمعان β يعرف بالعلاقة :

$$\beta = L/L_0 = \pi L/E \quad [٣٠،٥]$$

فمن اجل توزيع زاوي معين للاشعة المضيئة ، ومن اجل منحى معين للضوء المنتثر يكون عامل المعان هو النسبة بين المعان المنظور ولمعان النثر الكامل . تتغير β في الجملة مع منحى او مناحي الورود للحزم المولدة للاستنارة E او مع المنحى الذي يلاحظ فيه المعان L .

ملاحظة . - لما كان الضوء المنتثر مركزاً في بعض الحالات ، بصورة جزئية ، في جوار مناحي الانعكاس الانتثاري ، فان β يمكن ان يكون اكبر من الواحد ، وحتى الى حد بعيد احياناً .

ب) يمكن قياس العامل β بالمقارنة بين المعان L للجسم المدروس وبين المعان L_0 لنثر معياري ، يكون قريباً بقدر الامكان من النثر الكامل ، على ان يعرف الفرق بينه وبين هذا الأخير . ويمكن ان يستعان لهذه الغاية بطبقة من المايزا المحضرة حديثاً (بتوسيب بطيء لدخان احتراق الماغنزيوم الصافي) وتضاء بزاوية ٤٥° وتراقب ناظمياً فعامل لمعانها يساوي الواحد بتقريب ١ في المائة .

يكتفى غالباً بدراسة التغيرات النسبية لـ L مع منحى المراقبة ، من اجل توجيهات مختلفة للاستئارة . ويمكن ترجمة النتائج بمنحنيات قطبية تسمى ادلة الانتثار (ضمن شروط محددة للاستئارة) .

ج) ان الحزمة الوحيدة اللون النافذة بانتظام عبر وسط ناثر ، تخسر من تدفقها F الجزء الذي اصابه الانتثار، واذا كان الشغل المحترق dx ، فان التغير الذي يقابله في F هو على الشكل :

$$dF = - 2K_d F dx \quad [٣١,٥]$$

ان عامل الامتصاص الظاهري (الناجم عن الانتثار) K_d ، الذي يتغير اجمالاً مع طول الموجة يضاف اذن الى عامل الامتصاص الحقيقي الذي في الصيغة [٢٥,٥] والذي يمثله هنا بـ K_v ، فيعطي العامل المسمى بعامل الامتصاص الكلي :

$$K = K_v + K_d \quad [٣٢,٥]$$

بحيث ان التدفق الوارد F_1 يقابله ، بعد اجتياز ثخن قدره e ، تدفق موصل بانتظام ومعطى بالعلاقة :

$$F_2 = F_1 \exp (- 2Ke) \quad [٣٦,٥]$$

ولكن ينبغي الا ننسى ان الضوء الذي ينثره مختلف عناصر وسط واحد يمكن ان يضاف الى هذا التدفق النافذ .

ملاحظة . - ليكن S سطح المقطع القائم لعنصر ارتفاعه dx ، يتلقى ناظماً على احدى قاعدتيه التدفق $F = Eds$ ، بفرض E استئارته . فالتدفق المنثور $d\Phi = - dF$ يمكن ان يكتب :

$$d\Phi = 2K_d ES dx = 2K_d Edv \quad [٣٣,٥]$$

بفرض dv حجم العنصر .

٥ - ١٣ . — قياس شدة الضوء المختلف الالوان :

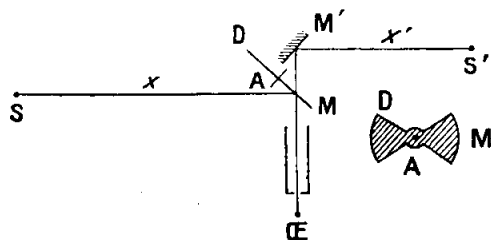
(أ) ان مقارنة الاضواء المختلفة الالوان من وجهة نظر تأثيرها في العين امر ضروري لا لأن مختلف الاضواء المسماة بالبيضاء ليست في الواقع متجانسة الالوان تماماً (انظر الفصل ٦) فحسب ، بل لأن الانوار الكثيرة الالوان ، كأنوار مصابيح الصوديوم والزئبق او النيون قد اصبحت استعمالها منتشرة جداً ، واخيراً لانه يهتم الفيزيولوجيين كما يهتم الفيزيائيين ان يعلموا الفعالية الضوئية (الفقرة ٥ - ١) لمختلف الاشعاعات المرئية . ولكن هذه المقارنة صعبة ، وهذا يفسر تنوع الطرق المستعملة .

(ب) ان اقرب هذه الطرق طبيعة وابسرها عندما تكون الالوان قليلة الاختلاف تقوم على العمل على نفس الطريقة المتبعة في قياسات الشدة الضوئية المتجانسة اللون . ، اي بفحص الوقاع المتعاضدة التي يُسعى في اعطائها نفس اللعان بصرف النظر عن اختلاف الالوان . وكلما كانت هذه الفروق في الالوان واضحة يكون تبعثر النتائج التي يحصل عليها نفس الملاحظ (او المجرب) اكبر ، في نفس الوقت الذي تظهر فيه فروق بين النتائج الوسطية للملاحظين مختلفين ، وكذلك تأثير متزايد لاتساع حقل الرؤية . ثم ان تناسب التدفقات الضوئية التي تقاس هكذا ، مع تدفق الطاقة لا يعود يبقى محققاً عندما تصبح التدفقات ضعيفة جداً .

(ج) ان طريقة الشلال عندما يراد مثلاً مقارنة الشدتين I و I' لمنبعين S و S' ، تقوم على استخدام منابع S_1, S_2, \dots, S_n ذات شدات I_1, I_2, \dots, I_n ذات ألوان موزعة بانتظام بين لوني S و S' . فتقاس النسب $I_1/I, I_2/I, \dots, I_n/I$ ويستنتج :

وكل قياس، يصحح هكذا غير متجانس الألوان قليلاً، يمكن إجراؤه بدقة أكبر من التقدير المباشر لـ $\frac{I'}{I}$. ولكن ينبغي عمل $n+1$ قياساً ونحشى ان تتضاف أخطاءها.

من دوران قرص نصف
مفرغ D حول المحور A ،
فالعين CE تتلقى بالتناوب
الضوئين المعكوسين على
المرآتين M و M' .



مبسّط مقياس الشدة ذي الرجفان

فیذا جاوز تواثر تبادل
الانارتین حداً معیناً ، یخیل

الى الناظر وجود استنارة ثابتة . فاذا كان التواتر f ضعيفاً بدرجة كافية يمكن الشعور بالتبادل بين الضوئين . ولكن اذا اخذت f قيمةً وسطاً تتغير حسب تركيب الضوئين اللذين يراد مقارنتهما ، فانه يمكن بانقاص مناسب لأحد هذين الضوئين ان يزول شعور الرخفان .

ظهر ان هذه الطريقة تعطي نتائج متوسطة قريبة من نتائج الطرائق السابقة ، مع انتشار أقل ، ولم تعد تستعمل اليوم ولكنها أفادت ، كالطريقتين السابقتين في تقرير الفعاليات الضوئية النسبية التي سنتكلم عنها في الفقرة ٥-١٥ .

وسنرى في الفقرة ٥-٢١ كيف ان معرفة الفعاليات بالاضافة الى معرفة التوزيعات الطيفية لطاقة الانوار التي يراد مقارنتها قد تمكن من التقدير الفوتومتري لضياء ما .

٥) منها كانت الطريقة المستخدمة ، فان المقارنات الشديدة الاختلاف لونياً لا يمكنها في غالب الاحيان (حتى ولو بذلت فيها جهود كبيرة) ان توفر بتقريب كاف (قدره بضع اجزاء من المائة) معياريات ثانوية لها نفس لون الأضواء التي يراد دراستها . ان تحقيق مثل هذه المعياريات - الذي هو سهل في حالة مصابيح التنغستين ، على اختلاف شروط عملها - يلاقي مصاعب كثيرة عندما تكون المصابيح من النوع التفريغي . وعندئذ فان استعمال المرشحات الملونة التي لها نفوذيات اجمالية معروفة بالنسبة الى ضوء المنابع التي تضاف اليها هذه المرشحات قد يؤدي خدمات معتبرة .

٥ - ١٤ . الاقدار الفوتومترية « الومبرة اللون » .

فلنأخذ بعين الاعتبار ، في تدفق ضوئي F ، الجزء dF الذي تنقله الشعاعات التي تنحصر اطوال امواجها بين λ و $\lambda + d\lambda$. فغارج القسمه :

$$F_{\lambda} = \frac{dF}{d\lambda} \quad [٣٥٥]$$

الذي لا يتعلق بـ $d\lambda$ اذا كانت هذه الفاصلة صغيرة صغراً كافياً ، هو التدفق الضوئي في وحدة طول الموجة ، بالنسبة الى طول الموجة λ . ويسمى غالباً بقصد الاختصار : التدفق الوحيد اللون او التدفق الطيفي . ويقدر غالباً بكسور اللومن في المللي مكرون .

وتعرف ، بصورة عامة ، الأقدار :

$$\begin{aligned} M_{\lambda} &= \frac{dM}{d\lambda} & E_{\lambda} &= \frac{dE}{d\lambda} \\ L_{\lambda} &= \frac{dL}{d\lambda} & I_{\lambda} &= \frac{dI}{d\lambda} \end{aligned} \quad [٢٥٠٥]$$

المسماة بالترتيب الاستنارة والاصدارية والشدة واللعمان الوحيدة اللون (في واحدة طول الموجة) .

وان المنحنيات التي تمثل تغيرات هذه الاقدار (بالقيم المطلقة أو بالقيم النسبية) بدلالة λ تدعى منحنيات التوزيع الطيفي للتدفق الضوئي ، للاستنارة ، الخ ... ملحوظة . - من البديهي ان شكل هذه المنحنيات يتغير فيما اذا اتخذنا التواتر $\nu = c / \lambda$ متحولاً بدلاً من طول الموجة λ .

٥ - ١٥ . الفعاليات الضوئية . الملاحظ (المراقب) الوسطي للجمعية الدولية للمنازة .

أ) ان اهم القياسات الفوتومترية ربما واشدها صعوبة ، قد تناولت الفعاليات الضوئية K_{λ} لختلف الاشعاعات الوحيدة اللون ، المرئية ، بدلالة أطوال موجاتها λ . ووفقاً للتعريف المذكور في ٥ - ١ ب يكون لدينا :

$$K_{\lambda} = F_{\lambda} / \mathcal{E}_{\lambda}$$

اذا كانت عين الحزمة الوحيدة اللون تنقل تدفقاً ضوئياً $F_{\lambda} d\lambda$ وتدفقاً طاقياً $\mathcal{E}_{\lambda} d\lambda$.

تدل التجربة على ان هذه الفعالية بالنسبة الى عين متكيفة مع ضوء النهار ، تبلغ قيمة عظمى K_m عند طول موجة معين λ_m قريب من $555 \text{ m}\mu$ (وهذه هي نتيجة وسطية) .

يطلق اسم الفعالية النسبية للضوء الذي طول موجته λ على النسبة .

$$V_{\lambda} = K_{\lambda}/K_m \leq 1 \quad [٣٧،٥]$$

$$K_m = F_m / \mathcal{E}_m \quad \text{وإذا افترضنا :}$$

وكان $F_m d\lambda$ و $\mathcal{E}_m d\lambda$ هما التدفق الضوئي وتدفق الطاقة المنقولان بمجزمة طول موجتها λ_m ، فانه يكون :

$$V_{\lambda} = \frac{F_{\lambda}}{F_m} : \frac{\mathcal{E}_{\lambda}}{\mathcal{E}_m} \quad [٣٨،٥]$$

ب) ان تحديد K_m يفترض حصول قياسات مطلقة لتدفق الطاقة سيرد الكلام عنها في الفقرة ١٨-٥ ، وقياسات فوتومترية غير متجانسة الالوان للمقارنة بين الضوء الأصفر المخضر الذي طول موجته λ_m وضوء المنبع المعياري (الفقرة ٧-٥) . تقبل كنتيجة وسطية لقياسات عديدة وصعبة ، القيمة :

$$K_m \simeq 680 \text{ lm/W} \quad [٣٩،٥]$$

مع ارتياب نسبي يبلغ عدة اجزاء في المائة (.

ومقلوبه $1/K_m \simeq 0,00146 \text{ W/lm}$ يسمى احيانا « المعادل الميكانيكي للومن » على التشبيه غير الكامل مع المعادل الميكانيكي للحريرة (٣-٥،٢) .

ان منابع الضوء الوحيدة اللون ذوات الفعالية الضوئية الكبيرة ، مثل مصابيح بخار الصوديوم (١٤٤ - ٦) لا تستخدم الا اذا كان لا يُهْتَم برؤية الألوان (انظر الفصل ٦) وات فعالية ضوء الشمس هي في حدود ٢٥٠ لومن/وات ، وفعالية اللهب في حدود لومن واحد في الوات ، وفعالية المصابيح ، الكهربائية ، التي لم تكن تتجاوز ٣ لومن/وات عندما كانت شعيراتها من الكربون قد تحسنت عندما أمكن رفع درجة حرارتها (٢ ، ٢٠ - ٧) ولهذا فائدة في

تقريب لونها من لون النهار) باستخدام التنغستين في الحلاء (٨ لومن/وات ، ثم في داخل جو غازي (فبلغت حتى ٢٠ لومن/وات) .

٥ - من السهل مقارنة ألوان اضواء المصابيح التي هي من هذه الانواع المختلفة ، التي لها تقريباً نفس الشدة الضوئية وكذلك الاستطاعات التي تستهلكها .

وأما استعمال ظوهر التلألؤ فسيدرس في الفقرة ١٧-١٤ .

ج) بدلاً من قياس الفعالية K_λ مباشرة من اجل كل طول موجة ، فضل الفيزيائيون تطبيق العلاقة [٣٧،٥] $K_\lambda = K_m \cdot V_\lambda$ وتعيين V_λ بتطبيق الصيغة [٣٨،٥] ، وذلك لا يتطلب الا مقارنة تدفقين طاقين $\mathcal{E}_\lambda d\lambda$ و $\mathcal{E}_m d\lambda$ بالقيمة النسبية ، ومقارنة غير متجانسة الألوان بالقيمة النسبية ايضاً ، للتدفقين $F d\lambda$ و $F_m d\lambda$.

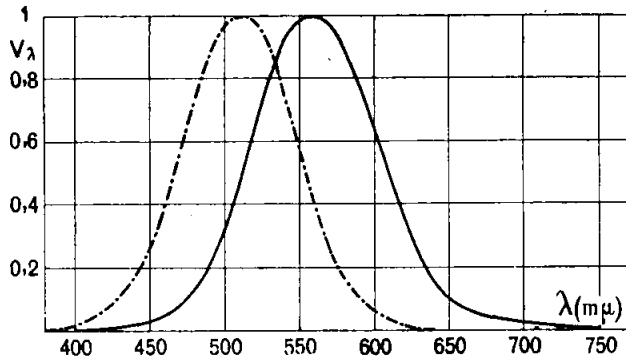
ادت نتائج القياسات العديدة الى تبني قيم ل V_λ يعطي الجدول ٥ - ٤ بعضها ، وهي تميز ، باصطلاح اتفق عليه عام ١٩٢٤ ، الملاحظ النظامي الوسطي

الجدول ٥ - ٤

الفعالية الضوئية النسبية بدلالة طول الموجة λ (مللي مكرون)
(الملاحظ الذي اتخذته مرجعاً اللجنة الدولية للانارة ١٩٢٤)

λ	٤٠٠	٤٥٠	٥٠٠	٥٥٥	٦٠٠	٦٥٠	٧٠٠	٧٥٠
V_λ	٠,٠٠٠٠٤	٠,٠٣٨	٠,٣٢٣	١	٠,٦٣١	٠,١٠٧	٠,٠٠٤١	٠,٠٠٠١

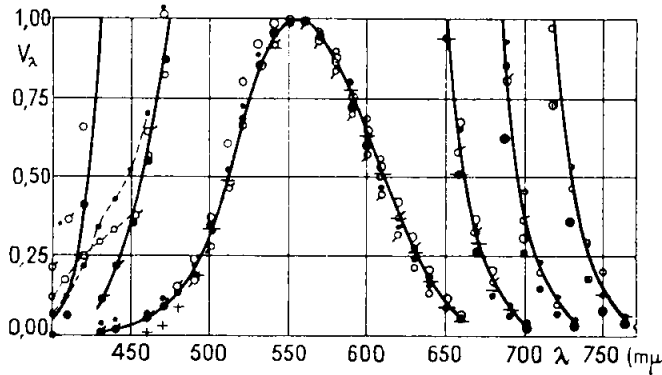
للجنة الدولية للانارة ، من اجل الرؤية النهارية ويبين لنا الشكل ٥ - ٢٠ المنحني ($V_\lambda = f(\lambda)$ ،



الشكل ٥ - ٢٠ مكرر .

الفعالية الضوئية النسبية لمختلف الشعاعات الوحيدة اللون بالنسبة الى العين الوسطى

يوضح لنا الشكل ٥ - ٢١ فرق النتائج الوسطية التي حصل عليها من قبل جماعات مختلفة من الملاحظين. وان تفرق هذه النتائج ناجم عن صعوبة القياسات الفوتومترية وقياسات الطاقة الاشعاعية ، وخاصة في منطقة الامواج القصيرة . ولربما تقرر قوياً اجراء تعديل على القيم الاصطلاحية لـ V_λ على اساس انه مفيد .



الشكل ٥ - ٢١

الفعالية النسبية لمختلف الاشعاعات الوحيدة اللون (الرؤية النهارية) قد ضربت ترانيب منحنيات اليمين بـ ١٠٠ و بـ ١٠ على الترتيب كما ضربت منحنيات اليسار بـ ١٠٠ و ١٠٠٠

د) لقد بينا في الفقرة ١٧ - ١٣ من الجزء ٤ كيف ان الرؤية في المعائنات الضعيفة (المسماة بالرؤية الليلية تختلف عن الرؤية النهارية (الشكل ٥ - ٢٠ مكرر) ونكتفي بالتذكير بان منظورية الاشعاعات الزرقاء تزداد حينئذ بالنسبة الى منظورية الاشعاعات الحمراء (ظاهرة بركنجه) .

٥ - ١٦ . — نفصّل الاصطلاحات الفوتومترية :

بالاضافة الى مميزات العين المتوسطة ، التي يوجد في اختيارها ، كما رأينا ، بعض التحكم ، يُدخل (غالباً بصورة ضمنية) في قياسات الشدة الضوئية اصطلاح اسامي يقول بأن تراكب حزمتين تدفقاها : F_1 و F_2 لومن يؤلف ، مهما كان تركيبها الطيفي ، حزمة تدفقاها $F_1 + F_2$ لومن . ويبدو ان هذا الاصطلاح ، في بعض الاحيان يؤدي الى توقعات تتعارض مع التجربة .

فاذا لوحظ مثلاً ان التدفق F_1 من الضوء الازرق يوازن تدفقاً F_2 من الضوء الاحمر فانه يمكن ملاحظة ان المزيج $F_2(1-x) + F_1x$ ، بفرض x اصغر من الواحد ، يعطي نتيجة تتغير مع x .

ومن جهة اخرى ، وحتى في الفوتومترية المتجانسة اللون ، اذا اخذنا لمعائنات (معددة كما في الفقرة ٥ - ١) تزداد وفق متوالية عديدة ، فانها لا تعطي غالباً عند النظر اليها في وقت واحد ، انطباعاً بأنها تدرج منتظم .

وهناك بحوث يجري تتبعها من اجل الاخذ بعين الاعتبار لهذه النقائص التي تتصف بها قياسات شدة الضوء التقليدية . وليس في النية مع ذلك ترك هذه الطريقة لأنها تعطي تقريباً اولياً لاغناء عنه ، وهو في الجملة كاف وسنكتفي به فيما يلي .

ب — استعمال المستقبلات الفيزيائية

٥ - ١٧ . — الوفردار والوحدات الطاقية

أ) ان دراسة الاشعاعات ، فيما يتعلق بالطاقة التي تنقلها في الثانية والتوزيع

المكاني لهذه الطاقة ، يحتاج الى ادخال اقدار تسمى طاقة يمكن الحاقها بتدفق الطاقة $d\mathcal{E}$ (او الاستطاعة المشعة) مقدراً بالوات في جملة جيورجي ، ولما كانت الاقدار الفوتومترية ترتبط بالتدفق الضوئي I مقدراً باللومن ، فان هذه الاقدار قد سبق لها التعريف في الفقرة ٢٠ - ٢ من الجزء ٢ . وسنذكرها فيما يلي مع اضافة نجم الى الرمز الذي يمثلها يقصد منه تمييزها عن الرموز الفوتومترية العائدة اليها .

ان القسمة

$$E^* = \frac{d\mathcal{E}}{dS} \quad [٤٠٠٥]$$

لتدفق الطاقة $d\mathcal{E}$ الذي يتلقاه عنصر من سطح مساحته dS يسمى الاستنارة الطاقة .

والقسمة :

$$M^* = \frac{d\mathcal{E}}{d\Sigma} \quad [٤١٠٥]$$

للتدفق الطاقى الكلي الذي يصدره عنصر سطح في جميع المناحي التي يشع فيها على سطحه $d\Sigma$ تسمى الاصدارية الطاقة .

يمكن تقدير E^* و M^* بالوات في المتر المربع .

والقسمة :

$$I^* = \frac{d\mathcal{E}}{d\Omega} \quad [٤٢٠٥]$$

للتدفق الطاقى $d\mathcal{E}$ الصادر من منبع نقطي داخل مخروط صغير جداً محوره Δ من الزاوية المجسمة $d\Omega$ لهذا المخروط تسمى الشدة الطاقة للمنبع في الاستقامة Δ . ويمكن تقديرها بالوات في الستيراديان .

والقسمة

$$L^* = \frac{dI}{d \Sigma \cos \theta} \quad [٤٣,٥]$$

للشدة الطاقية لعنصر سطح في استقامة Δ على مساحته السطحية مضروبة بتجيب الزاوية θ التي يؤلفها Δ مع الناظم على العنصر تسمى **اللمعان الطاقى للعنصر في الاستقامة Δ** . ويمكن تقديرها بالوات في الستيراديان وبالمتر المربع .
ينتج من هذه التعاريف ان العلاقات [٧٤,٥] [٨٤,٥] [١١,٥] [١٣,٥] بين الاقدار الفوتومترية هي قابلة للتطبيق بين الاقدار الطاقية على الاشكال التالية :

$$E^* = \frac{I^* \cos \theta}{x^2} \quad [٤٤,٥]$$

$$dE = \frac{L^* d \Sigma \cos \alpha \cos \theta}{x^2} = L^* d \psi \cos \theta \quad [٤٥,٥]$$

$$d^2\varphi = L^* d^2U = L^* d \Sigma \cos \alpha d\Omega \quad [٤٦,٥]$$

$$M^* = \pi L^* \quad (\text{من أجل منبع يحقق شرط لامبير}) \quad [٤٧,٥]$$

مع ابقاء نفس الدلالة للوموز θ ، x ، $d\psi$ ، d^2U .
ثم انه بالنسبة الى ضوء له تركيب طيفي معين تماماً (وغير متعلق بالمتحى)

$$K = \frac{F}{\varphi} = \frac{E}{E^*} = \frac{M}{M^*} = \frac{I}{I^*} = \frac{L}{L^*} \quad [٤٨,٥]$$

ب) ان الدراسة الطاقية الطيفية للاشعاعات تدخل ، مثلما تدخل دراستها الفوتومترية (راجع الفقرة ٥-١٣) اقداراً تسمى « وجيدة اللون » او « طيفية »

(قد سبق تعريفها في الفقرة ٢٠-٢ و من الجزء ٢) اي :

التدفق الطاقى في واحدة طول الموجة (من اجل طول الموجة λ)

$$\mathcal{E}_\lambda = \frac{d\mathcal{E}}{d\lambda} \quad [٤٩٠٥]$$

باعتبار \mathcal{E} جزء الاستطاعة المنقولة بشكل اشعاعات اطوال امواجها محصورة بين λ و $\lambda + d\lambda$ ، ويمكن تقديره باجزاء الوات في المللي مكرون .

الاستنارة والاصدارية الطاقيتان في واحدة طول الموجة :

$$M_\lambda^* = \frac{dM^*}{d\lambda} \quad [٥١٠٥] \quad E_\lambda^* = \frac{dE^*}{d\lambda} \quad [٥٠٠٥]$$

اليتين تقدران مثلاً بكسور الوات في السنتيمتر المربع وبالمللي مكرون .

الشدة الطاقية في واحدة طول الموجة :

$$I_\lambda^* = \frac{dI^*}{d\lambda} \quad [٥٢٠٥]$$

وتقدر ، مثلاً ، بكسور الوات في الستيراديان وفي المللي مكرون .

واللمعان الطاقى في واحدة طول الموجة :

$$L_\lambda^* = \frac{dL^*}{d\lambda} \quad [٥٣٠٥]$$

ويقدر مثلاً بكسور الوات في الستيراديان في السانتيمتر المربع وبالمللي مكرون .

كثيراً ما يتفق الا تكون هذه الاقدار معروفة الا بقيمتها النسبية ، فالمنحنيات التي تمثل تغيراتها بدلالة λ تسمى منحنيات التوزيع الطيفي للتدفق الطاقى ، للاستنارة الطاقية ، الخ .

ج) لقياس طاقة الاشعاع ، اما أن يحول جميعه او جزء معروف منه داخل مستقبل الى شكل آخر من اشكال الطاقة . وسنستعرض فيما يلي الانواع الثلاثة من المستقبلات الفيزيائية الاكثر استعمالاً : الحرارية والتصويرية والكهرضوئية . والأخيرتان منها هما كالعين اصطفاثيتان ، أي أن حساسيتها تتعلق بطول موجة الضوء الممتص .

ويغلب في حالة المستقبلات الحرارية ، كما هو الحال في جميع المستقبلات الكهرضوئية ان يكون جواب الجهاز على تغيرات التدفق تغيراً في تيار كهربائي ، يمكن أن يكون ضعيفاً جداً ويهتم بتضخيمه . ويمكن ان يكون من المفيد تكييف (تعديل) التدفقات ، وبالنتيجة التيارات ، لجعل تضخيم هذه اسهل واكثر تأكيذاً (الجزء ٣،٧-٥ ، ١٠-١٥ ، الخ) .

سنعود الى قياسات الاقدار الطاقة الطيفية عند دراسة الشدات الضوئية الطيفية (الفقرة ٥-٢١) .

٥ - ١٨ . — المستقبلات الحرارية .

أ) هذه المستقبلات هي ضروب من المساعر الحرارية . تتحول فيها الطاقة الواردة الى حرارة وترتفع درجة حرارتها بحيث ان الحرارة الواردة والتضييعات بالاشعاع والحمل والناقلية يعوض بعضها تماماً (١،٢-٩) وارتفاع الحرارة $\theta\Delta$ الذي هو في الجملة ضعيف جداً ، ينبغي ان يقاس (بالقيم النسبية) بحساسية كبيرة (يمكن كشف 10^{-5} من الدرجة) ويستخدم من اجل ذلك أمما مزدوجة حرارية واما بولومتر ، كما سنرى فيما بعد . ان $\theta\Delta$ متناسبة مع التدفق الممتص ، اذا كان الامتصاص كاملاً (ونحصل على ذلك في الطيف المرئي بواسطة تغطية المستقبل بطبقة من هباب الفحم او البلاطين الأسود) فان الجواب لايتعلق بالتوكيب الطيفي .

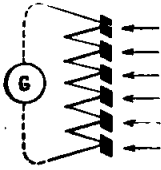
ان هذه المستقبلات غير الاصطفائية تمكن من الدراسة المباشرة لتغير قدر طاقيّ وحيد اللون بدلالة طول الموجة (بطريقة غير المقارنة مع الأضواء التي سبقت معرفة تركيبها الطيفي) ويمكن أيضاً من رسم منحنيات الحساسية الطيفية للمستقبلات الاصطفائية التي سيرد وصفها. ومن جهة أخرى ان المستقبلات الحرارية هي وحدها المستعملة فيما تحت الاحمر البعيد (اي في الامواج التي تزيد أطوالها على ٥ أو ٦ μ) حيث لا يبقى للمستقبلات التصويرية والكهروضوئية أية حساسية .

يدرج المستقبل الحراري اما حسب تجاوبه مع اشعاع الجسم الاسود في درجة معلومة (٢ ، ٢٠ - ٧) واما بأن نعطيه كمية معينة من الحرارة (بفعل جول مثلاً) . وينبغي الاهتمام في كل قياس باعتبار التغيرات الممكنة لعامل الامتصاص (الذي هو في الجملة اصغر من الواحد فيما تحت الاحمر) وكذلك عند الاقتضاء بامتصاص الهواء (الذي هو مهم في بعض عصابات ما تحت الاحمر ، انظر الفقرة ١٧ - ٣) .

ب (المزدوجات الحرارية) (٢ ، ٣ - ١١ ، ٦ ، ٢١ - ١٥) تولد قوة كهربائية محركة U متناسبة مع الاستطاعة W التي تتلقاها احدى اللحامات الواصلة بين معدنين موضوعين بالتسلسل . وتقاس U بواسطة مقياس غلفاني ، على ان تكون المقاومة R للدائرة معينة تماماً (وتبلغ بضع وحدات من الاوم او بضع عشرات) . واما المعدنان فهما مثلاً : النحاس والكونستانتان (٣ ، مكرو فولت في الدرجة) او البزموت وخليط Bi-Sn فيه ٥٪ من القصدير (١٢٠ مكرو فولت في الدرجة) وينبغي الا يزيد السطح المسود عن القدر الكافي لتلقي الحزمة التي يراد قياسها ، وان يكون ثخن الأسلاك والشرائط ضعيفاً ايضاً بقصد تخفيف السعة الحرارية . ثم ان اللحمة « الباردة » (التي هي بعزل

عن الاشعاع) والاخرى التي هي معرضة له موضوعات بجانب بعضها لكي تتأثرا بنفس الكيفية بتغيرات درجة حرارة المحيط .

وبعض المزدوجات الحرارية موضوعة في الحلاء بقصد التخلص من تضيق الحرارة بالحمل . وتكون اللحامات في اغلب الاحيان متعددة . وان استعمال



عدة مزدوجات حرارية بالتسلسل حسن لمكاثرتة للقوة الحركة الناتجة بنسبة عدد المزدوجات بدون زيادة المقاومة الكلية بنفس المقدار . ان السطح المفيد الكلي S يمكن ان يكون دائرياً او خطياً (الشكل ٥ - ٢٢) وهذه الوضعية الاخيرة تساعد كثيراً على سبر الطيف .

الشكل ٥ - ٢٢
العمود الحراري (ان

تزداد الحساسية مع S ، وتتغير بصورة معكوسة مع الزمن الذي يبلغ فيه الجهاز التوازن عملياً (من اقل من ١٠ ثا الى اكثر من ثانية واحدة) وهي في حدود المكرو فولت في المكرو وات .

ان الاجهزة المسماة بولومتر، هي ضرب من موازين الحرارة ذوات المقاومة (٣٠ - ١٠٠) من النكل او البلاتين (حوالي ١٠٠ Ω) ويفضل ان تكون من مزيج من الاكاسيد نصف الناقلة (المقاومات الحرارية ٦ ، ١٩ ، ١٤ ، في حدود ١٠ Ω) موضوعة على احد فروع جسر ويتستون (٥ ، ٦ - ١١) الذي ينحرف مقياس غلفاني فيه انحرافاً متناسباً مع التسخن . وان مدة احداث التوازن ، والحساسية (انحراف مقياس غلفاني من اجل كل مكرو وات من الاستطاعة المستقبلية) هما في نفس حدود مقابليهما في المستقبلات ذوات المزدوجة الحرارية .

د) هنالك مستقبلات حرارية بمتازة تسمى ضغطية قد صنعت حديثاً وتقوم على جعل السطح الذي يراد منه ان يتلقى الاشعاع ، على تماس مع غاز

محتوى في جوف صغير . فزيادة الضغط بنتيجة التسخين تسبب تشوه غشاء مانومتري خفيف، ويقدر هذا التشويه بطريقة كهربائية (هي تغير سعة مكثفة) او كهروضوئية (هي تغير التدفق ونتيجة ذلك تغير التيار الذي تولده خلية) من فرائد هذا الجهاز صغر عطالته جداً : فالتدفق الذي يراد قياسه يمكن ان ينقطع دورياً بتواتر يتراوح بين ١٠ و ١٠٠ هرتز ، ويمكن تضخيم التغيرات المتناوبة للتيار .

٥ - ١٩ . — قياسات الشدة الضوئية بواسطة التصوير الضوئي :

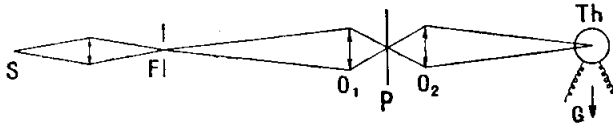
أ) لنعتبر منطقتين متجاورتين من نفس اللوحة التصويرية الحساسة (١٨،٤ - ١) يكون طلاؤها الحساس منتظماً تماماً . تضاء هاتان المنطقتان في لحظتين متجاورتين وتدوم اضاءتهما نفس المدة الزمنية t بحزمتين لهما نفس التركيب الطيفي ، وبعد هذا التعريض بمدة طويلة تعالج اللوحة الحساسة معالجة تظهر منتظمة يعقبها تثبيت ثم تحفيف . فن تساوي الاسوداد او عدم تساويه فيها يمكن استنتاج تساوي او عدم تساوي الاستنارتين I المستقبلتين .

ان الاحتياطات التي تقدم بيانها هي أساسية لأن حساسية المستحلبات التصويرية تتأثر أحياناً تأثراً كبيراً ببنيته وبالتركيب الطيفي للضوء وبالزمن المنقضي بين أوان تعرضها للضوء وأوان تطهيرها وبالكيفية التي اجري فيها هذا التطهير . وفي احسن الشروط لا يمكن تخفيض الارتياب الى ما دون ١ - ٢ % .

إذا كانت مدتا التعريض t مختلفتين ، فانه يمكن تطبيق قانون التقابل الذي هو قانون تقويبي ، ويقول بأن الاسوداد لا يتغير تغيراً محسوساً عندما يبقى الجداء $E t$ ثابتاً ، وان الابتعاد عن هذا القانون يدخل اخطاءً هي على الغالب غير

مقبولة متى أصبحت نسبة زمني التعريض تتجاوز ١٠ . ان زمن التعريض الاعظم الذي يمكن استعماله ، وبالنتيجة حساسية المستقبلات التصويرية هي بسبب ذلك محدودة .

(ب) تقدر قيم الاسوداد تبعاً لعوامل النفوذ τ (بالنسبة الى ضوء معين) وتقاس بواسطة مقاييس شدة الضوء الابصارية أو ذات المستقبلات الحرارية أو الكهروضوئية . ويعطينا الشكل ٥-٢٣ على سبيل المثال مخططاً مبسطاً لأحد هذه



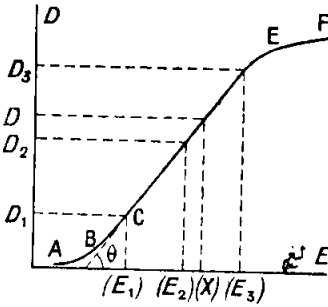
الشكل ٥ - ٢٣ . - شكل مبسط لمقياس الشدة الدقيق ذي المزدوجة الحرارية . ان جسمية الجهر المقلوبة O_1 تشكل على اللوحة المدروسة P خيالاً مصغراً جداً للشق المضاء F . وبعد ان يخترق الضوء P يمر من O_2 ويستقبل على المزدوجة Th . وان البقعة الضوئية لمقياس غلفاني G تنتقل موازية لمولدات اسطوانة مسجلة يكون دورانها متناسباً مع تنقلات P .

الأجهزة . ونسمى بالمقاييس الدقيقة لشدة الضوء ، اذا كانت السطوح المستعملة فيها صغيرة جداً ، أو تسمى مقاييس الكثافة الضوئية لأن نتائج القياس يترجم عنها بقيم الكثافة الضوئية : $D = \log$ (الفقرة ٥ - ١٠ ج) .

وينبغي ان توضح عند اللزوم ، حين تعيين قيمتي τ و D فتحة الحزمة النافذة المفيدة ولا تكونان متساويتين ، حسباً نقوم بعملية اسقاط أو بعملية صورة بالتماس .

(ج) اذا غيرنا E مع ثبات مدة العرض ، نشاهد أن D تتغير بدلالة $\log E$

مثلاً بدلنا منحني الشكل ٥ - ٢٤ . فننطقنا الميل الضعيف AB و EF تقابلان



الشكل ٥ - ٢٤ .

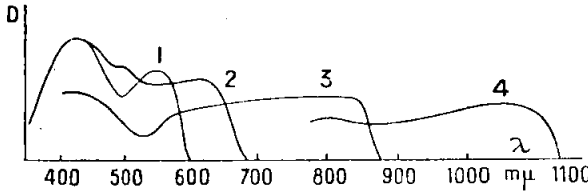
شكل منحنيات الاسوداد ، ذوات
زمن التعريض الثابت (هرتر و دريفيلد)
(فواصل لوغاريتمية) .

النطاقين العائدين بالترتيب الى نقص
التعريض للضوء او الى الافراط في
التعريض ، والمنطقة التي بينها CD ،
وهي في غالب الاحيان مستقيمة عملياً
تؤلف مع محور الفواصل زاوية θ
عظمى . ففي هذه المنطقة تكون
التغيرات dD للكثافة التي تقابل نفس
التغير النسبي $\frac{dE}{E}$ للاستدارة عظمى
ايضاً ، ويسمى الميل $\gamma = \tan \theta$ عامل
التباين ، وهو يتعلق بالمستحلب الذي

صنعت منه الطبقة التصويرية الحساسة وبالمادة المظهرة ، ويزداد مع مدة التظهير
متجهاً نحو حد نهائي .

ان قوانين التغير هذه التي درسها هرتر و دريفيلد Hurter et Driffield
تستخدم دوماً في تقنيات التصوير الضوئي والسينمائي . وهي تمكن في قياسات
شدة الضوء التصويرية من انقاص عمليات التماس ، بتعريض بعض نواحي لوحة
التصوير الى استنارات معروفة ولتكن E_1 ، $E_2 = 2E_1$ ، $E_3 = 2E_2$ ،
وهكذا تكون قيمتها النهائية محيطة بالاستدارة X التي يراد قياسها . وتعرض لهذه
الاستنارة الأخيرة سطوح وسط بين السطوح المتقدمة ولتكن D ، D_1 ، D_2 ، ...
الكثافات المقاسة العائدة الى X ، E_1 ، E_2 ... فاذا انتخبنا زمن التعريض بحيث
تقع النقط المفيدة في منطقة التعريض النظامي CD ، نعين بسهولة X بواسطة
التحشية (أو ما يسمى بالتوسط) .

(د) يعطينا الشكل ٥ - ٢٥ امثلة عن الحساسية الطيفية لمستحلبات تصويرية
(اي لوحات تصويرية حساسة) (اطوال الأمواج على محور الفواصل ، وعلى

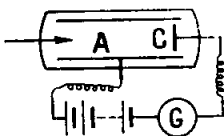


الشكل ٥ - ٢٥ - امثلة لمنحنيات الحساسية الطيفية لمستحلبات تصويرية .
 ١ - عادية ، ٢ - حساسة على جميع ألوان الطيف ، ٣ ، ٤ - حساسة على ما تحت الأحمر
 محور الترتيب الكثافات D مع زمن تعريض واستنارة طاقة ثابتين في شروط
 تعريض نظامية (ان قياسات شدة الضوء التصويرية التي كانت تستخدم بكثرة
 نسبية قدماً في منطقة ما فوق البنفسجي لعدم توفر مستقبلات أخرى ، قد استغني
 عنها تدريجياً امام القياسات الكهرضوئية للشدة الضوئية ، التي تمكن احياناً من
 عمل قياسات اكثر دقة واسرع بكثير دوماً .

٥ - ٢٠ - المستحلبات الكهرضوئية :

أ (ان انتاج التيارات الكهربائية او تغييراتها بتأثير الضوء ، التي درست في
 الجزء ٦ ، تعطي في نطاق قياسات الشدة الضوئية امكانات يزداد استخدامها
 كل يوم .

الخلايا الاصدارية الضوئية في الخلاء (الجزء ٦ ، ١٦ - ٢٠ الى ١٦ - ٢٦)

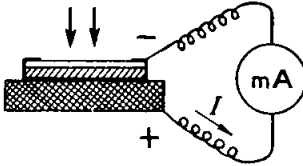


الشكل ٥ - ٢٦ - . الخلية
 الاصدارية الضوئية ذات
 المصعد الاسطواني (A)
 ودارة التغذية

تصلح لأجراء قياسات مضبوطة في الطيف المرئي وما
 فوق البنفسجي وتحت الأحمر الأدنى ، وتلك التي من
 نوع جيلود - بوتوي Gillod-Boutry (الشكل
 ٥ - ٢٦) هي مثينة بسبب التناسب الجيد بين التدفق
 الضوئي وبين التيار الجاري ، وذات الغاز (١٧ ، ٦ -
 ١٣) هي اشد حساسية بشكل ملحوظ ، ولكنها

تعتبرها مفعولات « جر » ، وابطاء تحمل على استبعادها عن القياسات . وتستعمل المضاعفات الضوئية (١٦،٦ - ٢٥) لقياس التدفق الضعيف جداً ، الذي هو في حدود بضع عشرات الفوتونات في الثانية (١٦،٦ - ٢٢) اي في حدود ١٠-١٧ وات .

ب) الأعمدة الفوتونية ذوات نصف الناقل (٢١،٦ - ١٩) وتكون في اغلب الاحيان من السليسيوم ، قد تبين لدى استخدامها باحتراس انها اضبط من العين من اجل ملاحظة تساوي الاستنارات المتجانسة اللون (مقارنة المعيار) وتستعمل ايضاً استعمالاً شائعاً في



مقاييس اللوكس او ما يسمى بقياس زمن التعريض ، المستعمل في التصوير الضوئي

(الشكل ٥ - ٢٧) مع السعي في التصليح (الشكل ٥ - ٢٧) . رسم مبسط بقدر الامكان (بواسطة مرشحات ملونة تعترض طريق الضوء) للفروق بين حساسيتها الطيفية وحساسية العين . وهي غالباً ما تكون حساسة على تغيرات درجة الحرارة وليس ثباتها امراً مضموناً ، ولكن انتقاء زمن التعريض فيه مدى كبير ، وان استعمال هذه الاعمدة الفوتونية سهل يسير لأنها تعمل كمولدات ويمكن ان يجمع معها مقياس متين للملي امبير . ومع ذلك فان مقياس اللوكس لا يزن سوى بضع عشرات من الغرامات .

ج) نذكر ايضاً انه يستعمل في حالات استثنائية مولدات فولتائية (٢١،٦ - ١٩) من النوع : معدن - كهرحل - معدن ، متناظرة ، تولد تياراً عندما يضاء احد مسريها .

واخيراً ، ان ظاهرة التوصيل الفوتوني او الناقلية الضوئية لبعض انصاف النواقل (١٩،٦ - ١٧) قد تبين انها مستقرة الى حد يسمح بعمل قياسات ذات دقة مقبولة . وتستعمل خاصة في ما تحت الاحمر حتى ٥ أو ٦ ميكرون .

٥ - ٢١ . - القياسات الفيزيائية لشدة الضوء .

نستخدم المستقبلات الفيزيائية عندما تكون حساسيتها كافية ، من اجل جميع المقارنات المتجانسة اللون ، وخاصة المقارنات المتعلقة بالتوزيع الفضائي للشدات الضوئية (الفقرة ٥ - ٦) وكذلك عوامل النفوذ او الانعكاس او عوامل اللعان ، سواء أكان ذلك في الضوء الوحيد اللون أم في الضوء المركب ، اذا كانت هذه العوامل غير متعلقة بطول الموجة . للمستقبلات الحرارية والكهرضوئية الامتياز على العين في انها يمكن ان تزود بجهاز مسجل ، وبذلك تصبح صالحة لدراسة الظواهر التي يمكن ان تتغير بسرعة بدلالة الزمن . وتمتاز المستقبلات التدميرية بأنها تتلقى عند اللزوم ، وفي آن واحد معلومات تحفظ ويمكن دراستها بهدوء فيما بعد .

ب) اذا سلمنا بالمبادئ الاساسية لقياسات الشدة الضوئية ، فانه يمكن أن نحسب كما يلي التدفق الضوئي F لحزمة نعرف فيها التوزيع الطيفي للتدفقات الطاقية في وحدة طول الموجة \mathcal{E}_λ .

فمن العلاقة

$$F = \int_{(v)} F_\lambda d\lambda$$

المستنتجة من [٣٢،٥] ، حيث يعمم التكامل على جميع الطيف المرئي ، وكذلك من :

$$F_\lambda = K_\lambda \mathcal{E}_\lambda = K_m V_\lambda \mathcal{E}_\lambda$$

المستنتجة من [٣٧،٥] نستنتج :

$$F = K_m \int_{(v)} V_\lambda \mathcal{E}_\lambda d\lambda \quad [٥٤,٥٥]$$

(تكامل يستبدل به عملياً مجموع) .

بنتيجة ذلك ان الفعالية الضوئية هي :

$$K = K_m \frac{\int_{(v)} V_\lambda \mathcal{E}_\lambda d\lambda}{\int_0^\infty \mathcal{E}_\lambda d\lambda} \quad [٥٥,٥٥]$$

وان استعمال الصيغة [٥٤,٥٥] يقصر العمليات غير المتجانسة الالوان على ايجاد التابع $V_\lambda = f(\lambda)$ ، ومتى انتقي معيار الضوء ، الى تعيين K_m . ولكن قياس الأقدار الطاقة الوحيدة اللون لا يزال بعد قليل الضبط لا يمكن معه تفضيله (الا في بعض الحالات الاستثنائية) على المقارنة المباشرة للأضواء غير متجانسة اللون .

ج (لقد سبق في حالات كثيرة ، ان اقترح استعمال مقاييس فيزيائية لقياس شدة الضوء ، تعطي مباشرة قيمة التدفقات الضوئية (مثلاً) ويمكن تأليفها من مستقبل حراري يركز عليه التدفق الذي يراد قياسه ، بعد ان تكون كل واحدة من مكوناته الوحيدة اللون قد انقصت بصورة متناسبة مع القيمة المقابلة لـ V_λ . ويمكن الحصول على هذا الانقاص ، بصورة تقريبية ، باستعراض مرشحات ملونة تتفق لهذا الغرض وتوضع في طريق التدفق ، كما ويمكن ذلك بشكل اكثر دقة ولكن مع تضيق مقدار كبير من الضوء ، بواسطة موحد اللون مضاعف (الفقرة ٥ - ٢٣ ج) يكون عامل نفوذه من اجل كل طول موجة متناسباً مع V_λ بفضل وجود حاجز مقصوص بشكل مناسب ، في المستوي الذي يتشكل فيه الطيف الحقيقي .

يمكن ان يستبدل بالمستقبل الحراري مستقبل كهروضوئي ينبغي معرفة

حساسيته الطيفية S_λ ، اي جوابه على تدفق طاقي ثابت وحيد اللون ، بدلالة طول الموجة λ لهذا التدفق . وعندئذ ينبغي ان تكون المرشحة التي تنضاف اليه ، لها من أجل كل طول موجة λ عامل نفوذية متناسبة مع V_λ/S_λ . وهذا ما يسعى في تحقيقه من أجل مقاييس اللوكس ذات المولد الفوتوني . ولكن لم يحقق حتى الآن مقياس فيزيائي لشدة الضوء يسمح بالتخلص كلياً من القياسات الابصارية .

ج - القياسات الطيفية لشدة الضوء

٥ - ٢٢ . غايات القياسات الطيفية لشدة الضوء

ان القياسات الطيفية لشدة الضوء ، كما يدل عليها اسمها ، تشترك في آن واحد الأجهزة الطيفية (في الغالب موحداث الالوان ذوات المواشير ، مع انه يمكن التفكير باستعمال الشبكات وخاصة استعمال مقاييس التداخل المذكورة في الفصل ٤) واجهزة قياس الشدة الضوئية (الابصارية او الفيزيائية) ودورها هو ان تقدر الأقدار التالية في مختلف أطوال الموجات :

أ (تدفق الطاقة الوحيدة اللون \mathcal{P}_λ . - ان دراسته المباشرة ، بالقيمة المطلقة تتطلب استعمال مستقبل غير اصطفائي ، او ذي حساسية طيفية معلومة وجهاز فاصل للشعاعات يكون توصيله الطيفي وتبديده معلومين . ان قياسات مطلقة كهذه نادرة واستثنائية ، اما في جملة الاحوال فان العمل يجري بالمقارنة (طول موجة فطول موجة) مع منبع معياري للتوزيع الطيفي للطاقة : وهو جسم متوهج اسود (٢ ، ٢٠ - ٧) او يدرس بواسطة جسم اسود (مصباح ذو عصابة من التنغستين ، او مصباح نرنست او غيره) ففي هذه الحالة ، كما في الأحوال الاخرى للقياسات النسبية بين الاشعاعات التي لها نفس طول الموجة ، والتي سيورد ذكرها فيما بعد ، ان تأثير الحساسيات الطيفية للمستقبلات

والنفوذيات الطيفية للأجهزة الضوئية (التي تفترض كبيرة) تكون قد تم التخلص منها .

تمثل النتائج بالمنحنى $\tau_\lambda = f(\lambda)$ من أجل المنابع ذوات الاطيف المتصلة . أما في المنابع ذوات اطيف الخطوط فيقاس التدفق p المتعلق بكل خط ، بدون ان يحسب حساب لعرضه الطيفي (الذي هو في الجملة ضعيف جداً) ويمثل التوزيع بمجموع مستقيمتين فاصلتها λ وارتفاعها متناسب مع p . وعندما يحصل تراكم لنوعين من الاطيف يستبدل بالمستقيمتين المتقدمة مستطيلات قاعدتها اصطلاحاً $\Delta\lambda$ (١٠ مللي مكرون في الغالب) وارتفاعها متناسب مع $p/\Delta\lambda$ ، على ان يكون مقياس الترتيب هو نفسه المستعمل في الطيف المتصل .

ب (التدفقات الضوئية الوحيدة الالوان $F_\lambda = K_m V_\lambda \tau_\lambda$. يمكن استنتاجها من تدفقات الطاقة الوحيدة الالوان ، وذلك متى قبلت قيم الفعاليات الضوئية لمختلف الشعاعات . وان المقارنة رأساً بين اطوال امواج مختلفة تشمل ، بالاضافة الى الصعوبات المذكورة اعلاه ، صعوبات القياسات غير المتجانسة الالوان . وان القياسات بالقيم النسبية : طول موجة فطول موجة هي نفسها من أجل الاقدار F_λ كما للأقدار τ_λ التي هي متناسبة معها .

ج (عوامل النفوذ τ_λ والانعكاس ρ_λ ، والانعكاس β_λ من أجل طول الموجة λ . ان قياسها يجري دوماً على حزمة مباشرة وعلى حزمة نافذة (معكوسة او منتثرة) لها نفس طول الموجة .

٥ - ٢٣ . المقاييس الطيفية التصويرية لشدة الضوء :

أ (يمكن اجراء قياسات طيفية تصويرية لشدة الضوء في القسم المرئي وما فوق البنفسجي والأحمر الأدنى بواسطة مسجل الاطيف (الفقرة ٤ - ١)

وجملة تدريب يمكن من تعيير الطلاء الحساس من أجل عدد من أطوال الامواج، في الشروط التي يستعمل فيها (ويفضل ان يكون ذلك بمدة تعريض ثابتة) ولا بد من استعمال الميكروفوتومتر اي المقياس الدقيق لشدة الضوء . (الفقرة ٥ - ١٩ ب) مسجلاً كان ام غير مسجل ، من اجل تعيين اسودادات مناطق ضيقة جداً . وان القياسات هنا هي اصعب واقل دقة منها في القياسات الضوئية التصويرية العادية ، لذلك يستعان اليوم على الاغلب بمقاييس الشدة الطيفية الكهرضوئية إلا اذا كان لا بد من الحصول في زمن قصير جداً على المعطيات العائدة لطيف كامل .

ب) في جميع المقاييس الضوئية الطيفية غير التصويرية ، تعزل بواسطة موحد الالوان عصابة طيفية ضيقة (او عدة عصابات اذا كان بالامكان تشغيل عدة مستقبلات في آن واحد) وان عرض العصابة النافذة لا يتعلق بعرض الفتحات التي تحددها فحسب ، وانما يتعلق ايضاً بتبديد الجهاز الفاصل للشعاعات . واذا كانت العصابة ضيقة جداً ، فانه يتعلق ايضاً بالزبوغ الضوئية . وينبغي ان يكون هذا العرض قليلاً بقدر ما يكون القدر المدروس متغيراً بسرعة مع طول الموجة ، ولكن هذا الاقلال ينقص التدفق المرسل الى المستقبل وينقص بذلك احياناً حساسية هذا الجهاز وسرعة اجابته .

ج) ان الضوء الطفيلي الذي طول موجته λ مختلف عن الضوء λ الذي يراد عزله ، ينبغي أن يخشى منه خاصة عندما يكون المنبع شديداً جداً او المستقبل أشد احساساً على λ' منه على λ . ويمكن ان ينجم هذا الضوء من الانعكاسات المتعددة ومن الانتثار على الحوامل ومن عيوب الصقل ، الخ . وينقص باستعمال موحد لاون مضاعف فيه جملة نائرة ثانية تتخلص بالكلية تقريباً من أطوال الامواج غير λ . ويستبدل احياناً بموحد اللون الثاني مرشحة عادية (الفقرة ٤ - ٢ ب) .

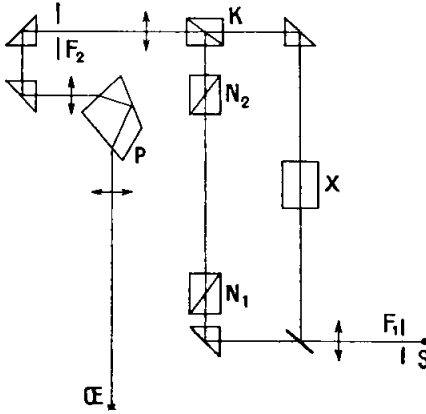
(د) في الأجهزة غير المسجلة ، يقاس في طول موجة معين λ ، التدفقان F' و F اللذان يراد المقارنة بينهما وتسقتج من ذلك نسبتهما (ولتكن مثلاً $\tau = F'/F$) ثم يكرر العمل للحصول على عدد من نقاط المنحني $\tau_\lambda = f(\lambda)$ وهذه الطريقة تكون أحياناً هي الأكثر ضبطاً ودقة ، ولكنها الأشد بظناً وتعرض لخطر الجهل بالتغيرات الهامة لـ τ_λ بين النقاط المبصرة .

وهناك بعض الأجهزة المسجلة تخطط بالتعاقب المنحنيين $F(\lambda)$ و $F'(\lambda)$ ويستنتج منها $\tau(\lambda)$ بشرط أن شدة المنبع (او المنبعين) وحساسية المستقبل والتعبير بأطوال الامواج لا تكون قد تغيرت أثناء القياسات . ويمكن - بتحمل تعقيد أكبر - اجتناب التأثير المحتمل لهذه التغيرات بأن تسجل دوماً النسبة F'/F (أثناء تغير λ) ، وذلك اما بواسطة مقياس الكمون او بواسطة موازنة آلية للتدفقين F' و F .

٥ - ٢٤ . — المقاييس الطيفية الابصارية لشدة الضوء

لا مجال لاستعمال هذه الأجهزة الا في الشعاعات التي تكون فيها حساسية العين كافية ، مع الاخذ بعين الاعتبار للشدة الطيفية للمنابع المستخدمة وللعرض الاقصى للعصائب الطيفية المسموح بها . ان هذه الشروط تسبب استبعاد المناطق القصوى من الاحمر ، وخاصة من الازرق والبنفسجي . وتعمل القياسات بالضرورة نقطة فنقطة ، وكل نتيجة هي وسطي لعدة رصدات .

بسبب قلة الضوء الموجود يوصى بأن يكون الجهاز بدون حاجز ناثر ، ونذكر على سبيل المثال مقياس الشدة الطيفي الابصاري لجوبان وايفون (الشكل ٥ - ٢٨) الذي يحوي على موحد لوني بسيط وعلى حملة تدرج ذات مقطبات .



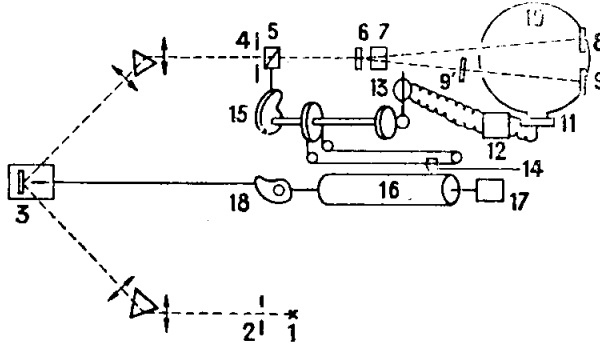
الشكل ٥ - ٢٨
مقياس شدة الضوء الطيفي
الابصاري لجوبان وايفون:
S منبع الضوء ، X الجسم
المدرس بالنفوذ ، N_1 و
 N_2 مقطب ومحلل ؛ K
مكعب لومر ، F_1 و F_2
شقان ، P مواشير ذوات
انحراف ثابت .

٥ - ٢٥ . مقياس الشدة الطيفي الكهرضوئي ذو الموحد الموي من الزجاج أو من الكوارتز

تنتقى اجزاؤه البصرية (وكذلك خلياته) حسب نطاق استعماله : الزجاج للنطاق المرئي ونحت الأحمر الأدنى ، والكوارتز لما فوق البنفسجي .
أ) ان مقياس الشدة الضوئية الطيفي لـ جيلود Gillod الحاوي على موحد لون مضاعف من الزجاج وخلية ضوئية اصدارية مع مضخم ، يستعمل في طريقة التسجيلين المتعاقبين .

ومقياس هاردي Hardy المصنوع في الولايات المتحدة يتألف ، كما يدل الشكل ٥ - ٢٩ دلالة مبسطة ، قد مثل المنبع في ١ (وهو مصباح تنفستين) وفي ٢ ، ٣ ، ٤ الشقوق الثلاثة لموحد اللون (وقد استبدل باحدى شفتي ٣ مرآة مستوية) والموشور ذو الانكسار المضاعف ٦ ، يفصل حزمتين مستقطبتين استقطاباً مستقيماً ، على زاوية مستوية وتدفعاها على نسبة بينها تتعلق بتوجيه المقطب ٥ . تطفأ هاتان الحزمتان بصورة متناوبة بواسطة المحلل ٧ الذي يدور بالتواتر f ، واحدى هاتين الحزمتين تسقط على سطح معياري ٨ والاخرى على السطح ٩ الذي يقاس عامل انعكاسه الانعشاري ρ (او

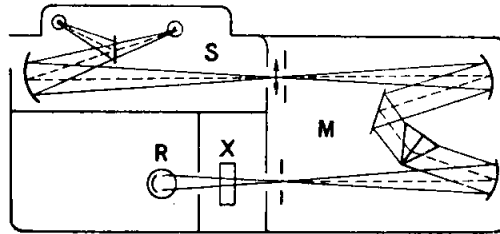
انه يخترق الصفيحة ٩ التي يراد قياس عامل نفوذيتها المنتظمة ، وفي هذه الحالة فان السطح ٩ هو شبيه بـ ٨ ؛ ٨ و ٩ هما جزء من كرة مكاملة ١٠ (الفقرة ٥ - ٩) تضيء نافذتها خلية فوتواصدارية ١١ .



الشكل ٥ - ٢٩ . مقياس شدة الضوء الطيفي المسجل لهادري

ان عدم تساوي التدفقين (وليكونا F و F' مثلا) اللذين تتلقاهما هذه الخلية يولد تياراً معدلاً (مشكلاً) تواتره f يرسل الى المضخم ١٢ ، وهذا التيار بعد تضخيمه يدور ، بفضل المحرك ١٣ ، القطب ٥ ، حتى الحصول على التوازن الفوتومتري ، تسجل الريشة ١٤ عندئذ على الاسطوانة ١٦ (بفضل وساطة « كامة » مناسبة ١٥) القيمة τ العائدة لتوجيه القطب الذي حدد هكذا . ويسيطر المحرك على الانتقال الطولاني للاسطوانة ١٦ بصورة تتناسب مع تغيرات طول الموجة ، الناجمة عن انتقال الشق ٣ بواسطة « الكامة » ١٨ .

ب) كمثل على مقياس الشدة الطيفي ذي موشور الكوارتز ، نذكر مقياس جوبان وايغون (الشكل ٥ - ٣٠) غير المسجل ، الذي يستخدم من ٠.٢ الى



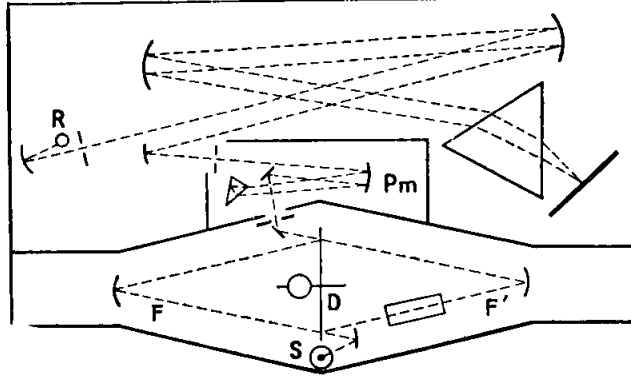
الشكل ٥ - ٣٠ . مقياس الشدة الطيفي ذو الخلية لجوبان وايغون

١ مكرون بطريقة النقطة فالنقطة. وهو يحوي على عدة اقسام وضع فيها: S منبعان ضوئيان (مصباح التنفستين او مصباح الهدروجين) ذوا تغذية مثبتة ، حسب الرغبة ، مع امكان وضع منابع اخرى خارجاً) وفي M موحد اللون ذو المرايا وموشور كورنو (الفقرة ١٢ - ٤ ب) وفي X الناذج التي يراد قياس امتصاصها (او بفضل اجزاء اضافية غير ممثلة في الشكل ، نفوذيتها او نثرها او فلورتها ، ...) وفي R المستقبلات (خلية فوتو اصدارية ذات خلاء) مع مضخم ومقياس غلفاني للقراءة (غير ممثل في الشكل) .

٥ - ٢٦ . — مبادئ السدة الطيفية لما تحت الأحمر :

هذه الأجهزة هي ذوات مرايا ولها غالباً مواشير من كلور الصوديوم NaCl تستخدم من ١ الى ١٥ مكروناً ، ويمكن ان يستبدل بها بين (١ و ٥٥٥ مكرون) مواشير من LiF و CaF_2 اكثر تبديداً منها ، وبعد ١٥ مكروناً يستعان بمواشير من KBr و CsBr ، الخ ... (انظر الفقرة ٤ - ٥) واما المستقبلات فهي من النوع الحراري (الفقرة ٥ - ١٧) والمانبع الضوئية هي اجسام متوهجة في الهواء الطلق (الجسم الأسود ، شعيرة مصباح نرنست) ومن المؤسف ان يكون اشعاعها ضعيفاً جداً في الامواج الطويلة ، لذلك فان اخطار الضوء الطفيلي تخشى هنا كثيراً ولكنه ينبغي ايضاً التخلص من تأثير الامتصاص من قبل بخار الماء وغاز الفحم اللذين يوجدان في الهواء الجوي . ويستعاض غالباً عن الهواء بجو من الآزوت الصافي .

ان مقياس شدة الضوء الطيفي المسجل لـ Luft (الشكل ٥ - ٣١) الذي نتخذه مثالا . يحوي على موحد للالوان مضاعف ، احد عناصره (موحد الالوان المسبق Pm) هو اصغر من الاخر (اقل تبديداً ولكنه اقل كلفة) من الاخر . والضوء الصادرة من شعيرة مصباح نرنست : Nernst S يسقط على القرص الفاصل D ذي القطاعات الشفافة والعاكسة ، بحيث ان المستقبل R يتلقى على التناوب الحزم F (العيار) و F'



الشكل ٥ - ٣١ . مقياس الشدة الطيفي لما تحت الأحمر لـ لوف

(المنقص بنسبة : والذي يراد قياسه) R هو مستقبل ضغطي (الفقرة ٥ - ١٨) والضوء معدل ، ويؤمن التسجيل كما في بعض الاجهزة التي سبق وصفها ، ومقياس اطوال الامواج هو لوغاريتمي .



تمارين

٥ - ا - قارن بين اللمعان L_1 لضوء البدء وبين اللمعان L_2 (الذي يفترض منتظماً) لشمعة تعطي نفس الاستنارة ، عندما تكون على بعد قدره $d = 1,92 \text{ m}$. ان مقطع اللهب ، عمودياً على استقامة الانارة هو $S = 2,0 \text{ cm}^2$ ، والقطر الظاهري للقمر $2\alpha = 31'$.

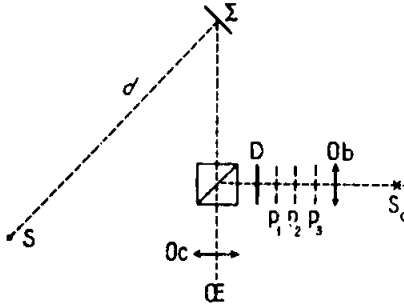
٥ - ب يغطي سطح مائي S ، قرينته n بحاجز معتم افقي احدث فيه في O ثقب صغير s . تدخل حزمة ضوئية آتية من الشمس ، في O ، بزاوية ورود قيمتها الوسطى i ، وتسقط على سطح قدره σ لحاجز افقي Σ ، موضوع في الماء على عمق قدره h . عين الاستنارة E لهذا السطح ، بعد معرفة اللمعان L للشمس ، وقطره الظاهري 2α ، وعامل التوصيل τ لـ S ، في الاستقامة المفروضة ، بغرض الامتناع مهنلاً .

٥ - ج * ١ - انبوب مضيء اسطواني T ، افقي ، غير محدد الطول ، يشع وفقاً لقانون لامبير . يبلغ لمعانه $L = 800 \text{ cd/m}^2$. ومقطعه دائرة قطرها $d = 20 \text{ mm}$. وهو موضوع على ارتفاع $h = 150 \text{ cm}$ فوق منضدة افقية . احسب الاستنارة E في مختلف النقاط M من هذه المنضدة .

٢ - ب يوضع انبوب T' مماثل لـ T بشكل موازي له على بعد $2a \text{ cm}$ من T وفي نفس المستوي الافقي .

عين a بصورة تقريبية ، وبطريقة تخطيطية ، بحيث أن الاستنارة E_1 للمنضدة تكون هي نفسها تحت T وفي النقط المتساوية البعدين عن T و T' .

٥ - د يمثل الشكل مقياس شدة الضوء الاستقطابي ، الذي يستعمل



الشكل ٥ - أ

لقياس استنارة حاجز ابيض ناثر
جداً Σ . S_0 هو مصباح ذو شدة
ثابتة ، موضوع في محرق جسمية Ob ،
و D هو زجاج ناثر ، p_1 ، p_2 ، p_3
هي ثلاثة مقطبات . و C مكعب
لومر ينظر اليه من خلال العينية Oc .

المقطبان p_1 و p ثابتان ومتوازيان. واما p_2 فهو مركب على دائرة مدرجة .
ومبدأ الزوايا α قد نظم عند الانطفاء .

يحصل على التوازن الفوتومتري من اجل القيمة $\alpha_1 = 45^\circ$ للزاوية α عندما
يتلقى Σ الاستنارة E ، ومن اجل القيمة $\alpha_2 = 70^\circ$ عندما يضاء ناظماً بواسطة
منبع شدته $I = 80 \text{ cd}$ موضوع على بعد متر واحد . احسب E .

إذا كان الارتفاع في كل قياس للزاوية α هو $d\alpha = 0,1^\circ$ ، فاحسب الارتفاع
 dE الذي يقابله في E .

٥ - - لقياس الشدة الضوئية I لمصباح توهجي S ، يوضع عمودياً على اشعته
حاجز معتم ابيض E يضاء وجه الآخر ناظماً بواسطة مجموعة تتألف من عدسة
 O ذات امتصاص ضعيف مهمل وذات طول محرق $f = 1 \text{ m}$ ، ويوجد في محرقها
مصباح معياري نقطي S_1 يصدر بصورة منتظمة التوزيع ، تدفقاً كلياً : $\Phi_1 = 630 \text{ lm}$.
البعد $OS = 200 \text{ cm}$ ونفرض $OE = x$.

يراقب وجهها الحاجز E بواسطة جملة مرايا ومكعب لومر ، ويغير x حتى
يبدو هذان الوجهان متساويين في الاستنارة .

١ - ان المنبع S الذي له تناظر دوراني ، محوره A قائم ، يجعل التوازن

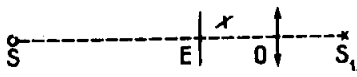
الفوتومتري يحصل عندما $x = 45 \text{ cm}$. احسب قيمة I_h التي تقابله من I .
 ٢ - يستطيع S أن يدور حول مستقيم أفقي عمودي على SS_1 ، فإذا كانت α هي زاوية A مع SS_1 ، فإن قيم x العائدة إلى التوازن الفوتومتري تحصل بالترتيب من أجل :

$$(0) \alpha = 0 \quad 15 \quad 30 \quad 60 \quad 90 \quad 120 \quad 150 \quad 165 \quad 180$$

$$(x \text{ cm}) = 130,8 \quad 113 \quad 102 \quad 61,5 \quad 45 \quad 61,4 \quad 110 \quad 125 \quad 160$$

ارسم بالاحداثيات القطبية مبنية الانحناء $I = f(\alpha)$.

احسب التدفق الضوئي $d\Phi$ الذي يصدره المصباح في الزاوية المجسمة



الواقعة بين محورين دورانين محورهما A وزاويتاهما المولدتان α و $\alpha + d\alpha$.
 استنتج من ذلك ، بواسطة التكامل التخطيطي التدفق الكلي Φ .

٥ - و نخترق حزمة ضوئية متوازية ، في حالة الانحراف الأصغر ، موشوراً يبلغ ثخن قاعدته b ، وهو مصنوع من مادة عامل امتصاصها K بالنسبة الى الضوء الوحيد اللون المستخدم . وأما وجه الدخول ، المغطى تماماً ، فيتلقي تدفقاً F_0 ، احسب عامل النفوذ (أو التوصيل) = للموشور . تهمل تضييعات الانعكاس .

٥ - ز في المستوى المحرق للجسمية الأولى L_1 قد وضع حظار (حاجب) مستدير ، قطره الظاهري عندما ينظر اليه من المركز البصري للعدسة L_1 هو α . ويسقط كل الضوء الذي يخترق هذا الحظار على جملة ضوئية منتظمة L_2 تسقط خيال L_1 على لوحة حساسة P . تقاس الكثافة الضوئية Δ للخيال الناتج ، بفرض أن زمن العرض وظروف التطهير هي باقية على حالها .
 في مجموعة اولى من التجارب يتغطى الحظار تماماً بخيال للسماء الليلية

فيحصل على :

$$\alpha = \begin{matrix} 1^{\circ} 54' 02'' & 51^{\circ} 44' 02'' & 44^{\circ} 25' 02'' & 24^{\circ} 11' 02'' \\ \Delta = & 14.09 & 19.22 & 10.24 & 0.81 \end{matrix}$$

في تجربة اخيرة يسدد الجهاز نحو نجم S بتشكيل خياله داخل D ، وكذلك جزء من السماء فيحصل عندئذ على القيمة $\alpha = 0^{\circ} 58' 46''$ ل α و $\Delta = 10.36$.

فاذ قبلنا بأن لمعان السماء الليلية L منتظم وثابت ، ورمزنا بـ E للاستنارة التي يحدثها النجم S على L_1 فيما لو انه كان ينيره بمفرده ، فاحسب بواسطة الاستكمال الداخلي (التحشية) التخطيطي النسبة E/L .

٥ - ح يتألف جهاز موحد اللون من شق متحرك يعين بعده x عن مرجع أو علامة ثابتة ، طول موجة الضوء النافذ λ ، ويتغير عامل النفوذ مع λ . ومعنا القيم .

$$\begin{array}{rcccl} \text{من أجل } \lambda = 292 \text{ ن م} & x = 19,90 \text{ م م} & = & 0,498 & \\ & - 17,10 & - & 0,550 & \\ & - 15,80 & - & 0,566 & \\ & - 578 & & & \end{array}$$

يضاء هذا الجهاز بواسطة منبع لمعانه الطافي الوحيد اللون $L^*(\lambda)$ ، ويسقط الضوء البارز منه على مستقبل كهروضوئي متصل بالتسلسل مع مقياس غلفاني تنحرف بقعته الضوئية بمقدار α ، ومعنا النتائج :

$$\begin{array}{rcccl} \text{من أجل } \lambda = 520 \text{ ن م} & L^* = 71,6 & (\text{وحدة اختيارية}) & x = 115 \text{ م م} & \\ & 100 & & 225 \text{ م م} & \\ & 560 \text{ ن م} & & & \end{array}$$

(مع بقاء عرض الشق Δx على حاله في المرتين) .

احسب النسبة r للحساسيتين الطيفيتين $\sigma = \alpha/\mathcal{P}$ للمستقبل (بفرض \mathcal{P} الاستطاعة التي يتلقاها) وذلك من أجل طولي الموجتين 520 و 560 ن م .

٥ - تصدر حزمة وحيدة اللون طول موجتها λ_0 ، شعاعها الأوسط يمثل بالمسار FGHIJKO ، من شق F عمودي على مستوى الشكل ، وتسقط على مرآة كروية مقعرة M_1 تشكل لـ F خيلاً في اللانهاية . وتخترق الحزمة ، في شروط الانحراف الأصغر ، موثوراً p حرفه يوازي F وزاويته $A = 60^\circ$. ثم تنعكس بعد ذلك على مرآة مستوية M_2 ثم على مرآة مقعرة M_3 تشكل لـ F خيلاً واضحاً في O . ولتكن L نقطة تقاطع GH و IJ . معنا :

$$\widehat{AL,OX} = 146^\circ \text{ و } \widehat{FGH} = \widehat{JKO} = 90^\circ$$

وكذلك الاحداثيات الآتية ، مبنية بالـ مم بالنسبة الى المحورين المتعامدين

. x o y

النقطة	F	G	L	J	K
x	٣٩٢	٣٩٢	٣٣٧	١٠٠	٥٥٦
y	١٤٠-	٤١٦	٧٠	٧٢-	٠

وتتغير القرنية n للموشور مع طول الموجة λ ، مقدرة بالنانومتر (nm) وفقاً للصيغة :

$$n = 1,58921 + \frac{12,120}{\lambda - 213}$$

١. - عين الزاوية التي يؤلفها مع ox الناظم JD على المرآة M_2 .

٢. - احسب λ_0 .

٣. - للشق F عرض مهمل ؛ وبوضع في O وبصورة عمودية على مستوى الشكل ، شق عرضه ١٠.٠ مم . فاذا كان الضوء الساقط على F لم يعد وحيد اللون ، وانما اصبح ذا طيف متصل ، فعين الفاصلة بين أطوال الموجات $d\lambda$ للشعاعات التي يمكنها ان تحترق الشق O .

الفصل السادس

الالوان وقياسها

٦ - ١. — ضرورة تمييز فيزيائي للالوان .

(أ) ان التعابير المستعملة للدلالة على الالوان ، هي بصورة عامة قليلة الدقة حتى ولو أضيفت اليها عدة صفات مشتركة مثل : أزرق باسطل ، أزرق فاتح ، الخ ... وفهارس (أو أطالس) الالوان المنظّمة من قبل صانعي أو مستعملي المواد الملون ، لها خواص تجريبية ، ولا تبدي كل الضمانات المتضمنة من الثبات مع طول الزمن . ولكي يمكن استعادة جسم (أو صورة) أو أيضاً لون ضوء ، بدقة كافية وفقاً لما تقتضيه علوم وتقنيات عديدة ، فقد سعي الى تمييزها بمعطيات عديدة ؛ وسنرى أن ذلك ممكن بصورة بسيطة نسبياً بالانطلاق من عدد من المصطلحات ، مبنية على دراسة ادراكات ابصارية : وهذا هو موضوع قياس الالوان .

غالباً ما تجري المناقشة ، في مبادئ علم الضوء الابتدائي^(١) على الأجسام أو الأخيلة المنيرة تقريباً ، بقبول ضمني بأن للضوء بالنسبة لها جميعاً ، تركيباً طيفياً

(١) باستثناء الحالات التي يتدخل فيها الانتثار بالانكسار (الجزء ٤ ، ١ - ٩) ، ولونية الجمل الضوئية (الجزء ٤ ، ٣ - ٩) ، والالوان التداخلية (الجزء ٤ ، ١٢ - ١٨) الخ ...

واحداً. وما لم يُبشر الى خلاف ذلك، فالمفروض أن هذا الضوء أبيض : وسنرى في الفقرة ٦ - ٥ ماذا يقصد بذلك . مع هذا فإن فروق الألوان تكون عاملاً أساسياً لإحساساتنا البصرية : فلون ضوء ما يتوقف جوهرياً على تركيبه الطيفي ، ولون جسم ما يتوقف في آن واحد على تركيب الضوء الذي ينيره وعلى الجزء من هذا الضوء الذي هو من أجل كل منطقة من الطيف المرئي ينتقل أو ينعكس أو ينتثر . فالدراسة الجدية لقياس اللون ، لا يمكن مباشرتها الا بعد دراسة القياس الضوئي الطيفي .

— ٥ — اذا نور اعلان ملون بأضواء مختلفة (يصدرها مُسقط توضع أمامه زجاجات ملونة مختلفة) أمكن التأكد من أن المظهر الملاحظ يتغير أحياناً بصورة مدهشة .

— ٥ — من المثير ايضاً فحص مظاهر الواح من الورق أو القماش ، المختلفة الألوان ، أولاً في الضوء الابيض ، ومن ثم بتشكيل طيف ذي أبعاد مناسبة عليها . فيتأكد هكذا من أن أغلب الاجسام الملونة (باستثناء الحمراء منها) ليست ، حتى ولا بصورة تقريبية ، ذات انعكاس او نقوذ وحيد اللون .

ج) ومع أن عدد أطوال الموجة المرئية لا نهاية له ، فإن عدد المعطيات التي تعبر عنها منحنيات التوزيع الطيفي يمكن ارجاعه بصورة عامة الى بضع عشرات . وسيكون ذلك ايضاً كثيراً جداً لتمييز اللون عملياً ؛ وبالإضافة الى ذلك ، فالتوافق بين هذه المعطيات والتسميات المألوفة ليس ممكناً إلا بطريقة غير مباشرة ، سنعرضها في الفقرة ٦ - ١٥ . ولحسن الحظ تبين التجربة أن نتائج المقارنات الابصارية للألوان ، تستطيع ، اذا ما استعملت جملة مقارنة محددة تماماً (والتي اختيارها اعتباطي من جهة أخرى) أن تفسر بمجموعة ثلاثة اعداد فقط ، وهذه الامكانية تقابل ما يسمى أحياناً المتحولات الثلاث الابصارية .

٦-٢. - أسس قياس الألوان البصري .

(أ) من المتعذر طبعاً مقارنة إحساسات مراقبين مختلفين ، فيما بينها ؛ ولكنه من الممكن لكل مراقب يلاحظ في آن واحد بقعتين متجاورتين ، أن ينظم طرق استنارتها ، بحيث تظهران متماثلتين لا في لمعانها فحسب (كما في قياس الضوء) وإنما أيضاً في اللون ، لأن التركيبات الطيفية ليست اضطراراً واحدة ، (راجع الفقرة ٦-٣ ، ب) .

(ب) ندعو تهيجاً السبب الفيزيائي لإحساس بصري . فعندما يثير تهيجان إحساسات متماثلة في اللون والشدة ، يقال إنها متعادلان لونياً . وقياس الألوان البصري يستند الى الفرضيات التالية ، التي تدعى غالباً بمبادئ القياسات اللونية والتي نحققها التجربة (تقريباً على الأقل) في كثير من الحالات . وستكون هذه هي الحالات الوحيدة التي سنتم بها .

(١) تهيجان معادلان لتهيج ثالث هما متعادلان فيما بينهما .

(٢) عندما تؤثر عدة تهيجات في العين في آن واحد ، لا يغير الاحساس المدرك اذا استبدل بأي واحد منها واحد آخر يعادله .

(٣) بنتيجة ذلك اذا كان تهيجان A و A' معادلين على التوالي لتهيجين آخرين B و B' فإن المجموع $A + A'$ يكون معادلاً للمجموع $B + B'$ ، وبصورة خاصة اذا كان A و B متعادلين فإن nA و nB (أي n كانت) هما متعادلان أيضاً .

هذا ويطلق غالباً على المبادئ السابقة (المنصوصة بشكل أكثر أو أقل

اختلافاً) اسم قوانين غراسمان Grassmann .

٦-٣. — الاحتياطات اللازمة للحصول على نتائج مترابطة . المراقبون النظاميون :

أ) يستطيع أغلب المراقبين تحقيق موازنات القياسات الضوئية نفسها ، بتأثير التهييجات ذاتها ، مقدرة تقريباً بالقيم الفيزيائية عينها . هؤلاء المراقبون مشهورون بأنهم « نظاميون » ، وأمكن تعريف مواقع نظامي متوسط (فقرة ٦-١٢) من أجل قياس اللون (كما هو الحال من أجل قياس شدة الضوء) . ولكن يوجد أيضاً ، وعلى الاخص بين الذكور نسبة كبيرة (في حدود ٨٠%)^(١) من المراقبين الذين يتعدون عن المتوسط بشكل ملموس ، والأكثر « شذوذاً » بينهم يُدعون دالتونيين (راجع الفقرة ٦-٩) .

ب) حتى عند المراقبين النظاميين ثمة ما يدعو الى الأخذ بعين الاعتبار لظواهر التكيف والتعب والتباين المتتالي أو المتواقت ، التي تصيب الرؤية الملونة . والتجارب التالية تعطي بعض الامثلة :

٥ - إن الدوائر الحمراء والخضراء في الشكل ٦ - ١ (اللوحة ١) تظهر بوضوح بألوان مختلفة حسبما تكون محاطة بالأصفر أو الأزرق مع أن التعبير واحد في كل مكان ولكن الأحفة تحدث تأثيرات مختلفة من التباين المتزامن .

٥ - توضع إحدى الحلقتين المقصوصتين من صفحة واحدة من الورق الرمادي ، فوق ورقة زرقاء فاتحة ، وتوضع الأخرى فوق ورقة صفراء فاقعة ، فتبدو الأولى مصفرة والثانية مزرقعة . (يكون التأثير أشد وضوحاً إذا غطي الجميع بورقة كربستال) .

(١) نحو ٥.٥% فقط في حالة المراقبات الاناث ،

٥ - يحجب حاجز احمر منور جيداً بالقرب من مركزه خلال بضع دقائق بقرص أخضر يثبت عليه المراقبون نظراً؛ فعندما يرفع هذا القرص فإن المنطقة المقابلة من الحاجز تبدو أشد حمرة (اكثر اشباعاً بالمعنى الذي سيعرف في الفقرة ٦ - ٦) مما يحيط به : وهذا فعل تباين متتالي .

ج) إن القطر الزاوي للرقاع المستعملة للقياسات ، ومظهر « الحقل المحيط ، الذي تلاحظ عليه ، يمكن أن يكون لهما تأثيرهما ايضاً .

تجري القياسات عادة بوساطة حقل قدره حوالي 20,5° (يتجاوز النقيرة المركزية تجاوزاً واسعاً) ، ولكن النتائج يمكن أن تختلف اذا كان الحقل أكبر كثيراً من ذلك .

واخيراً نذكر بأنه في حالة المعان الضعيف جداً تجري الرؤية بمحيط الشبكية (١٧،٤-١٣) الذي هو غير حساس بالنسبة للألوان (« مثلما يقول المثل : كل القطط في الليل رمادية اللون ») ، وبالقرب من الانبهار تتوقف الألوان ايضاً عن أن تكون مرئية بصورة حسنة . فعندما يقترب من هذه الحالات القصوى يتوقف الاحساس باللون اكثر فأكثر على المعان .

٥ - اذا نظرنا من خلال مرشحة ملونة (من الزجاج او الجلاتين) الى شريط متوهج من التتغستن والى سطح ابيض موضوع خلف هذا السلك ومنور به ، فإن هذا السطح بعيد نحو العين ضوءاً له نفس التركيب الطيفي الذي للتتغستن ولكن بمعان أقل كثيراً : فيظهر اكثر « تلوناً » (اقل قرباً من الابيض) من الشريط .

وفي ما يلي ، سنفرض أن القياسات تجري من قبل مراقب نظامي ، بعيداً عن كل ظاهرة مشوشة ، ما لم نشر الى خلاف ذلك .

١ - ألوان مختلف الاضواء

٦ - ٤ . — الاضواء البسيطة والاضواء المركبة . فترؤط الاضواء :

أ (للأضواء الوحيدة اللون ، في شروط المراقبة النظامية ، ألوان (تدعى « نقية ») تُعطى الاسماء المدرجة في الجدول ٦ - ١ . ولكن اطوال الموجة

الجدول ٦ - ١ الوان الطيف			
الألوان	طول الموجة التقريبي (mμ)	اللون المتمم	ملاحظات
بنفسجي اقصى	٤٠٠		احساس محتمل الى اقل من ٣٨٠ mμ
- متوسط	٤٢٠	اخضر مصفر	
- ازرق	٤٤٠		
ازرق متوسط	٤٧٠	اصفر	
- مخضر	٥٠٠		
اخضر متوسط	٥٣٠	ارجواني	رؤية عظمى ٥٥٥ mμ (photopique)
- مصفر	٥٦٠		
اصفر متوسط	٥٨٠	ازرق	
- برتقالي	٥٩٠		
برتقالي متوسط	٦٠٠	ازرق خضيري	
- احمر	٦١٠		
احمر متوسط	٦٥٠	ازرق مخضر	ادراك محتمل الى اكثر من ٨٨٠ mμ
- متطرف	٧٨٠		

المشار إليها في الجدول ليس لها سوى صفة الدلالة . ولا يمكن تثبيتها بدقة إلا باتفاق لم يتم حتى الآن^(١) .

ب) يشار عادة الى الاضواء المركبة ، التي نحن غالباً على صلة بها ، بالاسم نفسه الذي يدل على لون الطيف القريب منها ، باستثناء حالة الاضواء البيضاء (المجاورة تقريباً لأضواء الشمس، انظر الفقرة ٦-٥) والاضواء الارجوانية ، التي يمكن اعتبارها « كمزائج » لأضواء حمراء وبنفسجية أو زرقاء . وتدل التجربة على أن احساساً واحداً باللون ، قد يكون ناشئاً عن أضواء تراكييبها الطيفية مختلفة جداً .

٥- يشاهد مثلاً ، أن احساسات بألوان صفراء متشابهة جداً ، قد تنتج إما عن ضوء وحيد اللون مناسب ، وإما عن ضوء ابيض تكون فيه المركبات الطيفية الزرقاء غير موجودة ولو جزئياً على الاقل .

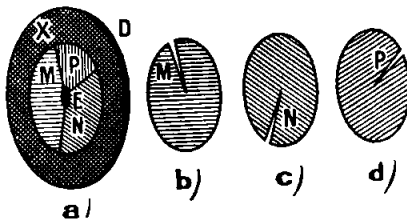
وأغلب الأضواء الملونة التي نحصل عليها بتريشيع الضوء الابيض بصفحة زجاجية زرقاء أو خضراء أو صفراء . . هي عملياً بعيدة جداً عن أن تكون وحدة اللون .

٥- ثمة مرشحات لا تسمح بتأناً بمرور الاضواء الوحيدة اللون الصفراء ، ولكن تسمح فقط بمرور الاضواء الحمراء والخضراء التي يعطي مزيجها احساساً بالأصفر . وهذه حالة محلول مائي لثنائي كرومات البوتاسيوم وكأور الكروم بنسب ملائمة .

ج (في الحالات الملحوظة آنفاً ينتج مزيج الأضواء المختلفة عن تطبقها في

(١) راجع مع ذلك الفقرة ١ - ٨ والفقرة ١ - ١٠ فيما يتعلق بالحدود المصطلح عليها لما تحت الاحمر وما فوق البنفسجي .

حزمة واحدة . ويمكن أيضاً لدراسة مزيج ضوئين ، أن نوجهها معاً ضمن ورودين مختلفين على لوحة بيضاء



مستقيمة المناحي (الفقرة ٥ - ٢

٥ -) يلاحظ عليها اللون ، اذا

جمل مصدرهما رقعتين قريبتين

ومتجاورتين وصغيرتين بقدر كاف

بحيث لا تفصلها العين (التنقيطية))

فقرة (٢٢ - ٦) أو استبدلها

دورياً أحدهما بالأخرى في تأثيرهما

على العين في فترات متقاربة .

الشكل ٦-٢ . - مزج الألوان بواسطة

قرص دوار ؛ b ، c ، d دوائر الورق

الملون منضدة كما هو مشار إليه في

الشكل « .

٥ - - تعتمد طريقة القرص الدوار على وضع دوائر ملونة على قرص D ،

محورها واحد ومشقوقة وفق نصف القطر ، ويغطي بعضها بعضاً جزئياً : فعندما

تنور المجموعة بشكل مناسب وتدور بسرعة كافيته ، فانها تظهر بلون ناتج عن

خليط الألوان التي تقتابح في النقطة الملحوظة . فمثلاً ، اذا وضعت ثلاث دوائر

من الألوان P, N, M مرتبة بشكل يغطي بعضها بعضاً جزئياً كما يشير الى ذلك

الشكل ٦ - ٢ ، فوق اطار لونه X ، والكل مثبت بواسطة برغى E ، فمن الممكن

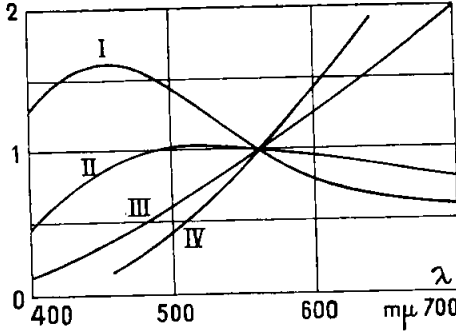
عندما نختار الألوان P, N, M والزواوية المركزية للقطاع المرئي اكل منها أن

يتوازن مزجها مع اللون X .

٦ - ٥ . - الأضواء البيضاء . الأضواء المتتامة :

يعد لوناً أبيض كل ضوء مشابه لضوء النهار ؛ وهذا التعريف ينطبق على

التراكيب الطيفية التي تختلف فيما بينها اختلاف أضواء سلك الفحم المتوهج والسماء الزرقاء (شكل ٦ - ٣)^(١).



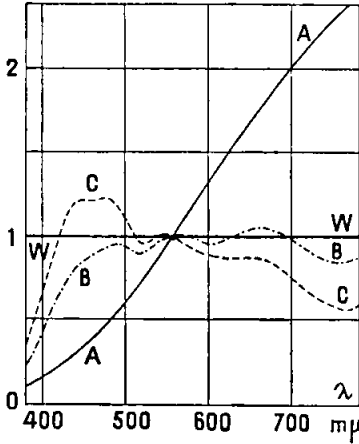
الشكل ٦-٣. - التوزيع الطيفي لمختلف الأضواء المدعوة بالبيضاء :

- ١ - ضوء السماء الزرقاء .
- ٢ - ضوء الشمس المتوسط .
- ٣ - مصباح ذو سلك التنغستن .
- ٤ - « » « » الفحم .

٥ - إذا أشعلت ثلاثة مصابيح كهربائية ذات استطاعة واحدة ، بجانب بعضها بعضاً وهي على الترتيب : ذو شعيرة من الفحم ، وذو شعيرة من التنغستن في الفراغ ، وذو شعيرة من التنغستن في الآزوت أو الارغون ، يلاحظ ، فضلاً عن تزايد شدتها الضوئية تدريجياً وفق ترتيبها المذكور آنفاً ، تناقص ألوانها احمراراً .

عندما يكون لضوء ما عين التركيب الطيفي للضوء الذي يصدره « جسم متوهج اسود » درجة حرارته T_c . قد اختيرت بصورة مناسبة ، فان T_c تدعى حينئذ درجة حرارة اللون لمنبع الضوء L (الجزء ٢ ، الفقرة ٢٠ - ١٠) . هذا المفهوم يطبق غالباً على التمييز الدقيق أو التقريبي لبعض الأضواء البيضاء (ولكن كثيراً من الأضواء البيضاء لا يمكن تمييزها هكذا) .

(١) لنتذكر أيضاً مفهوم « اللون الأبيض ذي الزبة العليا » (١٢٤ - ١٩) .



الشكل ٦ - ٤. التوزيع الطيفي لثلاث
الاضواء البيضاء الاصطناعية للجنة
الدولية للأنارة

ب) ان الاختيار النهائي لضوء
أبيض نظامي للأنارة نموذج يرغب في
تعيين لونه مسألة لم يبت فيها بعد . وقد
أوصت اللجنة الدولية للأنارة من اجل
هذا الاستعمال ثلاثة منابع تدعى A ،
B ، C وتعرف كما يلي (انظر الشكل
٦ - ٤) .

المعيار A مؤلف من مصباح ذي
سلك (شعيرة) من التنغستين في جو
غازي درجة حرارة لونه تساوي ٢٨٥٠
درجة مطلقة .

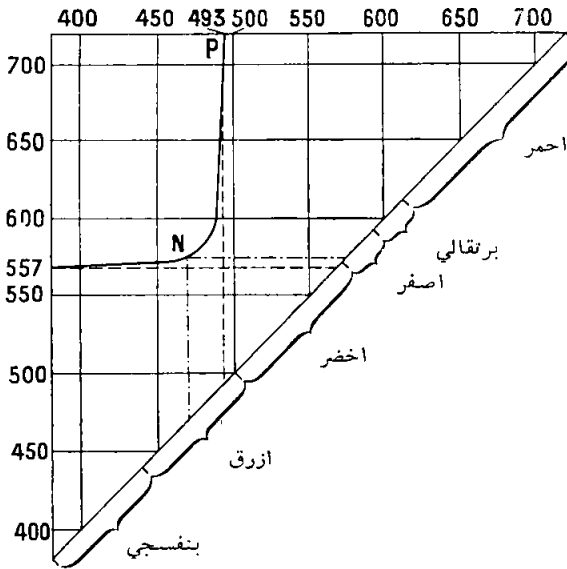
والمعياران B و C يتألفان من المصباح السابق منضماً اليها مرشحات تناسب
الى « ديفيس وجبسون » بمؤدة بحاليل مناسبة تحوي بصورة خاصة على كبريتات
النحاس والكوبالت وتبلغ درجة حرارة ألوانها على التوالي ٤٨٠٠ K و ٦٥٠٠ K
تقريباً .

ج) نطلق اسم الضوء W على الضوء (النظري) الذي يدعى بذي طيف
تساوي الطاقة ، والذي يكون توزيعه الطيفي ، بدلالة طول الموجة ثابتاً
(في الفراغ) ؛ ويدعى أحياناً « الأبيض » : وعملياً يبدو لعين سليمة ارجوانياً
خفيفاً ، وهذا الضوء يتدخل في الاصطلاحات المتعلقة « بجمل الاسناد او جمل
المراجع » التي سنتكلم عنها فيما بعد . ونحصل عليه تقريباً بواسطة معيار A
ومرشرة سائلة مناسبة ، مشابهة لمرشحات ديفيس وجبسون المشار اليها اعلاه .

د) يقال عن ضوءين أنها من لونين متتامين ، اذا أثر في آن واحد وبنسب

موافقة في « العين المتوسطة » فولدا فيها احساساً بلون ابيض . والتوافق بين اللون متممة لا يمكن تعيينه بدقة إلا اذا ثبت جيداً الضوء المستند اليه .

ويمكن للألوان المتممة أن تكون بسيطة أو معقدة . ويبين منحنى الشكل ٦ - ٥ أطوال الموجات لمزدوجات ضوئية وحيدة اللون متممة للضوء الابيض

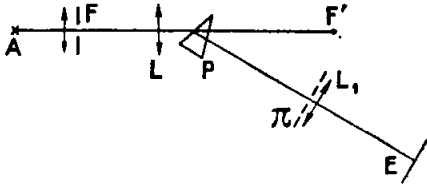


الشكل ٦ - ٥ . تحديد (كيميائي) لألوان الطيف ، ومزدوجات وحيدة اللون أطوال موجتها متممة للضوء C

C . ومن أجل النقطة N من هذا المنحنى مثلاً ، تكون أطوال الموجة هذه 470 و 575 μ m ، مقابلة للون أزرق ولون أصفر ؛ ومن أجل الألوان الخضراء التي أطوال موجتها محصورة بين 493 و 557 μ m تكون الألوان المتممة أرجوانية .

٥ - تنور قوس كهربائية A بصورة منتظمة شقاً F (الشكل ٦ - ٦) تكون له العدسة L خيالياً حقيقياً F' في حالة غياب المنشور P . فإذا توسط

هذا الموشور التركيبية أمكن ملاحظة طيف على حاجز ابيض موضوع في π .



الشكل ٦ - ٦ . تجربة إعادة تركيب ضوء معقد ، تسمح بدراسة الألوان المتكاملة .

ينزع هذا الحاجز ، ويشكل في E بمساعدة عدسة L (تغطي الطيف تغطية واسعة) خيال لوحة الموشور P . ولون هذا الخيال ، على نحو ظاهر ، لون الضوء الصادر عن A لأن

الأشعة الوحيدة اللون ذات الألوان المختلفة والمنفصلة عند بروزها من الموشور تلتقي في E كيمّا تركب الضوء المعقد الصادر من F . فإذا ما أوقف جزء من هذه الأشعة عاد الخيال E الى تلوّنه ؛ ويمكن الحصول بصورة خاصة على لونين متتامين (يعتبر ضوء القوس كالأبيض) بأن يوضع بالتتابع في Π حاجزان كشيّان جزئياً وذوا أطراف مستقيمة موازية الى F على أن تقابل الأجزاء المليئة في احدهما تماماً الأجزاء المقطوعة من الآخر .

٦ - ٦ . أطوال الموجات السائدة ، عامل النقافة . العصبقات

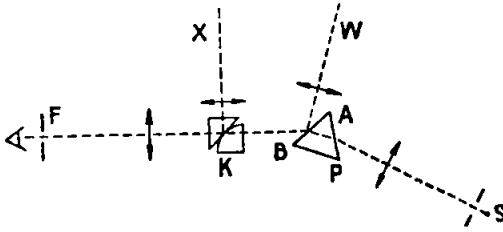
والاشتباكات :

أ) تبين التجربة أنه اذا طبقت حزمة أشعة بيضاء لمعانها L_w على حزمة وحيدة اللون طول موجتها λ_d ولمعانها L_d أمكن تحقيق حزمة معادلة من وجهة نظر العين السليمة لحزمة ما ملونة (باستثناء حالة الارجوانيات) لمعانها L ، ينبغي لهذه الغاية أن يختار λ_d ، L_d و L_w اختياراً مناسباً على أن يكون مجموع اللعائين (مقدراً مثلاً بـ cd/m^2) مساوياً الى L فيما اذا كانت اصطلاحات القياسات الضوئية قابلة للتطبيق (الفقرة ١٥ - ١٦) . ونعبر اذاً عن التساوي

الذي وصفناه بالعلاقة :

$$L_d + L_w = L \quad [١٠٦]$$

يمثل الشكل ٦ - ٧ تخطيطاً تركيب جهاز يساعد ، بفحص مكعب لومر



الشكل ٦ - ٧ . - مقياس اللون لـ نوتنغ (تخطيطاً).

K ، على مقارنة ضوء للدراسة X ومزيج من الضوء الابيض W (المنعكس على الوجه AB من المنشور P) والضوء الوحيد اللون (الوارد من المنبع S والمغزول بالشق F) . ويمكن تغيير λ_d بتدوير P ، وتقيص مختلف التدفقات الضوئية بنسبة معينه بواسطة تركيبات استقطابية (الفقرة ٥ - ٤) غير ممثلة على الشكل . وينبغي ان يكون الضوء الابيض المعتبر مرجعاً محدداً بدقة ، وما لم يصدر أي رأي مخالف لذلك ، فهو الضوء W المعروف آنفاً .

ب) يدعى λ_d طول الموجة المسيطرة للضوء المدروس X ، فإذا كان هذا الضوء مركباً فإن λ_d يدل من بين الشعاعات الوحيدة اللون على الشعاعة التي لونها الملاحظ يقرب أكثر ما يكون .

ملاحظة - ان طول الموجة المقابل للقيمة العظمى لمنحني التوزيع الطيفي لـ X (إن لم يكن ثمة سوى واحد فقط) لا يختلط بصورة عامة مع λ_d ، بل يمكن

أن يبتعد عنه كثيراً (راجع الفقرة ٦-٤ ب) . وطول الموجة المسيطرة يدل (ضمن التحفظات المذكورة في الفقرة ٦-٦ هـ) على ما يسمى عادة صبغة اللون وهكذا فإن الدلالة $\lambda_d = 580 \text{ m } \mu$ يمكن أن تحل محل العبارة : صبغة صفراء - برتقالية بتحديد بدقة .

(ج) إن النسبة :

$$p = \frac{L_d}{L} = \frac{L - L_w}{L} \quad [٢١٦]$$

تدعى عامل النقاوة ^(١) وهو يساوي ١ لضوءٌ وحيد اللون ، ويسمى اللون المقابل مشبعاً ؛ وكلما ازدادت في المزيج نسبة الضوء الأبيض ، تنقص p ، ويقال إن اللون مشوب بالأبيض أكثر فأكثر .

٥- ينور جاجز أبيض في غرفة مظلمة ، بضوء مشبع نسبياً (يحصل عليه مثلاً بوضع مرشحة حمراء أمام جهاز اسقاط) . فعندما تشعل بالتتالي عدة مصابيح بيضاء في الغرفة ، فإن الضوء المرتد بالحاجز يصبح مشوباً بالأبيض أكثر فأكثر .

(د) ليس للضوء الاوجواني P طول موجة مسيطرة ، ولكن يمكن تعيين طول موجته المتممة λ_0 وكذلك المعان L_c لطول موجته هذه ، التي اذا ما طبقت فوق المعان L الخاص بـ P ، ولدت لمعناً L_w لضوء أبيض . فمعادلة القياس اللوني المقابلة هي :

$$L_c + L = L_w \quad [٣١٦]$$

وعامل النقاوة المحدد بالعلاقة :

(١) زيادة في الدقة : نقول عامل النقاوة القياسي اللوني ، لتمييزه عن عامل نقاوة التهييج الذي سيعرف في الفقرة ٦ - ١٥ .

$$p = \frac{L - L_w}{L} \quad [٤٠٦]$$

والذي لا يختلط إلا جزئياً بـ [٢٠٦] يكون سالباً . وسنطعي في الفقرة ٦ - ١٥ ب تعريفاً مختلفاً لعامل النقاوة لضوء أرجواني ، يقابل كبقية الألوان ، تحولاً من الصفر الى الواحد وفق ما يكون مشوباً بالبياض قليلاً أو كثيراً .

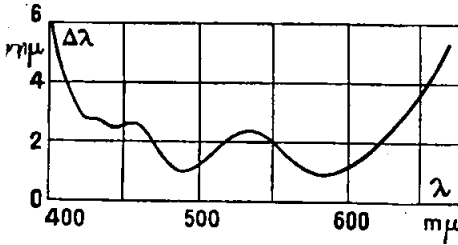
٥) إن مجموعة الاعداد الثلاثة λ_d (أو λ_c) و p و L تميز بصورة كاملة المظهر الملون للحزمة ؛ ويسمى الاثنان الأولان عاملي التلون ، ويؤدي العامل الضوئي القياسي L جوهرياً ، من وجهة نظر الاحساس الملون الذي تحدثه الحزمة دوراً يظهر خاصة في حالة المعائنات الضعيفة جداً أو القوية جداً كما ذكرنا في الفقرة ٣ - ٣ - د .

ونشير من جهة أخرى الى انه يمكن ان يعرف تحت اسم صبغة واشباع وتآلق مميزات نفسية وفيزيولوجية للضوء ، كل منها يتوقف بشكل رئيسي على المميز «اللونى» (p, λ_d) أو القياسي الضوئي L المقابل ، ولكن له احتمالاً بعض التعلق بالاثنتين الآخرين. قد يحدث مثلاً ان نعتبر كصبغات متفاوتة قليلاً ، الاضواء الناتجة عن مزيج بنسب مختلفة لضوء واحد وحيد اللون مع ضوء ابيض واحد ، اي ان لها طول موجة واحدة مسيطرة ولكنها تختلف بعامل النقاوة او بلعانها .

ان دراسة هذه القضايا لما تتم بعد ؛ وبدون أن نهم بهذا أكثر من ذلك سنستعمل فيما يلي الالفاظ الآتية : صبغة واشباع وتآلق ، للدلالة على الميزات التي تحددها بدقة مفاهيم طول الموجة المسيطرة وعامل النقاوة واللعان .

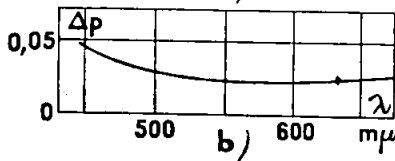
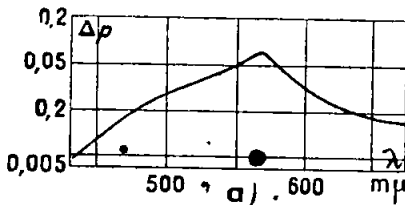
٦ - ٧ . — العنات النفاضية للصبغة والنقاوة .

أ) إن اصغر ابتعاد يمكن تقديره لطول الموجة المسيطرة في حالة ضوء



الشكل ٦ - ٨ . العتبة التفاضلية لطول موجة ، من أجل اللون وحيدة اللون ($\lambda \Delta$) الحد الأصغر المرئي بدلالة λ)

هو أقل سرعة بكثير مما هو عليه في الأصفر والأزرق وحتى في الأخضر . ويجب التذكر بأن عيناً سليمة تستطيع أن تميز ، بين الألوان الطيفية ، نحو ١٣٠ الى ١٥٠ صبغة مختلفة ، يجب أن يضاف إليها نحو عشرين صبغة أرجوانية « نقية » (يحصل عليها بزائج مختلفة من البنفسجي والأحمر المشبع) . وفي حالة الأضواء ، غير المشبعة ، تتناقص الحساسية على تحولات طول الموجة المسيطرة بسرعة ، كلما زاد شوبها بالابيض .



الشكل ٦ - ٩ . - عتبة عامل النقاوة Δp ، بدلالة طول الموجة : a) بالقرب من الابيض (احداثيات لوغارتمية) ، b : بالقرب من الاشباع

مشبع ، يتحول من احد طرفي الطيف الى طرفه الآخر ، وفقاً لما يدل عليه الشكل ٦ - ٨ . وقد توجد فوارق محسوسة بين « الافراد النظاميين » ، ولكن يلاحظ في حالة الجميع أن تغير الصبغة في الأحمر وفي البنفسجي

ب) من جهة أخرى يدل الشكل ٦ - ٩ ، من أجل الصبغات المختلفة ، على نتائج قياسات متوسطة لأصغر تحول Δp يمكن ادراكه لعامل النقاوة p ، سواءً أيجوار الأبيض أو بالقرب من الاشباع .

وإذا أخذنا بعين الاعتبار النتائج السابقة وتحولات المعان التي من الممكن ادراكها ،

وجب أن نقبل بوجود عشرات الالوف من الاحساسات الضوئية . المختلفة .
 ج) ان طول الموجة المسيطرة وعامل النقاوه هما ميزان صريحان للون ؛
 وتعيينهما المباشر بقدر كاف غير اكيد لسوء الحظ سواء عندما يتعلق الامر بالوان
 مشبعة يلزم من أجلها تقدير L_d أو L_c أجراء مقارنات مختلفة الالوان قليلة الدقة
 (الفقرة ٥-١٣) أو بالوان مشوبة بالبياض تكون معها العتبة التفاضلية لتقدير
 الصبغات كبيرة نسبياً . لذا يلجأ عادة الى طريقة التركيب الثلاثي اللون التي
 سنعرض مبدأها .

٦-٨ . التركيب الجمعي التلوي للالوان . مفايسى الالوان التلوية اللون :

أ) نختار تحكماً ثلاثة أضواء تسمى ألوانها أساسية ، مع التحفظ بأن أياً
 منها لا يمكن الحصول عليه بخائط الاثنين الآخرين ، وعملياً من المفيد اختيارها من
 الاحمر ، والاخضر ، والازرق ، على ان تكون مشبعة بقدر الامكان ؛ ويمثل عادة
 بالحروف R ، G (الحرف الاول من كلمة green التي تعني أخضر بالإنكليزية)
 و B . وتبين التجربة انه من الممكن في كثير من الحالات ، بطريقة القياس
 الضوئي والقياس اللوني « الموازنة » بين حزمة X من لون ما ولمعان L ، وبين
 مزيج من الالوان الثلاثة الاساسية ، التي لمعانها L_R و L_G و L_B المختارة بصورة
 مناسبة ، علماً بأن هذا الاختيار غير ممكن الا بصورة واحدة . ويمثل نوازن
 كهذا بالمعادلة :

$$L = L_R + L_G + L_B \quad [٥٠٦]$$

علماً بأن واحداً أو اثنين من هذه اللمعانات قد يكون معدوماً .

وفي الحالات الاخرى ، يمكن معادلة مزيج مناسب من X ومن أحد الالوان الثلاثة الاساسية المختارة جيداً ، وليكن R ، مع مزيج مناسب من اللونين الآخرين ، وهو ما نعبر عنه بالمعادلة :

$$L + L_R = L_G + L_B \quad [٦,٦]$$

وهذه المعادلة الاخيرة تؤول الى الصيغة [٦ ، ٥] بالموافقة حينئذٍ على اعتبار L_R (أو في حالات أخرى L_G أو L_B) كساليين .

ونجد غالباً أنه من المناسب إزالة اشباع الحزمة X التي تتدخل في صيغة كالصيغة [٦,٦] بأن تضاف اليها حزمة بيضاء F' تقريباً ، وذات لمعات L' يكون معه :

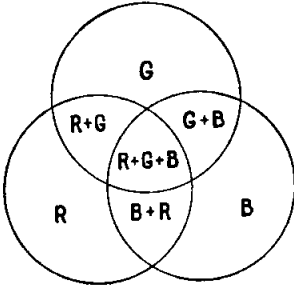
$$L' = L'_R + L'_G + L'_B \quad [٧,٦]$$

ويكون لدينا حينئذٍ :

$$L + L' = (L_R + L'_R) + (L_G + L'_G) + (L_B + L'_B) \quad [٨,٦]$$

والعبارات المحصورة بين الاقواس تستطيع ان تعود الى لمعات موجبة جميعها . والمعادلتان [٧,٦] و [٨,٦] تقابلان حينئذٍ قياسين متتاليين ينتج عنها L_R و L_G و L_B .

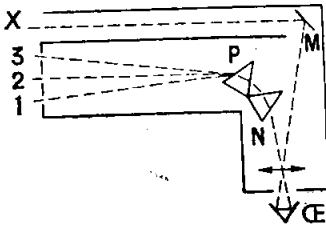
ب) تبين التجارب التالية بعض إمكانيات التركيب الجمعي الثلاثي الالوان .
٥ - تنور ثلاثة مسقطات مجهزة على التوالي برشحات حمراء وخضراء وزرقاء ، بصورة منتظمة ، ثلاثة مناطق دائرية الشكل R و G و B من حاجز واحد أبيض ، وتتراكب جزئياً كما هو مبين في الشكل ٦ - ١٠ . ويمكن إدخال مرشحات محايدة فوق كلٍ من الحزم الثلاث لانقاص اللعان (يمكن بشكل



الشكل ٦ - ١٠ .
تجربة التركيب الثلاثي الألوان

أبسط تغيير شدة مصابيح المسقطات ، ولكن ذلك يغير قليلاً الألوان R ، G ، B ، حيث ان المرشحات ليست وحيدة اللون) وبذلك يمكن الحصول على أمزجة متنوعة من الألوان الاساسية المأخوذة من مثنى مثنى : برتقالي ، أصفر ، أخضر مصفر من أجل R و G ، أخضر مزرق من أجل G و B ، أرجواني من أجل R و B ، والصبغات نفسها الباهتة قليلاً أو كثيراً (أو لمزيج مناسب من الابيض غير المصبوغ) في الجزء المشترك للحزم الثلاث (انظر الشكل ٦ - ١١ اللوحة ١) .

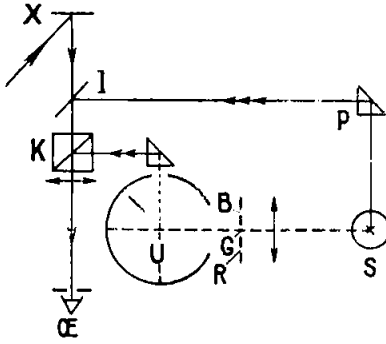
٥ - يمكن أيضاً تكرار جهاز مكسويل الأولي (الشكل ٦ - ١٢) حيث



الشكل ٦ - ١٢ . جهاز التركيب الثلاثي الألوان لمكسويل

تراقب العين CE رقتين M و N منورتين ، احدهما بالضوء الذي هو قيد الدراسة والآخر بمزيج من ثلاثة أضواء ، وحيدة اللون تقريباً ، صادرة عن الشقوق ١ ، ٢ ، ٣ (المنورة بالضوء الابيض) والمستقبلة بشق واحد للخروج بعد اجتيازها الموسورين . ويغير المزيج بالتأثير في عرض هذه الشقوق .

ج (بين الشكل ٦ - ١٣ ، تخطيطاً مقياس الوان ثلاثي الألوان ، أكثر دقة مما سبق ، وهو مقياس دونالدسن Donaldson . فالأضواء الثلاثة الاساسية تصل اليه من مصباح متوهج واحد S ، ضمت اليه ثلاث زجاجات ملونة R ، G ، B وهي مختلطة في كرة اولبريخت U (انظر الفقرة ٥ - ٩) ، ويقارن المزيج بواسطة مكعب لومر K ، بالضوء X المطلوب دراسته .



الشكل ٦ - ١٣ . مخطط مقياس
الألوان لدونالدسن

وللحصول على الموازنة يؤثر في
العروض l_B ، l_G ، l_R للحواس
الثلاثة المثابة الارتفاع والتي تحدد
الاجزاء المفيدة من الزجاجات R ،
B ، G : حيث تتحول المعانيات
 L_B ، L_G ، L_R نسبياً الى هذه
العروض ، علماً بأن قيمها قد تتعين
بتعبير الجهاز .

وتطبق عند الحاجة ، فوق الحزمة التي تجرى عليها التجربة ، حزمة مزيلة
للاشباع ، واردة من S ، ومنعكسة بالموشور P وبالصفيحة نصف الشفافة I .

٦ - ٩ . - تفسير التغير الثلاثي البصري . نصفيف الشبوبات .

اقتوت عدة نظريات لتفسير التغير الثلاثي للاحاساسات الملونة . والنظرية
التي تبدو أكثر قبولاً (يونغ ١٨٠١) تفرض ان تتدخل في الجملة البصرية ثلاثة
نماذج من المستقبلات ، غير متساوية الاحساس بالنسبة للشعاعات الوحيدة اللون ،
ولكنها تكامل تأثيراتها : فمن الممكن أن توجد في مخاريط الشبكية^(١) (٤ -
١٧) ثلاثة صبغات مختلفة حساسة للضوء ، ولكن ما أمكن حتى الآن
عزلها بيقين .

مع ذلك فقد بحث في تقدير حساسيتها الخاصة بدلالة طول الموجه ، بواسطة

(١) الخلايا الاخرى المستقبلة للضوء او العصبيات ، ليست حساسة على
فروق الألوان .

فرضيات مكملة ، لا نستطيع الإلحاح عليها . ويجب ان لا تخلط هذه الحساسيات مع عوامل التوزيع ، التي سنتكلم عنها في الفقرة ٦-١٢ .

(ب) ان دراسة شذوذ الرؤية الملونة تؤدي الى ان يُميز ، من بين المراقبين ، أولئك الذين ينبغي أن يعمدوا ، من أجل توازن ما ، الى ثلاثة ألوان أساسية (يسمون : ثلاثي الألوان ، واذا قبلت نظرية يونغ ، فعليهم أن يجوزوا على النماذج الثلاثة للمستقبلات الملحوظة أعلاه) ، أولئك الذين يكفي من أجلهم لونان أساسيان : وهم الدلتونيون (الفقرة ٦ - ٣) أو ذوا اللونين : فليس لهم في نظرية يونغ سوى اثنين من ثلاثة نماذج من المستقبلات . ويوجد أناس (بعدد صغير جداً) لا يستطيعون ادراك احساسات للألوان المختلفة ، وإنما فقط احساسات تتفاوت في اضاءتها ، ويوصفون بأنهم وحيدو اللون . (او لالونيون أيضاً) .

وقد يكون ثلاثيو الألوان انفسهم نظاميين أو غير نظاميين الى حد ما من وجهة نظر قياس الألوان . ويجري تقصي الشذوذ الخفيفة أو الشديدة بواسطة مقاييس الألوان المبسطة (مثل كاشف الشذوذ لناجل Nagel ، الذي بواسطته تحدد النسبة التي يجب وفقاً لها ، مزج لون احمر ولون اخضر محددين ، لموازنة لون اصفر محدد) أو بتصنيف نماذج ملونة ، أو أيضاً بفحص لوحات مؤلفة من بقع من الألوان المختلفة ، مختارة بصورة مناسبة . فالراقبون النظاميون يتعرفون فيها على حروف أو أرقام ، لا يستطيع التعرف عليها الشاذون او بالعكس (انظر الشكل ٦ - ٤ او اللوحة ١) .

٦ - ١٠ . — صمد المقاترة او الونسار B. G. R. للجنة الدولية للمقارنة .

العوامل الملونة الألوان :

(أ) للتمكن من المقارنة بين مختلف دلالات القياسات اللونية ، اختارت

اللجنة الدولية للإضاءة ، نتيجةً لأبحاث غيلد ورايت Guild et Wright ، وبناءً على اتفاق عام ، مجلة مقارنة تسمى B, G, R ، تستعمل كشعاعات أساسية الشعاعات الوحيدة اللون التي أطوال موجتها هي التالية :

للحمراء R ، $\lambda = 700 \text{ m}\mu$ (التي يحصل عليها عملياً بواسطة مصباح متوهج ومرشحة حمراء مناسبة) .

وللخضراء G ، $\lambda = 546 \text{ m}\mu$ (وهي الشعاعة الخضراء لقوس الزئبق) .

وللزرقاء B ، $\lambda = 436 \text{ m}\mu$ (وهي الشعاعة الزرقاء لقوس الزئبق) .

واتفقت اللجنة ، عدا ذلك ، على اعتبار ثلاثة مقادير B, G, R التي سنسميها المركبات الثلاثية الألوان ، والتي تعرف بالعلاقات :

$$R = L_R, \quad G = L_G/4,591, \quad B = L_B/0,060_1 \quad [٩,٦]$$

حيث قواسم L_G و L_B اختيرت بشكل يكون معه من أجل الناظر النظامي المتوسط ، كل مزيج للأضواء الأساسية التي تكون فيها لـ B, G, R قيماً متساوية يعادل الضوء « الأبيض » المصطلح عليه W . وهذا يعني أنه يحصل على ضوء كهذا بأن يمزج مثلاً 1 cd/m^2 من الأحمر $700 \text{ m}\mu$ مع $4,59 \text{ cd/m}^2$ من الأخضر $546 \text{ m}\mu$ مع $0,060 \text{ cd/m}^2$ من الأزرق $436 \text{ m}\mu$ فقط : فلشعاعات الزرقاء بالفعل تأثير في لون المزيج أكثر أهمية عند تساوي اللعان ، من الألوان الحمراء وخاصة الألوان الخضراء .

وبمقتضى المبادئ المنصوصة في الفقرة ٦ - ٢ ، فإن المركبات اللونية الثلاث لمزيج حزم ملونة هي مجموع المركبات ذات القرينة نفسها للحزم المخلوطة .

(ب) تدعى خوارج القسمة :

$$b = \frac{B}{R+G+B}, \quad g = \frac{G}{R+G+B}, \quad r = \frac{R}{R+G+B} \quad [١٠,١٦]$$

الامثال الثلاثة الالوان . واعتبار اثنين منها (الثالث ينتج عنها لأن $r + g + b = 1$) يسمح بتمثيل مستوى للالوان (راجع الفقرة ٦ - ١٤) ، ونجد ثانية المعطى الثالث المقابل للتحويل الثلاثي البصري ، باضافة قيمة المعان الكلية التي تدرس ، الى هذين العاملين .

ان هذه الطريقة في فصل المتحولات هي اكثر ملائمة ولا سببا لانه ليس للميزة القياسية الضوئية L غالباً سوى تأثير لوني ثانوي على الاحساسات اللونية ، وأن قياسات L_R, L_G, L_B لا تتم بصورة عامة إلا بقيم نسبية ، لا بقيم مطلقة .
(ج) من الممكن أن نربط بالجملة التي عرفناها آنفاً نتائج قياس أجري بجهاز أضواءه الأساسية B', G', R' تختلف عن أضواء B, G, R المختارة من قبل اللجنة الدولية للإضاءة (C.I.E) ؛ ولكن ثمة صعوبة قد تبدو بسبب افتراض أن القياسات تجري من قبل مراقب نظامي متوسط : في حين أن المراقبين ، حتى غير الدلتونيين ، يمكن أن يبتعدوا عن التوسط بصورة مجهولة غالباً .

٦ - ١١ . — صيغة القياس اللونية X, Y, Z للجنة الدولية للإضاءة

(C.I.E) .

(١) وجد انه من المفيد ادخال مركبات أو حدائيات تمثل بالرموز XYZ (أو x, y, z و Y) مكان R, G, B (أو مكان r, g, b و L) والتي تربط بالسابقة بالعلاقات :

$$\left. \begin{aligned} X &= 2,7689 R + 1,7519 G + 1,1302 B \\ Y &= \quad \quad R + 4,5909 G + 0,06012 B \\ Z &= \quad \quad \quad 0,0565 G + 5,5944 B \end{aligned} \right\} \quad [١١,١٦]$$

$$\frac{x}{X} = \frac{y}{Y} = \frac{z}{Z} = \frac{1}{X+Y+Z} \quad [١٢,٦]$$

والمركبات اللونية X, Y, Z لمزيج حزم ملونة ، مثل R, G, B ، هي على التوالي ، مجموع المركبات المقابلة للحزم الممزوجة .

وعوامل المعادلات الخطية [١١،٦] أمكن اختيارها بحيث تتوافر الشروط التالية:

- تكون العوامل x, y, z موجبة أو معدومة من أجل جميع الألوان الممكنة تحقيقها (في حين أن r (وأقل من ذلك على الغالب) ، g ، أو b يمكن أن تكون سالبة) مما يسمح باختصار بعض الحسابات (انظر الفقرة ١٢-٦) .

- تختلط المركبة Y بالمميز القياسية الضوئية L .

- للضوء الأبيض w الاحداثيات $x = y = z = 1/3$ (نذكر أنه من أجل هذا الضوء يكون أيضاً $z = y = b = 1/3$) .

- إن الميزة z للشعاعات الرحيمة اللون المغصورة بين الأحمر المتطرف وطول الموجة $625 \mu m$ معدومة عملياً ؛ وحتى $545 \mu m$ تبقى دون 0,01 .

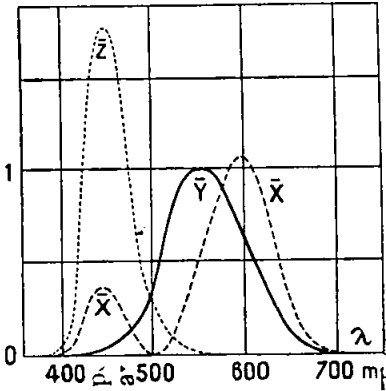
(ب) إن جملة المقارنة X, Y, Z للجنة الدولية للإضاءة، المستندة إلى الاصطلاحات السابقة هي حالياً كثيرة الاستعمال . ولقد تم بإحكام وضع الطرق التي تسمح بالانتقال عملياً بقدر الامكان من النتائج المجملة للتجربة إلى القيم المقابلة إلى x, y, z . وتبقى الحسابات في كثير من الحالات عسيرة ، لذلك جُدد في تحقيق مقاييس للألوان ذاتية الحركة كما سنرى في الفقرة ١٣-٦ .

٦ - ١٢ . — عوامل التوزيع (للممروظ C.I.E) . حساب x, y, z ابتداءً

من المعطيات الطيفية :

(١) في عام ١٩٣١ ، تم من قبل اللجنة الدولية للإضاءة ، اختيار القيم X, Y, Z لأضواء وحيدة اللون ، لمعاناتها الطاقة متساوية ، ومتدرجة عشرة

فكشيرة μm . وتدعى هذه القيم \bar{X} ، \bar{Y} ، \bar{Z} عوامل التوزيع (ويقصد بذلك ضمناً: لطيف تساوي الطاقة، من أجل الملاحظ النظامي المتوسط المصطلح عليه). وهكذا تكون القابليات اللونية القياسية لهذا الملاحظ قد أصبحت محددة .



الشكل ٦ - ١٥
منحنيات توزيع طيف تساوي الطاقة
للرأب C.I.E - ١٩٣١ .

واللعان الطافي المعتبر هو ذلك الذي يكون من أجله $Y = 1$ للضوء ذي الفعالية العظمى ($\lambda = 555 m\mu$) . ومنحنيات الشكل ٦ - ١٥ تمثل تحويلات X, Y, Z بدلالة λ .

(ب) اذا عرف قانون التحويلات الطيفية $L_{\lambda}^* = f(\lambda)$ لللعان الطافي لضوء معين فمركباته الثلاث، الثلاثية الالوان ، نحسب بموجب مبادئ القياس اللوني (فقرة ٦ - ٢) بواسطة العلاقات :

$$X = \int_{\lambda} L_{\lambda}^* \bar{X}_{\lambda} d\lambda \quad Y = \int_{\lambda} L_{\lambda}^* \bar{Y}_{\lambda} d\lambda \quad Z = \int_{\lambda} L_{\lambda}^* \bar{Z}_{\lambda} d\lambda \quad [١٣،٦]$$

علماً بأن هذه التكاملات ممتدة على الطيف المرئي كله ، ويمكن أن تستنتج منها الاحداثيات x, y, z بواسطة العلاقات [١٢،٦] .

(ج) ثمة اجهزة مكاملة تسمع ، اذا ما شاركت مقياس طيف ضوئي ، بالحصول آلياً على المركبات X, Y, Z لضوء مفروض . واذا لم يلجأ اليها ولم يستعمل مكامل آلي فيستبدل بتكاملات الصيغ [١٣،٦] بمجاميع جداءات مثل $L_{\lambda}^* \bar{X}_{\lambda}$ عائدة لقواصل $d\lambda$ كلها متساوية .

تجنب عمليات الضرب بطريقة اطوال الموجة المختارة^(١) التي تتركز على تقسيم الطيف الى فواصل عرضها $d\lambda$ غير مساوٍ ومختارة بحيث ان جميع الجداءات $\bar{X}_\lambda d\lambda$ وكل الجداءات $\bar{Y}_\lambda d\lambda$ او $\bar{Z}_\lambda d\lambda$ تكون لها نفس القيمة K . فاعليتنا حينئذٍ إلا اجراء المجموع:

$$X = K \sum_1 L_\lambda \quad Y = K \sum_2 L_\lambda \quad Z = K \sum_3 L_\lambda \quad [١٤،٦]$$

من اجل قيم λ المقابلة لافواصل الفواصل السابقة^(١) .

١٣-٦ . — مقاييس الالوان ذوات القراءة المباشرة :

من المعلوم انه توجد مقاييس ضوئية فيزيائية (الفقرة ٥) صالحة للاستعمال ، حتى في قياس الضوء المتغير اللون ، من اجل قياس الاستنارات وفق استجابة خلية كهروضوئية مجهزة بمرشحة ملائمة . وقد جرب تحقيق اجهزة مشابهة من اجل تقييم مباشر لـ X ، Y و Z : فثلاً يحصل على X بمشاركة خلية ذات حساسية وحيدة اللون S_λ ومرشحة ذات عامل نفوذية τ_λ بحيث نحصل على :

$$\tau_\lambda S_\lambda = k \bar{X}_\lambda \quad [١٥،٦]$$

حيث يكون لـ k ، من اجل جميع اطوال الموجة ، قيمة واحدة ينبغي ألا تتغير عندما ينتقل الى ترتيب مشابه يعطي Y أو Z . وتوجد مقاييس للالوان تعتمد هذا المبدأ^(٢) فاستعمالها ملائم ، إلا انه من الصعب جداً ان توفى الشروط مثل [١٥-٦] وتؤمن المحافظة عليها خلال الزمن ، مع الدقة اللازمة في القياس اللوني .

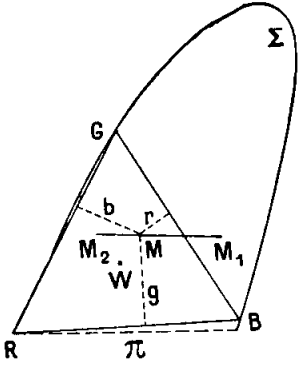
١٤-٦ . — مخططات القياسات اللونية :

أ) باستخدام الاحداثيات الثلاثية الالوان ، يمكن تمثيل اللونية لأي ضوء

(١) يعثر على جدول اطوال الموجات المختارة ، الملائمة لهذا الحساب ، مثلاً في

بلوتيو Blottiau ، ص ٢٤٤ .

(٢) تستعمل خاصة لدراسة الاجسام الملونة (راجع الفقرة ٦-١٧) .



الشكل ٦ - ١٦ . مثلث الألوان ،
 رؤس R,G,B . محل الطيف Σ
 مستقيم الارحوايات النقية π

كان بنقطة (ولتكن M) موضوعة بشكل ملائم بالنسبة لثلث متساوي الاضلاع (يدعى مثلث الالوان) ، وببساطة أكثر ، بالنسبة لمحورين متعامدين .

في الحالة الاولى r, g, b (أو ايضاً x, y, z) هي أبعاد النقطة الممثلة عن الاضلاع الثلاثة للمثلث ، الذي يعتبر ارتفاعه واحدة القياس . ونحسب الابعاد موجبة عندما تكون M داخل المثلث . فمثلاً من أجل النقطة M_1 من الشكل ٦ - ١٦ تكون r سالبة و g و b موجبتين . أما اذا استعملت

المحاور المتعامدة ، فان اثنين من الاعداد r, g, b (أو x, y, z) ، مجموعها 1 ،
 هما فاصلة وترتيب النقطة M. والتمثيل بـ x, y (الشكلان ٦ - ١٧ و ٦ - ١٨)
 هو الاكثر استعمالاً .

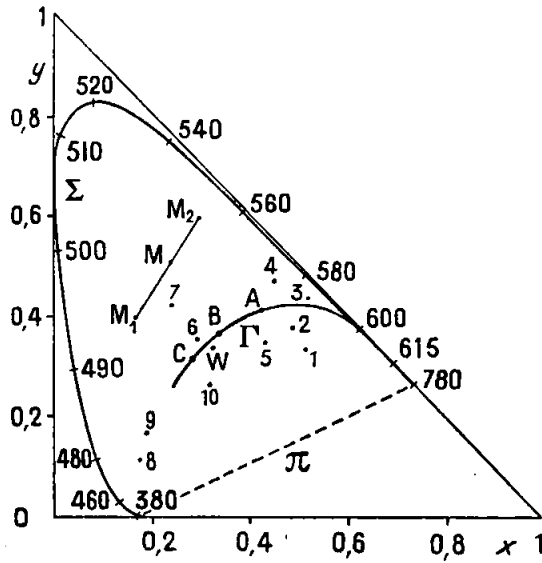
ب) ان النتائج التالية تجزم عن مباديء القياس اللوني وعن اختيار جمل المقارنة .

عندما يعادل ضوء ، يمثل بنقطة M فوق احد الرسوم البيانية ، مزيج
ضوئين يمثلين بالنقطتين M_1 و M_2 ، فإن النقطة M تكون واقعة على المستقيم
 $M_1 M_2$ بين M_1 و M_2 . ويمكن تحديد موضعها بقاعدة مشابهة لقاعدة تركيب
القوى المتوازية في الميكانيك (١ ، ٤ - ٧) : في X, Y, Z مثلاً يكون :

$$\frac{\overline{M_1 M_2}}{X + Y + Z} = \frac{\overline{M_2 M}}{X_1 + Y_1 + Z_1} = \frac{\overline{M M_1}}{X_2 + Y_2 + Z_2} \quad [16, 7]$$

يمثل الضوء W ذو طيف تساوي الطاقة بتركز ثقل مثلث الألوان (النقطة التي احداثياتها $1/3$ و $1/3$ في مخطط ذي محاور متعامدة) .

وتقع النقاط الممثلة لمختلف الاضواء الوحيدة اللون على منحني بدعى محل الطيف يمثل في Σ (مع دلالة لأطوال الموجة المقابلة لعدد معين من تقاطع) على الشكل ٦ - ١٧ . وتنحصر كافة الألوان الحقيقية في منطقة الرسم البياني



الشكل ٦ - ١٧ . رسم بياني لقياس الألوان بالاحداثيين x, y .

حل الطيف Γ ، مستقيم الارجوانيات النقية .

١٠ ، ٩ ، ٨ ، ٧ ، ٦ ، ٥ ، ٤ ، ٣ ، ٢ ، ١ : النقاط الممثلة لالوان اللوحة ٦ - ٢

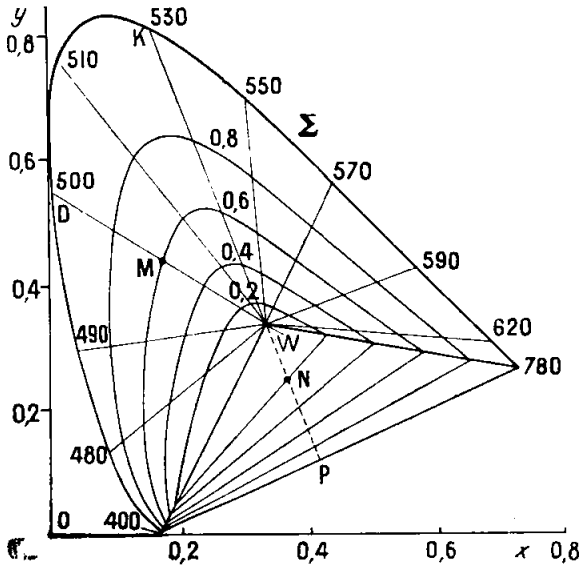
الذي يحدده محل الطيف والمستقيم π (حل الارجوانيات النقية) الذي يصل طرفيه .

بصورة خاصة ، أشير على الشكل نفسه المحل Γ للنقاط الممثلة لأضواء صادرة من أجسام سوداء في درجات مختلفة من الحرارة . والنقاط A و B و C ، الممثلة لثلاثة أضواء بيضاء اصطلاحية ، والمعرفة في الفقرة ٦ - ٥ ، توجد فوق Γ .

ج) وفقاً لما سبق ، فالنقاط الممثلة للونين متكاملين بالنسبة لضوء ابيض مفروض ، مثل W ، هي على خط مستقيم مع W ، وعلى جانبي هذه النقطة .

٦ - ١٥ . — المرور من X و Y الى λ_d و p (اوبالعكس) :

إذا لاقى نصف مستقيم WM (الشكل ٦ - ١٨) (في ما بعد M) محل



الشكل ٦ - ١٨ . مستقيمت تساوي طول الموجة السائدة λ

ومنحنيات تساوي نقاء اللونية p على رسم بياني إحداثيات xy.

الطيف في نقطة D ، فإن هذه النقطة تقابل طول الموجة المسيطرة λ_d (الفقرة ٦ - ٦) للون M (ولكل الألوان الممثلة بالنقط الواقعة على WD بين W و D) .

ان النقاط N التي لا يلاقي معها نصف المستقيم WN محل الطيف Σ تمثل الارجوانيات الباهتة تقريباً : فنصف المستقيم NW يقطع Σ في نقطة K المقابلة لطول الموجة المكتملة λ_c للون N .

[٦-١٥] المرور من X و Y الى λ_d و p (أو بالعكس) ٢٤٣

ب) يبرهن اعتباراً من العلاقة [١٥،٦] بأن عامل النقاوة p للون M يستنتج من القيمة y التي تقابلها ومن القيمة y_d التي تقابل النقطة D بالعلاقة :

$$p = \frac{y_d}{y} \cdot \frac{y - 1/3}{y_d - 1/3} \quad [١٧،٦]$$

ويمكن استعمال علاقة مشابهة ، في حالة لون أرجواني :

$$p' = \frac{y_p}{y} \cdot \frac{y - 1/3}{y_p - 1/3} \quad [١٨،٦]$$

باستعمال القيمة y_p المقابلة للنقطة P حيث WN يقطع المستقيم π (على الالوان الارجوانية النقية) . وفي الحقيقة يمكن الحصول على لمعان L ذي لون N بتزيج مناسب للمعان L_w لضوء W وللمعان L_p لضوء P ، وتقابل العلاقة [١٨،٦] لعامل نقاوة عدد بالعلاقة :

$$p' = \frac{L_p}{L} = \frac{L - L_w}{L} \quad [١٩،٦]$$

ملاحظة . - يستعمل بعض مقيسي الالوان ، ترجيحاً على p ، المقدار :

$$\sigma = \frac{y - 1/3}{y_d - 1/3} = \frac{\overline{WM}}{\overline{WD}} \quad [٢٠،٦]$$

أو :

$$\frac{y - 1/3}{y_p - 1/3} = \frac{\overline{WN}}{\overline{WP}}$$

الذي يدعى نقاوة الاثارة ، وحسابها ايسر ولكن مدلولها الفيزيائي أقل وضوحاً من مدلول نقاوة القياس اللوني p أو p' .

ج) يمثل الشكل ٦ - ١٨ على رسم بياني xy منحنيات مختلفة لتساوي النقاوة p أو p' . ولنتذكر بأن منحنيات تساوي طول الموجة المسيطرة هي مستقيمت تمر من W . ونخطط كهذا يسمح بطريقة التوسط ، بتعيين سريع للعوامل λ_d (أو λ_c) و p للون ما ، بمعرفة احداثياته x و y (أو بالعكس) .

بما أن x و y هما محسوبان اعتباراً من معطيات قياسات طيفية ضوئية ، كما لوحظ في الفقرة (٦ - ١٢) فكذلك من الممكن تعيين طول الموجة المسيطرة وعامل النقاوة لضوء ما ، اعتباراً من قيم المعان الطاقية الوحيدة اللون . وليس العكس صحيحاً ، لان أضواء ذات تراكيب طيفية مختلفة يمكن ملاحظتها وكأن لها نفس اللون .

ب - لون الأجسام

٦ - ١٦ . - الأجسام البيضاء والرمادية وال سوداء والملونة

أ) ينطبق ما ذكر عن لون الاضواء المختلفة على لون المنابع التي تصدرها غير أنه عندما لا يكون الجسم مضيئاً من تلقاء نفسه فإن لونه يتوقف على الضوء الذي يُنَوَّر به . ويفترض أن هذا الأخير أبيض مالم يُبشّر الى خلاف ذلك ، كما يجب ايضاً تعيين أي ضوء أبيض هو المقصود (الفقرة ٦ - ٥) : ويقبل القارئون بقياس الألوان غالباً أن المقصود هو إما ضوء المعيار (C) وإما الضوء الخاص بالمعيار B .

٥ - تقارن المظاهر الملونة لأجسام مختلفة بمضاءة بمصباح فحمي متوهج ، ومصباح التنغستين ، ومصباح فلورة ، يعطي على وجه التقريب ضوء النهار . فتغيرات المظهر تبدو واضحة ، خاصة بالنسبة لبعض الألوان الصفراء ، وبعض الألوان الزرقاء وعدد من الأرجوانيات .

ب) يقال عن جسم شفاف إنه عديم اللون عندما يُنفذ (أو يوصل) بالتساوي جميع الشعاعات المرئية التي يتلقاها . ويقال عن جسم نائر للضوء إنه أبيض تماماً عندما ينثر بالتساوي وفي كل الاتجاهات ، ودون امتصاص ، جميع الشعاعات المرئية التي يتلقاها . وتكاد الماينزا MgO الناتجة عن احتراق المغنيزيوم

النقي جداً أن تقي بهذه الشروط على الوجه الاكمل . ويكون جسم ما اسود تماماً عندما يمتص كاملاً جميع الاشعاعات التي يتلقاها . ويحقق الهباب هذا الشرط تقريباً من أجل اشعاعات الطيف المرئي .

والاجسام الرمادية تماماً او المحايدة هي التي تنثر أو تنفذ بالتساوي وجزئياً الاشعاعات المرئية المختلفة التي تتلقاها . غير أن بعض أجسام معينة يمكنها ، دون ان تقي تماماً بالتعريف الوارد اعلاه ، أن تعطي العين (في إضاءة معينة) انطباعاً بالرمادي الظاهر (شخصي) .

كل جسم لا يكون أبيض أو رمادياً أو أسود يدعى ملوناً . وإذا لم يكن ملوناً الا بشكل ضعيف أمكن أن يدعى أبيض (أو رمادياً أو أسود) سحراً ، أو مصفراً ، الخ .

ملاحظة . - يأخذ اسم « اللون » في اللغة الدارجة غالباً معنى أقل حصراً من الصفة « ملون » ، فيعتبر الابيض والاسود والرمادي إذن « كألوان » .

ج (ينجم لون بعض الاجسام عن ضوء تنفذه او تعكسه بامتصاصها اياه جزئياً ، وضوء تصدره ، في الوقت نفسه ، مثلاً بالفلورة بفعل بعض اشعاعات واردة معينة . وهكذا تزيد منتجات متنوعة للغسيل ، بمجرد تثبيتها على البياضات ، نسبة الضوء الازرق الذي تنثره ، عندما تنار بضوء أبيض يحتوي على ما فوق البنفسجي . وسوف نقصر على قياس لون الاجسام المنارة غير المضئة من تلقاء نفسها أو بالفلورة .

٦-١٧ . - تعيين لونه مجسم ما :

أ (عندما يتلقى جسم ما ضوءاً من نوعية معينة فإن لمعانه يتناسب مع استنارته . فالميزة الضوئية التي نترجم عادة بالصفتين فاتح أو غامق وباسم

الضياء ينبغي أن يعبر عنها لا بالمعان L وإنما وفق ما يكون الضوء منفذاً أو منعكساً بعامل النفاذ τ أو بعامل الانعكاس ρ (الفقرة : ٥-١١) للجسم ، أو اذا كان نائراً بعامل المعان β (الفقرة : ٥-١٢) .

ب) يمكن إكمال المعطيات السابقة بتعيين الصبغة والاشباع ، أو للحصول على دقة أكثر، بتعيين طول الموجة المسيطرة λ_1 (أو طول الموجة المكتملة λ_2) وعامل نقاوة الضوء p .

وبالإضافة الى تعليمات اللجنة الدولية للاضاءة (C.I.E) فإن الجمعية الفرنسية للتوحيد القياسي أوصت لتوحيد التعبير (الامر الذي كان مرغوباً فيه جداً) باستعمال الصفات المشار اليها فيما يلي : اذا كان لون جسم ما في الوقت نفسه فاتحاً ومشبعاً قيل أنه فاقع ، واذا كان فاتحاً وكالماً قيل إنه باهت (قريب من الابيض) واذا كان داكناً ومشبعاً قيل إنه قائم ، واذا كان داكناً وكالماً قيل إنه مطفأ (قريب من الاسود) .

وسلاحظ أنه توجد صفات معينة للأجسام الملونة لا تتوافر للأضواء الملونة : فيسمى مثلاً الأحمر المطفأ جداً كستنائياً ، والارجواني الشاحب وردياً أو ليكياً ، الخ ...

٥- نهياً شاشتان حراوان نائرتان للضوء ، احدهما أفتح بكثير من الاخرى : فيمكن إعطاء هذه الاخيرة نفس المظهر الذي للأولى بإثارتها أكثر ؛ ولكن كي يحكم الملاحظ أن اللونين المرئيين متماثلان يجب ألا يستطيع ادراك فرق الإضاءتين .

يعطي الجدول ٦-٢ قيم λ_1 (أو λ_2) و σ و β من أجل عدد معين من الاصبغة المستعملة في التصوير الزيتي والمفروضة أنها منورة بضوء المعيار C .
ويبين الشكل ٦-١٩ منحنياتها لعوامل المعان الطيفية .

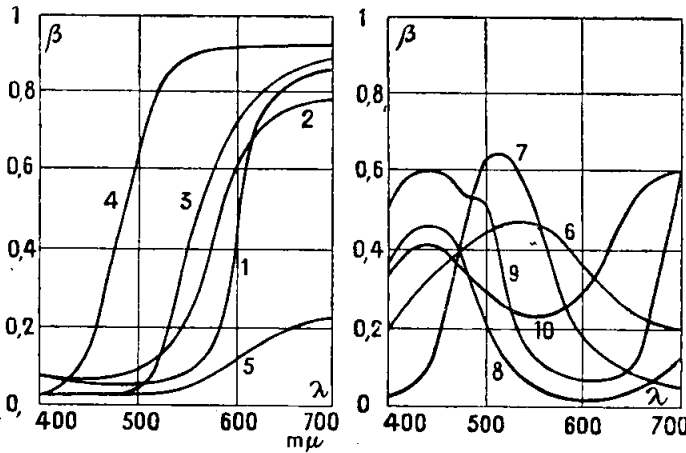
الجدول ٢-٦

المميزات اللونية لبعض الأصبغة

(حسب ن.ف. بارنز)

المنحني رقم	الأصبغة	λ_d (m μ)	σ (0/0)	β (0/0)
١	الزنجفر HgS	608	60	22
٢	رهمج الغار As ₂ S ₂	593	63	32
٣	برتقالي الكادميوم CdS	587	87	42
٤	صفرة التوتياء Zn Cr O ₄	576	80	83
٥	تراب سيين المحروق	598	40	8
٦	خضرة الدهنج	515	7	42
٧	خضرة الزمرد	512	23	39
٨	زرقة اللازورد	468	75	8
٩	زرقة الكوبالت	475	66	17
١٠	بنفسجية المنغنيز (ارجواني)	$\lambda_c = 554$	22	27

(النقاط المثلة لهذه الألوان اشير اليها على الشكل ٦-١٧)



الشكل ٦-١٩ . - عوامل الفعان الوحيدة اللون للصبغات

المشار اليها على اللوحة ٦ - ٢

إذا قورن مثلاً ريج الغار بتراب سين المحروق ، اللذان طولاً الموجة المسيطرة لهما متقاربان ، تبين ان الثاني مطفاً أكثر بكثير من الاول .

ج (كما سبق ان قيل في أ ، لا تقاس λ_d (أو λ_c) أو p مباشرة بل يُمرّ بواسطة الاحداثيات الثلاثية الألوان . وتستعمل على العموم x و y (ومنه z) التي تحسب بدءاً من قياسات تجري بقياس اللون أو بقياس الطيف الضوئي .

وفي هذه الحالة الاخيرة يكون لدينا ، بتسمية L_{λ}^* اللعان الطاقى الوحيد اللون للمنبع المضيء (الثابت اذا كان المقصود هو « الضوء W ») و τ_{λ} عامل النفوذ الوحيد اللون للجسم المدروس بفرض انه ملاحظ بالشفوف :

$$\left. \begin{aligned} X &= \int_V \tau_{\lambda} L_{\lambda}^* \bar{X}_{\lambda} d\lambda \\ Y &= \int_V \tau_{\lambda} L_{\lambda}^* \bar{Y}_{\lambda} d\lambda \\ Z &= \int_V \tau_{\lambda} L_{\lambda}^* \bar{Z}_{\lambda} d\lambda \end{aligned} \right\} \quad [21,6]$$

حيث تشمل هذه التسكاملات جميع الطيف الموني .

د (يمكن ، وفقاً لما سبق ، أن تجرى دراسة لون جسم ما ، منارٍ بضوء معين ، إما بواسطة مقياس طيف ضوئي ، وإما بواسطة مقياس ثلاثي الألوان ابصري ، أو بواسطة مقياس للون ذي ثلاثة مستقبلات فيزيائية . والطريقة الاولى شائعة غير أنها الوحيدة التي تقدم معلومات عن الاضواء المنيرة وعن الاجسام المنارة تسمح بفحص جميع تراكيباتها : وبعبارة أخرى تسمح بالتكهن بتغير لون جسم عندما يتغير الضوء الذي ينيره ، بشكل معلوم (وذلك غالباً مفيد جداً) .

ومقاييس اللون الماثلة لمقياس دونالدسون Donaldson (الفقرة ٦-٨-٢) تتضمن بشكل عام حاجزاً أبيض ، يستقبل الاضواء المطلوب دراستها وينثرها بانجاء الملاحظ : واذا استبدل بهذه الشاشة الجسم (المفروض أنه ناثر للضوء)

الذي يجري عليه القياس والمنار بضوء المعيار C مثلاً ، أمكن قياس المركبات الآلية للونه .

وأخيراً عندما تستعمل تركيبات المرشحات والحلايا الملحوظة في الفقرة ٦ - ١٣ ، فليس من الضروري ان يكون المنبع S الذي جهزت به الآلة تماماً التركيب الطيفي المعين للاضاءة المصطلح عليها للأجسام المدروسة ، شريطة ان يكون الفرق المقابل من أجل طول كل موجة مصححاً باختيار ملائم للنفاذ الطيفي t_λ للمرشحات .

فالشرط [١٥،٦] مثلاً يستبدل به حيثئذ :

$$t_\lambda \cdot l_\lambda^* \cdot S_\lambda = k L_\lambda^* \bar{X}_\lambda$$

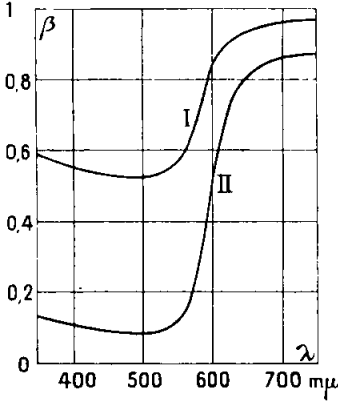
حيث l_λ^* هو المعان الطاقى الوحيد اللون ل S .

٦ - ١٨ . — تأثير تركيز المواد الملونة ، أو البنية الفيزيائية للجسم الملون :

أ) عندما تتضد عدة صفائح شفافة ، ملونة ومتأثلة ، فإن لون المجموعة يكون أكثر انطفاءً ، والنقاوة أكبر مما هي عليه من أجل صفيحة واحدة .
أضف الى ذلك أن الصبغة تتغير بصورة عامة نظراً لتغير النسب المتعلقة بمختلف المركبات الوحيدة اللون . فمثلاً اذا كان المنحني التوصيل الطيفي لصفحة أرجوانية هو المبين بـ I في الشكل ٦ - ٢٠ فإن المنحني II لأربع صفائح متأثلة ومنضدة 'يحصل عليه بأخذ القوى الرابعة لتراتب I كتراتب ، الأمر الذي ينتج عنه في الحالة المفروضة انتقال الموجة المسيطرة نحو الاحمر^(١) .

— ٥ — يلاحظ هذا التأثير بسهولة بمساعدة صفائح منضدة مقصودة من ورق الجلاتين الملون .

(١) مثل هذه الظاهرة يدعى « تلوانية » ويجب تمييزها عن المفهوم الوارد في الفقرة



الشكل ٦-٢٠

مثالان للتوصيل الطيفي لمرشحتين
ارجوانيتين :
I ، صفيحة واحدة ،
II ، اربع صفائح منضددة .

وتوضّح بنفس الطريقة التغيرات
في ألوان محلول مركز تقريبياً ،
وتغيرات لون الاقمشة المصبوغة بواسطة
هذه المحاليل ، الخ .

٥- المحاليل القلوية لأزرق
البروموفينول (ملون يستعمل في قياس
الحمض) هي زرقاء عندما تكون
الطبقة رقيقة ، وحمراء عندما تكون
الطبقة سميكة .

ب) إن اللون المرئي ، عندما
يُنظر في ضوء أبيض الى جسم بالانعكاس
المنتثر ، ينتج كما هو الحال في التوصيل
المنتظم ، من أن الضوء الوارد يصل الى

عين الناظر بعد اجتيازه سمكاً معيناً من المادة الملونة . ولكن جزءاً من هذا
الضوء استطاع أن ينعكس دون تغير محسوس عند السطح نفسه للجسم المفحوص ،
وهذا الجزء يزداد مع عدد السطوح العاكسة التي يصادفها .

٥- لذلك عندما تسحق بلورة من كبريتات النحاس فإن لونها الذي كان
أزرق مشبعاً نسبياً يصبح باهتاً . فإذا بلّلت هذا المسحوق بسائل كالاستون الذي
لا ينجح فيه ، وإلغا قرينة انكساره قريبة من قرينتيه ، فإن هذا يُنقص كثيراً
من جزء الضوء المنعكس ، وبالتالي فإن اللون يعود مشبعاً .

٥- اذا طبق نفس الملوّن على قماش من الساتان أو من الخمل ، في شروط
ثبتت معها فيها بتركيزات متماثلة ، فإن الاشباع يكون أكثر وضوحاً في الحالة

الثانية (حيث ثمة جزء مهم من الضوء الذي يبلغ العين يكون قد اجتاز طولاً من الحيوط اكبر كثيراً) منه في الحالة الاولى .

ان تأثير برنقة (تلميع) اللوحات الزيتية يفسر بطريقة مماثلة : فنظراً لأن قرينة انكسار المادة المبرنقة (الملمعة) قريبة من قرينة الدهان الزيتي ، ولأن سطحها اكثر نعومة ، فإن الالوان تصبح أكثر اشباعاً (ما خلا في حالة منحى الانعكاس النظامي) .

ج (في ضوء ما سبق ، يطرح تطبيق المواد الملونة مشاكل مختلفة جداً ، حتى وإن لم تتدخل أية تحولات كيميائية لتغيير الالوان . وقياس هذه الالوان من جهة أخرى ، عندما يتعلق الامر (كما هو الحال دوماً تقريباً) باجسام ليست كامدة على الوجه الاكمل ، يجب أن يأخذ بعين الاعتبار توجيه الضوء الوارد أو الموجه أو المنتثر ، ومنحى الملاحظة . ومن المتفق عليه غالباً اعتماد زاوية قدرها 45° للأجسام الناثرة ومراقبة ناظمية . أما الاجسام « اللامعة » التي ينعكس عليها جزء مهم من الضوء الوارد ويعاني انعكاساً منتظماً تقريباً فتحتاج الى دراسة خاصة .

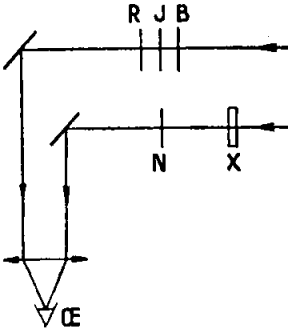
٦ - ١٩ . — مزائج المواد الملونة : مقياس اللونه لوفيبوند (Lovibond)

أ (اذا نضدت مرشحتان ملونتان (يمكن أن تكونا من لونين مختلفين) فالاولى توقف قسماً من الضوء الوارد والثانية جزءاً مما تبقى : فمن أجل كل طول موجة λ ، يكون عامل النفوذ الاجمالي τ_λ جداء عاملي النفوذ $\tau_{1\lambda}$ و $\tau_{2\lambda}$ للمرشحتين .

وهذا أيضاً ما يجري من اجل مزيج من محلولين ملونين (لا يؤثر أحدهما كيميائياً في الآخر) أو حتى من أجل مزيج من مسحوقين أو من صبغتين

ملونتين ، بحيث لا يرتد الضوء الى العين إلا بعد امتصاصه جزئياً من كلتي الصبغتين .

ويقال أحياناً ان مثل هذا المزيج طرحي للتعبير عن واقع أن احدى المرشحتين تحذف من الضوء الوارد جزءاً من شعاعاته المكوّنه ، والثانية تحذف منه جزءاً آخر . وفي حين أنه ، عند المزيج **الجمالي** لعدة اضواء ملونة تنضم المركبات اللونية ، فإن الامر لا يكون كذلك في حالة مزائج المواد الملوّنة . وكي لا نذكر غير مثال واحد ، نجد أنه اذا نورت الصبغات الصفراء بالضوء الابيض فإنها ترد نحو العين في آن واحد الاصفر والاخضر (بمتصة الازرق) وأن الصبغات الزرقاء ترد في الوقت نفسه الازرق والاخضر (بامتصاص للأصفر) ومنه التلون الاخضر لمزائج الصبغات الصفراء والزرقاء (في حين ان مزيج الاضواء المكتملة ، الصفراء والزرقاء يصبح ابيض .



الشكل ٦-٢١ . - مخطط مقياس

اللون للوفيبوند المستعمل (مثلا)
لتمييز لون X بالنفوذ . R و J و B و
N : مرشحات على التوالي حمراء
وصفراء وزرقاء ومحايدة ، فاتحة
تقريباً .

٥- ثلاثة اوراق ملونة من الجيلاتين ،
A و B و C ، ومنورة بضوء أبيض ، تسمح ،
على التوالي ، بمرور الشعاعات الآتية :
حمراء وزرقاء عبر A ، وشعاعات صفراء
وخضراء وزرقاء عبر B ، وشعاعات
خضراء فقط عبر C ، على فرض A من
لون أحمر ارجواني ، و B و C كلتاهما
خضراء . فإذا ما نضدت A و B كان
الضوء النافذ ازرق ، وإذا ما نضدت A
و C بدت المجموعة سوداء .

كذلك ، عندما يبدو أن لصبغتين
لونين متجاورين ، ولو أن لهما منحنيي

انتقال طيفي مختلفين فان مزيجها الخاصين مع صبغة ثالثة قد يكون لهما لوانان مختلفان جداً .

ب) إذا توفرت مجموعة مناسبة من مرشحات ملونة ، فمن الممكن ، باختيارها وتنفيذها اثنتين فائتين ، وثلاثة فثلاثة ، الخ... تحقيق عدد كبير من الالوان ، ينسم كل منها بمجموعة أرقام خاصة للمرشحات المستعملة : وهذا ما يمكن عمله مثلاً بمساعدة مقياس اللون للوفيونند (الشكل ٦ - ٢١) . ولهذه الطريقة خاصية أساسياً تجريبية ؛ ولكن بئذ الجهد حديناً لوصول دلالات اجهزة لوفيونند بالجملة Z, Y, X .

٦ - ٢٠ — استعمال المعايير اللونية . مداول منسل Munsell .

أ) اذا كان مجوزتنا عدد كبير الى حد ما من الناذج الملونة ، فيجب دوماً أن تتمكن من ان نجد بينها واحداً ، يكون لونه ، من أجل ضوء منير محدد تماماً ، اللون الذي يطلب تعيينه (أو عند الاقتضاء ، إيجاد لونين « ياطران » - محيطان - عن قرب بهذا اللون) . فقياس اللون يؤول حينئذ الى مقارنة مباشرة بين الالوان الشواهد التي ندعوها بالمعايير وبين الالوان المجهولة .

واحدى فوائد هذه الطريقة هي امكانية استعمال مجموعات من المعيارات فوق زجاجات ، وأوراق وأنسجة ملونة ، أو أيضاً على أجسام مغطاة بطلاء كثيف ، بصورة يتخلص معها في كثير من الحالات من تأثير الحامل .

ولكن الملونات التي تعطي ضمانات استقرار كافية ، خلال فترة معقولة من الزمن ليست كثيرة العدد . علاوة على ذلك فانه لا يمكن مادياً تحقيق معيارات للألوان ، في آن واحد نقية جداً ومشبعة جداً ، لاغلب الصبغات .

ب) كما ذكرنا في الفقرة ٦ - ١ ، يوجد عدد كاف من الجداول أو الاطالس للناذج الملونة ، واكثرها استعمالاً ، خاصة في الولايات المتحدة ، هو جدل منسل Munsell ، حيث

صنفت فيه الألوان على الوجه الأفضل ، وفق صبغتها واشباعها وضباثها . وإن تطابق الدلائل التي تكشفها مع أطوال الموجة المسيطرة وعوامل النقاء (او مع الاحداثيين xy) ومع عوامل المعان ، كانت موضع دراسات عميقة .

ج - إعادة انتاج الألوان

٦ - ٢١ - ملاحظات تمهيدية :

أ) ان تجهيز الألوان لمختلف الاجسام ، التي يفرض أنها تتلقى إثارة واحدة قضية سهلة نسبياً ، والتساحات العائدة لها ستؤخذ بعين الاعتبار في الفقرة ٦ - ٢٥ . وبالعكس غالباً ما يكون متعذراً ، لنقص في المواد المناسبة ، أن يستعاد ثانية على لوحة او صورة ضوئية كامل اتساع المعانات واشباعات المنابع الاولى أو الثانوية التي تظهر في منظر او على الزخارف الزجاجية متعددة الألوان الخ ...

وهذا يقودنا الى قبول تمثيل اصطلاحي في هذه الحالة ، حيث نسبة المعانات القصوى أدنى من لمعات الاجسام المعاد تكوينها ، وحيث بعض تغيرات الصبغات يوحى إما بأنوار حية بتقوية الألوان الصفراء والحمراء (ألوان «حارة») وإما باستنارة خفيفة بتدخل ألوان « باردة » (مزرقه ، مخضرة) . مثلاً يقلد ضوء القمر كما لو كان أزرق خفيفاً في حين أن التركيب الطيفي لضوء القمر أغنى من تركيب الشمس بالشعاعات الحمراء .

ب) Le métamérisme أي تغير لون جسم ما عندما يتغير الضوء الذي ينبعث ، بتدخل كل مرة لا يكون فيها التوصيل الطيفي للمواد الملوّنة نفسه على الجسم وعلى مستعاداته (اي نسخه) . وهكذا يجب أحياناً في الصباغة المثابرة على « إعادة تناسق » الألوان تحت اضاءات مختلفة . ومن جهة أخرى يجب على

الاخصائيين في الاضاءة ان يختاروا ألوان الاضواء التي ينتجونها آخذين بعين الاعتبار المقاصد التي يهدفون اليها من ألوان الأضواء التي يحددونها .

ويتجّه حالياً الى تأمين « مردود للألوان » يوافق الاستعمالات النظامية بأن تثبت من اجل الاضواء المنوّرة قيم عظمى وصغرى لنسب الطاقة في مختلف مناطق الطيف المرئي (المحدد مثلاً بأطوال الموجات ٣٨٠ ، ٤٢٠ ، ٤٤٠ ، ٤٦٠ ، ٥١٠ ، ٥٦٠ ، ٦١٠ ، ٦٦٠ ، ٧٠٠ mμ) .

وثمة عامل نفسي يتدخل غالباً في الامر ، ويجعلنا نأخذ بعين الاعتبار ، دون شعور ، طبيعة الضوء المنير في تقدير الالوان المنورة . والدراسة الصعبة لهذه التأثيرات لا تزال بعيدة عن الانجاز .

ج (سنشير باختصار في الفقرات التالية الى بعض التطبيقات العملية للقياسات اللونية دون الاصرار على بعضها الآخر (صباغ ، وضع اشارات ، الوان البيئة ، تناسق الالوان الخ ...) التي يمكن أيضاً أن تستهدف تطورات طويلة .

واحياناً يتدخل التركيب الجمعي للاضواء كما سنرى ذلك في انتاج الالوان ، ولكن يلجأ على الاغلب الى الطرق الطرحية .

٢٢-٦ . ملونة (أو موشاة) الرسامين :

أ (ذلك هو مثال الرسم بالزيت ، التي ينطبق عليه ما ذكرناه عن مزائج الاصبغة . فهذه تتلاءم في معظمها ، مع الحصول على الالوان الخضراء بمزائج صبغات زرقاء وصفراء كما رأينا في الفقرة ٦ - ١٩ ، والحصول على البرتقالي بمزائج من الالوان الصفراء والحمراء ، والحصول على البنفسجي (أو بدقة اكثر ، على الأرجوانيات) بمزائج الصبغات الحمراء والزرقاء . لذلك تكون ملونة

الرسام مجهزة ، على الأقل ، بألوان تسمى « الأولية »^(١) ، وهي الازرق والاصفر والاحمر ، وينبغي أن يضاف اليها الابيض ، الذي يستحيل الحصول عليه بمزيج طرحي ، ويستعمل اضافة الى ذلك لازالة اشباع الالوان الاخرى . وتلزم ايضاً صبغة سوداء لتحقيق جميع الالوان الرمادية التي من الصعب الحصول عليها معتدلة تماماً بمزائج صبغات ملونة .

اضافة الى ذلك ، بما أن هذه المزايج تعطي دوماً ألواناً مطفأة ، بسبب آلية التلوين بالامتصاص فإنه ترجع عليها غالباً صبغات طبيعية افتح لوناً كالزمرد الاخضر مثلاً او بنفسجي المنغيز .

ملاحظة : عندما تنضد طبقات من الدهان ، فالتأثير لا يكون كما لو مزجت الصبغات المقابلة لها : إذ يمكن فعلاً أن يكون التلوين ناجماً فقط (أو بخاصة) عن الطبقة المطبقة آخر الامر ، حيث يكون الضوء الوارد بكامله (او بالجزء الاكبر منه) متمصاً أو منتثراً قبل ان يبلغ الطبقات التحتية .

ب) تقوم التقنية التنقيطية على تجاوز بقع صغيرة ملونة ينظر اليها من بعد كبير بمقدار كاف بحيث أن الاضواء الواردة من بقع متجاورة تتقارب على الشبكية وتمتزج فيها بالتالي جمعياً . وهكذا يحصل على ألوان اكثر ضياءً من المزايج الطرحية .

أما الرسم المائي ، الناتج عن ابداع طبقات شفافة ملونة على حامل ناثر أبيض عامة ، فإنه يمكن من الحصول على ألوان فاتحة ، دون الالوان المشبعة .

٦ - ٢٣ . — الالوان في الفنون الترسيمية (التخطيطية) :

أ) تقتضي طريقة الاستنساخ الترسيمية للمواضيع الملونة التي سنصفها

(١) ينبغي تجنب الخلط مع الالوان الاساسية للتركيبات الجمعية .

استعمال ثلاث مرشحات مختارة وثلاثة انواع من الجبر الملون . والمرشحات الثلاث هي على التوالي : زرقاء - بنفسجية (توصل مبدئياً أطوال الموجة المرئية من $495 \text{ m}\mu$ ، وحدها فقط) ، وخضراء (من 495 الى $590 \text{ m}\mu$) وحمراء (ما بعد $580 \text{ m}\mu$) . فاذا ما وضعت أمام جسمه لاقطة للصور فإنها تسمح بالحصول على ثلاث سليات ، السوداء منها تقابل على التوالي الأضواء الزرقاء - البنفسجية والخضراء والحمراء الواردة من الموضوع .

أما ألوان الجبر فهي : الاول أصفر (الذي يوصل على أفضل وجه الأخضر والاحمر ويمتص الازرق) والثاني الارجواني (يسميه المهنئون magenta) ويمتص الاخضر ، والثالث الازرق المخضر (cyan) ويمتص الاحمر . وتطبع على حامل واحد ، كلاً بمفرده ، اعتباراً من الرواسم الثلاثة المذكورة أعلاه : فصورة حمراء مثلاً، يحصل عليها بتنضيد التحبيرين الاصفر والارجواني اللذين تسمح به الاجزاء النيرة من الروسمين الاولين (انظر الشكل ٦ - ١٢ ، اللوحة II) .

ب) لا توفر المرشحات وأنواع الجبر الشروط المثالية إلا بطريقة غير كاملة . وبالإضافة الى ذلك يستلزم الامر شبكة نحل محل الصبغات المسطحة بمجموعات نقاط تتفاوت كثرة وقلة ، تسمح بتحبيرات شديدة تقريباً ؛ وبما أن هذه النقاط لا تغطي بعضها بعضاً تماماً ، فإن تأثير تركيب جمعي ، شبه بذلك الذي يتدخل في الرسم التنقيطي (٦ - ٢٢ ب) ينضم الى فعل التركيب الطرحي الذي وصفناه أعلاه .

ولتحسين النتائج يلجأ الى استعمال رومم رابع ، مع تحبير بالاسود ؛ وكذلك الى القيام ببعض التنقيحات التي تجرى باليد ، وه تغطية ، بعض المناطق في العمليات التصويرية .

٦ - ٢٤ . — التصوير والسينما والتلفزيون الملونة :

أ) إن طريقة ليبمان Lippmann للتصوير بالالوان ، المستندة الى تكوين

أمواج ضوئية مستقرة (الجزء ١٦٤ - ١٢) تستطيع أن تولد صوراً ممتازة ، إنما من الصعب جداً تنفيذها ؛ ولذا لا تستعمل . وكذلك أهملت الطريقة (الجمعية) autochrome للوميير Lumière التي كانت الصور فيها تستوجب وجود حبيبات ملونة متجاورة ، زرقاء وخضراء ، وحمراء ، تشاهد بالمجهر ، ولكنها تظهر للعين المجردة ، حتى في حالة الاسقاط ، أخيلة مشابهة للوحة تنقيطية ؛ ووجود حبيبات سوداء عديدة (تخجب مثلاً جميع الحبيبات الزرقاء والخضراء في حالة صورة حمراء) تجعل هذه الصورة معتممة جداً .

(ب) تستعين التقنيات الحالية اما بفلم سالب ، بألوان مكتملة لألوان الموضوع ، الذي يمكن اعتباره من الحصول على عدد ما من الصور الموجبة على الورق (أو على الغالب في حالة صور الهواة) على فلم انعكاسي يحصل بوجهه على صور موجبة على نفس الفلم الذي استخدم في أخذ الصور .

تحتوي المستحلبات عدة طبقات مختلفة الحساسية ، لايتجاوز سمكها بضعة أجزاء من مائة من المليمتر ، ففي طريقة كوداكروم Kodachrom مثلاً تكون الطبقة السطحية (I) مستحلباً عادياً حساساً بالنسبة للازرق - البنفسجي ، والطبقة المتوسطة (II) حساسة بالنسبة للاخضر الذي تمتصه ، والطبقة الثالثة (III) حساسة بالنسبة للأحمر . ولما كانت الطبقتان II و III لا تزالان حساستين قليلاً بالنسبة للازرق والبنفسجي فإنها تفصلان عن الطبقة I برشحة صفراء .

بعد التأثير بالضوء ، يظهر الفلم أولاً بمظهر عادي ؛ يرجع الصور المشكلة في الطبقات الثلاث ، ومن ثم يعرض الفلم بوجه الخلفي الى الضوء الأحمر ، فيتأثر بروم الفضة الذي بقي سليماً في الطبقة III ، ثم يمر في مغطس يرجع ويصبغ بلون ازرق - مخضر حبيبات بروم الفضة المتأثرة حديثاً . ومن ثم يعرض بوجه الامامي ضوء ازرق ويعالج بمغطس مرجع يصبغ بلون اصفر الحبيبات المتأثرة مجدداً من الطبقة I . ومن ثم ، يعرض على الضوء الابيض تنائر الطبقة II التي تظهر وتصبغ بلون أرجواني . واخيراً تحل المرشحة الصفراء وكذلك الفضة المتبقية في الطبقات الثلاث . ويصبح الفلم حينئذ مغطى بثلاثة ملونات موزعة بحيث أنه اذا اضيء بنور ابيض ، اعاد بالشفوف ، بالتأثير الطرحي ، الألوان الاولى .

(ج) ان الافلام التي وصفناها آنفاً تصلح لا للحصول على صور ثابتة فحسب ، بل وللسينما الملونة ايضاً . وفي هذه الحالة الاخيرة استعمل ايضاً التركيب الجمعي ، بالإسقاط المتزامن (أو المتتالي ذي الدورة القصيرة الكافية) على شاشة واحدة للصور الثلاث الموجبة المنضمة للمرشحات المختارة نفسها التي استخدمت لأخذ الصور السلبية .

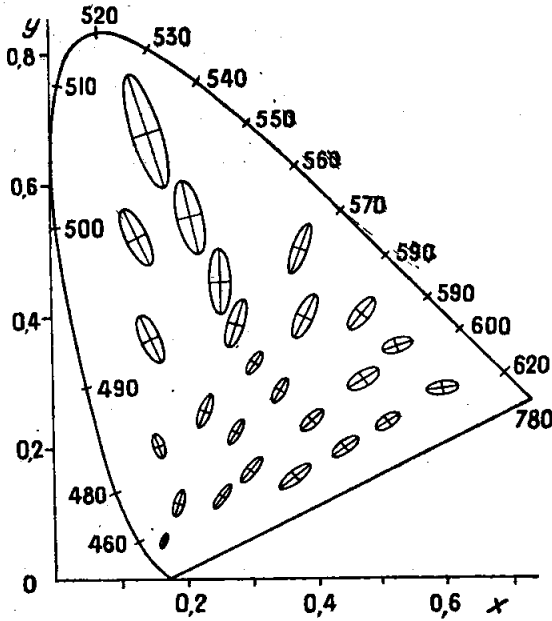
(د) يمكن تأمين نقل اذاعات التلفزة الملونة بواسطة ثلاثة أجهزة لاخذ الصور مزودة بثلاث مرشحات ، حمراء وخضراء وزرقاء ، ومن ثلاث مستقبلات تؤمن صوراً من هذه الألوان ذاتها ، تنضد على حاجز واحد ، بفضل مجموعة بصرية مناسبة . وتستطيع الاذاعات المنقولة ان تكون غير متوافقة ، ولكن متتالية وعددها في الثانية ثلاثة امثال ما هو عليه في حالة النقل باللونين الاسود والابيض (وذلك الا لدى الاستعانة بمجمل خاصة) أي ، أنه مرتفع جداً (الجزء ٥ ، الفقرة ١٠-٢١) : وهذا يطرح قضايا كهربائية لاسلكية غريبة .

ومن جهة أخرى يمكن أن لا يستعمل سوى مستقبل واحد (بدل الثلاثة) تهيئ طبقته المتألثة خلال شبكة ذات ثقب دقيقة جداً ، تفصل ثلاث مجموعات من العناصر المتجاورة التي تعطي الألوان الثلاثة الاساسية .

٦- ٢٥ . — التسميات في أحداث اللون ثمانية :

(أ) ما هي التسميات المقبولة في المواصفات والمراقبات ، في الحالات التي يكون فيها من المستطاع والرغوب فيه تصوير الألوان بحيث لا يمكن تمييزها عن ألوان النموذج الاصلي ؟

يمثل الشكل ٦-٢٣ ، وفق تجارب ماك آدم Mac Adam ، نتائج قياسات حساسية العين لتحويلات الإحداثيين x و y . فالقطوع الناقصية المرسومة فيه هي المحلات



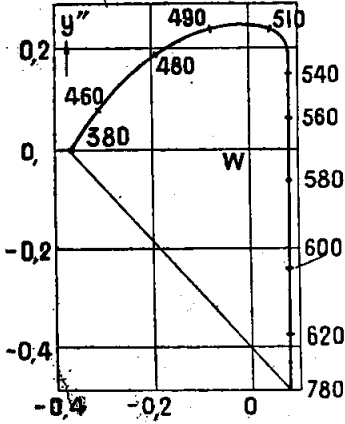
الشكل ٦ - ٢٣ . - القطوع الناقصة لـ ماك آدم

الهندسية للنقط الممثلة لألوان ، متساوية الابتعاد ، عن تلك الممثلة بـ مركز القطع الناقص حيث البعد المشار اليه هو (من اجل وضوح الرسم) عشرة أمثال البعد - النموذجي (الجذر التربيعي لمتوسط الابتعاد : راجع الجزء الاول الفقرة ٢-٧) المحدد وفق اعداد كافية من المساويات الظاهرية . واعتبار من ثلاثة امثال هذا الانحراف - النموذجي ، تقريباً ، يكون ادراك الفروق مؤكداً تقريباً .

(ب) في حالة التمثيل بـ x و y يلاحظ أن الابتعاد المحسوس به يبدو أكبر كثيراً للألوان الخضراء منه للألوان الزرقاء - البنفسجية . وقد سعي أيضاً الى تحويل الاحداثيات بحيث يُحصل على مخططات (تدعى لونية منتظمة ^(١))

(١) المخططات التي تسمى في الولايات المتحدة U. C. S (مجل السط اللوني الموحدة) .

حيث تصبح القطوع الناقصة السابقة جميعها دوائر متساوية ، وتصير التساحات



الشكل ٦ - ٢٤

عظم بريكنبريدج

حينئذٍ قابلة للقياس بعدد واحد منها كان اللون. ويمكن اثبات أنه ليس ثمة حل دقيق لهذه المسألة. على أن بعض الحلول التجريبية كحل بريكنبريدج Breckenbridge (الشكل ٦ - ٢٤) مرضية بالكفاية بالنسبة للألوان القريبة من الأبيض ولكنها لا تناسب الألوان المشبعة .

ج) الى تحويلات اللونية التي اثبتنا على ذكرها يمكن اضافة تحويلات يميز الشدة الضوئية كعامل اللعان أو عامل التوصيل.

ويمكن عملياً ان يقصد تحقيق المطابقة مع الضوابط والمعايير بالمقارنة مع « شهود حدية » إما بمساعدة مقياس الضوء ومقياس اللون (الابصارين او الفيزيائيين) وإما بواسطة مقياس شدة الضوء الطيفي . وتوجد بصورة خاصة مقاييس ضوء - طيفية مبسطة تسمى أحياناً مقاييس طيف لونية ، تتم فيها القياسات بصورة عامة بواسطة خلية كهروضوئية ، تشتمل على عصابات طيفية عريضة تعزل بواسطة مرشحات ملونة (الفقرة ٤ - ٢) . وتستطيع هذه الآلات تقديم خدمات لمقارنة الاجسام الملونة التي لها منحنيات طيفية توصيلية أو لانعكاسية متقاربة بقدر كاف (ولكن في هذه الحالة فقط) . ولا تزال حتى الآن حساسية المقارنات المباشرة ، لمراقب متمرن تتجاوز غالباً حساسية آلات القياس الفيزيائي .

٦ - ٢٦ . — الاشارات الملونة :

ان الاشارات على الطرق ، وعلى الخطوط الحديدية ، وعلى البحار وفي الهواء

تستعين بأضواء ملونة ، ترى غالباً كنقط ، مما ينقص من حساسية العين بالنسبة لفروق الصبغات ؛ وعلاوة على ذلك فإن هذه الأخيرة يمكن أن يعدلها الامتصاص الاصطناعي لجو ضبابي .

وإننا وإن كنا بعيدين هنا عن شروط إقامة صحة الجملة C.I.E ، فإن هذه الجملة استعملت لتثبيت حدود (واسعة بقدر كاف) للتسامحات المتعلقة بالألوان ، (التي هي نفسها قليلة العدد) والمعتمدة لهذه الاشارات وهي : الاحمر والاخضر والاصفر والازرق (في حالات شاذة) والابيض ، وان التمييز المرغبي لهذه الصبغات هو ضروري لبعض المراقبين ، الامر الذي قد يؤدي الى تنحية الدالتونين (المصابين بعمى الألوان) المرشحين لوظائف سائقين للقطر الحديدية .

٦ - ٢٧ . - قياس الألوان وعلم الألوان :

يسمى أحياناً « علم الألوان » العلم الذي يشمل كل المظاهر الفيزيائية والفيزيولوجية والنفسية . ويجب الاعتراف بأن قياس الألوان الذي اشرنا الى مبادئه هو اصطلاحي في قسم كبير منه ، وأن ثمة الكثير من المشاكل بعد يجب تقصيصها وخاصة المتعلقة منها بحدود صحة القواعد التي تسمح باعتبار الألوان كمقادير قابلة للقياس ، وتميز المراقب الذي يسمى بالمراقب النظامي المتوسط ، والتصحيحات التي يجب ادخالها على النتائج التي يحصل عليها مراقب معين .

إن قياس الألوان ، كما هو الآن ، وبالرغم من انه قابل لتحسينات هامة لا شك فيها ، يؤدي خدمات خطيرة سواء في التحقيقات العملية أو في البحوث المتنوعة جداً (العلاقات بين البنية الكيميائية واللون ، نظريات الرؤية الملونة ، تقدير تأثيرات الألوان على التصرفات النفسية ، الخ .)

* * *

على كل من يرغب في معرفة المزيد عن هذا الموضوع أن يراجع كتابي « علم الألوان »

تمارين

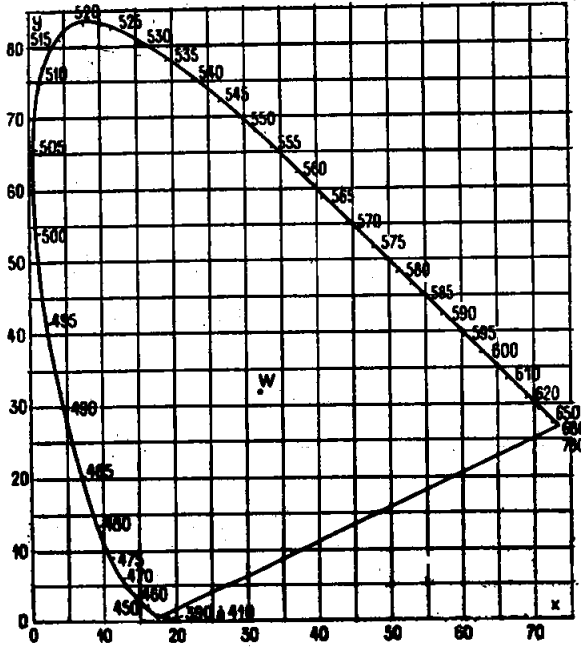
- ٦ - أ . الاضواء الثلاثة الوحيدة اللون، الاساسية R ، G ، B ، المذكورة في الفقرة ٦ - ١٠ . عندما تضيء على انفراد لوحة فائرة بيضاء تعطىها لمعانات تتناسب مع الاعداد الآتية : $L_R = 1$ ، $L_G = 4,591$ ، $L_B = 0,060$. نتحقق من أنه في الجملة XYZ التي أقرتها اللجنة الدولية للانارة C.I.E تكون الاحداثيات الثلاثة الالوان xyz للضوء الناتج من تركيبها الجمعي هي احداثيات الابيض W .
- ٦ - ب . يوجد منبعان ضوئيان لهما بالترتيب كمر كبات ثلاثة الالوان (محسوبة بواسطة نفس الوحدة) :

$$\begin{array}{lll} Z = 20 & Y = 60 & X = 20 \\ Z' = 20 & Y' = 10 & X' = 20 \end{array}$$

و

- ١ . - احسب عواملها الثلاثة الالوان .
- ٢ . - بين ان هذين المنبعين لوان متتامان بالنسبة الى الابيض W .
- ٣ . - كم ينبغي ان تكون النسبة d/d' لبعديها عن لوحة بيضاء ، ينيرانها بنفس الورود ، لكي تبدو هذه اللوحة بيضاء بالياض W ؟
- ٦ - ج . باستخدام الجملة XYZ للجنة الدولية للانارة والمخطط الوارد أدناه، عين بصورة تقريبية طول الموجة الغالبة λ_d وعامل النقاوة اللونية p للضوء له الاحداثيات الثلاثة الالوان الآتية : $x = 0,200$ و $y = 0,315$.
- ٦ - د . ينير ضوءان (١) و (٢) ، كل منهما على حدة نفس اللوحة E البيضاء النائرة ، فيعطيانها المعانين L_1 و L_2 ، وهما يتميزان بالترتيب في الجملة

XYZ للجنة الدولية للأنارة بطولي الموجتين الغالبتين λ_1 و λ_2 وبمعاملتي النقاوة اللونية p_1 و p_2 ويقابل ذلك الاحداثيات الثلاثية الألوان الآتية y_2x_2 و y_1x_1 .
 ماهي الشروط التي ينبغي ان تحققها هذه الاقدار لكي تبدو اللوحة E باللون الابيض W عندما تتلقى في آن واحد الضوئين (١) و (٢) ؟



الشكل ٦ - أ

تطبيق : يعطى $L_1 = 10^3 \text{ cd/m}^2$ ، $x_1 = 0,2000$ ، $y_1 = 0,3154$ ومن ذلك يمكن استنتاج λ_1 و p_1 (راجع المسألة ٦ - ب) و $x_2 = 0,500$. أحسب p_2 و λ_2 و L_2 و y_2 .

٦ - هـ يوجد للوحة نائرة ملونة عامل لمعان β من اجل أطوال موجات مختلفة λ . فإذا عرفت قيم عوامل التوزيع \bar{X}_λ و \bar{Y}_λ و \bar{Z}_λ ، فعين بقدر الامكان

اللون الذي تبدو به اللوحة للناظر النظامي (C.I.E.) عندما تضاء بضوء يعرف (بالقيم النسبية) لمعانه الطاقى الوحيد اللون L^* من أجل أطوال الموجات المفروضة .

القيم المعطاة :

λ (nm)	700	650	600	550	500	450	400
β	0,86	0,81	0,51	0,12	0,09	0,10	0,11
L^*	198,26	160,03	129,04	92,91	59,86	33,09	14,71
\bar{X}_λ	0,01135	0,2835	1,0620	0,4335	0,0049	0,3362	0,0144
\bar{Y}_λ	0,0041	0,1070	0,6310	0,9950	0,3230	0,0380	0,0004
\bar{Z}_λ	.	.	0,00002	0,09778	1,46537	0,99161	0,0685

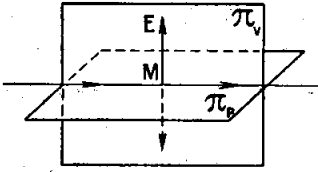
• • •

الفصل السابع

القياسات الخاصة بحالة الاستقطاب

٧-١. — حالات الاستقطاب المختلفة :

(أ) لبعض الاضواء خواص تؤدي ، لأسباب أشير إليها في الجزء ٤ (الفقرة ٩-٢) ، إلى تمثيلها في كل نقطة M من



الشكل ٧-١ .

ضوء مستقطب استقطاباً مستقيماً

الشعاع المضيء (الشكل ٧-١) باتجاه E مبدؤه M وله المميزات التالية : هذا المتجه عرضاني (أي ناظمي على الشعاع) ، وله اتجاه ثابت ، وطوله تابع جيبي للزمن ، حيث التواتر ν هو تواتر الضوء المعتبر . تدعى هذه

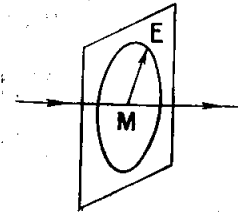
الاضواء مستقطبة خطياً ، ويسمى المستوى Π_v الذي يحوي الشعاع والاتجاه E مستوى الاهتزاز^(١) ويحصل على ضوء مستقطب خطياً بدءاً من أي ضوء كان ، بانعكاس زجاجي ضمن ورود ملائم ، يدعى بالبروستروي (الجزء ٤ ، الفقرة ٩-٢) ، انظر أيضاً الفصل ٨ من هذا الجزء) أو أيضاً بالانكسار لدى دخول وسط مضاعف الانكسار (الجزء ٤ الفقرة ١١-٧) . وقد وصفنا سابقاً

(١) ينبغي تجنب الخلط ما بين مستوى الاهتزاز المعروف هكذا وبين مستوى

الاستقطاب Π_p الذي هو اصطلاحاً المستوي المار بالشعاع والناظم على المتجه E (الجزء ٤ الفقرة ٩-٢) .

المقطبات الاكثر استعمالاً (الجزء ٤ ، الفقرة ١١ - ٩) ، وسوف تعود في الفقرة ١١ - ١٠ إلى الصفائح المقطبة أو أشباه المقطبات .

(ب) يمكن بصورة خاصة ، كما سنرى في الفقرة ٧ - ٣ ، تحقيق أضواء اهليلجية أي ممثلة (الشكل ٧-٢) بمتجه مستعرض



الشكل ٧ - ٢ .
الضوء الاهليلجي

E ، ترسم نهايته ، بسرعة زاوية ثابتة ، قطعاً ناقصاً ، يقع مركزه في النقطة M حيث يدرس الضوء ؛ ومسقطاً هذا المتجه على محورين متعامدين واقعين في مستوي القطع الناقص هما أيضاً تابعا لجيبان للزمن ، وتواترهما ν ، وفرق طورهما ثابت . والضوء الدائري حالة خاصة من الضوء الاهليلجي .

أن شروط انتاج الضوء المستقطب بدءاً من الضوء الطبيعي (غير المستقطب) وظواهر التداخل التي قد يتيح هذا الاخير لها الفرصة (الجزء الرابع ، الفقرة ١٤ - ٢) قادت الى اعتباره كضوء إهليلجي ، يختلف اتجاهه ونسبة محوريه بطريقة مشوشة بفواصل زمنية قصيرة جداً بالنسبة لتلك الضرورية للقياس . ان تناظر الدوران حول الشعاع ، الذي يبدى في الظاهر الضوء الطبيعي إحصائي فقط ، وصالح لمدد كبيرة بدرجة كافية بالنسبة إلى الدور .

والامران بالنتيجة سيان فيما اذا شبه الضوء الطبيعي بضوء مستقطب خطياً ، يختلف اتجاهه وطوره بكثرة بالغة (الجزء ٤ ، الفقرة ١٤ - ٢) او شبه ايضاً بمحصلة اهتزازين خطيين متعامدين ذوي أي اتجاهين كانا ، وتواتر واحد ν ، وسعتين متساويتين ، ولكن تغير الطور لهما يتحول بكثرة شديدة : تدعى هذه الاهتزازات « غير المترابطة » .

(ج) تتناسب شدة الضوء I (الجزء ٤ ، الفقرة ٢ - ١٠) مع مربع سعة

المتجه الممثل له (الضوء المستقيم) ، أو مع مجموع مربعي سعتي مركبتين لهذا المتجه وفق محورين متعامدين (الحالة العامة) . ويحدث غالباً ان يكون ضوء ما مستقطباً جزئياً بالانعكاس الزجاجي مثلاً بأي ورود كان ، أو بالانكسار البسيط (راجع الفصل ٨) . فاذا كانت شدته الكاملة I ، وشدة الجزء المستقطب I_p دعت النسبة :

$$\omega = I_p/I \quad [١٧]$$

درجة الاستقطاب (انظر الفقرة ٧ - أ)

د) يتألف تحليل اهتزازة ضوئية ذات نواتر وشدة معلومين من تعيين درجة استقطابها وطبيعة الاهتزازة (خطية أو إهليلجية) . ومن المناسب ، اضافة الى ذلك ، تعيين اتجاهها إذا كانت مستقيمة ، وإذا كانت إهليلجية تعيين اتجاه محورها ونسبتها (او إهليلجيتها) وكذلك جهة الحركة على القطع الناقص . بما ان حالة استقطاب إشعاع ما يمكن ان تتوقف على طول الموجة ، فيجب اجراء التحليل من أجل كل شعاعة وحيدة اللون . وتطبق الطرائق التي سندرسها على الشعاعات المرئية ، وتوسع ، مع بعض التعديلات ، الى ما فوق البنفسجي والى ما تحت الاحمر . أما دراسة الامواج الهزتية والاشعة السينية فتتطلب اساليب خاصة .

٧ - ٢ . استعمال المحللات البسيطة

أ) لتذكر أن كل جهاز مقطب يمكن ان يفيد في الوقت نفسه كمحلل للضوء المستقيم (الجزء ٤ ، الفقرة ١١ - ٧) . وإذا دور هذا المحلل حول اتجاه الشعاع المضيء اختلفت شدة الضوء الذي ينفذه تبعاً لقانون مالوس :

$$I = I_0 \cos^2 \theta \quad [٢٧]$$

$$\xi = A \sin \omega t \quad \eta = B \cos \omega t$$

ويسمح المحلل بمرور المرتسم :

$$\xi \cos \gamma + \eta \sin \gamma = A \cos \gamma \sin \omega t + B \sin \gamma \cos \omega t$$

فيجب اذن ان تجمع الاهتزازات التي لها نفس الاتجاه والتي هي متعامدة فيما بينها . ويحصل على مربع السعة الناتجة الذي يمثل الشدة I التي يدعها المحلل تمر بواسطة انشاء فريينيل ومنه :

$$I = A^2 \cos^2 \gamma + B^2 \sin^2 \gamma = (A^2 - B^2) \cos^2 \gamma + B^2$$

وعندما يدور المحلل تختلف الشدة إذن ما بين نهاية عظمى A^2 ($\gamma = 0$) ونهاية صغرى B^2 ($\gamma = \frac{\pi}{2}$) .

ج) المقطبات والمحللات من بلورات ايسلنده قابلة للاستعمال في الضوء المرئي وما فوق البنفسجي القريب . ويمكن ان يستفاد من محلل غلازبروك Glazebrook الملصق بالغليسرين حتى $0,24 \mu$. وفيما بعد ذلك يمكن استعمال الانعكاس البروستري أو أيضاً مواشير روشون Rochon المنحوتة من الكوارتز (الجزء ٤ الفقرة ١١-٨) .

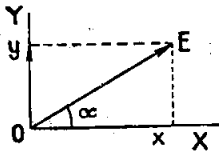
ويقطب أيضاً في ما تحت الاحمر بالانعكاس أو أيضاً بالتوصيل (او النفوذ) خلال صفائح السيلينيوم أو كلور الفضة .

ولاحصول على أشعة X المستقطبة ، تعتمد احدى الطرق العملية على الانتثار كما سيرد ذلك في الفقرة ١٠-١٣ .

٧-٣. — اجتياز صفيحة ثنائية الكسر بضوء مستقيم :

(أ) تستعمل عادة لتحليل الاهتزازات صفائح ذوات وجوه مستوية ، ثنائية الكسر (أو أجهزة معادلة) . وكما أشير الى ذلك في الفقرة ١٤ - ٣ من الجزء الرابع ، عندما يجتاز ضوء مستقيم اجتيازاً ناظماً صفيحة كهذه يتحول على العموم الى ضوء اهليلجي .

ليكن فعلاً (الشكل ٧ - ٤) OX و OY الخطين المعتدلين للصفيحة ،



الشكل ٧-٣. — تحليل
اهتزازة وفق الخطين
المعتدلين لصفيحة مبلورة

أي اتجاهي الاهتزازات المستقيمة التي تنتقل فيها دون تضاعف ؛ ولتكن c_x و c_y سرعتي الانتشار و n_x و n_y القريبتين المقابلتين لهما . وسنفرض لتثبيت الافكار أن $c_x < c_y$ (ومنه $n_x > n_y$) ؛ فيدعى OX حينئذ محوراً بطيئاً و OY محوراً سريعاً .

يمكن اعتبار اهتزازة مستقيمة واردة OE طول موجتها λ ومطالها :

$$s = s_m \sin \omega t \quad [٣٧]$$

واتجاهها يصنع مع OX زاوية α ، يمكن اعتبارها كمحصلة الاهتزازين في طور واحد مع E :

$$\begin{cases} x = X \sin \omega t \\ y = Y \sin \omega t \end{cases} \quad [٤٧]$$

موجبتين على التوالي وفق OX و OY ولهما السعتان :

$$\begin{cases} X = s_m \cos \alpha \\ Y = s_m \sin \alpha \end{cases} \quad [٥٠٧]$$

هاتان الاهتزازتان متجانزان في الصفيحة ذات الشحن e الطريقتين الضوئيتين الخاصين بها $n_x e$ و $n_y e$ ، والضوء الذي يبرز عن الصفيحة ينتج عن إعادة تركيبها . ومطالهما من الشكل :

$$x' = X' \sin (\omega t - 2 \pi n_x e / \lambda)$$

$$y' = Y' \sin (\omega t - 2 \pi n_y e / \lambda)$$

الذتان منكتبتهما بتغيير ملائم لمبدأ الأزمنة :

$$x' = X' \sin \omega t \quad [٦٠٧]$$

$$y' = Y' \sin (\omega t + \varphi)$$

وبإظهار تقدم الطور :

$$\varphi = 2 \pi (n_x - n_y) e / \lambda \quad [٧٠٧]$$

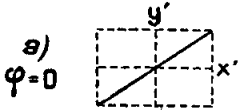
ومن المعلوم (الجزء الثالث ، الفقرة ٣-٧) ان حاصلة x' و y' شعاع متجه ترسم نهايته قطعاً ناقصاً مرسوماً في مستطيل R ضلعا $2X'$ و $2Y'$ موازيان لـ OX و OY .

وبحصول على معادلة هذا القطع الناقص بحذف t ما بين العلاقتين [٦٠٧] اللتين يمكن ان تكتبنا :

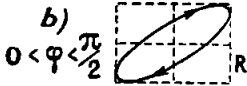
$$x'/X' = \sin \omega t$$

$$y'/Y' = \sin \omega t \cos \varphi + \cos \omega t \sin \varphi$$

ومنه :

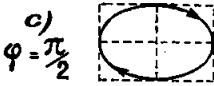


$$\sin \omega t \sin \varphi = \frac{x'}{X'} \sin \varphi$$

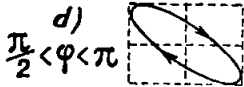


$$\cos \omega t \sin \varphi = \frac{y'}{Y'} - \frac{x'}{X'} \cos \varphi$$

وبالرفع الى المربع واطافة طرف الى طرف :



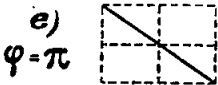
$$\frac{x'^2}{X'^2} - \frac{2x'y'}{X'Y'} \cos \varphi + \frac{y'^2}{Y'^2} = \sin^2 \varphi \quad [٨٠٧]$$



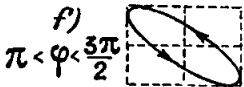
فاذا كانت تناقصات السعة المعزوة للانعكاس

وللامتصاص واحدة بالقيم النسبية من أجل x' و y' ،

كان :

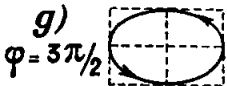


$$Y'/X' = Y/X = \tan \alpha \quad [٩٠٧]$$

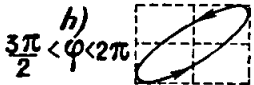


واذا كانت هذه التناقصات مهمة أمكن قياس

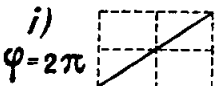
شدة الاهتزازة التي تبرز من الصفيحة بـ :



$$X'^2 + Y'^2 = X^2 + Y^2 = s_m^2$$

ومن أجل $\alpha = 0$ (أو $\pi/2$) تكون Y' (أو X') معدومة ، وكذلك Y (أو X) : فاذا كانت

الاهتزازة الواردة موازية لأحد الخطين المعتدلين

كانت الاهتزازة البارزة E خطية وموازية الى E' .(ب) من أجل قيم α الأخرى ، تتوقف E على ثخن

الصفيحة .

الشكل ٧ - هـ . حالات

مختلفة لضوء مستقيم أو

اهليلجي ، ناتجة عن

اجتياز ضوء مستقيم

لصفيحة ثنائية الكسر .

وعندما يكون فرق المسير بين y' و x' يساوي

من اطوال الموجة الواحد أو k (k عدد صحيح) أي عندما :

$$(n_x - n_y) e = k \lambda \quad [١٠،٧]$$

نسمى الصفيحة « موجية » أو « k مثلاً للموجة » . فيكون حينئذ $\varphi = 2\pi$ أو $2k\pi$ ، و x' و y' في طور واحد ، والاهتزازة البارزة E خطية و (اذا كان $Y'/X' = Y/X$) موازية للاهتزازة الواردة E ، والقطع الناقص يؤول الى احد اقطار المستطيل الموضح اعلاه (الشكل ٧ - ٥ ، i) .

والشرط [١٠،٧] مثلاً ومحقق من اجل قيم e التالية (او من اجل قيم اكبر k مرة ، حيث k عدد صحيح) :

		λ (m μ)
410	589	كوارتز منحوت ناظماً على المحور الضوئي
43 μ	65 μ	
102 μ	147 μ	
		ميكا موسكوفية (مفلوكة)

e غير متناسبة مع λ لأن n_x و n_y تختلفان باختلاف طول الموجة . ويتوقف اتجاهها الخطين المعتدلين أحياناً أيضاً على λ ، غير أن انزياحيهما ضعيفان عامة (معدومان في حالة الكوارتز والبلورات الأخرى الوحيدة المحاور) .

٥- إن صفيحة موجبه تتوسط مابين موشوري نيكول متصاليين تبقي حالة الاطفاء مها كان توجيهها (شريطة أن تبقى ناظمية على الأشعة الضوئية) .
ج (عندما يكون فرق المسير مابين x و y مساوياً :

$$(n_x - n_y) e = (2k + 1) \lambda / 2 \quad [١١،٧]$$

(حيث k هو عدد صحيح أو صفر) تدعى الصفيحة نصف موجية أو ٣ أمثال او ٥ أمثال ... نصف الموجة) . ويكون حينئذ $\varphi = (2k + 1) \pi$ ، ويؤول القطع الناقص الى القطر الآخر للمستطيل : وتظل الاهتزازة البارزة مستقيمة

أيضاً ، واتجاهها E' متناظر مع E بالنسبة للخطين المعتدلين (الشكل ٧-٤٤) .

(د) بفرض α ثابتة ومختلفة عن الصفر وعن $\frac{\pi}{2}$ ، يختلف القطع الناقص باختلاف تقدم الطور φ كما يشير الى ذلك الشكل ٧-٥٠ ، مع بقائه مرسومافى المستطيل نفسه R .

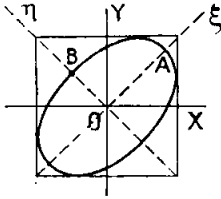
ومن أجل $0 < \varphi < \pi$ ، (أو $(2k+1)\pi < \varphi < (2k+2)\pi$) يرسم القطع بالنسبة للملاحظ يستقبل الضوء ، في الجهة التي تذهب من اليسار الى اليمين ، ماراً بالذروة^(١) (أي جهة عقارب الساعة) فيدعى إذن يميناً أو ميمناً (الشكل ٧-٥١ من b الى d) . ومن أجل $\pi < \varphi < 2\pi$ يرسم في اتجاه معاكس ويدعى يسارياً أو ميسراً^(٢) . (الشكل ٧-٥٢ من f الى h) .

(هـ) إذا كان الثخن بحيث أن :

$$(n_x - n_y) e = (2k + 1) \pi / 4 \quad [١٢٠٧]$$

(حيث k هو عدد صحيح أو معدوم) دعيت الصفيحة ربع موجبة (او ٣ ، ٥ ، ٧ ، ٩ ، ١١ ، ١٣ ، ١٥ ، ١٧ ، ١٩ ، ٢١ ، ٢٣ ، ٢٥ ، ٢٧ ، ٢٩ ، ٣١ ، ٣٣ ، ٣٥ ، ٣٧ ، ٣٩ ، ٤١ ، ٤٣ ، ٤٥ ، ٤٧ ، ٤٩ ، ٥١ ، ٥٣ ، ٥٥ ، ٥٧ ، ٥٩ ، ٦١ ، ٦٣ ، ٦٥ ، ٦٧ ، ٦٩ ، ٧١ ، ٧٣ ، ٧٥ ، ٧٧ ، ٧٩ ، ٨١ ، ٨٣ ، ٨٥ ، ٨٧ ، ٨٩ ، ٩١ ، ٩٣ ، ٩٥ ، ٩٧ ، ٩٩ ، ١٠١ ، ١٠٣ ، ١٠٥ ، ١٠٧ ، ١٠٩ ، ١١١ ، ١١٣ ، ١١٥ ، ١١٧ ، ١١٩ ، ١٢١ ، ١٢٣ ، ١٢٥ ، ١٢٧ ، ١٢٩ ، ١٣١ ، ١٣٣ ، ١٣٥ ، ١٣٧ ، ١٣٩ ، ١٤١ ، ١٤٣ ، ١٤٥ ، ١٤٧ ، ١٤٩ ، ١٥١ ، ١٥٣ ، ١٥٥ ، ١٥٧ ، ١٥٩ ، ١٦١ ، ١٦٣ ، ١٦٥ ، ١٦٧ ، ١٦٩ ، ١٧١ ، ١٧٣ ، ١٧٥ ، ١٧٧ ، ١٧٩ ، ١٨١ ، ١٨٣ ، ١٨٥ ، ١٨٧ ، ١٨٩ ، ١٩١ ، ١٩٣ ، ١٩٥ ، ١٩٧ ، ١٩٩ ، ٢٠١ ، ٢٠٣ ، ٢٠٥ ، ٢٠٧ ، ٢٠٩ ، ٢١١ ، ٢١٣ ، ٢١٥ ، ٢١٧ ، ٢١٩ ، ٢٢١ ، ٢٢٣ ، ٢٢٥ ، ٢٢٧ ، ٢٢٩ ، ٢٣١ ، ٢٣٣ ، ٢٣٥ ، ٢٣٧ ، ٢٣٩ ، ٢٤١ ، ٢٤٣ ، ٢٤٥ ، ٢٤٧ ، ٢٤٩ ، ٢٥١ ، ٢٥٣ ، ٢٥٥ ، ٢٥٧ ، ٢٥٩ ، ٢٦١ ، ٢٦٣ ، ٢٦٥ ، ٢٦٧ ، ٢٦٩ ، ٢٧١ ، ٢٧٣ ، ٢٧٥ ، ٢٧٧ ، ٢٧٩ ، ٢٨١ ، ٢٨٣ ، ٢٨٥ ، ٢٨٧ ، ٢٨٩ ، ٢٩١ ، ٢٩٣ ، ٢٩٥ ، ٢٩٧ ، ٢٩٩ ، ٣٠١ ، ٣٠٣ ، ٣٠٥ ، ٣٠٧ ، ٣٠٩ ، ٣١١ ، ٣١٣ ، ٣١٥ ، ٣١٧ ، ٣١٩ ، ٣٢١ ، ٣٢٣ ، ٣٢٥ ، ٣٢٧ ، ٣٢٩ ، ٣٣١ ، ٣٣٣ ، ٣٣٥ ، ٣٣٧ ، ٣٣٩ ، ٣٤١ ، ٣٤٣ ، ٣٤٥ ، ٣٤٧ ، ٣٤٩ ، ٣٥١ ، ٣٥٣ ، ٣٥٥ ، ٣٥٧ ، ٣٥٩ ، ٣٦١ ، ٣٦٣ ، ٣٦٥ ، ٣٦٧ ، ٣٦٩ ، ٣٧١ ، ٣٧٣ ، ٣٧٥ ، ٣٧٧ ، ٣٧٩ ، ٣٨١ ، ٣٨٣ ، ٣٨٥ ، ٣٨٧ ، ٣٨٩ ، ٣٩١ ، ٣٩٣ ، ٣٩٥ ، ٣٩٧ ، ٣٩٩ ، ٤٠١ ، ٤٠٣ ، ٤٠٥ ، ٤٠٧ ، ٤٠٩ ، ٤١١ ، ٤١٣ ، ٤١٥ ، ٤١٧ ، ٤١٩ ، ٤٢١ ، ٤٢٣ ، ٤٢٥ ، ٤٢٧ ، ٤٢٩ ، ٤٣١ ، ٤٣٣ ، ٤٣٥ ، ٤٣٧ ، ٤٣٩ ، ٤٤١ ، ٤٤٣ ، ٤٤٥ ، ٤٤٧ ، ٤٤٩ ، ٤٥١ ، ٤٥٣ ، ٤٥٥ ، ٤٥٧ ، ٤٥٩ ، ٤٦١ ، ٤٦٣ ، ٤٦٥ ، ٤٦٧ ، ٤٦٩ ، ٤٧١ ، ٤٧٣ ، ٤٧٥ ، ٤٧٧ ، ٤٧٩ ، ٤٨١ ، ٤٨٣ ، ٤٨٥ ، ٤٨٧ ، ٤٨٩ ، ٤٩١ ، ٤٩٣ ، ٤٩٥ ، ٤٩٧ ، ٤٩٩ ، ٥٠١ ، ٥٠٣ ، ٥٠٥ ، ٥٠٧ ، ٥٠٩ ، ٥١١ ، ٥١٣ ، ٥١٥ ، ٥١٧ ، ٥١٩ ، ٥٢١ ، ٥٢٣ ، ٥٢٥ ، ٥٢٧ ، ٥٢٩ ، ٥٣١ ، ٥٣٣ ، ٥٣٥ ، ٥٣٧ ، ٥٣٩ ، ٥٤١ ، ٥٤٣ ، ٥٤٥ ، ٥٤٧ ، ٥٤٩ ، ٥٥١ ، ٥٥٣ ، ٥٥٥ ، ٥٥٧ ، ٥٥٩ ، ٥٦١ ، ٥٦٣ ، ٥٦٥ ، ٥٦٧ ، ٥٦٩ ، ٥٧١ ، ٥٧٣ ، ٥٧٥ ، ٥٧٧ ، ٥٧٩ ، ٥٨١ ، ٥٨٣ ، ٥٨٥ ، ٥٨٧ ، ٥٨٩ ، ٥٩١ ، ٥٩٣ ، ٥٩٥ ، ٥٩٧ ، ٥٩٩ ، ٦٠١ ، ٦٠٣ ، ٦٠٥ ، ٦٠٧ ، ٦٠٩ ، ٦١١ ، ٦١٣ ، ٦١٥ ، ٦١٧ ، ٦١٩ ، ٦٢١ ، ٦٢٣ ، ٦٢٥ ، ٦٢٧ ، ٦٢٩ ، ٦٣١ ، ٦٣٣ ، ٦٣٥ ، ٦٣٧ ، ٦٣٩ ، ٦٤١ ، ٦٤٣ ، ٦٤٥ ، ٦٤٧ ، ٦٤٩ ، ٦٥١ ، ٦٥٣ ، ٦٥٥ ، ٦٥٧ ، ٦٥٩ ، ٦٦١ ، ٦٦٣ ، ٦٦٥ ، ٦٦٧ ، ٦٦٩ ، ٦٧١ ، ٦٧٣ ، ٦٧٥ ، ٦٧٧ ، ٦٧٩ ، ٦٨١ ، ٦٨٣ ، ٦٨٥ ، ٦٨٧ ، ٦٨٩ ، ٦٩١ ، ٦٩٣ ، ٦٩٥ ، ٦٩٧ ، ٦٩٩ ، ٧٠١ ، ٧٠٣ ، ٧٠٥ ، ٧٠٧ ، ٧٠٩ ، ٧١١ ، ٧١٣ ، ٧١٥ ، ٧١٧ ، ٧١٩ ، ٧٢١ ، ٧٢٣ ، ٧٢٥ ، ٧٢٧ ، ٧٢٩ ، ٧٣١ ، ٧٣٣ ، ٧٣٥ ، ٧٣٧ ، ٧٣٩ ، ٧٤١ ، ٧٤٣ ، ٧٤٥ ، ٧٤٧ ، ٧٤٩ ، ٧٥١ ، ٧٥٣ ، ٧٥٥ ، ٧٥٧ ، ٧٥٩ ، ٧٦١ ، ٧٦٣ ، ٧٦٥ ، ٧٦٧ ، ٧٦٩ ، ٧٧١ ، ٧٧٣ ، ٧٧٥ ، ٧٧٧ ، ٧٧٩ ، ٧٨١ ، ٧٨٣ ، ٧٨٥ ، ٧٨٧ ، ٧٨٩ ، ٧٩١ ، ٧٩٣ ، ٧٩٥ ، ٧٩٧ ، ٧٩٩ ، ٨٠١ ، ٨٠٣ ، ٨٠٥ ، ٨٠٧ ، ٨٠٩ ، ٨١١ ، ٨١٣ ، ٨١٥ ، ٨١٧ ، ٨١٩ ، ٨٢١ ، ٨٢٣ ، ٨٢٥ ، ٨٢٧ ، ٨٢٩ ، ٨٣١ ، ٨٣٣ ، ٨٣٥ ، ٨٣٧ ، ٨٣٩ ، ٨٤١ ، ٨٤٣ ، ٨٤٥ ، ٨٤٧ ، ٨٤٩ ، ٨٥١ ، ٨٥٣ ، ٨٥٥ ، ٨٥٧ ، ٨٥٩ ، ٨٦١ ، ٨٦٣ ، ٨٦٥ ، ٨٦٧ ، ٨٦٩ ، ٨٧١ ، ٨٧٣ ، ٨٧٥ ، ٨٧٧ ، ٨٧٩ ، ٨٨١ ، ٨٨٣ ، ٨٨٥ ، ٨٨٧ ، ٨٨٩ ، ٨٩١ ، ٨٩٣ ، ٨٩٥ ، ٨٩٧ ، ٨٩٩ ، ٩٠١ ، ٩٠٣ ، ٩٠٥ ، ٩٠٧ ، ٩٠٩ ، ٩١١ ، ٩١٣ ، ٩١٥ ، ٩١٧ ، ٩١٩ ، ٩٢١ ، ٩٢٣ ، ٩٢٥ ، ٩٢٧ ، ٩٢٩ ، ٩٣١ ، ٩٣٣ ، ٩٣٥ ، ٩٣٧ ، ٩٣٩ ، ٩٤١ ، ٩٤٣ ، ٩٤٥ ، ٩٤٧ ، ٩٤٩ ، ٩٥١ ، ٩٥٣ ، ٩٥٥ ، ٩٥٧ ، ٩٥٩ ، ٩٦١ ، ٩٦٣ ، ٩٦٥ ، ٩٦٧ ، ٩٦٩ ، ٩٧١ ، ٩٧٣ ، ٩٧٥ ، ٩٧٧ ، ٩٧٩ ، ٩٨١ ، ٩٨٣ ، ٩٨٥ ، ٩٨٧ ، ٩٨٩ ، ٩٩١ ، ٩٩٣ ، ٩٩٥ ، ٩٩٧ ، ٩٩٩ ، ١٠٠١ ، ١٠٠٣ ، ١٠٠٥ ، ١٠٠٧ ، ١٠٠٩ ، ١٠١١ ، ١٠١٣ ، ١٠١٥ ، ١٠١٧ ، ١٠١٩ ، ١٠٢١ ، ١٠٢٣ ، ١٠٢٥ ، ١٠٢٧ ، ١٠٢٩ ، ١٠٣١ ، ١٠٣٣ ، ١٠٣٥ ، ١٠٣٧ ، ١٠٣٩ ، ١٠٤١ ، ١٠٤٣ ، ١٠٤٥ ، ١٠٤٧ ، ١٠٤٩ ، ١٠٥١ ، ١٠٥٣ ، ١٠٥٥ ، ١٠٥٧ ، ١٠٥٩ ، ١٠٦١ ، ١٠٦٣ ، ١٠٦٥ ، ١٠٦٧ ، ١٠٦٩ ، ١٠٧١ ، ١٠٧٣ ، ١٠٧٥ ، ١٠٧٧ ، ١٠٧٩ ، ١٠٨١ ، ١٠٨٣ ، ١٠٨٥ ، ١٠٨٧ ، ١٠٨٩ ، ١٠٩١ ، ١٠٩٣ ، ١٠٩٥ ، ١٠٩٧ ، ١٠٩٩ ، ١١٠١ ، ١١٠٣ ، ١١٠٥ ، ١١٠٧ ، ١١٠٩ ، ١١١١ ، ١١١٣ ، ١١١٥ ، ١١١٧ ، ١١١٩ ، ١١٢١ ، ١١٢٣ ، ١١٢٥ ، ١١٢٧ ، ١١٢٩ ، ١١٣١ ، ١١٣٣ ، ١١٣٥ ، ١١٣٧ ، ١١٣٩ ، ١١٤١ ، ١١٤٣ ، ١١٤٥ ، ١١٤٧ ، ١١٤٩ ، ١١٥١ ، ١١٥٣ ، ١١٥٥ ، ١١٥٧ ، ١١٥٩ ، ١١٦١ ، ١١٦٣ ، ١١٦٥ ، ١١٦٧ ، ١١٦٩ ، ١١٧١ ، ١١٧٣ ، ١١٧٥ ، ١١٧٧ ، ١١٧٩ ، ١١٨١ ، ١١٨٣ ، ١١٨٥ ، ١١٨٧ ، ١١٨٩ ، ١١٩١ ، ١١٩٣ ، ١١٩٥ ، ١١٩٧ ، ١١٩٩ ، ١٢٠١ ، ١٢٠٣ ، ١٢٠٥ ، ١٢٠٧ ، ١٢٠٩ ، ١٢١١ ، ١٢١٣ ، ١٢١٥ ، ١٢١٧ ، ١٢١٩ ، ١٢٢١ ، ١٢٢٣ ، ١٢٢٥ ، ١٢٢٧ ، ١٢٢٩ ، ١٢٣١ ، ١٢٣٣ ، ١٢٣٥ ، ١٢٣٧ ، ١٢٣٩ ، ١٢٤١ ، ١٢٤٣ ، ١٢٤٥ ، ١٢٤٧ ، ١٢٤٩ ، ١٢٥١ ، ١٢٥٣ ، ١٢٥٥ ، ١٢٥٧ ، ١٢٥٩ ، ١٢٦١ ، ١٢٦٣ ، ١٢٦٥ ، ١٢٦٧ ، ١٢٦٩ ، ١٢٧١ ، ١٢٧٣ ، ١٢٧٥ ، ١٢٧٧ ، ١٢٧٩ ، ١٢٨١ ، ١٢٨٣ ، ١٢٨٥ ، ١٢٨٧ ، ١٢٨٩ ، ١٢٩١ ، ١٢٩٣ ، ١٢٩٥ ، ١٢٩٧ ، ١٢٩٩ ، ١٣٠١ ، ١٣٠٣ ، ١٣٠٥ ، ١٣٠٧ ، ١٣٠٩ ، ١٣١١ ، ١٣١٣ ، ١٣١٥ ، ١٣١٧ ، ١٣١٩ ، ١٣٢١ ، ١٣٢٣ ، ١٣٢٥ ، ١٣٢٧ ، ١٣٢٩ ، ١٣٣١ ، ١٣٣٣ ، ١٣٣٥ ، ١٣٣٧ ، ١٣٣٩ ، ١٣٤١ ، ١٣٤٣ ، ١٣٤٥ ، ١٣٤٧ ، ١٣٤٩ ، ١٣٥١ ، ١٣٥٣ ، ١٣٥٥ ، ١٣٥٧ ، ١٣٥٩ ، ١٣٦١ ، ١٣٦٣ ، ١٣٦٥ ، ١٣٦٧ ، ١٣٦٩ ، ١٣٧١ ، ١٣٧٣ ، ١٣٧٥ ، ١٣٧٧ ، ١٣٧٩ ، ١٣٨١ ، ١٣٨٣ ، ١٣٨٥ ، ١٣٨٧ ، ١٣٨٩ ، ١٣٩١ ، ١٣٩٣ ، ١٣٩٥ ، ١٣٩٧ ، ١٣٩٩ ، ١٤٠١ ، ١٤٠٣ ، ١٤٠٥ ، ١٤٠٧ ، ١٤٠٩ ، ١٤١١ ، ١٤١٣ ، ١٤١٥ ، ١٤١٧ ، ١٤١٩ ، ١٤٢١ ، ١٤٢٣ ، ١٤٢٥ ، ١٤٢٧ ، ١٤٢٩ ، ١٤٣١ ، ١٤٣٣ ، ١٤٣٥ ، ١٤٣٧ ، ١٤٣٩ ، ١٤٤١ ، ١٤٤٣ ، ١٤٤٥ ، ١٤٤٧ ، ١٤٤٩ ، ١٤٥١ ، ١٤٥٣ ، ١٤٥٥ ، ١٤٥٧ ، ١٤٥٩ ، ١٤٦١ ، ١٤٦٣ ، ١٤٦٥ ، ١٤٦٧ ، ١٤٦٩ ، ١٤٧١ ، ١٤٧٣ ، ١٤٧٥ ، ١٤٧٧ ، ١٤٧٩ ، ١٤٨١ ، ١٤٨٣ ، ١٤٨٥ ، ١٤٨٧ ، ١٤٨٩ ، ١٤٩١ ، ١٤٩٣ ، ١٤٩٥ ، ١٤٩٧ ، ١٤٩٩ ، ١٥٠١ ، ١٥٠٣ ، ١٥٠٥ ، ١٥٠٧ ، ١٥٠٩ ، ١٥١١ ، ١٥١٣ ، ١٥١٥ ، ١٥١٧ ، ١٥١٩ ، ١٥٢١ ، ١٥٢٣ ، ١٥٢٥ ، ١٥٢٧ ، ١٥٢٩ ، ١٥٣١ ، ١٥٣٣ ، ١٥٣٥ ، ١٥٣٧ ، ١٥٣٩ ، ١٥٤١ ، ١٥٤٣ ، ١٥٤٥ ، ١٥٤٧ ، ١٥٤٩ ، ١٥٥١ ، ١٥٥٣ ، ١٥٥٥ ، ١٥٥٧ ، ١٥٥٩ ، ١٥٦١ ، ١٥٦٣ ، ١٥٦٥ ، ١٥٦٧ ، ١٥٦٩ ، ١٥٧١ ، ١٥٧٣ ، ١٥٧٥ ، ١٥٧٧ ، ١٥٧٩ ، ١٥٨١ ، ١٥٨٣ ، ١٥٨٥ ، ١٥٨٧ ، ١٥٨٩ ، ١٥٩١ ، ١٥٩٣ ، ١٥٩٥ ، ١٥٩٧ ، ١٥٩٩ ، ١٦٠١ ، ١٦٠٣ ، ١٦٠٥ ، ١٦٠٧ ، ١٦٠٩ ، ١٦١١ ، ١٦١٣ ، ١٦١٥ ، ١٦١٧ ، ١٦١٩ ، ١٦٢١ ، ١٦٢٣ ، ١٦٢٥ ، ١٦٢٧ ، ١٦٢٩ ، ١٦٣١ ، ١٦٣٣ ، ١٦٣٥ ، ١٦٣٧ ، ١٦٣٩ ، ١٦٤١ ، ١٦٤٣ ، ١٦٤٥ ، ١٦٤٧ ، ١٦٤٩ ، ١٦٥١ ، ١٦٥٣ ، ١٦٥٥ ، ١٦٥٧ ، ١٦٥٩ ، ١٦٦١ ، ١٦٦٣ ، ١٦٦٥ ، ١٦٦٧ ، ١٦٦٩ ، ١٦٧١ ، ١٦٧٣ ، ١٦٧٥ ، ١٦٧٧ ، ١٦٧٩ ، ١٦٨١ ، ١٦٨٣ ، ١٦٨٥ ، ١٦٨٧ ، ١٦٨٩ ، ١٦٩١ ، ١٦٩٣ ، ١٦٩٥ ، ١٦٩٧ ، ١٦٩٩ ، ١٧٠١ ، ١٧٠٣ ، ١٧٠٥ ، ١٧٠٧ ، ١٧٠٩ ، ١٧١١ ، ١٧١٣ ، ١٧١٥ ، ١٧١٧ ، ١٧١٩ ، ١٧٢١ ، ١٧٢٣ ، ١٧٢٥ ، ١٧٢٧ ، ١٧٢٩ ، ١٧٣١ ، ١٧٣٣ ، ١٧٣٥ ، ١٧٣٧ ، ١٧٣٩ ، ١٧٤١ ، ١٧٤٣ ، ١٧٤٥ ، ١٧٤٧ ، ١٧٤٩ ، ١٧٥١ ، ١٧٥٣ ، ١٧٥٥ ، ١٧٥٧ ، ١٧٥٩ ، ١٧٦١ ، ١٧٦٣ ، ١٧٦٥ ، ١٧٦٧ ، ١٧٦٩ ، ١٧٧١ ، ١٧٧٣ ، ١٧٧٥ ، ١٧٧٧ ، ١٧٧٩ ، ١٧٨١ ، ١٧٨٣ ، ١٧٨٥ ، ١٧٨٧ ، ١٧٨٩ ، ١٧٩١ ، ١٧٩٣ ، ١٧٩٥ ، ١٧٩٧ ، ١٧٩٩ ، ١٨٠١ ، ١٨٠٣ ، ١٨٠٥ ، ١٨٠٧ ، ١٨٠٩ ، ١٨١١ ، ١٨١٣ ، ١٨١٥ ، ١٨١٧ ، ١٨١٩ ، ١٨٢١ ، ١٨٢٣ ، ١٨٢٥ ، ١٨٢٧ ، ١٨٢٩ ، ١٨٣١ ، ١٨٣٣ ، ١٨٣٥ ، ١٨٣٧ ، ١٨٣٩ ، ١٨٤١ ، ١٨٤٣ ، ١٨٤٥ ، ١٨٤٧ ، ١٨٤٩ ، ١٨٥١ ، ١٨٥٣ ، ١٨٥٥ ، ١٨٥٧ ، ١٨٥٩ ، ١٨٦١ ، ١٨٦٣ ، ١٨٦٥ ، ١٨٦٧ ، ١٨٦٩ ، ١٨٧١ ، ١٨٧٣ ، ١٨٧٥ ، ١٨٧٧ ، ١٨٧٩ ، ١٨٨١ ، ١٨٨٣ ، ١٨٨٥ ، ١٨٨٧ ، ١٨٨٩ ، ١٨٩١ ، ١٨٩٣ ، ١٨٩٥ ، ١٨٩٧ ، ١٨٩٩ ، ١٩٠١ ، ١٩٠٣ ، ١٩٠٥ ، ١٩٠٧ ، ١٩٠٩ ، ١٩١١ ، ١٩١٣ ، ١٩١٥ ، ١٩١٧ ، ١٩١٩ ، ١٩٢١ ، ١٩٢٣ ، ١٩٢٥ ، ١٩٢٧ ، ١٩٢٩ ، ١٩٣١ ، ١٩٣٣ ، ١٩٣٥ ، ١٩٣٧ ، ١٩٣٩ ، ١٩٤١ ، ١٩٤٣ ، ١٩٤٥ ، ١٩٤٧ ، ١٩٤٩ ، ١٩٥١ ، ١٩٥٣ ، ١٩٥٥ ، ١٩٥٧ ، ١٩٥٩ ، ١٩٦١ ، ١٩٦٣ ، ١٩٦٥ ، ١٩٦٧ ، ١٩٦٩ ، ١٩٧١ ، ١٩٧٣ ، ١٩٧٥ ، ١٩٧٧ ، ١٩٧٩ ، ١٩٨١ ، ١٩٨٣ ، ١٩٨٥ ، ١٩٨٧ ، ١٩٨٩ ، ١٩٩١ ، ١٩٩٣ ، ١٩٩٥ ، ١٩٩٧ ، ١٩٩٩ ، ٢٠٠١ ، ٢٠٠٣ ، ٢٠٠٥ ، ٢٠٠٧ ، ٢٠٠٩ ، ٢٠١١ ، ٢٠١٣ ، ٢٠١٥ ، ٢٠١٧ ، ٢٠١٩ ، ٢٠٢١ ، ٢٠٢٣ ، ٢٠٢٥ ، ٢٠٢٧ ، ٢٠٢٩ ، ٢٠٣١ ، ٢٠٣٣ ، ٢٠٣٥ ، ٢٠٣٧ ، ٢٠٣٩ ، ٢٠٤١ ، ٢٠٤٣ ، ٢٠٤٥ ، ٢٠٤٧ ، ٢٠٤٩ ، ٢٠٥١ ، ٢٠٥٣ ، ٢٠٥٥ ، ٢٠٥٧ ، ٢٠٥٩ ، ٢٠٦١ ، ٢٠٦٣ ، ٢٠٦٥ ، ٢٠٦٧ ، ٢٠٦٩ ، ٢٠٧١ ، ٢٠٧٣ ، ٢٠٧٥ ، ٢٠٧٧ ، ٢٠٧٩ ، ٢٠٨١ ، ٢٠٨٣ ، ٢٠٨٥ ، ٢٠٨٧ ، ٢٠٨٩ ، ٢٠٩١ ، ٢٠٩٣ ، ٢٠٩٥ ، ٢٠٩٧ ، ٢٠٩٩ ، ٢١٠١ ، ٢١٠٣ ، ٢١٠٥ ، ٢١٠٧ ، ٢١٠٩ ، ٢١١١ ، ٢١١٣ ، ٢١١٥ ، ٢١١٧ ، ٢١١٩ ، ٢١٢١ ، ٢١٢٣ ، ٢١٢٥ ، ٢١٢٧ ، ٢١٢٩ ، ٢١٣١ ، ٢١٣٣ ، ٢١٣٥ ، ٢١٣٧ ، ٢١٣٩ ، ٢١٤١ ، ٢١٤٣ ، ٢١٤٥ ، ٢١٤٧ ، ٢١٤٩ ، ٢١٥١ ، ٢١٥٣ ، ٢١٥٥ ، ٢١٥٧ ، ٢١٥٩ ، ٢١٦١ ، ٢١٦٣ ، ٢١٦٥ ، ٢١٦٧ ، ٢١٦٩ ، ٢١٧١ ، ٢١٧٣ ، ٢١٧٥ ، ٢١٧٧ ، ٢١٧٩ ، ٢١٨١ ، ٢١٨٣ ، ٢١٨٥ ، ٢١٨٧ ، ٢١٨٩ ، ٢١٩١ ، ٢١٩٣ ، ٢١٩٥ ، ٢١٩٧ ، ٢١٩٩ ، ٢٢٠١ ، ٢٢٠٣ ، ٢٢٠٥ ، ٢٢٠٧ ، ٢٢٠٩ ، ٢٢١١ ، ٢٢١٣ ، ٢٢١٥ ، ٢٢١٧ ، ٢٢١٩ ، ٢٢٢١ ، ٢٢٢٣ ، ٢٢٢٥ ، ٢٢٢٧ ، ٢٢٢٩ ، ٢٢٣١ ، ٢٢٣٣ ، ٢٢٣٥ ، ٢٢٣٧ ، ٢٢٣٩ ، ٢٢٤١ ، ٢٢٤٣ ، ٢٢٤٥ ، ٢٢٤٧ ، ٢٢٤٩ ، ٢٢٥١ ، ٢٢٥٣ ، ٢٢٥٥ ، ٢٢٥٧ ، ٢٢٥٩ ، ٢٢٦١ ، ٢٢٦٣ ، ٢٢٦٥ ، ٢٢٦٧ ، ٢٢٦٩ ، ٢٢٧١ ، ٢٢٧٣ ، ٢٢٧٥ ، ٢٢٧٧ ، ٢٢٧٩ ، ٢٢٨١ ، ٢٢٨٣ ، ٢٢٨٥ ، ٢٢٨٧ ، ٢٢٨٩ ، ٢٢٩١ ، ٢٢٩٣ ، ٢٢٩٥ ، ٢٢٩٧ ، ٢٢٩٩ ، ٢٣٠١ ، ٢٣٠٣ ، ٢٣٠٥ ، ٢٣٠٧ ، ٢٣٠٩ ، ٢٣١١ ، ٢٣١٣ ، ٢٣١٥ ، ٢٣١٧ ، ٢٣١٩ ، ٢٣٢١ ، ٢٣٢٣ ، ٢٣٢٥ ، ٢٣٢٧ ، ٢٣٢٩ ، ٢٣٣١ ، ٢٣٣٣ ، ٢٣٣٥ ، ٢٣٣٧ ، ٢٣٣٩ ، ٢٣٤١ ، ٢٣٤٣ ، ٢٣٤٥ ، ٢٣٤٧ ، ٢٣٤٩ ، ٢٣٥١ ، ٢٣٥٣ ، ٢٣٥٥ ، ٢٣٥٧ ، ٢٣٥٩ ، ٢٣٦١ ، ٢٣٦٣ ، ٢٣٦٥ ، ٢٣٦٧ ، ٢٣٦٩ ، ٢٣٧١ ، ٢٣٧٣ ، ٢٣٧٥ ، ٢٣٧٧ ، ٢٣٧٩ ، ٢٣٨١ ، ٢٣٨٣ ، ٢٣٨٥ ، ٢٣٨٧ ، ٢٣٨٩ ، ٢٣٩١ ، ٢٣٩٣ ، ٢٣٩٥ ، ٢٣٩٧ ، ٢٣٩٩ ، ٢٤٠١ ، ٢٤٠٣ ، ٢٤٠٥ ، ٢٤٠٧ ، ٢٤٠٩ ، ٢٤١١ ، ٢٤١٣ ، ٢٤١٥ ، ٢٤١٧ ، ٢٤١٩ ، ٢٤٢١ ، ٢٤٢٣ ، ٢٤٢٥ ، ٢٤٢٧ ، ٢٤٢٩ ، ٢٤٣١ ، ٢٤٣٣ ، ٢٤٣٥ ، ٢٤٣٧ ، ٢٤٣٩ ، ٢٤٤١ ، ٢٤٤٣ ، ٢٤٤٥ ، ٢٤٤٧ ، ٢٤٤٩ ، ٢٤٥١ ، ٢٤٥٣ ، ٢٤٥٥ ، ٢٤٥٧ ، ٢٤٥٩ ، ٢٤٦١ ، ٢٤٦٣ ، ٢٤٦٥ ، ٢٤٦٧ ، ٢٤٦٩ ، ٢٤٧١ ، ٢٤٧٣ ، ٢٤٧٥ ، ٢٤٧٧ ، ٢٤٧٩ ، ٢٤٨١ ، ٢٤٨٣ ، ٢٤٨٥ ، ٢٤٨٧ ، ٢٤٨٩ ، ٢٤٩١ ، ٢٤٩٣ ، ٢٤٩٥ ، ٢٤٩٧ ، ٢٤٩٩ ، ٢٥٠١ ، ٢٥٠٣ ، ٢٥٠٥ ، ٢٥٠٧ ، ٢٥٠٩ ، ٢٥١١ ، ٢٥١٣ ، ٢٥١٥ ، ٢٥١٧ ، ٢٥١٩ ، ٢٥٢١ ، ٢٥٢٣ ، ٢٥٢٥ ، ٢٥٢٧ ، ٢٥٢٩ ، ٢٥٣١ ، ٢٥٣٣ ، ٢٥٣٥ ، ٢٥٣٧ ، ٢٥٣٩ ، ٢٥٤١ ، ٢٥٤٣ ، ٢٥٤٥ ، ٢٥٤٧ ، ٢٥٤٩ ، ٢٥٥١ ، ٢٥٥٣ ، ٢٥٥٥ ، ٢٥٥٧ ، ٢٥٥٩ ، ٢٥٦١ ،

و (من أجل اتجاه خاص للصفحة يكون معه $\alpha = \pi/4$ ، يصبح المستطيل R مربعاً ويتجه محورا القطع الناقص باتجاه قطري هذا المربع . وفي الواقع تكتب المعادلات [٥،٧] حينئذ :



$$X = Y = s_m / \sqrt{2}$$

لنرجع الاهتزازات [٦،٧] الى المحورين $O\xi$ و $O\eta$ المرجحين وفق O_s ونحو الاتجاه العمودي (الشكل ٦-٧) :

الشكل ٦-٧ - الحالة التي تكون فيها $\alpha = \pi/4$

$$\xi = -\frac{x'}{\sqrt{2}} + \frac{y'}{\sqrt{2}} = s_m \cos \frac{\varphi}{2} \sin \left(\omega t + \frac{\varphi}{2} \right)$$

$$\eta = -\frac{x'}{\sqrt{2}} - \frac{y'}{\sqrt{2}} = s_m \sin \frac{\varphi}{2} \cos \left(\omega t + \frac{\varphi}{2} \right)$$

هذه الاهتزازات هي متعامدة : اذن وفقاً لما لوحظ في e يتجه محورا القطع الناقص وفق $O\xi$ و $O\eta$ مهما كانت φ . وبالإضافة الى ذلك تكون قيمة نسبة السعتين أو الاهليلجية :

$$\frac{B}{A} = \frac{s_m \sin (\varphi/2)}{s_m \cos (\varphi/2)} = \operatorname{tg} \frac{\varphi}{2} \quad [١٣،٧]$$

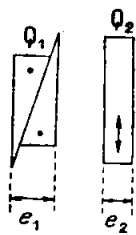
يبين الشكل ٧ - ٥ حيث φ هي محددة بالعلاقة [٧،٧] ، أن قيمة موجبة لـ B/A تقابل قطعاً ناقصاً يمينياً (مرسوماً في الجهة الميمنة) أي القطع الذي تقاد الاهتزازة الواردة من أجله نحو المحور البطيء OX بدوران قدره ٥٤° ، في جهة عقارب الساعة وبالعكس .

وإذا بقيت α مساوية لـ $\frac{\pi}{4}$ كانت الصفحة ربع موجية ، وأصبح القطع

الناقص دائرة وجملة مقطب خطي P وصفيحة ربع موجية خطاها المعدلان على بعد ٥٤° من المقطع الاصيل لـ P تكون اذن مقطعا دائريا .

٥- اذا تم تلقي الضوء البارز من جهاز مماثل على محلل مستقيم شوهد أن شدة الحزمة النافذة لا تتوقف على توجيه المحلل .

ز) إن جملة موشورين متماثلين ذوي زاوية حادة، ومتجاورين بحيث يكون



الشكل ٧-٧ . معدل برافي

معدل برافي

حرفاهما متوازيين وانحرافاهما في جهتين متعاكستين (الشكل $٧-٧$) ، تعادل صفيحة متوازية الوجهين Q_1 ، يمكن تغيير ثخنها e_1 بشكل معلوم بازاحة خاصة عمودية على الحرفين . فاذا كان هذان الموشوران من الكوارتز المنحوت بحيث أن كل حرف يكون موازيا للمحور الضوئي للبلورة ، واذا ضمت اليها صفيحة متوازية الوجهين Q_2 لثخنها e_2 ، القيمة المتوسطة لـ e_1 ، وكان المحور الضوئي في هذه الصفيحة موازيا لوجهي الدخول والبروز وناظميا على ما هو في Q_1 ، كون المجموع معدل برافي (Bravais) .

وبسلك ، من وجهة نظر فعله في الضوء المستقطب ، كصفيحة الانكسار المضاعف ، وحيدة ، من الكوارتز بثخن قدره $e_1 - e_2$ أو $e_2 - e_1$ ، يعكس من أجلها حسب المراد الوضع النسبي للمحورين البطيء والسريع ، حسب ما يكون e_1 أكبر أو اصغر من e_2 . واذا نظم بشكل ملائم أمكن هذا الجهاز أن يعدل فعل صفيحة اخرى ثنائية الكسر ، ومنه اسمه . وسوف نتكلم عن ذلك في الفقرة ٧ - ٥ .

٥- يمكن ، بمساعدة معدل برافي ، تحقيق التجارب بخاصة على الصفائح الموجية ونصف الموجية وربع الموجية الموصوفة في الفقرة ٧-٣ ، وإثبات أن السماكات المعادلة $e_1 - e_2$ التي يجب اختيارها لهذه الغاية تتفق جيدا مع النظرية .

٧ - ٤ . - النعيق الدقيق لانجاء اهتزازة خطية مستقيمة (او اهتزازية سريعة النظم) . مفاتيح الاستقطاب :

أ) يدخل تعيين الاتجاهات المختلفة لاهتزازات خطية خاصة في دراسة الاستقطاب الدوراني . هذه الظاهرة ، التي ستعالج في الفصل ١٢ ، تقوم في أبسط شكل لها (واكثره وقوعاً) على دوران حول اتجاه الشعاع الضوئي لمستوي اهتزاز الضوء المستقطب استقطاباً مستقيماً ، عندما يجتاز صفيحة من اجسام معينة ذات وجوه متوازية . تدعى هذه الاجسام فعالة ضوئياً ، ومن امثالها الكوارتز وبلورات اخرى منحوتة وموجهة بشكل ملائم ، ومحاليل السكر ، الخ ...

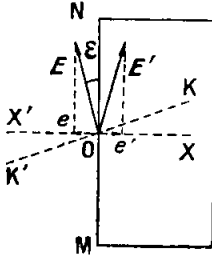
وتتركب ما بين مقطب ومحلل متصاليين في البدء ، وتعين الزاوية α التي يجب تدوير المحلل بقدرها للوصول الى الاطفاء ، والمحلل مجهز لهذا الغرض بعضاضة ذات فرنية ، متحركة أمام دائرة مدرجة ثابتة . ويلاحظ أنه عندما يبحث عن قيمة دوران α ، لا حاجة لمعرفة اتجاه المقطع الاصيلي للمحلل .

ان تعيين أوضاع الاطفاء قليل الدقة نسبياً ، لأنه يوجد دائماً ضوء طفيلي ، ولان الحدود الدنيا للتألق تحدد بالعين بشكل ناقص ؛ وتكون الحساسية أقل كثيراً أيضاً فيما لو بحث عن الحدود العظمى .

ب) لذلك يستعمل بصورة عامة محلل ذو ظليل ، وتوضح التجربة التالية مبداه :

٥ - نضع بين منشوري نيكول صفيحة نصف موجية تشغل نصف الحزمة المفيدة فقط ، وبعد الصفيحة يستقطب نصفاً الحزمة استقطاباً مستقيماً ، ولكن الاهتزازتين

E و E' (الشكل ٧-٨) متناظران بالنسبة لخط معتدل من الصفحة ، مواز



الشكل ٧-٨ . مبدأ المحلل
في الظليل

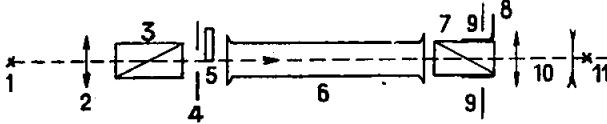
(مثلاً) لحرفها NM . والمحلل لا يستطيع ان يطفئ في آن واحد نصفي الحقل ، ولنفرض أنه يطفئ الاهتزازة E للحزمة التي لم تجتز الصفحة ، عندما يكون مقطعه الاصيلي K'K ناظماً على E ، فالاهتزازة E' ليست مطفاة . وللحصول على تساوي استنارة نصفي الحقل يجب توجيه المقطع الاصيلي في X'X عمودياً على MN . فإذا شرعت E و E' بالدوران زاوية معينة وجب تدوير المحلل نفس الزاوية لاسترجاع تساوي الانارة .

ويفترض هذا الجهاز استعمال الضوء الوحيد اللون الذي تكون الصفحة من أجله نصف موجية تماماً .

لتكن ϵ الزاوية التي يصنعها احد الخطين المعتدلين للصفحة مع الاهتزازة E . فيقابل تساوي استنارة البقعين اتجاهاً يكون من أجله للمتجهين OE و OE' مسقطان Oe و Oe' متساويان على XX' . والاستنارة متناسبة مع مربع $\sin^2 \epsilon$. وبالتالي مع $\sin^2 \epsilon$.

وللمحلل وضعان يلاحظ من أجلها تساوي الاستنارة ، وبينها زاوية قدرها $\frac{\pi}{2}$ أحدهما بالنسبة للآخر ، ويجب اختيار الوضع الذي تكون الاستنارة من أجله اضعف ما يمكن ، بحيث تستعمل الحساسية التباينية للعين الى الحد الاقصى (الجزء ٤ الفقرة ١٧-٩) . وهذا الشرط الاخير يقود ايضاً لتنظيم أفضل لقيمة ϵ في كل سلسلة من القياسات (من رتبة بضعة درجات ، ولكن بقدر أكبر كلما كان الضوء البارز من الجسم الذي يدرس أقل شدة) . وفي أفضل الشروط يمكن

خفض الخطأ في كل قياس الى $0,01^\circ$. ويعطي الشكل ٧ - ٩ مخططاً لمجموع مقياس استقطاب ذي صفيحة نصف موجية .

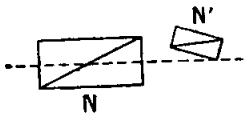


الشكل ٧ - ٩ . مخطط مبدئي لمقياس استقطاب ذي صفيحة نصف موجية ١٠ - منبع (وحيد اللون) ؛ ٢ - عدسة مجمعة ؛ ٣ - مقطب ؛ ٤ - حظار ؛ ٥ - صفيحة نصف موجية ؛ ٦ - مادة فعالة ضوئياً ؛ ٧ - عازل يستطيع الدوران وهو يحجز العضادة ؛ ٨ ، ٩ - دائرة مدرجة ؛ ١٠ - منظار غالبه ؛ ١١ - العين .

ج) بما أن صفيحة ما لا يمكن أن تكون نصف موجية الا من أجل طول موجة

معين فإنه يفضل غالباً استعمال محلل ليبش Lippich

الذي يتألف من موشروري غلازبروك (الجزء ٤ ،



الفقرة ٩-١١) N' و N (الشكل ٧-١٠) يشغل

أحدهما N' نصف الحقل فقط . ومقطعاهما الاصليان

يؤلفان زاوية يمكن تغييرها ، ولكنها لا تتجاوز

مطلقاً 30° . ومن أجل اتجاه معين للاهتزازة الخطية

الواردة ، يكون نصف الحقل مضاعف بالتساوي فإذا

دارت الاهتزازة بزاوية معينة α وجب إدارة المحلل أيضاً بنفس الزاوية لاستعادة تساوي الاستتارة .

د) اذا كان الضوء إهليلجياً أمكن أيضاً تعيين اتجاه محوريه بالبحث عن حد

أصغر للضوء بعد اجتياز محلل بسيط ، ويفضل على ذلك باستعمال محلل ذي ظليل

غير ان الحساسية التي هي بالطبع معدومة من أجل اهتزازة دائرية تتناقص سريعاً

جداً بمجرد الا يكون القطع الناقص مسطحاً جداً .

هـ) نحل المستقبلات الفيزيائية (من الفقرة ٥ - ١٧ الى الفقرة ٥ - ١٩) احياناً محل العين لقياس الاستقطاب في الضوء المرئي ، وهي وحدها الصالحة للاستعمال في ما فوق البنفسجي أو ما تحت الاحمر . وتستعمل المستقبلات التصويرية ، وخاصة الحلابا الضوئية الاصدارية أو الضوئية المقاومة أو النضد الحرارية (الالبال الحرارية) . ويمكن جعل التيارات المقيسة متناسبة مع التدفقات المستقبلية F ، والفرق الاصغر ΔF المحسوس يتوقف غالباً على F . وخلف جملة مقطب -- محلل ، يحدث مقطعها الاصليان الزاوية θ ، يكون التدفق النافذ وفق قانون مالوس (الفقرة ٧ - ٢) من الشكل : $F = F_0 \cos^2 \theta$ ومنه بالتفاضل :

$$\Delta F = 2 F_0 \cos \theta \sin \theta \Delta \theta = F_0 \sin 2 \theta \Delta \theta \quad [١٤،٧]$$

وتقابل اذن قيمة واحدة لـ ΔF قيمة لـ $\Delta \theta$ تمر بنهاية صغرى من أجل $\theta = \pi/4$: وعندئذ تكون حساسية الرصدات عظمى .

إن استعمال المستقبلات الكهروضوئية ، والتعويض عن الدوران الطبيعي بدوران مغناطيسي (الفقرة ١٢ - ١٤) يسمحان بالوصول إلى دقة قدرها 0,001 في نطاق قياس الدوران (مقياس استقطاب (غيتس Gates)) .

ملاحظة . - لدى استعمال مستقبل كهروضوئي ينبغي تذكر ان الحساسية لا تختلف باختلاف الورود فحسب ، وإنما تختلف ايضاً ، عندما يكون هذا الاخير مائلاً ، مع اتجاه الاهتزازة المستقطبة (الجزء ٦ ، الفقرة ١٦ - ٢٣) .

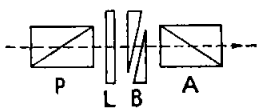
و) في الامواج فوق المرترية ، من الميسور اصدار موجات مستقطبة خطياً يكون فيها اتجاه الاهتزازة \vec{E} (متجه كهربائي) معيناً باتجاه الهوائي الثنائي القطب (الجزء ٧ ، الفقرة ٩ - ١٢) ويجري الكشف بواسطة تماس مقوم بوازي \vec{E} (الشكل ٩ - ١٩ من الجزء ٧) ويجعل الكاشف متحركاً حول محور

دليل الموجة ، وبالمبحث عن السمات الذي يقابل النهاية العظمى للتيار في جهاز القياس، يمكن كشف دوران الإهتزازة ناشئة عن مادة محتواه في دليل الموجات .

٧ - ٥ . — تحليل الاهتزازة الاهليلجية ذات توجيه معلوم :

(أ) في كثير من الحالات ، المتعلقة خاصة بدراسة الانكسار المضاعف الطبيعي والصناعي للصفائح الشفافة (الفصل ١١) ، يعرف أولياً أو بطريقة الفقرة ٧ - ٤ ، ج ، اتجاه محوري الاهتزازة الناقصية المراد تحليلها . ويمكن تعيين نسبة المحورين بواسطة القياس الضوئي، بمساعدة مستقبل ابصاري او فيزيائي موضوع خلف محلل بسيط . هذه الطريقة قليلة الدقة بشكل عام ، ولا تعلمنا شيئاً عن جهة المسير على القطع الناقص .

(ب) استعمال المعوضات : من المفضل تعويض فرق الطور φ الكائن بين المركبتين المتعامدتين للإهتزازة الاهليلجية بفرق طور قابل للقياس . لكن المطلوب مثلاً تعيين الانكسار المضاعف لصفحة مبلورة L . فلابد إيجاد خطها المعتدلين يكفي وضعها بين بلورتي نيكول متصلتين وتدويرها في مستويها حتى يحصل الانطفاء . وهكذا يكون الخطان المعتدلان حينئذ موازيين للمقطعين الرئيسيين للمقطب P وللمحلل A . تدور الصفحة بعدئذ بزاوية قدرها $\pi/4$ في مستويها بحيث يصبح الضوء الصادر عن L ناقصاً ومحوراه وفق المقطعين الاصلين



L و P ، فإذا أريد استعمال معدل برافيه Bravais (الفقرة ٧ - ٣ ، ز) B ، وجب

وضعه بين L و A (الشكل ٧ - ١١) بحيث الشكل ٧ - ١١ - استعمال معوض يكون خطاه المعتدلان موازيين لخطي L ، ثم B لدراسة مضاعفة صفيحة مضاعفة يؤثر على السمك المتحول للمعدل ، بحيث يعثر الكسر بين مقطب P ومحلل A متصلين

ثانية على الانطفاء . من هذا السمك يمكن ، اذا كان المعوض معياراً ، استنتاج تغير الطور φ - الذي يدخله ، ومنه ، وفق [٧،٧] الانكسار المضاعف المبحوث عنه :

$$\delta = (n_x - n_y) e = \varphi \lambda / 2\pi$$

وتعطى أهليجية الإهتزازة بالعلاقة :

$$\frac{B}{A} = \operatorname{tg} \frac{\varphi}{2} \quad [١٣،٧]$$

وجهة مسيرته ميمنة أو ميسرة حسب ما يكون $\operatorname{tg} \frac{\varphi}{2}$ موجباً او سالباً (الفقرة ٧ - ٣ ، و) .

ملاحظة - يحدث الانطفاء كلما كان فرق المسير الذي يدخله المعوض يتغير بعدد تام من أطوال الموجة . ويمكن رفع الشك بالعمل في البدء بالضوء الأبيض ، فتلاحظ حينئذٍ نهاية صغرى بينة للوضوح للضوء النافذ (الموصل) ، عندما يكون التعديل محققاً تقريباً من اجل جميع أطوال الموجات . ويستبدل بعدئذٍ بالضوء الأبيض الضوء الوحيد اللون ، الذي يجب أن يجرى عليه القياس بحيث يعطيه بدقة اكبر .

يفضل اليوم معدل بابينه على معدل برافيه الذي اشير الى تركيبه وطريقة استعماله في الجزء ٤ ، والفقرة ١٤-٧ ، ١ . وهو يبدي للعين أهداباً مستقيمة متوازية ، يجب اىصال احدها الى ما بين خيوط محكمة ، وهذا ما يمكن عمله بدقة اكبر من البحث عن النهاية الصغرى للاستنارة خلف معدل ذي صبغات قليلة التباين كمعدل برافيه . والخطأ في قيمة δ يمكن ان ينقص الى حوالي $\frac{\lambda}{1000}$ (في الحالات الاكثر ملائمة) .

ج) استعمال صفيحة ربع موجية . لنستقبل اهتزازة اهليلجية على صفيحة ربع موجية Q (أو جهاز معادل ، مثل متوازي سطوح فرينيل ، الفقرة ٨ - ١٠) ينطبق خطاها المعتدلان على محوري القطع الناقص ، فالاهتزازة التي تبرز من الصفيحة ربع الموجية مستقيمة . وفي الواقع ان القطع الناقص المنسوب الى محوريه تكون معادلته :

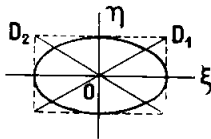
$$\xi = A \sin \omega t$$

$$\eta = \pm B \cos \omega t$$

مع الاشارة + او - حسب ما تحتازه الاهتزازة في جهة عقارب الساعة أو في الجهة المعاكسة (الشكل ٧-٥) . وتدخل الصفيحة ربع الموجية بين المركبتين ξ و η فرقاً في الطور قدره $\pi/2$ ، حيث يقع التأخر على المركبة ξ أو η وفقاً للتي يتجه نحوها خطها المعتدل ذو القرينة الكبرى . لنفرض أنها وفق ξ 0 . فعند البروز من الصفيحة ربع الموجية يمكن كتابة المركبتين على الشكل :

$$\xi = A \sin (\omega t - \pi/2) = -A \cos \omega t$$

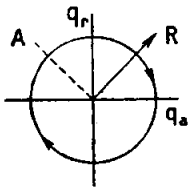
$$\eta = \pm B \cos \omega t$$



فهما في طور واحد أو في تضاد ، وبالتالي فالاهتزازة خطية مستقيمة . فإذا كانت اشارة η هي + ، كانت الاهتزازة موجية وفق OD_2 (الشكل ٧-١٢) ، وإذا كانت - فنجد OD_1 .

والشكل ٧-١٢ ، أ بيّن مخططاً للحلل إهليلجي ذي صفيحة ربع موجية . والقطب P والحلل A المنفردان في البدء 'يجعلان' متصاليين . تدخل الصفيحة ربع الموجية Q التي تدور حتى عودة الانطفاء . فخطاها المعتدلان q_1 و q_2 هما اذن موازيان

الشكل ٧-١٢ -
تحول اهتزازة اهليلجية
الى اهتزازة مستقيمة .



الشكل ٧ - ١٤ .

علل دائري يطفىء

الاشعة المستقطبة

دائرياً الى اليمين

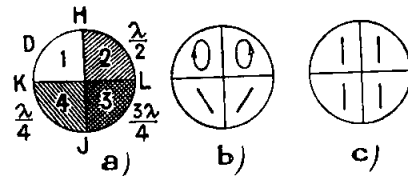
يبين الخط المعتدل المتأخر q_r عن الخط المتقدم q_a (الشكل ٧ - ١٤) . فإذا كان الاتجاه الاصيل A للمحلل واقعاً على 45° من الخطين المعتدلين في الربعين المعاكسين الى R فان المحلل يطفىء الاشعة المستقطبة دائرياً الى اليمين ولكنه يدع الاشعة الدائرية اليسرى تمر ، وبالعكس .

والضوء الطبيعي لا ينطفىء ابداً باجتياز محلل كهذا ، مما يسمع بتمييزه عن اهتزازة دائرية .

٧ - ٦ . تحليل الاهتزازة ناقصة ما :

نحصل هذه الحالة بشكل خاص في دراسة توصيل الضوء بواسطة صفيحة بلورية ثنائية اللون (الفقرة ١١ - ٩) وفي حالة الانعكاس المعدني (الفقرة ٨ - ١٢) . ونستعمل حينئذ صفيحة ربع موجية Q كما في الفقرة ٧ - ٥ ، ج ولكن بجعلها تدور ببطء في مستوياتها وبالتحري ، في كل وضع من اوضاعها ، مما اذا كان المحلل يستطيع احداث الاطفاء . وعندما يكون الامر كذلك فإن الخطين المعتدلين للصفيحة ربع الموجية يعطيان اتجاهي المحورين للقطع الناقص ، وهذا ما يقود الى الحالة التي سبقت دراستها .

ولكن ، لا المحلل ذو الظل ولا المحلل العادي يسمحان بالتحقق بدقة من أن الاهتزازة الصادرة عن ربع الموجة هي مستقيمة (لأن الاهتزازة الناقصة المنبسطة جداً تعطي نفس المظاهر) . لذا يلجأ في حالة القياسات الدقيقة الى محلل ظليل ذي أربع مناطق ، ناشئ عن ضم صلب الى النيكول A لجهاز (تطابق عليه العين) يؤلف كما يلي (الشكل ٧ - ١٥ ، ١٤) يغطي حظار D ، متمر كز على الحزمة المفيدة ، بقدر نصفه بصفيحة نصف - موجية (الى يمين



الشكل ٧-١٥. a. محل ظلي ذو ٤ رفاق
b و c. تمثل الاهتزازات

القطر JH مثلاً) ونصفه الآخر بصفيحة - ربع موجية (تحت القطر KL الناظم على JH مثلاً). والخطوط المعتدلة لهاتين الصفيحتين متوازية فيما بينها (سنفرضها تبسيطاً، متجهة وفق HJ و KL) وتأخرات المسير التي

تدخلها بين الرقاق 1, 2, 3, 4 هي تلك المشار إليها في الشكل .

ومحصل على تساوي الرقعتين 1 و 2 إذا كان JH هو اتجاه اهتزازة مستقيمة يتلقاها المحلل ، أو أيضاً اتجاه المحور الكبير لاهتزازة ناقصية بصورة ضعيفة. ومن جهة أخرى ، فإن تساوي الرقعتين 3 و 4 لا وجود له في الوقت نفسه مع السابقة إلا إذا لم تكن الاهتزازة ناقصية ، وفي الحالة العكسية تغير بالفعل (الشكل ١٧ - ١٥ ، b) الصفيحة نصف الموجية جهة السير على القطع الناقص في نصف الحقل ، وتغير الصفيحة ربع الموجية ، كما ذكر في الفقرة ٧ - ١٥ ، ج ، هذه الاهتزازات الناقصية ذات الجهة المعاكسة الى اهتزازات مستقيمة ذات توجيهات مختلفة .

ولا يمكن الحصول على التساوي المتزامن للرقاع الأربع الا اذا كانت الاهتزازة البارزة من ربع الموجة Q مستقيمة (الشكل ٧ - ١٥ ، ج) وكان اتجاهها موازياً الى JH أو الى KL . ويبحث بالتلمس عن الاتجاه Q الذي يسمح بتلبية هذا الشرط بتوجيه المحلل بصورة مناسبة .

٧ - ٧. — دراسة ضوء مستقطب جزئياً :

ليكن ضوء مستقطب جزئياً ، فيمكن اعتباره كنتيجة تنضيد لضوء طبيعي شدته I_n وضوء خطي مستقيم شدته I_p وجهة معينة . فالشدتان I_n و I_p تتضمنان

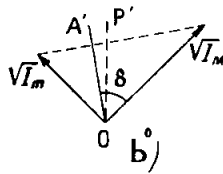
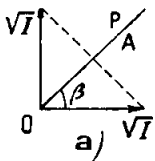
لأن الاهتزازات المقابلة غير مترابطة (الفقرة ٧ - ١ ، ب) . وإذا تُلقيت الحزمة على محلل بسيط فإن الحزمة I_n تعطي (بخطأ قدره عامل الامتصاص) شدة ثابتة $I_n/2$ (الجزء ٤ ، الفقرة ١١ - ٨ ، ج) وللحزمة I_p شدة متحولة $I_p \cos^2 \alpha$.
وتصبح الشدة الكلية :

$$I = I_n/2 + I_p \cos^2 \alpha$$

وتمر بنهاية عظمى $I_M = I_n/2 + I_p$ من أجل $\alpha = 0$ وبنهاية صغرى : $I_m = I_n/2$ من أجل $\alpha = \pi/2$. فاستعمال محلل بسيط لا يسمح إذن بالتمييز بين اهتزازة ناقصية وبين ضوء مستقطب جزئياً وفقاً لما رأيناه في الفقرة ٧ - ٢ ، ب . ولكن الضوء المستقطب جزئياً لا يستطيع أداء الاطفاء عندما يُحاول تحليله كاهتزازة ناقصية (فقرة ٧ - ٦) مما يساعد على تمييزهما .
ويعبر عن درجة الاستقطاب [١،٧] بالعلاقة الجبرية :

$$w = \frac{I_p}{I} = \frac{I_p}{I_p + I_n} = \frac{I_M - I_m}{I_M + I_m} \quad [١٥،٧]$$

فيمكن إذن قياسها بمساعدة مستقبل فيزيائي حساس على التدفق . فمن أجل القياس البصري يتبع ما يلي : لنسقط الحزمة المطلوب تحليلها على موشور ثنائي الكسر (الجزء ٤ ، الفقرة ١١ - ٨) كموشور روشون مثلاً ، ولدوره في مستويه حتى تصبح شدتا الحزمتين الصادرتين متساويتين . لتكن β (الشكل ٧ - ١٦ ، a) الزاوية التي يحدنها



حينئذ الاتجاه الرئيسي للمضاعف الكسر مع المركبة المستقطبة P للضوء ، من أجل احدى الحزمتين .
فيعبر عن تساوي الشدة بالعلاقة :

الشكل ٧ - ١٦ - قياس درجة الاستقطاب

[٨-٧] طريقة سريعة لتعيين طبيعة اهتزازة ضوئية ٢٨٩

$$I = I_n / 2 + I_p \cos^2 \beta = I_n / 2 + I_p \sin^2 \beta$$

$$\beta = \pi/4$$

ومنه :

وإذا تلقينا الحزم على بلورة نيكول A ، ندورها الى ان يتأمن التساوي ، فإن الاتجاه الرئيسي لـ A يكون حينئذ موازياً الى P . وإذا دورنا بعدها الكاسر المضاعف بزاوية قدرها $\pi/4$ في مستويه ، فاحدى الحزمتين التي تبرز منه تكون شدتها $I_m = I_n / 2$ ، والأخرى $I_m = I_n / 2 + I_p$ (الشكل ٧ - ١٦ ، ب) .
وبتدوير المحلل زاوية قدرها δ يمكن إعادة تساوي الحزم .

اللوحة ٧ - ١		
تحليل اعتازاة ضوئية		
الاهتزازة المدروسة هي	التجربة الثانية	التجربة الاولى
N طبيعية	$\left. \begin{array}{l} \text{لا تتغير} \\ \text{تمر بقيمة صغرى} \\ \text{تمر بقيمة صغرى غير معدومة} \end{array} \right\} \begin{array}{l} \text{توسط صفيحة ربع موجية Q في اتجاه ما ويدور A . فالشدة المنقولة} \end{array}$	$\left. \begin{array}{l} \text{لا تتوقف على توجيه A} \end{array} \right\}$
C دائرية		
C + N		
خطية مستقيمة R	تمر بحد أصغر معدوم	
E ناقصة	تمر بقيمة صغرى معدومة	$\left. \begin{array}{l} \text{تمر بقيمة صغرى غير معدومة} \end{array} \right\}$
R + N	$\left. \begin{array}{l} \text{تمر بقيمة صغرى} \\ \text{مائل الى اتجاهه الاصيلي} \end{array} \right\}$	
E + R أو E + N	$\left. \begin{array}{l} \text{غير معدومة من اجل توجيه لـ A} \\ \text{مائل بالنسبة الى اتجاهه الاصيلي} \end{array} \right\}$	
		$\left. \begin{array}{l} \text{تدخل صفيحة ربع موجية احد خطيها المعتدلين ناظمي على المقطع الاصيلي للمحلول A الموجه لنقل الشدة الصغرى ثم يدور A . فالشدة المنقولة} \end{array} \right\}$

لاحظ خلال عمل بسيط A يدور . فالشدة الناتفة ::

لاحظ خلال عمل بسيط A يدور . فالشدة الناتجة :

ويكون :

$$\frac{I_n}{2} \sin^2 \delta = \left(\frac{I_n}{2} + I_p \right) \cos^2 \delta$$

ومنه :

$$\varpi = \frac{I_p}{I_n + I_p} = \frac{\operatorname{tg}^2 \delta - 1}{\operatorname{tg}^2 \delta + 1}$$

٧ - ٨ . — طريقة سريعة لتعيين طبيعة الاهتزازة ضوئية :

ان ما ذكر في الفقرتين ٧ - ٢ و ٧ - ٥ ، ج يشير الى أنه في حالة ضوء مجهولة حالته الاستقطابية تماماً ، فإن التجارب التي تشير اليها اللوحة ٧ - ١ تسمح بتعيين هذه الحالة قبل القيام بالقياسات الموصوفة في الفقرات السابقة إذا كان ثمة مجال لذلك .

★ ★ ★

تمارين

٧- أ صف حالة الاستقطاب للامواج الوحيدة اللون التي مثلت متجهتها الضوئية ، في الاحداثيات المتعامدة بالمعادلات الآتية :

$$E_z = E_m \sin \omega \left(t - \frac{x}{c} \right) \quad E_y = E_m \cos \omega \left(t - \frac{x}{c} \right) \quad -١$$

$$E_z = E_m \cos \omega \left(t - \frac{x}{c} \right) \quad E_y = E_m \cos \omega \left(t - \frac{x}{c} \right) \quad -٢$$

$$E_z = E_m \cos \omega \left(t - \frac{x}{c} - \frac{3T}{8} \right) \quad E_y = E_m \cos \omega \left(t - \frac{x}{c} \right) \quad -٣$$

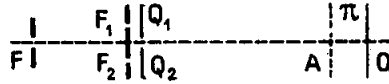
$$E_z = E_m \cos \omega \left(t - \frac{x}{c} + \frac{T}{8} \right) \quad E_y = E_m \cos \omega \left(t - \frac{x}{c} \right) \quad -٤$$

٧- ب يؤخذ جهاز يونغ ، وفيه الفتحة او الشق F ، التي هي منبع لضوء طبيعي وحيد اللون ، تضيئ شقين F_1 و F_2 متماثلين ، موازيين لـ F ومتساويين البعد عن المستوي FO . تلاحظ اهداب التداخل في مستو بعيد π يمر من O وعمودي على FO .

يوجد أمام F_1 و F_2 على الترتيب صفيحتان (ربع موجة) Q_1 و Q_2 خطاهما المعتدلان متصالبان .

١- عندما يوضع مقطب P امام F ، ادرس التعديل الطاريء على جملة الاهداب عندما يدور P تدريجياً بمقدار 2π حول FO .

٢. - إذا وجه P على $\pi/4$ من الحطين المعتدلين لـ Q_1 و Q_2 ، فكيف تتغير الحالة الاستقطابية في المستوي π عند الابتعاد عن O ؟



الشكل ٧ - أ

٣. - بوضع في A محلل بوجه موازياً لـ P . ماذا يلاحظ في المستوي π ؟

٤. - نفس السؤال إذا كان A متصالباً مع P .

٧ - ج إذا قبلنا بأن العين تلاحظ فرقاً نسبياً في الاستتارة قدره $\frac{\Delta E}{E} = 3\%$

بين رقعتي محلل ذي ظليل ، فاحسب الارتياب $\Delta\alpha$ في تعيين ممت اهتزازة مستقيمة من اجل زاوية من الظليل قدرها $20^\circ = \epsilon$.

٧ - د يمكن اطفاء اهتزازة بواسطة محلل دائروي . كيف ينبغي ان يعمل بهذا المحلل للحصول على الاطفاء بعد انعكاس الاهتزازة المفروضة على سطح زجاجي تحت زاوية سقوط ناظمية، مع العلم بأن انعكاساً كهذا يولد في الاهتزاز المستقيم تغيراً في الطور قدره π ؟

انتشار الضوء

الفصل الثامن

الانعكاس على سطح زجاجي والنفوذ منه الانعكاس المعدني

أ . الانعكاس على الاوساط الشفافة المتماثلة المناحي

والنفوذ منها (الانعكاس الزجاجي)

٨ - ١ . — انطس الضوء المستقطب استقطاباً مستقيماً على سطح زجاجي .

طرائق القياس .

أ (لتكن مادة زجاجية ^(١) متماثلة المناحي ، يفصل بينها وبين الهواء سطح مستوي ، تسقط عليه حزمة متوازية من الضوء الوحيد اللون بزاوية ورود i ، معروفة وقابلة للضبط . نفترض ان الحزمة مستقطبة استقطاباً مستقيماً ، وأن الزاوية التي يصنعها مستوي الاهتزازة مع مستوي الورد (والمسماة سميت الاهتزازة) تساوي α . فباجراء قياسات لشدة الضوء للمقارنة بين التدفق

(١) استعملت هذه الصفة هنا بمعنى « غير معدني » وليس « غير متبلور » كما هو مذكور في (الجزء الثاني ، ١٤ - ٢) .

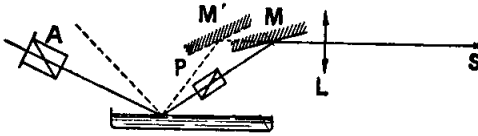
المنعكس F_r والتدفق الوارد F_i ، يمكن تعيين النسبة ما بين هذين التدفقين أو عامل الانعكاس ^(١) [٢١،٥] :

$$\rho = \frac{F_r}{F_i} \quad [١٠٨]$$

ويمكن من جهة أخرى ، تعيين خصائص الاهتزازة المنعكسة (اتجاهها وإهليلجيتها) بطرائق شرحت في الفصل السابع .

ولدراسة عينة صلبة ، يستعمل مقياس الزوايا لبابينه Babinet (الفقرة ٣ - ٤) ، الذي يمكن أن يلي مجمعه مقطب P ، والذي يستعاض فيه عن نظارته إما بمستقبل للطاقة المشعة أو بمحلل إهليلجي شبيه بالمحلل المبين في الشكل ٧-١٢ . ويتخلص من الحزمة المنعكسة على الوجه الثاني بتسويد هذا الوجه اذا كان موازياً للوجه الاول ، او يجعل العينة على شكل موشر ، وهو الافضل .

ولدراسة سطح سائل ما ، وهو افقي من كل بد ، يمكن استعمال توكية الشكل



الشكل ٨-١ جهاز دراسة الانعكاس

على سائل (تغيّر زاوية الورد بازاحة المرآة من M الى M') .

ويمكن دراسة الانعكاس من وسط صلب على الهواء باستعمال قاعدة موشر P

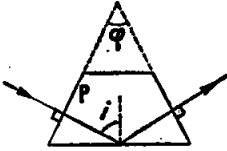
(الشكل ٨-٢) ، فنسقط الحزمة المتوازية تازمياً على وجه جانبي وتبرز ناظمياً من الوجه الآخر . إن الدراسة المسبقة للانعكاس من الهواء على الوسط الصلب

(١) اذا اعتبرت تدفقات الطاقة ، فانه يكتب حينئذ : $\rho = \frac{2r}{\mathcal{E}_i}$

تسمح بأن تؤخذ بعين الاعتبار ، بسهولة عن طريق الحساب ، التعديلات التي تطرأ على الحزمة لدى دخولها وبروزها ، كما سنرى في الفقرتين ٨-٢ و ٨-٣ . ويتم

تغيير زاوية الورود $i = \frac{\pi - \varphi}{2}$ باستعمال

مواشير زواياها ذات قيم مختلفة .



(ب) ان النتائج التجريبية التي نوردها

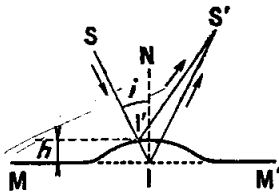
فيما يلي لا تكون صحيحة بالدقة التامة إلا اذا تحققت الشروط التالية :

الشكل ٨-٢ - جهاز دراسة الانعكاس على وسط قرينة انكساره أقل من قرينة انكسار وسط الورود

١° ينبغي ان يكون السطح مصقولاً .

فعندما يكون خشناً ، لا يعطي انشاء هويغنس (الجزء الرابع ، ٢ - ٤) المطبق على الموجه المستوية الواردة ، موجه مستوية منعكسة كمغلف للموجات التي تقع مراكزها على نقاط السطح المختلفة .

لنعتبر أن شعاعاً SI ، بدلاً من ان ينعكس عند I على السطح MM' (الشكل ٨-٣) ، يلاقى على هذا السطح عند I' تنوءاً ارتفاعه h ؛ إن مفعول هذا الشذوذ يمكن إهماله اذا كان فوق المسير بين المسارين SIS' و SI'S' العائد



لنقطة S' ، حيث يبرى الانعكاس ، والذي يقارب في قيمته $2h \cos i$ ، صغيراً صغراً كافياً بالنسبة الى طول الموجه λ .

الشكل ٨-٣ - تأثير عيب في الصقل على الانعكاس

إن فرق المسير هذا يساوي $2h$ عندما يكون الورود ناظمياً ؛ فإذا لم تكن هذه القيمة صغيرة جداً ، لا

يكون هناك انعكاس منتظم من أجل الورود الناظمي ؛ ولكن اذا زيدت زاوية

الورود z ، فإنه يأتي حين يمكن أن يحدث فيه الانعكاس المنتظم ، وذلك من أجل الأطوال الموجية الكبيرة أولاً .

٥ - وعلى هذا ، إذا غطينا صفيحة من الزجاج بهباب الفحم ، وحاولنا أن نرى بالانعكاس عليها خيال مصباح كهربائي ذي شعيرة فإننا لا نرى شيئاً ما دامت زاوية الورود صغيرة ، إلا أننا نرى خيلاً واضحاً كل الوضوح عندما تصبح زاوية الورود كافية . ويبدو خيال شعيرة المصباح محمراً في البداية ثم يصبح أبيض اللون عندما تزداد زاوية الورود ، ويمكن إجراء هذه التجربة على نحو ناجح باستعمال لوحة تصوير بعد تعريضها للضوء وتظهيرها وتجفيفها ، وذلك يجعل الانعكاس يتم على طبقة الهلام .

إن الضوء المنكسر عند سطح غير مصقول يؤدي إلى اعتبارات بمائلة . ولكن الانكسار ، في هذه المرة ، يكون أكثر بعداً عن الانتظام كلما ازدادت زاوية الورود . ومن جهة أخرى يكون للفرق بين قريبتين انكسار الواسطين دوره : فيزداد الانكسار بعداً عن الانتظام كلما ازداد الفرق بين القريبتين .

٥ - لا تسمح الصفيحة الزجاجية غير المصقولة بأن تُتَرَى الأجسام من خلالها ، ولكنها تُتَرَى على نحو أفضل إذا بُلِّغَتْ بالماء ، مما يقلل الفرق بين قريبتين جانبي السطح غير المصقول . وتزداد شفافية الصفيحة إذا استعمل البنزين عوضاً عن الماء ، وتزداد أكثر من ذلك إذا أذيب في البنزين المستعمل قليل من بلسم كندا .

إن الحساب الذي أجري أعلاه يبين أن مفهوم الصقل يتوقف على المجال الطيفي المدروس . فبعض السطوح التي تعد خشنة بالنسبة لما فوق البنفسجي ، يمكن أن تعد مستوية بتقريب حسن (مصقولة) بالنسبة لما تحت الأحمر .

٢° ينبغي أن تكون الخواص الضوئية لأجزاء الجسم المدروس القريبة من السطح بمائلة قدر الامكان لخواص الأجزاء الداخلية . ويحدث ذلك عندما

يكون الجسم نقياً وسطحه حديث التكوين ، وإلا كانت هناك طبقة اجتياز لا تلتقى خواصها بخواص داخل المادة إلا تدريجياً . فإذا كان الامر يتعلق بسائل ، يحدد سطحه السائب (الحر) لاجتناب الشوائب الممتزة (الجزء الثاني ، ١٩ - ١) . وإذا كان الامر يتعلق ببلورة ، فإنه يفضل استعمال وجه طبيعي ثم فحصه حديثاً . هذا وإن الصقل الميكانيكي للسطوح الصلبة يغير خواصها ، كما تدل على ذلك التجربة التالية :

٥- - تغطس كتلة من الزجاج المتجانس والمصقول صقلًا جيداً في سائل (هو خليط من البنزين وكبريت الفحم) مضط عياره بحيث تكون قرينتنا انكسار المادتين (اللتان تعينان بطريقة الموسور مثلاً) متساويتين حتى الرقم العشري الرابع من أجل ضوء وحيد اللون . فإذا أضيفت مجموعة المائع والكتلة الزجاجية بهذا الضوء ، رؤي مع ذلك السطح الفاصل : فقرينته إذن تختلف عن قرينة داخل الكتلة الزجاجية .

ويمكن إثبات أن الصقل يزيد من قرينة الانكسار نتيجةً لزيادة الكتلة الحجمية بلاريب .

٨ - ٢ . - نتائج تجريبية . مائة مروج الانعكاس على وسط قرينته اكبر

(من قرينة وسط الورود) :

أ) لتكن E_i الاهتزازة الواردة التي نفترض أنها مستقطبة استقطاباً مستقيماً . إن التجربة تدل على أن سمت الاهتزازة المنعكسة (أي زاويتها مع مستوى الورود) يكون بوجه عام مختلفاً عن α_i سمت الاهتزازة E_i ، ولكنه يساويه عندما تكون E_i موازية لمستوى الورود ($\alpha_i = 0$) ، يرمز للاهتزازة حينئذ

بـ E'_i) ، أو عندما تكون عمودية على هذا المستوى ($\alpha_i = \frac{\pi}{2}$) ، ويرمز للاهتزازة حينئذ بـ E''_i) ، كذلك فإن من الأنسب أن يدرس على حدة كل من انعكاسي الحزمتين الحاملتين للاهتزازتين E'_i و E''_i اللتين تسميان «الاهتزازتين الاصليتين» . وقد وجدنا (الجزء الرابع ، ١١ - ٧) أن :

$$E''_i = E_i \sin \alpha_i , \quad E'_i = E_i \cos \alpha_i \quad [٢٠٨]$$

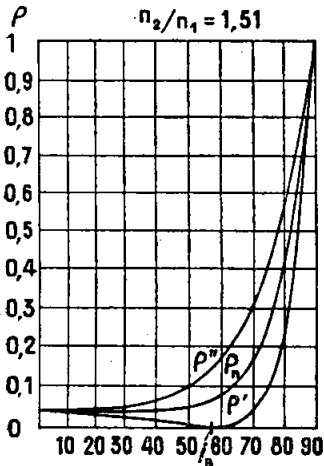
وأن هاتين الاهتزازتين متفقتان في الطور . وفيما يلي من الدساتير والاشكال سوف نعتبر قيم المتجهات في اللحظة نفسها الموافقة لقيمة E_i العظمى .

لنتذكر (الجزء الرابع ، ٢ - ١٠) ان التدفق الضوئي F يتناسب طردياً

مع شدة الحزمة ، وأن هذه الشدة نفسها تتناسب طردياً مع E^2 ، مربع سعة المتجهة الضوئية .

لندرس أولاً الحالة التي يتم فيها الانعكاس من وسط قريته n_1 على وسط قريته : $n_2 > n_1$.

ب (عوامل الانعكاس .



الشكل ٨ - ٤ . تغيرات عاملي الانعكاس P' و P'' و P بدلالة i ،

$$\frac{n_2}{n_1} = 1,51 \text{ الحالة}$$

بين الشكل ٨ - ٤ تغيرات عاملي الانعكاس P' و P'' والعائدين بالترتيب إلى اتجاهي الاهتزازتين E'_i و E''_i ، وذلك بدلالة زاوية الورود i ، من أجل الانعكاس من الهواء على الزجاج التاجي ذي القرينة $n = 1,51$.

في الورود الناطمي ، ليس هناك ما يدعو الى التمييز بين P' و P'' أو بين E' و E'' ، لأن مستوي الورود لا يكون محدداً في هذه الحالة ؛ وتعامل

الاهتزازتان الأصليتان المعاملة نفسها بسبب التناظر ، ويُرى أن قيمة عامل الانعكاس ρ تساوي حينئذ :

$$\rho = \left(\frac{n_2 - n_1}{n_2 + n_1} \right)^2 \quad [٣٠٨]$$

أي أن $\rho = 0,043$ في مثال الشكل ٨-٤ .

وفي ورود المماسي ، يكون $\rho' = \rho'' = 1$. ومن أجل زوايا ورود الأخرى ينفصل المنحنيان : فتزداد ρ'' بانتظام ، أما ρ' فتمر بنهاية صغرى منعقدة من أجل زاوية ورود i_B تسمى زاوية بروستر (زاوية ورود البروستري) ، وهي قريبة من ٥٧° في المثال المعبر .

وإذا كان للاهتزازة E_i سمتٌ ما ، فإن عامل الانعكاس يعبر عنه بالعبارة :

$$\rho = \rho' \cos^2 \alpha_i + \rho'' \sin^2 \alpha_i \quad [٤٠٨]$$

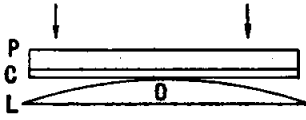
وينتج هذا من الصيغة [٢٠٨] ومن تناسب التدفق مع E^2 .

(ج) توجيه الاهتزازة المنعكسة :

ليكن للاهتزازة E_i أحد المنحنيين الأصليين E'_i أو E''_i . إن التجربة تبين أنه في كلتا الحالتين ، تكون الاهتزازة المنعكسة (وهي بسبب التناظر إحدى الاهتزازتين ، E'_i في الحالة الأولى ، E''_i في الحالة الثانية) متعاكسة في الطور مع الاهتزازة الواردة ، مهما كانت زاوية ورود i .

٥ - في حالة ورود النازمي ، يتم التحقق ، بتعديل تجربة فينو Wiener

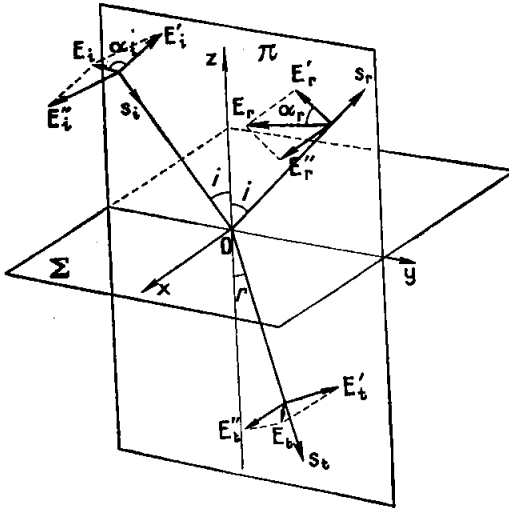
(الجزء الرابع ، ١٢-١٠) ، على النحو التالي . 'تسند الطبقة الحساسة C (الشكل ٨-٥) التي تغطي الصفيحة المتوازية الوجهين P على الوجه المحدب



الشكل ٨-٥ -

من عدسة مستوية محدبة L بحيث يكون هناك تماس ضوئي عند نقطة O يسقط الضوء ناظماً على الطبقة C ، وتصور حلقات التداخل المماثلة لحلقات

نيوتن (الجزء الرابع ، ١٢-١٥) التحقق من تغير الطور بالانعكاس ($n_2 < n_1$). التي تتولد عن تداخل الأشعة الواردة مع الأشعة المنعكسة على الوجه العلوي للعدسة L (التي يغطس وجهها السفلي بطلاء مضاد للانعكاس) . ونحصل



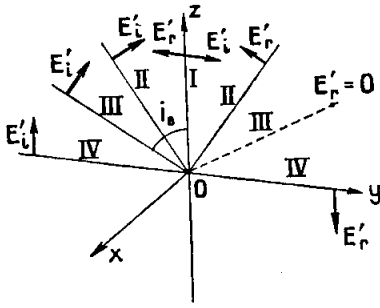
الشكل ٨-٦ - تحليل الاهتزازات الواردة والمنعكسة والمنعكسة

على جملة حلقات ذات مركز مظلم : فالاهتزازان المتداخلتان هما اذن متعاكستان عند النقطة O .

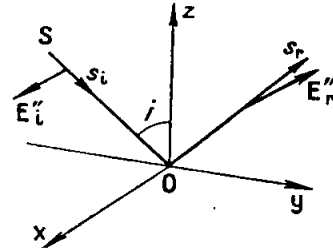
٥- ويعطى البرهان في حالة الورد المائل بواقع أن وضع أهداب مرآة لوييد Lloyd (الجزء الرابع ١٢-٦) يوافق هدباً مركزياً مظلاماً (لا يمكن ملاحظته) .

(د) يمكن تمثيل النتائج السابقة على النحو التالي : في جملة احداثيات متعامدة

Oxyz (الشكل ٨-٦) ، ليكن xOy مستوي السطح الفاصل Σ ، وليكن yOz مستوى الورود Π . ان منحي الاهتزازتين E'_i و E'_r يؤلفان مع منحي متجهة الموجة s_i في الشكل زاوية ثلاثية قائمة ، ولما كانت المتجهة E'_i موازية للمحور Ox من أجل كل قيمة للزاوية i ، فإن المتجهة E'_r تكون موازية ومعاكسة لها (الشكل ٨-٧)^(١) .



الشكل ٨ - ٨ . . الاهتزازة الواردة والاهتزازة المنعكسة ، حالة $\alpha_i = \pi/2$ و $n_2 > n_1$



الشكل ٨ - ٧ . . الاهتزازة الواردة والاهتزازة المنعكسة ، حالة $\alpha_i = 0$ و $n_2 > n_1$

إن تعيين الاهتزازة E'_r يمثل في الشكل ٨ - ٨ . فمن أجل $i=0$ (الشعاع I) ، تكون E'_r موازية ومعاكسة الى E'_i . وعندما تزداد i تستنتج أوضاع E'_i و E'_r ، العموديتين بالترتيب على الشعاعين الوارد والمنعكس ، بحيث أنها تصبح ثانية معاكسة الى E'_i عند الورود المماسي (IV) .

٥) لنعط الآن E_i ممثلاً ما α_i . فوفقاً للعلاقة [٢٨] يكون لدينا :

(١) يبين الشكل ٨ - ٦ الاتجاهات الموجبة التي توافق E'_i ، E'_r ، E''_i ، بينما يظهر في الشكل ٨ - ٧ مثلاً ؛ الاتجاه الحقيقي للمتجهات .

$$\frac{E_i'}{E_i} = \operatorname{tg} \alpha_i \quad [٥٠٨]$$

وتكون E_i' و E_i على اتفاق في الطور .

إن الاهتزازة المنعكسة الموافقة E_r تكون مستقيمة كما تدل التجربة . وهي ، من جهة أخرى ، تنتج من تركيب الاهتزازتين الاصليتين E_r' و E_r'' ، اللتين تكونان على اتفاق في الطور لكونها تعاكسان E_i' و E_i'' على الترتيب . وتكون النسبة $\frac{E_r'}{E_i'}$ مساوية لـ $\sqrt{\rho'}$ ، والنسبة $\frac{E_r''}{E_i''}$ مساوية لـ $\sqrt{\rho''}$. ولما كانت هاتان النسبتان غير متساويتين وفقاً للشكل ٨ - ٤ ، فإنه إذا افترضنا (الشكل ٨ - ٦) أن :

$$\frac{E_r'}{E_r} = \operatorname{tg} \alpha_r \quad [٦٠٨]$$

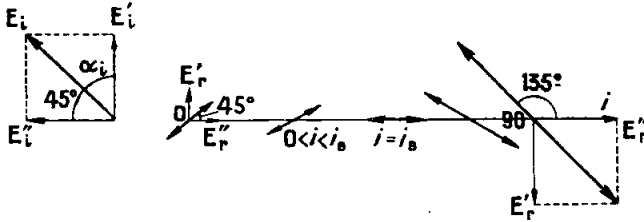
فاننا نجد :

$$\operatorname{tg} \alpha_r = - \sqrt{\frac{\rho''}{\rho'}} \operatorname{tg} \alpha_i \quad [٧٠٨]$$

إذن فالزاوية α_r لا تساوي α_i بوجه عام : فالانعكاس بوجه عام يدير الاهتزازة في مستوى الموجة ، والاشارة - في الصيغة [٧٠٨] تعبر عن انقلاب الاهتزازة المنعكسة بالنسبة للاهتزازة الواردة ، وهو ما ينتج من الشكلين ٨-٧ و ٨-٨ . وهذا الانقلاب فريد من أجل الورد المماسي ، إذ قد يبدو أنه كان ينبغي الانتقال دواما انقطاع من هذه الحالة الى عدم الانعكاس ؛ ولكن وُجد ان التجربة تحقق النظرية مهما كان الورد قريباً جداً من ٩٠° .

وبين الشكل ٨-٩ التوجيهات التي تتخذها الاهتزازة الضوئية E_r المستقبلية

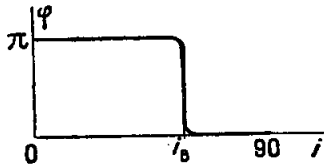
من قبل المشاهد عندما $\alpha_i = 45^\circ$ ($E'_i = E''_i$) ، وذلك من أجل قيم مختلفة لزاوية الورود . ويمثل الخط الأفقي منحنى "موازيًا للمحور Ox ، أي موازيًا إلى E'_r ، أو



الشكل ٨ - ٩ . تغير اتجاه الاهتزازة المنعكسة بدلالة i ($n_2 > n_1$, $\alpha_i = \frac{\pi}{4}$)

موازيًا أيضاً مستوى المراة . إن تغير التوجيه E_r بمقدار 90° بين $i = 0^\circ$ و $i = 90^\circ$ ، يعود إلى انه بالرغم من أن المر كبتين E'_r و E''_r هما متعاكستان دوماً في الطور مع E'_i و E''_i على الترتيب ، فإن للشعاعين الوارد والمنعكس اتجاهين متعاكسين في حالة الورود الناطمي ، والاتجاه نفسه في حالة الورود المماسي .

و (يمثل الشكل ٨ - ١٠ تغيرات فرق الطور φ بين المر كبتين E'_r و E''_r بدلالة زاوية الورود . ولما كانت



الشكل ٨ - ١٠ . تغيرات فرق

الطور φ بين E'_r و E''_r ، بدلالة i ،

حالة $n_2 > n_1$ و $\alpha_i = 4/\pi$

مر كبتا E_i متفتقتين في الطور ، فان تستنتج من الشكل ٨ - ٩ : فهي تساوي من $i = 0$ إلى $i = i_B$ ، ثم تصبح قيمة φ منعدمة فجأة من $i = i_B$ حتى $i = 90^\circ$. غير أن التجربة تدل على أن

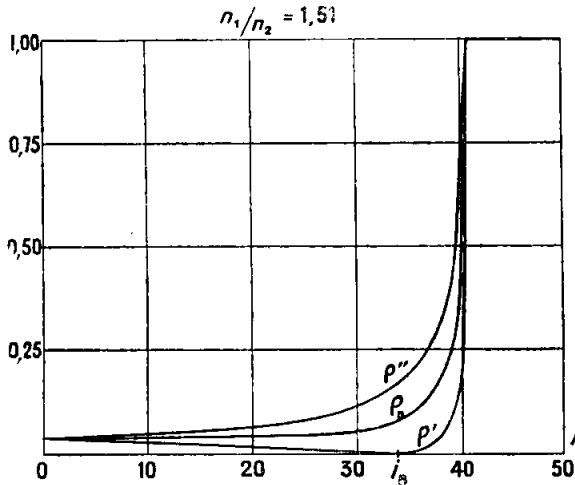
الانقطاع ليس مطلقاً من أجل $i = i_B$ ، وان الفرق في الطور يهبط من π إلى الصفر في مجال صغير من زوايا الورود . وفي هذا المجال يولد الضوء المستقطب في سمت معين بانعكاسه ضوءاً أهليلجياً ، وبالفعل يمكن تحليله إلى اهتزازتين متعامدتين

إحداهما عمودية على زاوية ورود والاخرى واقعة فيه ؛ ويكون بين هاتين المر كبتين بعد الانعكاس فرق في الطور تنحصر قيمته بين الصفر و π : ويحدث ذلك على سطح السائل وبخاصة عندما لا يكون هذا السائل نقياً تماماً .

٥ - لا يحدث على سطح الماء استقطاب إهليلجي محسوس ما دام هذا السطح نظيفاً بما يكفي لجعل قطع صغيرة من الكافور تقوم بحركات سريعة دورانية (الجزء الاول ، ١٨ - ٧) ، ولكن اذا مس سطح الماء قضيب زجاجي مبلل بعطر التربينتين توقف الكافور عن الحركة وظهر الاستقطاب الإهليلجي .

٨ - ٣ . - مانه حدوث الانعكاس على وسط قريبة أول (من قريبة وسط الورود) :

يمثل الشكل ٨ - ١١ تغيرات عاملي الانعكاس ρ' و ρ'' والعائدين للاهتزازتين



الشكل ٨ - ١١ - تغيرات ρ' و ρ'' و ρ_n بدلالة i :

$$\text{حالة : } \frac{n_2}{n_1} = \frac{1}{1.51}$$

الاصليتين ، بدلالة زاوية الورود في الحالة التي يتم فيها الانعكاس من الزجاج التاجي ($n_1 = 1,51$) على الهواء . ففي الورود الناطمي يكون ρ' و ρ'' متساويين ، وتعطى قيمتها بالعلاقة [٣، ٨] ؛ وينعدم ρ' من أجل زاوية ورود بروسثري i_B متتامة مع زاوية الشكل ٨ - ٤ . وأخيراً فإن الزاوية الحرجة l التي تتعين بالعلاقة $\sin l = \frac{1}{n}$ (الجزء الرابع ، ١ - ٩) تقوم بدور الورود الماسي في حالة كون $n_2 > n_1$. وعندها يكون $\rho' = \rho'' = 1$. وحينما تكون i أكبر من l يحدث انعكاس كلي^(١) .

(ب) توجيه الاهتزازة المنعكسة وشكلها .

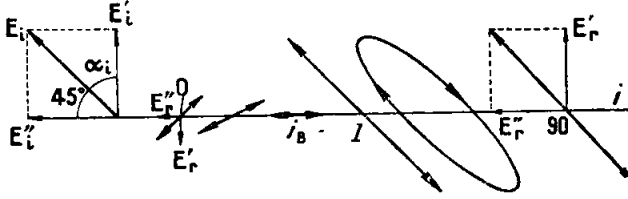
في الورود الناطمي ، تكون الاهتزازتان E_r' و E_r'' على اتفاق في الطور مع الاهتزازتين E_i' و E_i'' على الترتيب ، ويتبع هذا أن الاهتزازة المستقيمة E_i التي ليس لها توجيه معين تعطى اهتزازة مستقيمة منعكسة E_r على اتفاق في الطور معها . ونُستنبط هذه النتائج من مختلف تجارب التداخل في الصفائح المتائلة المناحي (الجزء الرابع ، ١٢ - ١٥) ، التي تبين أن الانعكاس من وسط على وسط أشد منه كسراً يرافقه تغير في الطور مقداره π . ولما كنا رأينا في الفقرة ٨ - ٢ أن تغير الطور هذا يحدث في الحالة الاولى ، فإنه لا يحدث في الحالة المعتبرة حالياً .

وهكذا يتبين لنا أنه من المناسب في هذه الحالة عكس اتجاه E_r' و E_r'' في

الشكلين ٨ - ٧ و ٨ - ٨ ، اللذين لا يصلحان الا بين $i = 0$ و $i = l$.

(١) يبين الشكل ٨ - ١١ أن عاملي الانعكاس من أجل أي من الاهتزازتين الاصليتين وبالتالي من أجل الضوء الطبيعي ، يزداد ازدياداً سريعاً جداً عندما تزداد زاوية الورود من 0° الى 41° . إن هذا الازدياد المفاجيء في التدفق الذي يحدث في جوار الانعكاس الكلي يؤلف جداً واضحاً للاستنارة في تجربة الفقرة ٥ - ١١ من الجزء الرابع ، وهذا يجعل قياس قرينة الانكسار بطريقة الفقرة ٣ - ٦ قياساً دقيقاً .

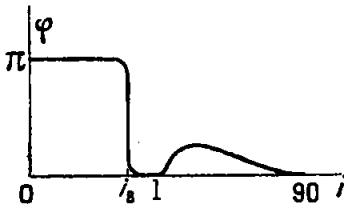
ونستنتج من ذلك التوجيه α_r للاهتزازة المنعكسة الممثلة في الشكل ٨-١٢ بدلالة زاوية الورود عندما $\alpha_i = 45^\circ$. وهذا الشكل هو فيما بين $i = 0$ و $i = 1$ ، شبيه بالشكل ٨ - ٩ ما بين $i = 0$ و $i = 90^\circ$.



الشكل ٨ - ١٢ . تغيرات توجيه الاهتزازة المنعكسة

بدلالة i ($n_2 < n_1, \alpha_i = \pi/4$)

وتدل التجربة على أنه فيما بين $i = 0$ و $i = 90^\circ$ ، تكون الاهتزازة المنعكسة إهليلجية . ولما كانت مركباتها E_r' و E_r'' متساويتين نظراً لأن الانعكاس كلي ولأن $\alpha_i = 45^\circ$ ، فإن محوري الاهليلج كما عرفنا (الفقرة ٧ - ٣ و) ، يكونان مائلين على مستوى الورود بزاوية مقدارها 45° ؛ وتكون جهة الدوران على الاهليلج هي الجهة التي ينبغي أن يُدير فيها مشاهدٌ ، يستقبل الشعاع الوارد، الاهتزازة E_i بزاوية حادة كي يجعلها عمودية على مستوى الورود. وبين الشكل ٨ - ١٣ تغير فرق الطور بين الاهتزازتين E_r' و E_r'' بدلالة



الشكل ٨ - ١٣ . تغير فرق الطور ϕ

بين E_r'' و E_r' بدلالة i

حالة $n_2 > n_1$ و $\alpha_i = 4/\pi$

زاوية الورود i . وهو يساوي π عندما يكون الورود ناظماً ، وينعدم ما بين الورود البروستري والورود الحرج ، ثم يزداد بعد ذلك مولداً اهتزازة إهليلجية، وينعدم أخيراً عند الورود المماسي .

ج) إن الصيغتين [٣،٨] و [٤،٨] تصحان من أجل انتشار الضوء الوارد في

أي من الوسطين . وليس من السهل إثبات ذلك إثباتاً مباشراً ، لوجب جعل المستقبل غاطساً في الوسط ذي القرينة n . ولكن يمكن أن يتم الإثبات بالطريقة التالية : إذا كان الوسط ذو القرينة n شفافاً تماماً ، فإن عامل النفوذ τ (نسبة التدفق الضوئي النافذ من خلال السطح إلى التدفق الوارد) ينبغي أن تكون قيمته مساوية :

$$\tau = 1 - \rho \quad [٨٠٨]$$

ويكون التدفق النافذ لدى اختراق صفيحة متوازية الوجهين مساوياً τ ، فيما إذا كان عامل الانعكاس هو نفسه عند الدخول وعند الخروج ، ويمكن بقياس الشدات الضوئية التحقق من أن الامر كذلك ، وبخاصة عند ورود الناظمي ، وذلك بأن يعطى القيمة المبينة في [٣،٨] .

٨ - ٤ . انعكاس الضوء الطبيعي ونفوقه :

أ) عرفنا (في الفقرة ٧ - ١ ب) أنه يمكن اعتبار الضوء الطبيعي مؤلفاً من اهتزازتين عرضيتين مستقطبتين استقطاباً مستقيماً في سمتين متعامدين فيما بينهما وغير مترابطتين ، أي أن سعة وطور كل منها يتغيران تغيراً سريعاً وعلى نحو مستقل في الواحدة منها عن الاخرى ، بحيث ان السعة الوسطى لكل منها تكون واحدة . ويمكن اختيار سمتي الاهتزازتين $\alpha_i = 0$ و $\alpha_i = 90$. وتكون قيمتا الشدتين المنعكستين كقيمتي شدتي الاهتزازتين E'_i و E''_i المعتبرتين في الفقرة ٨-٢ . ويكون لعامل انعكاس الضوء الطبيعي ρ_n العبارة التالية :

$$\rho_n = \frac{1}{2} (\rho' + \rho'') \quad [٩-٨]$$

وتستنتج هذه الصيغة أيضاً من [٤،٨] ، باعطاء $\cos^2 \alpha_i$ و $\sin^2 \alpha_i$ قيمتها

الوسطى المساوية $\frac{1}{2}$ (انظر الجزء الرابع ١١-٧) .

وبين المنحنى ρ_n في الشكل ٨ - ٤ تغير عامل الانعكاس من الهواء على الزجاج بدلالة زاوية الورود . ويعطي الجدول ٨ - ١ بعض قيم ρ_n وعامل النفوذ τ_n الذي يساوي $1 - \rho_n$ بافتراض ان الامتصاص مهمل .

الجدول ٨ - ١

عوامل الانعكاس والنفوذ عند ورود الضوء من الهواء على وسط شفاف قرينته ١,٥١ (الضوء الطبيعي)

i	0	20°	40°	50°	60°	70°	75°	80°	85°	90°
r	0	13°5'	25°10'	30°16'	34°45'	38°15'	39°30'	40°24'	40°56'	41°9'
ρ_n	0.043	0.043	0.05	0.06	0.09	0.16	0.26	0.39	0.62	1
τ_n	0.957	0.957	0.95	0.94	0.91	0.84	0.74	0.61	0.38	0

وتبين الاعداد السابقة لماذا يظل الزجاج شفافاً حتى ولو كانت زاوية الورود كبيرة : فعندما $i = 60^\circ$ مثلاً ، يمر من الزجاج قسم من التدفق الوارد يساوي $(0.91)^2 = 0.83$

حين يغمر جسم شفاف في وسط له القرينة نفسها ، فإنه لا يمكن رؤيته أو تمييزه (انظر تجربة الفقرة ٨ - ١ ب ، ٢) . ولكن هذا لا يحدث في الضوء الأبيض الا اذا كان التبدد بالانكسار هو نفسه من أجل الجسمين . وسنعود الى هذه النقطة في الفقرة ٩-١٣ .

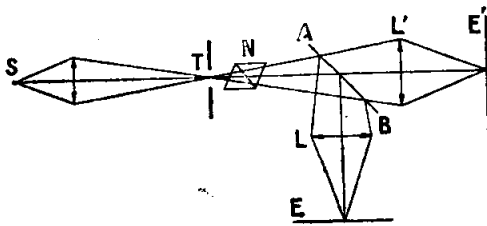
ب) إن اختلاف ρ عن ρ'' يؤدي الى استقطاب جزئي للضوء المنعكس والضوء النافذ. ففي الورود الناطمي يكون $\rho' = \rho''$ ، ويكون الضوء المنعكس طبيعياً . ولكن نظراً لان الاهتزازين تنعكسان مع اختلاف بالاشارة ، فإن

تجربة فينر (الفقرة ٨ - ٢ ج) ، تعطي نفس النتيجة كما في الضوء المستقطب . وعندما تزداد زاوية الورود ، تكون p' دائماً أقل من p'' (الشكل ٨ - ٥) : ويولد الانعكاس ضوءاً مستقطباً استقطاباً جزئياً تسود فيه الاهتزازة العمودية على مستوى الورود . وتكون قيمة درجة الاستقطاب (الفقرة ٧ - ٧) مساوية .

$$\bar{w}_r = \frac{p'' - p'}{p'' + p'} \quad [١٠٠٨]$$

وعندما $i = i_B$ ، ينعلم p' ، ويصبح الاستقطاب المستقيم للضوء المنعكس تماماً ، والاهتزازة فيه عمودية على مستوى الورود . وفي حالة الورود المماسي ($n_1 < n_2$) او الورود الحرج ($n_1 > n_2$) ، يكون $p' = p'' = 1$ ، ويظل الضوء الطبيعي طبيعياً بالانعكاس الكلي .

أما الضوء المنكسر فيكون طبيعياً في الورود النازمي ثم يصبح مستقطباً استقطاباً جزئياً تسود فيه الاهتزازة الضوئية الواقعة في مستوى الورود . وتزداد درجة الاستقطاب بازدياد i ، ولكنها لا تصل الى الواحد اطلاقاً .



٥ - بضاء ثقب T بضاء شديدة (الشكل ٨ - ١٤) ويسقط ضوءه على الصفحة الزجاجية AB ، وتكون العدستان L و L' ، بالحزمتين المنعكسة والبارزة ، خيالين للثقب على الحازمين E و E'

الشكل ٨ - ١٤ - المقارنة بين الضوء المنعكس على صفحة زجاجية والضوء النافذ منها

ونكون استنارة الخيال الاول ، عندما تكون AB مائلة بنحو ٥٥° ، أقل كثيراً من استنارة الخيال الثاني : وبالفعل ، فان عامل الانعكاس يكون من مرتبة ٠.٠٥٥ . لدى هذه القيمة للورود . وتختلف استنارة الخيالين عندما يوضع

خلف الثقب T نكول مقطب N ويُدار هذا النكول : وتصبح إحدى الاستقطابين عظمى في نفس الوقت الذي تصبح فيه الأخرى صغرى .

٥ - ٨ . النظرية الكهروطيسية في الانعكاس الزجاجي ، حالة الورود الناعمة .

(أ) إن النظرية الكهروطيسية تزودنا بمعادلات اجتياز بالنسبة الى مركبات الحقل الكهربائي والحقل المغناطيسي لموجة ضوئية تنتقل من وسط عازل ، أي شفاف ، الى وسط عازل آخر (الجزء السابع ، ٩ - ٧) . ينبغي أن تكون المركبتان المماسيتان للحقلين (الموازيان للسطح الفاصل) مستمرتين ، أي أن تكون لكل منهما القيمة نفسها على جانبي السطح . وتكون المركبتان الناعمتان (العموديتان على السطح) للانتقال الكهربائي وللتحريض المغناطيسي مستمرتين .

ففي جملة محاور الشكل ٨ - ٦ ، تكتب معادلات الاجتياز في حالة الورود الناعمة حيث الحقلان مماسيان كما يلي :

$$E_i + E_r = E_t \quad [١١،٨]$$

$$H_i + H_r = H_t \quad [١٢،٨]$$

وهاتان هما العلاقتان [١١،٩] و [١٢،٩] في الجزء السابع . إن العلاقات بين E و H من أجل موجة جيبية تسمح بوضع العلاقة الأخيرة (انظر الجزء السابع ، ٩ - ٩ ب) على الشكل :

$$c_2 (E_i - E_r) = c_1 E_t$$

أو :

$$n_1 (E_i - E_r) = n_2 E_t \quad [١٣،٨]$$

وينتج من [١١،٨] و [١٣،٨] أن :

$$\frac{E_i + E_r}{E_i - E_r} = \frac{n_1}{n_2}$$

وهذا يعطي :

$$\frac{E_r}{E_i} = - \frac{n_2 - n_1}{n_1 + n_2} \quad [١٤،٨]$$

و :

$$\frac{E_t}{E_i} = \frac{2 n_1}{n_1 + n_2} \quad [١٥،٨]$$

ويمثل الشكل ٨ - ١٥ ، في

لحظة معينة ، موجة جيبية E_i

تسقط ناظمياً على السطح الذي

أثره Σ ، والموجة المنعكسة E_r

والموجة النافذة E_t . ليكن IA

و IB و IC قيم E_i و E_r و E_t

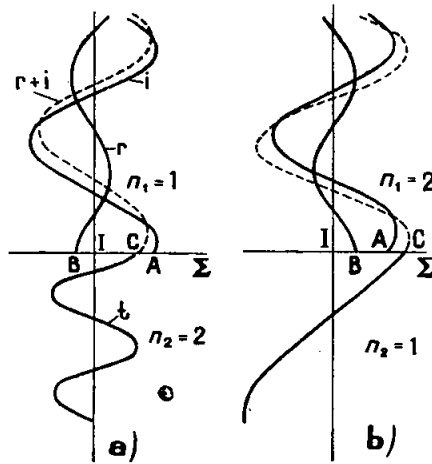
على Σ . فوفقاً للعلاقة [١١،٨]

يكون لدينا : $\overline{IC} = \overline{IA} + \overline{IB}$.

وقد افترض في الشكل ٨-١٥ ،

أن $n_1 = 1$ و $n_2 = 2$ ، ومنه

وفقاً للعلاقة [١٣،٨] :



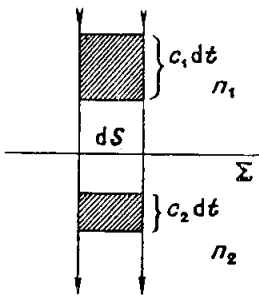
الشكل ٨ - ١٥ . موجات جيبية واردة
ومنعكسة ونافذة (الورد الناظمي)

$IB = \frac{IA}{3}$ و $IC = 2 \frac{IA}{3}$. ويمثل المنحنى المنقط المجموع $E_i + E_r$ ، أي الموجة

المستقرة المتكونة بالتداخل في الوسط الاول (يقارن ذلك مع الشكل ٩ - ٨

في الجزء السابع) .

ب) إذا ربعنا الصيغة [١٤،٨] نجد العبارة [٣،٨] لعامل الانعكاس ρ في الورد الناظمي الذي نحصل عليه تجريبياً . وللتحقق من العلاقة [٨،٨] التي تعطي عامل النفوذ τ ، ينبغي الانتباه إلى أن التدفق الذي يخترق المساحة dS من السطح Σ (الشكل ٨ - ١٦) ليست له العبارة نفسها في الوسطين ، لأن سرعة الانتشار ليست واحدة فيها . فوفقاً للصيغة [١٨،٩] في الجزء السابع يكون لدينا :



من أجل التدفق الوارد $\epsilon_1 c_1 E_i^2 dS$

ومن أجل التدفق المنعكس $\epsilon_1 c_1 E_r^2 dS$

ومن أجل التدفق النافذ $\epsilon_2 c_2 E_t^2 dS$

ويعطي المحفاظ التدفق مجموعه :

$$E_i^2 - E_r^2 = \frac{\epsilon_2 c_2}{\epsilon_1 c_1} E_t^2 =$$

$$= \frac{n_2}{n_1} E_t^2 \quad [١٦،٨]$$

الشكل ٨ - ١٦ -
المقارنة بين التدفقين الوارد
والنافذ (الورد الناظمي)

$$\frac{c_1}{c_2} = \frac{n_2}{n_1} \text{ و } \frac{\epsilon_1}{\epsilon_2} = \frac{n_1^2}{n_2^2} : \text{ ذلك لأن :}$$

$$1 - \rho = \frac{n_2}{n_1} \frac{E_t^2}{E_i^2} \quad \text{أو :}$$

ويمكن التحقق جيداً من صحة هذه العلاقة باستعمال قيمة $\frac{E_t^2}{E_i^2}$ المستنتجة من

[١٥،٨] ؛ فيكون لدينا :

$$\tau = \frac{4 n_1 n_2}{(n_1 + n_2)^2} \quad [١٧،٨]$$

٨-٦. — ماله ورود ما . صيغ فرنل :

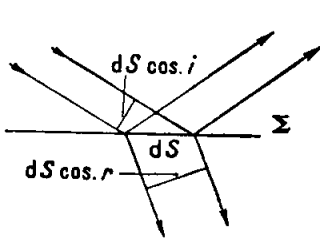
(أ) إن لشروط الاستمرار الخاصة بالحقل E في هذه الحالة صيغة مختلفة ، حسباً يتعلق الأمر بالمركبات E' أو E'' . لنفترض أن $n_2 > n_1$ ، فيكون لدينا مع مصطلحات الشكل ٨ - ٦ :

$$E'_i + E'_r = E'_t \quad [١٨،٨]$$

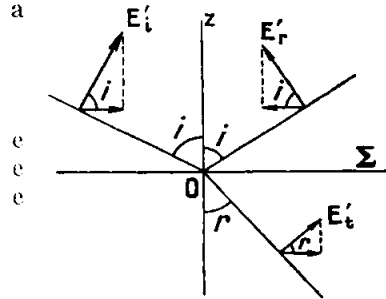
ومن جهة أخرى ، يُرى في الشكل ٨ - ١٧ ، وهو مرتمس الشكل ٨-٦ على مستوى الورد yOz ، أن :

$$E'_i \cos i - E'_r \cos i = E'_t \cos r^{(١)} \quad [١٩،٨]$$

(ب) وللتعبير عن انحفاظ التدفقات ، ينبغي أن يؤخذ بعين الحسبان أنه حين تكون زاوية الورد i ، يكون المقطع القائم لحزمة واردة تغطي مساحة dS من السطح Σ (الشكل ٨ - ١٨) مساوياً $dS \cos i$. ويكون لمقطع



الشكل ٨ - ١٨ . المقارنة بين التدفقين الوارد والنافذ (الورد المائل)



الشكل ٨ - ١٧ . مرتمس الشكل ٨-٧ على مستوى الورد xOz

(١) يلاحظ القارئ استعمال رموز كالرمز E_r من أجل الاهتزازة المنعكسة ، i من أجل زاوية الانعكاس ، ومن جهة أخرى E_t من أجل الاهتزازة النافذة ، r من أجل زاوية الانكسار . فإذا استعمل الرمز i_1 عوضاً عن i و i_2 عوضاً عن r ، فإن هذا يؤدي إلى كتابة E_{i1} عوضاً عن E_r الخ ... مما يثقل الرموز .

الحزمة المنعكسة القائم القيمة نفسها، بينما يكون مقطع الحزمة المنكسرة القائم مساوياً $dS \cos r$. فالحفاظ التدفق يعطي :

$$\epsilon_1 c_1 E_i^2 dS \cos i = \epsilon_1 c_1 E_r^2 dS \cos i + \epsilon_2 c_2 E_t^2 \cos r$$

ونحل مكان العلاقة [١٦،٨] العلاقة التالية :

$$(E_i^2 - E_r^2) \cos i = \frac{n_2}{n_1} E_t^2 \cos r \quad [٢٠،٨]$$

ومذه العلاقة الاخيرة مستقلة عن E_i . وينتج من تطبيقها على المركبات E''

وتركيبتها مع العلاقة [١٨،٨] أن :

$$(E_i'' - E_r'') \cos i = \frac{n_2}{n_1} E_t'' \cos r \quad [٢١،٨]$$

وبحذف E_t'' ما بين [١٨،٨] و [٢١،٨] نجد :

$$\frac{E_i'' + E_r''}{E_i'' - E_r''} = \frac{n_1 \cos i}{n_2 \cos r}$$

ومنه :

$$\sqrt{\rho''} = \frac{E_r''}{E_i''} = \frac{n_1 \cos i - n_2 \cos r}{n_1 \cos i + n_2 \cos r} \quad [٢٢،٨]$$

$$= - \frac{\sin (i - r)}{\sin (i + r)}$$

وذلك بالاستناد على قانون الانكسار .

وبحذف E_r'' نحصل على :

$$\frac{E_t''}{E_i''} = \frac{2 \cos i \sin r}{\sin (i + r)} \quad [٢٣،٨]$$

وعندما تطبق العلاقة [٢٠،٨] على مركبات E' وتقسم هذه العلاقة على [١٩،٨] حداً على حد ، ينتج ما يلي :

$$E'_i + E'_r = \frac{n_2}{n_1} E'_t \quad [٢٤،٨]$$

وبالتعويض في [١٩،٨] عن E'_t بقيمتها المستخرجة من هذه المعادلة الأخيرة نحصل على ما يلي :

$$(E'_i - E'_r) \cos i = \frac{n_1}{n_2} (E'_i + E'_r) \cos r$$

وبأخذ قانون الانكسار بعين الاعتبار نجد :

$$\sqrt{\rho'} = \frac{E'_r}{E'_i} = \frac{n_2 \cos i - n_1 \cos r}{n_2 \cos i + n_1 \cos r} = \frac{\operatorname{tg}(i-r)}{\operatorname{tg}(i+r)} \quad [٢٥،٨]$$

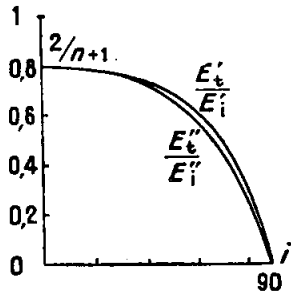
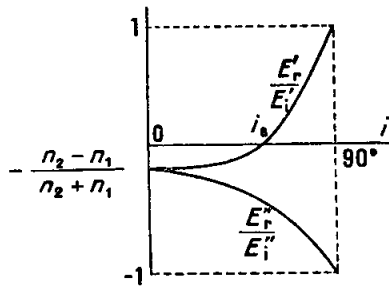
وبحذف E'_r بين [١٩،٨] و [٢٤،٨] نجد :

$$\begin{aligned} \frac{E'_t}{E'_i} &= \frac{2 \cos i \sin r}{\sin i \cos i + \sin r \cos r} = \frac{2 \cos i \sin r}{\frac{1}{2}(\sin 2i + \sin 2r)} \quad [٢٦،٨] \\ &= \frac{2 \cos i \sin r}{\sin (i+r) \cos (i-r)} \end{aligned}$$

ان الصيغ [٢٢،٨] و [٢٣،٨] و [٢٥،٨] و [٢٦،٨] هي صيغ فونل الخاصة بالانعكاس الزجاجي^(١).

ويمثل الشكلان ٨ - ١٩ و ٨ - ٢٠ تغيرات هذه العبارات الاربع من اجل الانتقال من الهواء الى وسط شفاف قربته $n = 1,51$.

(١) تاريخياً ، لم يتم الحصول على هذه الصيغ في البداية للنظرية الكهرومغناطيسية بل عن طريق آخر .

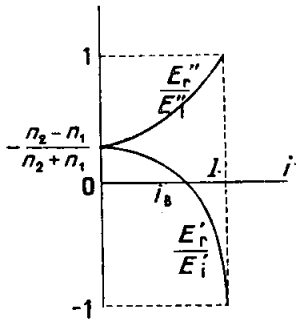
الشكل ٨-٢٠. تغيرات E'_r/E'_i الشكل ٨-١٩. تغيرات E'_r/E'_i

و E''_r/E''_i بدلالة i ، حالة $n_2 > n_1$

و E''_r/E''_i بدلالة i ، حالة $n_2 > n_1$

ويمثل الشكل ٨-٢١ تغير E'_r/E'_i و E''_r/E''_i في حالة الانعكاس على الهواء من

وسط قريبته $n = 1,51$.



٨-٧. مناقشة صيغ فرنل :

(أ) إن لعوامل الانعكاس والنفوذ المحسوبة بفضل صيغ فرنل القيمة نفسها ، عندما نبادل في آن واحد بين n_2 و n_1 وبين i و r ، نظراً

لكون هذه الصيغ متناظرة بالنسبة إلى i و r ، الشكل ٨-٢١. تغيرات E'_r/E'_i وهذا ما يتفق مع التجربة (الفقرة ٨-٣ ج) . و E''_r/E''_i بدلالة i ، حالة $n_2 < n_1$

وبصورة خاصة ، يكون للصيغة [٩٤٨] العبارة التالية :

$$\rho_n = \frac{1}{2} (\rho' + \rho'')$$

$$= \frac{1}{2} \left[\frac{\sin^2 (i - r)}{\sin^2 (i + r)} + \frac{\tan^2 (i - r)}{\tan^2 (i + r)} \right] \quad [٢٧٤٨]$$

ويكون الجدول ٨-١ صالحاً ما دام الضوء يسقط من الهواء على الوسط

ذي القوية n بزاوية ورود i ، أو من هذا الوسط على الهواء بزاوية ورود r مقابلة للزاوية i .

وعندما $i = 0$ ، تأخذ العلاقتان [٢٢،٨] و [٢٥،٨] صيغة عدم التعيين صفر صفر . ولكن عندما تكون i صغيرة ، يمكن إلباس القوس بالجيب وبالظل ، وكتابة قانون الانكسار بالشكل $i = nr$. ويُرى أنه يكون لدينا حينئذ :

$$\sqrt{\rho'} - \sqrt{\rho''} = \frac{i-r}{i+r} = \frac{n_2 - n_1}{n_2 + n_1} \quad [٢٨،٨]$$

وهي قيمة تتفق تمام الاتفاق مع [٣،٨] . إن اختلاف الاشارة بين سمات الاهتزازات التي تعالج ، في حالة الورد الناظمي ، بالطريقة نفسها عند الانعكاس (بسبب التناظر) ، فاجم عن الانجاء الذي اختير للمجتهات E في الشكل ٨-٦ : فعندما $i = 0$ ، تقع المتجهتان E'_i و E'_r ، في هذا الشكل ، إحداهما على امتداد الأخرى ، وذلك متفق مع التجربة (الشكل ٨-٨) ، بينما تأتي المتجهتان E'_i و E'_r فوق بعضهما ، في حين أن التجربة تدل على أنها متعاكستان (الشكل ٨-٧) ، ومن هنا أتت الاشارة - .

وعندما $i = \frac{\pi}{2}$ ، يمكن أن يثبت بسهولة أن $\rho' - \rho'' = 1$.

ب (إن صيغ فرنل تسمح بأن تكتب الصيغة [٨،٨] ، التي تعطى سمات اهتزازة مستقيمة منعكسة بعد معرفة سمات الاهتزازة المستقيمة الواردة ، على الصورة التالية :

$$\text{tg } \alpha_r = \frac{\cos (i-r)}{\cos (i+r)} \text{tg } \alpha_i \quad [٢٩،٨]$$

فعندما $i = 0$ ، يكون $\alpha_r = \alpha_i$ ؛ وعندما $i = \frac{\pi}{2}$ ، يكون $\alpha_r = -\alpha_i$

إن السم α_i للاهتزازة النافذة ، الناجمة عن اهتزازة مستقيمة واردة α_i ، يعطى بصيغة مماثلة للصيغة [٧،٨] :

$$\operatorname{tg} \alpha_i' = \frac{E_i'}{E_i} \operatorname{tg} \alpha_i$$

التي تسمح صيغ فرنل بتحويلها الى :

$$\operatorname{tg} \alpha_i' = \cos(i-r) \operatorname{tg} \alpha_i \quad [٣٠،٨]$$

ويمثل الشكل ٢٢-٨ تغيرات α_r و α_i بدلالة

زاوية الورود ، عندما $\alpha_i = \frac{\pi}{4}$ في حالة كون

$$\left(\frac{n_2}{n_1} = 1,51 \right) \text{ (انظر الشكل ٨-٩)}$$

ويمكن التحقق تجريبياً من صحة العلاقة [٨ ،

٣٠] باستعمال النفوذ من خلال صفيحة متوازية

الوجهين . ونظراً لأن الزاويتين i و r هما نفسها

عند الدخول وعند الخروج وتدخلان في العلاقة

بصورة متناظرة ، لان $\cos(i-r) = \cos(r-i)$ ،

فإن السم α_i' للاهتزازة التي تبرز من الصفيحة يعطى

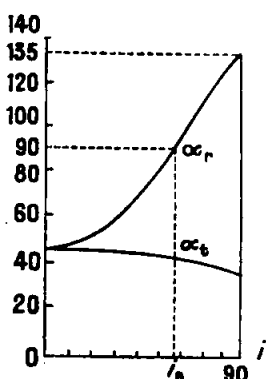
بالعلاقة التالية :

$$\operatorname{tg} \alpha_i' = \cos(i-r) \operatorname{tg} \alpha_i = \cos^2(i-r) \operatorname{tg} \alpha_i \quad [٣١،٨]$$

٥- توضع صفيحة متوازية الوجهين ، مصنوعة من زجاج خال تماماً من التورات

بين نكولين متعامدين ، وتسقط عليها ناظماً حزمة متوازية من الضوء ، فينطفيء

هذا الضوء ؛ ولكن اذا اميلت الصفيحة على منحى الحزمة ، فإن الضوء يعود الى



الشكل ٢٢-٨ . - تغيرات

α_r و α_i بدلالة i ، عندما

$$\alpha_i = \pi/4$$

الظهور الا اذا كانت الاهتزازة واقعة في مستوى الورود ($\alpha_i = 0$) أو كانت عمودية على هذا المستوى ($\alpha_i = \frac{\pi}{2}$) . ويمكن اعادة انطفاء الضوء بإدارة المحلل .

ج (إن درجة استقطاب الضوء الناجم عن انعكاس الضوء الطبيعي المعرفة بالعلاقة [١٠،٨] ، يمكن التعبير عنها بما يلي :

$$\bar{\omega}_r = \frac{\hat{r}'' - \hat{r}'}{\hat{r}'' + \hat{r}'} = \frac{\cos^2 (i - r) - \cos^2 (i + r)}{\cos^2 (i - r) + \cos^2 (i + r)} \quad [٢٢،٨]$$

وهي تنعدم عندما $i = 0$ ، $r = 0$ وعندما $i = \frac{\pi}{2}$ ، $r = l$.

٨ - ٨ . — الاستقطاب بالانعكاس ، الورود البروستري :

إن الاستقطاب المستقيم بالانعكاس ، المشار إليه في الجزء الرابع ، ٢ - ٩ ، تنبىء به صيغ فرنل . ويمكن للنسبة [٢٥،٨] أن تنعدم إذا كان $\text{tg}(i + r)$ يساوي ∞ مع بقاء $\text{tg}(i - r)$ محدود القيمة . لتكن r_B و i_B القيمتين الموافقتين الى i و r ؛ حيث i_B هي زاوية بروستر . فيكون :

$$i_B + r_B = \frac{\pi}{2} \quad [٣٢،٨ \text{ مكرر}]$$

إن الشعاع المنعكس يكون عمودياً على الشعاع المنكسر في حالة الورود البروستري . ويعطي قانون الانكسار

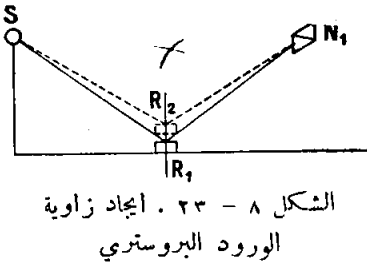
$$n_1 \sin i_B = n_2 \sin r_B = n_2 \cos i_B$$

ومنه :

$$\text{tg } i_B = \frac{n_2}{n_1} \quad [٣٣،٨]$$

وعندما $n_1 = 1$ و $n_2 = 1,51$ ، تكون قيمة i_B المحسوبة والتي تساوي $56^\circ 29'$ على اتفاق جيد مع القيمة المقاسة .

ولما كانت الاهتزازة الأصلية E_i' لا تنعكس في حالة الورود البروستري ، فإنه ينتج أنه إذا سقطت حزمة من الضوء الطبيعي على مرآة مصنوعة من مادة زجاجية بورود بروتستري ، فإن الحزمة المنعكسة تكون مستقطبة استقطاباً مستقيماً ، ويكون منحنى الاهتزازة فيها ناظماً على مستوى الورود (الجزء الرابع ، ٢ - ٩) . إن العلاقة [٣٢٨] تعطى تماماً $\bar{w}_r = 1$ عندما $i + r = \frac{\pi}{2}$.



-٥- يجعل منبع S ذو أبعاد صغيرة (الشكل ٨ - ٢٣) على ارتفاع معروف فوق سطح الماء ($n = 1,33$) الموجود في كأس صغيرة R_1 . ويفتش بالتلمس بتنقيل R_1 ، عن وضع الورود (53°) الذي يمكن عنده إطفاء الحزمة

المنعكسة بمحلل N_1 . وتجري التجربة ذاتها باستعمال النفتالين وحيد البروم ($n = 1,62$) أو محلول مركز من أيود زئبقات البوتاسيوم ($n = 1,73$) فيحصل على وضع لـ R_2 يوافق وروداً مختلفاً اختلافاً واضحاً (58° في الحالة الأولى و 60° في الثانية) . وهكذا يمكن قياس $\text{tg } i_B$ قياساً تقريبياً .

إن الصيغة [٢٥٨] تدل على أن تغير اشارتها بانعدامها عندما $i = i_B$ ، وهذا ما يفسر تغير الطور الذي يبينه الشكل ٨ - ١٠ .

وتدخل القربنة في النتائج التي 'تستنتج من صيغ فرنل ؛ ولكنها تختلف قليلاً جداً مع طول الموجة ، بحيث أن جميع ألوان الضوء الأبيض يصيها

نفس المصير تقريباً . والورود البروستري بصورة خاصة يكاد يكون مستقلاً عن اللون .

٥ - وينتج أيضاً أنه إذا كان الضوء الوارد أبيض اللون ، فإن الضوء المنعكس والضوء البارز يكونان أيضاً أبيض اللون ؛ حتى ولو استعملت صفيحة زجاجية ملونة (بالامتصاص) فإن كلاً من الضوءين البارز والمنعكس يظل أبيض اللون .

ويستعمل الاستقطاب بالانعكاس في جهاز نورنبرغ (Norrenberg) (الجزء الرابع ، ١٤ - ٥) . على أن لهذا الاستقطاب محذوراً هو أنه يحدث انحرافاً للأشعة غير مناسب ، كما يسبب ضياعاً كبيراً في التدفق . ويتبين من الشكل ٨ - ٤ ، أنه يبقى بعد الانعكاس البروستري على الزجاج نحو ٠.٠٨ من التدفق الوارد . ولهذا نبذت هذه الطريقة في الاستقطاب ، في الطيف المرئي وفي ما فوق البنفسجي وما تحت الأحمر القريبين من هذا الطيف ، واستعملت المقطبات ذات الانكسار المضاعف أو ذات الألوان المتعددة (التلوانية) بدلاً من ذلك . ولكن الاستقطاب بالانعكاس لا زال يؤدي خدمات في ما فوق البنفسجي وما تحت الأحمر البعيدين عن الطيف المرئي ، حيث يتمتع استعمال البلورات ذات الانكسار المضاعف بسبب الامتصاص . ويستعمل ، في حالة الأطوال الموجية التي تزيد عن ٣ ميكرونيات بصورة خاصة ، مواد كالسيلينيوم والجرمانيوم التي تتمتع بقرينة انكسار عالية ، وبالتالي بعامل انعكاس أكبر من عامل انعكاس الأجسام الشفافة في الضوء المرئي .

هذا ويمكن إثبات وجود زاوية بروستر في حالة الأمواج الهرتزية وذلك يجعلها تنعكس على سطح جسم عازل كالكبريت .

٨ - ٩ . - الاستقطاب بالانكسار :

(أ) يلاحظ في الشكل ٨ - ٢٠ أن شدة كل من الاهتزازتين الاصليتين

الناذتين تتناقص بانتظام عندما تزداد زاوية الورود ، دون ان تنعدم أي منها وحدها . فالضوء النافذ إذن لا يكون أبداً مستقطباً استقطاباً تاماً ، وليس هناك بوجه خاص أي ميزة للورود البروستري .

ويُعبّر عن النسبة بين عاملي النفوذ τ (من أجل E'') و τ' (من أجل E') بالعبارة التالية :

$$\frac{E_t'^2}{E_t''^2} = \cos^2 (i - r) \quad [٣٤'٨]$$

وتكون قيمة درجة استقطاب الضوء النافذ مساوية :

$$\bar{\omega}_t = \frac{\tau'^2 - \tau''^2}{\tau'^2 + \tau''^2} = \frac{1 - \cos^2 (i - r)}{1 + \cos^2 (i - r)} \quad [٣٥'٨]$$

وتنعدم $\bar{\omega}_t$ عندما $i = 0$ ، وتزداد باستمرار مع i حتى تصل القيمة $\frac{n_2^2 - n_1^2}{n_2^2 + n_1^2}$ عندما $i = 90^\circ$ ، $\sin r = \frac{n_1}{n_2}$. ولكن شدة الضوء النافذ الكلية تنقص في الوقت نفسه وتنعدم عندما $i = 90^\circ$ (الشكل ٨ - ٢٠) .

ب) ومع ذلك يمكن تحقيق مقطبات يستفاد منها عملياً ، وذلك بإمرار الضوء الطبيعي بورود مائل من خلال مجموعة من صفائح رقيقة شفافة ذات أوجه مستوية ومتوازية تفصل بينها طبقات من الهواء . فبعد اختراق صفيحة واحدة تكون النسبة بين شدتي الاهتزازتين الاصليتين مساوية :

$$\left(\frac{E_t'}{E_t''} \right)^4 = \cos^4 (i - r)$$

وباستعمال الورود البروستري يكون :

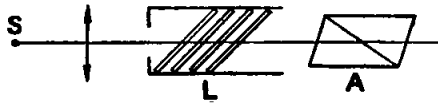
$$\left(\frac{E_t'}{E_t''} \right)^4 = \sin^4 2 i_B = \left(\frac{2n}{n^2 + 1} \right)^4$$

فعندما $n = 1,51$ ، تكون قيمة العبارة السابقة مساوية ٠,٧٢٥ ، وبعد

اختراق خمس صفائح تصبح نسبة الشدتين $(0.725) = 0.20$ ودرجة الاستقطاب 0.66 . ويمكن اثبات أن الورد البروستري هو الاكثر فائدة من حيث أنه يعطى أعلى قيمة لنسبة النفوذ من أجل إضعاف معين للتدفق الورد . وتكون الاهتزازة السائدة في الضوء النافذ واقعة في مستوى الورد .

- ٥ - يمكن إظهار المفعول المقطب لمجموعة من الألواح الزجاجية L بتضيد نحو عشر من ساترات الجسم بعضها فوق بعض (المجلد الرابع ، ٢٠ - ١) وإحاطها بمحلل A (الشكل ٨ - ٢٤) .

إن الاستقطاب بالانكسار لا يغير من منحنى الحزمة الواردة ، ولكنه



الشكل ٨ - ٢٤ . الاستقطاب
بمجموعة الألواح

يضعفها كثيراً . ولم تعد هذه الطريقة تتبع إطلاقاً في الضوء المرئي ، وإنما تستعمل في ما تحت الأحمر مع صفائح من كلور الفضة . ويمكن إظهار الاستقطاب

بالانكسار في حالة الامواج الممرتية باستعمال ركام من صفائح البارافين .

ويمكن استخدام الاستقطاب الناجم عن اختراق صفيحة ما لقياس درجة استقطاب حزمة ضوئية : 'تجعل حزمة الضوء هذه تخترق صفيحة يغير ميلها حتى تصبح المر كبتان الاصليتان في الضوء البارز متساويتين . وتستنتج النسبة ω من زاوية الميل . ويسمى الجهاز كاشف الاستقطاب .

٨ - ١٠ . — نظرية الانعكاس السطحي . متوازي المستطيلات لفرينل .

أ) لنسع في ان ثبت نظرياً النتائج التجريبية المينة في الفقرة ٨ - ٣ . يبدو لأول وهلة ، أن صيغ فرنل لا يمكن استعمالها بعد الانعكاس

الكلي . وبالفعل فإن قانون الانكسار يعطى عندما $i > l$ قيا لـ $\sin r$ تزيد عن الواحد ، وهي قيم لا تقابلها أية زاوية r . ومع ذلك لنحتفظ بـ $\sin r$ في صيغ فرنل . إن الكمية $\cos r = \sqrt{1 - \sin^2 r}$ هي الجذر التربيعي لكمية سالبة ، فهي إذن وهمية ويمكن كتابتها كما يلي :

$$\cos r = \pm j \sqrt{\sin^2 r - 1} = \pm j \sqrt{\frac{n_1^2 \sin^2 i}{n_2^2} - 1} \quad (j = \sqrt{-1}) \quad [٣٦،٨]$$

وسوف نرى في الفقرة ٨ - ١٢ ، أن من المناسب اختيار الجذر السالب . وفي ظل هذه الشروط ، تصبح الصيغتان [٢٤،٨] و [٢٥،٨] على الترتيب كما يلي ، وذلك بوضع $\frac{n_2}{n_1} = n$:

$$E'_r = \frac{n_1 \cos i - n_2 \cos r}{n_1 \cos i + n_2 \cos r} E_i = \frac{\cos i + j \sqrt{\sin^2 i - n^2}}{\cos i - j \sqrt{\sin^2 i - n^2}} E_i \quad [٣٧،٨]$$

$$E'_r = \frac{n_2 \cos i - n_1 \cos r}{n_2 \cos i + n_1 \cos r} E_i = \frac{n^2 \cos i + j \sqrt{\sin^2 i - n^2}}{n^2 \cos i - j \sqrt{\sin^2 i - n^2}} E_i \quad [٣٨،٨]$$

إذن فر كتبنا الاهتزازتين الاصليتين المنعكستين فيما بعد الزاوية الحرجة هما مقداران عقديان . وهذا يعني ، كما هو معروف (الجزء السابع ، ٢ - ٧) أنها فيها بالنسبة للاهتزازتين الواردتين E_i و E'_i فرقاً في الطور معيناً ، وأنه يمكن كتابة :

$$E'_r = K'' E_i \exp(-j \varphi'') \quad \text{و} \quad E'_r = K' E_i \exp(-j \varphi')$$

لنلاحظ أن النسبتين $\frac{E'_r}{E_i}$ و $\frac{E'_r}{E_i}$ الشكل $\frac{A+jB}{A-jB}$ ، حيث الصورة والمخرج

مقداران عقديان متزاوجان . ولهذين المقدارين نفس الطويلة $\sqrt{A^2 + B^2}$ ، بحيث أن حاصل قسمة الطويلتين يساوي الواحد : فهناك تماماً انعكاس كلي . ويكون لدينا :

$$E_r' = E_i' \exp(-j\varphi''). \quad E_t' = E_i' \exp(-j\varphi')$$

ويكون دليل $A + jB$ هو $\exp(j\alpha)$ حيث $\alpha = \frac{B}{A}$. أما دليل

$\frac{A + jB}{A - jB}$ فهو $\exp(2j\alpha)$ ؛ فينتج من ذلك أن فرقي الطور: $\varphi' = 2\alpha'$ و $\varphi'' = 2\alpha''$ ، حيث:

$$\operatorname{tg} \frac{\varphi''}{2} = \frac{\sqrt{\sin^2 i - n^2}}{\cos i}, \quad \operatorname{tg} \frac{\varphi'}{2} = \frac{\sqrt{\sin^2 i - n^2}}{n^2 \cos i} \quad [٣٩١٨]$$

ويكون بين الاهتزازتين الاصليتين المنعكستين انعكاساً كلياً فرق في الطور

$\varphi = \varphi' - \varphi''$ يعطى بالعلاقة:

$$\operatorname{tg} \frac{(\varphi' - \varphi'')}{2} = \operatorname{tg} \frac{\varphi}{2} = \operatorname{tg} \frac{\operatorname{tg} \varphi' - \operatorname{tg} \varphi''}{1 + \operatorname{tg} \varphi' \operatorname{tg} \varphi''} = \frac{\cos i \sqrt{\sin^2 i - n^2}}{\sin^2 i} \quad [٤٠١٨]$$

وتعتمد φ عندما $\sin i = \frac{n_2}{n_1}$ ، أي $i = i_c$ ، وعندما $\cos i = 0$ ، أي

$i = \frac{\pi}{2}$ ، ويمر φ بنهاية عظمى عندما $\frac{d}{di} \operatorname{tg} \left(\frac{\varphi}{2} \right) = 0$ ، أي من أجل زاوية

$$\sin^2 i_m = \frac{2n^2}{1+n^2}$$

وقيمة هذه النهاية العظمى تساوي:

$$\operatorname{tg} \frac{\varphi_m}{2} = \frac{1-n^2}{2n} \quad [٤١٠٨]$$

إن لتغير φ بدلالة i المظهر الذي يبينه الشكل ٨ - ١٣ تماماً، وذلك فيما

بعد الزاوية الحرجة. وتعرض التحقيق التجريبي الكمي الصعوبات المشار إليها

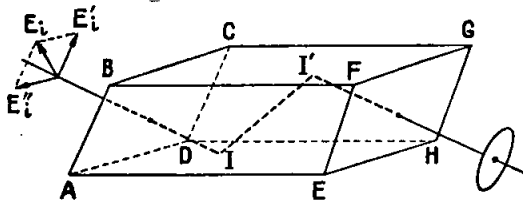
في الفقرة ٨ - ب.

(ب) متوازي المستطيلات لقولن.

إن هذا الجهاز تطبيق للصيغ السابقة. فعندما $n = 1.51$ ، نجد $i_m = 51^\circ 20'$

و $\varphi_m = 134^\circ 8' = 180^\circ - 45^\circ 52'$. إن قيمتي i المساويتين على التوالي $48^\circ 37'$ و $54^\circ 37'$ توافقان فرقاً في الطور يساوي 45° بين الاهتزازتين الاصليتين المنعكستين انعكاساً كلياً .

يصنع متوازي المستطيلات لفرنل من مادة شفافة متماثلة المناحي ABCDEFGH



(الشكل ٨-٢٥) ؛ فإذا

كان مصنوعاً من الزجاج

السابق الذكر ، كانت

الزاوية $\widehat{BAE} = 54^\circ 37'$.

إن الحزمة الضوئية الشكل ٨-٢٥ . متوازي المستطيلات لفرنل

المتوازية التي تسقط ناظماً على الوجه ABCD تعاني أول انعكاس كلي عند I على الوجه AEHD ثم انعكاساً كلياً ثانياً عند I' على الوجه BFGC الموازي للوجه السابق ، ثم تبرز ناظماً من الوجه EFGH . فإذا كانت الحزمة الواردة مستقطبة استقطاباً مستقيماً بحيث تصنع اهتزازتها E_i زاوية $\alpha_i = 45^\circ$ مع مستوى الورود (الذي هو مستوى تناظر متوازي المستطيلات) ، فإن المركبتين E' و E'' تكونان متساويتين ، ويكون بينهما لدى بروزهما من الجهاز فرق في الطور φ يساوي $2 \times 45^\circ = 90^\circ$ بعد انعكاسين: فالاهتزاز البارزة هي اهتزازة دائرية (الفقرة ٧-٣ و) ، كما لو أن الاهتزازة الواردة اخترقت صفيحة ربع موجية ، خطها المعتدل ذو القرينة الصغرى يوازي مستوى تناظر متوازي المستطيلات .

ويستعمل هذا الجهاز للحصول على ضوء مستقطب استقطاباً دائرياً ، وهو يصنع في حالة ما فوق البنفسجي من السيليس المنصهر . ومحدوره أنه يحدث انزياحاً في الحزمة الواردة ، وميزته أنه أفضل بكثير من الصفائح البلورية من حيث وحدانية اللون .

٨ - ١١ . — الموجات المنعكسة .

قد يبدو أن الوسط الثاني ، في حالة الانعكاس الكلي ، لا تخترقه الموجات الضوئية التي تترد بكليتها الى الوسط الاول . ولكن الأمر ليس كذلك إطلاقاً : فوفقاً للعلاقة [٣٩,٨] ، يختلف فرق الطور بين الموجة الواردة والموجة المنعكسة عن π بوجه عام ، ولا يكون لدينا $E_r = -E_i$ في كل لحظة من الزمن . فهناك إذن وفقاً للعلاقة [١١,٨] ، موجة نافذة ، ولكننا سنرى أنها ذات طبيعة خاصة .

يمكن تمثيل موجة مستوية ساقطة على السطح Σ (الشكل ٨ - ٦) بزاوية ورود i بالعبرة العقدية التالية (انظر الجزء السابع ، ٩ - ٣ و ٩ - ١٢) :

$$E_i = E_{mi} \exp \left[-j \frac{\omega}{c_1} (y \sin i + z \cos i) \right] \quad [٤٢,٨]$$

أخذين بعين الحسبان التأخر العائد الى الانتشار بالسرعة c_1 على طول مسار شعاع مر كبتاهما y و z . ويمثل الموجة المنكسرة ، في حالة كون r زاوية حقيقية ، بالعبرة التالية :

$$E_i = E_{mi} \exp \left[-j \frac{\omega}{c_2} (y \sin r + z \cos r) \right] \quad [٤٣,٨]$$

لندخل في هذه العبرة الاخيرة القيمة $\sin r = \frac{\sin i}{n}$ وقيمة $\cos r$ المعطاة بالعلاقة [٣٦,٨] عندما يكون الانعكاس كلياً ، فينتج :

$$E_t = E_0 \exp \left[-j \frac{\omega}{c_2} \left(\frac{y \sin i}{n} \pm j z \sqrt{\frac{\sin^2 i}{n^2} - 1} \right) \right]$$

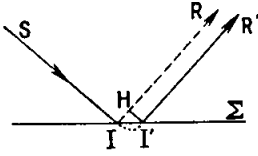
أو :

$$E_t = E_0 \exp \left[-j \frac{\omega}{nc_2} x \sin i \right] \exp \left[\pm \frac{\omega z}{c^2} \sqrt{\frac{\sin^2 i}{n^2} - 1} \right] \quad [٤٤,٨]$$

إن الحد الأساسي الاول الوهمي يمثل عامل طور الموجة . أما الحد الأساسي الثاني ، وهو حقيقي ، فيمثل تزايد السعة أو تناقصها . وواضح أنه لا يمكن أن يكون ذلك إلا تناقصاً ، وينبغي اختيار الإشارة - في العبارة [٣٦,٨] .

إن للموجة الممثلة بالعبارة [٤٤,٨] مستويات سعة ثابتة (ثابت z) موازية للسطح الفاصل Σ ، ومستويات طور ثابت (ثابت y) عمودية على Σ . وهذه المستويات لا ينطبق بعضها على بعض ، والامر هنا يتعلق بموجة خاصة جداً تسمى الموجة المتلاشية .

عندما $\sin i = n$ ، أي عندما تساوي زاوية الورود الزاوية الحرجة l ، ينعدم الحد الأساسي الحقيقي : وتنتشر الموجة النافذة كموجة عادية موازية للسطح Σ . فهذا السطح يقوم بدور دليل الموجة (الجزء السابع ، ٩ - ١٢) . وحين تصبح زاوية الورود أكبر من l ، تخترق الموجة الوسط الثاني وتعود إلى الاول .



الشكل ٨ - ٢٥ . مكرر
الانعكاس الكلي

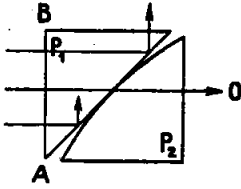
٥- لقد أمكن التحقق ، باستعمال حزمة ضيقة جداً من الأشعة ، أن الانعكاس الكلي لشعاع وارد SI (الشكل ٨ - ٢٥ مكرر) لا يتم وفق IR بل وفق $I'R'$ ، الموازي إلى IR والواقع على بعدٍ منه $I'H$ يزداد في وقت واحد مع عمق الاختراق . وهذا العمق ضئيل دائماً . فبعد مسارٍ يساوي :

$$z = \frac{c_2}{\omega \sqrt{\frac{\sin^2 i}{n^2} - 1}} = \frac{\lambda_2}{2\pi \sqrt{\frac{\sin^2 i}{n^2} - 1}} \quad [٤٥,٨]$$

والذي هو إذن من مرتبة طول الموجة λ_0 ، تنقص السعة إلى $\frac{1}{e}$ من قيمتها .

٥- ويمكن اثبات اختراق الموجة هذا الى الوسط الثاني بالتجربة التالية :

يلصق موشوران زجاجيان قائمان من وجهيهما الوترين (الشكل ٨ - ٢٦) ، اللذين يكون أحدهما P_1 مستوياً والآخر P_2 كروياً نصف قطر انحنائه كبير . تسقط حزمة متوازية من الضوء ناظماً على AB .

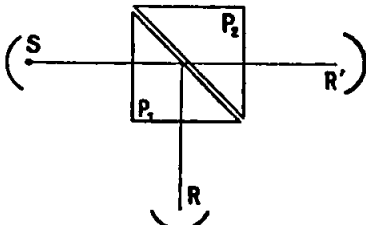


الشكل ٨-٢٦
الوجة المتلاشية

فالنظر الواقع عند O يلاحظ قرصاً مضاءً اضاءة شديدة يوافق الجزء المركزي من سطح التماس بين الموشورين ؛ ويكون القرص محاطاً بحلقة أقل منه إضاءة ، وهي توافق المنطقة التي تكون فيها طبقة الهواء الفاصلة بين الموشورين من الرقة بحيث يظل للموجة الواصلة الى الموشور P_2 سعة محسوسة ، فتنشتر

فيها كأنها موجة عادية . وقد وجد أن هذا النخن يبلغ عدداً صغيراً من أطوال الموجة . ولكل لما كانت الصيغة [٤٥، ٨] تدل على أن z تزداد بازدياد λ_2 ، فإن الحلقة في التجربة السابقة تظهر مائلة الى الحمراء بالنفوذ ومائلة الى الزرقة بالانعكاس .

٥- يمكن تحقيق التجربة بسهولة باستعمال موشورين قائمين كبيرين من البارافين وحزمة متوازية من الموجات الهرتزية التي يبلغ طول موجتها بضعة ديسمترات ، ويجعل المرسل S والمستقبل R كما هو مبين في الشكل ٨ - ٢٧ ، ويقرب



الشكل ٨-٢٧ - الموجة المتلاشية
(حالة الامواج الهرتزية)

الموشور P_2 بحيث يصبح وجهه الوتري موازياً للوجه الوتري في الموشور P_1 . فمن أجل مسافة تبلغ بضعة سنتمترات تضعف استجابة المستقبل R كثيراً ، ويظهر المستقبل الموضوع في R' أن الموجة قد برزت من الموشور P_2 .

وقد لاقت التجارب من هذا النوع بعض التطبيقات ، فبتغيير نخن طبقة

الهواء الفاصلة المتوازية الوجهين ، يمكن تعديل وتكييف شدة ما ينفذ من ما تحت الاحمر وبذلك يتم إرسال الاشارات . ومن جهة أخرى ، فإن صفيحة هوائية ذات ثخن معين ترسل الشعاعات على نحو افضل كلما كبر طول موجتها ، كما رأينا فيما سبق : وقد استفيد من هذه الخاصة للفصل بين الشعاعات المختلفة في إشعاع ما تحت الاحمر .

وهناك بعض اجهزة إضاءة ما فوق المجهرية (الجزء الرابع ، ٢٠ - ٨) مبنية على أساس الانعكاس الكلي من الزجاج على الهواء . فالجسيمات الموضوعة على سطح الزجاج تعرج الضوء الذي يخترق الزجاج الى الهواء^(١) .

ب : الانعكاس على الاوساط الماصة المتائلة المنحني (الانعكاس المعدني)

إن الاعتبارات التالية تتعلق بالانعكاس على سطح جسم ، كالمعدن مثلاً ، يمتص من الضوء ما يكفي لأن يجعل عمق ما يخترقه من الجسم لا يتجاوز كسراً من طول الموجة (الفقرة ٨-١١) .

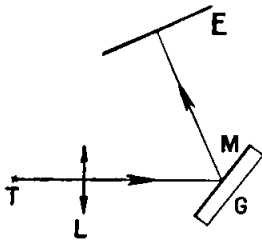
٨-١٢ . — النتائج التجريبية :

إن المقارنة بين التدفق المنعكس والتدفق الوارد بقياس شدة الضوء ، وتحليل الاهتزازة المنعكسة يؤيدان ، إذا أُجرياً كما ذكرنا في الفقرة ٨ - ١ الى النتائج التالية :

(١) لن نعالج انعكاس الضوء على الاوساط غير المتائلة المنحني . ولنقتصر على الاشارة الى أنه ، حتى في الورود الناطمي ، يمكن أن يتوقف عامل الانعكاس على سمت الاهتزازة ، فيما اذا كان السطح العاكس سطح بلورة ثنائية المحور ، أو سطح بلورة أحادية المحور غير عمودي على المحور الضوئي (انظر الشكل ١١-١٧) .

أ - في حالة الورود الناظمي يكون عامل الانعكاس في المعادن اكبر كثيراً من عامل الانعكاس في الاجسام الشفافة . وهو ينتهى الى الواحد ، كما هو الامر في الاجسام الشفافة ، عندما يصبح الورود بماسياً .

٥- تكون العدسة L على حاجز خيال الثقب T المضاء بضوء طبيعي ، بعد الانعكاس على لوح زجاجي G ، غطي نصفه بطبقة M من الفضة او الالمنيوم (الشكل ٨-٢٨) . فحين يزاح اللوح G في مستويه ، نحصل بالتوالي على الخيال



الذي يعكسه الزجاج أو الذي يعكسه المعدن . وتكون استنارتا الخيالن مختلفين اختلافاً كبيراً عندما يكون الورود على G قريباً من الناظمي ؛ ويتضاءل هذا الاختلاف عند زوايا الورود الكبيرة .

الشكل ٨-٢٨ .

المقارنة بين الانعكاس الزجاجي والانعكاس المعدني

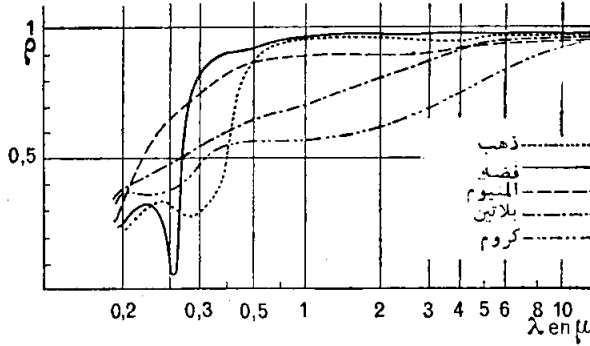
ب) يختلف عامل الانعكاس من اجل معدن معين ، باختلاف طول الموجة . فعندما يكون الاختلاف كبيراً في الطيف المرئي ، يكون المعدن ملوناً (كالنحاس والذهب) ، ولكن

حتى ولو لم يكن المعدن ملوناً ظاهرياً ، فإن اللون يبدو بعد بضعة انعكاسات .

٥ - إذا نظر الى خيال نقطة مضيئة بيضاء في مرآتين متوازيتين ، ظهر هذا الخيال بلون أحمر واضح . ويحدث مثل ذلك عندما يُنظر الى الخيال الناجم عن انعكاسات متعددة على وجهي لوح زجاجي فضض أحدهما .

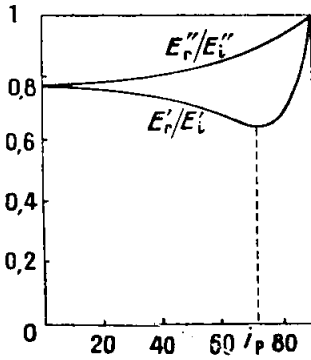
وبمثل الشكل ٨-٢٩ تغير عامل الانعكاس في معادن مختلفة بدلالة طول الموجة وذلك في حالة الورود الناظمي .

ج) في حالة الضوء المستقطب ، تزداد النسبة $\frac{E_r''}{E_i''}$ من أجل الاهتزازة الاصلية



الشكل ٨ - ٢٩ . تغير عامل الانعكاس في معادن مختلفة ،
في حالة الورود الناطي ، بدلالة طول الموجة

العمودية على مستوى الورود ، ازدياداً منتظماً مع زاوية الورود كما هو الامر في الانعكاس الزجاجي (الشكل ٨ - ٣٠) ؛ أما النسبة $\frac{E_r'}{E_i'}$ فتمر بنهاية صغرى



الشكل ٨ - ٣٠ . تغيرات E_r'/E_i' و E_r''/E_i'' بدلالة i (الانعكاس المعدني) .

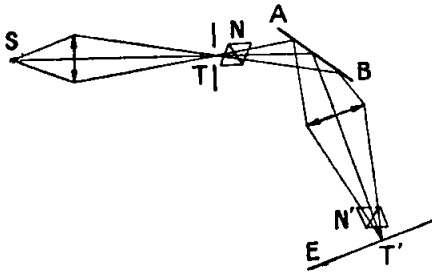
من أجل زاوية ورود i_p تسمى زاوية الورود الاصلية . ولكن هذه النهاية الصغرى ليست منعدمة كما هو الحال في الورود البروستري في الانعكاس الزجاجي . لذلك لا يمكن بالانعكاس المعدني الحصول على ضوء مستقطب استقطاباً مستقيماً ، وإنما على ضوء مستقطب جزئياً .

(د) إذا كان الضوء الوارد مستقطباً استقطاباً مستقيماً فإن الضوء المنعكس

لا يكون كذلك من أجل كل زوايا الورود إلا إذا كانت الاهتزازة الواردة موازية لمستوي الورود أو عمودية عليه . أما من أجل السموت الاخرى α_i

للاهتزازة الواردة ، فإن الاهتزازة المنعكسة لا تكون مستقيمة إلا في الورود الناطمي أو الورود المماسي ؛ وفيما بين ذلك تكون إهليلجية .

٥- يرسل ثقب T الضوء على صفيحة زجاجية AB مغطاة بالبلاطين (الشكل



الشكل ٨-٣١ . دراسة حالة استقطاب الضوء المنعكس على معدن

٨ - ٣١) ، وتكون عدسة

مقربة ، تستقبل الضوء المنعكس

على AB ، خيال T على الحاجز E .

ويوضع نكولان N و N' أحدهما

قبل الصفيحة AB والآخر بعدها .

ف عندما تكون الاهتزازة الساقطة

على AB عمودية على مستوى الورود

أو واقعة فيه ، فإن النكول N'

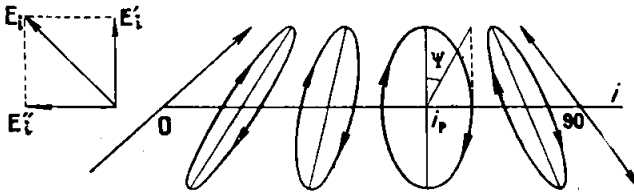
يمكنه أن يطفئ الضوء المنعكس ، ولكن عندما يكون سمت الاهتزازة الواردة

ذا قيمة ما ، فإن الضوء المنعكس يكون إهليلجياً ولا يمكن إطفاءه . ولما

كان الاستقطاب الاهليلجي ليس واحداً من أجل مختلف الشعاعات الوحيدة

اللون ، فإن اللون يختلف قليلاً عندما يُدار النكول N' .

وبين الشكل ٨ - ٣٢ شكل الاهتزازة واتجاهها من أجل زوايا ورود



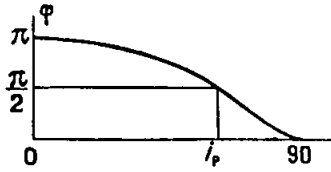
الشكل ٨-٣٢ . تغير اتجاه وشكل الاهتزاز المنعكسة على معدن ،

بدلالة زاوية الورود (حالة $\alpha_i = \frac{\pi}{4}$)

مختلفة (انظر الشكل ٨ - ٩) . إن تجربة فينر التي تُجرى بمرآة معدنية في

حالة الامواج الضوئية (الجزء الرابع ، ١٢ - ١٠) أو في حالة الامواج الممرتية (الجزء السابع ، ٩ - ٩) تدل على أن الاهتزازة المنعكسة ، عندما يكون الورد ناظمياً ، تكون متعاكسة في الطور مع الاهتزازة الواردة ، أما في حالة الورد الاصلي i_p . فإن محوري الاهتزازة الاهليلجية ، يكون أحدهما في مستوى الورد والآخر عمودياً عليه .

هـ) ينتج من الشكل ٨ - ٣٢ أن فرق الطور φ بين المركبتين الاصليتين المنعكستين يمر باطراد من π إلى الصفر



الشكل ٨ - ٣٣ . تغير فرق الطور φ بين E_r' و E_r'' بدلالة i (الانعكاس المعدني)

عندما تزداد زاوية الورد من الصفر إلى $\frac{\pi}{2}$ ، دون أن يظهر تغيراً مفاجئاً كما هو الأمر في الأجسام الشفافة عند الورد البروستري (الشكل ٨ - ٣٣ ، للمقابلة مع الشكل ٨ - ١٠) . ويكون $\varphi = \frac{\pi}{2}$ عند الورد

الاصلي . إذن يمكن الحصول على ضوء منعكس دائري بإعطاء الاهتزازة الواردة بزاوية الورد الاصلية ممماً α_i (مختلفاً عن 45°) بحيث تكون للاهتزازتين الاصليتين المنعكستين سعتان متساويتان . ولكن هذه الطريقة غير متبعة لأن زاوية الورد الاصلي تختلف كثيراً باختلاف طول الموجة .

٨ - ١٣ . النظرية الكهربائية في الانعكاس المعدني . حالة الورد الناظمي :

أ) يتميز الوسط الماص للأمواج الكهربائية (الجزء السابع ، ٩ - ٦) بقرينة انكساره n وقرينة امتصاصه k اللتين يمكن جمعها في قرينة انكسار عقدية :

$$\mathbf{n} = n - jk \quad [٤٦,٨]$$

ونحصل على النظرية الكهرطيسية للانعكاس المعدني بأن نضع مكان قرينة انكسار الاوساط الشفافة قرينة الانكسار العقدية السابقة ^(١) . لتذكر أن امتصاص المعادن يرتبط بناقليتها الكهربائية الكبيرة γ . فلدينا (الجزء السابع، الصيغة [٣٣,٩]) :

$$nk = \frac{\gamma}{2 \omega \epsilon_0}$$

حيث ω هو نبض الموجة (تواترها الزاوي) .

ففي حالة الورود الناظمي ، نضع مكان الصيغة [٢٨,٨] الصيغة التالية :

$$\frac{E_r}{E_i} = - \frac{n - 1}{n + 1} = \frac{n - jk - 1}{n - jk + 1} \quad [٤٧,٨]$$

$$\text{بفرض } n = \frac{n_2}{n_1}$$

ب (إن النسبة [٤٧,٨] كمية عقدية يمكن كتابتها بالشكل : $\sqrt{\rho} \exp(-j\varphi_n)$ ، حيث يدل ρ على طوليتها ، أي نسبة السعتين الحقيقيتين :

$$\sqrt{\rho} = \frac{E_r}{E_i}$$

وحيث يدل φ على فرق طور E_r بالنسبة الى E_i . وللحصول على عامل الانعكاس ρ ، نقرب [٤٧,٨] بالكمية العقدية المترافقة (المزاوجة) معها ، فيكون :

$$\rho = \frac{(n - jk - 1)(n + jk - 1)}{(n - jk + 1)(n + jk + 1)} = \frac{(n - 1)^2 + k^2}{(n + 1)^2 + k^2} \quad [٤٨,٨]$$

(١) على الرغم من أن المعادن الحديدية المغناطيسية تتميز عن غيرها بالقيم العالية لنفوذيتها μ_r ، فإن هذا الاختلاف الذي يدخل في معادلات مكسويل (الجزء السابع ، ٩ - ٦) ، لا أهمية له في حالة التواترات الضوئية التي هي من الكبر بحيث لا تظهر فيها ظواهر المغناطيسية الحديدية على نحو محسوس .

واللحصول على فرق الطور φ_n ، نضع [٤٧،٨] بالشكل $A + jB$

$$\frac{(n - jk - 1)(n + jk + 1)}{(n - jk + 1)(n + jk - 1)} = \frac{n^2 + k^2 - 1}{(n + 1)^2 + k^2} - j \frac{2k}{(n + 1)^2 + k^2}$$

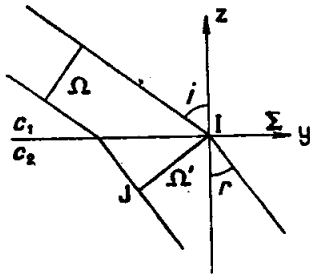
ونحسب $\varphi_n = \text{tg} \varphi_n = -\frac{B}{A}$ ، فنجد :

$$\text{tg} \varphi_n = \frac{2k}{1 - n^2 - k^2} \quad [٤٩،٨]$$

إن الصيغة [٤٨،٨] تدل على أن n يقترب من الواحد كلما أصبح k كبيراً بالنسبة إلى n : فعامل الانعكاس الكبير في الورد الناظمي له صلة وثيقة بامتصاص شديد، ولكن n يتوقف أيضاً على n .

وتعطي الصيغة [٤٩،٨] $\text{tg} \varphi_n = 0$ عندما $k = 0$ ، أي أن φ_n 'يساوي' الصفر أو π كما سبق أن رأينا في الفقرة ٨ - ٢ . وعندما يكون k^2 كبيراً جداً ، ينتهي $\text{tg} \varphi_n$ أيضاً إلى الصفر ؛ وقد رأينا أن φ_n يساوي π حينئذ .

٨ - ١٤ . حالة الورد المائل .



الشكل ٨ - ٣٤ . موجة واردة وموجة منكسرة (انعكاس معدني)

أ) لنبحث عن كذب في العلاقات بين الموجة المستوية الواردة Ω (الشكل ٨ - ٣٤) والموجة المنكسرة Ω' . إن Ω سطح الطور فيه واحد والسعة واحدة في آن واحد ، لأن الوسط الأول وسط شفاف . وترتبط بالسطح Ω السعة العقدية :

$$E_i = E_{mi} \exp \left[-\frac{j\omega}{c_1} (y \sin i + z \cos i) \right] \quad [٥٠،٨]$$

لتكن Ω' الموجة التي نحصل عليها بإنشاء هوبغنس (الجزء الرابع ، ٢-٤)

والتي تمثل بالتالي ، سطحاً متساوي الطور في الوسط الثاني . يمكن أن نكتب :

$$\sin i = n' \sin r \quad [٥١٠٨]$$

حيث n' عدد حقيقي . ولكن Ω ليس سطحاً السعة فيه ثابتة ، على خلاف ما يحدث في الوسط الشفاف أو ما يحدث في وسط ماص عندما يكون الورود عليه ناظماً . ففي هذه الحالة الأخيرة ، تكون للأعمدة الساقطة من Σ على Ω' في كل نقاطه الاطوال نفسها ، ويكون نقصان السعة بسبب الامتصاص واحداً . أما في حالة الورود المائل ، فإنه عندما يقع المستقيم من Ω' والذي أثره I (الشكل ٨ - ٣٤) في المستوى Σ ، فإن المستقيم الذي أثره J مثلاً ، يكون قد قطع وفق الشعاع الضوئي مساراً ما في الوسط الثاني ، وبذلك تنقص السعة على هذا المستقيم . ويمكننا أن نحاول أخذ هذا الامتصاص بعين الاعتبار بإدخال قرينة الامتصاص k' بالإضافة إلى قرينة الانكسار الحقيقية n' ، بحيث تكون للاهتزازة المنكسرة عبارة شبيهة بالعبارة [١٤٠١]

$$E_t = E_{mt} \exp \frac{j\omega}{c} [n' (y \sin r + z \cos r) - jk' z] \quad [٥٢٠٨]$$

وينبغي ان نحقق هذه العبارة معادلة انتشار الامواج [٢٠١] ، ولكن ينبغي كذلك أن نتحقق من التعبير عن هذا الانتشار بواسطة القرينة العقدية [٤٦٠٨] ، فتعويض [٥٢٠٨] في [٢٠١] نجد العلاقة :

$$n' \sin^2 r + (n' \cos r - jk')^2 = n^2 = (n - jk)^2$$

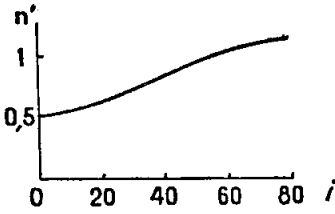
وبالمساواة بين الحدود الحقيقية في هذه العلاقة والمساواة بين الحدود الوهمية ، نحصل على ما يلي :

$$n'^2 - k'^2 = n^2 - k^2$$

و :

$$n'k' \cos r = nk,$$

وحين نحدد k' (أو n') بين هاتين المعادلتين ، نجد أن n' (أو k') تتوقف على الثابتين n و k وعلى الزاوية r أي على الزاوية i . إن وجود قرينة انكسار متغيرة في وسط مماثل المناحي



وماص ، يمكن التحقق منه تجريبياً بأن تقاس بطريقة الموشور قرينة الانكسار المعروفة بالعلاقة [٥١ ، ٨] . وينبغي ان تكون

الشخانات التي يجتازها الضوء ضئيلة جداً كي يبرز الضوء بشدة يمكن قياسها ؛ لذلك ينبغي الشكل ٨ - ٣٥ . - تغيرات القرينة ان تكون زاوية الموشور صغيرة جداً . ويمكن الحصول على مثل هذا الموشور بأن ترسب على الزجاج طبقة من المعدن على شكل قرنة ،

لها بطريقة كيميائية أو بالتبخير (الجزء الرابع ، ٢٢ - ٥) . فالتجربة حينئذ تثبت تغير n' بتغير زاوية الورد (الشكل ٨ - ٣٥) .

ب) لايجاد ساعات الاهتزازات المنعكسة واطوارها ، يمكن تطبيق صيغ فرنل بأن ندخل فيها القرينة العقدية n . ولما كانت الاهتزازة المنعكسة إهليلجية ، فإنه يمكن أن نجعل مركبتها E_r' و E_r'' يقابلها العددان العقديان E_r' و E_r'' ، اللذان تُظهر النسبة بينها :

$$\frac{E_r'}{E_r''} = R \exp(j\varphi) \quad [٥٣ ، ٨]$$

الطويلة R وفرق الطور φ . ويكون لدينا من [٢٢ ، ٨] و [٢٥ ، ٨] :

$$R \exp(j\varphi) = \frac{\cos(i+r) E_i'}{\cos(i-r) E_i''}$$

أو :

$$\frac{1 + R \exp(j\varphi)}{1 - R \exp(j\varphi)} = \operatorname{tg} i \operatorname{tg} r \frac{E_i}{E_i''} \quad [٥٤ ، ٨]$$

وينتج من العلاقة :

$$\sin r = \frac{1}{n} \sin i$$

أن :

$$\cos r = \frac{1}{n} \sqrt{n^2 - \sin^2 i}$$

وأن :

$$\operatorname{tg} r = \frac{\sin i}{\sqrt{n^2 - \sin^2 i}}$$

لنفترض ان الاهتزازة الواردة مستقطبة استقطابا مستقيما في السم $\alpha_i = 45^\circ$ ، بحيث ان $E'_i = E_i$. ان الصيغة [٥٤،٨] تصبح :

$$\frac{1 + R \exp(j\varphi)}{1 - R \exp(j\varphi)} = \frac{\operatorname{tg} i \sin i}{\sqrt{n^2 - \sin^2 i}} \quad [٥٥،٨]$$

وعندما تكون القرينة n وزاوية الورود i معروفتين ، يستنتج من هذه الصيغة حامل الانعكاس وشكل الاهتزازة المنعكسة ، وعندما $i = 0$ يكون φ مساويا للصفر او π ، لان العلاقة [٥٣،٨] تبين ان $R \exp(j\varphi) = 1$ ، فيعرف ان $R = 1$. وعندما $i = \pi/2$ يكون $\operatorname{tg} i = \infty$ ، وتدل [٥٥،٨] على ان $R \exp(j\varphi) = 1$. وينتج من هذا ان φ يساوي π او الصفر لان $R = 1$.

١٥ . — تعيين الثابتي الضوئيين n و k

يتم هذا التعيين بتحليل الضوء المنعكس عند الورود الاصلي i_p ، الذي يكون من أجله $\varphi = \frac{\pi}{2}$. ولما كان $\exp(j\varphi) = \cos \varphi + j \sin \varphi$ ، فان

$$\exp(j\frac{\pi}{2}) = j \text{ ، وتصبح العلاقة [٥٥،٨] كما يلي :}$$

$$\frac{1 + j R_p}{1 - j R_p} = \frac{\operatorname{tg} i_p \sin i_p}{\sqrt{n^2 - \sin^2 i_p}}$$

ويعطي تحليل الاهتزازة الاهليلجية المنعكسة عند الورود الاصيلي النسبة $R_p = \operatorname{tg} \psi$ (الشكل ٨ - ٣٢) ، ذلك لأن محوري الاهليلج يتجهان وفق المحورين الاصيلين . وعليه فإن :

$$\frac{1 + j \operatorname{tg} \psi}{1 - j \operatorname{tg} \psi} = \frac{\operatorname{tg} i_p \sin i_p}{\sqrt{n^2 - \sin^2 i}}$$

وفي كثير من الحالات ، يكون k كبيراً جداً ويكون $\sin^2 i_p$ (الذي هو من مرتبة ٠.٩) مهملاً بالنسبة الى $n^2 + k^2$ ؛ ويمكن حينئذ كتابة :

$$\operatorname{tg} i_p \sin i_p = n \frac{1 + j \operatorname{tg} \psi}{1 - j \operatorname{tg} \psi} = (n - jk) \frac{(1 + j \operatorname{tg} \psi)^2}{1 + \operatorname{tg}^2 \psi} \quad [٥٦,٨]$$

ولما كان الحد الاول في هذه العلاقة حقيقياً ، فينبغي أن يكون الحد الثاني حقيقياً أيضاً ، وهذا يقضي بأن ينعدم الجزء الوهمي الصرف ، أي :

$$2 n \operatorname{tg} \psi + k \operatorname{tg}^2 \psi - k = 0$$

ومنه :

$$k = n \operatorname{tg} 2 \psi \quad [٥٧,٨]$$

لنكتب [٥٦,٨] على الصورة التالية :

$$\frac{\operatorname{tg} i_p \sin i_p}{n - jk} = \frac{1 + j \operatorname{tg} \psi}{1 - j \operatorname{tg} \psi}$$

ولنضرب كل حد بالكمية المتزاوجة معه فنجد :

$$\frac{\operatorname{tg} i_p \sin i_p}{n - jk} \cdot \frac{\operatorname{tg} i_p \sin i_p}{n + jk} = \frac{1 + j \operatorname{tg} \psi}{1 - j \operatorname{tg} \psi} \cdot \frac{1 - j \operatorname{tg} \psi}{1 + j \operatorname{tg} \psi}$$

ومنه :

$$\operatorname{tg} i_p \sin i_p = \sqrt{n^2 + k^2}$$

وبأخذ [٥٧، ٨] بعين الاعتبار :

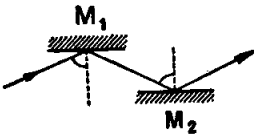
$$\operatorname{tg} i_p \sin i_p = n \sqrt{1 + \operatorname{tg}^2 2\psi}$$

ومنه أخيراً :

$$n = \operatorname{tg} i_p \sin i_p \cos 2\psi \quad [٥٨، ٨]$$

إن قياس زاوية الورود الأصلي وقياس النسبة ما بين محوري إهليلج الاهتزازة المنعكسة في هذه الحالة يسمحان بإذن بحساب الثابتين n و k للجسم المماس .

ولقياس زاوية الورود الأصلي ، يمكن جعل الحزمة الواردة ، التي تميل



اهتزازتها بـ ٤٥° على مستوى الورود ، تنعكس

انعكاسين متعاقبين على سطحين متوازيين M_1 و M_2

(الشكل ٨ - ٣٦) : فعندما تساوي زاوية

الورود i_p ، يكون الضوء المنعكس مستقطباً

استقطاباً مستقيماً . ويتم قياس الزاوية ψ بعد

ذلك بواسطة مكافئ بابينه أو بمحلل إهليلجي

(الفقرة ٧ - ٦) .

الشكل ٨ - ٣٧ . قياس
زاوية الورود الأصلي

وبين الجدول ٨ - ٢ بعض قيم n و k التي حصل عليها بهذه الطريقة ،

وكذلك قيم n_p المحسوبة من الصيغة [٤٧، ٨] وقيم p_n المقاسة قياساً مباشراً .

إن قيم n الناتجة تكون غالباً أقل من الواحد ؛ ويمكن ملاحظة أن الأمر

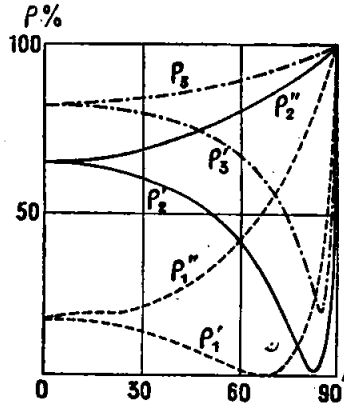
كذلك من أجل القرينة n' (الشكل ٨ - ٣٥) ؛ فسرعة الطور هي إذن أكبر

في المعدن منها في الهواء . ولكن الأمر ليس كذلك من أجل سرعة الزمرة

(الفقرة ٢ - ١) .

الجدول ٨ - ٢						
الثوابت الضوئية للأجسام شديدة الامتصاص						
المادة	λ (مكرون)	n	k	nk	ρ_n المحسوبة	ρ_n المقاسة
الصوديوم (المنصهر)	٠,٥٨٩	٠,٠٥	٢	٠,١	٠,٩٩	٠,٩٩
الذهب	٠,٥٨٩	٠,٠٤	٣	١,٢	٠,٨٥	٠,٨٨
الفضة	٠,٥٨٩	٠,٠٢	٣,٦	٠,٧٢	٠,٩٥	٠,٩٣
الزئبق	٠,٥٨٩	١,٧	٥	٨,٥	٠,٧٥	٠,٧٥
البلاتين	٠,٥٨٩	٢,٠	٤	٨	٠,٧٠	٠,٦٦
الفولاذ	٠,٥٨٩	٢,٣	١,٥	٤	٠,٥٩	٠,٥٧
السيانين	٠,٥٨٠	٨,٥١	٠,٤٥	٠,٧٢		
NaCl	٦١	٤	٥,٤	٢٢	٠,٧٢	٠,٧١

ويبين الشكل ٨ - ٣٧ عوامل انعكاس الموجات المرئية المستقطبة على
أوساط مختلفة في امتصاصها .



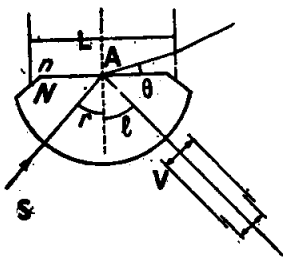
الشكل ٨ - ٣٧ . حاملات الانعكاس m' و m'' في الموجات المرئية
المستقطبة ، على أوساط مختلفة : ١ ، الأرض ؛ ٢ ، الماء العذب ؛ ٣ ، ماء البحر

تمارين

٨ - أ (مع اهمال أثر الانعكاسات المتعددة) برهن أنه يمكن دوماً زيادة قيمة عامل النفوذ من الهواء الى الزجاج بالورود الناطمي ، بان توضع على الزجاج طبقة شفافة قريبتها n محصورة بين قريته الهواء وبين قريته الزجاج N ، مهما كان الشخ e لهذه الطبقة .

٨ - ب برهن انه لدى الانعكاس الزجاجي على الوجه المشترك بين جسمين (أياً كانا) بزاوية ورود قدرها $i = \pi/4$ ، يكون بين عامل الانعكاس m لاهتزازة موازية لمستوي الورود وعامل الانعكاس m' لاهتزازة عمودية عليه ، العلاقة $m' = \sqrt{2}$.

٨ - ج يوضع سائل شفاف L قريته n فوق نصف كرة من زجاج الفلنت قريتها $N = 1,750$. والمنظار V ، القابل للحركة حول محور A عمودي على مستوي الشكل ، يمكن من قياس الزاوية الحدية $l = 59^\circ$ بارتفاع قدره Δl . يهتز الضوء الساقط عمودياً على مستوى السقوط . والشعاع SA ، الساقط في A بزاوية ورود r اقل قليلاً من l ، يدخل في L مؤلفاً مع الناطم زاوية i ، نفرض $i - \frac{\pi}{2} = Q$. ونرمز بـ E للاستنارة في A كما تلاحظ بواسطة V بانعكاس SA ، و E_0 الاستنارة العائدة الى الانعكاس الكلي .



الشكل ٨ - ١

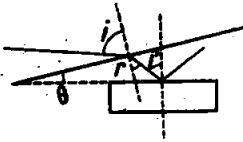
- ١- احسب ، بدلالة θ التي يفترض انها صغيرة ، القيمتين $l - r$ و $1 - E/E_0$.
- ٢- اذا كنا متأكدين من أن ادراك نقص الاستنارة $E_0 - E$ لا يمكن ان يحدث الا اذا كان اقل من 5 % من E_0 ، فاما الارتيابان Δn و Δl اللذان

ينجمان عن ذلك في تقدير n و l ؟

٨ - د احسب الزاوية φ التي ينبغي ان تكون لموشور قرينته $n = \sqrt{3}$ لكي تزول تضييعات الضوء بالانعكاس عند الانحراف الاصغر ، وذلك بواسطة تقطيب مناسب للضوء الوارد .

٨ - هـ بين أنه ، لدى الاخذ بعين الاعتبار للانعكاسات على الوجهين ، يمكن ان نقطب كلياً حزمة ضوئية متوازية ، بواسطة اسقاطها بزاوية ورود البروستربة على صفيحة شفافة متوازية الوجهين .

٨ - و احسب قيمة عامل النفوذ (او التوصيل) τ للاهتزازة الواقعة في مستوي الورد ، من اجل انعكاس بزاوية بروستر وذلك من الهواء الى مادة عازلة (كهربافذة) قرينتها n .



الشكل ٨ - ب

٨ - ز تسقط حزمة متوازية من ضوء وحيد اللون على سطح ماء ساكن قرينته $n = 4/3$. فتستقطب الحزمة المنعكسة استقطاباً مستقيماً : عين زاوية الورد i .

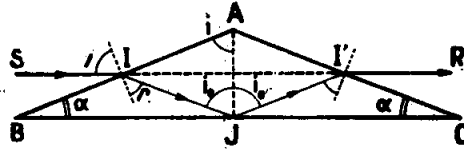
تغمس كتلة زجاجية قرينتها $n' = 3/2$ ،

كما بين الشكل . وتكون الحزمة المنعكسة على سطحها مستقطبة استقطاباً مستقيماً : عين الزاوية θ التي يؤلفها سطح الزجاج مع سطح الماء .

٨ - ح موشور زجاجي قرينته $n = 3/2$ ومقطعه القائم مثلث قائم الزاوية متساوي الساقين ، يتلقى عمودياً على أحد وجهيه الصغيرين حزمة متوازية من الضوء الطبيعي . هل يكون الضوء الباز منه مستقطباً ؟ ما هي النسبة بين شدة الحزمة البارزة وشدة الحزمة الواردة ؟ (تؤخذ بعين الاعتبار الانعكاسات العديدة ، ولكن يفترض الامتصاص مهملاً) .

٨ - ط بعد ان تخرج الحزمة الضوئية من موشور فريزل المتوازي المستطيلات ، الوارد في الشكل ٨ - ٢٥ ، نخترق موشوراً ثانياً متوازي

المستطيلات موجهاً كالأول . ما هي حالة استقطاب الضوء البارز ؟
 ٨ - ي لتجنب انزياح الشعاع المنعكس ، الذي يحدث في موشر فوينل
 المتوازي المستطيلات ، قد استعين بانعكاسين كليين يجري كل واحد منهما في
 موشر مقطعه القائم ABC كما يبين الشكل . فإذا كانت قرينة الزجاج $n=1,51$ ،
 فكم ينبغي ان تكون الزاوية A ، مع العلم بأن زاوية الورود في J ينبغي أن
 تكون $i = 54^{\circ}37'$ (راجع الفقرة ٨ - ١٠ ب) .



الشكل ٨ - ج

٨ - ك بعد ان دخل شعاع ضوئي طول موجته $\lambda = 0,5\mu m$ دخولا
 ناظمياً من احد الوجهين الصغيرين لموشور ذي انعكاس كلي قرينته $n = 1,50$ ،
 انعكس كلياً على الوجه الوترى .

١ - على اي بعد z_1 من وجه البروز الى الهواء تكون سعة الموجة
 المتلاشية مساوية لـ $1/e$ من قيمتها على هذا الوجه (باعتبار θ اساس اللوغاريتم
 النبري) ؟

٢ - ما هي نسبة الشدة I_2 للموجة على بعد $z_2 = 1mm$ من السطح الى
 الشدة I_0 للموجة على هذا السطح ؟

٨ - ل ان القرينة العقدية للجرمانيوم من اجل طول الموجة في الحلاء
 $\lambda_0 = 0,5 mm$ لها العبارة الآتية $n = n - jk = 3,47 - j \times 1,40$

احسب عامل الانعكاس ، تحت الورود الناظمي ، لسطح مستو من الجرمانيوم
 بتناس الحلاء . احسب فرق الطور ϕ الذي يسببه هذا الانعكاس .

الفصل التاسع

الانكسار والتبدد والامتصاص

١ - حالة العوازل

٩ - ١ - التبرد النظامي والتبرد السار .

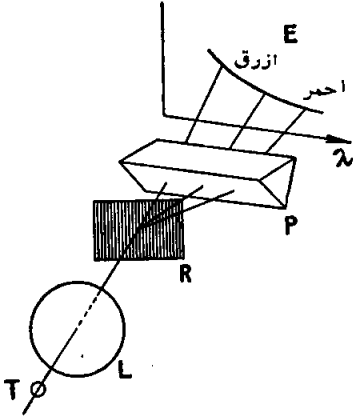
إن التمييز بين النواقل والعوازل أمر أساسي في الكهرباء ، وهو أيضاً أساسي في الضوء كما تدل على ذلك النظرية الكهروستاتيكية . والنواقل ، التي تعد المعادن أهم ما يمثلها ، يعود امتصاصها إلى كل أرجاء الطيف ، ولكن شدته يمكن أن تختلف . أما العوازل فلها مناطق امتصاص تقع في أرجاء مختلفة من الطيف ، وتنحصر في مجالات يختلف ضيقها . فعندما يكون المجال ضيقاً جداً ، يقال إن للجسم خط امتصاص ؛ وعندما يكون المجال واسعاً ، يقال إن له عصابة أو شريط امتصاص . ويمكن أن يكون للمادة الواحدة بضعة خطوط أو بضع عصابات امتصاص .

وهناك في كل الحالات صلة وثيقة بين تغير قرينة الانكسار لمادة ما مع طول الموجة ، أي تبدد انكسارها ، وبين امتصاصها .

ب) يمكن إظهار تبدد الانكسار بل وقياسه تقريبياً بالطريقة المسماة « بالطيفين المتصاليين » .

٥ - إن العدسة L (في الشكل ٩ - ١) التي تليها شبكة خطية R (الجزء

(الرابع، ١٦ - ٤) ذات حزم رأسية ، تكون لثقب T مضاء بالضوء الابيض ، طيفاً على الحاجز E . أما الموشور P ذو الحرف الافقي فيحرف رأسياً كل لون من ألوان الطيف بمقدار يتزايد مع n . فيرى منحن ملوث يظهر بمنظر منحنى التبدد . فإذا كان الطيف الذي تولده الشبكة نظامياً (الجزء الرابع، ١٦-٤) كان التبدد الافقي متناسباً مع λ ، وإذا كانت زاوية الموشور صغيرة ، كان الانحراف الرأسي متناسباً مع $n - 1$ (الجزء الرابع، ٥ - ٥) . ونحصل حينئذ على المنحنى الذي يمثل $n - 1 = f(\lambda)$.



الشكل ٩-١. تبدد الانكسار ، شبكة وموشور متعامدان

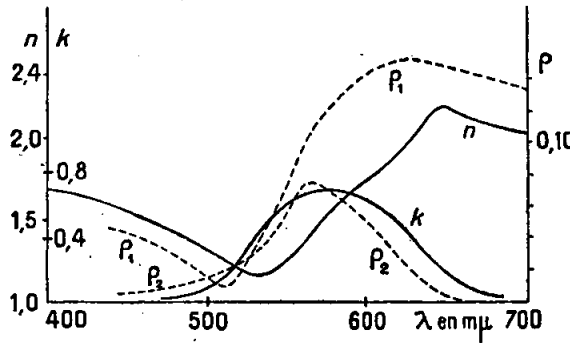
وحين يكون الموشور مصنوعاً من مادة غير ملونة ، يزداد الانحراف من الاحمر الى البنفسجي دالاً بذلك على ازدياد القرينة . ويقال حينئذ إن التبدد نظامي .

ج (إن الاجسام التي تتمتع بامتصاص اصطلافي شديد جداً ، لا يتبع تبددها التغير السابق وتوصف بأنها ذات تبدد شاذ .

٥- يوضع على مقياس الزوايا لبابينه ، موشور بجوف ، حرفه شاقولي وزاويته صغيرة (من ٥° إلى ١٠°) . يملأ الموشور بحلول مركز (٤٪) من السيانين أو الفوكسين fuchsine في الكحول . حين يضاء شق الجمع بالضوء الابيض الصادر عن قوس فحمية ، فانه يلاحظ طيف ينقصه الجزء الاوسط الممتص ، ولا يتبقى فيه إلا البنفسجي - الازرق والاحمر ، وتكون الشعاعات الاخيرة أكثر انحرافاً من الشعاعات الاولى .

٥- إذا أُعيدت التجربة السابقة واستعمل مصباح فيه مزيج من 'مُبخاري' الزئبق والكادميوم منبعاً ضوئياً ، فإنه لا يُرى إلا خط الزئبق الطيفي $\lambda = 0,436 \mu$ وإلا خط الكادميوم $\lambda = 0,644 \mu$: ويكون الخط الثاني أكثر انحرافاً من الاول .

يبين الشكل ٩ - ٢ منحنى التبدد الكامل للسانين في الطيف المرئي . ويُرى



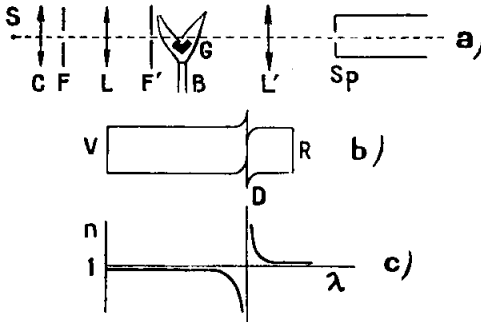
الشكل ٩ - ٢ . امتصاص السانين الجامد وتبدده وانعكاسه

فيه أن قرينة الانكسار n تزداد من الأزرق إلى البرتقالي بازدياد طول الموجة . وهذا التغير هو الذي يعدّ تغيراً شاذاً . ولكن هذه الظاهرة تحدث في كل المواد ، عند بعض عصابات الامتصاص فيها ، المرئية وغير المرئية ؛ لذا ينبغي ألا تعد شاذة الاجسام التي تبدو فيها الظاهرة بسهولة .

وتحدث تبدد شاذ في بخار الصوديوم بجوار الحطين D اللذين يمتصها هذا البخار . ويمكن إظهار ذلك بطريقة الطيفين المتصالبين (التي ذكرت في حالة الشكل ٩ - ١) .

٥- إن العدسة المكثفة C (الشكل ٩ - ٣ a) تكون خيال قوس فحمة S على الشق F الواقع في محرق العدسة L . وتكون العدسة L' خيال F على الشق الرامي لطيف Sp شديد التبدد (يستطيع الفصل بين الحطين D

مثلاً) . فيرى طيف ذو ارتفاع قليل . يُعترض مسار الحزمة المتوازية بمصباح بنزن B الذي يوضع في لبه ميزاب حديدي G حرفه أفقي يجعل اللهب بشكل موشور حرفه يوازي F . وتتحدد الحزمة بالشق F' العريض والافقي . يوضع



في الميزاب قطعة من الصوديوم المعدني فيتبخر في اللهب مكوناً موشوراً من الانجزة الكثيفة . وعندما تصبح هذه الكثافة كافية لكي يظهر الخطان D في المطياف على شكل عصابة مظلمة (انقلاب الخطوط ، الفقرة

١٣ - ٦) ، يبدو الطيف

الشكل ٩-٣ . التبديد الشاذ لبخار الصوديوم ؛
(a) التركيبة التجريبية ؛ (b) مطهر الطيف ؛
(c) منحنى التبديد

بالمظهر المبين في الشكل ٩-٣ b ، وهو ما يوافق الشكل ٩-٣ c من حيث مسلك منحنى التبديد .

إن الشعاعات التي تكون قرينة انكسار موشور البخار من أجلها أكبر من الواحد بشكل محسوس يكون انحرافها في الحقيقة نحو الاسفل ؛ أما التي تكون قرينة الانكسار من أجلها اصغر من الواحد فتتحرف نحو الاعلى .

د) تم الدراسة الدقيقة لتبديد الانكسار بقياس طول الموجة وقرينة الانكسار من اجل مختلف الشعاعات بالطرائق المبينة في الفصل الثالث . وتصلح طريقة الموشور للمواد التي تتمتع بامتصاص اصطفائي شديد ، شريطة ان تكون زاوية الموشور صغيرة بما فيه الكفاية وأن تستعمل منطقة قريبة جداً من الحرف الكامر بغرض الحفاظ على شفافية معينة ، أما في حالة المواد الملونة ، فيمكن الحصول على مثل هذه المواشير على نحوٍ تقريبي ، بجعل محلول كمحولي من المادة يتبخر بين

لوح زجاجي وانبوب اسطواني من الزجاج ذي قطر كبير ، ثم رفع الانبوب .
وقد استعملت الطريقة نفسها لدراسة قرائن المعادن المترسبة بطريقة
كيميائية أو بالتبخير الفقرة (٨ - ١٤) .

وكما وجدنا في الفقرة ٨ - ١٥ ، يمكن أيضاً تعيين قرينة الانكسار وقرينة
الامتصاص k في آت واحد ، اعتماداً على شدة الاهتزازة الضوئية المنعكسة
وعلى شكلها .

ويمكن ، في حالة الانجزة والغازات ، استعمال موشور مجوف ذي زاوية
كبيرة ، يجعل في فرن درجة حرارته مناسبة . فُيهرى بذلك أن لبخار اليود
المشبع في الدرجة ٧٠٠° قرينة تساوي $١,٠٢٠٥$ من أجل الأحمر ، و $١,٠١٩$
من أجل البنفسجي . وغالباً ما يكون مقياس الانكسار لرابلي (الفقرة ٣ -
١٠) أكثر ملاءمة . وقد تم الحصول ، من أجل بخار الصوديوم في الدرجة
 ٦٤٠° م ، على الاعداد التالية التي نقارنها بالقيم المحسوبة كما سوف نرى في
الفقرة التالية :

٥٨٥٠	٥٨٧٥	٥٨٨٥	٥٨٨٨	٥٨٨٩	٦٠٥٥	٦٢٠٠	$\lambda (\text{\AA})$
				٤٥٠٠	٥٣٠٠	٥٤٦٠	
٠,٩٨٧	٠,٩٤٤	٠,٦١٤	١,٠٠٠٥٢٣	١,٠٠٠٢٩١	n مقیسة		
٠,٩٩٩٩٥	٠,٩٩٨٨	٠,٩٩٨٣	٠,٩٩٨١	٠,٩٩٥٤			
٠,٩٩٥٨	٠,٩٨٣	٠,٩٤٥	٠,٦٩٧	١,٠٠٠٥٢	١,٠٠٠٢٨٥	n محسوبة	
		٠,٩٩٩٩٦	٠,٩٩٨٨	٠,٩٩٨٣	٠,٩٩٨١		

٩-٢ . — الصيغ التجريبية للتبدد

إن المنحنيات التجريبية للتبدد تمثل أحسن تمثيل ، في حدود معينة ، بعبارات

من الشكل التالي :

$$n^2 = a^2 + \lambda^2 \left(\frac{b_1}{\lambda^2 - \lambda_1^2} + \frac{b_2}{\lambda^2 - \lambda_2^2} + \dots \right). \quad [١٠٩]$$

وهناك علاوة على الحد الثابت a^2 ، عدد من الحدود بقدر مناطق الامتصاص ويتميز كل منها بعدد ثابت موجب b_i وطول موجة ثابت λ_i ، هي موجة خط الامتصاص اذا كانت منطقة الامتصاص ضيقة ، أو أنها تؤخذ في عصابة الامتصاص اذا كانت المنطقة عريضة .

وقد تم الحصول على الاعداد المحسوبة من أجل بخار الصوديوم بواسطة صيغة من هذا النوع ، مع ثابت $\lambda_i = 0,5893 \mu$ ، وهي القيمة الوسطية للطولين الموجيين لخطي الصوديوم D_1 و D_2 .

ولا تصح الصيغة [١٠٩] وضوحاً من أجل الجوار المباشر للأطوال الموجية المميزة λ_i ، حيث تعطى قيماً لـ n^2 تمر بغتة من $-\infty$ الى $+\infty$ عندما يزداد λ . وسوف نرى في الفقرة ٩ - ١٢ أن النظرية توصلت الى اجتناب هذه الصعوبة .

وعندما تكون مناطق الامتصاص بعيدة عن المجالات الطيفية التي تنالها القياسات ، فإن الصيغة [١٠٩] يمكنها ان تأخذ أشكالاً تقريبية أكثر بساطة . واذا كانت كل مناطق الامتصاص ذات أطوال موجية أقل من المجال المدروس ، فإن λ تكون كبيرة بالنسبة الى قيم λ_i ، ويمكن كتابة كل حد بالصيغة التالية :

$$\frac{b_i \lambda^2}{\lambda^2 - \lambda_i^2} = \frac{b_i}{(1 - \frac{\lambda_i^2}{\lambda^2})} = b_i \left(1 - \frac{\lambda_i^2}{\lambda^2} \right)^{-1} \simeq b_i \left(1 + \frac{\lambda_i^2}{\lambda^2} + \frac{\lambda_i^4}{\lambda^4} \right) \quad [٢٠٩]$$

متوقفين عند الحد الثالث من منشور مايين القوسين على شكل سلسلة . فإذا

فعلنا مثل ذلك بكل الحدود وجمعنا الثوابت بعضها مع بعض ، فاننا نصل الى الصيغة :

$$n^2 = A + \frac{B}{\lambda^2} + \frac{C}{\lambda^4} \quad [٣،٩]$$

التي لا تتضمن الاطوال الموجية λ_i على نحو صريح ، وإنما تتضمن ثلاثة ثوابت A و B و C يمكن استنتاجها من ثلاثة أزواج قيم معروفة للقرينة n ولطول الموجة λ . وينطبق هذا النوع من الصيغة ، الذي ينسب الى كوشي Cauchy ، انطباقاً حسناً على التبدد في الطيف المرئي للمواد الشفافة ، التي تقسم مناطق امتصاصها في ما فوق البنفسجي على أبعاد كافية ، وبخاصة أنواع الزجاج الضوئي . فمن أجل الهواء ، يمكن تبعاً لذلك تمثيل قرينة الانكسار ، من أجل الاطوال الموجية المحصورة بين ٠.٣ و ٠.٨ ميكرون ، بخطاً لا يتجاوز ثلاث وحدات في الرقم العشري السابع .

ومن أجل مناطق الامتصاص التي تزيد أطوالها الموجية كثيراً عن الأطوال الموجية في المجال الطيفي الذي تناله القياسات ، يمكن نشر الحدود الموافقة على النحو التالي :

$$\frac{b_j \lambda^2}{\lambda^2 - \lambda_j^2} = -b_j \frac{\lambda^2}{\lambda_j^2} \left(1 - \frac{\lambda^2}{\lambda_j^2}\right)^{-1} \simeq -b_j \frac{\lambda^2}{\lambda_j^2} \left(1 + \frac{\lambda^2}{\lambda_j^2} + \dots\right) \quad [٤،٩]$$

وبوجه خاص ، تسمح إضافة الحدود التي من هذا النوع إلى حدود الصيغة [٢،٩] بأن يعتبر التأثير الذي تحدثه عصابات فيما تحت الأحمر وعصابات فيما فوق البنفسجي في وقت معاً على التبدد في الطيف المرئي . وتستكمل الصيغة [٣،٩] حينئذ على النحو التالي (صيغة بريو Briot) :

$$n^2 = A + \frac{B}{\lambda^2} + \frac{C}{\lambda^4} - A' \lambda^2 - B' \lambda^4 \quad [٥،٩]$$

ومثل مثل هذه الصيغة على سبيل المثال ، قرينة انكسار الماء في كل الطيف المرئي بخطاً من مرتبة بضع وحدات في الرقم العشري الخامس .

٩-٣ . — معرفة مكسويل . نظرية التبدد النظامي للغازات والموحرة .

(أ) إن وجود قرينة انكسار n للأوساط المادية ، أي سرعة طور c' للضوء مختلفة عن السرعة $c = nc'$ (الجزء الرابع ، ٢ - ٥) في الحلاء ، تفسر في النظرية الكهربائية على أساس من اعتبار وجود السحاحة النسبية ϵ_r للوسط ؛ فنجد حينئذ (الجزء السابع ، ٩ - ٦) $c' = \frac{c}{\sqrt{\epsilon_r}}$ ، ومنه علاقة ماكسويل :

$$\epsilon_r = n^2$$

إن وجود تبدد الانكسار يدل أنه يمكن الاكتفاء بإدخال القيمة ϵ_r للسحاحة الكهربائية النسبية المعنية من أجل تواتر منعدم في معادلات انتشار الامواج الكهربائية .

وعندما نقيس من جهة ، السحاحة ϵ_r لمادة مائعة ، من أجل تيارات متناوبة تواتراتها من مرتبة 10^6 إلى 10^8 ، ونقيس من جهة أخرى قرينة هذه المادة نفسها ، بأن نعين مثلاً طول موجة الامواج المستقرة من أجل التواتر نفسه ، فإننا نجد أن علاقة مكسويل محققة تماماً . ومن المستحيل قياس ϵ_r قياساً مباشراً في التواترات الضوئية $\nu \approx 10^{15}$ Hz . وقد تبين في هذه الحالة أن هناك أحياناً اختلافات كبيرة بين قيم n^2 المستنتجة تجريبياً وبين قيم السحاحة الرأكدية ، كما تظهر ذلك الاعداد التالية ^(١) :

(١) هذه القياسات خاصة بدرجة الحرارة العادية وضغط جوي واحد .

الجدول ٩ - ١							
المقارنة بين السماحية الراكدية ومربع قرينة الانكسار							
المادة	الآزوت	حمض الكلور	النشادر	البنزين	النترول بنزين	الماء	كلور الصوديوم
ϵ_r	١,٠٠٠٥٧٨	١,٠٠٣٨	١,٠٠٧٢	٢,٢٢	٣٤	٨٠	٥,٨
n^2	١,٠٠٠٥٨١	١,٠٠٠٨٧	١,٠٠٠٧٠	٢,٢٠	٢,٤٠	١,٧٧	٢,٣٧

ولإيجاد تفسير لهذه الامور ، ينبغي الرجوع الى دراسة دور المادة في السماحية . لقد اتفق لنا أن أشرنا (الجزء الثالث ، ٦ - ١٠) الى أن الانقطاع في الاوساط التي تنتشر الامواج فيها يفسر تبددها . وهذا الانقطاع يعود هنا الى وجود الجزيئات .

ب) لقد عرفنا لدى دراسة السماحية (الجزء السادس ، ٤ - ٣) أنه يمكن توضيح دور المادة بكتابة :

$$D = \epsilon E = \epsilon_0 \epsilon_r E = \epsilon_0 E + P \quad [٦,٩]$$

أي بتمييز هذا الدور بالاستقطاب P ، لا بالسماحية النسبية $\epsilon_r = \frac{\epsilon}{\epsilon_0}$ ، ويمكن ، على النحو نفسه ، إدخال المقدار P في دراسة انتشار الضوء .

وجدنا (الجزء السادس ، ٤ - ١٢) أن كل جزيء من جزيئات الوسط مستقطب ، أي يكتسب عزم ثنائي الاقطاب الكهربائي المحرض عندما يخضع لحقل كهربائي . لنقبل أن هذا الحقل هو حقل الموجة الاولى ، وهذا يعني إهمال الافعال المتبادلة بين الجزيئات ، وبالتالي اعتبار وسط قليل الكثافة . وتكون للاستقطاب P حينئذ العبارة التالية :

$$P = Np = N\alpha E$$

$$p = \alpha E \quad [٦٠٩ \text{ مكرر}]$$

حيث يدل P على عزم ثنائي الاقطاب الكهربائي المحرض، ويدل α على استقطابية كل عنصر من عناصر الوسط التي يبلغ عددها في واحدة الحجم $N^{(١)}$. فوفقاً للعلاقة [٦٠٩] يكون لدينا :

$$\varepsilon = \varepsilon_0 + \frac{P}{E} = \varepsilon_0 + N\alpha$$

أو :

$$\varepsilon_r = \frac{\varepsilon}{\varepsilon_0} = 1 + \frac{N\alpha}{\varepsilon_0}$$

وبالتعويض عن ε_r بـ n^2 نجد :

$$n^2 - 1 = \frac{N\alpha}{\varepsilon_0} \quad [٧٠٩]$$

٩ - ٤ . — استقطابية الجزيئات في الحفول المتغيرة .

إن الاعتبارات السابقة تدل على أن تغير n بتغير التواتر الضوئي ينبغي أن يُعزى إلى تغير الاستقطابية α ، التي يمكن أن نحاول تحديد آليتها تحديداً دقيقاً بالانطلاق من النموذج الجزيئي في الفقرة ١ - ٦ . وسعياً وراء التبسيط ، لنهمل أولاً قوة التخماد $h' \frac{ds}{dt}$. فتقبل المعادلة [٨٠١] حينئذ حركة غير متخمادة حلأها :

$$s = s_m \sin \omega_0 t,$$

(١) فيما يلي سوف نسمي هذه العناصر جزيئات مها كانت طبيعتها .

حيث يعطى النبض الخاص ω_0 بالعلاقة [٩،١] . ويكون لعزم ثنائي الاقطاب [١٠،٩] العبارة التالية :

$$p = qs = p_m \sin \omega_0 t \quad [٨،٩]$$

ويمكن للحقل الكهربائي E لموجة ضوئية وحيدة اللون

$$E = E_m \sin \omega t$$

أن يشوه الجزيء بإزاحة الشحنة q تحت تأثير قوى كولون [١٢،١] . وتكون المعادلة [١٦،١] لحركة الشحنة المزاحة :

$$m \frac{d^2 s}{dt^2} = k_0 s = q E_m \sin \omega t \quad [٩،٩]$$

هذه المعادلة شبيهة بمعادلة مهتز ميكانيكي خاضع لقوة جيبية (الجزء الثالث ، ٩-٤) . ومن المعروف أن المهتز يتوافق مع النبض المفروض عليه ω ، وأنه اذا بحثنا عن حل نظامي من الشكل $s = s_m \sin (\omega t + \varphi)$ ، فاننا نحصل بالتعويض في [٩،٩] على :

$$s = \frac{q E_m}{m (\omega_0^2 - \omega^2)} \sin \omega t \quad [١٠،٩]$$

و $\sin \varphi = 0$ ومنه φ تساوي الصفر او π (حيث ω_0 نبض التجاوب) . ويكون عزم ثنائي الاقطاب الموافق :

$$p = qs = \frac{q^2 E_m}{m (\omega_0^2 - \omega^2)} \sin \omega t$$

وتكون للاستقطابية العبارة :

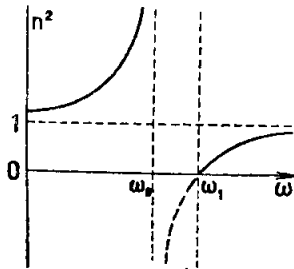
$$\alpha = \frac{P}{E} = \frac{q^2}{m(\omega_0^2 - \omega^2)} \quad [١١،٩]$$

وتبعاً لذلك تصبح الصيغة [٧،٩] كما يلي :

$$n^2 - 1 = \frac{Nq^2}{\epsilon_0 m} \frac{1}{\omega_0^2 - \omega^2} = \frac{C}{\omega_0^2 - \omega^2} \quad [١٢،٩]$$

حيث بدل C على عدد ثابت. وحينما يكون $\omega \gg \omega_0$ ، ينتهي $n^2 - 1$ الى المقدار الثابت $\frac{Nq^2}{\epsilon_0 m \omega_0^2}$ الذي سوف نعبّر عنه بـ $n_\infty^2 - 1$ ، لأنه يعود الى طول موجة لا متناه في الكبر .

إن المنحنى $n^2 = f(\omega)$ ممثل في الشكل ٩ - ٤ . وعندما ينتهي ω إلى ω_0 ،



الشكل ٩ - ٤ . تغيرات n^2 مع

النفس ω ، وفقاً للصيغة [١٢،٩]

بقيم متزايدة ، يزداد n^2 متناهِياً الى اللانهاية ، ثم يزداد من جديد ، عندما يكون $\omega > \omega_0$ ، وعلى بدءاً من قيم سالبة لا متناهية في الكبر . وعلى هذا فإن الصيغة [١٢،٩] تتفق كل معنى فيزيائي عندما تقترب كثيراً من ω_0 . ولا يكون للقرينة قيم حقيقية إلا عندما يكون $\omega < \omega_0$ و $\omega > \omega_1$ ، حيث يتعين النبض ω_1 بالشرط $n^2 = 0$ ، أي وفقاً للعلاقة [١٢،٩] :

$$1 + \frac{C}{\omega_1^2 - \omega_0^2} = 0$$

ومنه :

$$\omega_1^2 = \omega_0^2 + C = \omega_0^2 + \frac{Nq^2}{\epsilon_0 m} \quad [١٣،٩]$$

وقد مثل في الشكل ٩ - ٤ الجزء من المنحنى الموافق لقربنة وهمية بخطوط متقطعة . وهو يوافق موجات لا تستطيع ، حسب النظرية ، أن تنتشر في المادة المعتبرة . لذلك لا يمكن استعمال الصيغة [١٢،٩] إلا على بعد معين من ω_0 . وسوف نرى في الفقرة ٩ - ١١ كيف يمكن تعديل هذه الصيغة كي يمتد مجال صلاحها .

لنلاحظ أن ω_0 ، في نظرية المجاوبات ، يمثل النبض الخاص للمهتزاز الميكانيكية ، وأنه يتطابق مع نبض الموجات الكهروطيسية التي تمتصها المادة .

٩ - ٥ . — الصيغ العامة .

أ) إن للغاز بوجه عام عدة مناطق امتصاص ذات تواترات مختلفة . وبتوسيع نظرية الفقرة ٩ - ٣ ، يمكن تصور أن الجزيء الواحد يتضمن مجاوبات من عدة أنواع ، وليكن هناك f_1 مجاوباً ذا شحنة q_1 وكتلة m_1 وتواتر خاص ω_1 ؛ و f_2 مجاوباً ثوابته q_2 و m_2 و ω_2 الخ... فتحل مكان الصيغة [١٢،٩] حينئذ الصيغة التالية :

$$n^2 - 1 = \frac{N}{\epsilon_0} \left[\frac{f_1 q_1^2}{m_1 (\omega_1^2 - \omega^2)} + \frac{f_2 q_2^2}{m_2 (\omega_2^2 - \omega^2)} + \dots \right] \quad [١٤،٩]$$

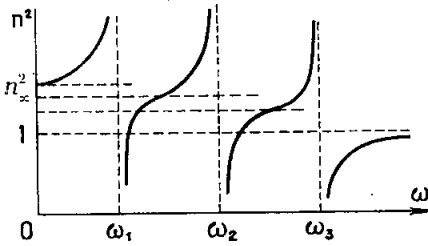
التي يمكن كتابتها كما يلي :

$$n^2 - 1 = \frac{N}{\epsilon_0} \sum_i \frac{f_i q_i^2}{m_i (\omega_i^2 - \omega^2)} \quad [١٥،٩]$$

مثل هذه الصيغة [١٢،٩] ، لا تصح إلا من أجل نبضات ω تختلف بما فيه الكفاية عن النبضات ω_i . وبين الشكل ٩ - ٥ المظهر التخطيطي المبسط للمنحنى

الذي يمثلها ؛ وقد افترض أن هناك ثلاث نبضات خاصة $(\omega_1 < \omega_2 < \omega_3)$. فمن أجل قيم ω أقل كثيراً من ω_1 ، تنتهي n^2 الى قيمة ثابتة :

$$n_\infty^2 = 1 + \frac{N}{\epsilon_0} \sum_i \frac{f_i q_i^2}{m_i \omega_i^2} \quad [١٦،٩]$$



الشكل ٩-٥ . تغيرات n^2 مع النبض ω ، وفقاً للصيغة [١٥،٩]

نوافق الاستقطاب من أجل طول موجي غير محدود ، أي بفعل حقل كهربائي . وعندما تزداد ω إلى أكثر من ω_1 ، ينتهي الحد الاول في المجموع الوارد في [١٥،٩] إلى أن يصبح مهماً ؛ وينتهي المنحنى إلى خط مقارب أفقي :

$$n^2 = 1 + \frac{N}{\epsilon_0} \sum_{i \neq 1} \frac{f_i q_i^2}{m_i \omega_i^2}$$

أخفض من n_∞^2 ، إذا كان $\omega_i \ll \omega \ll \omega_1$ ($i \neq 1$) . ثم يرتفع في جوار النبضات الخاصة المتعاقبة ، وينخفض فجأة ويعود فيرتفع كل مرة نحو خط مقارب أشد انخفاضاً . فإذا رجعنا الى المعادلة [١٢،٩] التي اشتقت منها المعادلتان [١٣،٩] و [١٥،٩] ، فإننا نرى أن النتيجة الاخيرة تنبع من أنه في كل مرة يُصبح فيها ω أعلى بشكل محسوس من النبض الخاص للمجاوب ، فإن السعة التي يأخذها هذا المجاوب تصبح مهمة (انظر الشكل ٩ - ٣٣ من الجزء الثالث) . ويمكن القول أن عطالة المهتز هي من الكبر بحيث أنه لا يستطيع متابعة التغيرات السريعة للحقل المطبق .

وعندما يصبح ω أكبر كثيراً من أكبر النبضات الخاصة يكون لدينا :

$$n^2 = 1 - \frac{N}{\epsilon_0 \omega^2} \sum_i \frac{f_i q_i^2}{m_i} \quad [١٧،٩]$$

وتقترب هذه العبارة من الواحد كلما ازداد ω .

ب) يمكن تحويل الصيغ السابقة باستعمال التواترات أو الاطوال الموجية عوضاً عن النبضات .

فبدلالة التواترات $\nu = \frac{\omega}{2\pi}$ يكون لدينا :

$$n^2 - 1 = \frac{N}{4\pi^2 \epsilon_0} \sum_i \frac{f_i q_i^2}{m_i (\nu_i^2 - \nu^2)} \quad [١٨،٩]$$

وبدلالة الأطوال الموجية $\lambda = \frac{2\pi c}{\omega}$ ، يكون :

$$n^2 - 1 = \frac{N}{4\pi^2 \epsilon_0 c^2} \sum_i \frac{\lambda \lambda_i^2}{\lambda^2 - \lambda_i^2} \frac{f_i q_i^2}{m_i} = \frac{N}{4\pi^2 \epsilon_0 c^2} \sum_i \frac{C_i \lambda^2}{\lambda^2 - \lambda_i^2} \quad [١٩،٩]$$

وذلك بفرض :

$$C_i = \frac{f_i q_i^2 \lambda_i^2}{m_i}$$

وعندما يصبح λ أكبر كثيراً من كل الاطوال الموجية الخاصة λ_i ،
تصبح الصيغة [١٩،٩] كما يلي :

$$n^2 - 1 = \frac{N}{4\pi^2 \epsilon_0 c^2} \sum_i C_i \quad [٢٠،٩]$$

وهي الصيغة التي تأخذها العلاقة [١٦،٩] عندما تستعمل الاطوال الموجية .

ونظراً لأنه يمكن كتابة الصيغة [١٩،٩] على الشكل :

$$n^2 - 1 = \frac{N}{4\pi^2 \epsilon_0 c^2} \sum_i C_i \left(1 - \frac{\lambda_i^2}{\lambda^2}\right) \quad [٢١،٩]$$

فإنه يُرى ، بأخذ [٢٠،٩] بعين الاعتبار ، أنه يمكن وضعها بالشكل التالي :

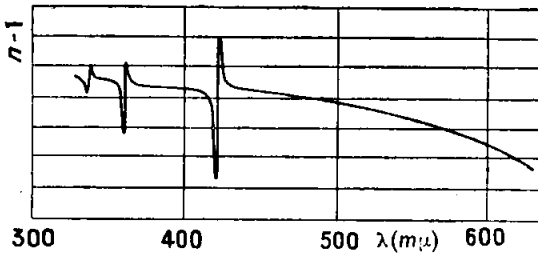
$$n^2 = n_{\infty}^2 + \sum_i \frac{D_i}{\lambda^2 - \lambda_i^2} \quad [٢٢،٩]$$

حيث :

$$D_i = \frac{NC_i \lambda_i^2}{4 \pi \varepsilon_0 c^2} \quad [٢٣،٩]$$

وتحمل الصيغة [٢٢،٩] اسم سالميير Sellmeier ؛ وهي على شاكلة الصيغة التجريبية [١٤،٩] .

ويبين الشكل ٩ - ٦ تبدد الانكسار في حالة بخار الروبيديوم .



الشكل ٩ - ٦ . تبدد الانكسار في حالة الروبيديوم

٩ - ٦ . — مازة الاوساط المكثفة المتماثلة المتناهي :

عندما يصبح العدد N ، للجزيئات في واحدة الحجم ، أكبر بآلاف المرات منه في الغازات النظامية ، كما هي الحال في الموائع والجوامد ، فإن من المعروف (الجزء السادس ١٢،٤) ان الحقل الكهربائي المؤثر على جزيء^(١) لنقطتيه ، لا يساوي الحقل المطبق E ، بل ينبغي ان يؤخذ بعين الاعتبار الحقل المزيل للاستقطاب الذي تولده ثنائيات الاقطاب

(١) استعملت كلمة جزيء هنا لتدل أيضاً على الوحدة المكونة للوسط ، وهي الجزيء في المائع ؛ إما في البلورة فهي عنوى الخيطة العنصرية .

التي نعملها الجزيئات الاخرى . ففي حالة الاوساط المتباعدة المناحي (الموائع ، الزجاج ، البلورات المكعبية) ، بحسب الحقل المؤثر E_i بتطبيق الصيغة [٣٢،٤] من الجزء السادس على الحقول المتغيرة .

$$E_i = E + \frac{P}{3\epsilon_0} \quad [٢٤،٩]$$

$\frac{P}{3\epsilon_0}$ هو عامل لورنتز Lorentz

إن ثنائي الاقطاب المعرض بنشوء الجزء هو :

$$P = \alpha E_i$$

وتصبح علاقة كلاوزيوس - موسوتي Clausius-Mssotti (الجزء الرابع ، [٣٩،٤]) :

$$\frac{\epsilon_r - 1}{\epsilon_r + 2} = \frac{N\alpha}{3\epsilon_0} \quad \text{في الضوء كما يلي :}$$

$$\frac{n^2 - 1}{n^2 + 2} = \frac{N\alpha}{3\epsilon_0} \quad [٢٥،٩]$$

وهي تحمل اسم علاقة « لورنتز - لورنتز » . وهي تؤول الى [٧،٩] عندما يكون n^2 قريباً من الواحد قرباً كافياً بحيث يمكن كتابة $n^2 + 2 \simeq 3$ ، وإذا ادخلنا في [٢٢،٩] عبارة α المعطاة بالعلاقة [٢٥،٩] ، فإننا نجد هوضاً عن [١٣،٩] :

$$\frac{n^2 - 1}{n^2 + 2} = \frac{Nq^2}{3\epsilon_0 m} \frac{1}{(\omega_0^2 - \omega^2)} \quad [٢٦،٩]$$

او ، عندما يحتوي الجزيء على مجموعة من المجاوبات :

$$\frac{n^2 - 1}{n^2 + 2} = \frac{N}{3\epsilon_0} \sum_i \frac{f_i q_i^2}{m_i (\omega_i^2 - \omega^2)} \quad [٢٧،٩]$$

وهي صيغة تقوم مقام [١٥،٩] ، ويمكن ان تؤول الى هذه الصيغة الاخيرة العلاقة [٢٧،٩] وذلك بوضع :

$$\omega_i' = \omega_i - \frac{Nf_i q_i^2}{3\epsilon_0 m_i}$$

حيث يمثل ω_i النبض الخاص للهتز المعدل بفعل جزيئات محيطة ، ويكون حينئذ :

$$n^2 - 1 = \frac{N}{3 \epsilon_0} \sum_i \frac{f_i q_i^2}{m_i (\omega_i'^2 - \omega^2)} \quad [٢٨،٩]$$

وهذه الصيغ ليست صالحة في جوار النبضات الخاصة ω_i أو ω_i' ، شأنها في ذلك شأن الصيغ التي من نمط [١٢،٩] .

٩ - ٧ . — طبيعة المجاوبات الجزيئية :

إن الصيغ النظرية في الفقرات السابقة تحتوي على وسطاء خاصة بالمجاوبات : شحناتها q_i وكتلها m_i وعددها f_i . ولما كنا أعددنا في الفقرة ٩-٩ مناقشة أكثر تفصيلاً ، فإننا نشير هنا بأنه يمكن أن تستنتج من هذه الصيغ نتائج تتعلق بطبيعة المجاوبات الجزيئية : فالمجاوبات التي تسبب الامتصاص فيما فوق البنفسجي هي الالكترونات ، والمجاوبات المسؤولة عن الامتصاص فيما تحت الأحمر هي الذرات .

وها هو ذا مثال على الحاكمت التي تؤدي الى هذه النتيجة

أ) يمثل تبدد انكسار الهدروجين بين $\mu = 0.04$ و $\mu = 9$ بصيغة سلاير ذات حد واحد .

$$n^2 = 1,000\ 272 + \frac{2,11.10^{-18}}{\lambda^2 - 7,76.10^{-15}} \quad [٢٩،٩]$$

فإذا قارنا هنا مع [٢٢،٩] وجدنا أن $D_i = 2,11.10^{-18}$ و $\lambda_i = 8,8.10^{-8} \text{m}$. ونستنتج من [٢٣،٩] ، باعتبار أن قيمة $4\pi\epsilon_0 e^2$ تساوي 10^{-9} وحدات MKSA :

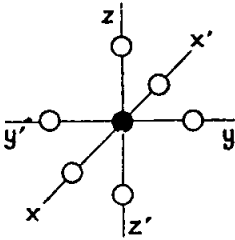
$$\frac{N f_i q_i^2}{m_i} = \frac{2,11.10^{-18} \cdot 10^7 \pi}{6.10^{-29}} = 1,1.10^{18}$$

إن المجاوبات هي ذرات الهيدروجين أو الالكترونات . وفي كلتا الحالتين ، يكون $f_i = 2$. ولما كان $N = 2,72 \times 10^{25}$ جزيئاً/متر مكعب ، فإنه ينتج أن :

$$\frac{q_i^2}{m_i} = \frac{1,1 \cdot 10^{18}}{2,72 \cdot 10^{25}} = 4,0 \cdot 10^{-8}$$

إن قيمة $\frac{e^2}{m}$ للالكترتون تساوي $2,18 \times 10^{-8}$ ، وهي تساوي $1,1 \times 10^{-11}$ من أجل ذرة الهيدروجين . فمرتبة الكبر الناتجة تدل على مجاوبات الكترونية .

ب) لنفترض في بلورة مثائية NaCl مثلاً ، أن اهتزازات الشبكتين البسيطتين (الجزء الثاني ، ١٣ - ٦ ج) لشوارد Na^+ و Cl^- هي التي تولد عزم ثنائي الاقطاب جبي عند تغيير المسافات ما بين الايونات ، ولنسح الي حساب قيمة النبض الخاص للاهتزاز بتطبيق المحاكات التي استخدمت في حالة الجزيئات الثنائية



الشكل ٧-٩ . بلورة NaCl :
الاضلاع التسببية لايون Na
(مثلاً) وايونات Cl الستة
التي تحيط به

الذرة (الجزء الثاني ، ١٠ - ٩) ، فكل ايون من احدى الاشارتين (الشكل ٩ - ٧) تحيط به ستة ايونات من اشارة معاكسة مكونة ثنائي وجوه منتظم (انظر الشكل ١٣ - ٢) في الجزء الثاني) . لتكن m_1 و m_2 الكتلتان الحامتان بالايونين ، وليكن k_0 معامل القوة المعيدة شبه المرن التي تحافظ على المسافة الوسطية بين الايونين المتجاورين . وعندما تنزاح مجموعتا الايونين Na^+ و Cl^- في اتجاهين متعاكسين وفق xx' (او yy' او zz') بمقدار x ، يخضع كل ايون لقوة معيدة مقدارها $2k_0x$ (الجزء الثالث ، ٤ - ٢ د) ، وتعطي معادلات الحركة القيمة التالية للنبض الخامس :

$$\omega_0 = \sqrt{\frac{2k_0}{\mu}} \quad [3, 4, 9]$$

حيث μ الكتلة المختصرة $\mu = \frac{m_1 m_2}{m_1 + m_2}$. ويمكن التعبير عن المعامل k_0 بدلالة واحد من معاملات المرونة للبلورة . وفي الحقيقة ، اذا كانت d المسافة بين ايونين متجاورين (معروفة بواسطة الاشعة السينية) ، فإنه يكون هناك $\frac{1}{d}$ ايون في واحدة الطول من صف الايونات وفق xx' ، و $\frac{1}{d^2}$ صفاً مماثلاً في واحدة المساحة الناطمية على xx' . فيكون لدينا إذن :

$$k_0 = \frac{d^2}{d} c_{11} = dc_{11} \quad [٣١٠٩]$$

حيث c_{11} معامل المرونة الذي يربط بين القوة الموازية الى x/x والتشوه وفق x/x . وتبين الاعداد التالية أن الصيغة [٣٠٠٩] تؤدي الى قيم للنض ω_0 متفقة اتفاقاً كافياً مع القيم التي تنتج من قياسات الامتصاص بحيث يمكن اعتبار الفرضيات التي انطلقنا منها فرضيات صحيحة .

البؤرة	$c_{11}(N/m^2)$	$d(m)$	ω_0 المحسوبة	ω_0 المقاسة
NaCl	$1210 \times 4,9$	$10^{-10} \times 2,8$	$1310 \times 3,3$	$1310 \times 3,2$
KCl	٤,٠	٣,١	٢,٤	٢,٧
KBr	٣,٥	٣,٣	٢,٣	٢,١

وسوف نرى أن ما سبق يسمح بتفسير مفصل لمنحنى تبدد مادة ما وربطه ببنية جزيئاته .

٨ - ٩ . الانكسار في مجال الأشعة السينية .

إن الاطوال الموجية للأشعة السينية هي من مرتبة 10 Å الى 100 Å ؛ فهي أقصر كثيراً من الاطوال الموجية الخاصة الأشد ضالة ، بحيث يمكن تطبيق الصيغة [١٧٠٩] ، التي تصبح اذا كتبت بالاطوال الموجية كما يلي :

$$n^2 = 1 - \frac{N\lambda^2}{4\pi^2\epsilon_0 c^2} \sum_i \frac{f_i q_i^2}{m_i} \quad [٣٢٠٩]$$

ويعود المجموع إلى كل المجاوبات ، الذرات منها والالكترونات ؛ ولكن لما كانت كتلة الاولى أكبر كثيراً من كتلة الثانية ، فإنه يمكن إهمال اسهامها، مثلاً وجدنا في الفقرة ٩ - ٤ . ويكون لدينا إذن :

$$\sum_i f_i = Z$$

حيث يدل Z على عدد الكترونات الذرة ؛ كذلك فإن q_i هي شحنة الالكترون e ، و m_i كتلته . وعلى هذا تصبح الصيغة [٣٢،٩] :

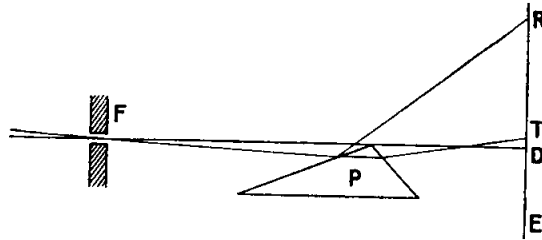
$$n^2 = 1 - \lambda^2 \frac{NZ}{4 \pi^2 \epsilon_0 c^2} \frac{e^2}{m} \quad [٣٢،٩]$$

ولدينا $\frac{e^2}{m} = 2,8.10^{-8} \frac{c^2}{kg}$. ومن أجل النحاس مثلاً $Z = 29$ ، $N = \mathcal{N} \frac{\rho}{A}$ ، حيث الكتلة الذرية $A = 65$ ، والكتلة الحجمية $\rho = 8,5.10^3 \frac{kg}{m^3}$ ، وعدد أفوكادرو $\mathcal{N} = 6,2 \times 10^{23}$ جزيئاً في الكيلومول . فمن أجل $\lambda = 1 \text{ \AA} = 10^{-10} m$ يكون لدينا :

$$1 - n^2 = \frac{10^{-20} \cdot 6,02 \cdot 10^{23} \cdot 8,5 \cdot 10^3 \cdot 29 \cdot 2,8 \cdot 10^{-8}}{314 \cdot 10^7 \cdot 65} \simeq 2 \cdot 10^{-5}$$

فالقرينة تختلف إذن قليلاً عن الواحد في مجال الاشعة السينية . ولهذا الخاصة أهمية عملية بالغة في بصريات الاشعة السينية ، لأنها تحول دون استعمال العدسات والمواشير . وقد أمكن إظهار ان القرينة أقل قليلاً من الواحد بتجارب الانكسار أو الانعكاس الكلي .

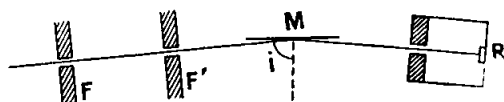
— ٥ — لقد أمكن الحصول على انحراف الاشعة السينية بموشور من الكوارتز كما



الشكل ٨-٩ . حزمة ضيقة من الاشعة السينية حين تلاقي موشوراً من الكوارتز

هو مبين في الشكل ٨-٩ . إن حزمة ضيقة من الاشعة السينية المتباعدة بعض

٥- إن الانعكاس الكلي للأشعة السينية على مرآة M (الشكل ٩ - ٩) يتم



بزاوية ورود أكبر من الزاوية الحرجة l ، حيث $\sin l = n$. وتكون الزاوية l دائماً قريبة من 90° (وهي لا تختلف عنها

٩-٩. — الانكسار في مجال ما فوق البنفسجي والضوء المرئي وما تحت الأحمر.

إن للفروق في البنية الجزيئية ، في هذه المناطق الطيفية ، تأثيراً كبيراً على الانكسار بخلاف ما هو عليه الحال في الأشعة السنّة .

(أ) فيما فوق البنفسجي ، ما بين $\text{\AA} 100$ و $\text{\AA} 4000$ ، نلقى أطوالاً موجية خاصة الكترونية من أجل كل المواد . وصيغ التبدد التي هي من النمط [٢٢،٩] والخاصة بالاجسام غير الملونة ، في الطيف المرئي ، تحتوي كلها على حد واحد على الأقل تكون فيه λ طولاً موجياً فيما فوق البنفسجي .

إن الجزيئات الوحيدة الذرة (الغازات الحاملة ، Na ، Hg ، ...)
والجزيئات الثنائية الذرة المكونة من نوع واحد من الذرات (N_2 ، O_2 ، H_2) ،
والبلورات الشفافة ذات عناصر مثل C (أنواع الماس النقية جداً) ، ليس لها
الا عصابات امتصاص ألكترونية ولا تمتص شيئاً في ما تحت الاحمر . وبمثل
امتصاصها في الطيف المرئي وفي ما تحت الاحمر تمثيلاً جيداً بصيغ من نوع الصيغة
المستعملة من أجل الهيدروجين [٢٩،٩] ، أي :

$$n^2 = n_{\infty}^2 + \frac{D}{\lambda^2 - \lambda_v^2}$$

فمثلاً ، بين ٠،٤ و ٩ ميكرون ، لدينا :

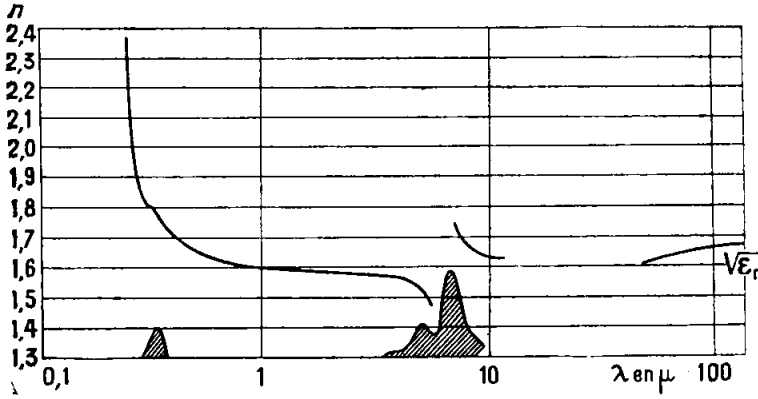
$\lambda_v = 8,36 \cdot 10^{-8} \text{m}$	$D: 3,70 \cdot 10^{-18}$	$n_{\infty}^2 = 1,000528$	الأكسجين
$7,5 \cdot 10^{-8}$	$3,28 \cdot 10^{-18}$	$1,000576$	الهواء

وتكون قيمة n_{∞}^2 ، التي يتم الحصول عليها بالاستقراء الخارجي ، على اتفاق
حسن مع قيمة ϵ_r (انظر الجدول ٩-١) من أجل كل تلك المواد .

وفي الحقيقة ، ليس هناك في طيف ما فوق البنفسجي لهذين الغازين أكثر من
نهاية عظمى واحدة للامتصاص : فالأكسجين مثلاً يُظهر منها اثنتي عشرة نهاية
ما بين 1800 \AA و 2000 \AA . فقيمة λ_v لا تستنتج إذن من التجربة ، ولهما
تمثل وسيطاً لا يراد منه الا أن يوجد في منطقة الامتصاص . والامر
كذلك من أجل العديد من البلورات ، فطيف NaCl مثلاً ، له نهايتان أعظميتان
للامتصاص عند $0,158 \mu$ وعند $0,128 \mu$ ، ونهايات عظمى أخرى بلاريب من
أجل الاطوال الموجية الاقصر . ومع ذلك فإن يمكن تمثيل تبدد هذا الجامد ،
ما بين $0,3 \mu$ و $0,5 \mu$ ، بصيغة سلماي ذات حد واحد لما فوق البنفسجي الذي
أخذ طول موجته λ مساوياً $0,105 \mu$ ، ولكن من الممكن اختيار طول
يختلف عن ذلك قليلاً دون نقصان في الدقة .

وفي كل هذه الحالات ، يعود النجاح في التقريب المستعمل الى أن امتداد طيف الامتصاص ضئيل بالنسبة للمسافة التي تفصله عن مجال الاطوال الموجية الذي تطبق فيه الصيغة .

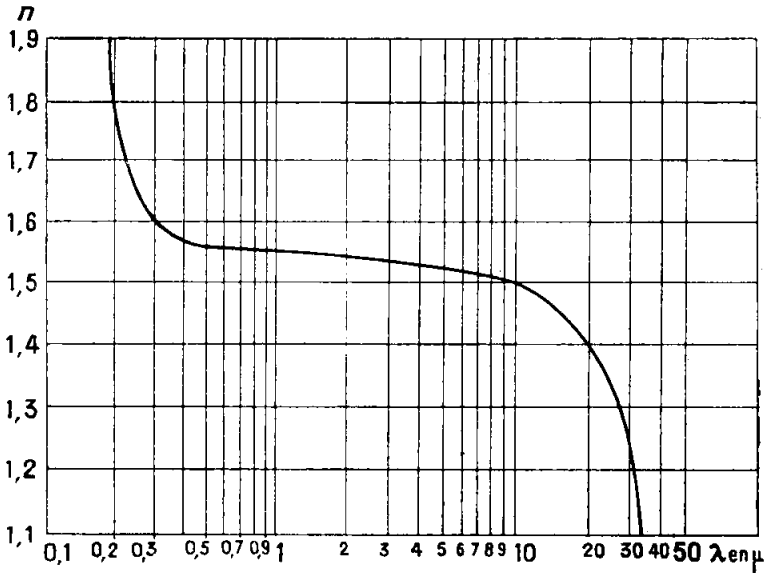
(ب) إن للجزيئات الثنائية الذرات المكونة من ذرات مختلفة، ولكل الجزيئات الكثيرة الذرات ولكل بلورات المواد المركبة، عصابات امتصاص في كلا الطيفين، مافوق البنفسجي وما تحت الاحمر. ومن اجل المواد الشفافة من هذا النوع، نجد ان قرينة الانكسار، بعد ان يبدو أنها تنتهي، من البنفسجي الى الاحمر، نحو حد ما، تأخذ في التناقص عندما تتابع القياسات في ما تحت الاحمر (الشكل ٩ - ١٠ والشكل ٩ - ١١) فلا يمكن إذن أن نتوقع وجود اتفاق حسن بين قيمة n ،



الشكل ٩ - ١٠ - قرينة انكسار CS_2 المائع بين ٠.٣ و ١٠٠ μ
(الفواصل الغريتمية) . المناطق المخططة تمثل مناطق امتصاص .

المستقرة خارجياً بدءاً من قياسات في الطيف المرئي ، وبين قيمة n_r . ولكن الاتفاق يعود فيحدث غالباً عندما يؤخذ بعين الاعتبار تأثير عصابات ما تحت الاحمر ، سواء أكان ذلك بصيغ من نوع [٢٨، ٩] أم بقياسات فيما تحت الاحمر البعيد . فن أجل كبريت الفحم المائع، الشكل (٩ - ١٠)، تعطى القياسات فيما

بعد 100μ من طيف مانتحت الاحمر ، القيمة الثابتة $n_{\infty}^2 = 2,75$ ، ويعطى قياس ϵ_r المقدار $2,63$. ومن أجل NaCl (الشكل ٩ - ١١) ، نحسب $n_{\infty}^2 = 6,1$ من أجل $\lambda = 300 \mu$ ، و $\epsilon_r = 5,8$ ؛ ومن أجل الكوارتز (الشكل ٩ - ٢٦) وفي حالة $\lambda = 56 \mu$ نجد $n = 2,12$ من أجل الشعاع العادي و $\epsilon = 2,11$.



الشكل ٩ - ١١ - قرينة انكسار NaCl الجامد بين $0,2$ و 30μ (الفواصل لغريتمية) .

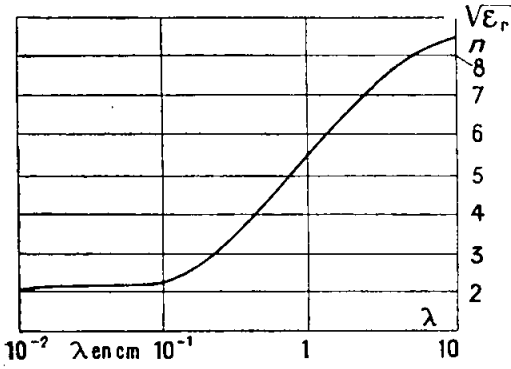
٩ - ١٠ . - الانكسار في مانتحت الاحمر البعير وفي المجال الهرنزي :

أ) غير انه في حالات معينة ، تظل هناك فروق هامة بين قيم ϵ_r وقيم n_{∞}^2 المقاسة من أجل أطوال موجية أعلى من الأطوال الموجية للاهتزازات الذرية في مانتحت الاحمر . ففي حالة الماء مثلاً يكون $n_{\infty}^2 = 4,37$ من أجل $\lambda = 150 \mu$ ، ويكون $\epsilon_r = 79$.

وتتعلق كل هذه الحالات بمركبات ، أغلبها من السوائل ، تكون جزيئاتها قطبية ، أي تتمتع بعزم ثنائي الاقطاب دائم . ولا تعود سماحية الوسط الى نشوء الجزيئات فقط ، بل تعود ايضاً الى اتجاهاتها في الحقل الكهربائي (الجزء السابع ، ٤-١٢) . وعلى هذا ، أخذت الظاهرة الاولى فقط بعين الاعتبار من أجل حساب ϵ_r . وينبغي التمييز بين حالة الغازات وحالة الموائع .

(ب) في الغازات القريبة من الحالة الكاملة ، تكون الجزيئات حرة في أن تدور (الجزء الثاني ١٠ - ٨) . وفي هذه الحالة ، يكفي اعتبار مرتسم عزم ثنائي الاقطاب على منحى الحقل الكهربائي للموجة (الجزء الاول ، ١٤ - ١ ب) كي يُرى أن دوران عزم ثنائي الاقطاب يكافئ اهتزاز الشحنة . وتحدث ظاهرة تجاوب عندما تساوى السرعة الزاوية للدوران ω نبض الموجة ؛ وينتج عن ذلك ، على جانبي ω_0 ، تغير في الاستقطاب شبيه بالتغير الذي يمثله الشكل ٩ - ٤ . فمثلاً ، ان قيمة مربع قرينة انكسار حمض الكلور HCl ، المستقرأ فيما بعد منطقة امتصاص ما تحت الاحمر قريباً من 4μ ، تساوي $n^2=1,00088$ بينما $\epsilon_r=1,000104$. وينبغي أن يُعزى الفرق الى تأثير تواترات الدوران ، التي توافق أطوالاً موجية أكبر من ٦٠ ميكرون ، والتي لم نجر من أجلها قياسات للقرينة .

(ج) وبينما يتوقع ، وفقاً لما سبق ، أن سماحية الغازات ينبغي أن تصبح أعلى من ϵ_r عندما يزداد النبض بما فيه الكفاية بدءاً من الصفر ، يلاحظ عكس ذلك في حالة الموائع ، كما يتبين من الشكل ٩ - ١٢ ، الخاص بالماء . ومن المعروف (الجزء السابع ، ٤ - ٥) أن الزوجية ، في هذه الحالة ، تسبب وجود زمن الارتخاء τ ، بما لا يسمح لثنائيات الاقطاب الجزيئية بأن تتابع تغيرات الحقل وان تقدم مساهمتها الكاملة في الاستقطاب بالتوجيه ، إلا إذا كانت هذه التغيرات بحيث يكون $\omega \tau$ أقل كثيراً من الواحد . وعندما يكون



الشكل ٩-١٢. قرينة الانكسار n للماء H_2O السائل بين ١٠ و ١٠٠ سم (الفواصل لغريتمية) عندما يزداد λ ، تنتهي n إلى $\sqrt{\epsilon_r}$.

١ $\omega \tau \gg 1$ ، تنقطع ثنائيات الاقطاب عن أن تكون قادرة على أن توجه. وفي المجال الذي يكون فيه $\omega \tau$ من مرتبة الواحد، تتناقص السماحية تناقصاً مربعاً. إن شكل منحنى الشكل ٩-١٢ تتنبأ به النظرية (الشكل ٤-٧ من الجزء السابع^(١)).

وإذا توخينا الدقة فإننا نرى، بالرجوع الى الصيغة [١٧،٤] من الجزء السابع، أن الاستقطاب بالتوجيه، الذي يساوي $\frac{Np_0^2}{3kT}$ في حقل راكد (الجزء السادس، ٤-١٢) يصعب في حقل نبضه ω ، مساوياً :

$$\frac{Np_0^2}{3kT} \frac{1}{1 + j\omega\tau} \quad [٣٤،٩]$$

فمن أجل الماء، يكون τ قريباً من ١٠-١١ ثانية. وتلاحظ في جوامد معينة، ظواهر شبيهة بالظواهر السابقة، ولكن بقيم أكبر كثيراً من زمن الارتخاء. فمن أجل الزجاج مثلاً، يكون τ من مرتبة ١٠-٤ ثانية.

٩-١١. — استقطاب ثنائي الاقطاب، الذري والالكتروني.

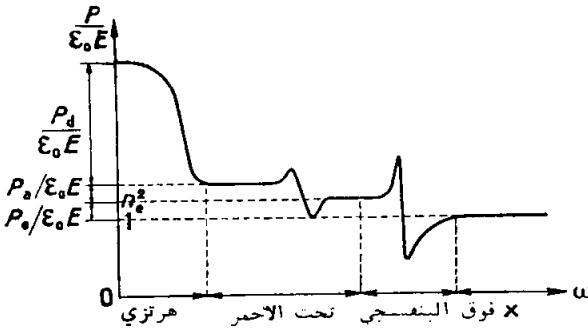
(أ) وجهة القول، إن قياسات السماحية التي تم في حقل كهراكدي أو عند

(١) يلاحظ أن هذه الصورة تختلف اختلافاً بيناً عن صورة منحنيات الشكل

تواترات صناعية تكشف عن استقطاب العازل الذي له ثلاثة أصول . فتوجيه عزوم ثنائي الاقطاب الدائمة للجزيئات ، اذا كانت هذه الجزيئات قطبية ، يولد الاستقطاب ثنائي الاقطاب P_d . وخلق عزوم ثنائي الاقطاب المحرّضة في الجزيئات يحدث في وقت معاً بفعل تغير الاوضاع الوسطية للذرات المشحونة (استقطاب ذري او ايوني P_a) ، وبفعل انفصال مراكز ثقل الشحنات الموجبة والشحنات السالبة . ولما كانت كتلة الالكترونات أقل كثيراً من كتلة النواة الذرية ، فان انزياح الالكترونات يكون أكبر كثيراً من انزياح النوى (باعتبار أن مركز عطالة الكتلة يظل ثابتاً) : لذلك سمي هذا الجزء من الاستقطاب ، الاستقطاب الالكتروني P_e . ويكون لدينا وفقاً للعلاقة [٦،٩] :

$$\frac{P}{\epsilon_0 E} = \frac{1}{\epsilon_0 E} (P_e + P_a + P_d) = \epsilon_r - 1$$

وبين الشكل ٩ - ١٣ بشكل تخطيطي مبسط كيف تنضاف الكميات السابقة في مختلف المناطق الطيفية وتختفي ، تحت تأثير عطالة الجسيمات ، كلما ازداد تواتر الحقل .



الشكل ٩ - ١٣ . تخطيط يظهر الاصول الثلاثة للاستقطاب الكهربائي

ومن أجل جزيئات غير قطبية ، يكون $P_d = 0$ ، واذا رمزنا بـ n_e الى

قيمة قرينة الانكسار المستقرأة عند الاطوال الموجية الكبيرة اعتماداً على قياسات أجريت في الطيف المرئي ، فإننا نجد :

$$\frac{P_e}{\epsilon_0 E} = n_e^2 - 1, \quad \frac{P_a}{\epsilon_0 E} = \epsilon_r - n_e^2 \quad [٣٥,٩]$$

ب) يمكن أن نحسب الاستقطابية الالكترونية α_e ، من أجل المواد المثالة المناحي بالصيغة [٣٥,٩] :

$$\frac{N\alpha_e}{3 \epsilon_0} = \frac{n_e^2 - 1}{n_e^2 + 2}$$

وقد وُجد ان قيم α_e من مرتبة 10^{-40} F.m^2 ، كما تظهر ذلك الاعداد التالية :

المادة	He	Ar	O ₂ غاز	O ₂ سائل	H ₂ O بخار	H ₂ O سائل	HCl	HI
$\alpha_e \cdot 10^{40}$	0,2	1,8	1,78	1,77	1,68	1,64	2,9	6

ان مرتبة الكبر هذه هي تماماً المرتبة التي تعطيها الصيغتان [٣٥,٩] و [٣٦,٩] بأخذ $\lambda_0 = 2.10^{-7} \text{ m}$ ($0,2 \mu$) ، وبإهمال ω^2 أمام $\omega_0^2 = \frac{4 \pi^2 c^2}{\lambda_0^2}$ ، أي :

$$\alpha_e \simeq \frac{e^2}{m\omega_0^2} \simeq \frac{2,56 \cdot 10^{-38} \cdot 4 \cdot 10^{-14}}{9,10^{-31} \cdot 4\pi^2 \cdot 9 \cdot 10^{16}} \simeq 3 \cdot 10^{-40} \text{ F.m}^2$$

وتبين الاعداد السابقة أنه ، من أجل مادة معينة وتواتر معين ، لا تتعلق قيم α_e إلا قليلاً بالحالة الفيزيائية . وبعبارة أخرى ، فإن الكمية $\frac{n^2-1}{n^2+1} \cdot \frac{1}{n}$ ، أو الكمية :

$$\alpha_R = \frac{n^2-1}{n^2+2} \cdot \frac{1}{\rho} \quad [٣٦,٩]$$

حيث يدل ρ على الكتلة الحجمية ، تظل ثابتة تقريباً عندما يتغير N أو ρ ، ولو كان هذا التغير كبيراً . وتسمى هذه الكمية الانكسار النوعي أو لامتغير الانكسار . فلدينا مثلاً :

المادة	الماء	كبريت الفحم	الكلوروفورم	الكحول الايثيلي
$\left. \begin{array}{l} \text{بجار} \\ \text{سائل} \end{array} \right\} 10^4 \mathcal{R} \left(\frac{\text{m}^3}{\text{kg}} \right)$	1,26	2,90	1,80	2,82
	1,25	2,81	1,79	2,80

إن ثبات الانكسار النوعي [٣٦،٩] المبني على العبارة [٢٤،٩] للحقل المؤثر ، تتحقق صحته تحققاً أفضل بكثير من ثبات العبارة $\frac{n^2-1}{\rho}$ التي يمكن استنتاجها من الصيغة [٧،٩] .
وإذا ضربنا الكمية [٣٦،٩] بالكتلة الجزيئية للمادة ، فنحصل على العبارة التالية .

$$\mathcal{R}_m = \frac{n^2 - 1}{n^2 + 2} \cdot \frac{M}{\rho} \quad [٣٧،٩]$$

التي تسمى الانكسار الجزيئي ، الذي يتغير أيضاً بتغيرات الحالة .
وقد سعي الى تمثيل الانكسار الجزيئي للمركبات بمجموع حدود خاصة بذراتها المكونة لها . فمن أجل مركب صيغته $A^a B^b C^c \dots$ ، نحسب \mathcal{R}_m من العلاقة :

$$\mathcal{R}_m \approx a\mathcal{R}_a + b\mathcal{R}_b + \dots \quad [٣٨،٩]$$

حيث تمثل \mathcal{R}_a و \mathcal{R}_b ، .. الانكسارات الذرية ، وهي مقادير ثابتة تميز العناصر المختلفة (انظر الجزء السادس ، ١٤ - ١٠ د) . وقد حسبنا الانكسارات

الذرية للعناصر H و O و N و Cl ... بالصيغة [٣٨،٩] بأخذ نصف قيمة R_m الخاصة بالجزئيات الثنائية الذرة للأجسام البسيطة . وعلى سبيل المثال ، وجدت القيم التالية (من أجل الخط D) :

العنصر	H	O	N	Cl	Br
$10^4 R_m$	1,1	2,0	2,2	5,9	8,7

وتعطى الصيغة [٣٨،٩] نتائج بين بين ، عندما تُطبق على المركبات غير العضوية ، كما تبين ذلك الأمثلة التالية :

المركب	H ₂ O	HCl	HBr	N ₂ O	NO
$10^4 R_m$ من [٣٧،٩]	3,74	6,67	9,08	7,53	4,36
$10^4 R_m$ من [٣٨،٩]	4,2	7,0	9,8	6,4	4,2

ويتحسن الاتفاق بين الصيغتين [٣٧،٩] و [٣٨،٩] ، من أجل المركبات العضوية ، بأن تضاف الى العلاقة الاخيرة حدود بنية تميز طبيعة الصلات بين الذرات أو التابع الكيميائي لكل منها . فمثلاً ، قيمة R_m من أجل الكحول الإيثيلي C₂H₆O تساوي ١٢,٨٩ وفقاً للعلاقة [٣٧،٩] .

وفي البلورات الايونية المكعبة ، كبلورات المركبات القلوية للهالوجينات ، تكون الاستقطابية ، المحسوبة بالصيغة [٣٥،٩] ، ممثلة تمثيلاً جيداً نوعاً ما بمجموع حدين خاصين بالايونين :

Rb	K	Na	Li	I	Br	Cl	F	الايون :
1,8	0,9	0,3	0,03	6,5	4,5	3	1	$\alpha_e \cdot 10^{40}$

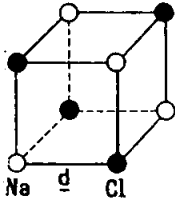
ج) ويمكن ايضا الحصول أحيانا على مرتبة كبرها بحسابات بسيطة . ويصح هذا في

حالات البلورات المكعبية للهالوجينات القلوية ، التي سبق اعتبارها في الفقرة ٩ - ٧ .
وفي الحقيقة ، فإن عزم ثنائي الاقطاب الذي يتولد بانتقال نسبي x للأيونين المتجاورين اللذين
شحنتها e ، تحت تأثير حقل كهراكدي E ، يساوي :

$$P_a = ex = \alpha_a E$$

وتتوازن القوة المعيدة $2k_0x$ حينئذ مع القوة الكهراكدية eE ، ومنه نجد وفقاً
للعلاقة [٣٠،٩] :

$$x = \frac{eE}{2k_0} = \frac{eE}{\mu\omega_0^2}$$



ويكون الاستقطاب P_a ، أي عزم ثنائي الاقطاب لوحدة

الحجم ، مساوياً $P_a = \frac{pa}{V}$ ، حيث V الحجم الذي يشغله الأيونان .

ويرى في الشكل ٩-١٤ أن $V = 2d^3$ لأن المكعب ذا الضلع d
يحتوي على $\frac{1}{8}$ من الأيونين . فيكون لدينا إذن :

$$\frac{P_a}{\epsilon_0 E} = \epsilon_r - n^2 = \frac{e^2}{\epsilon_0 \omega_0^2 \mu 2 d^3}$$

ونجد $\epsilon_r - n^2 = 2,7$ ، اعتماداً على معطيات الفقرة ٩ - ٧ من أجل NaCl وعلى

أن : $\frac{\partial \epsilon_r}{\partial \mu} = \frac{23 + 35,5}{23 \times 35,5}$. ويعطي القياس المباشر $\epsilon_r = 5,63$ و $n^2 = 2,25$ أي :

$$\epsilon_r - n^2 = 3,38$$

٩ - ١٢ . — نظرية التبدد الشاذ في الأجسام الكهروناظرية (العازلة) :

أ) إذا أدخلنا ، في سبيل شرح الانكسار ، تواقف المهتزازات الجزيئية التي
تخضع لقوانين الميكانيك النيوتني ، فمن الطبيعي إتمام المعادلة [٩،٩] بأن
ندخل فيها حد يتناسب مع سرعة الاهتزاز ، كما في [٨،١] ، مما يعطى
معادلة مماثلة للمعادلة [٣٥،٤] في الجزء الثالث :

$$m \frac{d^2 s}{dt^2} + k' \frac{ds}{dt} + k_0 s = q E_m \sin \omega t \quad [٣١،٩]$$

ويمكن كتابتها ، كما في الفقرة ٥ - ١١ من الجزء الثالث ، باستعمال الاعداد العقدية :

$$s (-m \omega^2 + j \omega k' + k_0) = q E \quad (j = \sqrt{-1})$$

وتستنتج من ذلك ، نظراً لكون $p = qs$ ، عبارة الاستقطابية

$$\alpha = q \frac{s}{E} = \frac{q^2}{m (\omega_0^2 - \omega^2 + j k'' \omega)} \quad [٤٠،٩]$$

$$k'' = \frac{k'}{m} \quad \text{و}$$

حيث $\omega_0^2 = \frac{k_0}{m}$. وعندما يؤخذ التخماد بعين الاعتبار ، تصبح الاستقطابية عندئذ مقداراً عقدياً ، مما يدل (الجزء السابع ، ٢ - ٧) على أنه يوجد فرق في الطور بين p و E . ونحل مكان الصيغة [١٥،٩] الصيغة التالية :

$$n^2 - 1 = \frac{N}{\epsilon_0} \sum_i \frac{f_i q_i^2}{m_i (\omega_i^2 - \omega^2 + j k_i'' \omega)} \quad [٤١،٩]$$

وذلك عندما يكون هناك بضعة مهتزازات تختلف في نبضاتها الخاصة وفي تخامداتها.

ب) ولمناقشة هذه الصيغة ، سوف نقصر على اعتبار منطقة امتصاص واحدة ، في غاز ذي ضغط منخفض ، بحيث يمكن وضع $(n-1)$ 2 مكان n^2-1 ، نظراً لكون قوينة الانكسار قريبة جداً من الواحد . حينئذ تكتب المعادلة [٤١،٩] كما يلي :

$$n - 1 = n - jk - 1 = \frac{N f_i q_i^2}{2 \epsilon_0 m_i} \frac{1}{\omega_i^2 - \omega^2 + j k_i'' \omega} \quad [٤٢،٩]$$

لنجعل على حدة الاقسام الحقيقية والاقسام الوهمية الصرفة من كلا الطرفين :

$$\left. \begin{aligned} n - 1 &= \frac{Nf_i q_i^2}{2 \epsilon_0 m_i} \frac{\omega_i^2 - \omega^2}{(\omega_i^2 - \omega^2)^2 + k_i'^2 \omega^2} \\ k &= \frac{Nf_i q_i^2}{2 \epsilon_0 m_i} \frac{k_i' \omega}{(\omega_i^2 - \omega^2)^2 + k_i'^2 \omega^2} \end{aligned} \right\} \quad [٤٣،٩]$$

ولنفرض أن الامتصاص يمتد الى منطقة طيفية بما يكفي لتمكيننا من كتابة :

$$\omega_i^2 - \omega^2 = 2 \omega_i (\omega_i - \omega)$$

ومن وضع :

$$k_i' \omega \simeq k_i'' \omega_i \quad [٤٤،٩]$$

نظراً لأن نبض الموجات المعتبرة يختلف قليلاً عن ω_i .

لنأخذ كذلك متحولاً النسبة :

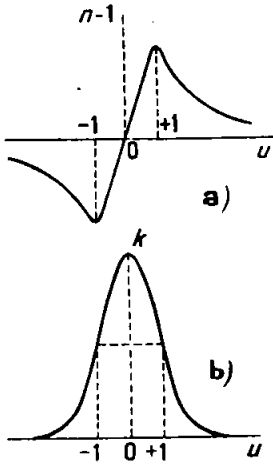
$$u = \frac{2 (\omega_i - \omega)}{k_i''} \quad [٤٥،٩]$$

وحينئذ تكتب الصيغتان [٤٣،٩] كما يلي :

$$n - 1 = \frac{Nf_i q_i^2}{2 \epsilon_0 m_i k_i'' \omega_i} \frac{u}{u^2 + 1} = A \frac{u}{u^2 + 1} \quad [٤٦،٩]$$

$$k = \frac{Nf_i q_i^2}{2 \epsilon_0 m_i k_i'' \omega_i} \frac{1}{u^2 + 1} = A \frac{1}{u^2 + 1} \quad [٤٧،٩]$$

ويكون للمنحنين اللذين يمثلان التابعين [٤٦،٩] و [٤٧،٩] الهيئة



الشكل ٩-١٠ . تمثيل التابعين
[٤٦،٩] و [٤٧،٩]

المبينة في الشكلين ٩ - ١٥ و b ، ويحدد المنحنى $k = f(u)$ خط امتصاص . وعندما $u = 0$ ، يكون $\omega = \omega_i$ ، ويمر الامتصاص بقيمة عظمى تساوي A ، وتندعم القيمة $n - 1$. وعندما $u = \pm 1$ يكون $\frac{A}{2}$ ، وينقص الامتصاص الى $\frac{k_i''}{2}$. وتدل المسافة الفاصلة k_i'' على نصف عرض خط الامتصاص (الفقرة ٤ - ١٦) ؛ وعندما $u = +1$ ، يمر $n - 1$ بقيمة عظمى تساوي $\frac{A}{2}$ ، وعندما $u = -1$ ، يمر $n - 1$ بقيمة

صغرى تساوي $-\frac{A}{2}$. وتقع بين هاتين النهايتين العظمى والصغرى ، منطقة الامتصاص الشاذ . ويلاحظ أن لمنحنى الشكل ٩ - ١٥ تماماً المظهر العام للمنحنى التجريبي للتبدد المبين في الشكل ٩ - ٢ .

ج (يمكن حساب الثابت A الوارد في الصيغتين [٤٦،٩] و [٤٧،٩] بواسطة قياسات الامتصاص التي تسمح بتعيين مقدار ما يفقده التدفق الوحيد اللون نتيجة لاختراقه ثغراً dx من الوسط ، والذي يخضع (الفرقة ٥ - ١١ ب) للقانون التالي :

$$-d\mathcal{E} = 2K\mathcal{E}dx$$

$$\text{حيث } K = \frac{\omega k}{c} \text{ ، وفقاً للعلاقين [١١،١] و [١٤،١] .}$$

ولما كنا قد افترضنا فيما سبق أن منطقة الامتصاص ضيقة، فإننا نقول إن التدفق \mathcal{E} الذي يرسله المنبع ذو قيمة ثابتة على كل امتداد هذه المنطقة . ولكن K يختلف باختلاف ω فيكون لدينا إذن :

$$- d^2\mathcal{E} = 2 \mathcal{E} dx \int K d\omega = \frac{2 \mathcal{E} dx}{c} \int k \omega d\omega$$

مع امتداد التكامل الى المجال الطيفي حيث تكون k قيمة كبيرة . وبالتعويض عن k بالعبارة [٤٧،٩] ، وملاحظة أن $\frac{d\omega}{k_i} = -2 \frac{du}{u^2+1}$ ، وفقاً للعلاقة [٤٥،٩] نحصل على :

$$d^2\mathcal{E} = \mathcal{E} dx \frac{N f_i q_i^2}{2 \epsilon_0 m_i \omega_i c} \int \omega \frac{du}{u^2+1}$$

او اذا وضعنا ω_i مكان ω ، كما في [٤٤،٩] :

$$d^2\mathcal{E} = \mathcal{E} dx \frac{N f_i q_i^2}{2 \epsilon_0 m_i c} \int \frac{du}{u^2+1}$$

ويرى في الشكل ٩-١٥ ، أن للتكامل ، الذي يساوي المساحة المحصورة بين المنحني ومحور الفواصل ، قيمة متقاربة في مجال u حيث يكون الامتصاص محسوساً وفي المجال من $-\infty$ الى $+\infty$. فلدينا إذن على نحو تقريبي :

$$d^2\mathcal{E} \simeq \mathcal{E} dx \frac{N f_i q_i^2}{2 \epsilon_0 m_i c} \int_{-\infty}^{+\infty} \frac{du}{u^2+1}$$

وتكون للتكامل عبارة هي $\arctg u$ وقيمتها π ، مما يعطي اخيراً :

$$d^2\mathcal{E} \simeq \frac{\pi N f_i q_i^2}{2 \epsilon_0 m_i c} \mathcal{E} dx \quad [٤٩،٩]$$

وبلاحظ ان ما يفقده التدفق لا يتوقف على العرض k_i' ، لخط الامتصاص ، ولا يتعلق الا بالشوابع الجزئية وكذلك على عدد الجزيئات في واحدة الحجم N .

وعندما لا يكون الامتصاص ضئيلاً ، يحل محل الصيغتين [٤٣،٩] و [٤٨،٩] علاقات اقل بساطة .

إن الدراسة التجريبية لشكل خطوط الامتصاص للغازات تتفق في حالات معينة مع منحنى الشكل ٩-١٥ ، وفي أغلب الاحوال ، على الرغم من أن

المظهر العام كمظهر هذا المنحنى ، فإن التمثيل ليس أميناً جداً . وليست فرضية المهيزات التوافقية المتخامدة ، التي يستند عليها التمثيل السابق للامتصاص ، تقريباً مرضياً جداً . وسوف نناقش أسباب ذلك في الفقرة ٩ ١٤ .

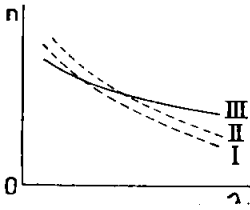
٩ - ١٣ . الانعكاس والتبدد :

أ) إن الصيغة [٣،٨] التي تعطي، في حالة الاجسام الشفافة، عامل الانعكاس عندما يكون الورود ناظماً من وسط قرينته n على وسط قرينته n' بالعلاقة :

$$\rho = \left(\frac{n - n'}{n + n'} \right)^2 \quad [٤٩،٩]$$

مُبين أن ρ يتغير بتغير طول الموجة ، نتيجة لتبدد القرينتين n و n' . وفي الحالة الخاصة عندما يتحقق تساوي القرينتين n و n' من أجل شعاعة ما ، مما يجعل ρ منعدماً ، فإنه لا يحدث ذلك بوجه عام من أجل الشعاعات المجاورة ، فتكون هناك نهاية منعدماً صغرى للعامل ρ في المنطقة الطيفية المعنية .

٥- تجربة كريستيانسن Christiansen : يصب حامض الهيدروفلوروسيليسيك Hydrofluosilicique في محلول مركز من كلور البوتاسيوم ، فيتكون راسب من فليوسيليكات البوتاسيوم ، بشكل بلورات صغيرة مكعبية الشكل شفافة وعديمة اللون ، ذات قرينة تساوي قرينة المحلول من أجل شعاعة معينة في الطيف المرئي . فمن أجل هذه الشعاعة ، يكون المزيغ شفافاً ، $\rho = 0$ ، ويكون الانكسار منعدماً ؛ أما الشعاعات الأخرى فتعاني انعكاسات متعددة على أوجه البلورات وتنعكس أو تنكسر في كل الاتجاهات . فالضوء البارز يكون تبعاً لذلك ملوناً . ويميل اللون الى الازرق عندما يضاف الماء الى المزيغ ، مما يقلل قرينة انكسار السائل ؛ ويميل الى الاحمر عندما يضاف محلول مشبع من



الشكل ٩ - ١٦ - تجربة كريستيانسن
I ، ماء ؛ II ، محلول ؛ III فليوسيليكات
البوتاسيوم .

كلور البوتاسيوم، مما يزيد هذه القرينة .
ويستنتج من ذلك أن تبدد فليوسيليكات
البوتاسيوم أضعف من تبدد الماء
(الشكل ٩ - ١٦) .

ب) في حالة الاجسام الماصة ،
بحسب عامل الانعكاس عندما يكون
الورود ناظماً بتعميم الصيغة [٤٩،٩] ،
بحيث نحل القرينة العقدية n مكافئ
قرينة الانكسار n :

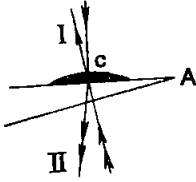
$$\sqrt{\rho} = \left(\frac{n - n'}{n + n'} \right) \quad [٥٠،٩]$$

فعامل الانعكاس ρ هو إذن مقدار عقدي قيمة طويلته تساوي (انظر
: [٤٨،٨]) :

$$\rho = \frac{(n - jk - n')(n + jk - n')}{(n - jk + n')(n + jk + n')} = \frac{(n - n')^2 + k^2}{(n + n')^2 + k^2} \quad [٥١،٩]$$

وتبين هذه الصيغة أنه ينبغي أن يكون تبدد عامل الانعكاس أشد تعقيداً
في حالة الاوساط الماصة منه في حالة الاوساط الشفافة ، ذلك لان التبدد يتوقف
على k كما يتوقف في الوقت نفسه على n و n' . فإذا كان $n' - 1$ (الهواء) ،
فإن ρ لا ينعدم عندما $n = 1$ ، كما هو الحال عندما يكون الوسط شفافاً ،
ولما يكون $\rho = \frac{k^2}{4 + k^2}$ ، أي يزداد k . ويمكن أن يأخذ عامل الانعكاس
قيماً عالية من اجل شعاعات معينة ؛ ويكون الضوء المنعكس حينئذ شديداً
جداً : ويقال عندئذ إن الجسم الماص يتمتع بانعكاس معدني اصطناعي . ولكن
وجود نهايات عظمى أو نهايات صغرى للعامل ρ يتوقف بطريقة معقدة على مظهر
منحنيات التبدد $n = f(\lambda)$ و $k = f(\lambda)$ ، كما تبين ذلك التجربة التالية :

٥- تصهر بلورة من السيانين C على الوجه النظيف جداً من موشور زجاجي



الشكل ٩-١٧ - انعكاس
اصطفائي على السيانين
في الهواء وفي الزجاج.

ذي زاوية صغيرة A (الشكل ٩-١٧)،

بحيث لا يكون للحزمتين المنعكستين
على الوجه الداخلي وعلى الوجه الخارجي
من هذا المستند المنحنى نفسه . فضوء
منبع أبيض منعكس على سطح المادة
الملونة الذي هو على تماس مع الهواء يعطي

شعاعاً I ذا لون أرجواني ؛ أما ذلك الذي ينعكس على السطح الذي هو على تماس
مع الزجاج فيعطي شعاعاً II ذا لون اخضر - اصفر . وتفسر هذه النتائج بتبدد
السيانين وامتصاصه . ان منحنى p_1 في الشكل ٩-٢ يبين قيم عامل الانعكاس
المحسوبة استناداً على قيم n و k ، من أجل $n'=1$ (السيانين على تماس مع
الهواء) ، ويبين منحنى p_2 القيم المحسوبة من أجل $n'=1,5$ (السيانين على تماس
مع الزجاج) . ويرى أن هناك نهاية صغيرة ملحوظة من أجل p_1 في منطقة
الاخضر . وتلاحظ في الواقع عصابة مظلمة في طيف الضوء المنعكس ، يكون
لوناً مكتملاً للون الاخضر . ولا يُظهر منحنى p_2 الا نهاية عظمى واقعة في
الاصفر المخضر ، مثلما يُظهر ذلك منحنى k .

٥- شوهد الانعكاس المعدني الاصطفائي على بخار الزئبق ، الذي يمتص امتصاصاً
قوياً شعاعاً التجاوب ذات الطول الموجي $\lambda = 2537 \text{ \AA}$. ويولد البخار بكربية



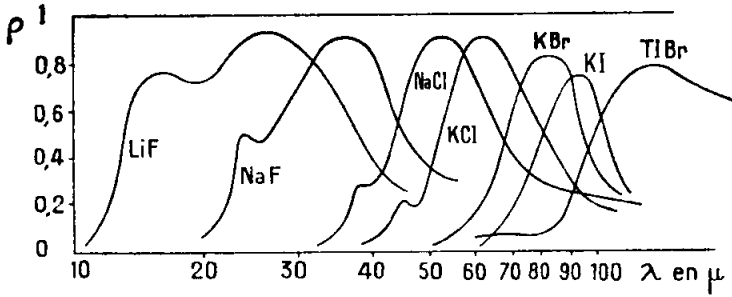
الشكل ٩-١٨ - الانعكاس المعدني
على بخار الزئبق .

من الزئبق Hg (الشكل ٩-١٨)
موجودة داخل أنبوب من الكوارتز
مفرغ من الهواء . وتكون جوانب
الانبوب موشورية للسبب نفسه الذي
أوردناه في التجربة السابقة . فالحزمة

الواردة من مصباح بخار الزئبق والمنعكسة على بخار الانبوب تُسقط على مصور الطيف . فيظهر الخط الطيفي 2537\AA بشدة تزداد سريعاً مع درجة الحرارة ، أي مع كثافة بخار الزئبق .

ويبين الشكل ٩ - ١٩ تغيرات عامل الانعكاس من أجل بلورات مختلفة ، من منطقة ما تحت الأحمر .

وقد لوحظ مفعول كريستيانسن في ما تحت الأحمر .

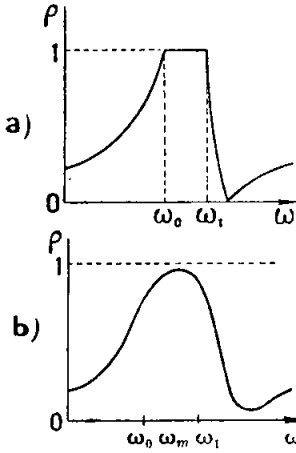


الشكل ٩ - ١٩ . عوامل الانعكاس لبلورات مختلفة في ما تحت الأحمر (الفواصل لغريتمية)

ج (عندما تكون لمنحنيات التبدد والامتصاص الهيئة البسيطة التي يظهرها الشكل ٩ - ٤ أو الشكل ٩ - ١٥ ، فإنه يمكن الحصول على علاقات أكثر دقة بين n و k و ρ .

إن المنحني $\rho = f(\omega)$ العائد للمظهر التخطيطي لـ n^2 ، والمعطى بالشكل ٩ - ٤ ، قد مُثل على الشكل ٩ - ٢٠ . ففي مجال النبضات $\omega_0 < \omega < \omega_1$ ، حيث تكون n وهمية صرفة ، يكون ρ مساوياً للواحد . وفي حالة نبض أعلى من ω_1 ويوافق $n=1$ ، ينعدم ρ . وعندما يؤخذ التخامد بعين الحسبان ، ويمثل التبدد بالصيغتين [٤٣،٤٩] ، فإن عامل الانعكاس لا يصل الى الواحد ، ولكن

تكون له قيم عالية بين ω_0 و ω_1 . فهو يصل الى قيمة عظمى من أجل نبض ω_m أعلى قيمة من ω_0 (الشكل ٩ - ٢٠ b) .



إن الحالة الأخيرة هي الحالة التي تلاحظ في دراسة بلورات الشكل ٩ - ١٩ في مانتحت الأحمر ، كما تدل على ذلك الأعداد التالية (λ مقدرة بالمكرون) :

الشكل ٩ - ٢٠ . a) المنحنى التخطيطي $\rho = f(\omega)$ العائد لتغيرات n^2 بدلالة ω في الشكل ٩ - ٤ ؛
b) منحنى مماثل ، يحصل عليه عندما يؤخذ التخماد بعين الحسبان

KI	KBr	Rb Cl	KCl	Na Cl	NaF	LiF	البلورة
١٠٢	٨٨	٨٥	٧١	٦١	٤٠	٣٢	λ_0
٩٤	٨١,٥	٧٤	٦٣	٥٢	٣٦	١٧	λ_m
١٠٣	٩٢	٨٥	٧٢	٦٠	-	-	λ_0 (المحسوبة)

ويمكن حساب λ_0 انطلاقاً من λ_m بواسطة صيغ القرينة العقدية . فإذا كانت النسبة k'/ω_0 صغيرة ، فالتنا نجد :

$$\frac{\omega_m}{\omega_0} = \frac{\lambda_0}{\lambda_m} = \sqrt{1 + \frac{\epsilon_r - n_0^2}{6 n_0^2 - 4}} \quad [٥٢,٩]$$

حيث يدل n_0 على قرينة الانكسار من أجل أطوال موجية أصغر كثيراً من λ_0 (تؤخذ القيمة الثابتة تقريباً ، التي يعطيها الاستقرار الخارجي بدءاً من الطيف المرئي نحو مانتحت الأحمر) . وبهذه الصيغة حسبت قيم λ_0 الواردة في الجدول أعلاه .

لقد استفيد مما سبق في فصل شعاعات ما تحت الاحمر بالطريقة المسماة الاشعة المتبقية (الفقرة ٤ - ١٤ ج) .

٩ - ١٤ . — صعوبات نظرية التبريد . سُرات الهرزانات .

أ) ان نظرية التبدد والامتصاص الكلاسية المعروضة في هذا الفصل ، بنيت على موافقة المهتزات الميكانيكية بمجمل الموجة الكهربائية . وهي تعطي المظهر العام للظواهر ، حتى أنها أحياناً ، في منطقة ما تحت الاحمر حيث ينجم الاستقطاب من الذرات والأيونات ، تعطي نتائج كمية مرضية كما وجدنا (في الفقرتين ٩ - ١١ و ٩ - ١٣) .

ولكن الامر ليس كذلك في حالة الامتصاص والانكسار الالكترونيين . نعتبر ذرة هيدروجين ، تبين خواصها الكيميائية والفيزيائية (كمون التأين ، الجزء السادس ، ١٧ - ٣) أنها تحتوي على الكترون واحد . ففي درجة الحرارة العادية ، يتألف طيف امتصاصها من سلسلة من الخطوط الواقعة في ما فوق البنفسجي . وفي درجات الحرارة العالية ، تصبح هذه الخطوط أكثر عدداً وتحتوي ، بوجه خاص ، على سلسلة الخطوط المرئية المبنية في الشكل ١٣ - ٤ . ولما كانت هذه الخطوط في هذه الحالة لا تؤلف قطعاً سلسلة مدروجات ، فإنه لا يمكن أن نسلم إلا بأن الالكترون الوحيد يقوم بحركة دورية ، لكنها غير جيبية ، يمكن تحليلها الى سلسلة فورييه توافق مركباتها تواترات الخطوط (انظر الفقرة ١ - ٥ ب) . ويجب التمييز هنا بين التواترات الضوئية والتواترات الميكانيكية .

وتظهر صعوبة أخرى عندما نجري قياسات للامتصاص ؛ فيرى حينئذ أنه اذا اعطيت q و m في الصيغة [٤٨،٩] القيم العائدة الى الالكترون ، فإن قيم

الاعداد f ، التي ينبغي ان تكون بالتعريف صحيحة ، تكون دائماً تقريباً أقل من الواحد ، وفي الغالب اقل منه كثيراً ، كما يتبين ذلك من الاعداد التالية الخاصة بذرات يكون فيها لألكترون واحد دور في اصدار وامتصاص الشعاعات المرئية وفوق البنفسجية .

الذرة	H	Na	Hg
$\lambda (\text{\AA})$	٤٨٦١ ٦٥٦٣	٥٨٩٣ ٣٣٠٣ ٢٨٥٣	٢٥٣٧
f	٠,١١٩ ٠,٦٤١	٠,٠٢٢ ٠,٠٤٥ ٠,٩٧٥	٠,٠٢٩ ٠,٠٠٢ ٠,٠١٤

(ب) وهناك صعوبات أخرى خاصة تعود الى هيئة منحنيات الامتصاص . وتدل التجربة على أن النتائج التجريبية ، في كثير من الحالات الخاصة بالاجسام الجامدة والمائعة ، لا تمثل بأمانة بمنحني تجاوب كالمنحني المبين في الشكل ٩ - ١٥ أو بالصيغة [٤٧٠٩] . وحتى في حالة الغازات والأبخرة ، حيث تكون الصيغة [٤٧٠٩] أكثر ارضاء ، فإنها لا تكون كذلك بصورة تامة ولا يمكن حساب العامل k' ببساطة . وعلى العكس من ذلك ، تظل صيغ التبدد دقيقة عندما تكون بعيدة عن مناطق الامتصاص .

(ج) وتنشأ الصعوبات السابقة ، في تحليل أخير ، كما سنرى في الجزء الثامن ، من أن قوانين الميكانيك الكلاسي لا تصح من أجل داخل الذرات . وينبغي نبذ تشبيه الالكترونات بمهتزازات ميكانيكية . ومع ذلك ، فإن النظريات الذرية تؤدي الى صيغ شبيهة جداً بالصيغ التي استعملناها لتمثيل التبدد . وسوف نستعمل في الوقت الحاضر ، وسيلة سهلة للتخلص من الصعوبات المشار اليها ، محتفظين بالفكرة الصائبة وهي أن الالكترونات لها دورها في امتصاص الاشعاع الكهربيسي وإصداره : ونقبل بأن كل إلكترون يسهم جملة في عدد كبير من الاهتزازات ، تواتراتها هي التواترات الضوئية الخاصة . والامثال f_i ، التي ينبغي

أن نرفقها بكل من هذه التواترات لتمثيل الامتصاص الكلي المعطى بالصيغة [٤٨،٩] ، نقيس اسهام الالكترونات . وهذه الامثال هي أعداد ليس من المستغرب أبداً أن نجد أنها كسرية ، وقد سميت شدات المهتز .

لنعد الى الحالات البسيطة المعتبرة في الفقرة ب) ، حيث يتعلق الامر بذرات متماثلة ليس لكل منها الا الكترون واحد مسؤول عن الخواص الضوئية (إلكترون ضوئي) . وعندما تعرض مجموعة من هذه الذرات بأعداد كبيرة لإشعاع كهربي ، فان بعضها يمتص التواتر ν_1 ، وبعضها يمتص التواتر ν_2 ، الخ ... ويمكن القول إذن ان الاعداد f_1 ، f_2 ، ... لها علاقة بالاعداد الخاصة بالذرات التي تقوم بالاهتزازات ν_1 ، ν_2 ، ... أو أن نقول أيضاً ، باستعمال لغة الاحتمالات عوضاً عن لغة الاحصاء ، (الجزء الثاني ، ١٢ - ٥) ، إن هذه الاعداد تمثل إحتمال قيام الالكترون باهتزازة من الاهتزازات الخاصة . وسوف نرى في الجزء الثامن أن هذا التفسير هو عين التفسير الذي يعطيه الميكانيك الذري تماماً .

ولنقتصر اخيراً على ملاحظة أنه اذا كانت الذرات جميعها في الحالة النظامية ، فإنه يمكن أن نتوقع أن يكون المجموع $\sum f_i$ ، مجموع شدات المهتزازات ، الذي يمتد على كل خطوط الامتصاص ، مساوياً الواحد ، لأنه يمثل مجموع احتمالات قيام الالكترون الماص بالاهتزازات المختلفة الممكنة . وقد ثبتت هذه النتيجة بالتجربة ، وعلى سبيل المثال من أجل مجموعة الخطوط الخاصة بالهدروجين وبالصوديوم ، والتي ذكرنا بعض الامثلة عليها أعلاه (انظر الفقرة ١٤ - ٢) ، من أجل سلاسل الخطوط) .

ب . حالة المعادن

١٥-٩ . — قصور نظرية مكسويل .

تتميز الاوساط الناقلة حسب نظرية مكسويل (الجزء السابع ، ٩ - ٦) بناقليتها γ . وقد رأينا أن الموجات الكهريديسية التي تستطيع الانتشار في مثل هذه الاوساط هي موجات متغامدة . فالحقل الكهربائي لموجة مستوية تنتشر وفق Ox تقابله سعة عقدية تساوي :

$$\begin{aligned} E &= E_m \exp \left[j\omega \left(\frac{-n - jk}{c} x \right) \right] = E_m \exp \left[j\omega \left(-\frac{n}{c} x \right) \right] \quad [٥٣،٩] \\ &= E_m \exp \left(-j \frac{2\pi n}{\lambda} x \right) \end{aligned}$$

حيث يدل n على قرينة انكسار الوسط ، ويدل k على قرينة الامتصاص ، و n على القرينة العقدية :

$$n = n - jk \quad ، \quad (j = \sqrt{-1}) \quad \text{حيث}$$

والمقداران n و k اللذان يكفيان لتمييز الخواص الضوئية لجسم ماص متماثل المنحني هما الثابتان الضوئيان لهذا الجسم . وهما يرتبطان بالسماحية النسبية ϵ_r وبالنقلية γ بالصيغتين [٣٣،٩] من الجزء السابع :

$$n^2 - k^2 = \epsilon_r \quad [٥٤،٩]$$

$$nk = \frac{\gamma}{2\epsilon_0\omega} \quad [٥٥،٩]$$

وتختلف الخواص الضوئية للنواقل الكهربائية (الالكتروليتية) اختلافاً قليلاً عن خواص العوازل (الكهربائية) . ويعود هذا الى ضالة قيمة ناقليتها . فمثلاً $\gamma = 3.10^{-4} \Omega^{-1} \cdot m^{-1}$ من أجل Na Cl المنصر ، وعليه فمن أجل ضوء الصوديوم $\frac{\gamma}{2 \epsilon_0 \omega} \simeq 6.10^{-9}$ ؛ بينما أنه في المعادن ، حيث الناقلية من مرتبة $10^5 \Omega^{-1} \cdot m^{-1}$ ، يكون الامتصاص أكبر بـ مليار مرة . إن ما يلي يختص بجوهرها بالمعادن .

وعندما نحاول التحقق من الصيغتين [٥٤،٩] و [٥٥،٩] ، بواسطة قياسات ضوئية من جهة ، وبواسطة قياسات كهربائية من جهة أخرى ، فإننا نجد اختلافات من نوع ما نجده لدى المقارنة بين قيم n^2 وقيم ϵ_r في حالة العوازل (الفقرة ٩ - ٣) . وهكذا فإن القياسات التي أجريت من أجل الزئبق باستعمال ضوء الصوديوم ($\lambda = 59.10^{-8} m$) أعطت $nk = 4.7$ (الجدول ٨ - ٢) ، بينما تعطي الصيغة [٥٥،٩] $nk = 19$. ومن جهة أخرى ، يكون $n^2 - k^2$ سالباً ، أي تكون السماحية ϵ_r سالبة ، وهو أمر ليس له معنى فيزيائي .

٩ - ١٦ . النظرية الالكترونية .

أ) تقلل الصعوبات السابقة جزئياً على الأقل ، بأن يؤخذ بعين الاعتبار البنية الالكترونية للمعادن . فمن المعروف (الجزء السادس ، ٩ - ١٥) أن طاقات الكترون جسم جامد موزعة بين عصابات مختلفة . وتكون هذه العصابات أحياناً منفصلة انفصلاً تاماً ، مع كون فروق الطاقة بين سوياتها الأكثر تقارباً من مرتبة الالكترونون - فولط . وتتكون كل عصابة من N سوية من سويات الطاقة الالكترونية ، حيث N هو عدد الذرات الموجودة في قطعة الجسم ، ويمكن أن تحتوي على $2N$ الكترونات على الأكثر . وتميز المعادن بأن عصابة أو بضع عصابات فيها تحتوي على أقل من $2N$ الكترونات . وفي عصابات النقل

هذه ، تكون سويات الطاقة N شديدة التقارب بعضها من بعض ، بحيث أنها تؤلف سلسلة تكاد تكون متصلة ، وبحيث يمكن للإلكترون أن ينتقل من سوية لأخرى تحت تأثير قوة طفيفة ، كما لو أنه كان حراً تقريباً .

ب) لنبدأ باعتبار الالكترونات كما لو أنها حرة . إن حركتها في حقل كهربائي جيبى E ، عندما لا تكون هناك قوة معبدة شبه مرنة بل قوة احتكاك ، يمكن التعبير عنها بالمعادلة التالية التي هي حالة خاصة من [٣٩،٩] :

$$m \frac{d^2 s}{dt^2} + k' \frac{ds}{dt} = e E_m \sin \omega t \quad [٥٦،٩]$$

وجذر هذه المعادلة هو^(١) :

$$s = \frac{e E_m}{j k' \omega - \omega^2} \sin \omega t$$

فاذا اتبعنا ما قمنا به في الفقرة ٩ - ١١ ، نتج من ذلك :

ومنه :

$$n^2 - 1 = \frac{N f e^2}{\epsilon_0 m \omega} \cdot \frac{1}{j k' - \omega} \quad [٥٧،٩]$$

ومنه :

$$n^2 - k^2 = 1 - \frac{N f e^2}{\epsilon_0 m} \cdot \frac{1}{k'^2 + \omega^2} \quad [٥٨،٩]$$

$$n k = \frac{N f e^2}{2 \epsilon_0 m \omega} \cdot \frac{k'}{k'^2 + \omega^2} \quad [٥٩،٩]$$

وهذه العلاقات التي تتضمن نبض الموجة ω ، تعبر عن تبدد الثوابت الضوئية للمعادن .

(١) يمكن إثبات ان الحقل المؤثر في معدن هو حقل الموجة لا الحقل المعطى بالعلاقة

[٢٤،٩] كما في حالة العازل .

٩-١٧. — الخواص الضوئية للمعادن من أجل الأطوال الموجية الكبيرة .

أ) لنعتبر أولاً الحالة التي يكون فيها النبض صغيراً، ولنبحث كيف تتعلق الصيغ السابقة بالخواص الميمنة بنظرية مكسويل . إن الصيغة [٥٧،٩] تصبح كما يلي :

$$n^2 - 1 = \frac{Nfe^2}{j \epsilon_0 m \omega k'} \quad [٦٠،٩]$$

وقد وجد أنه في هذه الحالة (الجزء السابع ، ٩ - ٦) :

$$n^2 = \epsilon_r \left(1 - \frac{j\gamma}{\omega \epsilon_0} \right)$$

ولما كنا نعتبر أنه ليست للمعدن استقطابية تعود الى شحنات مرتبطة، فإنه ينبغي ان نكتب $\epsilon_r = 1$ ، ومنه :

$$n^2 - 1 = \frac{\gamma}{j \omega \epsilon_0}$$

وبمقارنة هذه العبارة مع [٦٠،٩] ، نجد أن :

$$\gamma = \frac{Nfe^2}{k'm} \quad [٦١،٩]$$

وتعطي النظرية الحركية للالكترونات في المعادن ، من أجل حقل راكدي ، عبارة الناقلية (الجزء السادس ، ١٩ - ٨) :

$$\gamma = \frac{Ne^2 l_0}{2m\bar{u}} \quad [٦٢،٩]$$

حيث بدل l_0 على وسطي المسار الحر للالكترونات ، و \bar{u} على سرعتها

الوسطية . فإذا كان $f=1$ (الكترون واحد في كل ذرة) . فانه يُرى أن العبارتين [٦١،٩] و [٦٢،٩] متاثلتان ، شريطة أن يعطى عامل التخماد k' القيمة $\frac{2\bar{u}}{l_0}$. وحينئذ ، نجد من أجل k' قيمة من مرتبة ١٢١٠ الى ١٣١٠ هرتز . ويمكن كتابة الصيغة [٥٩،٩] كما يلي ، وذلك بأخذ [٦١،٩] بعين الاعتبار :

$$nk = \frac{Nfe^2}{2\epsilon_0 m \omega k'} \cdot \frac{1}{1 + \frac{\omega^2}{k'^2}} = \frac{\gamma}{2\epsilon_0 \omega} \cdot \frac{1}{1 + \frac{\omega^2}{k'^2}} \quad [٦٣،٩]$$

وعندما ينتهي ω الى الصفر ، ينتهي nk الى القيمة [٥٥،٩] ، ولكن عندما لا يكون ω منعدماً ، فإن nk يكون أقل من هذه القيمة . ومن جهة أخرى ، فإن الفرق $n^2 - k^2$ المعطى بالعلاقة [٥٨،٩] يتضمن حداً سالباً في الاساس ، وبذلك يمكن ان يكون سالباً . وهكذا يُرى أن الصيغتين [٥٧،٩] و [٥٨،٩] يمكنها ، كيفياً على الاقل ، أن تزيلا الصعوبات الملازمة للصيغتين [٥٤،٩] و [٥٥،٩] .

وعندما يكون ω صغيراً بما يكفي لاهمال ω^2 بالنسبة الى k'^2 ، فإن الصيغتين [٥٨،٩] و [٥٩،٩] تصبحان :

$$n^2 - k^2 = 1 - \frac{Nfe^2}{2\epsilon_0 m \omega k'} = 1 - \frac{\gamma}{\epsilon_0 k'}$$

$$nk = \frac{Nfe^2}{2\epsilon_0 m \omega k'} = \frac{\gamma}{2\epsilon_0 \omega}$$

وعندما $\omega \gg k'$ ، يكون $n^2 - k^2$ مهملًا بالنسبة الى nk . ويكون لدينا بشكل محسوس :

$$n = k = \sqrt{\frac{\gamma}{2\epsilon_0 \omega}} \quad [٦٤،٩]$$

وتصبح عبارة عامل الانعكاس في الورود الناظي :

$$\rho = \frac{(n-1)^2 + k^2}{(n+1)^2 + k^2} = \frac{2n^2 - 2n + 1}{2n^2 + 2n + 1} \quad [١٥،٩]$$

ولما كنا قد افترضنا أن n كبيرة بالنسبة الى الواحد ، إذن :

$$\rho \simeq \frac{1 - \frac{1}{n}}{1 + \frac{1}{n}} \simeq 1 - \frac{2}{n} \simeq 1 - 2 \sqrt{\frac{2\epsilon_0 \omega}{\gamma}} \quad [١٦،٩]$$

وتتحقق هذه الصيغة على نحو مناسب بالتجربة من أجل تواترات ما نحت
الاحمر القليلة بما فيه الكفاية . فمثلاً ، يعطي النحاس من أجل $\omega = 1,6.10^{14}$
($\lambda = 12 \mu$) :

$$\frac{2\omega\epsilon_0}{\gamma} = 0,47.10^{-4}$$

$$1 - \rho = 1,4.10^{-2} \quad \text{ومنه :}$$

ونجد $1 - \rho = 1,6.10^{-2}$. وقد أمكن التحقق من التناسب بين $1 - \rho$ و $\sqrt{\omega}$
من أجل معادن مختلفة فيما بين 12μ و 25μ .

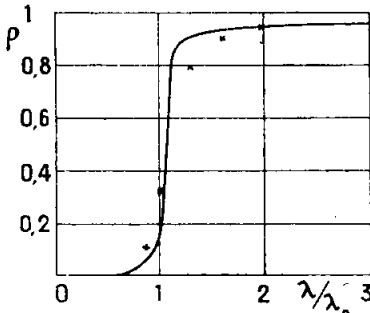
٩ - ١٨ . — الخواص الضوئية للمعادن من أجل الأطوال الموجية القصيرة

ان الحد k' في الصيغة [٥٧،٩] هو الذي يمكن إهماله بالنسبة الى ω ، في
حالة الاطوال الموجية القصيرة ، وذلك بخلاف ما فعلناه في الفقرة السابقة ؛
وتصبح الصيغة [٥٧،٩] كما يلي :

$$n^2 - 1 = - \frac{Nfe^2}{\epsilon_0 m \omega^2} \quad [١٧،٩]$$

إذن هناك نبض حرج ω_0 ، يصبح الحد الثاني في هذه العلاقة من أجله مساوياً الواحد و $n = 0$. ومن أجل النبضات التي تزيد عن ω_0 ، تكون القرينة n حقيقية ولكنها أقل من الواحد . ويصبح المعدن شفافاً وعامل الانعكاس عليه في الورد الناظمي :

$$\rho = \frac{(n-1)^2}{(n+1)^2}$$



الشكل ٩ - ٢١ . عامل الانعكاس للصوديوم في جوار طول الموجة λ_0 .
منحن محسوب ونقاط تجريبية

ذا قيمة ضئيلة . وفي الواقع يلاحظ هبوط مفاجئ في عامل الانعكاس لمتنوع المعادن عندما يدرس هذا العامل في ما فوق البنفسجي (الشكل ٩ - ٢١) . ومن المعروف أن $f = 1$ في حالة المعادن القلوية ، وأن الصيغة [٦٩ ، ٩] لا تعود تحتوي على وسيط كفي . وتتفق قيم ω_0 (أو λ_0) ، التي تسمح هذه الصيغة بحسابها ، اتفاقاً جيداً بما فيه الكفاية مع نتائج القياسات ، كما تدل على ذلك الأعداد التالية (λ_0 مقدرة بالانغستروم) :

المعدن	Cs	Rb	K	Na
λ_0 المحسوبة	٣٦٠٠	٣٢٠٠	٢٩٠٠	٢١٠٠
λ_0 المقاسة	٤٠٠٠	٣٥٠٠	٣١٥٠	٢١٠٠

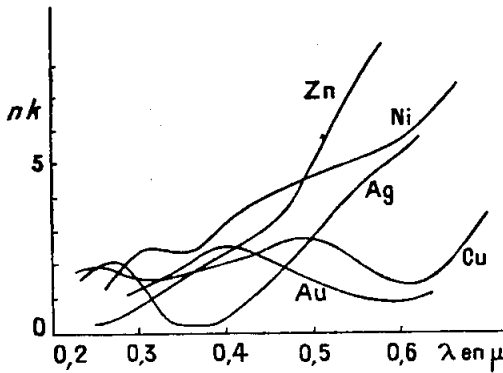
ان وجود الطول الموجي λ_0 يسمح ، بأعداد أغشية رقيقة من المعادن القلوية ، بأن تصنع مرشحات ضوئية تمتص الشعاعات المرئية وتسمح بمرور بعض شعاعات ما فوق البنفسجي .

٩- ١٩ . الخواص الضوئية للمعادن في الطيف المرئي والمنطقة المجاورة له .

(أ) في هذا المجال الطيفي ، لا يصح أي من التبسيطات التي أدخلت على النظرية في الفقرتين السابقتين . فبينما تكون مرتبة العتمة في ما تحت الأحمر هي مرتبة الناقية كما رأينا من قبل ، فإنه ليس من الضروري ، في الطيف المرئي ، أن تكون المعادن الأقل نقلاً هي الأكثر شفافية .

٥- يرسب على صفيحة من الكوارتز ، بالتبخير في الحلاء ، طبقة من الفضة يكون ثغنها بحيث يمكن للضوء الأزرق أن يمر من خلالها ، وعلى صفيحة أخرى طبقة من البزموت معتمة تماماً . ففي ما تحت الأحمر ، يتحقق من أن الفضة معتمة وأن البزموت شفاف .

إن الصيغة [٥٩،٩] تتنبأ بنقصان الجداء nk مع طول الموجة ، وهذا هو



الشكل ٩ - ٢٢ . تغيرات الجداء nk بدلالة λ من أجل معادن مختلفة

تماماً ما يفسر المظهر العام للمنحنيات في الشكل ٩-٢٢ ولكن ، بالرغم من أن هذه المنحنيات لم تعرف إلا بدقة متوسطة (الفقرة ٨ - ١٥) ، فمن المؤكد أن لها ، في أغلب الأحيان شكلاً أكثر تعقيداً مما تدل عليه الصيغة [٥٩،٩]^(١) .

(١) لنشر إلى أن تناقص k مع λ ، من أجل الروديوم ، هو بحيث أن النفوذ يكون بشكل محسوس واحداً من أجل كل الشعاعات المرئية . لذلك تستعمل أغشية رقيقة من الروديوم كمرشحات معتدلة في قياس شدة الضوء .

إن التلونات التي تظهرها المعادن ، سواء أكان ذلك بالانعكاس أم بالنفوذ ، ليست مع ذلك دليلاً مباشراً على الامتصاص الاصطناعي ، إذ أن الضوء النافذ ، وفقاً للصيغة [٥٣،٩] لا يتوقف على k بل على k/λ أو على nk/λ_0 (λ_0 : طول الموجة في الحلاء) . لذلك ، بالرغم من أن الجداء nk في حالة الذهب لا يتغير إطلاقاً من الأحمر الى الأزرق (الشكل ٩ - ٢٢) ، فإن أغشية الذهب الرقيقة تكون خضراء اللون بالنفوذ (بالشفافية) .

ب - لتفسير سلوك امتصاص معظم المعادن في الطيف المرئي ، ينبغي أن يدخل في الحساب انتقال الالكترونات من عصابة الى أخرى ، وهي ظاهرة كنا ذكرناها في الفقرة ٩ - ١٦ ، وليست إلا نوعاً من المفعول الكهروضوئي ، حيث يكتسب الالكترون قدراً من الطاقة يأخذه من الاشعاع ، ولكنه يبقى في المعدن ..

وفي حالة القلوبات ، يكون الجداء nk صغيراً في الطيف المرئي : فعصابة الامتصاص المتوقعة ، من المحتمل ان تكون في ما تحت الأحمر . ومن اجل معادن أخرى ، تبدأ العصابة عند الاطوال الموجية التالية (انظر الشكل ٩ - ٢٢) :

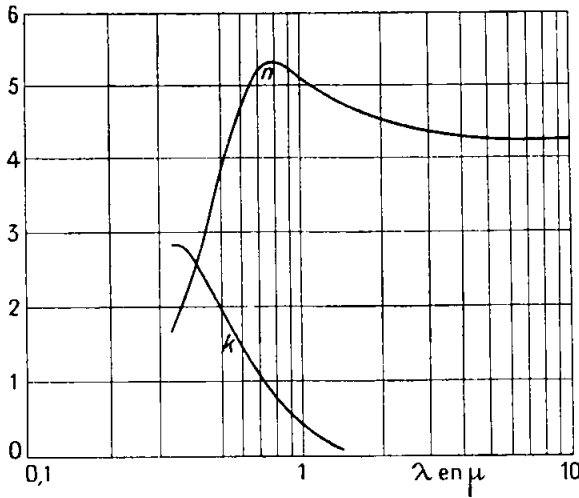
المعدن	Cu	Au	Ag
λ (Å)	5750	5000	3100
الطاقة (eV)	2,1	2,5	4,0

وتعطي أعداد السطر الاخير طاقة عتبة هذه العصابات . إن الطبيعة

المضبوطة للانتقالات الالكترونية التي هي مدار البحث ليست دائماً معروفة تمام المعرفة .

٩ - ٢٠ . الخواص الضوئية لأنصاف النواقل .

إن أنصاف النواقل الاصلية ، مثل Te, Si, Ge (الجزء السادس ، ١٩ - ١١) تكون معتمدة بالنسبة للشعاعات المرئية ويظهر فيها الانعكاس المعدني . وفي حالة الاجسام النقية جداً ، يتناقص الامتصاص تناقصاً كبيراً في مانتحت الاحمر (الشكل ٩ - ٢٣) ، حيث يتوقف سلوكه كثيراً على درجة الحرارة ، وفي هذه المنطقة من الطيف ، يظهر الامتصاص تغيرات كبيرة لوجود آثار من الشوائب .



الشكل ٩ - ٢٣ . ثابتا الجرمانيوم الضوئيان

وبعزى الامتصاص في الطيف المرئي ، كما هو الأمر في المعادن ، الى انتقال

الالكترونيات من عصابة التكافؤ الى عصابة النقل ، لأن الفرق في الطاقة بين هاتين العصابتين هو من مرتبة الالكترونون - فولط . وفي ما تحت الاحمر ، يرتبط الامتصاص بالناقلية ، كما هو الامر تماماً في حالة المعادن ؛ وتغيره مع درجة الحرارة ، في حالة الاجسام النقية جداً ، يذكرنا بتغير الناقلية الاصلية (الجزء السادس ، ١٩ - ١١) . ويفسر تأثير الشوائب ، كما تفسر الناقلية الطارئة (الجزء السادس ، ١٩ - ١٥) ، بوجود سويات للطاقة متوسطة من أجل الالكترونات .



نماذج

٩ - أ اعط العبارة العددية ، من اجل كبريت الفحم ، لصيغة كوشي [٣٤٩] بعد اختزالها الى حديها الاولين مع العلم انه من اجل :

$$\lambda (\text{\AA}) = 6563 \quad 5892 \quad 4861$$

$$n = 1,618 \quad 1,628 \quad 1,652$$

٩ - ب تبلغ قيمة قرينة انكسار الهروجين في الشرطين النظامين من الحرارة والضغط كما يلي :

$$n = 1 + 1,400 \cdot 10^{-4} \quad \text{من اجل } 5460 \text{\AA}$$

$$n = 1 + 1,547 \cdot 10^{-4} \quad \text{من اجل } 2540 \text{\AA}$$

فاذا قبلنا بانه لا يوجد سوى نبض خاص الكتروني واحد ، فاحسب قيمته ω_i وطول الموجة التي تقابله λ_i .

٩ - ج ان قيم قرينة انكسار كلور الصوديوم هي الآتية :

$$\lambda (\mu\text{m}) = 0,3 \quad 0,4 \quad 0,5 \quad 0,7 \quad 1 \quad 2 \quad 5$$

$$n = 1,607 \quad 1,558 \quad 1,552 \quad 1,539 \quad 1,532 \quad 1,527 \quad 1,519$$

و كتلته المولية هي $M = 58,5$ و كتلته الحجمية $\rho = 8,17 \times 10^3 \text{ Kg/m}^3$.
فاذا اخذنا كطول موجة خاصة الكترونية وحيدة القيمة $\lambda_i = 0,107 \mu\text{m}$
و كعدد الالكترونات الفعالة $f_i = 4$ ، فالمطلوب ايجاد ضيغة التبدد [٢٦٤٩]
ومقارنة قيم n التي تسمح بحسابها ، باعداد الجدول السابق .

٩ - د اذا كان قانون التبديد لبلورة ، في نطاق الاشعة السينية

$$n^2 - 1 = K \lambda_0^2$$

(بفرض λ_0 طول الموجة في الحلاء)

وكان $K = 2 \times 10^{15} \text{ m}^{-2}$. فاحسب من اجل $\lambda_0 = 1 \text{ \AA}$ سرعة الطور v وسرعة الجماعة u للامواج الكهربائية المغناطيسية في البلورة . وبين انه يكون $uv = c^2$.

٩ - أ تبلغ الكتلة الحجمية للهيدروجين في الشرطين النظاميين من درجة الحرارة ومن الضغط $\rho_1 = 8,96.10^{-5} \text{ g.cm}^{-3}$ ، وقرينة انكساره $n_1 = 1,000 138$. والكتلة الحجمية للهيدروجين السائل هي $\rho_2 = 6,8.10^{-3} \text{ g.cm}^{-3}$ فاذا قبلنا بعدم تغير الانكسار النوعي ، فيطلب تعيين قرينة الانكسار n_2 للهيدروجين السائل (تبلغ القيمة التجريبية لها ١,١٠) .

٩ - و يعطي قياس السماحية الكهربائية النسبية ϵ_r (في حقل ساكن) لغاز الكربون CO_2 وللشادر NH_3 النتائج التالية :

في الدرجة $^{\circ}$	في الدرجة $^{\circ}$	
١٠٠	١٠٠	CO_2
١,٠٠٠ ٧٢٣	١,٠٠٠ ٩٨٨	
١,٠٠٤ ٨٧	١,٠٠٨ ٣٤	NH_3

احسب العزم الثنائي الاقطاب الدائم p_0 لهذين الجزيئين . تستخدم لذلك الصيغة [٤٠,٤] من الجزء ٦ ، التي تكتب هنا (باعتبار ϵ_r قريبة جداً من الواحد) :

$$\epsilon_r - 1 = \frac{n}{\epsilon_0} \left(\alpha + \frac{p_0^2}{3 k T} \right)$$

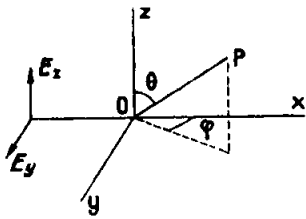
الفصل العاشر

انتشار الضوء

آ . انتشار الضوء بالاعواساط غير المتجانسة

١٠-١ . انتشار الضوء المرئي بمجسمات صفائفة النامي

نحدثنا فبا سبق (الجزء الرابع ، ١٥ - ٣ و ٢٠ - ٨) عن ظاهرة انتشار الضوء بالاعواساط غير المتجانسة والمسامة فعل تندال Tyndall . وهي تنجم عن انعراج الموجات الضوئية عند جسيمات تختلف قرينة انكسارها عن قرينة الوسط الشفاف المتناثرة فيه .

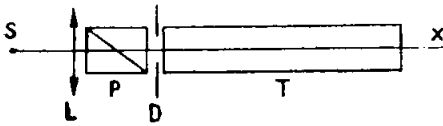


الشكل ١٠-١ .
اصطلاحات لدراسة الضوء المنتثر

لدراسة انتشار الضوء ، يُضاء الوسط الناثر بحزمة متوازية من الضوء تنتشر في المنحى Ox (الشكل ١٠-١) . ويتعدد منحى المشاهدة OP بالزاوية θ التي يصنعها مع المحور Oz ، وبالزاوية ϕ التي يصنعها مع المحور Ox مرتسمة على مستوى عمودي على Oz . ويمكن أن يكون الضوء الوارد مستقطباً . إن تحليل الضوء المنتثر يتضمن تعيين الشدة الصادرة عن الحجم الناثر في المنحى OP وتعيين شكل الاهتزازة الضوئية .

ب) تتوقف الظواهر المشاهدة على طبيعة الجسيمات الناثرة : وسوف تقتصر على الحالة الهامة حيث تتألف الجسيمات من مادة عازلة (كهرة نافذية) ، غير ملوثة ، شفافة ومتجانسة وذات شكل كروي تقريباً .

في هذه الحالة ، تدل التجربة على أن خواص الضوء المنتثر تختلف اختلافاً بيناً باختلاف الابعاد النسبية للجسيمات واختلاف طول موجة الضوء .



الشكل ١٠-٢ .

جهاز دراسة الانتثار بجسيمات معلقة

٥- يوضع في انبوب T

(الشكل ١٠-٢) محلول

مرشع ترشيحاً جيداً من

تيوسلفات الصوديوم يحتوي

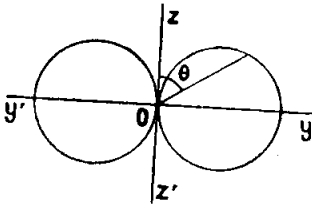
على مول واحد في اللتر

تقريباً، وتخترق هذا المحلول

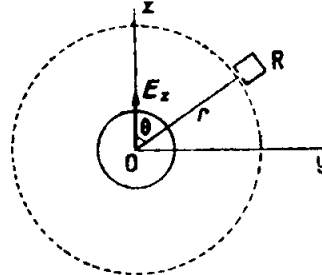
حزمة متوازية من الضوء الأبيض الصادر من قوس فحمية . فالضوء المنتثر في منحنى عمودي على منحنى الانارة يكون ضعيفاً جداً . يضاف بعدئذ حجم مساوٍ من محلول حمض الكبريت له التركيز نفسه . فيحدث تفاعل كيميائي يتولد عنه كبريت لا يذوب ، يكون في البدء جزيئياً ثم يكون معلقاً وفقاً لزيادة حجم حباته ، وهذا ما يبينه الفحص المجهرى للمخلوط . ويرى ، في بضع لحظات ، أن شدة الضوء المنتثر تزداد ازدياداً سريعاً كما يشتد في الوقت نفسه لونه الذي يكون في البداية ضارباً الى الزرقة ثم يغدو أبيض .

٥- إن الدخان الناجم عن احتراق تبغ الشرق يبدو أزرق اللون عندما يفحص جانبياً على قعر أسود ، باستعمال حزمة ضوئية صادرة عن قوس فحمية . فإذا استنشقت هذا الدخان بالفم ثم طرح في الهواء ، فإن جسيماته تكبر نظراً لأن بخار الماء الموجود في هذا الزفير يتكاثف عليها (الجزء الثاني ، ١٦ - ١٦) : ويصبح لون الضوء المنتثر ضارباً الى البياض .

١٠ - ٢ . — الانتثار بجسيمات صغيرة بالنسبة الى طول الموجة .



الشكل ١٠ - ٤ - تغيرات
سعة الضوء المنتثر في مستو عمودي على
منحى الضوء الوارد (نتائج)



الشكل ١٠ - ٣ - تغيرات
شدة الضوء المنتثر في مستو عمودي على
منحى الضوء الوارد (اصطلاحات)

في هذه الحالة تشاهد الظواهر الاكثر بساطة .

٥ - يؤخذ جهاز الشكل ١٠ - ٢ ويستعمل فيه معلق ممدد نحصل عليه بأن نصب في الماء قليلاً من محلول كعولي لصنع المصطكاء^(١) .

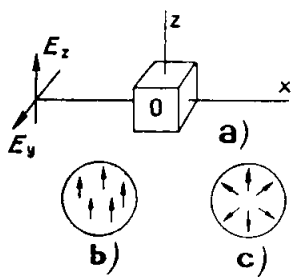
وتكون الجسيمات في هذه الحالة كروية ؛ ويمكن بالترشيح الحصول على ما يكون منها ذا نصف قطر من مرتبة 10^{-6} ميكرون . ويكون الضوء المنتثر في منحى عمودي ضارباً الى الزرقة . وإذا أُدير المقطب P حول Ox ، فان المشاهد يرى شدة الضوء تمر بنهاية صغرى تكاد تكون منعدمة عندما تكون الاهتزازة الواردة موازية لحظ الابصار (أي Oy) ، وبنهاية عظمى عندما تكون هذه الاهتزازة موازية الى Oz .

(١) نحصل عملياً على نتائج حسنة باستعمال معلقات مكونة من بلورات فحمات الفضة او الرصاص التي تتولد عندما تصب بضع قطرات من محلول نترات الفضة او الرصاص في الماء العادي الذي سبق ترشيحه لتخليصه من الفبار .

٥- لنضع الآن منحى الاهتزازة الواردة E_z ثابتاً (الشكل ١٠-٣) . ولنزلق على محيط دائرة نصف قطرها r (نحو ٢٥ مم) ومرکزها على Ox ، سطح مستقبل كهروضوئي R يمكن تحديد سمته θ بالنسبة الى Oz . إن دلالات الجهاز ، المتناسبة مع التدفق الذي يلتقاه السطح ، تتغير تقريباً مثلما يبينه منحى الشكل ١٠-٤ . ونجد ثانية نتيجة التجربة السابقة : ينعدم الانتثار في منحى الاهتزازة الواردة .

٥-٥- وحين يكون للاهتزازة المنحى E_z أيضاً ، وتم المشاهدة وفق Oy بالعين المزودة بمحلل يمكن ادارته ، فانه يُرى أن الاهتزازة المنتثرة مستقطبة استقطاباً مستقيماً ومتجهة وفق Oz .

٥-٥- يمكن ان نثبت بطريقة غير مباشرة استقطاب الضوء المنتثر ، وذلك بأن نشاهد بصورة افردية في ما فوق المجهر ، جسيمات محلول غرائي من الذهب ، مضادة بطريقة الشكل ٩ - ١١ من الجزء الثاني ، بالضوء المستقطب . فاذا كان محور المجهر وفق Oz (الشكل ١٠-٥ أ) وكانت اهتزازة الضوء وفق Oy ،



فات كل جسيم يعطي دائرة انعراج مضيئة (الجزء الرابع ، ١٥ - ٢٣) (الشكل ١٠-٥ ب) . واذا كانت الاهتزازة وفق Oz ، كان الانتثار منعدياً وفق محور المجهر وكانت دوائر الانعراج مؤلفة فقط من الاشعة الساقطة بصورة مائلة على الجسمية والمستقطبة قطرياً : ويظهر كل منها مع بقعة سوداء في مركزه (الشكل ١٠-٥ ج) .

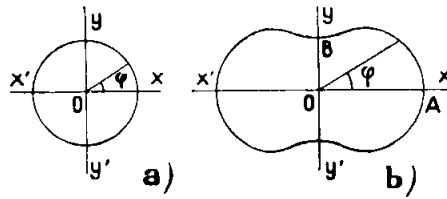
الشكل ١٠-٥ . الفحص فوق المجهر للضوء المنتثر : أ ، ترتيب التجربة . ب و ج منحى الاهتزازة الضوئية المنتثرة بالجسم .

$E = E_y, b$ ، ضوء وارد طبيعي

٥-٥- حين ينزع المقطب P في الشكل ١٠-٢ ، تبين المشاهدة من خلال المحلل أن الاهتزازة

المنتشرة وفق Oy تكون متجهة أيضاً وفق Oz . ويمكن لاهتزازة الضوء الطبيعي الواردة أن تأخذ اتجاهها ما في المستوى yOz . وحسب توزيع الشكل ١٠ - ٤، فإن المركبة الموازية الى Oz هي وحدها التي تعطي انتشاراً يمكن للمشاهد إدراكه. فمن الممكن إذن، في ظل الشروط السابقة، أن يستقطب الضوء الطبيعي استقطاباً مستقيماً بالانتشار. وتستعمل هذه الطريقة في حالة الاشعة السينية (الفقرة ١٠ - ١٣).

٥ - عندما يوضع مكان الانبوب T في الشكل ١٠ - ٢ أنبوب اسطواني محوره Oz ، وتقاس شدة الضوء المنتثر في المستوى xoy عند تغيير الزاوية φ ، فإنه يتبين أنه، إذا كان الضوء مستقطباً وفق E_z ، فإن شدة الانتثار تكون واحدة تقريباً، مهما كانت φ (الشكل ١٠ - ٦ a). أما إذا كان الضوء طبيعياً فإن شدة الانتثار تتغير كما هو مبين في الشكل ١٠ - ٦ b: فتكون هي نفسها من أجل زاوية φ ومن أجل الزاوية $\pi - \varphi$ ؛ ويكون هناك من الضوء المنتثر في نصف الكرة الخلفية ($\varphi > \pi/2$) مثلما يكون هناك في نصف الكرة الامامية ($\varphi < \pi/2$).



الشكل ١٠ - ٦ - شدة الضوء المنتثر بجسيمات صغيرة جداً في مستو يقع

فيه منحى الضوء الوارد: a ، حالة ضوء مستقطب $E = E_z$ ؛

b ، حالة ضوء طبيعي ($OA = 2 OB$)

١٠-٣. — الانتثار بحسبات أبعادها تقارب طول الموجة أو نسكون أبعادها .

٥- — تُجرى تجربة الشكل ١٠-٢ باستعمال محلولين من تيوسلفات الصوديوم ومن حمض الكبريت يحتويان على مول واحد في ٥٠ لترًا من الماء. إن سير التفاعل يدوم بضع ساعات ويؤدي إلى تكون معلّق قليل الكثافة . ومن المفيد تقطيب الضوء كي يُعطى للحقل الكهربائي المنحى E_z بغية زيادة وضوح الظواهر المشاهدة . إن الحزمة المنتثرة ، التي لا تكون في البدء مرئية جيداً ، تظهر بعد ١٠ إلى ١٥ دقيقة ملونة باللون الأزرق (الفقرة ١٠ - ٢) ولا تتغير شدتها إطلاقاً بتغير الزاوية φ (الشكل ١٠-٦ a) . ثم يصبح الضوء ضارباً إلى البياض وتتناقص شدته تناقصاً واضحاً من الامام (φ صغيرة) باتجاه الخلف (φ قريبة من π) . وبعدئذ تظهر ألوان : تكون خفيفة من أجل قيم ضئيلة لـ φ ، وتكون الحزمة المنتثرة حمراء باتجاه الخلف . وينزاح هذا اللون شيئاً فشيئاً باتجاه قيم φ الضئيلة ؛ ويحل مكانه على التابع لون أرجواني ثم ألوان تبدأ بالبنفسجي وتنتهي بالأحمر مارة بالوان الطيف ، الخ . وحين يستعمل ضوء وحيد اللون (زجاج أحمر في طريق الحزمة الواردة) تظهر الشدة الضوئية نهايات عظمى ونهايات صغرى بتغير φ .

١٠-٤. — النظرية الكهربائية للانتثار بحسبات صغيرة .

أ) إن النظرية الكهربائية تسمح بتفسير مشاهدات الفقرة ١٠ - ٢ . لنقبل أن الحقل الكهربائي المتناوب E في الموجة الضوئية يقطّب كهربائياً كل جسم ، أي (الجزء الرابع ، ٥ - ١٢) يزيح مراكز ثقل الشحنات الكهربائية الموجبة والسالبة التي يحتوي عليها الجسم ، بحيث يخلق فيه ثنائي أقطاب كهربائي

عزمه \vec{p} . فإذا كان قطر الجسم صغيراً بالنسبة لطول الموجة ، كانت قيم الحقل \vec{E} منتظمة تقريباً في كل حجم الجسم V في لحظة معينة من الزمن . لنفترض أن العزم المحرض p يتناسب مع E ، أي :

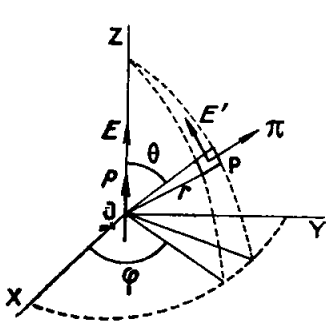
$$p = \alpha_0 V E \quad [١١٠]$$

حيث يدل α_0 على الاستقطابية الكهربائية للمادة التي يتكون منها الجسم . فإذا كانت هذه المادة متماثلة المناحي ، كانت α_0 مقداراً سلبياً . وإذا كانت الموجة الواردة وحيدة اللون ونبضها ω ، كان E وبالتالي p جيبيين . ويكون لدينا :

$$p = p_m \sin \omega t \quad [٢١٠]$$

وإذا قبلنا بأن الحقل E في الموجة هو الذي يؤثر في كل جسم ، فالتأثيرات أفعالها المتبادلة (انظر الجزء الرابع ، ٤ - ١٢ ج) .

إن ثنائي الاقطاب الجيبي [٢١٠] يشع مثل هوائي ثنائي الاقطاب . ومن المعلوم (الجزء السابع ، ١٠ - ٤) أنه يصدر موجات نبضها ω وطول



الشكل ١٠ - ٧. النظرية الكهرطيسية في الانتثار بحسيمات صغيرة

موجتها $\lambda = \frac{2\pi c}{\omega}$ ، نسميها موجات ثانوية

لتمييزها عن الموجة الواردة . ليكن Oz منحنى \vec{p} الواقع عند O ، والذي هو أيضاً منحنى الحقل \vec{E} الوارد (الشكل ١٠ - ٧) .

ففي نقطة P واقعة على مسافة r من O في منحنى يصنع زاوية θ مع Oz ، يعطى الحقل الكهربائي E' للموجة الثانوية بالصيغة [١٥١٠] من الجزء السابع وبالصيغة

$$: [٢٠٤١]$$

$$E' = - \frac{\pi \sin \theta}{\epsilon_0 \lambda^2 r} p_m \sin \omega \left(t - \frac{r}{c} \right) \quad [٣،١٠]$$

ب) إن القيمة الوسطية لتدفق الاشعاع الذي يخترق ناظماً على r واحدة المساحة المحيطة بالنقطة P ، لها العبارة التالية ، وفقاً للصيغة [١٩،٩] من الجزء السابع والصيغة [٣،١٠] :

$$II = \frac{\epsilon_0 c E_m'^2}{2} = \frac{\omega^4 p_m^2 \sin^2 \theta}{32 \pi^2 \epsilon_0 c^3 r^2} \quad [٤،١٠]$$

أو حسب [١٠،١] :

$$II = \frac{\omega^4 \alpha_0^2 V^2}{32 \pi^2 \epsilon_0 c^3 r^2} E_m^2 \sin^2 \theta$$

إن تغير II بدلالة θ من أجل مجموعة من الجسيمات التي لها حجم واحد ، وليكن

$$II = CE_m^2 \sin^2 \theta$$

(حيث C ثابت) ، له تماماً المظهر الذي يبينه الشكل ١٠ - ٧ في مستوى ما مار OZ . إن المنحنيين OZ (الشكل ١٠ - ٧) و Oz (الشكل ١٠ - ١) هما منحيا الاهتزازة الواردة ، والزاوية θ هي نفسها في هذين الشكلين .

إن الانتشار المشاهد في الشكل ١٠ - ١ لا يعود الى جسيم وحيد ، بل إلى الجسيمات الموجودة في الحجم المدروس ، وعددها كبير جداً ، حتى ولو كان هذا الحجم صغيراً . لنقبل أن الجسيمات موزعة كيفما اتفق : فالحد $\frac{r}{c}$ في الصيغة [٣،١٠] يتغير دون انتظام من ثنائي أقطاب الى آخر . ولا يكون بين الامواج الثانوية التي تصل الى P علاقات طور محدودة فلا يمكنها أن تتداخل : وتتضاف التدفقات المنتشرة II بعضها الى بعض اضافة . وفي المستوي XOY

يكون التدفق Π ثابتاً ومساوياً C ، كيفما كان منحى المشاهدة المحدد بالزاوية φ ، وهذا هو تماماً ما يعطيه الشكل ١٠ - ٦ .

وحيث يكون الضوء الوارد طبيعياً ، يمكن النظر اليه كأنه مكون من مركبتين E_z و E_y ، متساويتين وسطياً ومستقلتين ، وترتبط بين سعتيهما العلاقة :

$$E_{zm}^2 = E_{ym}^2 = \frac{1}{2} E_m^2$$

ووفقاً لما رأيناه منذ قليل ، تكون للتدفق Π الذى يشعه ثنائي الاقطاب p_z ، المثار بـ E_z ، العبارة $CE_z^2 \sin^2 \theta$ في المستوي yOz ، والعبارة CE_z^2 في المستوي xOy . أما التدفق الذى يشعه ثنائي الاقطاب p_y المثار بـ E_y فله بالمثل العبارة $CE_y^2 \cos^2 \varphi$ في المستوى xOy والعبارة CE_y^2 في المستوى xOz فيكون التدفق الكلي الصادر في منحى ما من المستوى xOy مساوياً إذن :

$$\Pi = CE_{ym}^2 \cos^2 \varphi + CE_m^2 = \frac{CE_m^2}{2} (1 + \cos^2 \varphi) \quad [٥،١٠]$$

ويمثل تغيره بمنحني الشكل ١٠ - ٦ بـ b ، مع كون $OB = \frac{OA}{2}$ ويكون الانتثار العائد الى p_y منعدماً وفق Oy ؛ ولا يبقى إلا الانتثار العائد الى p_z ويكون E' موازياً الى p_z . إن الضوء المنتثر وفق Oy هو ايضاً ضوء مستقطب وفق Oz .

ج (إن الجداء Π^m يمثل ، وفقاً للتعاريف المعطاة في الفقرة ٢٠ - ٢ من الجزء الثاني ، شدة المنبع الضوئي الصغير المكوّن من الجسيمات المضادة . ليكن N عدد الجسيمات في واحدة الحجم . إن شدة الانتثار بوحدة الحجم هذه في المنحى Oy ($\theta = \varphi = 90^\circ$) ، عندما تضاء بضوء طبيعي تساوى وفقاً للصيغة [٥،٩] :

$$I_{90} = N \pi r^2 = \frac{N \omega^4 \alpha_0^2 V^2}{64 \pi^2 \epsilon_0 c^3} E_m^2 \quad [٧١٠]$$

إن الاستنارة \mathcal{E} التي تحدثها الحزمة الاولى على مستوى عمودي على Ox تساوي بالتعريف، التدفق الذي يحترق واحدة المساحة، أي أنها، وفقاً للصيغة [١٩٤٩] من الجزء السابع تساوي :

$$\mathcal{E} = \frac{\epsilon_0 c}{2} E_m^2 \quad [٧١٠]$$

إن النسبة :

$$\mathcal{R} = \frac{I_{90}}{\mathcal{E}} = \frac{N \omega^4}{32 \pi^2 \epsilon_0^2 c^4} \alpha^2 V^2 = \frac{N \pi^2}{2 \epsilon_0^2 \lambda^4} \alpha^2 V^2 \quad [٨١٠]$$

المسماة نسبة لورد وإيلي ، تقوم بدور هام في قياسات انتشار الضوء .
تبين الصيغة [٨١٠] أن انتشار الشعاعات ذات الاطوال الموجية القصيرة أشد كثيراً من انتشار الشعاعات ذات الأطوال الموجية الكبيرة . فمن أجل اشعاع وارد يكون التدفق فيه واحداً بالنسبة لكل الشعاعات المرئية ، تكون شدة انتشار الازرق ($\lambda = 0,45 \mu$) أكبر بنحو ٨ مرات من شدة انتشار الأحمر ($\lambda = 0,75 \mu$) .

واضافة الى ذلك ، ان الجداء NV من أجل كمية معينة من المادة المبددة في واحدة الحجم ثابت . فالشدة المنتثرة تتغير بدلالة حالة الانقسام كتغير V ؛ وتتناقص اذن عندما تزداد درجة التبدد .

١٠ - ٥ : — نظرية الانتثار بحسبها أبعادها تقارب طول الموجة أو تكون أكبر منها .

(أ) تختلف هذه الحالة عن الحالة السابقة في أنه ينبغي ألا ننسب الى الجسم

$$dV = \pi (R^2 - z^2) dz$$

ويكون بين الاهتزازة المنتثرة بهذا الحجم في المنحنى OD وبين الاهتزازة المنتثرة في المنحنى نفسه باستوى XOY فرق في المسير يساوي :

$$\delta = OH + OH' = 2z \sin \frac{\varphi}{2} \quad [٩,١٠]$$

ويمكن اذن كتابة هذه الاهتزازة كما يلي :

$$ds = AdV \cos \left(\omega t + \frac{2\pi\delta}{\lambda} \right) = AdV \cos (\omega t + \mu z) \quad [١٠,١٠]$$

وذلك بأن نكتب :

$$\mu = \frac{4\pi}{\lambda} \sin \frac{\varphi}{2}$$

فحصول الاهتزازات المنتثرة بالكرة كلها تكون لها العبارة التالية :

$$s = A \int_{-R}^{+R} (R^2 - z^2) \cos (\omega t + \mu z) dz \quad [١١,١٠]$$

$$= A \left[\cos \omega t \int_{-R}^{+R} (R^2 - z^2) \cos \mu z dz - \sin \omega t \int_{-R}^{+R} (R^2 - z^2) \sin \mu z dz \right]$$

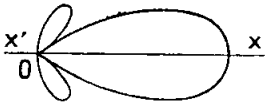
إن التكامل الثاني يساوي الصفر ، لانه مؤلف من جزئين متساويين ومتعاكسين بالإشارة . فالاهتزازة المنتثرة ، التي لا تتعلق بالزمن الا بالعامل $\cos \omega t$ ، تكون اذن على اتفاق في الطور مع الاهتزازة التي تصدر من O . ويمكن تقدير سعتها فنجد :

$$s_m = 4\pi R^3 A \frac{\sin \mu R - \mu R \cos \mu R}{(\mu R)^3} = 3VA \frac{\sin \mu R - \mu R \cos \mu R}{(\mu R)^3} \quad [١٠,١٢]$$

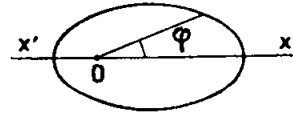
وذلك بإدخال حجم الجسم $V = \frac{4}{3} \pi R^3$.

(ج) إن المنحنى الذي يمثل شدة الانتثار $I = s_m^2$ يشبه منحنى الانعراج (الجزء الرابع ١٥-٥) . فله نهاية عظمى مركزية شديدة من أجل $\mu = 0$ ، أي من أجل $\varphi = 0$ ، توافق الانتثار الى امام الحزمة الواردة ، وله نهايات منعدمة من أجل $\mu R = \mu R \operatorname{tg} \mu R$ ، ونحدث من أجل قيم φ متغيرة حسب R . ونحدث النهاية المنعدمة الاولى من

أجل $\mu R = 1,43 \pi$ (انظر الجزء الرابع ، الشكل ١٥-١٣) . وعلى هذا ، فإنه ما دامت نسبة قطر الجسم الى طول الموجة $\frac{2R}{\lambda}$ أقل من ٠,٧١٥ ، لا تكون هناك قيمة لـ φ تعدم الشدة ؛ ولكن هذه الشدة تتناقص من $\varphi = 0$ الى $\varphi = \pi$. فمخطط الانتثار (الشكل ١٠-٩) ليس إذن متناظراً من الامام ومن الخلف ،



الشكل ١٠-١٠ . - شدة الانتثار بحسب
بجسيات أبعادها كبيرة نسبياً
(بالنسبة الى طول الموجة)



الشكل ١٠-٩ . - شدة الانتثار بحسب
أبعادها أقل قليلاً من طول الموجة ، في
مستوى يقع فيه منحى الضوء الوارد .

كما هو حال مخطط الشكل ١٠-٧ . وعندما تصبح الجسيمات كبيرة بما فيه الكفاية ، تنعدم I من أجل قيم لـ φ صغيرة صغراً كافياً لأن تشاهد في المنحى Ox دوائر انتشار ، يتغير نصف قطرها الزاوي مع λ ، وفقاً لما ذكر منذ قليل ، وتكون تبعاً لذلك ملوثة حين يكون الضوء الوارد أبيض اللون . ويكون لمخطط الانتثار المظهر المين في الشكل ١٠-١٠ . وعلى هذا الاساس تفسر المظاهر التي وصفت في الفقرة ١٠-٣ . وللقارئ أن يقارن الاشكال ١٠-٧ و ٩ و ١٠ مع الاشكال ٧-٢٤ من الجزء الثالث .

ولكن النظرية السابقة لا تعطي إلا شكل الظواهر ، لأنها تتعقد منذ أن تصبح قرينة انكسار الجسيمات مختلفة اختلافاً بيناً عن قرينة انكسار الوسط .

١٠-٦ . - النهي المرتبط بالانتثار :

(أ) - ٥- في تجربة الشكل ١٠-٢ ، التي تجرى مثلما ذكر في بداية الفقرة ١٠-٣ ، لنضع بعد الانبوب T عدسة تؤلف للحظائر D خيلاً على

حاجز . فعندما تكون الجسيمات من الصغر بحيث يكون الضوء المنتثر أزرق اللون ، يكون ذلك الحيال برتقالياً . ثم تزداد بعد ذلك عتمة المحلول كلما ازداد الانتثار .

فالضوء النافذ يخلو إذن من الشعاعات المنتثرة ، وعندما تكون الجسيمات صغيرة ، يشتد ظهور هذا الفعل كلما قصر طول الموجة . فالانتثار يحدث إذن امتصاصاً ظاهرياً^(١) أو تلاشي ، يسهل حسابه . ويُعرف عامل التلاشي ، كما عُرف عامل الامتصاص في الفقرة ٩ - ١٢ ج ، بالعلاقة :

$$2 K = - \frac{\Delta \mathcal{E}}{\mathcal{E}} \cdot \frac{1}{\Delta x}$$

حيث $\Delta \mathcal{E}$ هو نقصان التدفق النافذ نظامياً عندما تحترق الحزمة ثخناً Δx وحيث \mathcal{E} هو التدفق الوارد . ويعطى هذا التدفق \mathcal{E} بالصيغة [٧، ١٠] ، عندما ينسب الى واحدة السطح العمودي على منحى الحزمة الواردة . إن التدفق الكلي الذي تنثره شريحة اسطوانية مساحة قاعدتها واحدة المساحة وارتفاعها Δx ، يساوي مجموع التدفقات المنتثرة بكل الجسيمات الواقعة في هذا الحجم ، أي يساوي $N \Delta x$ مرة التدفق الذي يشعه وسطياً في كل الفضاء ثنائي أقطاب جيبى . وبحسب هذا التدفق يجمع التدفق dS (الشكل ١٠ - ٧) على كامل سطح كرة نصف قطرها r . ويعطي الحساب ، إذا أُجري كما في الجزء السابع ، ١٠ - ٥ ، انطلاقاً من [٤، ١٠] ، القيمة Π ، المقدار التالي :

(١) في حالة الامتصاص الحقيقي ، تتحول الطاقة المشعة الى حرارة في المادة . أما هنا ، فهي تنحرف فقط عن منحى انتشارها الاصلي ، وذلك بافتراض ان الامتصاص الحقيقي للجسيمات مهمل .

$$\Delta \mathcal{E} = N \Delta x \frac{\omega^4 \alpha^2 V^2}{12 \pi \epsilon_0 c^3} E_m^3 \quad [١٣،١٠]$$

ومنه :

$$2K = \frac{N \omega^4 \alpha^2 V^2}{6 \pi \epsilon_0^2 c^4} \quad [١٤،١٠]$$

إن لحاصل القسمة :

$$\sigma = \frac{K}{2N} \quad [١٥،١٠]$$

أبعاد السطح ، ويسمى المقطع الفعال لانتشار الجسم .

إن التلاشي العائد للانتشار بجسيمات صغيرة بالنسبة لطول الموجة يزداد ازدياداً كبيراً عندما يتناقص طول الموجة . ولما كانت أبعاد قطرات الماء في ضباب خفيف من مرتبة الاطوال الموجية للضوء المرئي فإن امتصاص شعاعات ما تحت الأحمر القريب (من ١ - ١,٢ ميكرون) من قبل مثل هذا الوسط العكر يكون أقل كثيراً من امتصاص شعاعات الضوء المرئي ^(١) . لذلك فإن التصوير بما تحت الأحمر في جو شفافته وسطية يظهر من التفاصيل أكثر بكثير مما يظهر التصوير باستعمال اللوحات الحساسة العادية (الشكل ١٠ - ١١ ، اللوحة ٣) .

ب) وعندما يصبح قطر الجسيمات كبيراً بالنسبة الى طول الموجة ، لا يعود لثابت التلاشي العبارة [١٤،١٠] . ولتقدير الامتصاص الظاهري الذي تقوم به مجموعة كرات شفاة نصف قطرها R ، نجري المحاكاة الآتية : إن الانعكاس والانكسار يستخلصان من الحزمة الواردة التدفق الذي يعترضه هندسياً المقطع القائم للجسيمات، وليكن $S = N \pi R^2$ في مكعب حجمه واحدة

(١) يصبح الماء شديد الامتصاص من أجل اطوال موجية اكبر قيمة من هذه .

الحجم ويحتوى على N جسيماً نصف قطره R . ومن جهة أخرى ، فإن التدفق المنعرج عند أطراف كل جسيم ، وهو الذي يعد ، كما رأينا منذ قليل ، كأنه قرص عاتم له المحيط نفسه ، هذا التدفق يساوي ، وفقاً لنظرية بايينه (الجزء الرابع ، ١٥ - ٤) ، التدفق المنعرج عند الثقب المتكامل مع القرص ، أي أنه يساوي أيضاً التدفق المعترض هندسياً . إذن ، فالتدفق الكلي الذي يستخلصه من التدفق الوارد مكعب ضلعه واحدة الطول يساوي :

$$2 K = 2 \pi N R^2 \quad [١٦١٠]$$

وهذه القيمة مستقلة عن طول الموجة . وتطبق الصيغة [١٦١٠] على الضباب خاصة .

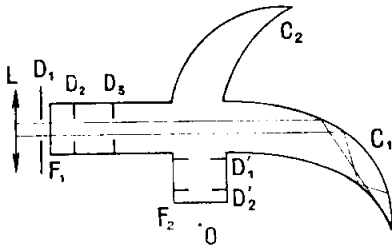
ب . انتشار الضوء بالجزيئات وبالذرات

١٠ - ٧ . — الانتثار الجزيئي للسعاعات المرئية وغير المرئية

(أ) لقد لاحظنا في الفقرة ١٠ - ٤ ج أن شدة الانتثار تصغر كلما صغر حجم الجسيمات الناثرة . وعلى الرغم من أن انتشار الضوء بالاجسام النقية أقل شدة من انتشاره بالاوساط الحاوية على جسيمات مجهرية ، فإنه مع ذلك من السهل ملاحظته . وهو يظهر ان كل الاوساط غير متجانسة وأن الجسيمات التي تكوّنُها، من ذرات وجزيئات او ايونات، لها أبعاد محدودة . إن الضوء ينتثر بكلٍ من هذه الحواجز الصغيرة ولا ينتشر دوماً تغيير إلا في الحلاء الذي يفصل بينها .

— ٥ — لمشاهدة انتشار ضوء قوس فحمية بمائع ، يمكن استعمال البنزين benzène المقطر تقطيراً بطيئاً ومكرراً عدة مرات ، في أنبوب المشاهدة T (الشكل ١٠ - ٢) ، الذي يُغسل بالمائع كي ينتزع منه الغبار . ويمكن أن تصل قيمة المعان بضع عشرات نيت .

ولكن المشاهدات تكون أبسر والقياسات الضوئية ممكنة عندما يستعمل



الشكل ١٠ - ١٢ أنبوب لدراسة
الانتشار الجزيئي

أنبوب مشاهدة كالأنبوب المبين في
الشكل ١٠ - ١٢ . فالخطارات D_1
و D_2 و D_3 تحفظ الحزمة بعيدة عن
الجوانب. وشكل القرن C_1 المعطى
لنهاية الأنبوب المقابلة لوجه الدخول
 F_1 يجبر الحزمة على أن تنعكس
انعكاسات متعددة لا تترك منها إلا

كسراً ضئيلاً جداً يعود أدراجـه . ويهيئ القرن C_2 كذلك خلفية سوداء
للمشاهدة التي تتم في منحى عمودي على منحى الورد ، من خلال الخطارين D'_1
و D'_2 والنافذة F_2 . وتطلى جوانب الأنبوب بطلاء أسود كامد باستثناء F_1 و F_2 .
ويمكن بواسطة هذا الجهاز أن يُشاهد بالعين الانتثار بغاز ما ، باستعمال
بخار أكسيد الاتيل (الاتير الكبريتي) الذي يُدخل في الأنبوب المفرغ
من الهواء .

ب) يتم الانتثار الجزيئي في كل مناطق للشعاعات الكهربائية ، بدءاً من
المرتبة حتى الأشعة السينية وأشعة γ . وبالرغم من عمومية هذه الظاهرة ، فإن
قوانينها تتغير كثيراً تبعاً لطبيعة الشعاعات المنتثرة ، ذلك لان النسبة بين الابعاد
الجزيئية ، وهي من مرتبة 10^{-9} م ، وبين طول موجة الشعاعات تختلف اختلافاً
كبيراً ، وفي هذا تكمن النتائج التي يسببها هذا التغير ، في حالة الاوساط
المبددة .

ومع ذلك لنبيّن منذ الآن ؛ أن الانتثار الجزيئي يشمل ، فضلاً عن الجزء
المتربط الذي سندرسه - أي الذي له علاقات طور محدّدة مع الشعاعة الواردة
- جزءاً غير مترابط ، سببه ظواهر قانونية : فعل رامان من أجل الشعاعات

المرئية وفوق البنفسجية (الفقرة ١٥ - ١) ، وفعل كمتن من أجل الاشعة السينية (الفقرة ١٥ - ١٤) .

١٠ - ٨ . — انتشار الضوء المرئي بمجزيئات غاز كامل .

إن نظرية انتشار الشعاعات المرئية بالجزئيات هي جزء من اعتبارات شبيهة باعتبارات الفقرة ١٠ - ٤ . فالجزئيات هي ، في الحقيقة ، صغيرة جداً بالنسبة لأطوال موجات الضوء المرئي . ويمكن أن نسلم بأن كلاً منها يكتسب ، تحت تأثير الموجة الأولية ، عزماً كهربائياً ثنائي أقطاب محرض ، وأن الصيغتين [٥٠،١٠] و [٨٠،١٠] تنطبقان على الاشعاع الثانوي ، لأن الجزئيات في غاز كامل موزعة توزيعاً عشوائياً .

ومن المتبع في دراسة الجزئيات (الجزء الرابع ، ٤ - ١٢) ، أن تُنسب الاستقطابية α الى الجزيء لا الى واحدة الحجم من المادة : ولهذا يستعاض عن الصيغة [١٠،١٠] بالصيغة [٦٠،٩ مكرر] :

$$p = \alpha E$$

حيث α : مقدار سلّمي فبا اذا كان الجزيء متماثل المناحي . وليست هذه حالة البنزين او أكسيد الاثيل المستعملين اعلاه ، بل حالة الجزئيات وحيدة الذرة (الغازات الحاملة) او الجزئيات التي تتمتع بتناظر من مرتبة عالية (CH_4 ، CCl_4) . وسوف ندرس في الفقرة ١١ - ١ عدم تماثل المناحي في الجزئيات .

ويفترض ان ثنائي الأقطاب المحرض في الجزيء يُشعّ كما يشع ثنائي أقطاب هرتز (الفقرة ١ - ٦) ، فالشروط التي تجتمع في انتشار الضوء المرئي بمجزيئات غاز كامل عديم اللون ($R \ll \lambda$ ، جزئيات موزعة عشوائياً) هي إذن الشروط التي تنطبق فيها صيغة رايلي [٨ ، ١٠] ، التي تكتب هنا كما يلي :

$$\mathcal{R} = \frac{N \pi^2 \alpha^2}{2 \epsilon_0^2 \lambda^4} \quad [١٧،١٠]$$

(ب) يمكننا أن نحاول تحديد آلية الانتثار تحديداً دقيقاً ، بأن نفترض في تكون ثنائي الاقطاب المحرض في جزيء فرضيات الفقرة ٩ - ٤ . وقد وجدنا أن للاستقطابية العبارة [١١،٩] :

$$\alpha = \frac{p}{E} = \frac{q^2}{m(\omega_0^2 - \omega^2)} \quad [١٨،١٠]$$

فمن أجل غاز عديم اللون ، تقع النبضات الخاصة ω_0 في ما فوق البنفسجي ، بين ١٥١٠×٦ و ١٦١٠×٢ هرتز . فمن أجل الشعاعات المرئية ($\omega \simeq 3.10^{15}$) يكون لدينا إذن $\omega_0^2 \ll \omega^2$. ويمكن أن تعدد الاستقطابية α المعطاة بالصيغة [١٨،١٠] كما لو أنها ثابتة من أجل نوع معين من الجزيئات .

وقد رأينا في الفقرة ٩ - ١٤ أنه ينبغي وضع قيود على تشبيه الجزيء بجواب ميكانيكي .

(ج) ولهذا السبب ، من المفضل ألا تدخل في الصيغة [١٨،١٠] إلا قيم يسهل الحصول عليها بالتجربة المباشرة . لنستخدم العلاقة [٣٩،٤] ، في الجزء الرابع ، بين سماحية غاز كامل ϵ_r ، واستقطابية جزيئاته α :

$$\alpha = \frac{3 \epsilon_0 \epsilon_r - 1}{N \epsilon_r + 2} \quad [١٩،١٠]$$

ففي الحالة الراهنة ، ليس الحقل المقطب حقلاً راكدياً . لناخذ بعين الاعتبار علاقة مكسويل (الجزء السابع ، ٩ - ٦) بين ϵ_r وقرينة الانكسار n :

$$\epsilon_r = n^2$$

فوفقاً للصيغة [٢٥،٩] يكون لدينا :

$$\alpha = \frac{3 \varepsilon_0 n^2 - 1}{N n^2 + 2} \simeq \frac{\varepsilon_0}{N} (n^2 - 1) \quad [٢٠،١٠]^{(١)}$$

لأن $n^2 + 2$ قريبة دوماً من ٣ من أجل غاز قريب من الغاز الكامل . وتصبح الصيغة [١٧،١٠] كما يلي :

$$R = \frac{9 \pi^2}{2 N \lambda^4} \frac{(n^2 - 1)^2}{(n^2 + 2)^2} \simeq \frac{\pi^2}{2 N \lambda^4} (n^2 - 1)^2 \quad [٢١،١٠]$$

٩ - ١٠ — تحقيقات تجريبية .

ينجم عن الصيغة [٢١،١٠] عدة نتائج تجريبية .

(أ) إن تغير شدة الضوء المنتثر وفق $\frac{1}{\lambda^4}$ هو السبب في زرقة السماء . ومن المعروف أن هذا اللون يشتد كلما ازداد خلو الهواء من الغبار ، كما هو حال الجبال الشاهقة . وهو ناجم عن انتشار ضوء الشمس بجزئيات الجو ، وإن شدته لكافية لجذب ضوء النجوم خلال النهار ^(٢) .

(١) تشتمل الصيغتان [١٧،١٠] و [٢٠،١٠] كليهما على الاستقطابية α . ويدرك المرء أنه يمكن ربط أحدهما بالآخرى . وفي الحقيقة ، يمكن اثبات أن مجموع الموجات الثانوية التي تشعها الجزيئات هو الذي يجعل الوسط كاسراً للأشعة بتركيبه مع الموجة المثيرة . ويمكن ، على هذا الشكل ، تفسير جميع ظواهر انتشار الضوء بالنظرية الجزيئية ، ولنكتف ببيان تفسير استقطاب الضوء بالانعكاس (الفقرة ٨ - ٨) . أنه تحت تأثير الحقل E لموجة ضوئية تخترق وسطاً ثانياً وتتهز في مستوى الورد . لا تشع الجزيئات في مذبح الحقل E (الشكل ١٠ - ٧) . وعلى هذا ، فالانعكاس النظامي في الوسط الاول لا يحدث الا اذا كانت جزيئات الوسط الثاني تشع الطاقة في منحنى الانعكاس . فالانعكاس اذن لا يتم فيما اذا كان هذا المنحنى موازياً للحقل E ، أي عمودياً على منحنى الشعاع المنعكس ، وهو ما يتفق مع صيغة بروستر [٣٢،٨ مكرر] .

(٢) عندما ترتفع في الطبقات الجوية ، يتخلخل الجو عند سمت الرأس ويضعف الانتثار الى حدٍ تصبح عنده النجوم مرئية في وضوح النهار على خلفية مظلمة للسماء .

إن صورتين في الشكل ١٠ - ١٣ (اللوحة ٤) اللتين تمثلان طيف الزئبق الذي يُرى (a : مباشرة و b) بالانتثار في الهواء ، تظهران جيداً أن الانتثار يزيد من الأهمية النسبية للشعاعات ذات الأطوال الموجية القصيرة .

(ب) وعندما يُغيّر الغاز ، تزداد النسبة R مثل ازدياد $(n^2 - 1)$. وهذا ما تظهره جيداً الأعداد التالية ، المأخوذة بقيمة نسبية بالنسبة إلى الهواء .

الغاز	الهواء	H_2	CO_2	N_2O	أكسيد الاثيل
$(n^2 - 1)^2$	(1)	0,23	2,36	3,12	27,1
R	(1)	0,25	2,15	3,75	26,0

وتبين الصورة في الشكل ١٠ - ١٤ (اللوحة ٤) هذه العلاقة . وتبين لنا الفائدة من استعمال أكسيد الاثيل في تجربة الشكل ١٠ - ١٢ .

(ج) إن قياس المقادير الداخلة في الصيغة [٢١،١٩] يسمح بالوصول إلى العدد N ، عدد الجزيئات التي تحتوي عليها واحدة الحجم من الغاز .

ومن أجل ضوء وحيد اللون طول موجته λ معروف ، تقاس القرينة n ، وتُقارن بطريقة قياس الشدة الضوئية ، باستعمال تركيبة الشكل ١٠ - ١٢ ، تقارن الاستدارة θ التي تولدها الحزمة الأولية بشدة الضوء المنتثر في منحى عمودي بحجم معين V من الغاز المضاء : إن حاصل قسمة هذه الشدة على V يعطى I_{90} في الصيغة [٢١،١٠] . بعد أن يتعين N بحسب عدد آفوغادرو :

$$\varrho = N \frac{M}{\rho} \quad [21,10]$$

حيث يدل M على كتلة الغاز المولية ، ويدل ρ على كتلته الحجمية .

وقد أجريت قياسات حديثة على الآرغون ، وهو غاز وحيد الذرة ذو جزيئات كروية ، فأعطت هذه القياسات :

$$\eta = 5,99 \pm 0,07.10^{26} \text{ كيلومول/جزيء}$$

وهذا على اتفاق حسن مع القيم التي حصل عليها بطرائق أخرى .

إن الصيغة [١٤،١٠] التي تعطي ثابت التلاشي والمستنتجة من صيغة رايلي، تنطبق على غاز عديم اللون وباستعمال قيمة الاستقطابية في [٢٠،١٠]
فحصل على :

$$K = \frac{8 \pi^3 N}{6 \epsilon_0^2 \lambda^4} \alpha^2 = \frac{24 \pi^3 (n^2 - 1)^2}{N \lambda^4 (n^2 + 2)^3} \quad [٢٣،١٠]$$

وبفضل هذه الصيغة ، نحسب قيم ضئيلة جداً لـ K ؛ فمن أجل الهواء مثلاً ،

$$K = 5,6.10^{-5} \text{m}^{-1} \text{ عندما } \lambda = 0,38 \mu$$

- ٥ - ولكن من أجل مسارات طويلة جداً ، يصبح الامتصاص الظاهري محسوساً وتكون قيمته من أجل الأزرق أكبر منها من أجل الأحمر . ولهذا السبب تبدو الشمس عند الافق أقل إضاءة وأكثر احمراراً منها عندما تكون في سمت الرأس ، حتى وإن كان الجو شفافاً .

إن قياس ثابت التلاشي للجو ، عندما يؤخذ بعين الاعتبار الامتصاص الحقيقي لبعض الغازات في مناطق معينة من الطيف ، يسمح بتقدير قيمة N من الصيغة [٢٣،١٠] ، وبالتالي تقدير عدد آفوغادرو η .

د) إن إحدى نتائج الصيغة [٥،١٠] هي أن الضوء الذي تنثره السماء ينبغي أن يكون مستقطباً . وفي الحقيقة ، إذا وجهنا النظر الى منطقة من السماء الزرقاء واقعة في منحى عمودي على المنحى الذي تترى الشمس وفقه ، فإنتا نتحقق من أن الضوء مستقطب استقطاباً مستقيماً . وهذا شبيه بالتجربة المذكورة في الفقرة ١٠ - ٢ .

١٠ - ١٠ — الانتشار الجزيئي للضوء المرئي بالاعواساط الكثيفة .

(أ) - ٥ - يمكننا أن نثبت بقياسات الشدة الضوئية من أن شدة الضوء المنتثر بسائل كالماء أو البنزين في درجة الحرارة العادية ، هي أقل كثيراً من الشدة المحسوبة استناداً على الصيغة [٢١، ١٠] . فالماء لا ينتثر من الضوء الا ٢٠٠ ضعفاً مما ينتره الهواء في الضغط النظامي ، على الرغم من أنه يحتوي في الحجم نفسه على عدد من الجزيئات يبلغ ١٢٠٠ ضعفاً .

— ٥ — والتثبت من هذا الامر أبسر كثيراً في البلورات . فاذا وضعنا في تجربة الشكل ١٠ - ٢ مكان الانبوب كتلة من كلور الصوديوم الصناعي من نوعية جيدة وكانت اوجها مصقولة صقلاً جيداً ، فإن ضالة الانتثار تبدو جلية للعيان . إن الكوارتز لا ينتثر من الضوء إلا سبعة او ثمانية أضعاف ما ينتره الهواء النظامي ، على الرغم من ان كتلة الكوارتز الحجمية اكبر بألفي ضعف .

(ب) لقد استطعنا ، لدى حساب شدة الضوء المنتثر بغاز أن نسلم بأن شدات الاضواء المنتثرة بمختلف الجزيئات ينضاف بعضها الى بعض نتيجة للفوضى في توزيعها . ولكن هذا الشرط لا يكون محققاً في الاعواساط الكثيفة ، السائلة (الجزء الثاني ، ١٤ - ١) وبخاصة البلورات (الجزء الثاني ، ١٣ - ٦) .

ولدراسة ما يحدث في هذه الحالة ، نستعيد المناقشة المطبقة على الشكل ١٠ - ٨ . إن الكرة ، في هذه المرة ، تمثل حجم السائل أو الجامد الذي تقوم جزيئاته بثر الضوء . ولكن شكل هذا الحجم ليست له أهمية تذكر ما دام كبيراً جداً بالنسبة إلى طول الموجة ، كما هو الحال عملياً دائماً ، وما دام يحتوي بالتالي على عدد كبير جداً من الجزيئات .

ففي هذه الحالة ، يكون الجداء μR كبيراً جداً من أجل أي قيمة ل φ

لا تكون صغيرة الى حد كبير ، وتبين الصيغة [١١ ، ١٠] أن السعة المنتثرة s_{in} ذات قيمة مهمة .

ويمكن ان نتأكد من هذه النتيجة دون اجراء الحسابات :

إن كل الجزيئات الموجودة في طبقة نضها $dz \ll \lambda$ (الشكل ١٠ - ٨) تصدر في المنحى OD اهتزازات متفقة في الطور . إذن فالسعة المنتثرة بكل طبقة تتناسب طردياً مع حجم هذه الطبقة dV ، فيما اذا كانت الكثافة منتظمة ، ويكون فرق المسير بين الاهتزازين المنتثرين بطبقتين مساوياً :

$$\delta = 2 (r_1 - r_2) \sin \frac{\varphi}{2} \quad [٢٤ ، ١٠]$$

فاذا اختير الفرق $r_1 - r_2$ بحيث كان $\delta = \frac{\lambda}{2}$ ، فإن الاهتزازتين تتفانيان تقريباً ، ما دام الباقي يكون سببه أن الحجمين dV_1 و dV_2 يمكن أن يختلف أحدهما عن الآخر قليلاً تبعاً لشكل الجسم ، ولما كان هذا الجسم كبيراً جداً بالنسبة الى طول الموجة فإنه يمكن تقسيمه الى عدد كبير جداً من ازواج الطبقات ، تتفانى آثارها بتقريب شديد .

وعلى هذا فإن شدة الضوء المرئي المنتثر جانبياً بالجزيئات ينبغي ان تكون منعقدة في وسط كثيف ذي أبعاد كبيرة بالنسبة الى طول الموجة وذو كثافة منتظمة وثابتة^(١) .

(ج) ومع ذلك ، فإن الانتثار بالاعواساط الكثيفة ليس منعقدماً ؛ ذلك لأن كثافتها ليست منتظمة وثابتة .

(١) لا تعود هذه النتيجة صحيحة عندما تعتبر الاشعة السينية عوضاً عن اشعاعات المرئية (الفقرة ١٠ - ١٣) .

ففي الجوامد ، ينشأ جزء من عدم الانتظام في الكتلة الحجمية عن عيوب في البنية أُشير إليها في الفقرة ١٣-٦ من الجزء الثاني .
وهناك جزء آخر ، يحدث في السوائل فقط ، وسببه تراوحات في الكتلة الحجمية ، يولدها الميجان الحراري ، وعلى هذا ، فإن طبقتين من الوسط ، ذواتي تخنين متساويين وبحيث أن $\delta = \frac{\lambda}{2}$ ، قنثران سعتين غير متساويتين ، ولا يعود التفاني بالتداخل المعتبر في (أ) كلياً .

ويمكن لنا ، دون الدخول في تفاصيل مناقشة دقيقة^(١) ، أن ندرك بأن سعة الإشعاع المنتثر بعنصر حجمي تعود فقط الى عدد الجزيئات الزائدة أو الناقصة بالنسبة الى عددها الوسطي ، وأن الشدة المنتثرة تتناسب طردياً مع $(\overline{\Delta N})^2$ ، وسطي مربع ، تراوحات عدد الجزيئات ؛ وتصبح نسبة رايلي [١٧،١٠] كما يلي :

$$R = \frac{\pi^2 \alpha^2}{2 \epsilon_0^2 \lambda^4} (\overline{\Delta N})^2 \quad [٢٥،١٠]$$

وقد حسب $(\overline{\Delta N})^2$ (في الجزء الثاني ، ١٢ - ٨ ج) ، ووجد أن :

$$\frac{(\overline{\Delta N})^2}{N^2} = - \frac{(\overline{\Delta V})^2}{V^2} \quad [٢٦،١٠]$$

(ومن الجزء الثاني ، ١٢ ، ٢٢) :

$$\frac{(\overline{\Delta V})^2}{2} \left(\frac{\partial p}{\partial V} \right) = \frac{kT}{2}$$

حيث يدل k على ثابت بولتزمان ويدل T على درجة الحرارة المطلقة . لندخل

(١) انظر كتاب روكار Rocard في الترموديناميك صفحة ٣٨٨ .

عامل الانضغاط المتساوي الدرجة للمادة :

$$\chi = - \frac{1}{V} \left(\frac{\partial V}{\partial p} \right)$$

ولنأخذ بعين الاعتبار [٢٦،١٠] ، فتصبح الصيغة السابقة كما يلي :

$$(\overline{\Delta N})^2 = \frac{N^2}{V} kT\chi \quad [٢٧،١٠]$$

وتكتب نسبة رايلي [٢٥،١٠] ، بعد أخذ [٢٠،١٠] بعين الاعتبار ، كما يلي :

$$R = \frac{\pi^2 N^2 kT\chi^2}{2\varepsilon_0^2 \lambda^4 V} = \frac{\pi^2}{2\lambda^4} \frac{kT\chi}{V} (n^2 - 1)^2 \quad [٢٨،١٠]$$

من أجل غاز كامل ، نعلم (الجزء الثاني ، ٨،١٢) أن $\frac{(\overline{\Delta N})^2}{N^2} = \frac{1}{N}$ ، ومنه :

$$R = \frac{\pi^2 N^2 \alpha^2}{2\varepsilon_0^2 \lambda^4} \frac{(\overline{\Delta N})^2}{N^2} = \frac{\pi^2 N \alpha^2}{2\varepsilon_0^2 \lambda^4}$$

وهكذا نجد من جديد الصيغة [١٧،١٠] ، التي برهنت بتسليماً فقط بأن الشدات المنتشرة بكل جزيئات الحجم المعتبر يُضاف بعضها الى بعض .

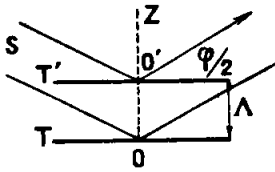
وقد وجدنا انه عندما تنتقل من غاز الى سائل ، له الحجم نفسه ، ان شدة الانتثار تزداد ، ولنقل مائة مرة . ان $(n^2 - 1)^2$ في السائل أعلى قيمة بـ ١٠^٥ الى ١٠^٦ مرة ، ولكن χ ينقص نقصاناً كبيراً . وحين يكون عدد الجزيئات واحداً ، يكون الانتثار بالسائل أقل من الانتثار بالغاز ، لأن تراوحيات الكثافة في السائل أضعف كثيراً .

ولنذكر أن التراوحيات تصبح شديدة في جوار النقطة الحرجة ، حيث يزداد

عامل الانضغاط للمائع ازدياداً كبيراً (الجزء الثاني ، ١٦ - ٤) .

١٠ - ١١ - الانعكاس الجزئي للضوء بالبلورات .

(أ) من المعروف (الجزء الثالث ، ٨ - ١٥) ان الحركات الاهتزازية ، في جسم جامد متبلور ، والتي يسببها الميجان الحراري ، يمكن النظر اليها كأنها تكون أمواجاً مرنة جيبية ذات أطوال موجية λ مختلفة تجوب الجسم الجامد في كل الاتجاهات . فالأمواج الطولية تولد مناطق محلية من التضاغط والتخلخل ، تمثل تراوحات الكتلة الحجمية ρ ^(١) . ففي لحظة معينة ، تكون المحلات الهندسية للنقاط ، التي تكون فيها ρ ذات قيمة واحدة من أجل احد تلك المجموعات من الامواج ، مستويات موجة يبعد الواحد منها عن الآخر بمقدار λ . فاذا اضيء الوسط بمجزمة أشعة متوازية طول موجتها λ ، ووجه النظر في منحى يصنع زاوية φ مع منحى الورد ، فان الموجات الحرارية - المرنة التي توازي مستويات موجتها المستوي XOY (الشكل ١٠ - ٨) ، هي التي تنثر الاهتزازات متفقة



الشكل ١٠ - ١٥

انتثار الضوء ببلورة

كلها في الطور . لتكن T و T' (الشكل

١٠ - ١٥) طبقتين من ثخن واحد . (ضئيل بالنسبة الى λ) ولتكن المسافة الفاصلة بينها d

بحيث أن $\delta = \frac{\lambda}{2}$: إن آثارهما تكف ، على

خير وجه ، عن التفاني ، وذلك عندما تكون

كثلتاهما الحجميتان مختلفتين الى أقصى حد ممكن ، أي عندما تنطبق إحدى الطبقتين على منطقة التخلخل الاعظمي ، وتنطبق الاخرى على منطقة التضاغط

الاعظمي ، وهذا ما يفرض الشرط $d = \frac{\lambda}{2}$.

(١) يقارن ما يلي بتجارب الفقرة ١٦ - ٧ في الجزء الرابع .

ويعطي الشرط :

$$\delta = \frac{\lambda}{2} = 2 d \sin \frac{\varphi}{2} = \Lambda \sin \frac{\varphi}{2}$$

العلاقة التالية بين طول الموجات الضوئية وطول الموجات الحرارية - المرنة التي تنتشرها :

$$\lambda = 2 \Lambda \sin \frac{\varphi}{2} \quad [٢٩،١٠]$$

ولما كان منحى هذه الموجات محدداً ايضاً ، فانه يتبين أنه من بين الحشد من الموجات التي توجد في البلورة ، لا تتجلى في الظاهرة المدروسة إلا موجات مرنة معينة أحسن تعيين . ومع ذلك فهناك ايضاً احتمالان : مستويات الموجات المرنة المعتبرة ليست ساكنة الحركة ؛ بل تنزاح بالسرعة v (التي تتغير مع Λ ، انظر الجزء الثالث ، ٦ - ١٠) في الاتجاه OZ أو في الاتجاه المعاكس . وفي كلتا الحالتين ، يبدل مفعول دوپلر نواتر الموجات الضوئية بالنسبة للمشاهد الذي يستقبل هذه الموجات . لمستويات الموجة التي تنزاح وفق OZ (الشكل ١٠-٨) تقترب من المنبع بالسرعة $v \sin \frac{\varphi}{2}$. وتبين الصيغة [٢٩،٧] في الجزء الثالث أن التواتر ν يزداد بحيث أن :

$$\frac{\Delta \nu}{\nu} = \frac{v \sin \frac{\varphi}{2}}{c_1}$$

حيث c_1 هي سرعة الضوء في البلورة . ولما كانت مستويات الموجة تقترب في الوقت نفسه من المشاهد ، فان الصيغة [٢٩،٧] في الجزء الثالث تبين أنه يحدث ايضاً ازدياد في التواتر يساوي الازدياد السابق . فمفعول دوپلر يؤدي بالجملة الى أن الضوء المنتثر بالموجات المرنة لا يكون تواتره ν ، بل يتألف من شعاعتين تواترهما :

$$\nu \pm \Delta \nu = \nu \left(1 \pm \frac{2 \nu \sin \frac{\varphi}{2}}{c_1} \right) \quad [3.0.10.]$$

وتكون الفاصلة $2 \Delta \lambda$ بين هاتين الشعاعتين (ثنائية بريلوان Brillouin)

ضئيلة جداً دائماً . فمن أجل $v = 10^3 \text{ m/s}$ ، $\varphi = \frac{\pi}{4}$ ، $c_1 = \frac{c}{n} = 2.10^8 \text{ m/s}$ ، نجد : $(\sin n = 1,5)$

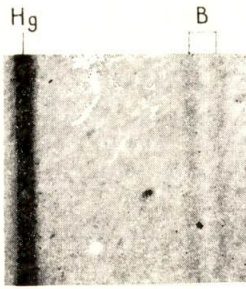
$$2 \frac{\Delta \nu}{\nu} = \frac{4.10^3}{2.10^8 \sqrt{2}} = 1,4.10^{-5}$$

ويكون الفرق مقدراً بالاطوال الموجية مساوياً :

$$\frac{2 \Delta \lambda}{\lambda} = - \frac{2 \Delta \nu}{\nu}$$

أي من أجل $\lambda = 5000 \text{ A}$: يكون

$$2 \Delta \lambda = 0,07 \text{ A}$$



الشكل ١٠ - ١٦ . ثنائية بريلوان للماس (Hg = خط طفيلي ، B = خطا بريلوان)

وبين الشكل ١٠ - ١٦ صورة فتوغرافية لثنائية بريلوان أخذت لدى تحليل ضوء الزئبق المنتثر ببلورة من الماس وذلك باستعمال مصور الطيف .

١٠ - ١٢ . الانتثار الجزيئي للضوء بالمحاليل .

إن انتشار الضوء بمحلول يعطى قيمة R لنسبة رايلي ، أما الانتثار بالمذيب فيعطى قيمة أخرى R_0 . وليست هناك نظرية دقيقة تسمح ببيان نصيب المذيب ونصيب المذاب من الشدة المنتثرة بالمحلول . ولكن يمكن مناقشة الامر على وجه التقريب كما يلي ، من أجل المحاليل الممددة : إذا وضع في حجم معين من المحلول

جزيء من المذاب ذي الاستقطابية α عوضاً عن جزيء من المذيب ذي الاستقطابية α_0 ، فإن القرينة الوسطية تتغير من n_0 الى n . وتختلف نسبة رايلي بالمقدار التالي :

$$R - R_0 = \frac{\pi^2}{2\lambda^4} (n^2 - n_0^2)^2 \left(\frac{\Delta N}{N} \right)^2 \quad [٣١،١٠]$$

حيث تمثل $\left(\frac{\Delta N}{N} \right)^2$ القيمة التربيعية الوسطية لتراوحات عددجزيئات المذاب . لنسلم ، كما فعلنا لاثبات قانون فانت هوف Van't Hoff ، بأن جزيئات المذاب في المحلول الممدد تسلك سلوك جزيئات الغاز الكامل : فيكون لدينا $\left(\frac{\Delta N}{N} \right)^2 = \frac{1}{N}$. ومن جهة أخرى ، تكون عبارة التركيز الحجمي للمحلول (أي كتلة المذاب في واحدة الحجم) كما يلي :

$$C = N m = \frac{N M}{\mathcal{V}}$$

إذ أن كتلة جزيء المذاب m تساوي حاصل قسمة كتلته المولية M على عدد أفوغادرو \mathcal{N} . وعلى هذا تصبح الصيغة [٣١،١٠] كما يلي :

$$R - R_0 = \frac{\pi^2}{2\lambda^4} (n^2 - n_0^2)^2 \frac{1}{N} = \frac{\pi^2}{2\lambda^4} (n^2 - n_0^2)^2 \frac{M}{\mathcal{N} C} \quad [٣٢،١٠]$$

وتبين هذه الصيغة الاخيرة أن من الممكن استنتاج الكتلة المولية M من شدة الضوء المنتثر بالمحلول . ولكن ينبغي تعيين اختلاف قرينة الانكسار مع التركيز تعييناً دقيقاً جداً . ولنلاحظ ان دقة الطريقة تزداد مع ازدياد M ، اذا ظلت المقادير الاخرى ثابتة ، وذلك على خلاف ما عليه الامر في الطرائق المشتقة من قوانين راؤول Raoult (الجزء الثاني ، ١٨-٨) .

وقد طبقت هذه الطريقة بنجاح لتعيين الكتل المولية للبروتينات والبالمرات العالية .

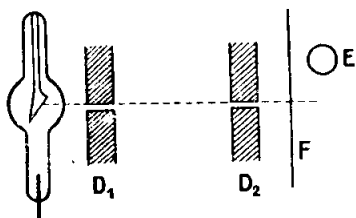
وتبلغ الصيغة [٣٢،١٠] أقصى صحتها من أجل تمديد غير محدود . ويستعاض عنها ، من أجل تركيزات اكبر ، بصيغة اشد تعقيداً ؛ ويحصل على M بالاستقراء (التبسط) (انظر الجزء الثاني ١٨-١٨ ب) . ومن جهة أخرى ، من أجل الجزئيات الجهرية التي تصبح أبعادها قابلة للمقارنة مع طول الموجة ، ينبغي تعميم الحساب وفقاً للمبادئ المعروضة في الفقرة ٩-٥ .

١٠ - ١٣ . — انتشار الاشعة السينية بالالكترونات وبالجزئيات .

(أ) إن النتائج المثبتة في الفقرة ١٠ - ١٠ ب لا تعود صالحة اذا أصبح طول موجة الضوء λ من مرتبة الابعاد التي داخل الذرة ، ذلك لانه لا يمكن حينئذ تقسيم الوسط الى طبقات صغيرة بالنسبة إلى λ . ومن المعروف (الجزء الرابع ، ١٦ - ١٩) أن انتشار الاشعة السينية بالبلورات ظاهرة لها أهميتها .

إن تواترات الاشعة السينية تزيد عن تواترات الشعاعات المرئية بآلاف المرات ، وكما ان الطاقة (الجزء السادس ، ١٦ - ٢٢) التي توافقها كبيرة ، كما ان المظهر الجسيمي للإشعاع يصبح ذا أهمية كبيرة في مجال الاشعة السينية . ومع ذلك ، فإن عدداً معيناً من خواص هذه الشعاعات تُفسّر على أساس أنها مكونة من موجات كهربية عرضية ؛ وهذه هي ، بصورة خاصة ، حالة انتشارها بالمادة .

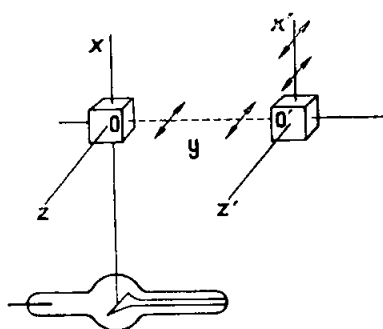
٥ - تسقط حزمة ضيقة من الاشعة السينية المحدودة بشقين في حاجزين من الرصاص D_1 و D_2 (الشكل ١٠-١٧) ، على صفيحة رقيقة F من الالمنيوم أو من الورق . فنجد أن الكشاف الكهربائي المشحون الموضوع عند E ، خارج



الشكل ١٠ - ٧ . انتشار
الاشعة السينية بذرات صفيحة معدنية

مسار الحزمة ، تنفرغ شحنته حينما
توضع الصفيحة عند F بأسرع كثيراً
بما تنفرغ في حال عدم وجودها ، بما
يدل على ان قسماً من الاشعة
السينية قد انتشر جانبياً . أما الاثر
الباقى فيعود الى تشتت (تأين) الهواء
(الجزء السادس ١٧ - ١) .

وقد أمكن التحقق على وجه التقريب من قانون التوزع الزاوي للتدفق
المنتثر ، المعطى بالصيغة [١٠ ، ٥] والشكل ١٠ - ٦ ، وذلك بإجراء
قياسات للتدفق بواسطة غرفة التأين (الجزء السادس ، ١٧ - ١) .



الشكل ١٠ - ١٨ . استقطاب
الاشعة السينية بالانتشار

هذا وإن الانتثار يقطب الاشعة
السينية مثلما يقطب الضوء المرئي .

٥- حين تصل حزمة من الاشعة
السينية منتشرة في المنحى Ox (الشكل
١٠ - ١٨) الى كتلة من الفحم أو
البارافين موضوعة عند O ، فإن هذه
الحزمة تنتثر . وتستقبل الاشعة المنتثرة
في الاتجاه Oy بكتلة بمائلة O' ، فتنتثرها

مرة أخرى . فإذا نُقِلَت غرفة تأين على طول محيط دائرة مركزها O' وواقعة
في المستوي $x'O'z'$ ، فإنه يُرى أن الانتثار أعظمي وفق Ox' ومنعدم وفق
 Oz' ، كما تتنبأ بذلك اعتبارات الفقرة ١٠ - ٢ .

ب (لنذكر (الجزء الرابع ، ١٦ - ٨ و ١٠) أن انتشار الاشعة السينية
بوسط ذي بنية منتظمة ، كالبورات ، يمكن أن يعد انعكاساً اصطفاًياً على

مستويات شبكية . وتسمع صيغة براغ Bragg (الجزء الرابع ، [٢٠،١٦] :

$$2 d \sin \theta = k \lambda \quad (k \text{ عدد صحيح})$$

بحساب الفاصلة d بعد قياس الزاوية θ ، زاوية الانعكاس الاصطفائي لأشعة سينية طول موجتها λ . ونستخلص من هذا طريقة لتعيين عدد آفوغادرو تعييناً دقيقاً .

ففي كلور الصوديوم ، مثلاً (الشكل ٩ - ١٤) ، تساوي المسافة بين مستويين شبكيين متجاورين وموازيين لوجهين متقابلين من أوجه المكعب : $d = 2,820 \text{ \AA}$. وكل مكعب حجمه d^3 ويحتوي سطحياً على أيون واحد . ويحتوي مول من كلور الصوديوم على \mathcal{N} جزيئاً من جزيئات NaCl أو $2\mathcal{N}$ ايوناً . ويشغل المول في الحالة الجامدة حجماً مقداره :

$$V_M = 2 \mathcal{N} d^3 = \frac{M}{\rho}$$

حيث M هي الكتلة المولية و ρ : الكتلة الحجمية . ولدينا $M = 58,5$ ؛ و $\rho = 2163,2 \text{ kg/m}^3$ ، ومنه :

$$\mathcal{N} = \frac{58,5}{2163,2 \times 2 (2,82 \cdot 10^{-10})^3} = 6,022 \cdot 10^{26} \text{ جزيئاً/كمول}$$

ج (إن النبضات المميزة ω_0 للألكترونات الذرية هي أقل كثيراً من النبضات ω للأشعة السينية ؛ فالصيغة [١٨،١٠] تصبح ، مع $q = e$ ، كما يلي :

$$\alpha = \frac{e^2}{m \omega^2} \quad [٣٣،١٠]$$

فإذا كان الإلكترون حراً ، كما هو الحال في المعدن ، فإن ω_0 تنعدم والصيغة نفسها تكون صالحة . وتصبح نسبة رايلي [١٠ - ١٧] حينئذ :

$$R = \frac{Ne^4}{32 \pi^2 \epsilon_0^2 c^4 m^2} \quad [٣٤،١٠]$$

وتدل N هنا على عدد الالكترونات في واحدة الحجم . ومن المسلم به أن الانتشارات تكون غير مترابطة . إن الصيغة [٣٤،١٠] التي تنسب الى ج.ج. طومسن J. J. Thomson ، لا تقبل بسهولة تحقيقاً تجريبياً . ولكن يمكن أن نحسب ، كما فعلنا في الفقرة ١٠ - ٦ ، ثابت التلاشي K الذي يعود الى الانتشار . وبوضع العبارة [٣٣،١٠] في [٢٣،١٠] نجد :

$$K = \frac{Ne^4}{6 \pi \epsilon_0^2 c^4 m^2} \quad [٣٥،١٠]$$

وحين يقاس مقدار الضعف الذي يصيب مختلف حزم الاشعة السينية التي تخترق اجساماً بسيطة مختلفة ، نجد نتيجة بسيطة عندما يكون طول موجة الاشعة اقل من الاقطار الذرية - على الا يكون مع ذلك قصيراً جداً (λ بين 0,2 و 0,7 Å) - وعندما تكون للمادة كتلة ذرية A ضئيلة : ففي هذه الحالة ، يكون حاصل قسمة ثابت التلاشي على الكتلة الحجمية $\frac{K}{\rho}$ قيمة قريبة من $0,02 \frac{m^2}{kg}$.

ليكن Z عدد الالكترونات في الذرة الواحدة ؛ فيكون لدينا :

$$N = \frac{\rho Z}{A} ، حيث A : الكتلة الذرية :$$

$$\frac{Z \rho e^4}{6 \pi \epsilon_0^2 c^4 m^2 A} = 0,04 \frac{Z}{A} \quad [٣٦،١٠]$$

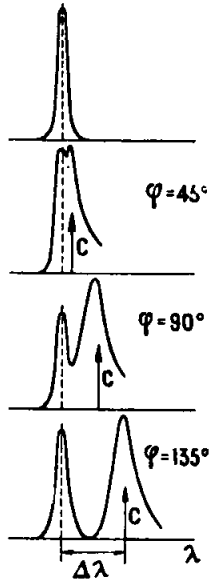
فالنتيجة التجريبية تبين إذن أن الذرات الخفيفة تحتوي على عدد من الالكترونات قريب من نصف الكتلة الذرية . وهذه النتيجة ذات أهمية تاريخية ، لأنها مهدت السبيل لأول طريقة في تعيين العدد Z ، ومن المعروف اليوم أن قيم Z ، على سبيل المثال ، هي التالية :

Fe	Cl	Al	Na	C	He	H	العنصر :
56	35,5	27	23	12	4	1	: A
26	17	13	11	6	2	1	: Z

(د) إن نتيجة الصيغة [٣٦،١٠] لا تتحقق إلا إذا كان طول موجة الشعاعات محصوراً بين حدين معينين . إن الاطوال الموجية للأشعة السينية تتراوح بين بضعة أجزاء من مائة من الانغستروم الى بضع عشرات الانغسترومات . ولما كانت أبعاد الذرات والجزيئات محصورة في هذه الحدود ، فانه يمكن التنبؤ ، على غرار ما رأينا في الفقرة ١٠ - ٥ ، بأنه يحدث هناك تداخل بين الاهتزازات المنتثرة بالالكترونات الخاصة بالذرة نفسها ، وذلك عندما يصبح طول الموجة من مرتبة الاقطار الذرية . وندرك الآن ان القانون البسيط المعبر عنه بالصيغة [٣٦،١٠] لا يعود قابلاً للتطبيق .

١٠ - ١٤ - فعل كمّون .

إن الانحرافات عن صيغة طومسن ، من أجل الاطوال الموجية القصيرة جداً ، لا يمكن أن تتقبل التفسير السابق . وتلاحظ حينئذ ظاهرة جديدة عندما يحلل بواسطة مقياس الطيف (الفقرة ٤ - ١٣) الاشعاع الذي ينثره جسم بسيط مضاء مجزأة وحيدة اللون من الاشعة السينية . فيرى أن هذا الاشعاع يتألف من شعاعتين تعطيان خطين منفصلين : أحدهما يعود الى انتشار الشعاعة المهيجة دوماً تغيير في طول موجتها λ ، ويعود الخط الثاني الى شعاعة طول موجتها اكبر قيمة $\lambda + \Delta\lambda$ (الشكل ١٠ - ١٩) . ويكون الانحراف $\Delta\lambda$ مستقلاً عن λ ، بشرط ان يكون هذا الطول الموجي صغيراً بما فيه الكفاية ؛ ومستقلاً عن طبيعة العنصر النائر اذا كانت الكتلة



الذرية لهذا العنصر ضئيلة ؛
وهو يزداد بازدياد الزاوية φ التي
يصنعها منحنى الاشعة الواردة مع
منحنى المشاهدة . وتعطي القياسات
الاشدقة الصيغة التالية :

$$\Delta \lambda = 0,0486 \sin^2 \frac{\varphi}{2}$$

($\Delta \lambda$ مقدرة بالانغستروم)

وسوف نرى في الفقرة ١٩ - ٣

ن فعل كمتن يفسر تفسيراً سهلاً
على أساس من خواص الفوتونات .

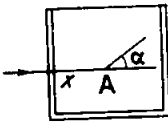
الشكل ١٠ - ١٩ . فعل كمتن (الخط
الطيفي K_{α} للموليبدين المنتثر بالغرافيت) :
a (الخط الاولي ، b ، c ، d) : طيف
الانتشار من اجل قيم مختلفة للزاوية φ (السهم
C يشير الى الوضع المحسوب لخط كمتن الطيفي

تمارين

١٠ - أ حزمة ضوئية متوازية استقامتها Ox (الشكل ١٠ - ١) مستقطبة استقطاباً مستقيماً بواسطة المقطب P_1 ، تخترق وسطاً يتألف من جزيئات متماثلة المناحي . يلاحظ الضوء المنتثر في الاستقامة Oy ، من خلال محلل P_2 يوجه أولاً بحيث ان الشدة الملاحظة تكون عظمى . ماذا تصبح الشدة I بعد كل من العمليات الآتية التي تُجرى بالترتيب : ١ - يدار P_2 بمقدار $\pi/2$ في مستويه ؛ ٢ - يدار عندئذ P_1 بمقدار $\pi/2$ في مستويه ؛ ٣ - يعاد P_2 الى توجيئه الاصلي ؟ .

١٠ - ب تخترق حزمة من الضوء الطبيعي غازاً يتألف من جزيئات متماثلة المناحي . بين ان الضوء المنتثر يمكن اعتباره كمزيج من الضوء الطبيعي والضوء المستقطب استقطاباً مستقيماً . ولتكن α الزاوية التي تؤلفها استقامة الملاحظة للضوء المنتثر مع استقامة الورود . احسب بدلالة α النسبة x بين شدة المركبة المستقطبة وشدة المركبة الطبيعية .

١٠ - ج يحتوي حوض على وسط عكر ، قليل الامتصاص ، يتألف من دقائق صغيرة جداً معلقة في الماء . ويتلقى حزمة متوازية من الضوء الطبيعي



الوحيد اللون ، الذي يدخل بصورة ناظمية على وجه الدخول ، ويحدث في الوسط استنارة E_0 . ان شدة الضوء الذي ينثره عنصر من الحجم dv في استقامة تؤلف الزاوية α مع استقامة الورود هي على الشكل

الآتي : $I = R E (1 + \cos^2 \alpha) dv$ ، حيث E هي الاستنارة على سطح يمر من A وعمودي على الأشعة الواردة .

١. - ليكن التدفق الداخل في الحوض ، و $\Phi = \Phi_0 \exp (-2 Kx)$ التدفق النافذ الى العمق x في نفس الاستقامة .

قدر التدفق المضيع $d\Phi$ في شريحة ثخنها Δx ، وأوجد العلاقة بين K و R .

٢. - اذا كان $\Phi_0 - \Phi = \Phi_0/100$ من اجل $x = h = 10 \text{ cm}$. فاحسب R و K ، وقدر بدلالة E المعان L للوسط العكس ملاحظاً على استقامة تولف زاوية قائمة مع الحزمة الواردة مع العلم بأن العمق المضاء في تلك الاستقامة هو $y = 10 \text{ cm}$. قارن بين هذا المعان والمعان L' للوحة بيضاء (الفقرة ٥ - ٢ - ٥) تتلقى نفس الحزمة الواردة بزاوية ورود قدرها ٥٥° .

١٠ - د . تبلغ الكتلة المولية للأرغون : 39,94 و كتلته الحجمية

$$\rho = 1,78 \text{ kg/m}^3$$

وقرينة انكساره (مقيسة بالطرائق التداخلية) هي : $n = 1,000 281$.
ونسبة رايلي R (الفقرة ١٠ - ٤) مقيسة بالنسبة الى الشعاع $\lambda = 4358 \text{ \AA}$ ،
تبلغ قيمتها $1,34 \cdot 10^{-6} \text{ m}^{-1}$. احسب عدد أفوغادرو (قياسات كaban) .

١٠ - ٥ . اجريت قياسات لشفافية الجو في هواء نقي جداً (ذروة تفريغ) وكتلته الحجمية هي $\rho = 1,293 \text{ kg/m}^3$ وقرينته $n = 1,00032$ في الشرطين النظاميين ، فأبانت ان شدة حزمة ضوئية وحيدة اللون طول موجتها 375 nm قد نقصت الى $1/e$ من قيمتها بعد أن قطعت في الجو مسافة ١٨ كم . احسب عدد أفوغادرو .

١٠ - و عندما يجتاز ضوء طول موجته $\lambda = 4358 \text{ \AA}$ طبقة من رابع كلور الكربون السائل ثخنها ١ مم ، تبلغ قيمة نسبة رايلي $R = 0,31 \cdot 10^4 \text{ em}^{-1}$. قارن بين هذه القيمة وبين القيمة R_1 العائدة الى طبقة من بخار رابع

كلور الكربون لها نفس المقطع وتحوي على نفس العدد من الجزيئات . الكتلة الحجمية للسائل $\rho = 1,46.10^3 \text{ kg/m}^3$.

استقطابة جزيء C Cl_4 هي $11,6.10^{-4} \text{ F.m}^2$ ، الكتلة المولية $M = 154$

١٠ - ز عندما تنتثر الشعاع $\lambda = 2536,5 \text{ \AA}$ للزئبق ، بواسطة بلورة من الماس ، بحيث ان الحزمة المنتثرة تكون عمودية على الحزمة الواردة ، يشاهد زوجان من الخطوط يبعدان بالترتيب $1,04 \text{ \AA}$ و $0,64 \text{ \AA}$ ، وهما موضوعان بصورة متناظرة الى جانبي طول الموجة المثيرة لهما . فاذا علمنا ان قرينة انكسار الماس هي $n = 2,42$ ، فاحسب سرعة الامواج المرنة الطولانية (v_1) والعرضانية (v_2) في الماس .

* * *

الفصل الحادي عشر

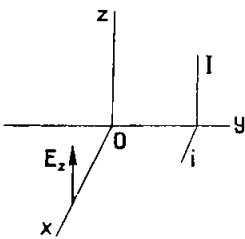
عدم تماثل المناحي والانكسار المضاعف

١ . الجزيئات والبلورات غير متماثلة المناحي ضوئياً

لقد افترضنا في الفصول السابقة أن الاوساط التي ينتشر فيها الضوء لها الخواص الضوئية نفسها في كل المناحي . لكن ظواهر الانكسار المضاعف في العديد من البلورات (الجزء الرابع ، ١١) تدل على أن ذلك التماثل في المناحي ليس أمراً عاماً . وآثار عدم تماثل المناحي ، التي سندرسها عما قليل ، يمكن أن يكون منشؤها عدم تناظر خاص بالجزيئات او انها تعود الى توزيع الجزيئات في الوسط .

١١ - ١ — عدم تماثل المناحي الضوئي في الجزيئات .

أ) لنعد تجربة الشكل ١٠ - ٢ ، بإضاءة البنزين بجزمة متوازية من الضوء المستقطب استقطاباً مستقيماً . فإذا نظرنا ، من خلال محلل ، الى الضوء المنتشر وفق Oy (الشكل ١١ - ١) عمودياً على منحنى الاضاءة Ox وعلى منحنى الاهتزازة الواردة E_z ، فانبأ نتبين أن شدة الضوء المنتشر بزيادة عظيمة I عندما تكون الاهتزازة التي تخترق المحلل موازية الى E_z ، ولكن تكون لهذه الشدة ايضاً قيمة i غير معدومة ، عندما يُدار المحلل



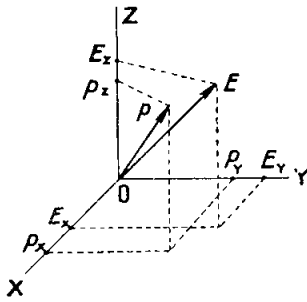
الشكل ١١ - ١ . زوال استقطاب الضوء المنتشر

بزواوية قائمة . فالضوء المنتثر جانبياً ليس إذن ضوءاً مستقطباً استقطاباً تاماً .
ويطلق اسم عامل زوال الاستقطاب على النسبة :

$$\rho = \frac{i}{I} \quad [١,١١]$$

وفي حالة البنزين ، يكون لدينا $\rho = 0,42$: فقيمة I لا تتجاوز أبداً ضعف قيمة i .

(ب) ليس من الممكن تفسير النتيجة السابقة اذا اعتبرنا ، كما فعلنا في الفصل العاشر ، أن الاستقطابية α مقدار سلمي . لنسلم الآن أن جزيئات البنزين غير متماثلة المناحي ضوئياً وان منحى العزم المحرض \vec{p} يتوقف على توجيه الجزيء بالنسبة للحقل المهيج \vec{E} . وهناك طريقة بسيطة



الشكل ١١ - ٢ . عدم تماثل
مناحي الاستقطابية

للحصول على هذه النتيجة ، وهي التسليم بأن في الجزيء ثلاث مناحٍ أصلية تتعين بتكوينه ، وتؤلف زاوية ثلاثية مجسمة ذات ثلاث زوايا قائمة $0XYZ$ (الشكل ١١ - ٢) ، ويكون العزم المحرض وفق هذه المناحي موازياً للحقل ومتناسباً معه ، ولكن بعوامل تناسب مختلفة أي :

$$p_z = \alpha_z E_z, \quad p_y = \alpha_y E_y, \quad p_x = \alpha_x E_x \quad [٢,١١]$$

حيث α_x و α_y و α_z هي الاستقطابيات الأصلية الثلاث للجزيء . ويبين الشكل ١١ - ٢ أن مناحي التجهين \vec{p} و \vec{E} لا تتطابق في خارج المحاور السابقة .

ويثبت أنه اذا كان الجزيء يأخذ كل التوجيهات الممكنة حول منحى E ، بحيث ان نهاية هذا المتجه ، الذي يفترض ان طويلته ثابتة ، ترمس كرة في الزاوية

الثلاثية OXYZ ، فان نهاية المتجه \vec{p} ترسم اهليلجاً مجسماً محاوره الاصلية OX ، OY و OZ ، يسمى إهليلج الاستقطابية المجسم للجزيء .

ويلاحظ انه بينما أن عزم ثنائي الاقطاب الكهربائي الدائم \vec{p}_0 لجزيء قطبي هو متجه قطبي مرتبط بالجزيء ويغير جهته ، تبعاً لذلك ، عندما يدار الجزيء من طرف الى طرف ، فان الاستقطابية التي تحدد عزم ثنائي الاقطاب المحرض ، لا تتغير عندما يدار الجزيء ، شأنها في ذلك شأن الاهليلج المجسم الذي يمثلها .

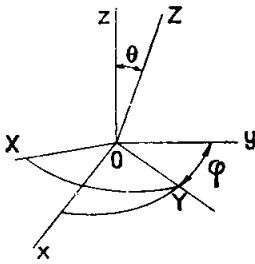
ان الخواص الضوئية التي تتميز بالمقدار α في جزيء متماثل المناحي ، تتميز في جزيء غير متماثل المناحي بإهليلج الاستقطابية المجسم .

ويمكن ان يحدث ، بسبب التناظر ، أن تتساوى للجزيء استقطابيتان أصليتان ، مثلاً $\alpha_x = \alpha_y$ ؛ فيكون لإهليلج الاستقطابية المجسم حينئذ محوران متساويان : أي انه يكون اهليلجاً دورانياً حول المحور OZ في المثال الذي اختبرناه . ويقال حينئذ ان الجزيء وحيد المحور ضوئياً وذلك على غرار ما هو قائم في البلورات (الجزء الرابع ، ١١ - ٣) . وعلى هذا ، ففي جزيء البنزين الذي تنتظم ذراته متناظرة حول محور سداسي يكون هذا المحور محوراً دورانياً في إهليلج الاستقطابية المجسم .

١١ - ٢ . — زوال استقطاب الضوء المنتثر بآث :

أ) لنعد الى ملاحظة الضوء المنتثر في تجربة الشكل ١١ - ١ ، ولنسح الى حساب الشدتين I و i . ففي سبيل ذلك ، سوف نعين اولاً مركبات العزم المحرض بالحقل E_z في جزيء ما ، بافتراض أن هذا الجزيء وحيد المحور ضوئياً وذلك لتبسيط الصيغ .

ليكن OZ المحور الضوئي للجزيء ، ولتكن θ الزاوية الثلاثية للمشاهدة



الشكل ١١ - ٣ : حالة جزيء وحيد المحاور ضوئياً

(الشكل ١١ - ٣) . لما كان محورا الجزيء OX و OY أيّ محورين متعامدين في المستوي العمودي على OZ ، فإنه يمكن اختيار OY وفق تقاطع هذا المستوي مع مستوي المشاهدة xOy . فيكون لدينا إذن : $\widehat{zOX} = \frac{\pi}{2} - \theta$. وبالإضافة الى هذا نضع $\widehat{yOY} = \varphi$. فتكون مركبات الحقل E_z وفق محاور الجزيء الأصلية مساوية :

$$E_Y = E_z \cos (\widehat{zOY}) = 0, \quad E_X = E_z \cos (\widehat{zOX}) = E \sin \theta$$

$$E_Z = E_z \cos (\widehat{zOZ}) = E \cos \theta$$

وتكون مركبات العزم p ، المحرض في الجزيء ، وفق تلك المحاور نفسها مساوية :

$$p_Y = 0, \quad p_X = \alpha_X E \sin \theta, \quad p_Z = \alpha_Z E \cos \theta$$

ووفقاً لما رأينا في الفقرة ١٠ - ٣ ب ، فإن الاشعاع الذي يصدره الجزيء في منحنى المشاهدة Oy ناجم عن المركبتين p_x و p_z للعزم p . ويكون لدينا :

$$p_x = p_X \cos (\widehat{XOx}) + p_Z \cos (\widehat{ZOx}) = (-\alpha_X \sin \theta \cos \theta \cos \varphi + \alpha_Z \cos \theta \sin \theta \cos \varphi) E$$

$$p_z = p_X \cos (\widehat{XOz}) + p_Z \cos (\widehat{ZOz}) = (\alpha_X \sin^2 \theta + \alpha_Z \cos^2 \theta) E$$

ويمكن أن تعطى العلاقات الأخيرة صيغة مختلفة ، وذلك بإدخال المقادير التالية :

$$\alpha = \frac{\alpha_Z + 2\alpha_X}{3} \quad [٣،١١]$$

$$\delta = \alpha_Z - \alpha_X \quad [٤،١١]$$

حيث α هي الاستقطابية الوسطية للجزيء ؛ وحيث δ : قياسٌ لعدم تماثل
 المناحي الضوئي فيه ^(١) . فاذا افترضنا هذا ولاحظنا أن $\alpha_x = \alpha - \frac{\alpha_z - \alpha_x}{3}$ ،
 نجد :

$$p_x = \delta \sin \theta \cos \theta \cos \varphi E$$

$$p_z = [(\alpha_z - \alpha_x) \cos^2 \theta + \alpha_x] E = \left[\alpha + \delta \left(\cos^2 \theta - \frac{1}{3} \right) \right] E$$

وينعدم p_x ، كما ينبغي له ان يكون ، عندما يكون الجزيء متماثل المناحي
 . ($\delta = 0$)

وفي وسط كالغاز الكامل ، حيث يكون للجزيئات توجيه لا نظام فيه
 تكون الشدة المنتثرة I بوحدة الحجم التي تحتوي على N جزيئاً ، متناسبة مع
 $N \overline{p_z^2}$ ، حيث يدل $\overline{p_z^2}$ على القيمة الوسطية لمربعات مرتسمات العزوم الجزيئية
 على Oz ؛ وبالمثل تكون الشدة i متناسبة مع $N \overline{p_x^2}$.

إن فوضى التوجيه تعني (الجزء الرابع ، ٤ - ١٢) أن dN وهو عدد
 الجزيئات التي يقع محورها OZ ضمن الزاوية المجسمة $d\Omega = 2 \pi \sin \theta d\theta$ ،
 يتناسب مع هذه الزاوية ، أي يساوي $Ad\Omega$. أما الزاوية φ فلا دخل لها ، لأنه
 يمكن ان تكون لها اي قيمة دون ان يتغير العزم المحرض ، وذلك نتيجة

(١) من أجل الجزيئات التي تكون فيها الاستقطابيات الاصلية الثلاث غير متساوية،
 نحل مكان العبارتين [٣، ١١] و [٤، ١١] العبارتان التاليتان :

$$\alpha = \frac{\alpha_x + \alpha_y + \alpha_z}{3} \quad \delta^2 = \frac{(\alpha_y - \alpha_x)^2 + (\alpha_y - \alpha_z)^2 + (\alpha_z - \alpha_x)^2}{2}$$

وهما تؤولان الى العبارتين السابقتين عندما $\alpha_x = \alpha_y$. ومن اجل $\alpha_x = \alpha_y = \alpha_z$ يكون :
 . $\delta = 0$ و $\alpha = \alpha_x$

لتكافؤ المحورين OX و OY . ونحسب الكمية $\overline{p_z^2}$ من الصيغة [٢٠٩] في الجزء الثاني :

$$\overline{p_z^2} = \frac{\int p_z^2 dN}{\int dN} = \frac{\int_0^{\frac{\pi}{2}} \left[\alpha + \delta \left(\cos^2 \theta - \frac{1}{3} \right) \right]^2 E^2 \cdot 2 \pi A \sin \theta d\theta}{\int_0^{\frac{\pi}{2}} 2 \pi A \sin \theta d\theta}$$

ويعطى الحساب ^(١) :

$$\overline{p_z^2} = \left(\alpha^2 + \frac{4}{45} \delta^2 \right) E^2$$

وبالمثل :

$$\overline{p_x^2} = \frac{\delta^2}{15} E^2$$

وينتج من هذا أن قيمة عامل زوال الاستقطاب

$$\rho = \frac{i}{I} = \frac{\overline{p_x^2}}{\overline{p_z^2}} = \frac{3 \delta^2}{45 \alpha^2 + 4 \delta^2}$$

وتصح هذه الصيغة من أجل $E = E_z$. وعندما $E = E_y$ ، يلاحظ أن الحقل يكون حينئذ موجهاً بالنسبة الى المحورين OX و OZ توجيه E_z ، في الحالة السابقة ، بالنسبة الى المحور OX . ويكون لدينا :

$$\rho = 1 \quad , \quad \overline{p_x^2} = \overline{p_z^2} = \frac{\delta^2}{15} E^2$$

لنضئ الآن بضوء طبيعي : ان هذا الضوء يمكن أن يُعد مؤلفاً جملة من

(١) ان الزاوية θ في التكامل السابق لا تتغير الا ما بين الصفر و $\frac{\pi}{2}$ ، وذلك بموجب الملاحظة الواردة في نهاية الفقرة ١١ - ١ .

اهتزازتين E_z و E_y متساويتين شدة وغير مترابطتين . فالشدات المنتثرة التي تولدناها ينضاف بعضها الى بعض . ويكون لدينا :

$$\hat{\epsilon}_n = \frac{2i}{I+i} = \frac{6\delta^2}{45\alpha^2 + 7\delta^2} \quad [٥,١١]$$

ويتم قياس ρ أو ρ_n كما رأينا في الفقرة ٧ - ٧ . وقد وجد ما يلي :

الغاز	A	C Cl ₄	H Cl	N H ₃	O ₂	CO ₂	CS ₂
ρ_n	0,005	0,005	0,01	0,01	0,065	0,10	0,12
α_z/α_x	~1	~1	1,3	0,75	1,95	2,3	2,5

ب) ان عدم تماثل المناحي في الجزيئات يؤدي الى تعديل الصيغة [١٧,١٠] التي تعطي نسبة الانتثار R . ولما كانت الاستنارة δ تتم بالضوء الطبيعي ، فان الشدة I_0 تساوي مجموع الشدتين i و $i+1$ و $2i$ المعرفتين اعلاه . ومربع استقطابية الجزيئات α^2 ، الذي يدخل في الصيغة [١٧,١٠] حيث يعين الشدة I ، ينبغي ان يعوض عنه بالمقدار $\alpha^2 + \frac{7\delta^2}{45}$ من اجل الشدة $i+1$ وبالمقدار $\frac{2\delta^2}{15}$ من اجل الشدة $2i$. ومنه ينتج :

$$R = \frac{N \pi^2}{2 \epsilon_0^2 \lambda^4} \left(\alpha^2 + \frac{7\delta^2}{45} + \frac{2\delta^2}{15} \right) = \frac{N \pi^2}{2 \epsilon_0^2 \lambda^4} \alpha^2 \left(1 + \frac{13}{45} \frac{\delta^2}{\alpha^2} \right)$$

ويعبر المضروب ما بين القوسين عن التصحيح الذي ينبغي ان يطرأ على قيمة R عندما يؤخذ بعين الاعتبار عدم تماثل المناحي الجزيئي . واذا اعتبرت قيمة ρ في [٥,١١] ، فانه يمكن كتابة ما يلي :

$$1 + \frac{13}{45} \frac{\delta^2}{\alpha^2} = \frac{6(1+\rho)}{6-7\rho}$$

ان الاستقطابية الوسطية α هي التي تدخل في الصيغة [١٩,١٠] التي تعطي قرينة الانكسار ، بحيث يمكن ان نكتب ، كما في [٢١,١٠] :

$$R = \frac{\pi^2}{2 N \lambda^4} (n^2 - 1)^2 \frac{6(1+\rho)}{6-7\rho} \quad [٦,١١]$$

وينتج من هذا ان R و $(n^2 - 1)^2$ لا يعودان متناسبين تماما . وينبغي استعمال

الصيغة [٦١١] عندما نسعى لتعيين عدد آفوغادرو تعييناً دقيقاً . ويدخل التصحيح نفسه في حساب الامتصاص بواسطة الصيغة [٢٣١٠] .

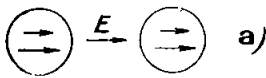
وسنعود الى تعيين الاستقطابات الاصلية في الفقرة ١١ - ١٧ .

١١-٣ . - منشأ عدم تماثل المناحي الضوئي في الجزيئات .

(أ) ان قيم عامل زوال الاستقطاب ρ الضئيلة جداً في حالة الغازات ذات الجزيئات الوحيدة الذرة (كالأرغون وبخار الزئبق) تدل على ان الذرات الحرة متماثلة المناحي بشكل ظاهر (من وجهة النظر الضوئية) .

وقد أدى ذلك الى أن يُنسب تماثل المناحي الضوئي الذي يشاهد في غالبية الجزيئات - باستثناء تلك التي تتمتع بتناظر عالٍ (CH_4 ، CCl_4) - الى الافعال المتبادلة في الذرات . وقد اوضح زلبرشتين Silberstein هذه الفكرة بواسطة نموذج لا شك أنه بعيد جداً عن ان يمثل تعقيد التفاعلات الذرية ولكنه مع ذلك يسمح بتفسير عددٍ من الحقائق .

لنتأمل جزيئاً ثنائي الذرة واقعاً في حقل كهربائي E ، الشكل (١١ - ٤) .



الشكل ١١ - ٤ - منشأ عدم

تماثل المناحي الضوئي في الجزيئات

ففي كل من الذرتين يحرض الحقل ثنائي الاقطاب نسميه « أولياً » ويمثل قطبيه بسهمٍ طويل . ويكون ثنائياً الاقطاب متوازيين فيما بينهما ويولد كلٌ منهما حقلاً كهربائياً يحرض في الذرة المجاورة ثنائي أقطاب « ثانوي » (ممثلاً في الشكل بسهم قصير) ، يتوكل مع ثنائي الاقطاب الاولي

ويبين الشكل ١١-٤ أنه اذا كان الحقل E موازياً لمحور الجزيء ، كان لثنائيات الاقطاب ، الثانويين والاولين اتجاه واحد (الجزء السادس ، الشكل ٢-٢٨) ،

بينما اذا كان الحقل E عمودياً على محور الجزيء (الشكل ١١-٤ b) ، فإن ثنائي الاقطاب الثانوي يكون موازياً ومعاكساً لثنائي الاقطاب الاولي . وفي كلتا الحالتين يكون الاستقطاب الاولي هو نفسه ، وفقاً لفرضية تماثل المناحي في الذرات ؛ ولكنه في الحالة الاولي يزداد نتيجة للافعال المتبادلة في الذرات ، بينما تسبب هذه الافعال نقصانه في الحالة الثانية . وتكون استقطابية الجزيء غير متماثلة المناحي : فهي ، وفق المحور ، أكبر من مجموع استقطابيتي الذرتين كلاً على حدة وأصغر من هذا المجموع عمودياً على المحور .

ب) ويمكن بالحساب توضيح الافكار السابقة. لنجعل عا كمتنا ، بغية التبسيط ، تتناول جزيئاً مكوناً من ذرتين متماثلتين نرقمهما 1 و 2 وتفصل بينهما مسافة r . ففي حالة الشكل ١١-٤ a ، يكون الحقل الذي يولده ثنائي الاقطاب الذري P_1 في مركز الذرة P_2 مساوياً $\frac{2P_1}{r^3}$. ويكون لدينا :

$$p_2 = \alpha \left(E + \frac{2P_1}{r^3} \right)$$

وبالمثل :

$$p_1 = \alpha \left(E + \frac{2P_2}{r^3} \right)$$

ومنه :

$$p_1 = \alpha \left[E + \frac{2\alpha}{r^3} \left(E + \frac{2P_1}{r^3} \right) \right] \quad [١١، ٧]$$

فيكون عزم ثنائي الاقطاب الجزيئي عندما يكون الحقل موازياً لمحور الجزيء مساوياً إذن :

$$p_{||} = p_1 + p_2 = 2 p_1 = \frac{2\alpha \left(1 + \frac{2\alpha}{r^3} \right)}{1 - \frac{4\alpha^2}{r^6}} E = \frac{2\alpha}{1 - \frac{2\alpha}{r^3}} E$$

وفي حالة الشكل ١١-٤ b ، يكون الحقل الذي تؤثر به الذرة 1 في مكان الذرة 2 مساوياً $\frac{P_1}{r^3}$ ؛ ومنه :

$$p'_2 = \alpha \left(E - \frac{p_1}{r^3} \right) \quad p'_1 = \alpha \left(E - \frac{p_2}{r^3} \right)$$

$$p'_1 = \alpha \left[E - \frac{\alpha}{r^3} \left(E - \frac{p'_1}{r^3} \right) \right]$$

فيكون عزم ثنائي الاقطاب الجزيئي عندما يكون الحقل عمودياً على منحنى الذرتين مساوياً :

$$p_1 = p'_1 + p'_2 = 2 p_1 = \frac{2 \alpha \left(1 - \frac{\alpha}{r^3} \right)}{1 - \frac{\alpha^2}{r^6}} E = \frac{2 \alpha}{1 + \frac{\alpha}{r^3}} E$$

ويرى مثلما سبق أن ذكرنا أن :

$$\alpha_{||} = \frac{2 \alpha}{1 - \frac{2\alpha}{r^3}} > 2 \alpha$$

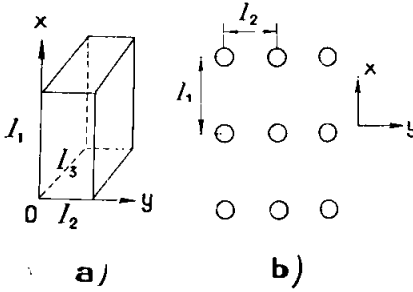
$$\alpha_{\perp} = \frac{2 \alpha}{1 + \frac{\alpha}{r^3}} < 2 \alpha$$

١١ - ٤ . الفرائض الاصلية للبلورات :

إن التفاعلات المتبادلة بين الذرات تمكن من تفسير الانكسار المضاعف البلوري (الجزء الرابع ، ١١ - ١) ، بل إنها تمكن أحياناً من حساب هذا الانكسار بدقة لا بأس بها .

أ) فلنجعل محاکمتنا تتناول أولاً نموذجاً خيالياً لبلورة معينة مستقيمة مؤلفة من ذرات متشابهة ومتماثلة المناحي ، واقعة عند عقد شبكة تؤلف خيطنها متوازي مستطيلات (الجزء الثاني ، ١٣ - ٧) ، حيث الانتقالات العنصرية هي l_1 و l_2 و l_3 (الشكل ١١ - ٥٥) .

ونحصل على القرائن الاصلية (الجزء الرابع ، ١١ - ١١) باعتبار العزوم



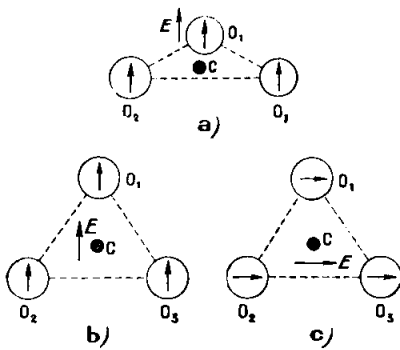
الشكل ١١ - ٥ . نموذج تخطيطي مبسط
لبلورة معينة مستقيمة

المحرزة بمجقل كهربائي موجه
على التعاقب وفق المحاور Ox
و Oy و Oz. ويمكن للموجة
المستوية التي تحمل الحقل ،
 E_z مثلاً ، أن تنتشر في أي
منحى من المستوي xOy ،
وبخاصة وفق Ox و Oy .
لنتأمل ما يحدث في مستوى
شبي موازي للمستوي xOy

(الشكل ١١ - ٥ b) نتيجة للفرق بين الدورين l_1 و l_3 وفق Ox و Oy ، يبدو
أنه ينبغي اعتبار قريبتين أصليتين للانكسار ، تبعاً لكون الاهتزازة E_z تنتشر
وفق Ox أو Oy ولتكن هاتان القريبتان n_{zx} و n_{zy} . فيكون هناك جملة ست
قرائن أصلية . ولكن عندما يحافظ E على منحاء E_z ، فإن ثنائيات الاقطاب
الاولية المحرزة في كل الذرات تكون هي نفسها ، كيفما كان منحى الانتشار .
فالفرق بين n_{zx} و n_{zy} ، عندما يكون مستوى الموجة موازياً الى zOy في الحالة
الاولى والى zOx في الحالة الثانية ، يتأتى اذن فقط من أن بين ثنائيات
الاقطاب الاولية المتلاصقة فرقاً في الطور وفق Ox و Oy على الترتيب ، ومن أن
المسافات ما بينها في هذين المنحنيين ليست واحدة . ولكن الفرق في الطور هذا
صغير جداً لأن الانتقالات / أصغر بمئات المرات من الاطوال الموجية للضوء المرئي .
ويستلزم ذلك إذن ان تكون الفروق بين القرائن : $n_{zx} - n_{zy}$ ، $n_{xy} - n_{xz}$ ،
 $n_{yz} - n_{yx}$ ضئيلة جداً . ومن أساس من هذا تفسر نتيجة تجربة (الجزء الرابع ،
١١ - ١٠ و ١١ - ١١) من حيث ان قرائن الانكسار في بلورة ما لا تتوقف
على منحى الانتشار بل على منحى الاهتزازة فقط .

وعلى العكس، إذا كانت الموجات تنتشر في منحنى أصلي، Oz مثلاً، وكان للحقل E أحد المنحنيين Ox أو Oy ، فإنه يتبين من الشكل ١١ - ٥ أن الاختلاف بين المسافتين l_1 و l_2 يمكن نظرية زيلبرشتين من تفسير كون الاستقطابيتين وبالتالي القريبتين n_x و n_y مختلفتين، حتى ولو افترض أن الذرات متماثلة المناحي.

ب) ان نظرية زيلبرشتين مكنت من حساب مرتبة كبر القرائن الاصلية والانكسار المضاعف في بلورات الكلسيت $CaCO_3$. إن هذه البلورات



(الشكل ١٣-٤٤ في الجزء الثاني)

تتكون من ايونات Ca^{++} وايونات CO_3^{--} ، وتتجمع الذرات O عند

رؤوس مثلث متساوي الاضلاع تقع ذرة الفحم في مركزه (الشكل

١١ - ٦). وتدل قواعد جمعية

الانكسارات (الفقرة ٩-١١)،

على ان استقطابية الذرات O اكبر

بشكل واضح من استقطابية الذرات

Ca و C ؛ لذلك نقصر على اعتبار

استقطاب الذرات O بافتراض أنها متماثلة المناحي.

وعندما يكون الحقل الكهربائي موازياً للمحور الثلاثي (الشكل ١١-٦ a)

فان الحقل الذي يولده ثنائيا الاقطاب الاوليان لذرتين من الذرات O في موضع الذرة الثالثة يؤدي الى توليد ثنائي أقطاب ثانوي يعاكس ثنائي الاقطاب الاولي.

وتكون استقطابية المجموعة أقل من استقطابية الذرات الثلاث O كل على حدة.

وفي هذه الحالة، تكون القرينة هي القرينة الشاذة الاصلية (الجزء الرابع،

١١ - ٣) $n_e = 1,486$ من أجل الخط الطيفي D .

وعندما يكون E عمودياً على المحور الثلاثي، أي عندما يكون موجهاً مثلاً كما هو مبين في الشكل ١١-٦ b ، فإن حقل الذرتين O_2 و O_3 يضاف الى E على الذرة O_1 ؛ ويحدث مثل ذلك لحقل O_1 عند O_2 و O_3 ؛ وتُنقص الافعال المتبادلة لـ O_2 و O_3 كثيراً من فعل E ، ولكن يمكن أن يُرى في الجملة، أن استقطابية الشاردة CO_3^{--} تفوق استقطابية مجموعة الذرات الثلاث. ونحصل على نتيجة مماثلة عندما يكون توجيه E كما هو مبين في الشكل ١١-٦ c . وتكون قرينة البلورة من أجل الاهتزازات العمودية على المحور هي القرينة العادية $n_0 = 1,658$ من أجل الخط الطيفي D .

١١ - ٥. — المعرفات بين الخواص الضوئية للبلورات وبين بنيتها،

أ) ان الاعتبارات السابقة تمكن من فهم اشارة ومرتبة كبر الانكسار المضاعف لعدد كبير من البلورات التي عُرفت بنيتها، ويمكن بالمقابل من استعمال قياسات الانكسار المضاعف للتنبؤ أحياناً ببعض ملامح بنيتها. ويمكن أن ننص على القواعد التالية:

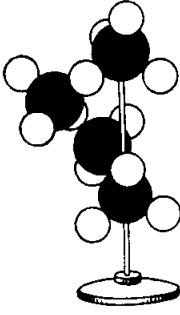
١° البلورات المكونة من أيونات بسيطة أو من أيونات مركبة متناظرة تناظراً كبيراً (SO_4^{--} ، SiO_4^{--}) والتي ما يحيط بها متائل المناحي تقريباً، هي بلورات ذات انكسار مضاعف ضئيل، والمثال على ذلك (من أجل الخط D):

$$n_v = 1,636 \quad n_m = 1,637 \quad n_g = 1,648 \quad Ba\ SO_4$$

$$n_e = 1,632 \quad n_0 = 1,635 \quad Ca_5\ F(PO_4)_3 \text{ أبائيت}$$

والامر كذلك من أجل البلورات ذات الرابطة المشتركة (الجزء الثاني، ١٣ - ١٠) التي تتمتع، مثل الكوارتز، بشبكة ذات ثلاثة أبعاد عدم تماثل

المناحي فيها ضئيل ومكونة من تسلسلات زمر مثل SiO_2 (الشكل ١١-٧) :



الشكل ١١-٧
بنية الكوارتز

$$n_e = 1,553 \text{ من أجل الكوارتز}$$

$$n_0 = 1,544$$

$$n_e = 1,3062 \text{ من أجل الجليد}$$

$$n_0 = 1,3049$$

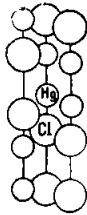
(الشكل ١٤-٥ في الجزء الثاني) ،

٢ البلورات المكونة من أيونات أو من ذرات

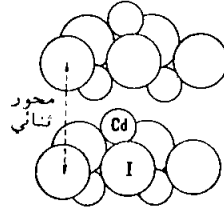
منضدة في طبقات متوازية هي بلورات ذات انكسار

مضاعف شديد وتكون القرينة اصغر ما يكون

عمودياً على مستوى الطبقات . مثال : CdI_2 (الشكل ١١-٨) .



الشكل ١١-٩ - - بنية



الشكل ١١-٨ - - بنية



ويحدث مثل هذا الامر في البلورات الأيونية التي تكون مستويات أيوناتها

المركبة (CO_3 ، NO_3) متوازية فيما بينها (مثال : الكلسيت ، NaNO_3 :

دورية متوازية (مثال، سداسي ميثيل البنزين، Hexaméthylbenzène، الشكل

١٣-٢٢ في الجزء الثاني ، الذي تساوي قرينته $n_p = 1,50$ عمودياً على مستوى

الجزئيات ، و $n_m = 1,75$ و $n_g = 1,80$ في مستويها) .

٣ البلورات المكونة من سلاسل من الذرات الموازية كلها الى منحنى معين أو من أيونات خطية متوازية فيما بينها ، هي بلورات ذات قرينة كبيرة في هذا المنحنى . مثلاً الكالوميل ، Calomel Hg_2Cl_2 ؛ $n_e = 2,65$ و $n_o = 1,97$ (الشكل ١١-٩) paraazoxyanisol ، بارا آزو كسيانيزول $n_g = 2,20$ في منحنى الجزئيات و $n_m = 1,57$ و $n_v = 1,56$ في المنحنيين العموديين .

ب) ويمكن تعميم الصيغة [١١،٧] بالشكل التالي :

$$p_i = \alpha [E + \sum_j \alpha_{ij} p_j] \quad [١١،٨]$$

حيث يمثل p_i العزم المعرض في الذرة التي رقم رتبها i ، باعتبار الحقل المؤثر مركباً من حقل الموجة E ومن الحقل الناجم عن الذرات المحيطة ، وباعتبار العوامل a_{ij} تتوقف على المسافة بين الذرة ذات الرقم j والذرة المعتبرة وعلى الوضع النسبي لهما . وعلى هذا النحو حسبت قرائن الكلبيات الاصلية بحيث لم تؤخذ بعين الاعتبار الا استقطابية ذرات الاكسجين وإلا الافعال التي تؤثر بها على إحدى هذه الذرات الذرتان الاخرتان الحاصتان بالايون نفسه CO_3^{--} ، وهكذا تم الحصول على $n_e = 1,468$ و $n_o = 1,676$. ويمكن تحسين الاتفاق مع التجربة يجعل الصيغة [١١،٨] تشمل أفعال أكبر عدد من الذرات .

إن أمثال لورنتز (الفقرة ٩ - ٦) ليست لها القيمة $\frac{P}{3\varepsilon_0}$ بل عبارة أشد تعقيداً في بلورة ما . ويمكن حسابها انطلاقاً من [١١،٨] .

١١-٦ . — السوائل غير متماثلة المناحي :

أ) إن بعض المركبات العضوية المتبلورة عندما تسخن ، يطرأ عليها تحول يجعلها مائعة في درجة حرارة معينة . ومع ذلك فإن المائع الذي نحصل عليه بهذه الطريقة يكون غير متماثل المناحي ولا يصبح سائلاً عادياً متماثل المناحي الا

عقب تحول جديد يتم عند درجة حرارة أعلى ومحددة تمام التحديد .

فمثلاً ، تنصهر بلورات بارا آزو كسيانيزول في الدرجة 116°م الى سائل عكر يتحول في الدرجة 134°م الى سائل رائق متماثل المناحي .

- ٥ - اذا فحصت بالمجهر المقطب وفي الضوء المتقارب (الجزء الرابع ، ٢٠ - ١٠) ، طبقة من بارا آزو كسيانيزول ثخنها زهاء ٠.١ مم ، مصهورة وكاثنة بين صفيحتين زجاجيتين ومحفوظة في درجة حرارة تقارب 120°م ، فانه يشاهد صليب مظلم وحلقات شبيهة بالحلقات التي تعطيها صفيحة بلورية وحيدة المحور عمودية على محورها وموجبة (الجزء الرابع ، ١٤ - ٩) . ولكن صورة التداخل هذه تختفي فوق الدرجة 134°م ويستتب الانطفاء مثل استتبابه في حالة سائل عادي .

وقد بينا في الجزء الثاني ، الفقرة ١٤-٧ ، تفسير هذه الظواهر : إن جزيئات بارا آزو كسيانيزول المتطاولة لا تكون بين الدرجتين 116°م و 134°م مرتبة الترتيب المنتظم الذي نجده في البلورة ولكن لها مع ذلك توجيهاً مفضلاً . فهي قادرة على القيام بحركات انتقال ودوران حول محورها الكبير ، بما يسمح بميوعة الوسط ؛ ولكن يؤثر بعضها في بعض بمزدوجات توجيه متبادل ، تعمل على جعل محاورها متوازية فيما بينها .

وفي التجربة السابقة نجد من جهة أخرى أن الجزيئات التي هي على تماس مع صفيحتي الزجاج اللتين تحصران المحضر تتخذ اتجاهاً معيناً (الجزء الثاني ، ١٩ - ٢) بحيث تكون محاورها الكبيرة عمودية على الصفيحة . وتفرض هاتان الطبقتان توجيهها على الجزيئات المجاورة وينتقل التوجيه خلال ثخن المحضر من طبقة لأخرى .

- ٥ - ان مثل هذا المحضر اذا شوهد بالمجهر المقطب وفي الضوء المتوازي لا يظهر انطفاء كلياً كما تفعل ذلك صفيحة بلورية عمودية على محورها ، ولكن يرى

عدد كبير من البقع الصغيرة المظلمة او المضيئة تبدو وكأنها خلية مل. ويعود هذا الامر الى ان المنحى الوسطي للمحاور الكبيرة في الجزيئات يضطرب نتيجة للحركة البراونية ؛ فتراوحات التوجيه (الجزء الثاني ، ١٢ - ٨) تجعل المحاور الجزيئية ، في مناطق صغيرة ، مائلة على الناظم على الصفيحة ويتجلى الانكسار المضاعف بعودة الضوء الى الظهور .

٧-١١ . — الانكسار المضاعف الناجم عن توزيع العناصر متماثل النامي توزعاً غير متماثل النامي :

٥- إن طبقة ثخنها يقارب الملمتر ، مكونة من حزمة خيوط زجاجية مستقيمة ودقيقة جداً تسلك سلوك صفيحة بلورية وحيدة المحور موجبة ، محورها يوازي منحى استطالة الخيوط . وتلاحظ هذه الظاهرة اذا غطست الخيوط في الماء ($n=1,35$) أو في بروم النفتالين ($n=1,66$) . ويختفى الانكسار المضاعف في زيت الارز ذي القرينة القريبة جداً من قرينة الزجاج .

٥- ان الطبقات الشفافة التي يتم الحصول عليها بتضيد أغشية من مواد شفافة بعضها فوق بعض ، ثخاناتها كسر من طول الموجة وقرائنها عالية ومنخفضة بالتناوب (الجزء الرابع ، ١٦ - ٣ ، تتصف بأنها ذات انكسار مضاعف شديد في حالة الورود المائل . أما منحى محور البلورة المكافئة لها فهو المنحى الناطمي على الاغشية بسبب التناظر . والانكسار المضاعف فيها سالب (الجزء الرابع ، ١١ - ٣) .

ب (تفسر الخواص الضوئية لهذه الاوساط غير المتجانسة بفضل النظرية الكهربائية ومعادلات الاجتياز من وسط كهربافذ الى وسط كهربافذ آخر (الجزء السابع ، الفصل التاسع) .

ليكن e_1 و e_2 الثخينين الكليين للوسطين المكونين لوسط نضيد ثخنه e . فيكون
أو : $e = e_1 + e_2$

$$1 = d_1 + d_2 \quad [٩،١١]$$

وذلك بفرض $d_1 = \frac{e_1}{e}$ و $d_2 = \frac{e_2}{e}$. فإذا طبق حقل كهربائي E على الثخن e لهذا العازل المختلط ، فإن الحقلين E_1 و E_2 في الوسطين المكونين يرتبطان مع E بالعلاقة التالية :

$$E = d_1 E_1 + d_2 E_2^{(١)} \quad [١٠،١١]$$

وتستنتج هذه العلاقة بسهولة من الملاحظة الواردة في الفقرة ٥ - ٢ ج في الجز السادس . ولما كان d_1 و d_2 يمثلان كذلك الحجمين الجزئيين للوسطين المكونين ، فإنه تكون بين استقطابية الوسط P واستقطابيتي الوسطين المكونين له العلاقة التالية :

$$P = d_1 P_1 + d_2 P_2$$

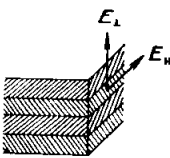
أو :

$$\varepsilon E = \varepsilon_1 E_1 d_1 + \varepsilon_2 E_2 d_2 \quad [١١،١١]$$

حيث نشير الاحرف ε الى الساحيات . وينتج من [١٠،١١] و [١١،١١] :

$$\frac{E_1}{E_2} = \frac{d_2 (\varepsilon - \varepsilon_1)}{d_1 (\varepsilon_2 - \varepsilon)} \quad [١٢،١١]$$

وعندما يكون الحقل E موازياً للسطوح الفاصلة بين وسطين (الشكل ١١ - ١٠) فإنه يكون مستمراً (الجزء السابع ، ٩ - ٧) :



$$E_{1||} = E_{2||}$$

وتعطي العلاقة [١٢،١١] :

$$\varepsilon_{||} = \frac{\varepsilon_1 d_1 + \varepsilon_2 d_2}{d_1 + d_2} = \varepsilon_1 d_1 + \varepsilon_2 d_2$$

الشكل ١١ - ١٠
وسط نضيد

(١) يبرهن على أنه في حالة وسط مكون من طبقات أو اسطوانات متوازية ، تكون الحقول E و E_1 و E_2 منتظمة ومتوازية فيما بينها .

أو :

$$n_{\parallel}^2 = d_1 n_1^2 + d_2 n_2^2$$

وعندما يكون E عمودياً على السطوح الحدية ، فإن من المعروف (الجزء السابع ، الصيغة [٣٦،٩] ، أن :

$$\varepsilon_1 E_{1\perp} = \varepsilon_2 E_{2\perp}$$

ونسنتج من [١٢،١١] :

$$\varepsilon_{\perp} = \frac{\varepsilon_1 \varepsilon_2}{d_1 \varepsilon_1 + d_2 \varepsilon_2}$$

أو :

$$n_{\perp}^2 = \frac{n_1^2 n_2^2}{d_1 n_1^2 + d_2 n_2^2}$$

فالوسط النضيد هو إذن ذو انكسار مضاعف ويكون لدينا :

$$n_{\perp}^2 - n_{\parallel}^2 = - \frac{d_1 d_2 (n_1^2 - n_2^2)^2}{d_1 n_2^2 + d_2 n_1^2} \quad [١٣،١١]$$

و يرى ان هذه العبارة سالبة دائماً ، كما تدل التجربة على ذلك ؛ ويوافق منحنى الناظم على الطبقات القرينة الصغرى ،

ج (هناك مواد متعضية عديدة ذات انكسار مضاعف (جدران الخلايا ،

حبات النشاء) . وهي تشبه في سلوكها التجمعات البلورية اكثر من أحاديّات البلورات ، لأن توجيه الخطوط المعتدلة يختلف من مكان لآخر . اما منشأ هذا الانكسار المضاعف فينبغي البحث عنه في الذي سبق . فجبة النشاء مثلاً ، ذات بنية منضودة ويمكن التحقق من ان احد الحطين المعتدلين يتجه في كل نقطة عمودياً على الطبقات (الشكل ١١ - ١١) .



الشكل ١١-١١
بنية منضودة
لجبة النشاء

١١ - ٨ . — تبرد الانكسار المضعف .

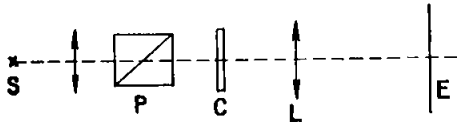
إن كلاً من قرائن الانكسار الاصلية لبلورة ما تتغير بتغير طول الموجة ،
 مثلما تتغير القرينة الوحيدة لوسط متماثل المناحي . والتغير ، بوجه عام ، ليس
 واحداً من أجل القرائن المختلفة ؛ ويتبع هذا ان الفرق بين القرينتين الاصليتين
 $n - n'$ لصفحة بلورية لا يظل ثابتاً بوجه عام عندما يتغير طول الموجة : أي
 ان هناك تبديلاً للانكسار المضعف . ففي حالة البلورات الشفافة ، يزداد
 الفرق $n - n'$ بوجه عام من الاحمر الى البنفسجي . والجدول التالي يعطى قيم
 الفروق بين القرينة العادية والقرينة الشاذة الاصلية للكالسيت والكوارتز .

λ بالميكرون	0,20	0,30	0,40	0,589	0,90	1,09	2,05
الكالسيت $n_o - n_e$:	0,3264	0,208	0,1853	0,1719	0,1648	0,1622	0,1586
الكوارتز $n_o - n_e$:	0,0126	0,0102	0,0096	0,0091	0,0088	0,0087	0,0082

وهذه الظاهرة مضايقة لأنها لا يمكن من تحقيق صفائح ربع موجية وصفائح
 نصف موجية ، الخ ... وحيدة اللون بواسطة بلورة واحدة . وقد سعي الى
 تحقيق ذلك باستعمال صفيحتين بلوريتين اختير ثغنها وتبديدهما اختياراً مناسباً
 ووضعت احدهما فوق الاخرى .

١١ - ٩ . — امتصاص البلورات . تعدد الالوان .

أ) ان تبدد كل من القرائن الاصلية يتوقف على الامتصاص ، مثلما يتوقف
 عليه تبدد قرينة وسط متماثل المناحي (الفقرة ٩ - ١) . فاذا كان هناك تبدد
 للانكسار المضعف ، فذلك لاختلاف امتصاص الاهتزازتين الاصليتين .



الشكل ١١-١٢ . تجربة على اختلاف امتصاص الاهتزازتين الاصليتين

٥- يجعل الضوء الصادر من

قوس فحمية S (الشكل ١١

- ١٢) ، متوازياً ثم مستقطباً بواسطة النكول P ويسقط

بعد ذلك ناظماً على صفيحة

بلورية ملائمة C تكون لها العدسة L خيالا على الحاجز E . ويمكن استعمال صفائح من بلورات $K_2 Cu Cl_4, 2H_2O$ (الزرقاء) الموازية لمحورها ، أو من بلورات $Co Cl_2, 6H_2O$ (الحمراء) العمودية على محورها الثاني .

١* إذا اعترض طريق الحزمة حاجز ملون يصدر بالاخض شعاعات تمتصها البلورة (حمراء من أجل ملح النحاس ، وزرقاء من أجل ملح الكوبالت) ، وادير المقطب بحيث تصبح الاهتزازة البارزة منه موازية لأحد خطي C المعتدلين ، فإنه تشاهد في كلتا الحالتين استنارتان مختلفتان تمام الاختلاف للخيالين على الحاجز E : فالاهتزازتان الاصليتان تمتصان امتصاصاً مختلفاً من قبل الصفيحة .

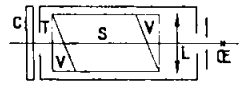
٢* لنستعمل الآن الضوء الابيض . فإذا كان امتصاص الاهتزازتين الاصليتين لا يختلف على نفس الشاكلة من أجل الشعاعات المختلفة ، فإنه تشاهد ألوان مختلفة من أجل توجيهين أصليين للمقطب P يختلفان بمقدار 90° درجة . ان تنوع الالوان التي تشاهد في الشروط السابقة يسمى تعدد الالوان .

وهكذا فإنه يشاهد لون أزرق أو اخضر ضارب الى الزرقة باستعمال بلورات $K_2 Cu Cl_4, 2H_2O$.

٥- يمكن اظهار الفروق السابقة في الاستنارة او في اللون بصورة اكثر حساسية ، بأن يوضع مكان المقطب P موشور ولاستون Wollaston او صفيحة

من السبات ذات ثخن يكفي لأن تخترق البلورة حزمتان منفصلتان مستقطبتان في منحنيين متعامدين . فإذا أدبرت الصفيحة C في مستوى A ، فإن استنارتي الخياليين أو لونيها يختلفان اكبر اختلاف عندما تكون الاهتزازتان المتعامدتان موازيتين لخطي C المعتدلين ^(١) .

وعلى أساس من هذا المبدأ صنعت المكبرة الكاشفة لتعدد اللون : وهي

جلة مكونة من بلورة سبات S (الشكل ١١ - ١٣) ،

 الصق بها موشران زجاجيان V ، يكونان خياليين متجاورين للثقب المربع T ؛ ويمكن العدسة L ، التي تعمل عمل المكبرة ، من مشاهدة هذين الخياليين اللذين

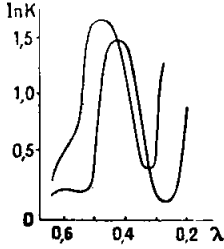
يوافقان الحزمتين المنكسرتين في بلورة السبات واللتين تكون الاهتزازات فيها متعامدة . وتوضع الصفيحة البلورية C أمام الثقب T وتدار في مستوىها للبحث عن الالوان التي توافق الاهتزازات الموازية الى مقطعيها الاصيلين ، وهي دائماً الالوان التي يختلف بعضها عن بعض أكبر الاختلاف .

ب (إن دراسة طيف امتصاص البلورات في الضوء المستقطب تمكن من توضيح ما سبق . فالفروق بين الطيفين الاصيلين يمكن أن يتجلى أحياناً في فرق بين شدي الامتصاص دون أن يكون موضعاً النهائيين العظميين مختلفين اختلافاً واضحاً (الشكل ١١ - ١٤) في هذه الحالات ، لا يشاهد ، في تجربة الشكل ١١ - ١٢ ، إلا تغير في الاستنارة دوغماً فروق في اللون ^(٢) . وفي بعض الاحيان

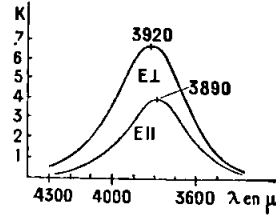
(١) يلاحظ في كل التجارب السابقة انه لم يستعمل الا مقطب واحد : ذلك لأن التغيرات في امتصاص البلورة تحدث تغيرات في شدة الضوء النافذ ، وهي تغيرات تحس بها العين ؛ في حين ان الانكسار المضاعف لا يحدث الا تغيرات في الطور ينبغي تحويلها الى تغيرات في الشدة ، وذلك يجعل الاهتزازات تتداخل بإمرارها من خلال محلل (الجزء الرابع ، ١٤ - ٣) .

(٢) ومع ذلك فانه يستمر في مثل هذه الحالة على القول بأن هناك تعدد الوان .

وعلى عكس ما سبق يكون للنهائيتين العظميين للامتصاص طولان موجيان



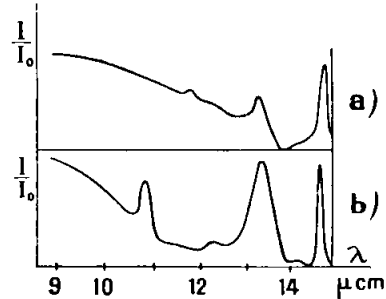
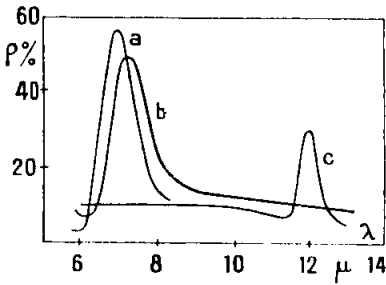
الشكل ١١ - ١٥ . المنحني الطيفي
لامتصاص K_2PdCl_4



الشكل ١١ - ١٤ . طيف امتصاص
الرباعي $NiSO_4 \cdot 6H_2O$

متباينان تماماً ، (الشكل ١١ - ١٥) ويتجلى تعدد الالوان بوضوح تام . هذا وإن تعدد الالوان لا يحدث في الطيف المرئي وما فوق البنفسجي فحسب ، بل يحدث أيضاً في طيف ما تحت الاحمر (الشكل ١١ - ١٦) .

ويمكن لطيف الانعكاس ، الذي يتعلق كما هو معروف بطيف الامتصاص الفقرة (٩ - ١٣) ، ان يُظهر أيضاً فروقاً هامة ، حسباً تكون الحزمة المنعكسة



الشكل ١١ - ١٦ - طيف امتصاص بلورة NH_4NO_3 المعينية المستقيمة فيما تحت

الاحمر (a) : $E = E_x$ ؛ (b) : $E = E_z$.

الشكل ١١ - ١٧ . طيف انعكاس كربونات الرصاص $PbCO_3$ المعينية المستقيمة

فما تحت الاحمر . (تدل الحروف a و b و c على مناحي عاود إهليلج القرائن الجسم التي يوازها المتجه الضوئي في كل من الاطيف الثلاثة) .

ناظماً على البلورة مستقطبة استقطاباً موازياً للواحد أو الآخر من الحطين المعتدلين للسطح (الشكل ١١ - ١٧) .

(ج) ان نظرية البلورات الماصة نظرية معقدة ، ولكنها تصبح بسيطة فيما اذا افترضت بعض الفرضيات المقبولة بتقريب أولي على الاقل . لنسلم بأن الامتصاص ضعيف ، ولنسلم ، علاوة على ذلك ، بأن مستويات تناظر إهليلج القرائن المجسم ومحاور تناظره هي أيضاً مستويات تناظر ومحاور تناظر بالنسبة الى ظواهر الامتصاص .

في ظل هذه الشروط ، يقابل كل اهتزازة منتشرة في البلورة امتصاص معين . وتتوقف قيمة عامل الامتصاص K (الفقرة ١ - ٤) حينئذ على منحنى الاهتزازة فقط .

وتقابل الاهتزازات الموجهة وفق المحاور الثلاثة لاهليلج القرائن المجسم (الجزء الرابع ، ١١-١٠) ثلاث قيم لعامل الامتصاص K هي K_1 و K_2 و K_3 : وتسمى عوامل الامتصاص الاصلية .

وعلى هذا يصبح من السهل إيجاد قيمة K من اجل اهتزازة ما . يعتبر الاهليلج المجسم الذي تتفق مناهي محاوره مع مناهي محاور اهليلج القرائن المجسم والذي تساوي أنصاف محاوره :

$$\frac{1}{\sqrt{K_3}} \text{ و } \frac{1}{\sqrt{K_2}} \text{ و } \frac{1}{\sqrt{K_1}}$$

ومعادلته هي :

$$K_1x^2 + K_2y^2 + K_3z^2 = 1$$

فمن اجل اهتزازة معطاة ، يكون K مساوياً حينئذ مقلوب مربع المتجه القطري (الشعاعي) المنشأ في الاهليلج المجسم موازياً لمنحنى الاهتزازة .

إذا اقتطع من البلورة مكعب تكون احرفه موازية لمحاور الاهليلج الجسم وشوهدت الالوان التي تعطيها الازواج الثلاثة لوجوه المكعب من أجل الاهتزازات الموازية للمقاطع الاصلية، فإنه تُرى ثلاثة ألوان مختلفة فقط ، توافق مناحي الاحرف الثلاثة : وهذه هي الالوان الاصلية . فمن أجل هيدروكسيد الألمنيوم (diaspore) مثلاً ، تكون هذه الالوان على التوالي: الازرق والبنفسجي والاصفر . وتقابلها أطيفاف أصلية مختلفة .

وإذا نُظر الى المكعب مباشرة ، دون نكول ، عمودياً على الازواج الثلاثة لوجوهه ، فإنه تُرى ثلاثة ألوان مختلفة ناتجة عن الالوان الاصلية مركبة اثنين اثنين .

وفي الحالة العامة ، وهي حالة البلورات الثنائية المحور ، حيث تكون هناك ثلاثة ألوان مختلفة ، يقال إن هناك تلوانية ثلاثية . أما البلورة الاحادية المحور فليس لها الا معاملا امتصاص أصليان مختلفان وإلا لوفان أصليان أيضاً : اللون الاصلي العادي العائد للاهتزازة العمودية على المحور الضوئي ، واللون الاصلي الشاذ العائد للاهتزازة الموازية للمحور الضوئي : فهناك اذن تلوانية ثنائية .

إن لبعض بلورات الاملاح الترابية النادرة أطيفاف إصدار وامتصاص خطية تتمتع بتلوانية متعددة بارزة جداً ويمكن ان تختفي هذه الاطيفاف الخطية اختفاء تاماً في واحدٍ أو اثنين من الاطيفاف الرئيسية . ويمكن دراسة التلوانيات المتعددة لهذه الاطيفاف الخطية أحياناً من تعيين طبيعة إشعاع ثنائي الاقطاب ، الكهربائي او المغناطيسي (الفقرة ١ - ٦) العائد إليها .

نعتبر مثلاً خطي امتصاص ملح من املاح الاوروبيوم الذي يمثله الشكل ١٨-١١ (اللوحة السادسة) ولنعد الى الشكلين ١-٢ و ١-٣ لتابعة المحاكمة . ان الخط I لا يظهر في الطيفين (a) و (b) : وهذا يدل على ان ثنائي الاقطاب المقابل يهتز وفق المنحى Oz لانتشار الموجة، دون التمكن من معرفة ما اذا كان كهربائياً أو مغناطيسياً . لنعط الموجة المنحى Ox لانتشار : فالخط I لا يظهر الا عندما يكون المنحى E موجهاً وفق Oy

والمتجه H بالتالي وفق Oz (الطيف c) : فيكون الخط I عائداً لاشعاع مغناطيسي .
ويظهر الخط II في الطيف a أشد بكثير من ظهوره في الطيف b : ويستنتج من ذلك ان
ثنائي الاقطاب كهربائي ومواز تقريباً للمنحنى Ox أو مغناطيسي ومتجه تقريباً وفق
Oy . ويظهر الخط II في الطيف d ولا يظهر في الطيف c مما يثبت انه ثنائي أقطاب
مغناطيسي . وعلى الفارمى ان يتحقق من ان الخط III يعود الى ثنائي أقطاب كهربائي
مواز للمنحنى Oz .

ب . الانكسار المضاعف الصناعي

١١ - ١٠ - — ومورده :

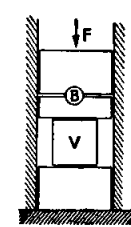
هناك عدد من المواد المتأثلة المناحي ، الجامدة (زجاج معدني وعضوي ،
بلورات مكعبية) والمائعة يمكن جعلها غير متأثلة المناحي عندما تخضع لأفعال
ملائمة ، ويتجلى عدم تماثل المناحي خاصة بالانكسار المضاعف .

إن التجربة وحدها كفيلة بكشف الاسباب القادرة على خلق عدم تماثل
المناحي . ولكن ينبغي ان تخضع الافعال غير المتأثلة المناحي الى قوانين التناظر
(الجزء الاول ٧ - ١٣) . ان تمثيل الخواص الضوئية لبلورة احادية المحور
بسطح دليلي ، هو اهليلج مجسم دوراني (الجزء الرابع ١١ - ١٠) يدل على ان
منحى المحور يتميز عن أي من المناحي المتعامدة المتعادلة فيما بينها . فالسطح
الدليلي يصبح كرة في وسط تماثل المناحي . واذا طبق على هذا الوسط فعل
يتمتع بمنحى "مفضل" ، فليس من المخالف للتناظر أن يصبح الوسط شبيهاً ببلورة
أحادية المحور .

ونجد عملياً أن من بين هذه الافعال : السحب أو الضغط الناجمين عن مجموعة
قوتين متعاكستين (الجزء الاول ٣ - ٨) ، وحقل المتجهات القطبية (السرعة ،

الحقل الكهربائي (أو المحورية (الحقل المغناطيسي) (١).

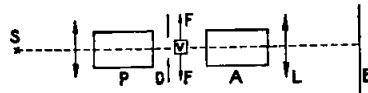
١١ - ١١ . — الانكسار المضاعف في الجوامد الناجم عن الضغط أو السحب :



الشكل ١١-١٩
جهاز ضغط
المكبب V ضغطاً
منتظماً .

أ) يوضع مكعب زجاجي متماثل المناحي V على مسند أفقي ويضغط شاقولياً ضغطاً منتظماً قدر الامكان بواسطة الجهاز المبين في الشكل ١١ - ٩ (B هي كرة فولاذية موضوعة في تجويفين نصف كرويين محفورين في سطحين من الفولاذ القاسي يتحركان ضمن دليلين وينبغي أن يكون سطحا الزجاج والفولاذ المتماسان أملسين تماماً) .

يوضع المكعب بين مقطب P (الشكل ١١ - ٢٠) ومحلل A متعامدين ، ميل محاورهما الاصليان بـ ٤٥° على الشاقول ، وتحترقها حزمة من الضوء الابيض . وتكون العدسة L من الحاجز E خيالاً

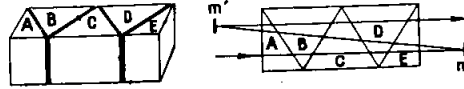


الشكل ١١ - ٢٠ دراسة الانكسار المراعى بالضغط

للحظار D . فالضغط على المكعب V يعيد الضوء الى الظهور في هذا الحال .
— ٥ — تجعل حزمة من الاشعة المتوازية تحتوق جملة مواشير زجاجية لصقت بحيث

(١) ان كل هذه الافعال اذا طبقت على بلورات مكعبية، وهي بلورات متماثلة المناحي ضوئياً ، فانها تجعلها ذات انكسار مضاعف . وعندما تطبق على بلورات أحادية المحور او ثنائيتة ، فانها تعدل من انكسارها المضاعف الطبيعي بطريقة معقدة تعقيداً يختلف باختلاف اتجاه الضغط او الحقل بالنسبة الى المناحي الاصلية للبلورة . ولن نعتبر هذه الظواهر في كل ما يلي .

تكون صفيحة متوازية الوجهين (الشكل ١١-٢١) . ويضغط الموشوران B و D ، الناتان قليلاً ، وهدما ضغطاً موازياً لأحرفها ، بينما تبقى المواشير A و C و E (الملتصقة بالموشورين B و D بلساق رخو) على حالتها الطبيعية . فإذا

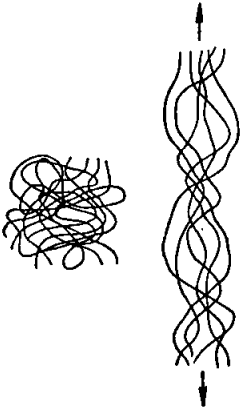


الشكل ١١ - ٢١ . إذا ضغط الموشوران B و D وحدهما ، فإنه يمكن مشاهدة انفصال الحزمتين بالانكسار المضاعف .

اخترقت هذه الجملة حزمة ضوئية ضيقة تولدت عنها حزمتان ضيقتان بارزتان تكون الزاوية بينها كافية لأن تكونا على بعد متر واحد خيالن تفصل بينها مسافة من مرتبة المليمتر . ويمكن زيادة هذه المسافة الى ثلاثة أضعافها يجعل حزمة الاشعة تخترق الجملة ثلاث مرات بفضل انعكاسها على المرآتين m و m' . اذا جعلت الاشعة البارزة تخترق نكولاً ، فإنه يمكن بادراته بمقدار ٩٠° ، أن يطفأ على التعاقب الحيالان المنفصلان للنبع الذي هو شق مواز لأحرف المواشير .

إن الانكسار المضاعف يظهر في خلال وقت قصير جداً ، عندما يحدث الضغط ، وهو يتبع كل تغيرات الضغط حتى ما كان منها سريعاً .

٥- تؤخذ صفيحة من المطاط غير المكبرت ، رقيقة رقة كافية لأن تكون شبه شفافة . تمط هذه الصفيحة في منحى بميل بـ ٤٥° على المنحنيين الاصلين لمقطب ومحل متعامدين ، فتظهر انكساراً مضاعفاً شديداً . ويمكن الحصول بسهولة على ألوان تدل على ان التأخر من مرتبة $\frac{\lambda}{2}$. إن الجزيئات الجهرية ذات السلاسل تتبسط لدى استطالة المجموعة (الشكل ١١ - ٢٢) التي يكاد مخطط انعراجها في الاشعة السينية يشبه مخطط الانعراج البلورة .



ب) إن تجربة المواشير يمكن من إثبات أن الحبال الأقل انحرافاً تكونه الأشعة التي توازي اهتزازاتها أحرف المواشير ، أي توازي منحى الضغط .

ومن جهة أخرى ، فإن قياس التأخر δ الذي يحدثه متوازي مستطيلات زجاجي بين الاهتزازتين الأصليتين في حالة ضوء وحيد اللون ، يمكن أن يتم بواسطة تركيبة مستمدة من تركيبة الشكل

١١ - ٢٠ ، التي يضاف إليها فيما بين V و A ، مكافئاً بابينه أو صفحية ربع موجية .

فيتحقق من أن منحى الضغط هو منحى القرينة الصغرى كما يمكن إثبات أن التأخر δ يكون واحداً في منحي الاختراق الناظمي العموديين على F .

فالزجاج العادي المضغوط يكتسب اذن خواص ضوئية شبيهة بخواص بلورة أحادية المحور سالبة ($n_o > n_e$) يوازي محوراً منحى الضغط .

ونحصل بشدّة الزجاج على ظواهر معاكسة للظواهر التي تحدث بالضغط . وهكذا فإن بعض أنواع زجاج الفلنت تصبغ بالضغط موجبة ضوئياً .

وتدل التجربة ، علاوة على ذلك ، أن (شدة) الانكسار المضاعف $n_o - n_e$

تناسب طردياً مع الضغط $p = \frac{F}{S}$ المطبق على السطح S الذي يساوي el ،

حيث يدل l على بعد متوازي المستطيلات العمودي على الأشعة الضوئية وعلى منحى الضغط . فالتأخر الضوئي δ نتيجة لاختراق الضوء ثغناً e ، يكون إذن بحيث أن :

$$\frac{\delta}{e} = n_o - n_e = k \frac{F}{el}$$

ففرق المسير δ لا يتوقف على ثخن ما يخترقه الضوء بل يتعلق فقط بالنسبة $\frac{F}{l}$. وقد جرت العادة أن يقدر بالاطوال الموجية وان يكتب :

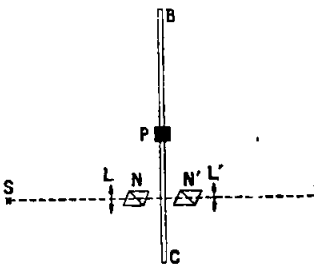
$$\frac{\delta}{\lambda} = K \frac{F}{l}$$

حيث يدل K على ثابت خاص بالشعاعة المعتبرة .

فمثلاً ، يكون الثابت من مرتبة $\frac{m}{N}$ 5.10^{-7} من أجل الزجاج العادي والشعاعات الصفراء . فإذا كان سطح متوازي المستطيلات يساوي $1 \times 1 \text{ cm}^2$ ناطقياً على F ، فإن الضغط اللازم لكي يبلغ التأخر δ قدر طول موجة ، يكون من مرتبة 200 kg/cm^2 . وقد استعملت هذه الظاهرة لقياس الضغوط . ويمكن ، بأجراء تجارب الانحراف في الموشور ، إثبات أن قرينتي انكسار الزجاج المضغوط n_0 و n_e كلتيهما تفوقان قرينة الزجاج متماثل المنحني n في القيمة .

١١ - ١٢ . حالة ضغط غير منتظم :

(أ) - ٥ - تؤخذ عصابة من الزجاج BO مستطيلة المقطع (الشكل ١١-٢٣)

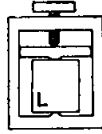


الشكل ١١-٢٣ - إيضاح وجود عقد اهتزاز في صفيحة مهتزة باستخدام الانكسار المضاعف

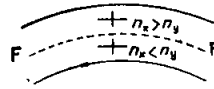
طولها (٥) أمتار وعرضها (٥) سنتمات وثغنها (٥) مليمترات ، ويشد عليها في منتصفها بكلاية P ، ونهياً بحيث يمكن تثقيبها لكي تقع مختلف أجزائها في طريق حزمة الأشعة التي تخترق نكولاً مقطباً N ثم تسقط بعد ذلك على نكول محلل N' جعل في الموضع الذي يُطفئ فيه الضوء . فإذا

أُزِيحت الصفيحة الزجاجية ما بين النكولين ، وكانت في حالة الاهتزاز ، فان الضوء يعود للظهور من اجل نقاط معينة متساوية الابعاد : ذلك لأن الزجاج يصبح ذا انكسار مضاعف عندما يعرض للضغط وهذا هو ما يحدث بالضبط عند العقد : فعند العقد يعود الضوء للظهور .

٥- تُثنى صفيحة من زجاج التاج ثخنها مليمترو واحد وعرضها ما بين مليمترو ومليمترين ، ثم تفحص بالمجهر المقطب فيتبين أن القرينة تصبح أكبر قيمة في منحنى الامتطاط (وهو منحنى طول الصفيحة) فوق الخط المعتدل (الجزء الاول ، ٧-٦) منها في منحنى الثخن تحته (الشكل ١١-٢٤) .



الشكل ١١-٢٥ - جهاز لضغط الصفيحة L ضغطاً غير منتظم



الشكل ١١-٢٤ - الانكسار المضاعف في صفيحة مثنية (الخط المتقطع يدل على منحنى الخط المعتدل)

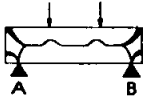
ب) ٥- تضغط صفيحة من الزجاج L ضغطاً غير منتظم (الشكل ١١-٢٥) في مكبس ذي برغي . وينظر اليها وهي في تركيبة الشكل ١١-٢٠ . فتظهر لدى ضغط الصفيحة خطوط ملونة تعترضها خطوط مظلمة . وإذا أُديرَت الصفيحة والمكبس الذي يضغطها حول الشعاع دون ان يُمس النكولان ، فإن الخطوط الملونة لا تتغير وتدور مع الصفيحة بينما يتغير شكل الخطوط المظلمة .

ففي هذا المثال تكون القوى المطبقة على الصفيحة واقعة كلها في مستويها ، ويكون هناك في كل نقطة من الصفيحة منحنيان متعامدان يقعان أيضاً في مستوي الصفيحة وبوافتان التوتر الاعظمي والتوتر الاصغري بالنسبة للنقطة المعبرة ؛ ويسمى هذان التوتران التوتران الاصليان . ويكون مقطعاً الصفيحة

الصفحة الاصليان في النقطة المعتبرة موازيين للتوترين الاصيلين ، ويتناسب انكسارها المضاعف مع الفرق بين هذين التوترين .

وتبعاً لما سبق ، إذا جعلت الصفحة بين نكولين متعامدين وأضيت بالضوء الابيض المتوازي فإن الخطوط المظلمة التي تسمى الخطوط المتساوية الميل تدل على مواضع كل النقاط التي يكون فيها التوتران الاصيلان موازيين للمقطعين الاصيلين للنكولين ، بينما يدل كل خط من الخطوط الملونة المسماة الخطوط المتماثلة اللون على مواضع كل النقاط التي يكون فيها الفرق بين التوترين الاصيلين مساوياً مقداراً ثابتاً . لذلك عندما تُدار الصفحة في مستويها ويظل النكولان ثابتين ، يتغير شكل الخطوط المتساوية الميل ، بينما لا يطرأ أي تغيير على الخطوط المتماثلة اللون .

وعلى هذا فإن ملاحظة الخطوط المتساوية الميل والخطوط المتماثلة اللون تمكن من معرفة منحي التوترين الاصيلين والفرق بينهما في كل نقطة . وبين



الشكل ١١-٢٦
مثال خطوط

تساوي الميل .

الشكل ١١-٢٦ ، على سبيل المثال ، شكل الخطوط المتساوية الميل في صفحة زجاجية ذات مقطع مستطيل ، تستند على مسندين A و B قرب طرفيها وتؤثر عليها قوتان شاقوليتان ومتساويتان في نقطتين قريبتين من مركزها قريباً كافياً ، وذلك عندما يكون المقطعان الاصيلان للنكولين يميلان على الشاقول ٥° .

وعلى أساس من ملاحظة هذه الخطوط ، تبنى ميناچه

Mesnager طريقة لتحقيق حساب مقاومة المواد ، أي قياس المرونة ضربياً : يصنع للجسم (موضوع المشروع) نموذج مصغر من الزجاج أو من أي مادة شفافة أخرى (السلولويد ، الباكليت) ، وتطبق على هذا النموذج مجموعة من القوى تمثل بنسبة التصغير نفسها القوى التي ينبغي أن يتحملها الجسم ؛ ويمكن بذلك ادراك النقص والعيوب في مشروع الجسم . وبين الشكل ١١ - ٢٧

(اللوحة الرابعة) صورة الخطوط المتساوية الميل لكتلة واقعة تحت تأثير قوى ما . ويمكن الطريقة نفسها أيضاً من إيجاد الحل لبعض قضايا مقاومة المواد التي يستعصي إيجاد حل لها بالحساب .

كذلك يمكن الاكتفاء بتغطية قطعة معدنية بطلاء (برنيش) لاصق ، يصبح ذا انكسار مضاعف عندما يتغير شكل القطعة المعدنية . فيكون المعدن مرآة ويُحترق الطلاء مرتين بالضوء في ورود ناظمي .

١١ - ١٣ . — الانكسار المضاعف الناجم عن الإسقاء

إن الإسقاء يسبب الانكسار المضاعف الذي يظهر في كثير من الاجسام الشفافة ؛ فهو يحدث توترات داخلية يمكن ان تكون كبيرة جداً ، لان السطح الذي يتبرد أولاً يمنع بعدها وقوع تغيرات الحجم التي كان ينبغي أن يحدثها تبرد سائر أجزاء الجسم .

٥ - تتصف القطرات الزجاجية (الجزء الثالث ٦ - ٥) بأنها ذات انكسار مضاعف : ولرؤية ذلك يكفي أن نضع بين نكولين متعامدين حوضاً زجاجياً يحتوي على قطرة زجاجية غاطسة في سائل له القرينة الوسطية نفسها ، مثلاً في خليط من هيدرات الكلورال ومن الغليسرين بنسب ملائمة ؛ فتظهر القطرة الزجاجية مضادة على خلفية مظلمة .

٥ - يمكن اسقاء ألواح ثخينة من الزجاج بتسخينها تسخيناً شديداً ثم تبريدها بتحريكها في الهواء تحريكاً معتدلاً ؛ فإذا وضعت بين نكولين متعامدين وأضيئت بالضوء الأبيض المتوازي فإنها ، كالألواح التي تعرض لضغوط غير منتظمة ، تظهر خطوطاً متساوية الميل وخطوطاً متائلة اللون بأشكال متنوعة . ويمكن أن تبلغ قيم التوترات الداخلية العائدة لهذه الخطوط بضع مئات

من $kg^{(١)}$.

وغالباً ما يكون إسقاء الزجاج مضاعفاً في الضوء بسبب ما يرافقه من انكسار مضاعف بالذات ؛ لهذا ينبغي التحقق من ان الزجاج المستعمل في صنع العدسات خالٍ من الاسقاء وذلك بمشاهدته وهو بين نكولين متعامدين . ويتم التخلص من الاسقاء بالتحمية ، أي بتسخين الزجاج وتركه ليتبرد ببطء شديد .

إن الزجاج المتجانس كيميائياً ، يمكن ان تختلف بنيته الفيزيائية من نقطة لأخرى فيما اذا لم تكن تحمته كافية . واختلاف التجانس الفيزيائي هذا يفسر بعدم انتظام قرينة الانكسار والكتلة الحجمية ، وبإمكان حدوث تطور عفوي (التقادم) . فالانكسار المضاعف في مثل هذا الزجاج يمكن إذن أن ينجم ، ليس فحسب عن التوترات التي يسببها تجمد الطبقات الداخلية ، وإنما ينجم أيضاً عن التوترات التي تسببها التغيرات المحلية في البنية بمرور الزمن . وهذه ظاهرة شبيهة بالاسقاء تتولد فيها توترات داخلية تفسر الانكسار المضاعف في الحيلاتين وفي انواع الغراء الخ . .

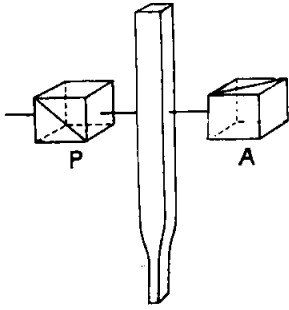
وتحدث ظاهرة مماثلة أيضاً في بعض البلورات التي تعطي بلورات قليلة التجانس ؛ ولهذا السبب تكون بعض البلورات المكعبية أحياناً ذات انكسار مضاعف ، مثل بلورات الشب والملح الصخري الخ . .

١١-١٤ . — الانكسار المضاعف الربنأميكي في السوائل :

(أ) - ٥ - يلا أنبوب مستطيل المقطع (الشكل ١١ - ٢٨) ومحوره

(١) يمكن ان تسبب هذه التوترات ، في حالة الاصطدام ، تخطم ألواح زجاج السيارات ، التي تسقى اسقاء خاصا لهذه الغاية، الى شظايا كثيرة ، قليلة الخطر .

شاقولي بحلول غروي من خامس اكسيد الفناديوم V_2O_5 ^(١) ويوضع بين مقطب وحلل متعامدين شاقولي وأفقي . اذا ترك



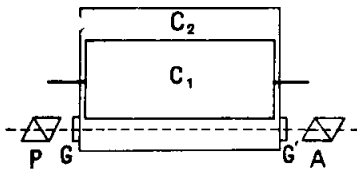
السائل يجري ، عاد الضوء الى الظهور ، ولكنه يعود فينطفئ إذا توقف السائل عن الجريان .

فجدول السائل (عرقه) يسلك سلوك بلورة أحادية المحور موجبة (وإذا لم يتيسر الحصول على أنبوب فإنه يمكن الاكتفاء بوضع السائل في وعاء ذي وجهين متوازيين وتحريكه بواسطة

الشكل ١١ - ٢٨ . الانكسار المضاعف الديناميكي في سائل جار .

قضيب زجاجي) .

وهناك عدد من السوائل ، العضوية بصورة رئيسية (كالزيوت) ، ومن



المحاليل ذات الجزيئات الجهرية العضوية (الجزء الثاني ، ١٣ - ١٧) ، التي تعطي ظواهر مماثلة . وهي تدرس بوجه عام بوضع السائل بين اسطوانتين لهما محور مشترك (الشكل ١١ - ٢٩) ،

احدهما C_2 ثابتة والاخرى C_1 تحرك

حركة دورانية بنحو مائة دورة في الثانية . ويمكن النافذتان الزجاجيتان G و G' من مرور الضوء وفق أحد مولدات الاسطوانة المائعة .

ويكون الخططان المعتدلان لعمود المائع قريبين تقريباً من المنحى الذي

(١) لتحضير هذا الاكسيد ، يرسب محلول فندات الامونيوم التجاري بواسطة حمض الكلور . ويفصل الراسب البني - الاحمر طويلا يجعله معلقا في الماء ثم يفصل بعد الترسب حتى يعطي محلولاً غروباً يجري ترشيحه بعد ذلك . ويشد الانكسار المضاعف فيه بمرور الزمن . ويمكن أن يستعاض عن خامس أو كسيد الفناديوم بهيدروكسيد الحديد أو بنزوبيرين .

benzopurpurine .

يميل بـ ٤٥° على منحى سرعة السائل : وفقه .

ب (تدل الدراسة بالمجهر الالكتروني ، في حالة خامس أكسيد الفناديوم ، على أن للجسيمات الغروية شكلاً متطاولاً جداً يمكنها من أن تتوجه خلال الجريان . ويسري التفسير نفسه على السوائل الأخرى ذات الانكسار المضاعف ، التي تحتوي جميعها على جزيئات ذات سلاسل طويلة بعض الشيء . فهذه الجزيئات تميل لأن تتوجه موازية لمنحى خطوط التيار . ويلقى هذا التوجيه معاكسة من الهيجان الحراري . ويبرهن أنه ما دامت السلاسل قصيرة نسبياً (أي الكتل المولية لا تتجاوز بضع مئات الآلاف) وما دام تدرج السرعة ضئيلاً نسبياً ، فإن منحى استطالة الجزيئات يميل على منحى السرعة بـ ٤٥° تقريباً . ويؤلف المنحى الوسطي للاستطالة ، على كل حال ، أحد الحطين المعتدلين ، وهو خط الاستقطابية العظمى (الفقرة ١١ - ٣) .

وقد قدمت هذه الظواهر معلومات هامة عن الجزيئات الجهرية .

ج (تتمتع أوراق السيلوفان بانكسار مضاعف منتظم و كبير القيمة (ورقة منه ثخنها ٣٠ ميكرونًا هي نصف موجية تقريباً) .

والتفسير هنا كالتفسير السابق : فالأوراق يتم الحصول عليها بامرار محلول من الفسكوز^(١) (مشتق من السلولوز) خلال شق دقيق : فتتوجه جزيئات السلولوز بهذا التصفيح اتجاهًا واحداً قبل تجمد المحلول .

١١ - ١٥ - الناور المتعدد الصناعي : تطبيقاته .

أ (إن اللون المتعدد في امثلة الفقرة السابقة يرتبط بالتوكيب الكيميائي للنوع البلوري ، في حين أنه في العديد من البلورات الطبيعية يرجع الى آثار

(١) مادة لدنة تستعمل في صنع الحرير الصناعي .

الشوائب فيها ، كما يدل على ذلك ما يطرأ على بعضها من تغيرات واختلاف في الالوان عندما تتغير درجة الحرارة ، دون ان يتغير تركيبها .

فهنالك مثلاً عينات من الترمالين (الجزء الرابع ، ٤ - ٩) ذات لون وردي أو اخضر مختلف الغمقة ، والتلون فيها بارز جداً : وهي عملياً ، تمتص الاهتزازة العادية امتصاصاً تاماً بشخانات تسمح بمرور جزء كبير من الحزمة الشاذة . وقد استعملت هذه الخاصية قدماً في صنع المقطبات .

ب) يمكن احداث اللون المتعدد صناعياً بأن تلون توليناً ملائماً بلورة هي بطبيعتها غير ملونة . إن بلورات نترات الاسترنسيوم التي تلون يجعلها تقبلور في محلول مشبع من البقم أو حزاز الصباغين أو ازرق الميتلين ، الخ ... تظهر تلونا متعدداً ملحوظاً . كذلك تتلون سلفات الكينين باليود معطية بلورات متلونة (هيراباتيت) .

ويمكن ، في كل هذه الحالات ، أن نسلم بأن اللون ينجم عن توزيع الملون في الشبكة البلورية توزيعاً غير متماثل المناحي . وهذا التفسير توحى به التجارب التالية :

٥ - تلون ألياف قنب سيام ramie أو السلولوز بأحمر كُنْغُو ، وتشاهد بالمجهر المقطب المضاء بالضوء المتوازي بعد أن ينزع منه المحلل . فعندما تكون الاهتزازة التي يولدها المقطب موازية لمنحى استطالة الألياف ، تبدو هذه الألياف حمراء اللون ؛ ولكنها تكاد تبدو غير ملونة عندما تكون الاهتزازة عمودية على الألياف .

٥ - تبخر قطرة من محلول كحولى لأزرق الميتلين على صفيحة من الميكا المفصومة حديثاً . فيلاحظ بالنفوذ وكذلك بالانعكاس لون شديد (بنفسجي غامق - أزرق باهت) : وفي الورد النازمي يظهر لون ازرق غير معدني أو اخضر معدني (الفقرة ٩ - ١٣) .

كذلك يمكن ان يحدث التلون من جراء توجيه مفضل لعناصر ماصة يختلف شكلها اختلافاً كبيراً عن شكل الكرة .

٥- في تجارب الانكسار المضاعف بجرّيان محلول V_2O_5 (الفقرة ١١-١٤) ، يشاهد ايضاً تلون الجريان . وتكون الاهتزازة الموازية لمنحى الجريان هي الاشد امتصاصاً .

٥- عندما يبخر محلول أزرق المتيّلين على صفيحة زجاجية نحصل على طبقة امتصاصها تماثل المناحي . واذا ذلك سطحها بورق النشاف في منحى معين ، تولد فيها عدم تماثل المناحي الذي يتجلّى في تلونها بلون ازرق أشد غماقة ، وذلك عندما تفحص الطبقة بالنفوذ من خلال نكول يوازي مقطعه الاصلي منحى ذلك .

ج (إن الصفائح المقطبة) التي يحمل بعضها الاسم التجاري بولارويد (Polaroides) المستعملة حالياً لتقطيب الضوء وكشف استقطابه ، يمكن ان تتكون من بلورات متلونة صغيرة جداً معلقة في مادة لدنة شفافة . ولدى التصفيح تتوجه هذه البلورات بحيث يوازي بعضها بعضاً (انظر الفقرة ١٥ - ١٤) . وهناك طريقة أخرى توجه فيها الجزيئات ذات السلاسل للمادة اللدنة توجيهاً ميكانيكياً ، ثم تلون باليود .

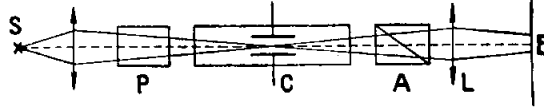
١١- ١٦ . — انكسار المضاعف الكهربائي (ظاهرة كير Kerr) .

أ) اذا وضع جسم شفاف عازل في حقل كهربائي منتظم فانه يصبح ذا انكسار مضاعف ؛ وهذا هو ما يؤلف ظاهرة كير .

والانكسار المضاعف الحاصل شبيه بالانكسار المضاعف في بلورة أحادية المحور ويكون محورها الضوئي موازياً للحقل الكهربائي ؛ وإشارته لا تتغير عندما يغير الحقل الكهربائي جهته .

٥- — تحترق حزمة من الضوء الابيض حوضاً C من النتروبنزين (الشكل

١١ - ٣٠) بين لبومي مكثفة طبق عليها توتر متناوب توتره ٥٠ هرتز وقيمته



الشكل ١١ - ٣٠ خلية Kerr

المنتجة ٢٠٠٠ فولت . وتجمع العدسة L الحزمة من جديد وتولد على الحاجز E بقعة مضاءة ؛ ويوضع مقطب P ومحلل A في طريق الحزمة ويجعلان متعامدين . فحين لا يعمل المولد الكهربائي يكون هناك ظلام على الحاجز، وحين يعمل يظهر الضوء عليه . وللحصول على أعظم استنارة ينبغي أن يكون المقطعان الاصليان للنكواين مائلين بـ ٤٥° على منحنى الحقل الكهربائي .

ويمكن قياس شدة الظاهرة في هذه الحالة ايضاً بالفرق $n_e - n_o$ للقرينتين الشاذة والعادية الخاصتين بالبلورة الاحادية المكافئة . وقد تبين أن هذا الفرق يتناسب مع مربع الحقل الكهربائي المنتج E_0 . ويمكن أن نكتب :

$$n_e - n_o = C \cdot \lambda E_0^2 \quad [11-10]$$

حيث C هو ثابت يميز مستقل عن E_0 من أجل مادة معطاة (ولكنه تابع لدرجة الحرارة ولطول الموجة) ؛ ويسمى ثابتة كير . وعندما يقدر E_0 بـ V/m ويقدر λ بالامتار ، يكون لدينا من أجل ضوء الصوديوم :

$$\begin{aligned} C &= + 2,7 \cdot 10^{-14} && \text{في حالة كبريت الكربون} \\ &= + 265 \cdot 10^{-14} && \text{في حالة النترو بنزين} \end{aligned}$$

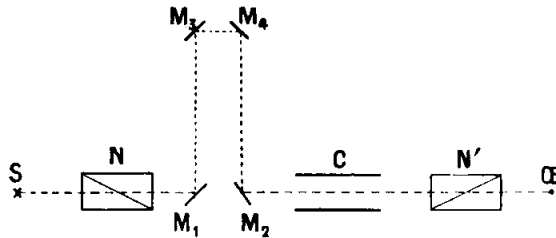
والنتروبنزين هو الجسم الذي يبرز الظاهرة على أشدها . وقد وجد أنه لكي يحدث ثخن للنتروبنزين يساوي ١٠ سم تأخر قدره $\frac{\lambda}{4}$ بين الاهتزازين العادية والشاذة فإنه ينبغي أن يكون الحقل من مرتبة ٩٠٠٠ فولت/مم .

وتحدث ظاهرة كـر في الجوامد والسوائل وفي الغازات أيضاً. وتكون ثابتة كـر في حالة الغازات وفي الضغط النظامي أصغر بما يتراوح بين ٢٠٠ و ١٠٠٠٠ مرة من الثابتة في حالة كبريت الكربون . فمثلاً في الشروط النظامية :

$$C = 0,23 \cdot 10^{-16} \quad \text{من أجل } \text{CO}_2$$

$$7,8 \cdot 10^{-16} \quad \text{من أجل } \text{CH}_3\text{Cl}$$

ولكن يظل الانكسار المضاعف قابلاً للقياس بالطرائق الأشد حساسية .

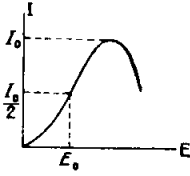


الشكل ١١-٣١ . - تجربة أبراهام ولموان

(ب) إن الزمن اللازم لظهور الانكسار المضاعف أو اختفائه زمن قصير جداً . وهذا هو ما ينتج من نظرية أبراهام ولموان Abraham et Lemoine (الشكل ١١ - ٣١) : إن الضوء الذي يخترق المكثفة C الحاوية على المائع تحثه حرارة انقراغ هذه المكثفة S ، ولكن المرابا M_1 و M_2 و M_3 و M_4 تجعل الضوء يجتاز طريقاً يمكن تغيير طوله . ويختفى كل أثر للانكسار المضاعف عندما يجعل الضوء يجتاز مسافة قدرها أربعة أمتار ما بين المنبع S والمكثفة C وذلك يقابل زمناً قدره 10^{-8} ثانية .

وقد استفيد من هذه الخاصة في تحقيق مكيفات للشدة الضوئية ذات عطالة ضئيلة جداً . إن « خلية كـر » الموضوعة في جهاز الشكل ١١ - ٣٠ لا تدع الضوء يمر الا عندما يطبق عليها الحقل الكهربائي . وتكون الشدة الضوئية النافذة مساوية (الجزء الرابع ، ١٤ - ٧) :

$$I = I_0 \sin^2 \frac{\pi \delta}{\lambda} = I_0 \sin^2 \frac{\pi l (n_e - n_0)}{\lambda} = I_0 \sin^2 \pi C l E^2$$



الشكل ١١-٣٢

تمثل الشدة

$$I = I_0 \sin^2 k E^2$$

حيث I هي المسافة التي يقطعها الضوء في الحقل . ويمكن الحصول على تغير خطي تقريباً للشدة I بدلالة E ، وذلك باقتصارنا على ما يجاور نقطة الانعطاف P في المنحني الذي يمثل $I = f(E)$ (الشكل ١١-٣٢) . ويمكن ان يكون تواتر قطع الحزمة الضوئية أكبر بكثير مما تسمح به قاطعة ميكانيكية . وقد استعمل هذا الجهاز في تسجيل الصوت على

الافلام (الجزء الثالث ، ١٠ - ١١ أ) وفي قياس سرعة الضوء (الفقرة ٢ - ٦) .

١١ - ١٧ . — فعل كـر والبنية الجزيئية .

(أ) إن فعل كـر يزودنا بمعطيات عن عدم تماثل المناحي الضوئي لجزيئات الغاز تكمل أو تحقق المعطيات التي نحصل عليها بدراسة زوال استقطاب الضوء المنتثر (الفقرة ١١ - ٢) . ولكن هذه الظاهرة ، التي تقل دراستها التجريبية بساطة عن دراسة الانتثار ، لها كذلك نظرية أكثر تعقيداً يمكن ايجازها بالطريقة التالية : إن لتطبيق الحقل E_0 الراكدي أو ذي التواتر القليل ، تأثيره في توجيه الجزيئات . فإذا كانت هذه الجزيئات غير متماثلة المناحي ضوئياً ، فإن توجيهها يعطى الوسط قرينة انكسار تختلف من منحى الى آخر ؛ ويصبح الوسط بذلك غير متماثل المناحي جملةً ، بخلاف ما يحدث لكثلة السائل النائر المعتبرة في الفقرة ١١ - ١ .

إن توجيه الجزيئات في الحقل E_0 يمكنه أن يحدث لسببين . وقد درس أولهما في الجزء السادس ، ٤ - ١٢ د ؛ وهو يتعلق بالجزيئات القطبية التي لها عزم ذي القطبين الكهربائي الدائم p_0 . أما السبب الثاني فيرجع الى عدم تماثل

المناحي الكهربائي للجزيئات ، سواء أكانت قطبية أم لم تكن . وعندما درسنا استقطاب الجزيئات الذي يرجع الى تغير شكلها بفعل حقل كهربائي (الجزء الرابع ، ٤ - ١٢ ج) ، افترضنا أن الاستقطابية مقدار سلمي وأن العزم المحرّض يوازي الحقل E_0 . وفي هذه الحالة تكون الجزيئات بوجه عام غير متماثلة المناحي ، في الحقول الراكدة مثلما هي في الحقول المتغيرة تغيراً سريعاً (الفقرة ١١ - ١) . ويمكن تمييز عدم تماثل المناحي الكهربائي فيها بأن يستعاض عن الاستقطابية السامية α بثلاث استقطائيات أصلية α_x ، α_y ، α_z ينطبق عليها مخطط الشكل ١١ - ٢ : ويكون العزم المحرّض p غير موازي للحقل E .

إن عبارة الطاقة الكامنة لجزيء غير متماثل المناحي في حقل كهربائي تنتج من تعميم الصيغ في الجزء السادس ، ٥ - ١٠ :

$$\begin{aligned} W &= - \vec{p} \cdot \vec{E}_0 = - (p_x E_{0x} + p_y E_{0y} + p_z E_{0z}) \\ &= - \frac{1}{2} (\alpha_x^0 E_{0x}^2 + \alpha_y^0 E_{0y}^2 + \alpha_z^0 E_{0z}^2) \quad [١٦١١] \end{aligned}$$

وعند التوازن ، يسعى المنحى الاستقطابية العظمى لأن يكون موازياً لمنحى الحقل بحيث تكون الطاقة الكامنة صغرى .

٥- وهذا هو ما يبينه التشبيه التالي : تحت بلورة من الكبريت (ثمانية الوجوه مستقيمة معينة) بشكل كروي تقريباً وتعلق بخيط . من خيوط الفيّالجة ، بحيث يستطيع المحور الثنائي ، الذي يمر برؤوس ثنائي الوجوه ذات الزوايا الأكثر حدة ، ان يدور في مستوٍ أفقي . وإذا وضعت الكرة بين لبوسيّ مكثفة مستوية تولد حقلاً مقداره (٣٠٠٠ فولت/سم ، فإن المحور السابق يتجه وفق خطوط الحقل . وتساوى سماحية الكبريت في هذا المنحى $\epsilon_r = 4,6$ (وهي تساوى 3,8 و 3,6 في المنحنيين العموديين على المنحى السابق) .

ب) لنعط فكرة عن حساب الانكسار المضاعف الكهربائي لوسط غازي مؤلف

من جزيئات غير متماثلة المناحي وغير قطبية . لنسلم بأن المناحي للاستقطابية الكهربائية α_0 والمناحي الاصلية للاستقطابية الضوئية α متطابقة ، وهي الحالة السائدة في الغالب . ولنفترض كذلك ، بغية التبسيط ، ان الاستقطابية الاصلية α_z أكبر بكثير من الاستقطابيتين الاخرتين ، بحيث يمكن اهمال هاتين الاخيرتين فيكون $\alpha_z = \delta$ وفقاً للعلاقة [١١، ١] .
ليكن Ox منحنى انتشار الموجات الضوئية في الوسط (الشكل ١١ - ٣٣) ، ولنسع لتقدير القربنتين n_z و n_y . ان المحور OZ لجزيء ما يصنع مع Oz الزاوية θ ، ويمرض الحقل E_z لموجة ضوئية في الجزيء عزمياً $p_z = \alpha_z E_z \cos \theta$. ويسم هذا الجزيء في القربنة n_z بعزمه :

$$p_z = p_z \cos \theta = \alpha_z E_z \cos^2 \theta$$

فاذا كان هناك N جزيئا في واحدة الحجم ، كان لدينا (الفقرة ٩ - ٣) :

$$n_z^2 - 1 = \frac{N \alpha_z}{\epsilon_0} \overline{\cos^2 \theta} \quad [١٧، ١١]$$

حيث تساوي القيمة الوسطية :

$$\overline{\cos^2 \theta} = \frac{1}{N} (\cos^2 \theta_1 + \dots + \cos^2 \theta_N)$$

ونجد بالمثل ان :

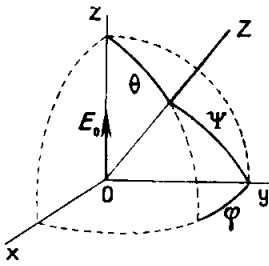
$$n_y^2 - 1 = \frac{N \alpha_z}{\epsilon_0} \overline{\cos^2 \psi} \quad [١٨، ١١]$$

حيث ψ : الزاوية التي يصنعها OZ مع Oy .

وحين لا يكون هناك حقل راكدي ، نكون كل قيم θ و ψ متساوية الاحتمال :

$\overline{\cos^2 \theta} = \overline{\cos^2 \psi} = \frac{1}{3}$ و $n_y = n_z$ ؛ ويكون الوسط متماثل المناحي . وتعطى قربيته n بالعلاقة [١٩، ٧] :

$$n^2 - 1 = \frac{N}{\epsilon_0} \alpha_z \quad [١٩، ١١]$$



الشكل ١١ - ٣٣ . حساب الانكسار المضاعف الكهربائي في حالة بسيطة

لتوجه الحقل E_0 وفق Oz . فوفقاً لما رأينا في (أ) ، ينقطع توزيع الجزيئات عن أن يكون منتظماً لأن طاقتها الكامنة تكون ثابتة لـ θ . فوفقاً للعلاقة [١٦،١١] :

$$W = -\frac{1}{2} \alpha_z^0 E_0^2 = -\frac{1}{2} \alpha_z^0 E_0^2 \cos^2 \theta \quad [٢٠،١١]$$

وكما في الشكل (١١ - ٣٣) :

$$\cos \psi = \sin \theta \cos \varphi$$

يكون لدينا :

$$\overline{\cos^2 \psi} = \overline{\sin^2 \theta \cos^2 \varphi} \quad [٢١،١١]$$

ولكن من أجل كل الجزيئات التي يصنع محورها Oz زاوية واحدة θ مع Oz ، تكون للزاوية φ قيم متساوية الاحتمال بين الصفر و 2π . ويمكن إذن أن نحسب من [٢١،١١] ، القيمة الوسطية لـ ψ بثبات θ ، أي :

$$\overline{\cos^2 \psi} = \overline{\sin^2 \theta \cos^2 \varphi} = \frac{1}{2} \overline{\sin^2 \theta} = \frac{1}{2} (1 - \overline{\cos^2 \theta}) \quad [٢٢،١١]$$

وبوضع هذه القيمة في [١٨،١١] ، ثم طرحها من [١٧،١١] نجد :

$$n_z^2 - n_y^2 = \frac{3}{2} \frac{N}{\epsilon_0} \alpha_z \left(\overline{\cos^2 \theta} - \frac{1}{3} \right)$$

ويتم حساب $\overline{\cos^2 \theta}$ بواسطة الصيغة [٢٠،٩] في الجزء الثاني وذلك بأن نعتبر ، كما في الجزء السادس ، ٤ - ١٢ د ، عن عدد جزيئات التوجيه θ بواسطة صيغة بولتزمان ، حيث تكون للطاقة الكامنة العبارة [١٦،١١] . وعندما يكون $\alpha_z^0 E_0^2$ أصغر كثيراً من kT ، ولكي هي دائماً الحالة في درجات الحرارة العادية ، نجد أن :

$$n_z - n_y = \frac{n_z^2 - n_y^2}{n_z + n_y} \simeq \frac{n_z^2 - n_y^2}{2n} \simeq \frac{N \alpha_z \alpha_z^0}{30 \epsilon_0 n k T} E^2$$

فن أجل النموذج الجزيئي المختار ، نعطي علاقات كلاوزيوس - موسوتي - Clausius

Mossotti ولورنتز - لورنتز :

$$\frac{\alpha_z}{\alpha_z^0} = \frac{n^2 - 1}{\epsilon_r - 1}$$

وبأخذ العلاقتين السابقتين بعين الاعتبار ، تستنتج من [١٥،١١] عبارة ثابتة كر :

$$C = \frac{N}{30 \epsilon_0 \lambda kT} \cdot \frac{\epsilon_r - 1}{n(n^2 - 1)} \alpha_z^2 \quad [٢٣،١١]$$

ومن أجل نموذج للجزيء أعم ، نجد أن الصيغة [٢٣،١١] صالحة أيضاً ، وذلك بأن نضع مكان α^2 القيمة δ^2 التي تساويها في الحالة الخاصة المعتبرة (انظر الصيغة [٤،١١]) .

فعل كر يمكن اذئ من تعيين مربع عدم تماثل المناحي الضوئي δ^2 للجزيئات غير القطبية بطريقة مستقلة عن الانتثار (الفقرة ١١-٢) .
وبُستنتج من العلاقات [١٧،١١] و [١٨،١١] و [١٩،١١] و [٢٢،١١] :

$$\frac{n_z^2 - n^2}{n_y^2 - n^2} = \frac{2(\overline{\cos^2 \theta} - \frac{1}{3})}{\frac{1}{3} - \overline{\cos^2 \theta}} = -2 \quad [٢٤،١١]$$

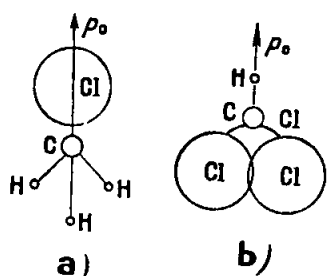
وقد تحققت الصيغة الاخيرة بالتجربة ؛ وهي تؤلف برهاناً في صالح نظرية الانكسار المضاعف بالتوجيه .

وبلاحظ ان اشارة الانكسار المضاعف الكهربائي في الاجسام التي لجزيئاتها استقطاب محرض صرف هي اشارة موجبة دوماً ، لان المنحى الذي يسعى لان يتوجه وفق منحى الحقل E_0 هو منحى الاستقطابية الضوئية العظمى .

(ج) وعندما تكون الجزيئات قطبية ، يسعى منحى العزم الدائم p_0 لأن يقترب من منحى الحقل ، وفقاً للقانون الاحصائي المدروس في الفقرة ٤ - ١٢ د من الجزء السادس . ان دراسة مراتب الكبر تدل على أن المزدوجة التي تؤثر في العزم الدائم هي بوجه عام أهم كثيراً من المزدوجة التي تؤثر في العزم

المعرض المعتبر في ب) ، والذي يصبح دوره مهماً في التوجيه p_0 في الزاوية الثلاثية لمحاو الاستقطابية الاصلية للجزيء . والحالة العامة حالة معقدة . فإذا كان للجزيء محور تناظر OZ ذو مرتبة أعلى من (٢) ، كان للعزم p_0 بالضرورة منحى هذا المحور الذي هو أيضاً منحى احدى الاستقطابيتين الاصيلتين α_x و α_z . فإذا كان $\alpha_z > \alpha_x$ ، كانت قرينة الانكسار n للوسط اكبر من n_y : ويكون الانكسار المضاعف الكهربائي حينئذ موجباً ؛ وإذا كان $\alpha_z < \alpha_x$ ، كان الانكسار المضاعف سالباً .

وتدل التجربة فعلاً على ان كل المواد التي يكون الانكسار المضاعف الكهربائي فيها سالباً هي ذات جزيئات قطبية . ويمكن استخدام نظرية زلبرشتين



الشكل ١١-٣٤ . جزيئات قطبية :

$CHCl_3$: b CH_3Cl : a

(الفقرة ١١ - ٣) دليلاً للتنبؤ بإشارة الانكسار المضاعف في مثل هذه الجزيئات . وهكذا فإن جزيء كلور الميثيل CH_3Cl (الشكل ١١ - ٣٤ a) جزيء موجب ينطبق فيه المحور الثلاثي على المحور ذي الاستقطابية الكبرى ، مع كون الذرة Cl أكثر قابلية لتغير الشكل من الذرات H .

ولهذا السبب الأخير ، يكون جزيء الكلوروفورم $CHCl_3$ سالباً (الشكل ١١ - ٣٤ b) .

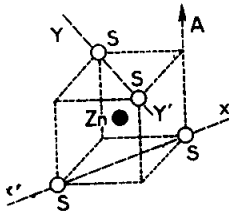
١١ - ١٨ . فعل بوكلز Pockels .

أ) ليس هذا الفعل كفعل كر ، بل هو خطي . وهو ينجم عن انزياح الأيونات في شبكة بلورية ، ولا يمكن ان يظهر إلا في البلورات التي يسبب

انعدام مركز التناظر لها ان تصبح كهرضغطية (الجزء ٦ - الفقرة ٤-١٠) .
 لناخذ كبريت التوتياء ZnS مثلاً لنا : ان مجموع ايونات الـ Zn ومجموع
 ايونات الـ S تؤلف بالتقريب شبكتين مكعبتين لها وجوه متمركزة (٢٣٠٢ - ٧)
 منازحة بقدر ربع قطر المكعب . فبتأثير الحقل E الموازي للمحور
 الرباعي A (الشكل ١١ - ٣٥) بسبب الانتقال المتعاكسان في الجهة
 للشحنتين Zn^{++} و S^{--} ، مع التشوه الميكانيكي ، (راجع الفعل الكهرضغطي ،
 الجزء ٦ ، الفقرة ٤ - ١٣) انكساراً مضاعفاً متناسباً مع E وشيهاً بالانكسار
 المضاعف في بلورة وحيدة المحور ، يكون محورها الضوئي موازياً لـ A .

ب) يمكن تبين هذه الظاهرة بواسطة تركيبة شبيهة بخلية كـ (الشكل
 ١١ - ٣٠) . فالحقل E الموازي لمنحى انتشار الضوء (الفعل الطولاني) والذي
 هو منتظم بقدر الامكان ، عندما يحدث ، اما بين قطبين لها شكل خائمين ، في
 نهايتي بلورات متطاولة ، واما بين مسريين شفافين مطبقين على بلورات قصيرة ،
 وحيث l هو مسير الضوء في البلورة ، فان فرق الطور φ عند الخروج يتناسب
 مع الجداء El ، اي مع التوتر V الذي بين القطبين . فمن اجل ZnS ، بالضوء
 المرئي تكون $\varphi = \pi$ عندما $V \simeq 12 KV$.

ج) يكون من الأنسب في غالب الأحيان استعمال فعل عوضاني ، ويمكن
 بيان انه اذا انتشر الضوء على المنحى $X'X$ (الشكل ١١ - ٣٥) كان الحقل E
 موازياً لـ $Y'Y$ ، وعامل التناسب بين $no - ne$ و E هو نفس العامل الذي في



الشكل ١١ - ٣٥ . جزء من خيطة البلورة ZnS
 (راجع الشكل ١٣ - ٣١ في الجزء ٢)

الفعل الطولاني ، ويمكن حينئذ زيادة l بدون انقاص E ، من أجل نفس القيمة لـ V .

ان بنية البلورات المكعبية ذوات الايونات العظيمة القابلية للاستقطاب مثل ZnS (او $CuCl$ ايضاً) ليست كثيرة الاستقرار ، ولا يحصل عليها الا بصعوبة بكميات وبأبعاد كافية . وتستعمل الآن صفائح من فوسفات البوتاسيوم الحمضية KH_2PO_4 (المسماة KDP) وهي بلورات تربيعية (ذوات وجوه مربعة) (وحيدة المحور) في الحالة النظامية ، وتصبح ثنائية المحور بفضل فعل بوكلز عندما تعرض الى حقل E موجه توجيهاً مناسباً .

يمكن ان تفيد هذه الصفائح (مع حقل زاوي صغير) كمكيفات في انابيب مصابيح التلفزيون (الجزء ٧ الفقرة ١٠ - ٢٤ ب) وكذلك من أجل التحكم في اجهزة الازر الدفعية (انظر الفقرة ٢٠ - ٦) .

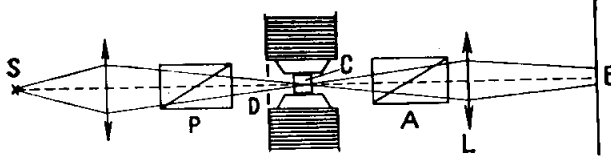
١١ - ١٩ . الانكسار المضعف المغناطيسي (كورنوت ومونون)

أ) يظهر انكسار مضعف شديد في بعض المعلقات الغروية لهيدروكسيد الحديد (الجزء الثاني ١٩ - ٥) حين تجعل في حقل مغناطيسي منتظم ^(١) ويُنظر اليها في منحنى عمودي على خطوط الحقل .

٥ - بين الشكل ١١ - ٣٦ نتيجة التجربة يوضع المائع في وعاء ذي وجهين متوازيين C (1×1 سم ^٢) ويجعل الوعاء بين قطبي مغناطيس كهربائي يولد حقل تحريض B يتراوح بين ٠.٠٤ و ٠.٠٦ فيبر/متر مربع . ويكون المقطب والمحلل متعامدين وتميل الاهتزازات التي تبرز منها بـ ٥٠° درجة على منحنى الحقل .

إن استقطاب التيار في المغناطيس الكهربائي يرافقه ظهور الضوء على الحاجز

(١) يمكن بوجه خاص أن يضاف الى محلول كلور الحديد قليل من محلول كلور الزئبق ويسخن المزيج بحدز : فيصبح المحلول عكراً بعض الشيء ومهيأ تماماً للتجارب .



الشكل ١١ - ٣٦ - دراسة الانكسار المضاعف المغناطيسي

E حيث تكون العدسة L خيالا للحظار D . وحالما يزول الحقل المغناطيسي يختفي الضوء .

إن تأثير الحقل هو في توجيه جسيمات هيدروكسيد الحديد مثل توجيه بلورة كربونات الحديد sidérose في تجربة الجزء السادس ، الفقرة ١٤ - ٩ د . وهذا هو ما تدل عليه التجارب التالية :

٥- 'تراد لزوجة المحلول بأن يضاف اليه شيء من الجيلاتين : فيظهر الانكسار المضاعف ويختفي ببطء .

٥- ندع قليلا من المحلول يتبخر في الحقل على صفيحة زجاجية : فيظل الراسب ذا انكسار مضاعف خارج الحقل .

ب) يظهر الانكسار المضاعف أيضا ، ولكن بقدر أقل كثيرا ، في عدد كبير من السوائل النقية عندما توضع في حقل مغناطيسي منتظم : وهذه هي ظاهرة كوتون وموتون Cotton et Mouton .

ويكون الانكسار المضاعف المكتسب مثل الانكسار المضاعف في بلورة أحادية محورها الضوئي يوازي منحى الحقل المغناطيسي ؛ ولا تتغير اشارته عندما تتغير جهة الحقل ولا يمكن ملاحظته الا في المناحي العمودية على الحقل ؛ إذ أن الاستقطاب الدوراني يحجبه في غير تلك المناحي (الفقرة ١٢ - ١٤) . وقد شوهد هذا الانكسار المضاعف في سوائل عضوية عديدة ، كما شوهد في سوائل غير عضوية ولكن بصعوبة أشد . وليس من الممكن قياسه في الغازات الا بمشقة زائدة . وقوانين هذه الظاهرة شبيهة بقوانين ظاهرة كرو ويمكن أن نكتبها كما يلي :

$$n_e - n_0 = c' \lambda B^2 \quad [20, 11]$$

حيث c' هي : ثابتة كوتون وموتون . وعندما يقدر B بـ wb/m^2 ويقدر λ بالمتر ، فإن c' تأخذ القيم التالية من أجل ضوء الصوديوم .

كبريت الكربون $- 5.10^{-3}$

النتروبنزين $+ 25.10^{-3}$

الاكسجين المائع ($T = 90^\circ \text{K}$) $- 53.10^{-3}$

الاكسجين تحت ١٠٠ ضغط جو $- 6.10^{-6}$

وإشارة c' هي إشارة البلورة الاحادية المكافئة . وتدل التجربة على أن c' تنقص عندما تزداد درجة الحرارة مثلما تنقص ثابتة كير .

والانكسار المضاعف المغناطيسي ، كالانكسار المضاعف الكهربائي يُعزى الى توجيه الجزيئات .

وبلاحظ الانكسار المضاعف المغناطيسي على نحو سواء في مواد ذات مغناطيسية معاكسة (CS_2 ، نتروبنزين) وفي مواد ذات مغناطيسية مسايرة (O_2) . ويكون توجيه الجزيئات في الحالة الاولى بحيث 'يحدث تعديل' مسارات الالكترونات المغناطيسية المعاكسة الاكبر قيمة (الجزء السادس ، ١٤-١١) . أما في الحالة الثانية ، فينبغي أن يؤخذ بعين الاعتبار التوجيه بحقل العزم المغناطيسي الدائم (الجزء السادس ، ١٤-١٢) .

إن الانكسار المضاعف المغناطيسي الذي تولده الحقول الممكنة التحقيق أضعف بكثير من الانكسار المضاعف الذي يمكن توليده بواسطة حقل كهربائي : لذلك كان مازودنا به من معلومات عن عدم تماثل المناحي في الجزيئات قليلاً . ولكن لنُشر الى ان عدم تماثل المناحي المغناطيسي الكبير القيمة في معظم جزيئات المواد النصفية (ميزومورفية) *mésomorphe* (بارا آزو كسيانيزول مثلاً) أضيف اليه عدم تماثل المناحي الضوئي ، يُكسب هذه الجزيئات انكساراً مضاعفاً عالياً علواً فريداً .

نماذج

(راجع ايضاً الجزء الرابع ، الفصل ١١)

١١ - أ تمر حزمة متوازية من ضوء مصباح بخار الصوديوم من مقطب ومن محلل لها استقامتا توصيل متوازيتان ، وتفصل بينها صفيحة L من الكالسيت ذات وجهين متوازيين ومحورها الضوئي A يوازي وجهيها . كم ينبغي ان يكون الثخن الأدنى e لهذه الصفيحة حتى انه من بين الخطين D للصوديوم $\Delta\lambda$ اللذين طولاً موجتيهما $\lambda = 5890 \text{ \AA}$ و $\lambda + d\lambda = 5896 \text{ \AA}$ ، لا يخرج من المحلل سوى هذه الاخيرة وتكون شدتها عظمى ؟ ان القريبتين الاساسيتين للكالسيت هما الآتيتان في جوار الخطين D :

5893	5876	$\lambda (A^\circ)$
$1,48641$	$1,48647$	n_e
$1,65836$	$1,65846$	n_o

١١ - ب يضاء موشور ولاستن بمنبع وحيد اللون من الضوء الطبيعي ، فيعطي حزمتين مستقطبتين خطياً ، واهتزازاتهما (المتساويتان في السعة) هما متعامدتان فيما بينهما ، وتتلقيان على نيكول محلل يوجه بحيث ان الحزمتين اللتين تخرجان منه تكون لهما نفس الشدة .

١ - ب يوضع بين موشور ولاستن والنيكول ، وبصورة عمودية على احدى الحزمتين صفيحة من التورمالين L ثخنها $x = 1,00 \text{ mm}$ ، مقطوعة قطعاً موازياً للمحور الضوئي وموجهة اولاً بحيث ان الاهتزازة التي تخترقها تكون موازية للمحور الضوئي ، فينبغي تدوير النيكول بزاوية قدرها $\alpha_c = 4^\circ 20'$ بقصد

تحقيق التساوي في شدتي الحزمتين اللتين تحتوقانه . ثم تدار بعدئذ بمقدار 90° صفيحة التورمالين في مستويها، ولكي يعود تساوي الشدتين ينبغي حينئذ تدوير النيكل بزاوية قدرها $20^\circ 0' = \alpha$ ابتداءً من ميمته الأصلي .

عين عاملي الامتصاص K_e و K_o للتورمالين من اجل الشعاعين : العادي والشاذ . بافتراض ان قرينتي البلور من اجل الشعاع المدروسة هما $n_e = 1,630$ و $n_o = 1,640$.

٢ . - بفضل أي ثخن x_1 يمكن لصفيحة التورمالين السابقة ان تؤلف مقطباً كافياً، اذا اشترط من اجل ذلك ان تكون شدة الشعاع العادي اصغر بـ $0,001$ من شدة الشعاع الشاذ ؟

١١ - ج ١ . - موشور من الزجاج زاويته φ وقرينته n ، تحتوقه في وضع الانحراف الاصغر حزمة متوازية من الضوء الوحيد اللون . احسب التضاعف الزاوي $d\delta$ للحزم الخارجة من الموشور عندما يعرض الى ضغط منتظم P عمودي على حرفه . تطبيق عددي : $60^\circ = \varphi$ ، $0,6 \mu m = \lambda$ ، $1,50 = n$ ، $P = 100 \text{ kg/cm}^2$.

ان ضغطاً كهذا يولد تأخراً قدره $0,5 \lambda$ في ثخن من الزجاج المحترق قدره $e = 1 \text{ cm}$. فكيف يكون الفاصل بين خيالي المنبع النقطي في المستوي المحرق لجسمية بعدها المحرق $f = 50 \text{ cm}$ ؟

٢ . - نستخدم الآن مقطب فريزل الوارد في الشكل ١١ - ٢١ . لموشوريه B و D زاوية قدرها $90^\circ = \varphi$. ويحترق الضوء الجلمة ٣ مرات . فاذا كان الضغط على قيمته السابقة فما هو الفصل الزاوي ϵ للخيالين ؟

١١ - د* . يراقب بين لوحين مقطعين متصاليين ، صفيحة زجاجية طولها $2 \text{ l} = 50 \text{ cm}$ ، ومقطعها مستطيل عرضه $a = 2 \text{ cm}$ وثخنها $e = 0,5 \text{ cm}$.

تسقط على الصفيحة حزمة من الضوء وحيد اللون ، سقوطاً ناظماً ، وتخترقها في استقامة اصغر بعد لها . وبوجه 'بعدها الاكبر بحيث يؤلف 45° مع الاهتزازة النافذة من المقطب .

ترص الصفيحة في منتصف طولها ، في ملازمة تثبت المقطع القائم O المحدد بالقطرين الصغيرين ، وأما طرفاها فيكونان طليقين ، ويعطى لها اهتزاز طولاني بقدر نصف موجة وتكون سعة اهتزاز الطرف A هي : $s = 0,25 \text{ mm}$.

للزجاج المستعمل عامل ينغ (الجزء ١ ، ٧-٣) يبلغ $E = 7500 \text{ kg/mm}^2$ ، وكتلته الحجمية $\rho = 2,5 \text{ g/cm}^3$. وهو يسلك مسلك بلورة وحيدة المحور سالبة في حالة الضغط . ويحتاج الى محولة قدرها 21 kg بالمليمتر من عرض الصفيحة لكي يولد ، بين الاهتزازات الاساسية ، فرقاً في المسير بقدر طول موجة λ من الضوء المستعمل .

يضاء حقل الرؤية بين O و A بطريقة الاضاءة المتقطعة الدورانية ، في اللحظات التي تكون فيها الصفيحة في استطالتها العظمى .

عين الابعاد عن O ، وهي x_1 ، x_2 ، x'_1 ، x'_2 ... للاهداب السوداء N والمضيئة B الملاحظة . ومثل بقيم نسبية توزع الشدة الضوئية I على الصفيحة بدلالة x . ويمكن الرجوع عند الاقتضاء الى الفصلين ٦ و ٨ من الجزء ٣ .

١١ - ا. يبلغ طول لبوسي مكثفة مستوية عائدة لخلية كرى : $l = 20 \text{ cm}$ والبعد بينها $e = 0,4 \text{ cm}$. ويجعل بينها فرق كمون $V = 10^4 \text{ v}$. والسائل هو كبريت الفحم الذي تبلغ ثابتة كرى فيه $C = 3,3 \cdot 10^{-14} \text{ m/v}^2$ بالنسبة الى خطوط قوة الحقل الكهربائي الذي نفترضه منتظماً . احسب نسبة المحورين b/a للقطع الناقص البارز .

الفصل الثاني عشر

قدرة الدوران

أ. قدرة الدوران الطبيعي

١٢ - ١. — ظواهر مختلفة في الاستقطاب الدوراني .

أ) عندما توضع صفيحة بلورية عمودية على محورها الضوئي بين نكولين متعامدين ومضادة بالضوء المتوازي ، فمن المعروف أن الضوء لا يعود بوجه عام إلى الظهور. وفي الحقيقة لا تكون الصفيحة في هذا المنحى ذات انكسار مضاعف بالمعنى المألوف للكلمة ^(١) . ومع ذلك ، فإننا إذا استعملنا ، على النحو السابق ، صفيحة من الكوارتز عمودية على محورها الضوئي وثخننا بضعة مليمترات ، فإنه تحدث ظواهر جديدة .

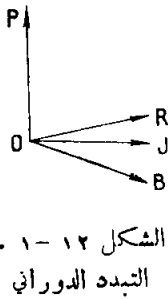
٥ - إن الانطفاء لا يستمر بوجه عام حين يستعمل ضوء وحيد اللون ، ولكن يمكن إعادة الانطفاء بإدارة المحلل بزاوية مناسبة α . فالاهتزازة البارزة من الكوارتز هي إذن اهتزازة مستقيمة ايضاً ، ولكنها دارت حول الشعاع بزاوية تساوي α أو $\alpha + k\pi$ (k عدد صحيح) . وهذا هو ما يكون الاستقطاب الدوري ، ويقال عن الاجسام التي تبدي هذه الظاهرة أنها تتمتع بقدرة دوران

(١) ولكننا سنرى انها تبدي ظاهرة الانكسار المضاعف الدائري (الفقرة

طبيعي^(١) ، أو بفعالية ضوئية .

٥ - حين يستعمل الضوء الابيض يكون الضوء العائد للظهور ملوناً ، ولا يختلف اللون عندما تدار الصفيحة في مستوياتها ، ولكنه يتغير تغيراً مستمراً حين يُدار المحلل دون ان تتمكن اطلاقاً من إحداث الانطفاء . ويعود هذا الى ان الشعاعات المختلفة المكونة للضوء الابيض تعاني دورانات مختلفة . ويتبع هذا ، أن المحلل لا يتمكن اطلاقاً من ان يطفئ غير شعاعة واحدة ويدع الشعاعات الاخرى تمر بشدات مختلفة ، (الشكل ١٢ - ١) .

إن ادارة صفيحة الكوارتز في مستوياتها لا تحدث أي تغير في الضوء النافذ ، كيفما كان الاتجاه النسبي للنكولين . وليس هناك شيء يشبه الحطين المعتدلين الخاصين بالانكسار المضاعف . وعندما تقلب الصفيحة رأساً على عقب ، فإن ذلك لا يغير شيئاً أيضاً من الظواهر الملاحظة .



٥ - حينما يكون سمك صفيحة الكوارتز مناسباً

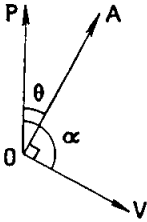
(٣,٧٥ مم) ، تدور الشعاعات الصفراء المتوسطة ٩٠° درجة . وإذا كان المحلل موازياً للمقطب ، والضوء الوارد أبيض اللون ، فانه يشاهد اللون المتمم للأصفر ، أي لون الصبغة الحساسة . ويمكن هذه الطريقة من التحقق من التوازي بين المحلل والمقطب .

٥ - عندما يكون ثخن صفيحة الكوارتز عدة سنتيمترات ، يكون هناك ، من أجل وضع معطى للمحلل ، عدد معين من الشعاعات الوحيدة اللون المنطقئة ، وهي التي تصبح الاهتزازة OV من أجلها عمودية على المقطع الاصلي

(١) ان الصفة « طبيعي » تميز ظواهر قوة الدوران المغناطيسي المدروسة هنا (الفقرة ١٢ - ١٤) .

للمحلل OA (الشكل ١٢ - ٢) ؛ فهي إذن تحقق العلاقة :

$$\alpha - \theta = (2k + 1) \frac{\pi}{2} \quad (k \text{ عدد صحيح})$$



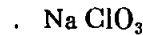
الشكل ١٢ - ٢ .
الاهتزازة V بدورانها
زاوية α ، يطفئها
المحلل A

حيث θ هي الزاوية التي يصنعها المقطب مع المحلل ؛
وتزداد زاوية الدوران α إذن بمقدار π من شعاعة الى
الآخرى . وكل هذه الألوان لا تكون موجودة في
الضوء البازر ، وإذا كان عددها كبيراً كبيراً كافياً ،
حصلنا على الضوء الابيض ذي الرتبة العليا ، الذي
يمكنه أن يعطي طيفاً مخططاً ، يمكن اسقاطه كما في
حالة الاستقطاب اللوني في الضوء المتوازي (الجزء
الرابع ، ١٤-٦) .

٥- إذا ادركنا المحلل ، بينما نشاهد الطيف المخطط ،
فإننا نرى الخطوط السوداء تنزاح في الطيف اتزاحاً متواصلًا ، وهذا ما يميز الحالة
الراهنه عن حالة الاستقطاب اللوني في الضوء المتوازي .

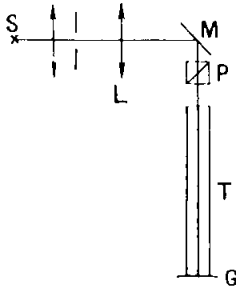
وبعد دوران للمحلل قدره 180° درجة ، تعود الخطوط الى مواضعها
الاولى نفسها .

وهناك بلورات اخرى تتمتع بقوة الدوران مثل كلورات الصوديوم



(ب) وتشاهد ظواهر مماثلة عندما نضع بين النكولين المتعامدين حوضاً
يحتوي على بعض الموائع ، مثل عطر التربنتين أو محلول السكر ، الخ . . .
وكذلك بعض الابخره (الكافور وعطر التربنتين) . ولكن هذه السوائل
تحدث من اجل الشغن نفسه وطول الموجة نفسه دورانات أقل كثيراً مما تحدثه
صفيفة من الكوارتز .

٥- إن انتشار الضوء يمكننا من ان نظهر مباشرة دوران الاهتزازة في محلول



مر كز من السكر (١ غرام في ١ سنتيمتر مكعب من المحلول) موجود في انبوب زجاجي رأسي T طوله متر واحد (الشكل ١٢-٣) . وترسل في الانبوب أشعة قد جعلتها العدسة L متوازية واستقطبت بالنكول P . فيرى حينئذ أثر الحزمة الضوئية في الانبوب عندما تكون الاهتزازة الضوئية عمودية على المستقيم الواصل من الانبوب الى العين ؛ ولا يُرى شيء عندما تكون الاهتزازة موازية لهذا المستقيم (انظر الفقرة ١٠-٢) .

الشكل ١٢-٣
توضيح الاستقطاب
الدوراني بفضل الانتثار

و حين يستعمل ضوء وحيد اللون على وجه

التقريب ، ناتج عن وضع زجاجة حمراء ، فإنه تُرى على طول الانبوب مناطق مضاءة وأخرى مظلمة ، مما يدل على أن منحى الاهتزاز يدور حول الشعاع المنتشر . وإذا أدير النكول P ، فإن النهايات العظمى والصغرى تنزاح على طول الانبوب مع بقائها متساوية الابعاد . وتُرى باستعمال الضوء الابيض ألوان تنزاح كذلك على طول الانبوب عندما يُدار النكول .

٥- يمكن الاستعاضة عن الانبوب باسطوانة من الكوارتز المدخّن ، (الذي يحتوي على جسبات صغيرة ناثرة) طولها بضعة سنتيمترات .

١٢-٢- قدرة الدوران :

أ) تتناسب زاوية الدوران α من أجل طول موجة معين ، مع التخن λ الذي يخترقه من الجسم الفعال ضوئياً .

وتتميز الفعالية الضوئية من أجل البلورات في الغالب بانحداده واحدة الطول

من دوران ، أي :

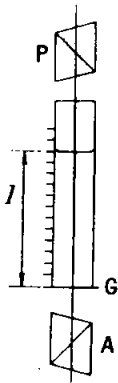
$$\alpha_0 = \frac{\alpha}{l} \quad [١١٢]$$

وتسمى α_0 قدرة الدوران ؛ وتقدر عادة بالدرجات في المليمتر .

وفي حالة السوائل النقية ، تُنسب قدرة الدوران الى كتلة ثابتة بكتابة مايلى :

$$[\alpha] = \frac{\alpha}{l_0} \quad [٢١٢]$$

حيث يدل m على الكتلة الحجمية . وتسمى $[\alpha]$ قدرة الدوران النوعي .



٥- يمكن التحقق بسهولة من تناسب α مع الثخن l ، باستعمال سائل (عطر التريبتين مثلاً) موجود في أنبوب اسطواني مدرج (الشكل ١٢ - ٤) .

ويعطي الجدول ١٢ ١ أمثلة على قيم $[\alpha]$ مقدرة بواحدات الجلمة MKS (درجة متر مربع / كغ) . ولكنها ترى في الغالب مقدرة بواحدات CGS ؛ فتكون حينئذ أكبر بقدار ١٠ مرات . وتدل التجربة على أن أن هذه القيم لا تتوقف على الحالة الفيزيائية للمادة وعلى درجة الحرارة إلا قليلاً .

الشكل ١٢-٤ . التحقق من تناسب α مع l .
(ينبغي ان نكون الزجاج G خالية من الانكسار المضاعف)

أما في المحاليل فتتوقف α على التركيز (الفقرة ١٢ - ٧) .

ب) يتغير الدوران بتغير طول الموجة ، كما وجدنا في الفقرة ١٢ - ١ أ ؛ وهذه هي ظاهر التبدد الدوراني . ويزداد الدوران من الأحمر الى البنفسجي في حالة الاجسام الفعالة الشفافة .

الجدول ١٢ - ١

قدرة الدوران النوعية $[\alpha]$ لمواد سائلة مختلفة من أجل الخط الطيفي D

المادة	الحالة	درجة الحرارة °C . °م	$[\alpha]$
الكافور	بخار	٢٢٠	٠,٧٠٣
—	سائل	٢٠٤	٠,٧٠٣
ليمونين	سائل	٢٠	١,٢٦
منتول	سائل	٣٥	٠,٤٩٧-
—	—	٤٥	٠,٤٩٨-

د) يمكن أن يحدث دوران الاهتزازة الضوئية α في اتجاهين : فاذا حدث في اتجاه دوران عقارب الساعة من أجل مشاهد يستقبل الحزمة الضوئية ، قيل عن الجسم الفعال ضوئياً أنه يميني ، وقد اصطلح أن تعدّ قدرة دورانه موجبة ؛ واذا حدث الدوران في الاتجاه المعاكس للاتجاه السابق ، قيل إن الجسم يساري وكانت قدرة دورانه سالبة .

إن قياساً واحداً للدوران الذي تحدثه مادة ما لا يمكن من التمييز بين دوران قدره α أو دوران قدره $\alpha + k\pi$ أو دوران قدره $\alpha - k\pi$ في الاتجاه المعاكس . ولكن إذا أجريت قياسات من أجل ثخانات مختلفة ، فإنه يمكن حينئذ إزالة الشك بتطبيق قانون التناسب مع الشخ .

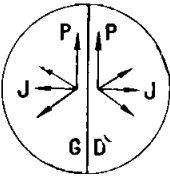
١٢ - ٣ . — الاجسام اليمينية والاجسام اليسارية .

أ) هناك عينات من الكوارتز يمينية وأخرى يسارية؛ ولقدرة دورانها القيمة المطلقة نفسها . وكذلك ، فقد عُرف أن هناك من أجل معظم الاجسام الفعالة في حالة السائل أو في حالة المحلول نوعين لها ، في شروط القياس نفسها ، قدرتا

دوران متساويتان ، ولكن من إشارتين متعاكستين : ويسمى هذان النوعان بالتقيضين أو بالضدين الضوئيين .

ب) إذا وضعت صفيحتان من الكوارتز إحداهما بجانب الأخرى ، وكان ثخن كل منهما ٣,٧٥ مم وكانت إحداهما يمينية والأخرى يسارية ، فإننا نحصل على ما يسمى ثنائي الكوارتز ، الذي يسمح بكشف دورانات صغيرة جداً .

٥ - إذا كانت اهتزازة المحلل موازية لاهتزازة المقطب P ، (الشكل ١٢-٥) ،



فانه يُرى لون الصبغة الحساسة في كلا شطري الصفيحة الثنائية . وإذا دار المحلل قليلاً في الاتجاه اليميني ، يتحول لون الصبغة الى الأزرق على اليسار وإلى الأحمر على اليمين .

ج) عند مشاهدة الطيوف المخططة (الفقرة ١٢-١)

الشكل ١٢ - ٥ .
الاهتزازات البارزة
من ثنائي الكوارتز

لندُر المحلل في اتجاه دوران عقارب الساعة . فإذا كانت الكوارتز يمينياً ، فإن الشعاعات ذات الأطوال الموجية الأقصر فالأقصر تنطفئ على التعاقب ، وذلك نتيجة

للتبديد الدوراني : فالخطوط تنزاح إذن نحو البنفسجي . وهذه هي إحدى الوسائل لتحمين إشارة الكوارتز .

١٢ - ٤ . — نظرية فرينبيل والانكسار المضاعف المرأري :

لقد افترض فرينبيل ، في سبيل تفسير دوران الاهتزاز الضوئي ، أن الموجة المستوية المستقطبة استقطاباً مستقيماً تتحلل ، عندما تنتشر في وسط فعال ، إلى موجتين مستقطبتين استقطاباً دائرياً في اتجاهين متعاكسين ، يمكنها أن تنتشرا دون تغيير في شكلها ولكن بسرعتين مختلفتين ؛ وتسمى هذه الظاهرة الانكسار المضاعف الدائري .

ليكن 0V منحى الاهتزازة المستقيمة الواردة (الشكل ١٢ - ٦ a) ،

ولتكن s_m سعتها ؛ إنها تكافئ مجموعة اهتزازتين دائريتين OD و OQ متعاكستين جهة ومتساويتين في الدور وفي السعة التي تساوي $\frac{s_m}{2}$ ؛ ومحصلة هاتين الاهتزازتين هي في الحقيقة بمائلة للاهتزازة الاولى وتجه وفق الشعاع OV ، الذي يلتقي عليه دائماً المتجهان الدائران . ويترجم هذا التكافؤ الحركي بالعلاقات التالية التي تعطي مركبات الاهتزازات وفق المحورين Ox و Oy ؛ المستقيمة :

$$x = s_m \cos \omega t$$

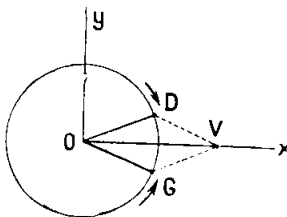
الدائرية اليمينية :

$$y = -\frac{s_m}{2} \sin \omega t \quad , \quad x = \frac{s_m}{2} \cos \omega t$$

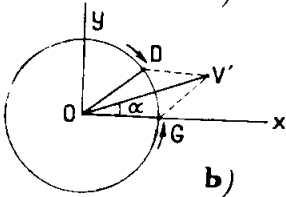
الدائرية اليسارية :

$$y = \frac{s_m}{2} \sin \omega t \quad , \quad x = \frac{s_m}{2} \cos \omega t$$

نفترض الان ان الاهتزازة OG مثلاً ، تنتشر بسرعة أكبر من سرعة



a)



b)

الشكل ١٢ - ٦

الاهتزازتان الدائريتان لفرينيل

الاهتزازة OD بحيث تكون القرينة n_g المعروفة حسب العادة بأنها نسبة السرعة في الخلاء الى السرعة في المادة ، أصغر من القرينة n_d ، فالموجة المنتشرة OG تستغرق في اختراقها الثخن l من الجسم زمناً أقل من الزمن الذي تستغرقه الموجة المنتشرة OD : وحين البروز ، عندما تنطبق OG على OV (الشكل ١٢ - ٦ b) ، لا تكون OD قد وصلت بعد إلى OV ، ويتلاقى المتجهان الآن على OV' ، النصف للزاوية \widehat{DOG} . ويكون دوران

الاهتزاز الناتج عن اختراق الجسم الفعال مساوياً :

$$\alpha = \widehat{VOV'} = \frac{1}{2} \widehat{DOG}$$

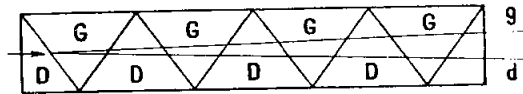
ولكن الزاوية \widehat{DOG} هي فرق الطور المقابل لفرق المسير $l (n_d - n_g) = \delta$ ؛
ويكون لدينا $\widehat{DOG} = \frac{2\pi\delta}{\lambda}$ ، ويتبع هذا ان الدوران ، وهو يساري أي في
اتجاه الاهتزاز الدائرية الامرع ، تكون له العبارة التالية :

$$\alpha = \frac{\pi}{\lambda} (n_d - n_g) l \quad [3, 12]$$

أي انه يتناسب طردياً مع l كما تدل التجربة على ذلك .

(ب) إن تكافؤ فرينيل يقابل حقيقة فيزيائية . فاذا سلطنا بأشعة الموجتين المنكسرتين المستقطبتين استقطاباً دائرياً نحصل عليهما بإنشاء هويغنس (الجزء الرابع ، ٢ - ٤) ، فالكوارتز مثلاً ، وهو ذو قرينتين مختلفتين بالنسبة لهاتين الموجتين ، ينبغي أن يحدث فيه انكسار مضاعف حتى في منحى المحور الضوئي كما ينبغي ان يكون الشعاعان المنكسران على هذا النحو مستقطبين استقطاباً دائرياً .

٥- وهذا هو ما تحقق منه فرينيل باستعمال سلسلة من مواشير الكوارتز اليميني فالبساري بالتناوب ، تؤلف صفيحة متوازية الوجهين (الشكل ١٢-٧) وتكون

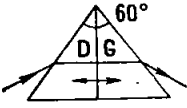


الشكل ١٢-٧. توضيح الانكسار المضاعف الدائري

مستوياتها المنصفة عمودية على المحور الضوئي ، باستثناء الموشورين في الطرفين حيث يكون المحور الضوئي عمودياً على وجه الدخول أو الخروج . إن للضوء الدائري اليميني ، كما رأينا ، قرينة تكون في الموشير اليميني D أكبر منها في الموشير

اليسارية G ؛ وينبغي ان ينحرف الشعاع العائد لذلك الضوء نحو قاعدة المواشير D . أما شعاع الضوء الدائري اليساري فينبغي أن ينحرف في الاتجاه المعاكس . وقد تبين أن الامر كذلك : إذ اننا نحصل على شعاعين بارزين مستقيمين دائرياً ، مما يمكن التحقق منه بواسطة محلل دائري (الفقرة ٧-٥) .

إذا استعمل مؤشر من الكوارتز وحيد ، زاويته 60° درجة (محور الضوئي عمودي على المستوى النصف لزاويته) ، فإن الشعاعين البارزين يصنعان زاوية مقدارها 27° ثانية . ويمكن أن يكون هذا



الشكل ١٢-٨
مؤشر كورنو

مضابقاً حين يستعمل في التصوير الطيفي ؛ ويعالج هذا الأمر ، كما بين كورنو Cornu ، باستعمال مجموعة مؤشرين زاوية كل منهما 30° درجة ، متناظرين ومتلاصقين ، أحدهما يميني والآخر يساري ، (الشكل ١٢ ٨) .

٥- يمكن إعادة تجربة الشكل ١٢ - ٧ ، بأن يستعاض عن سلسلة المواشير بجوهر طويل ذي وجهين متوازيين ، مقسم بألواح زجاجية إلى أقسام لها الاشكال نفسها التي للمواشير . وثلاً هذه الأقسام على التناوب بسائلين يميني ويساري ، قريبتهما متقاربتان (محلول السكروز ومحلول الليفولوز مثلاً) .

١٢ - ٥ . التبدد الدوراني .

(أ) إن قوة دوران الكوارتز في الطيف المرئي تتناسب ، بتقريب أولي ، عكساً مع مربع طول الموجة :

$$\alpha_0 \simeq \frac{A}{\lambda^2} \quad [٤،١٢]$$

حيث A هي مقدار ثابت . وتعبّر هذه الصيغة عن قانون بيو الخاص بالتبدد

الدوراني . فالدوران الذي تحدته صفيحة معطاة في حالة الضوء البنفسجي يساوي إذن تقريباً ثلاثة أضعاف الدوران في حالة الضوء الأحمر . والأعداد التالية تعطي فكرة عن مدى دقة قانون بيو في حالة الكوارتز .

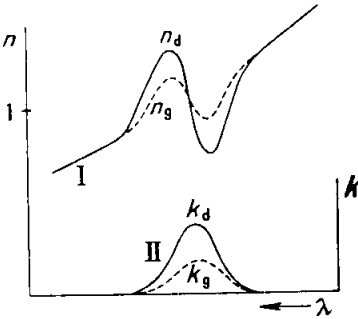
λ (Å)	4 341	5 833	6 870
α_0 dg/mm)	42,60	21,75	15,75
$\alpha_0 \times \lambda^2 \times 10^{-8}$	8,02	7,42	7,43

وهناك قانون مماثل تتبعه مواد عديدة شفافة ^(١) . وينجم عن هذا التغير السريع ، أن تتابع الألوان ، التي تشاهد عندما يتزايد ثخن صفيحة من الكوارتز العمودية على محورها ، لا يكون مماثلاً لما هو عليه في سلم نيوتن للألوان (الجزء الرابع ، ١٢ - ١٨) . فهذا السلم يوافق ، ما بين نكولين متعامدين ، التابع $\int \sin^2 \frac{\pi \delta}{\lambda} d\lambda$ معمماً على الطيف المرئي ، حيث $\delta = \text{ثابت}$. أما الشدة العائدة للاستقطاب الدوراني ، في الشروط نفسها ، فتتمثل بالعلاقة $\int \sin^2 \frac{A l}{\lambda^2} d\lambda$ وهي مختلفة تمام الاختلاف .

ب) وقد تبين أن التبدد الدوراني ، في مناطق الامتصاص ، يكون له غالباً المظهر الذي تبديه كهريئات النكل في جوار ١,١ ميكرون ، (الشكل ١٢ - ١٣) : فالدورات يزداد (بالقيمة المطلقة) بأسرع مما تدل الصيغة

(١) لقد اتفق ، بوجه خاص ، أن التبدد الدوراني يختلف أنواع السكر يساوي التبدد الدوراني للكوارتز . وينتج من ذلك أن من الممكن ، باستعمال الضوء الأبيض ، أن يكافأ الدوران الذي يحدثه محلول سكري بأن يطبق فوقه سمك معين من الكوارتز العمودي على المحور . ويمكن تحقيق سمك متغير بتكوين صفيحة مكافئة من موشورين زاويتاهما متساويتان ويمكن لأحدهما أن ينزلق على الآخر (مكافئ سولي Soleil) . إن الأجهزة التي تستخدم هذا المبدأ لمعايرة السكريات (مقاييس السكر) لم تعد تستعمل إطلاقاً .

[١٢، ٤] ، وذلك في جانب العصابة الواقعة في ناحية الأطوال الموجية الكبيرة ، ثم يتناقص الدوران ويغير إشارته عرضاً ويمر بنهاية جديدة . وتفسر هذه التغيرات تفسيراً مباشراً بتذكرنا أن قدرة الدوران سببها استقطاب دائري وبتسليمنا بأن منحنيات التبدد بالنسبة الى الشعاعين الدائريين ^(١) تتبع قانوناً



بمائلًا لقانون الفقرة ٩ - ١٢ ، ولكن بنهايات عظمى ذات قيم مختلفة (المنحنيات I ، الشكل ١٢ - ٩) . ونجد بذلك من أجل الفرق $|n_d - n_g|$ ، وبالتالي من أجل $[\alpha]$ منحنيًا له الشكل الذي تعطيه التجربة .

الشكل ١٢-٩. تبدد وامتصاص مختلفان من أجل المركبتين اليمينية واليسارية .

ج (وفي خارج مناطق الامتصاص ، ينبغي بالاستناد على ما سبق ، أن تتغير قرينتا الشعاعين الدائريين ، اللذين يمكن

لوسط الفعال أن يصدرهما دون تغيير في الشكل ، تغيراً يتبع صيغة سلمير (الفقرة ٩ - ٥) . فالتبدد الدوراني لجسم غير ملوّن ينبغي أن يكون بالإمكان تمثيله ، في مجال الطيف المرئي . بالفرق بين حدين على الشكل التالي :

$$n_d^2 = n_{d\infty}^2 + \sum_d \frac{D_d}{\lambda^2 - \lambda_d^2}$$

حيث يشير الدليل d الى الاشعة اليمينية . وتبين التجربة أن قدرة الدوران لا تتأثر بعصائب الامتصاص في ما تحت الاحمر (الشكل ١٢ - ١٠) ، وتتنبأ النظرية (الفقرة ١٢ - ١٣) بأن الدوران ينبغي أن ينعدم عندما يزداد الطول الموجي ازدياداً لا نهائياً ؛ فينبغي إذن أن نسلم في النهاية بأن n_{∞} لها القيمة نفسها

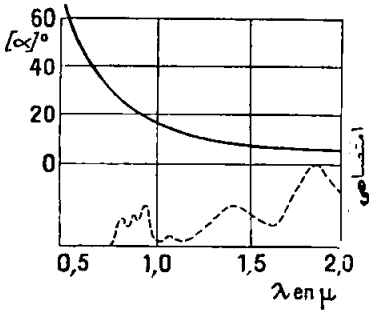
(١) أي الاهتزازتين الدائريتين (المترجم) .

من أجل الشعاعين الدائريين . ويكون لدينا حينئذ :

$$n_d^2 - n_g^2 \simeq 2 n_0 (n_d - n_g) = \sum_i \frac{D_d - D_g}{\lambda^2 - \lambda_i^2}$$

وذلك بتسليمنا بأن الأطوال الموجية الخاصة هي نفسها من أجل الشعاعين ؛ وبالتالي ، تكون لقوة الدوران الصيغة التالية :

$$\alpha = \sum_i \frac{A_i}{\lambda^2 - \lambda_i^2} \quad [٥،١٢]$$



الشكل ١٢-١٠ . قوة الدوران النوعية والامتصاص في ما تحت الأحمر (البينين Pinène) (١)

وهذه الصيغة ، التي تنسب الى درود Drude ، تؤول الى صيغة بيو [٤،١٢] عندما تكون λ_i مهملة بالنسبة الى λ . وفي الحقيقة ، لا يدخل في الحساب ، كما رأينا منذ قليل ، إلا الأطوال الموجية الخاصة الالكترونية .

الواقعة في ما فوق البنفسجي من أجل الاجسام الشفافة . ولكن ، كما في حالة الانكسار (الفقرة ٩ - ٩) ، هناك بعض الارتياح في اختيار عدد الحدود وقيم λ_i . وهكذا ، فإن التبدد الدوراني للـ كوارتز يمكن تمثيله تمثيلاً حسناً فيما بين ٠.٢٣ و ٠.٨ ميكرون بإحدى الصيغتين التاليتين :

$$\alpha_0 = (n_0 + 2) \frac{1,656}{\lambda^2 - 0,01325} \quad (\text{صالحة بدءاً من } ٠,٢ \text{ ميكرون})$$

$$\alpha_0 = \frac{9,5639}{\lambda^2 - 0,01275} - \frac{2,3113}{\lambda^2 - 0,000974} - 0,1905 \quad (\text{صالحة حتى } ٣ \text{ ميكرون})$$

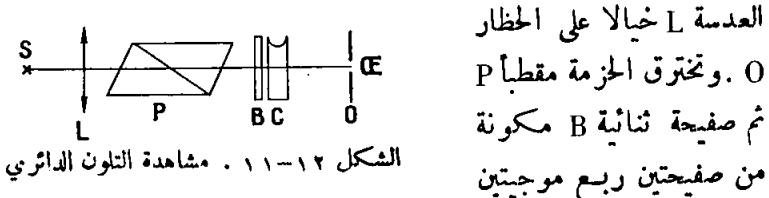
حيث α_0 هي مقدرة بالدرجات/مم وحيث يدل n_0 على القرينة العادية .

(١) البينين من الفحوم الهيدروجينية الدورية وهو المكون الاساسي للترينتين .

١٢-٦. — التلون الدائري :

(أ) إن الفروق في القيم بين شذوذات الانكسار ينبغي ، وفقاً للعلاقات العامة في الفقرة ٩-١٢ ، أن تقابل فروقاً في قيم الامتصاص من أجل الشعاعين الدائرين اليميني واليساري (المنحنيان II ، الشكل ٩-١٢) . وهذا ما تبينه التجربة التالية الشبيهة بتجربة الفقرة ٩-١١ .

٥- المنبع S في الشكل ١١-١٢ هو مصباح بخار الصوديوم الذي تكون له



خطوطها المعتدلة متعامدة ومتجهة باتجاهات تصنع 45° مع منحى الاهتزازة التي يولدها P . فيبرز من أحد شطري الصفيحة الثنائية ضوء دائري يميني ومن الشطر الآخر ضوء يساري . فالعين الواقعة خلف O والمطابقة على B من خلال الحوض C الذي يحتوي على المحلول الماص^(١) ترى شطري الصفيحة الثنائية مختلفين إضاءة . فهناك إذن تلون دائري (انظر الفقرة ١١-٩ ب) . وحين يدار المقطب بمقدار 90° درجة ، يتبادل الشطران استنارتهما .

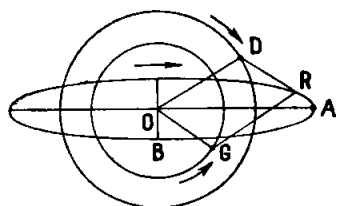
ينبغي إذن كتابة سعتي الاهتزازتين الدائريتين ، بعد اختراق ثخن l من وسط يتمتع بالتلون الدائري ، كما يلي :

(١) لتحضير هذا المحلول ، يمزج محلولان مركزان وحاران ، يحتوي أحدهما على ١٠ غرامات من طرطرات البوتاسيوم المعتدلة ، ويحتوي الآخر على ٠,٧٥ غرام من بكمرومات البوتاسيوم . ويتحول اللون إلى الأخضر . وبعد بضع ساعات ، يسخن السائل حتى الغليان . وبعد التبريد ، يمدد إلى ١٠٠ سم^٣ ، ويشاهد بسمك مقداره مستمر واحد .

$$E_d' = E_d \exp \left(-\frac{2\pi k_g l}{\lambda} \right), E_d'' = E_d \exp \left(-\frac{2\pi k_d l}{\lambda} \right) \quad [7, 12]$$

وتكون لمعاملتي الامتصاص k_d و k_g قيمتان مختلفتان . ولكن الفرق $|k_d - k_g|$ ، بخلاف ما عليه الامر في التلون المستقيم (الفقرة ١١-٩) ، لا يتجاوز بضعة أعشار أبدأ ؛ فهو على درجة كبيرة من الصغر بحيث لا يمكن من صنع مقطبات دائرية على أساس من الامتصاص الكلي لأحد الشعاعين وإنفاذ كاف من الآخر .

(ب) عندما تدخل اهتزازة مستقيمة وسطاً يتمتع بالتلون الدائري ، فإنها لا تدور فحسب كما تفعل في وسط فعال شفاف ؛ بل تتحول الى اهتزازة إهليلجية .



الشكل ١٢-١٢. تركيب
اهتزازتين دائريتين ذواتي
سعتين غير متساويتين

لنعتبر الشكل ١٢-٦ ، ولكن بسعتين غير متساويتين (الشكل ١٢-١٢) . إن المتجهين OD و OG ، اللذين محصلتهما هي OR ، يتلاقيان وفق OA عندما يكون لهما الاتجاه نفسه ، ويكون لدينا $OA = OD + OG$. ويكونان في اتجاهين متعاكسين في المنحنى العمودي على OA ، ويكون لدينا حينئذ $OB = OD - OG$. أما OA و OB فهما على

الترتيب طولاً المحور الكبير والمحور الصغير للقطع الناقص الذي هو الحل الهندسي لـ R . ويرسم هذا القطع في جهة الاهتزازة الدائرية الاقل امتصاصاً . ويضع محوره الكبير زاوية α مع المنحى O V للاهتزازة المستقيمة الواردة .

وباعتبار العلاقة [٦،١٢] ، تكون النسبة بين المحورين مساوية :

$$\begin{aligned} \frac{OB}{OA} &= \frac{OD - OG}{OD + OG} = \frac{E'_d - E'_g}{E'_d + E'_g} \\ &= \frac{\exp\left(-\frac{2\pi k_d l}{\lambda}\right) - \exp\left(-\frac{2\pi k_g l}{\lambda}\right)}{\exp\left(-\frac{2\pi k_d l}{\lambda}\right) + \exp\left(-\frac{2\pi k_g l}{\lambda}\right)} = \\ &= \frac{1 - \exp\left[-2\pi \frac{(k_d - k_g)}{\lambda} l\right]}{1 + \exp\left[-2\pi \frac{(k_d - k_g)}{\lambda} l\right]} \end{aligned}$$

فيمكن اذن تعيين الفرق $k_d - k_g$ بقياس النسبة $\frac{OB}{OA} = \text{tg} \varphi$ ، وهو ما يتم بطريقة الصفيحة ربع الموجية ، مثلاً ، (الفقرة ٧ - ٦) . ولما كان الفرق المطلوب دائماً صغيراً جداً ، فإنه يمكن الاستعاضة عن المقادير الأسية بالحدين الاولين لمنشورهما على شكل سلسلة ، فنكتب :

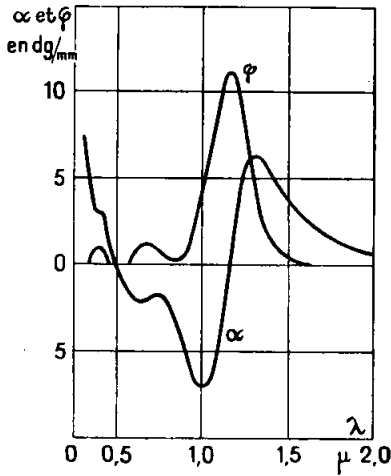
$$\text{tg } \varphi \simeq \varphi = \pi \frac{(k_d - k_g)}{\lambda} l \quad [٧,١٢]$$

فالزاوية φ تعطى اذن بصيغة شبيهة بصيغة زاوية الدوران α .
وتؤلف مجموعة ظواهر التلون الدائري والتبدد الدوراني الشاذ في مناطق الامتصاص ما يسمى فعل كوتون .

ويبين الشكل ١٢ - ١٣ المنحنين اللذين يعطيان الزاويتين α_0 و φ_0 بدلالة الطول الموجي من بداية ما فوق البنفسجي حتى بداية ما تحت الاحمر ، من أجل بلورة فعالة : $\text{Ni SO}_4 \cdot 6\text{H}_2\text{O}$.

٧-١٢ . قدرة دوران المزيج . المعابرات الاستقطائية :

(أ) ليكن τ_1 عيار مادة فعالة ضوئياً مذابة في مذيب غير فعال . فيكون



الشكل ١٢-١٣ . المقارنة بين المنحنيين
 $\alpha = f(\lambda)$ و $\phi = f(\lambda)$ من أجل البلورة
 $\text{NiSO}_4 \cdot 6\text{H}_2\text{O}$

لدينا (الجزء الثاني ١٥-٢) :

$$\tau_1 = \frac{m_1}{m}$$

حيث يدل m على كتلة المحلول الذي يحتوي على الكتلة m_1 من الجسم الفعال . ولا يتوقف τ_1 على درجة الحرارة . فإذا كانت الكتلة الحجمية للمحلول تساوي ρ ، في درجة حرارة معينة ، فإن كتلة المادة الفعالة الموجودة في واحدة الحجم ، أي التركيز الحجمي ، تساوي $\rho \tau_1 = c$. وتدل التجربة على أن الدوران الذي يحدثه طول l من المحلول له الصيغة التالية :

$$\alpha = [\alpha] \tau_1 \rho l = [\alpha] cl \quad [٨،١٢]$$

وتعتبر هذه الصيغة عن قانون بيو الخاص بالمحاليل . ويدل $[\alpha]$ ، المستقل عن l ، على قدرة الدوران النوعية للمادة في المحلول . فإذا جعلنا $\tau_1 = 1$ ، حصلنا على العبارة [٢،١٢] الخاصة بالمادة النقية .

إن الصيغة [٨،١٢] هي الأساس في المعايير الاستقطابية . فهي تمكن من تعيين c بقياس α و l ، فيما إذا كانت قدرة الدوران النوعي مستقلة عن c وعن طبيعة المذيب ، وهو ما على التجربة أن تبت فيه .

إن أكثر التطبيقات أهمية هي معايرة السكريات . لقد تبين بالفعل أن تغيرات $[\alpha]$ مع c من أجل محاليل السكروز في الماء لا تتعدى ١٥،٠٪ . ويمكن أيضاً أن تؤخذ هذه التغيرات الضئيلة بعين الاعتبار باستعمال صيغة تجريبية .

وتسمى النسبة المئوية التقريبية لكتلة السكروز التي يحتوي عليها جسم سكري (عصير الشمندر مثلاً) ، عدد الدرجات السكرية ، وهي نسبة تستنتج من قياس استقطابي يتم على محلول مائي من ذلك الجسم بإهمال تغيرات $[a]$ مع c .

فن أجل « شحنة نموذجية » اصطلاحية مقدارها ٢٦ غراماً من الجسم المذاب في ١٠٠ سم^٣ من المحلول ، ومن أجل طول لأنبوب الاستقطاب $l = 20$ cm ، يكون الدوران الحادث في الدرجة ٢٠° م ، في حالة خط الصوديوم الأصفر ، مساوياً من أجل كل درجة سكرية :

$$66,39 \times \frac{1}{100} \times \frac{26}{100} \times 20 \simeq 0,346$$

وتكون بعض مقاييس الاستقطاب مدرّجة بالدرجات السكرية ، الصالحة في شروط استعمال معينة .

ولكن هناك حالات لا يصح فيها قانون بيرو حتى ولا بتقريب أولي ، بل إن تغيرات طبيعة المذيب وتغيرات التركيز تسبب تعديلات كبيرة في قيمة $[\alpha]$. وهذا ما يحدث في حالة حمض الطرطريك مثلاً . فينبغي أن نسلّم حينئذ بأن المزيج يسبب تغيرات هامة في بنية الجزيئات الفعالة بالتفكك وبالتجمع وبتكوين روابط هيدروجينية .

ب) إذا كان لدينا مزيج من مادتين فعاليتين ، فان مجموع عياريهما τ_1 و τ_2 يساوي الواحد ؛ ونجد ، في ظل التحفظات السابقة ، أن قانون بيرو يصح أيضاً في عددٍ من الحالات وأن للدوران العبارة التالية :

$$\alpha = \rho l \{ [\alpha_1] \tau_1 + [\alpha_2] (1 - \tau_1) \}$$

ويكون الدوران مقاساً بالنسبة لواحدة الطول وواحدة الكتلة من مجموعة المادتين الفعاليتين ، مساوياً :

$$[\alpha] = [\alpha_1] \tau_1 + [\alpha_2] (1 - \tau_1) =$$

$$= [\alpha_2] + \tau_1 ([\alpha_1] - [\alpha_2]) \quad [9, 12]$$

فقدرة الدوران النوعية لمزيج من جسمين فعالين هي إذن تابع خطي لعيار أحدهما . ويمكن قياس الدوران α و m و l من حساب τ_1 و τ_2 ، شريطة أن تكون $[\alpha_1]$ و $[\alpha_2]$ معروفتين وثابتتين .

ج) إن مزيجاً من مادتين فعاليتين مذابتين في مذيب غير فعال ، يحتوي على مجهولين هما العياران τ_1 و τ_2 للمادتين ، إذ لا تعود لدينا في هذه المرة المساواة $\tau_1 + \tau_2 = 1$. ونحصل على معادلتين شبيهتين بالمعادلة [9, 12] ، (ومنها نستخرج τ_1 و τ_2) ، بأجراء قياسات الدوران النوعي $[\alpha]$ للمزيج من أجل شعاعتين ، أي :

$$[\alpha] = [\alpha_1] \tau_1 + [\alpha_2] \tau_2$$

$$[\alpha'] = [\alpha'_1] \tau_1 + [\alpha'_2] \tau_2 \quad [10, 12]$$

وليست هاتان المعادلتان مختلفتين عملياً ، لذلك لا تكون المعايير دقيقة إلا إذا كانت النسبتان $\frac{[\alpha_1]}{[\alpha'_1]}$ و $\frac{[\alpha_2]}{[\alpha'_2]}$ مختلفتين اختلافاً واضحاً ، أي إلا إذا كان التبددان الدورانيان للجسمين الفعالين مختلفين اختلافاً كافياً (أي أن يكون أحدهما على الأقل غير خاضع لقانون بيو [9, 12]) ، وليست هذه هي حالة مختلف السكريات ، ولكنها حالة مادة البينين pinène المكونة لطور التربنتين . فكل الأجزاء التي نحصل عليها بتقطير أحد هذه العطور ، مهما كان منشؤها ، هي مزيج من مركبين : بينين α اليميني ، وبينين β اليساري . والتحليل الاستقطابي لعياريهما ، الذي يتم بتطبيق العلاقتين [10, 12] ، أصح بكثير من التحليل الكيميائي في هذه الحالة .

١٢ - ٨ . — انتشار الضوء في البلورات الفعالة ضوئياً :

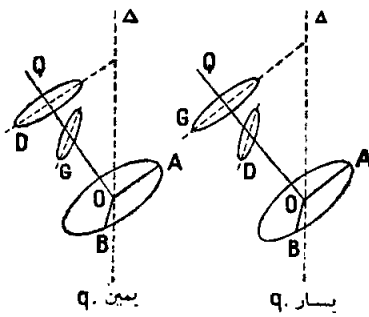
إن البلورات التي تتمتع بقوة الدوران يمكن ان تكون مكعبية أو وحيدة المحور أو ثنائية المحور .

(أ) تدل التجربة على ان قوة الدوران في البلورات المكعبية الفعالة ضوئياً ، مثل بلورات كلورات الصوديوم ، واحدة في كل المناحي كما هو الحال في الموائع ولما كانت هذه البلورات ليست ذات انكسار مضاعف ، فان سطح الموجة و سطح القرائن (الجزء الرابع ، ١١ - ٢) يتكونان من كرتين متحدتي المركز ، تقابلان الاهتزازتين الدائريتين .

(ب) أما في البلورات الاحادية المحور كالـكوارتز وطرطرات الروبيدوم وكبريتات الاستركين ، فان الانكسار المضاعف العادي يعقّد الظواهر . ففي منحنى المحور الضوئي ، حيث ينعدم هذا الانكسار المضاعف ، يفسّر الانكسار المضاعف الدائري الاستقطاب الدوراني . ولكن لانكاد نبتعد عن هذا المنحنى حتي يظهر الانكسار المضاعف العادي ويترب مع قوة الدوران . وينجم عن

ذلك انه في منحنى مائل على المحور الضوئي ، لا تكون الاهتزازتان اللتان تنتشران دوماً تغيير في شكلها ولكن بقرينتين مختلفتين ، لا تكونان دائريتين ، كما ينبغي أن تكونا في منحنى المحور الضوئي ، ولا مستقيمتين ، كما ينبغي في بلورة غير فعالة (الجزء الرابع ١١ - ١) .

بل تكونان إهليلجيتين . أما مناحي المحاور الكبيرة في القطوع الناقصة التي يمكنها أن تنتشر دوماً تغيير في شكلها



الشكل ١٢ - ١٤ .

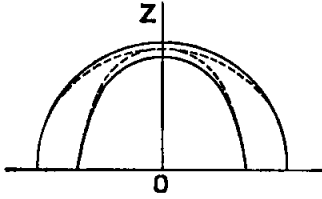
الاهتزازات الاهليلجية المنتشرة
دوماً تغيير في شكلها وفق منحنى
مائل على المحور الضوئي .

٥- يمكن التحقق من هذه الأقوال بتجربة

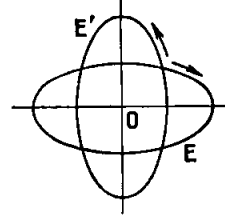
من الانكسار المضاعف الاهليلجي

ويكون الدوران على الاهتزازتين الاهليلجيتين في المجاهدين متعاكسين ويكون لهما الشكل نفسه (الشكل ١٢ - ١٦) . أما النسبة بين محوريها التي تساوى الواحد عندما تنتشران في منحنى المحور الضوئي ، فإنها تنقص بسرعة عندما تبتعدان عن هذا المنحنى . ولكن القياسات التي أجريت على الكوارتز مثلا ، أظهرت أن الاهليلجية يمكن أن تتجلى في المناحي العمودية على المحور ، بما يدل على ان هناك قوة دوران في هذه المناحي ايضا (بقيمة اضعف من قيمتها

في منحى المحور بنحو مرتين) .



الشكل ١٢ - ١٧ . مقطع
سطح الموجة في الكوارتز
بمستوى مار بالمحور الضوئي



الشكل ١٢ - ١٦ . الدوران
في الاهتزازتين الاهليلجيتين
المتساويتين يتم في اتجاهين معاكسين

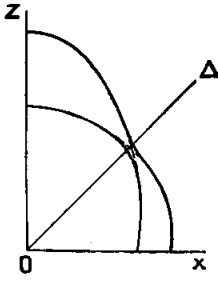
وهناك دائماً فرعان لسطح الموجة في الكوارتز ، يقابلان الاهتزازتين الاهليلجيتين ؛ والإهليج العادي ، الذي يصبح الاهتزازة العادية عندما تنتشر الموجة ناظماً على المحور ، ينتشر بسرعة أكبر من سرعة انتشار الاهليج الشاذ ، لأن الكوارتز بلورة موجبة . وتصبح هذه القطوع الناقصة دوائر فرينل عندما تصبح الموجة عمودية على المحور ، ويتبع هذا أن الكوارتز يكون يمينياً ، عندما يكون الاهليج العادي يمينياً ، ويكون يسارياً عندما يكون هذا الاهليج يسارياً .

ولا يتأثر فرعا سطح الموجة إطلاقاً على المحور الضوئي ؛ فالفرع العادي يكون متطاولاً بعض الشيء ، ويكون الفرع الشاذ مسطحاً قليلاً (الشكل ١٢ - ١٧) .

إن ما سبق يفسر بوجه خاص المظاهر التي تبديها البلورات الأحادية المحور التي تتمتع بقوة الدوران ، عندما تشاهد صفائح ذات وجهين مستويين عمودية على المحور حين إضاءتها بالضوء المتقارب (الجزء الرابع ، ١٤ - ٩) . ويظهر الشكل ١٢ - ١٨ (اللوحة ٤) صورة ظواهر التداخل الحاصلة على هذا النحو من أجل الكوارتز بين مقطب ومحلل متعامدين . لنقارن هذا مع الشكل ١٤ - ٢١ العائد للكلسيت في الجزء الرابع . ففي حالة الكوارتز يزول سواد

الصلب الأسود كلما اقتربنا من مركز الحقل ، أثر المحور الضوئي ، لان قوة الدوران تمنع انطفاء الضوء من أن يستمر . وإذا كانت الصفيحة رقيقة رقة كافية ، اصطبغت البقعة المركزية بلون منتظم حين تضاء بالضوء الأبيض ، ويتغير هذا اللون عندما يُدار المحلل ، كما رأينا في الفقرة ١٢ - ١ . أما في أطراف الحقل فإن الصورة لا تختلف إطلاقاً عن صورة الشكل العائد للكسيت ، مما يدل على أن ظاهرة الانكسار المضاعف العادي هي الظاهرة السائدة حينئذ .

(ج) وفي البلورات الثنائية المحور الفعالة كالسكروز وحمض الطرطريك ، يكون سطح الموجة و سطح القرائن معقدين تعقيداً شديداً ، ويكون فرعاهما منفصلين انفصلاً تاماً (الشكل ١٢ - ١٩) . ولا يمكن رؤية قوة الدوران إلا في منجى المحورين الضوئيين نفسها ، نظراً لكون التسامع أقل كثيراً منه في البلورات الأحادية المحور لأن الانكسار المضاعف يصبح رأساً أكثر وضوحاً



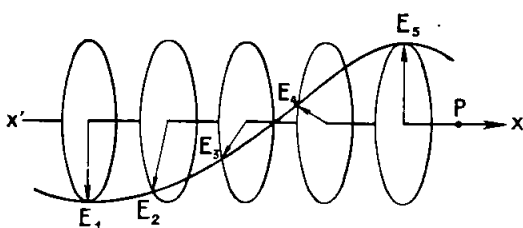
إلى حد كبير . والأمر المعجب هو أن قوتي الدوران وفق المحورين الضوئيين يمكن أن تكونا مختلفتين ، بل يمكن أن تكونا من إشارتين مختلفتين . فمثلاً في السكر العادي : تكون قوة الدوران يمينية ومساوية ٤٥° في المليمتر وفق أحد المحورين ، وتكون يسارية ومساوية ١٥٦° في المليمتر وفق المحور الآخر .

١٢ - ٩ . — تناظر الأوساط الفعالة ضوئياً .

أ) لنبحث عن النتائج التي يمكن استنتاجها من وجود قوة الدوران ، فيما يتعلق ببنية الأوساط التي تتمتع بها . من أجل ذلك ، سوف نستفيد من قوانين

التناظر (الجزء الأول ، ٧ - ١٣) : إن فقدان عناصر التناظر في ظاهرة ما يوجد في أسبابه .

عندما يخترق شعاع من الضوء المستقطب استقطاباً مستقيماً مادة فعالة ، كيفما كانت جهة الانتشار في منحى معين ، فانه تشاهد ظاهرة تناظرها تناظر



حلزوني (الشكل ١٢ -

٢٠) ، ويتميز بفقدان مركز تناظر او مستوى تناظر . وينتج من ذلك :

الشكل ١٢ - ٢٠ . انتشار اهتزازة مستقيمة في وسط يتمتع بقوة الدوران

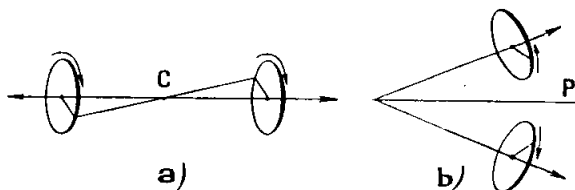
١° أن الوسط الفعال

لا يمكن أن يكون فيه

مركز تناظر ؛ وبالفعل

فمن أجل موجتين تنتشران في اتجاهين متعاكسين ، تكون جهة الدوران على الدائرتين اللتين يمثلان دوران الاهتزازة المستقيمة الواردة هي نفسها في الفراغ (الشكل ١٢ - ٢١) . إذن فجهة الدوران ستتغير بالنسبة إلى المشاهد الذي يستقبل الضوء ؛ ولكننا نعرف أن هذا يخالف الواقع .

٢° أن الوسط الفعال يمكن أن يقبل مستويّاً للتناظر ، فمن أجل موجتين



الشكل ١٢ - ٢١ . الوسط الفعال لا يمكن أن يكون فيه مركز تناظر C ؛

لكن يمكن أن يقبل مستويّاً للتناظر P

تنتشران في منحيين متناظرين بالنسبة إلى هذا المستوي P ، يكون الدوران على

الدائرتين السابقتين في اتجاهين متعاكسين (الشكل ١٢-٢١ b) . فيمكن إذن ، من حيث المبدأ ، أن نشاهد في هذين المنحنيين قوتي دوران من إشارتين مختلفتين ولكن متساويتين .

(ب) ولكي نتقصى الأمر أكثر من ذلك ، ينبغي أن نميز حالة البلورات عن حالة الموانع . فهناك في الحقيقة مركبات تتمتع بقوة الدوران وهي في الحالة البلورية كالكوارتز مثلاً ، ولكنها تفقد هذه الخاصية عندما تنصهر أو تُذاب ؛ بقوة الدوران في هذه الحالة تُعزى إلى ترتيب الذرات ترتيباً خاصاً في الحبيطة البلورية .

ويمكن للبلورات الفعالة ضوئياً أن تكون فيها عناصر التناظر . ولكن وفقاً لما بينا في الفقرة أ) ، لم يعثر قط على بلورة تتمتع بقوة الدوران ويكون للحافز (الموضوع) فيها مركز تناظر . كذلك لم يتفق أبداً أن عثر على بلورة فعالة فيها مستوى تناظر .

أما في السوائل وفي الأنجرة وفي المحاليل السائلة وهي أوساط متجانسة ومتماثلة المناحي^(١) بقوة الدوران تكون واحدة في كل المناحي . فلا يمكن أن يكون في مثل هذه الأوساط مركز تناظر ، ولا مستوى تناظر . فالجزيئات موزعة وموجهة في المائع كيفما اتفق . إذن فهذه الجزيئات هي التي ينبغي ألا يكون فيها مركز أو مستويات تناظر ، لأن تحقق هذا الشرط يجعل مجموعة الجزيئات، المتماثلة جميعها والمرتبة كيفما اتفق ، خالية في أية حالة من عناصر التناظر . وقد نُخصص اسم **اللاتناظر الجزيئي** (حسب قول باستور) لهذا الخلو من مركز التناظر ومستويات التناظر .

(١) توصف الموانع التي تتمتع بالفعالية الضوئية أحياناً بأن تماثل المناحي فيها ادعي .

ويتبع هذا ، أن كل المواد التي تتمتع بقدرة الدوران وهي في الحالة المائعة تظهرها وهي في الحالة البلورية .

ج) لقد أمكن تدوير الاهتزازة المستقيمة في الموجات المرئية المتربة بواسطة وشائع نصف قطرها (١٠) سم وخطونها (٥) سم مصنوعة من سلك ناقل ، وموضوعة في مقياس استقطاب الشكل ٩ - ١٨ في الجزء السابع .

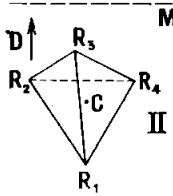
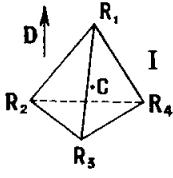
١٢ - ١٠ . — المونماظر الجزيئي :

أ) على الرغم من أن وجود قوة الدوران في مائع لا يعطي الا معلومات سلبية عن تناظر الجزيئات ، بإظهار خلوها من مركز تناظر أو مستويات تناظر ، فان دراستها مع ذلك تلعب دوراً هاماً في تعيين البنيات الجزيئية .

إن كل صيغة جزيئية لمادة فعالة ضوئياً يمكن ان يقابلها مخطط لبنيتها ومخطط خيالي (أي خيال للمخطط الاول في مرآة مستوية) ، شريطة أن تعتبر هذه الصورة أجساماً في الفراغ ، بينما لا تبيين صيغ بنية الجزيئات الا تمثيلات مستوية اصطلاحية . وهكذا كانت دراسة قوة الدوران بداية للكيمياء في الفراغ أو الكيمياء الفراغية .

ب) إن تمثيلات بعض الجزيئات الفعالة ضوئياً هي تمثيلات بسيطة بوجه خاص . فمن المعروف أن ذرة من ذرات الكربون في الماس (الجزء الثاني ، ١٣ - ١٠) محاطة بأربع ذرات أخرى تقع عند رؤوس رباعي وجوه منتظم . لنعبر إذن جزيئاً ترتبط فيه ذرة من الكربون بأربع ذرات أو رمزاً من الذرات مختلف بعضها عن بعض ، نرمز اليها بالأحرف R_1 ، R_2 ، R_3 و R_4 . فإذا كانت الارتباطات وفق ارتفاعات رباعي وجوه منتظم ، فان الجزيء لا يقبل مستويًا للتناظر لا ولا مركز تناظر ، ويمكن تمثيله بأحد مخططي الشكل ١٢ - ٢٢ ؛

و يُرى أنها غير قابلين للانطباق أحدهما على الآخر في مرآة أثرها M. وقد أمكن في الواقع الحصول على حمضي الفلوروكلور و بروماسيتيك $C F Cl Br CO_2H$ فعالٍ ضوئياً .



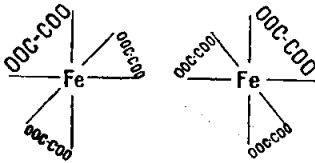
الشكل ١٢-٢٢

بنيتان محتملتان للجزيئات
 $CR_1R_2R_3R_4$

وقد أمكن في الواقع الحصول على دوران اهتزازة مستقطبة في المجال الهرتزي وذلك باعترض مسارها بمجموعة مكونة من أربع كرات نحاسية واقعة في رؤوس رباعي وجوه غير منتظم .

ومثال آخر على مظهر للبنية مركبات مثل حديد ثلاثي أكزالات البوتاسيوم ذي الصيغة $K_3[Fe(C_2O_4)_3]$. ففي الأنيون المركب $Fe(C_2O_4)_3$ ، يرتبط كل جذر من جذور الأكزاليك الثلاثة $OOOC-COO$ بالمعدن بواسطة رابطتين . فإذا سلمنا بأن الروابط الست مرتبة في شكل محاور إحداثيات متعامدة (الشكل ١٢ - ٢٣) ، كان

مخطط البنية ثنائي وجوه فيه ثلاثة أضلاع فقط مشغولة بالجذور C_2O_4 ، ويُرى أنه ينبغي أن يكون هناك ضدان ضوئيان .



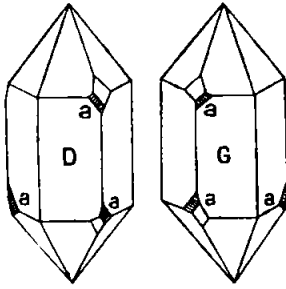
الشكل ١٢ - ٢٣ . بنيتان محتملتان
للأنيون $[Fe(C_2O_4)_3]$

إن تمثيلات عدد كبير من الجزيئات الفعالة ضوئياً وذات التركيب الشديد التعقيد والمعروفة في الوقت الحاضر لا تدخل بوجه عام في نطاق مخططات على

هذه الدرجة من البساطة (انظر الشكل ١٢-٢٦) غير أنه أمكن دائماً تمثيل فقدان مركز التناظر ومستوى التناظر ، بترتيب أجزائها المختلفة في الفراغ ترتيباً مناسباً .

١٢-١١. — بنية البلورات الفعالة ضوئياً :

(أ) في كثير من الحالات ، يفسر فقدان مركز التناظر أو مستوي التناظر في البلورات التي تتمتع بقدرة الدوران بالشكل الخارجي لهذه البلورات فشكلا الضدين الضوئيين هما عندئذ خيالا بعضها . ويمثل الشكل ١٢-١٤ هذين الشكلين في حالة الكوارتز . وقد وجد

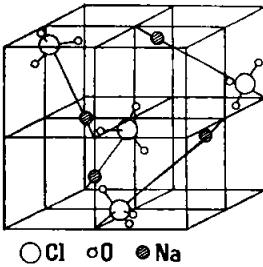


أن كل البلورات التي يتم شكلها الخارجي عن تناظر ضعيف ضعفاً كافياً هي بلورات فعالة ضوئياً ، وذلك بعد التغلب على صعوبات القياسات (الفقرة ١٢-٨ ج) . ولكن الفعالية الضوئية لا يرافقها دائماً لا تناظر كبير القدر في الشكل .

الشكل ١٢ - ٢٤ . - شكلا بلورات الكوارتز (D يميني ، G يساري) ، a تشير الى السطوح الصغيرة ، المسماة سطوح ثانوية plagièdres والتي تميز الشكلين أحدهما عن الآخر .

(ب) إن دراسة البنية البلورية بواسطة الأشعة السينية (الجزء الرابع ١٦-١٩) مكنت في كثير من الحالات من تحديد مواضع الذرات في البلورات الفعالة ضوئياً تحديداً دقيقاً .

وبين الشكل ١٢-٢٥ بنية الحبيطة الأولية لـ NaClO_3 الصوديوم .



الشكل ١٢ - ٢٥
بنية NaClO_3

فاذا نظر من أيون الصوديوم Na^+ باتجاه اقرب أيون ClO_3^- مجاور له ، فإنه يرى ان القطع المستقيمة التي تربط بين الأزواج الثلاثة الأخرى الأيونات مرتبة وفق حازون محوره هو محور البصر . وبالطبع هناك ترتيب تناظري (جسم - خيال) لترتيب الشكل ١٢-٢٥ . وعندما تذاب في الماء بلورة

NaClO_3 ، يحدث تفكك كهربائي ، ولما كانت أيونات Na^+ ذات تناظر كروي وكان لأيونات ClO_3^- ثلاثة مستويات تناظر ، فإن المحاليل لا تكون فعالة ضوئياً . وعندما تتبلور بالتبخير يتكون مزيج من البلورات اليمينية والبلورات اليسارية .

إن بنية بلورات الكوارتز الفعال أكثر تعقيداً ومع ذلك فإنه يمكن تمثيلها تخطيطياً بالترتيب الحزوني المين في الشكل ١١ - ٧ . ولكن هذا الترتيب يتلاشى عند الانصهار ، ويكون الزجاج السيليسي الناجم عن انجهاذ السائل خلوأ من قوة الدوران .

ج (لقد ذكر أن المركبات التي تتمتع بقوة الدوران في الحالة السائلة أو في حالة المحلول تعطي دائماً بلورات فعالة ضوئياً . وتبين الأعداد الواردة في الجدول (١٢ - ٢) أن قوة الدوران العائدة الى الكمية نفسها من المادة الفعالة يمكن أن تختلف قيمها في الحالة البلورية عن قيمها في حالة المحلول اختلافاً كبيراً ، بل إنها يمكن أن تكون من إشارتين متعاكستين في الحالتين . ويمكن ان يعود ذلك إلى سببين . فمن جهة أولى ، إن الجزيئات في حالة المحلول تكون ذات اتجاهات عشوائية ، وقوة الدوران المشاهدة تمثل إذن قيمة وسطية . ثم أن قوة الدوران العائدة لجزيء ما ليست على ما يظهر واحدة في كل المناحي : أي ينبغي أن يكون هناك عدم تماثل المناحي في الفعالية الضوئية . أما في البلورة حيث تكون اتجاهات الجزيئات منتظمة ، فإن قوة دوران هذه الجزيئات تكون مختلفة عن قوة دورانها وهي في حالة المحلول . ومن جهة أخرى ، يمكن أن يكون ترتيب مراكز ثقل الجزيئات في البلورة نفسه ترتيباً غير متناظر (انظر الشكل ١٢ - ٢٥ و ١١ - ٧) : وفي هذه الحالة تعزى قدرة دوران

الجدول ١٢ - ٢

قوى الدوران النوعية لبعض البلورات من أجل الخط الطيفي D

$$[\alpha] \left(\frac{\text{dg.m}^2}{\text{kg}} \right) \text{ مقدرة بـ } \left(\frac{\text{درجة متر مربع}}{\text{كغ}} \right)$$

المركب	NaClO ₃ :	الكوارتز	طرطرات الروبيديوم	حمض اليود	السكروز
نوع البلورة	: مكعبية	أحادية المحور	أحادية المحور	ثنائية المحور	ثنائية المحور
[α] للبلورة	: $\pm 1,27$	$\pm 8,20$	- 5,40	$\pm 16,00$	+ 3,66(*) - 1.11(**)
[α] للمحلول أو المصهور:	0	0	+ 0,36	0	الصيغة [٨٤١٢] مكرر
(*) وفق أحد المحورين الضوئيين (**) وفق المحور الآخر .					

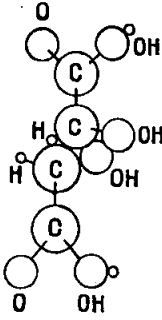
البلورة جزئياً إلى قدرة دوران عائدة للبنية^(١).

إن دراسة قوة دوران حمض الطرطريك ، الذي تكون الجزيئات فيه متوازية فيما بينها بحيث لا يكون هناك دخل لقوة دوران البنية ، تمكن من إثبات وجود عدم تماثل المناحي في الفعالية الضوئية للجزيئات .

(د) إن المعلومات التي تزودنا بها الاشعة السينية عن الضدين الضوئيين للمركب البلوري نفسه هي بوجه عام متائلة . وتتألف في الحقيقة من قياسات شدة الاهتزازات التي تنتج عن تداخل الامواج المنعرجة عند الذرات (الجزء الرابع ١٦-١١) . نعتبر مثلاً البنيتين المتناظرتين المبيتين في الشكل ١٢-٢٢ ولنسلم بأننا نشاهد الانعراج في المنحى D . إن الاهتزازة المنعرجة عند الذرة R_1 تكون متقدمة على الاهتزازة المنعرجة عند الذرات R_2 و R_3 و R_4 في حالة البنية I ، بينما تكون متأخرة بالمقدار نفسه φ في حالة البنية II خيال البنية I . ولا تتوقف شدة المحصلة على إشارة فرق الطور الناجم عن هذا الفرق في المسير وذلك وفقاً للصيغة [١٦، ٢٣] من الجزء الرابع ، ويعطي الضدان الضوئيان بقعتي انعراج متماثلتين . ولكن المحاكمة السابقة تفترض أن الاهتزازة المنعرجة عند ذرة ما تكون دائماً متفقة في الطور (أو متعاكسة) مع الاهتزازة الواردة . ولكن هذا لا يحدث (الفقرة ٩ - ٤) إلا اذا كان تواتر الاشعة السينية أكبر (أو أقل) من كل التواترات الخاصة لكل الذرات . وإذا استعملت أشعة سينية

(١) إن تأثير البنية يظهر بوجه خاص في بعض السوائل غير المتائلة المناحي (الفقرة ١١ - ٦) ، من بينها عدد كبير من إسترات الكليسترول . ففي حالة السائل المتائل المناحي ، تكون قوة دورانها من مرتبة كبر عادية . ولكنها ، في مجال معين من درجة الحرارة ، تكون طوراً كليستريا ، وسطاً بين السائل الحقيقي والبلورة ؛ وفي حالتها هذه ، يمكن أن تصل قدرة الدوران فيها الى بضعة مئات الآلاف من الدرجات في المليمتر الواحد . ومن المسلم به أن الجزيئات تكون مرتبة في حلزونية منضدة، وأن مناحي استطالاتها تكون عمودية على محور الحلزون الذي يكون بدوره عمودياً على ثخن انحصار ، وهو ثخن ينبغي أن يكون دائماً ضئيلاً (من مرتبة أ.م) حتى يمكن أن يكون ترتيب الجزيئات فيه منتظماً .

نواترها قريب من التواترات الالكترونية الخاصة لـ R_1 فإنه يحدث فرق في الطور φ_1 بين الموجة المنتثرة (المنعرجة) على هذه الذرة وبين الموجة الواردة . وحينئذ ، يكون فرق الطور الكلي في التجربة التخطيطية المتخيلة أعلاه مساوياً $\varphi_1 + \varphi$ من أجل البنية I ، ومساوياً $\varphi - \varphi_1$ من أجل البنية II ، وتكون شدة الاهتزازة المحصلة مختلفة في الحالتين .



الشكل ١٢-٢٦. بنية أيون الطرطرات اليميني

وقد أمكن ، وفقاً لهذا المبدأ ، مطبقاً على طرطرات الروبيديوم ، إثبات أن شكل أيون الطرطرات اليميني هو الذي يمثل الشكل ١٢-٢٦ .

١٢-١٢. التعديل الضوئي Racémisation

(أ) إن اذابة كميتين متساويتين من الضدين الضوئيين تعطي محلولاً لا يتمتع بقوة الدوران . وحين يتبلور مثل هذا المحلول ، فإنه يتكون مزيج من بلورات المركب d وبلورات المركب g (الفقرة ١٢-١١ ب) ؛ ولكننا نحصل غالباً على بلورات ذات شكل جديد ، لا تتمتع بقوة الدوران ، وتحتوي خيطتها الاولى على مقدارين متساويين من الجزيئات d والجزيئات g : وهذا ما يسمى المعتدل ضوئياً (راسيمي) Racémique .

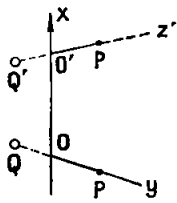
(ب) إن عدداً كبيراً من المركبات الفعالة ، المصهورة او المحلولة ، يفقد قدرة دورانها بسرعات متفاوتة ، نتيجة لتغيرات في مواضع بعض الذرات في داخل الجزيء. فمثلاً، اذا أمكن ان تتبادل الزمرتان R_3 و R_4 في الشكل ١٢-٢٢ وضعيهما ، فإنه يُرى أن الشكل I ينقلب الى الشكل II وبالعكس . واذا بُدِيَء بأحد الشكلين النقيين ، فإن التوازن الاحصائي يؤدي الى مزيج من الشكلين بمقدارين متساويين ، ويكون هذا المزيج خالياً من الفعالية الضوئية . ويطلق على مثل هذه التفاعلات (التعديل الضوئي) .

١٢-١٣ . - النظرية الذرية لفرقة الدوران الطبيعي :

(أ) يمكن انشاء نظرية في قوة الدوران ، كما في الانكسار وفي الانكسار المضاعف ، وذلك بأن تُركَّب مع اهتزازة الموجة الواردة الاهتزازة المحصلة للموجات الثانوية الصادرة عن الجزيئات التي تحرُّض الموجة الاولى فيها عزوفاً ثنائية الاقطاب .

لنفترض أن الاهتزازة الواردة اهتزازة مستقيمة : من الواضح أنه لكي تدور هذه الاهتزازة في مستويها ينبغي أن تكون للاهتزازة الثانوية مركبة مستقيمة ذات اتجاه يختلف عن اتجاه الاهتزازة الاولى ومتفقة معها في الطور . ويمكن اثبات أن هذا يحدث عندما لا تؤول العزوم المحرَّضة في الجزيئات^(١) الى ثنائي أقطاب وحيد ، كما سبق أن افترضنا ، وانما تتضمن على الاقل مركبتين واقعتين في نقطتين مختلفتين ليس لهما عين المنحى ولا عين الطور .

إن النموذج الجزيئي الأبسط والذي يحقق هذه الشروط هو نموذج كون Kohn (الشكل ١٢-٢٧) . وهو يتضمن هزاتين غير متماثلتي المناحي الى حد كبير ، إحداها P لا يمكنها ان تنزاح الا وفق المنحى Oy ، والاخرى P' لا تنزاح الا وفق O'Z' . ولا يتمتع هذا النموذج بمستوي تناظر لا ولا بمرکز تناظر . ويبدو هذا صنعياً الى حد كبير ، ولكن اذا عزونا عدم تماثل



الشكل ١٢-٢٧
نموذج كون Kuhn

المناحي في P و P' على الترتيب الى وجود ذرتين Q و Q' واقعتين كما يبين الشكل (وهو ما يتفق مع التناظر فقط) ، فإنه يُرى أن هذا النموذج مأخوذ

(١) إن ما يحل مكان الجزيء في حالة البلورة هو الخبطة العنصرية .

عن الجزيء الذي هو في شكل رباعي وجوه غير منتظم (الفقرة ١٢ - ١٠) .

ب) لنقتصر على إثبات أن الوسط المكون من جزيئات من النموذج السابق ، عندما تؤخذ بعين الاعتبار الأفعال المتبادلة بين الهزاتين P و P' ، لا تكون له قرينة الانكسار نفسها من أجل الأشعة الدائرية اليمينية واليسارية . فالاهتزازة الدائرية اليمينية المنشرة وفق Ox تكون مركبتها :

$$E_z = - E_m \sin \omega t \quad \text{و} \quad E_y = E_m \cos \omega t$$

وهي تخضع في P العزم :

$$P_y = \alpha E_m \cos \omega t$$

وتخضع في P' العزم :

$$P_z = - \alpha E_m \sin (\omega t - \varphi)$$

حيث $\varphi = \frac{2 \pi n d}{\lambda}$ ، باعتبار $d = OO'$ و n قرينة الانكسار الوسطية للوسط .
لنأخذ الآن بعين الاعتبار أفعال كواون بين P و P' . فالحقل الكهربائي الذي يولده ثنائي الاقطاب P_z في P ، تكون له مركبة وفق Oy تساوي ، فيما إذا كان $OP = OP' = l$:

$$E'_y = \frac{P_z}{4 \pi \epsilon_0} \frac{3 l^2}{(2 l^2 + d^2)^{5/2}} = A p_z$$

وتتكون للحقل الذي يولده ثنائي الاقطاب P_y في P' ، العبارة نفسها . إذن ينبغي تصحيح هبارتي p_z و p_y على النحو التالي ، عندما يؤخذ التزاج بعين الاعتبار .

$$p_y = \alpha E_m \cos \omega t + A \alpha^2 E_m \sin (\omega t - \varphi)$$

$$p_z = - \alpha E_m \sin (\omega t - \varphi) - A \alpha^2 E_m \cos \omega t$$

ولما كان φ صغيراً دائماً ، نظراً لأن الأبعاد ما بين الجزيئات d صغيرة بالنسبة الى طول الموجة λ ، فإنه يمكن افتراض $\sin \varphi = \varphi$ و $\cos \varphi = 1$. وإذا لاحظنا ، هلاوة على ذلك ، أنه يمكن كتابة :

$$\cos \omega t = \cos [(\omega t - \varphi) + \varphi] = \cos (\omega t - \varphi) - \varphi \sin (\omega t - \varphi)$$

فان الصيغ السابقة تصبح :

$$p_y = [(\alpha - A \alpha^2 \varphi) \cos \omega t + A \alpha^2 \sin \omega t] E_m$$

$$p_z = - [(\alpha - A \alpha^2 \varphi) \sin (\omega t - \varphi) + A \alpha^2 \cos (\omega t - \varphi)] E_m$$

فيرى أن جزءاً من العزم المعرض في الهزاتين يكون متفقاً في الطور مع حقل الموجة ، حيث تكون للاستقطابية العائدة اليه قيمة تساوي $\alpha - A \alpha^2 \varphi$ ؛ وأن جزءاً آخر على تربيع مع الحقل ، حيث الاستقطابية تساوي $A \alpha^2$. وبعبارة أخرى ، يمكن اعتبار الاستقطابيتين المعقدتين :

$$\alpha_z = (\alpha - A \alpha^2 \varphi) + j A \alpha^2 \quad \text{و} \quad \alpha_y = (\alpha - A \alpha^2 \varphi) - j A \alpha^2$$

ليكن N عدد الجزيئات في واحدة الحجم ؛ فإذا كانت لها كل الاتجاهات الممكنة حول O_x ، فإن الاستقطابية الوسطية وفق O_y أو O_z تساوي :

$$\frac{1}{2} (\alpha_z + \alpha_y) = \alpha - A \alpha^2 \varphi$$

وهي تكون واحدة في هذين المنحنيين ، لأن الوسط متماثل المناحي . وإذا كان للمحور OO' ، محاور الجزيئات ، أي توجيه كان ، فإن النتيجة السابقة تبقى صحيحة ولكن مضروبة بعامل عددي يساوي $\frac{1}{3}$. فيكون لدينا إذن من أجل أشعة الضوء الدائري اليميني :

$$P = \frac{N}{3} (\alpha - A \alpha^2 \varphi) E_m$$

ومنه :

$$n_d^2 - 1 = \frac{N}{3 \epsilon_0} (\alpha - A \alpha^2 \varphi) \quad [١١، ١٢]$$

ويُرى بالمثل أنه من أجل الاشعة الدائرية اليسارية ذات المركبتين :

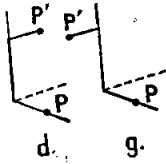
$$E_z = E_m \sin \omega t \quad \text{و} \quad E_y = E_m \cos \omega t$$

أن لقريبة الانكسار العبارة التالية :

$$n_g^2 - 1 = \frac{N}{3 \epsilon_0} (\alpha + A \alpha^2 \varphi)$$

ومنه تنتج عبارة الدوران في واحدة الطول ، الذي يحدده النموذج الجزيئي :

$$\rho = \frac{\pi}{\lambda} (n_g - n_d) \simeq \frac{\pi}{2n\lambda} (n_g^2 - n_d^2) = \frac{\pi N A \alpha^2 \varphi}{3 \pi \lambda \epsilon_0} = \frac{2 \pi^2 N A \alpha^2}{3 \epsilon_0 \lambda^2} [١٢،١٢]$$



و يُرى أن فرق الطور φ ، وبالتالي أن مسافة d غير منعقدة بين المجاويزات وفق منحى انتشار الضوء ، هو شرط ضروري لحدوث قدرة الدوران ؛ وهذه تنعدم في حالة الاطوال الموجية الكبيرة ($d \ll \lambda$) :

إن النموذج المدروس يميني ؛ وضده الضوئي يساري (الشكل ١٢ - ٢٨) : وهذا ينتج من أن إشارة حد التفاعل تكون اليميني واليساري معكوسة .

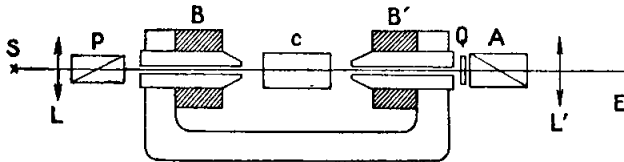
وتؤول الصيغة [١٢،١٢] الى قانون بيو [٢،١٢] عندما تكون α ثابتة ، أي عندما تكون في منطقة الشفوف (الفقرة ١٠ - ٨) .

ب . قدرة الدوران المغناطيسي

١٢ - ١٤ . ظواهر عامة .

أ) عندما يوضع جسم شفاف متماثل المناخي في حقل مغناطيسي ، فانه يظهر استقطاباً دورانياً من أجل الأشعة الضوئية التي تنتشر موازية للحقل . وهذه هي ظاهرة الاستقطاب الدوراني المغناطيسي ، التي اكتشفت من قبل فاراداي .

٥ - تجرى التجربة بسهولة بوضع حوض مليء بكبريت الكربون بين قطبي مغناطيس كهربائي نواتهما منقوبتان (الشكل ١٢ - ٢٩) ، كي تمر فيها

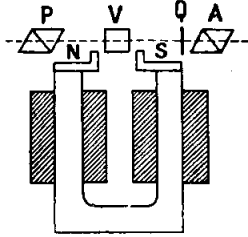


الشكل ١٢ - ٢٩ . تجربة الاستقطاب الدوراني المغناطيسي

موازية لمنحى الحقل المغناطيسي ، حزمة من الأشعة الصادرة من منبع ضوئي S ابيض ومستقطب استقطاباً مستقيماً . Q هي صفيحة ثنائية الكوارتز ذات صبغة حساسة (الفقرة ١٢ - ٢) و A هو محلل . وتكون العدسة L' خيالا ل Q في E . ويولد تهيج المغناطيس الكهربائي اختلافاً واضحاً في اللون بين شطري ثنائية الكوارتز .

٥- إذا لم يتوافر مغناطيس كهربائي ذو قطبين مثقوبين ، فإنه يمكن استعمال جهاز الشكل ١٢ - ٣٠ . يوضع متوازي مستطيلات V من الفلنت الكثيف

(الجزء الرابع ، ٢٢ - ١) بين القطبين NS المصنوعين من زاويتين من الحديد اللين ، بحيث يعلوها .
٥- ويمكن كذلك وضع الفلنت V داخل وشعة مكونة مثلاً من ملف محولة قابلة لللفك ، (الجزء السابع ٦-٦) .



الشكل ١٢ - ٣٠
تجربة الشكل ١٢ - ٢٩
تهيئة مبسطة .

(ب) يظهر الاستقطاب الدوراني المغناطيسي خارج الطيف المرئي .

٥- تحذف في التجارب السابقة الشعاعات المرئية الصادرة من القوس الفحمية S ، بواسطة محلول اليود في كبريت الكربون . وتحذف كذلك ثنائية الكوارتز . ويكون المستقبل عموداً كهربائياً ويصنع المنحنيان الاصليان ل P و A فيما بينهما زاوية 45° ؛ يضاء العمود ويعوض انحراف المقياس الغلفاني الذي ينتج من ذلك بأن تضاء اللحمة الاخرى في العمود إضاءة مناسبة . إن تهيج المغناطيس الكهربائي يولد انزياح بقعة المقياس الغلفاني .

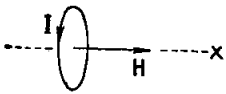
٥- إن البلازما (غاز متأين تحت ضغط منخفض ، الجزء السادس ، ١٧ - ١٢) تظهر دوراناً مغناطيسياً كبيراً في حالة الامواج السنتيمترية . ويُتحقق من ذلك بواسطة مقياس الاستقطاب الهرتزي المبين في الشكل ٩ - ١٩ من الجزء

السابع. يكون دليل الموجة حاوياً على غاز يؤثّر بوسيلة اضافية ومحاطاً بوشية تولد حقل تحريض وفق المحور .

(ج) يغير الدوران المغناطيسي جهته حين تتغير جهة الحقل المغناطيسي .

٥- في تجربة الشكل ١٢ - ٢٩ ، يحدث تبادل بين لوني شطري ثنائية الكوارتز حينما تنعكس جهة التيار في المغناطيس الكهربائي .

إن الدوران الذي يشاهد في حالة السائل المتائل المناحي يفسر تناظر السبب الذي أدى الى حدوثه أي تناظر الحقل المغناطيسي (الجزء السادس ٨ - ٩) . فهو ذو صلة مباشرة بجهة التيار الدائري الذي يولد هذا الحقل (الشكل ١٢ - ٣١) ؛ وفي الغالب تكون جهته جهة التيار وأحياناً تكون معاكسة . وينتج من ذلك أنه اذا كان الضوء ينتشر في الاتجاه $x'x$ ،



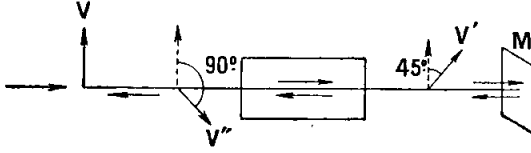
فإن المشاهد الذي يستقبل هذا الضوء يرى الدوران الى اليسار (الفقرة ١٢ - ٢) ، ولكنه يراه الى اليمين حين ينتشر الضوء وفق xx' . ففي هذا يختلف الدوران المغناطيسي عن الدوران الطبيعي الذي تكون جهته واحدة دائماً بالنسبة للمشاهد الذي يستقبل الضوء . وهذا الاختلاف في التناظر هو نفس الاختلاف بين اسطوانة دائرة واسطوانة ملتوية (الجزء الاول ٧ - ١٢) .

الشكل ١٢-٣١
العلاقة بين جهة الحقل H
وجهة التيار الذي يولده.

وينتج من ذلك بعض النتائج الهامة .

٥- إن الشعاع الضوئي الذي يخترق المادة في اتجاه ما ثم ينعكس على نفسه بواسطة المرآة M فيخترقها في الاتجاه المعاكس (الشكل ١٢ - ٣٢) يصبح دورانه مضاعفاً ، بينما ينعدم الدوران في حالة الاستقطاب الدوراني الطبيعي . فإذا دارت الاهتزازة V بمقدار ٤٥° درجة في مسارها الاول وأصبحت وفق V ، فإنها تدور أيضاً بمقدار ٤٥° درجة في الاتجاه نفسه خلال مسارها الثاني

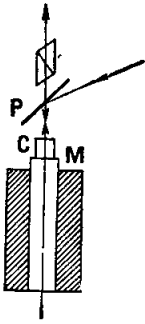
المعاكس وتصبغ وفق V'' العمودي على V .



الشكل ١٢ - ٣٢ . يتضاعف الدوران بالنسبة لشعاع يخترق المادة مرتين في جهتين متعاكستين .

وإذا كان V و V' هما المنحنيان الاصيلان لتكولين ، أحدهما قبل المادة والآخر بعدها ، فإن الضوء يخترق هذه الجلمة من التكولين (في مسيره الاول) بحيث يدور في الاتجاه من V الى V' (ويبرز بكامل شدته) ، ولكنه يتوقف في مسيره المعاكس . فإذا وقف مراقب على يمين المادة فإنه يستطيع رؤية مراقب واقف على يسارها ولكن العكس غير صحيح : فقانون رجوع الضوء العكسي (الجزء الرابع ، ١-٧) لا يصح في هذه الحالة .

يمكن مشاهدة الدوران المغناطيسي في البلورات الأحادية المحور أو الثنائية المحور في منحى المحور الضوئي دون أن يعيق الدوران الطبيعي هذه المشاهدة ، وذلك باستعمال تركيبية الشكل ١٢ - ٣٣ التي تذكر بتركيبية جهاز نورنبرغ (الجزء الرابع ، ١٤-٥) . يستعمل اللوح الزجاجي غير المفضض P مقطباً . وتوضع البلورة G على المرآة M المستندة على قطب مغناطيسي كهربائي E ، فيخترقها الضوء مرتين : وينعدم بذلك دورانها الطبيعي بينما يتضاعف دورانها المغناطيسي ، ويقاس هذا الدوران بواسطة المحلل A .



١٢ - ١٥ . — قوانين الاستقطاب الدوراني المغناطيسي : الشكل ١٢ - ٣٣

قياس الدوران

المغناطيسي في

بلورة G .

(أ) يتناسب الدوران α مع ثخن المادة الخترقة l ومع المركبة B في منحى الاشعة ، مركبة التحريض المغناطيسي

الذي يُفترض أنه منتظم . وهذان القانونان اللذان نص عليها فرديه V_{rdet} ، يُعبر عنها بالصيغة التالية :

$$\alpha = \rho Bl \quad [١٣،١٢]$$

ولا يتوقف المعامل ρ الا على طبيعة الجسم ودرجة الحرارة وطول الموجة ؛ ويسمى ثابتة فرديه أو قدرة الدوران المغناطيسي .

١° ، يكون الدوران α في معظم الاجسام باتجاه التيار الكهربائي الذي يمر في الوشائع والذي يولد الحقل المغناطيسي ؛ وتعدّ ρ حينئذ موجبة ، ويقال عن الجسم نفسه أنه موجب . وهذه هي حالة الزجاج والماء وكبريت الكربون ، الخ ..

٢° ، إلا أن هناك أجساماً يكون الدوران فيها باتجاه معاكس للتيار الممغنط ؛ وتكون ρ حينئذ سالبة . وهذه هي حالة معظم أملاح الحديد والأتربة النادرة. وترتبط الإشارة السالبة لثابتة فرديه بوجود المغناطيسية المسيرة لأن الجزيء في كل الاجسام السالبة يحتوي على ذرة ذات مغناطيسية مسيرة ؛ ولكن ليست كل الاجسام ذات المغناطيسية المسيرة سالبة .

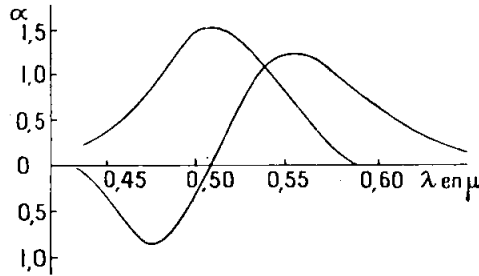
ويعبر عن الثابتة ρ عموماً بالدقائق في السنتيمتر وفي الغوص ؛ فمن أجل كبريت الكربون مثلاً حين يستعمل ضوء الصوديوم ، تساوي الثابتة ٠.٠٤٢×١٠^{-٦} دقيقة/مم غوص ، أي ٠.٠٤٢×١٠^{-٦} دقيقة لكل فيبر/متر . ولتحقيق دوران من نفس مرتبة الدوران الذي تولده صفيحة من الكوارتز عمودية على محورها ^(١) ، نحتاج الى حقل مغناطيسي شدته ٣×١٠^٥ غوص .

ب) في المعادن الحديدية المغناطيسية ، الحديد والنيكل والكوبلت ، التي أمكن دراستها في شكل طبقات رقيقة جداً ، لا يخضع الدوران ، وهو كبير جداً ، لقانون فرديه ، بل هو يتناسب مع شدة التمغنط .

(١) كان ينبغي هنا ذكر ثخن الصفيحة لان الدوران يتوقف عليه ، وبدل الحساب على أنه سنتيمتر واحد . (المترجم)

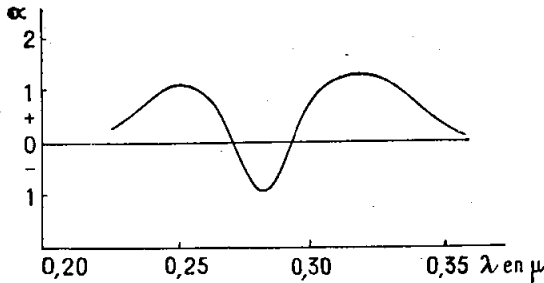
ج) تتغير قدرة الدوران المغناطيسي بتغير طول الموجة ، وهي ، كقدرة الدوران الطبيعي ، تعاني تغيرات سريعة في مناطق امتصاص الضوء المرئي وما فوق البنفسجي .

وينبغي التمييز بين حالتين للتبدد الدوراني المغناطيسي . ففي حالة الأجسام ذات المغناطيسية المسيرة ، يغير الدوران جهته على جانبي عصابة الامتصاص (الشكل ١٢ - ٣٤) ، ومظهرٌ منحنى التبدد الدوراني في هذه الحالة يشبه



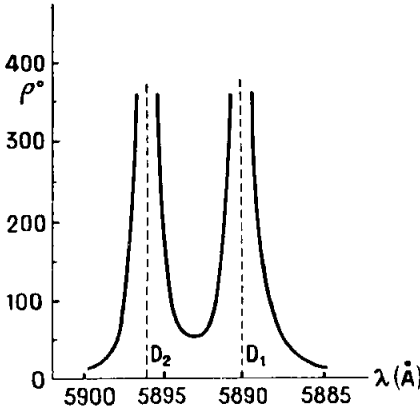
الشكل ١٢ - ٣٤ . تغيرات α بدلالة λ ، في جوار عصابة امتصاص لكأور الكوبلت (جسم ذو مغناطيسية مسيرة)

منحنى الدوران الطبيعي (الشكل ١٢ - ١٣) . أما في حالة الأجسام ذات المغناطيسية المعاكسة ، فانه يكون للدوران نفس الإشارة على جانبي منطقة الامتصاص ، ويُظهر الشكل ١٢ - ٣٥ مثلاً خاصاً بسائل عضوي ، ويعود



الشكل ١٢ - ٣٥ . تغيرات α بدلالة λ ، في جوار عصابة امتصاص للمثيل برويل سيتون (جسم ذو مغناطيسية مسيرة)

الشكل ١٢ - ٣٦ الى بخار الصوديوم ، الذي يتصف دورانه ، غير الحساس في كل الطيف تقريباً ، بأنه يأخذ قيمة كبيرة جداً في جوار خطي الامتصاص .



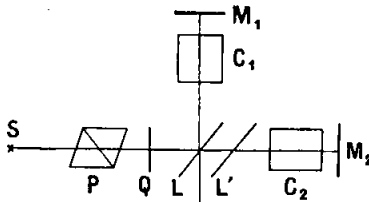
الشكل ١٢ - ٣٦ . تغيرات

n بدلالة λ ، في جوار عصابة

امتصاص (بخار الصوديوم) .

١٢ - ١٦ . الانكسار المضاعف والتلون الدائريان المغناطيسيان .

(أ) يُعزى الدوران المغناطيسي ، كالدوران الطبيعي ، الى انكسار مضاعف دائري . ولإثبات ذلك ، يضاء مقياس التداخل ميكلسون (الجزء الرابع ، ١٣ - ٣) بضوء وحيد اللون دائري يولده مقطب P وصفيحة ربع موجية Q ، (الشكل ١٢ - ٣٧) .



الشكل ١٢ - ٣٧ . قياس الانكسار المضاعف الدائري بواسطة مقياس التداخل ميكلسون

وتخفق كل من الحزمتين حوضاً مليئاً بكبريت الكربون . وتشكل أهداب زاوية هوائية . فحين يجعل أحد الحوضين تحت تأثير حقل مغناطيسي طولي ، يلاحظ انزياح للأهداب . ويُرى أن للاهتزازات

الدائرية التي تتفق جهتها مع جهة التيار الممغنط قريبة n_+ أقل من القريبة n_- ،

قرينة المانع خارج الحقل. أما الاهتزازات الدائرية المعاكسة فتكون قرينتها n_- أكبر من n . ونجد العلاقة التالية :

$$n - n_+ = n_- - n \quad \text{أو} \quad n_+ + n_- = 2n \quad [١٤، ١٢]$$

(ب) إن اختلاف قرينتي الانكسار للاهتزازتين الدائريتين المتعاكستين يكون مقروناً ، في مناطق الامتصاص ، باختلاف في الامتصاص .
 ٥- يوضع مكان الحوض C في الشكل ١٢ - ٢٩ لهب ملوّن بالصوديوم ، ويجعل المنبع S قوساً فحمية . كما يجعل المقطب والمحلل متعامدين حيناً لا تكون ثنائية الكوارتز B موجودة . فعندما لا يكون هناك تيار بمغْطٍ ، لا يمر إلا ضوء ضعيف الشدة صادر عن اللهب . أما عندما يمر التيار الممغْطٍ ، فإن الضوء يعود إلى الظهور شديداً وملوّن بالأصفر . وإذا فحص هذا الضوء بمطياف ضعيف التبديد ، فإنه يُرى أنه مكون من شعاعتي الصوديوم الصفراوين .

ويرتبط تفسير هذه التجربة بظاهرة زيمان Zeeman (الفقرة ١٣ - ٨) :
 إن اللهب الواقع في الحقل المغناطيسي يُصدر ، كما رأينا من قبل ، عوضاً عن كلٍ من الشعاعين D_1 و D_2 ، شعاعين تواترهما متقاربان جداً ومستقطبتين استقطاباً دائرياً . وحسب قانون كرشوف (الفقرة ١٣ - ٦) ، لا يمتص اللهب ، من أجل كلٍ من هذين التواترين ، إلا الاهتزازة الدائرية التي يُصدرها : فيسمح إذن بمرور الاهتزازات ذات الجهة المعاكسة الموجودة في الطيف المتصل ، ولا يستطيع المحلل أن ينقص شدتها إلا الى نصفها .

(ج) يتجلى اختلاف امتصاص الاهتزازتين الدائريتين بالاهليلجية التي تكتسبها اهتزازة مستقيمة ، كما هو الأمر في الدوران الطبيعي (الفقرة ١٢ - ٦) .

١٢- ١٧. — النظرية الذرية لقدرة الدوران المغناطيسي.

(أ) ان قدرة الدوران المغناطيسي لا ترتبط ببنية جزيئية خاصة كقدرة الدوران الطبيعي . فهي ظاهرة عامة جداً . وترتبط نظريتها بنظرية المغناطيسية المعاكسة ، المدروسة في الفقرة ١٤ - ١١ من الجزء السادس . لنعتبر وسطاً مكوناً من ذرات تتحرك الكثراناتها على محارك دائرية نصف قطرها r ، ترسمها بسرعة زاوية قدرها ω_0 . إن التوازن بين القوة النابذة المركزية وقوة الجذب المركزي المرنة التي تقع الالكترونات تحت تأثيرها ، يعطى العلاقة التالية :

$$k_0 r = m \omega_0^2 r$$

حيث k_0 هو معامل القوة المعبدة . لنفترض ، بغية التبسيط ، أن المحارك كلها عمودية على المنحى Ox ، لانتشار موجة ضوئية مستقطبة دائرياً ، يدور حقلها E بسرعة زاوية ω . ففي حالة نظام دائم ، تأخذ الالكترونات السرعة الزاوية ω وتحقق حركتها المعادلة التالية :

$$k_0 r - m \omega^2 r = e E \quad [١٥،١٢]$$

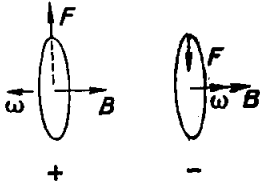
ومنه :

$$r = \frac{e E}{m (\omega_0^2 - \omega^2)} \quad [٢٦،١٢]$$

وهذه الصيغة شبيهة بالصيغة التي حصلنا عليها من أجل الحركة المستقيمة لالكترتون واقع تحت تأثير حقل موجة مستقيمة (الفقرة ٩-٤) . فعزم ثنائي الاقطاب لذرة يساوي $p = er$ ؛ والاستقطاب $P = Np$ (حيث يدل N على عدد الذرات في واحدة الحجم) . وتعطى قرينة انكسار الوسط بالصيغة التالية :

$$n^2 - 1 = \frac{N e^2}{\epsilon_0 m (\omega_0^2 - \omega^2)} \quad [١٧،١٢]$$

وإذا وضعت المادة الان في حقل تحريض مغناطيسي B مواز الى Ox في اتجاه انتشار الضوء ، فان قوة لا بلاس المؤثرة في كل إلكترون تساوي $F = \pm e B \omega r$ وتكون الاشارة موجبة عندما يتم الدوران ω في جهة التيار الذي يولد التحريض B (الشكل ١٢-٣٨) . وتخل المعادلة التالية مكان المعادلة [١٥،١٢] :



$$k_0 r - m \omega^2 r \pm e B \omega r = e E$$

ومنه :

$$r = \frac{e E}{m \left(\omega^2_0 - \omega^2 \pm \frac{e B \omega}{m} \right)}$$

الشكل ٣٨-١٢. - قوة لابلاس F

المؤثرة في إلكترون سرعته الزاوية ω
وواقع تحت تأثير التحريض B.

وتصبح الصيغة [١٧،١٢] كما يلي :

$$n^2 - 1 = \frac{N e^2}{\epsilon_0 m \left(\omega^2_0 - \omega^2 \pm \frac{e B \omega}{m} \right)} \quad [١٨،١٢]$$

فالوسط يتمتع إذن بقرينتين ، إحداهما n_+ خاصة بالاهتزازات الدائرية التي لها
جهة التيار المغنط (الإشارة + وفق الشكل ٣٨-١٢) ، والقرينة الأخرى n_- خاصة
بالاهتزازات الدائرية اليسارية . ويستنتج من [١٧،١٢] و [١٨،١٢] أن :

$$\frac{1}{n^2_+ - 1} - \frac{1}{n^2_- - 1} = \frac{1}{n^2 - 1} - \frac{1}{n^2_- - 1} = \frac{\epsilon_0 B \omega}{N e}$$

ولما كان $n_- - n$ و $n - n_+$ صغيرين بالنسبة إلى n فإنه ينتج :

$$\frac{\epsilon_0 B \omega}{N e} \simeq \frac{n^2_- - n^2}{(n^2 - 1)^2} \simeq \frac{2n (n_- - n)}{(n^2 - 1)^2} \simeq \frac{2n (n - n_+)}{(n^2 - 1)^2}$$

ومنه :

$$n_- - n = n - n_+ = \frac{(n^2 - 1)^2}{2 n} \frac{\epsilon_0 B \omega}{N e}$$

فنصل إلى الصيغتين [١٢-١٤] وتكون عبارة الانكسار المضاعف الدوراني :

$$n_- - n_+ = \frac{(n^2 - 1)^2}{m} \frac{\epsilon_0 B \omega}{N e} \quad [١٩-١٢]$$

ويكون دوران الاهتزازة الذي يساوي :

$$\alpha = \frac{\pi}{\lambda} (n_- - n_+) l \quad [٢٠-١٢]$$

في جهة الاهتزازات الدائرية الاكبر سرعة، أي الاهتزازات التي لها جهة التيار الذي يولد التحريض B (الشكل ١٢-٣٨) ، وهي تماماً حالة كل الاجسام ذات المغناطيسية المعاكسة (الفقرة ١٢ - ١٥) . وإذا كان الضوء ينتشر في الاتجاه المعاكس للتحريض B ، فان قرينة انكسار الاهتزازات اليمينية تصبح صفري القرينتين ، ويكون الدوران أيضاً في جهة التيار المغنط .

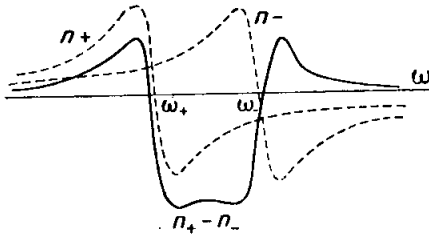
وتبين الصيغة [١٨، ١٢] أن نبض الالكترونات الخاص يصبح من أجل الاهتزازات الدائرية اليمينية :

$$\omega^2 = \omega_0^2 - \frac{e B \omega}{m}$$

ومن أجل الاهتزازات الدائرية اليسارية :

$$\omega^2 = \omega_0^2 + \frac{e B \omega}{m}$$

ويتضاعف خط الامتصاص ذو النبض ω بفضل الحقل المغناطيسي . وهذه هي ظاهرة زيمان (الفقرة ١٣ - ٨) . فإذا كان كل من النبضين ω_+ و ω_- يوافقه منحى تبديد من النمط العادي (الفقرة ٩ - ٤) فإن الشكل ١٢-٣٩ يبين أن الفرق $n_- - n_+$ ، المحسوب في منطقة الامتصاص ، المظهر الذي نجده بالتجربة .

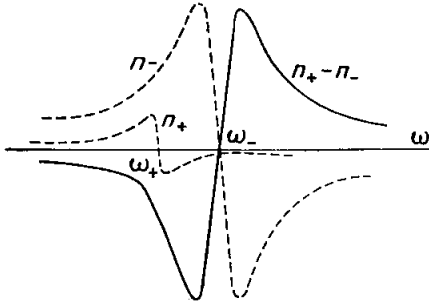


الشكل ١٢-٣٩ . تغير $n_+ - n_-$ في جوار عصابة امتصاص (جسم مغناطيسيته معاكسة) .

١٢ - ٣٩ منحنيان متآثلان ، n_+ و n_- ، أحدهما متزاح عن الآخر فحسب . فإذا كان للجزيئات عزم مغناطيسي دائم ، فن المعروف أن هذا العزم يعمل على أن يتجه موازياً لمنحى B (الجزء السادس ، ١٤ - ١٢) .

ولما كان هذا العزم ناجم عن وجود فيض من الالكترونات في كل جزء تدور في اتجاه ما ، فإن التوجيه يحدث زيادة في عدد الالكترونات N الدائرة في جهة التيار الذي

يولد الحقل B . فالقرينة n_- تزداد تبعاً لذلك وتنقص القرينة n_+ . ويمكن أن يكون الفرق $n_+ - n_-$ سالبا عند التواترات المنخفضة . إذن يمكن أن يكون دوران الاهتزازة في جهة معاكسة لجهة التيار المغنط . أضيف الى ذلك أن منحنى التبدد الدوراني يمكن أن يكون له مظهر المنحنى $n_+ - n_-$ في الشكل ١٢ - ٤٠ الذي يقابل منحنى الشكل ١٢ - ٣٤ الذي تعطيه التجربة



الشكل ١٢ - ٤٠ تغير $n_+ - n_-$ في جوار عصابة امتصاص (جسم مغناطيسية مسابرة)

(ج) إن الدوران المغناطيسي يزداد ازدياد مربع النبض وذلك وفقاً للصيغتين [١٩، ١٢] و [٢٠، ١٢] . إذن ينبغي أن يكون ضيقاً جداً في مجال الامواج الهرتزية ، ومع ذلك ، أمكن مشاهدته في جوار بعض مناطق التجاوب المقرونة بالامتصاص ، والتي تقع في هذا المجال . وفي حالة البلازما (الفقرة ١٢ - ١٤) ، تحدث الالكترونات الحرة دوراناً أكبر من ذلك بكثير . ويمكن حسابه بواسطة صيغ نظرية مشتقة من صيغ التبدد

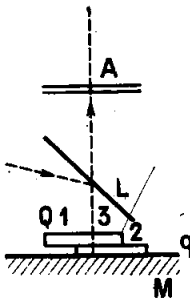
التي على شاكلة [١٧، ١٢] ، وذلك يجعل $\omega_0 = 0$. ويفسر الدوران الذي تولده البلازما بعض خواص انتشار الامواج الهرتزية في الكرة الايونية Ionosphere ، (الجزء السابع ، ٩ - ١٤) .

ونحدث المواد الحديدية المغناطيسية كالحديد α (Ferrites) (الجزء السادس ١٥ - ١٢) في منطقة الامواج السنتيمترية دوراناً مغناطيسياً هو من الكبر بحيث يمكن تحقيقه على أساس من مبدأ تجربة الشكل ١٢ - ٣٣ للصمامات التي تصدر موجة كهربية في اتجاه واحد .

تجارب

١٢ - أ إن من شأن الحساسية التفاضلية للعين (الجزء ٤ ، ١٧ - ٩) ان الارتياح المطلق ϵ على سمث اهتزازة ، عند تعيينه بواسطة محلل ذي ظليل ، يتغير تغيراً محسوساً بصورة تتناسب عكساً مع الجذر التربيعي للتدفق الضوئي F الوارد على المحلل. فعندما يقاس هكذا الدوران α الذي تولده مادة فعالة ضوئياً ، اذا كان عامل امتصاصها قيمته K ، فما هو الثخن الذي ينبغي ان يعطى لهذه المادة لكي يصبح الارتياح النسبي في القياس اصغر ما يمكن ؟

١٢ - ب يحوي جهاز نورنبرغ على صفيحة نصف شفافة L تتلقى بزاوية الورد البروسترية ، حزمة متوازية وحيدة اللون وتوجهها توجيهاً ناظمياً على مرآة M . والضوء المنعكس يخترق الصفيحة L ويسقط على محلل A .



الشكل ١٢ - أ

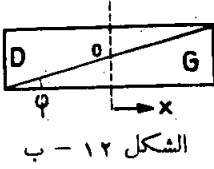
توضع على M صفيحة ربع موجية q ، يكون خطاها المعتدلان على 45° من الاهتزازة المستقيمة المنعكسة على M ، وتغطي بصفيحة من الكوارتز Q يكون وجهاها المتوازيان عموديين على المحور الضوئي

وثخنها $e = 1,5 \text{ mm}$.

يعتبر مبدأ السموت θ للمحلل ، الوضعية التي تحدث الانطفاء في حال عدم وجود Q و q . عين القيم θ_1 ، θ_2 ، θ_3 ، θ التي يحدث فيها انطفاء ، أما في وجود Q وحدها أو وجود q وحدها أو بوجود Q و q معاً . القدرة الدورانية للكوارتز بالنسبة الى الشعاع المستعملة : $\alpha_0 = 21,7 \text{ dg/mm}$.

١٢ - ج يتألف مكافئ سينارمون من موشورين متلاصقين من الكوارتز ،

أحدهما يميني والثاني يساري ولهما نفس الزاوية $\varphi = 20^\circ$ ومحوراهما الضوئيتان عموديان على الوجهين الخرين (متوازيان) . توضع هذه الجملة بين نيكولين متصلين وتتلقى عمودياً على الوجهين الخرين ، حزمة متوازية من الضوء الوحيد اللون ، تكون قدرة الدوران النوعية للكوارتر بالنسبة إليها :



الشكل ١٢ - ب

$$\alpha_0 = 21,75 \text{ dg/mm}$$

بين انه يمكن مكافأة (او تعويض) مفعول الدوران الواحد الذي تحدثه صفيحة فعالة ضوئياً ، عند ادخالها على المكافئ ، بأن ينقل عرضانياً احد الموشورين بطول x_1 يطلب حسابه .

١٢ - د احسب التفريق ϵ للاشعة المستقطبة دورانياً ، الخارجة من موشور من الكوارتر زاويته $\varphi = 60^\circ$ ومحوره الضوئي عمودي على المستوي النصف للزاوية الثنائية الكامرة ، عندما تخترقه في وضع الانحراف الاصغر حزمة واردة من الضوء الطبيعي ، مع العلم بأن الدوران الذي يولده $e = 1 \text{ mm}$ من الكوارتر هو $\alpha = 30^\circ$ بالنسبة الى الشعاع المدروسة ($\lambda = 0,5 \mu\text{m}$) وان قرينة انكساره العادية هي $n_0 = 1,55$.

١٢ - هـ تبلغ قيم القدرة الدورانية لصفيحة من الكوارتر مقطوعة عمودياً على محورها الضوئي المقادير الآتية :

$$\text{من اجل } \lambda \text{ (بـ } \mu\text{m} \text{) } = 0,40 \quad 0,48 \quad 0,56 \quad 0,589 \quad 0,69$$

$$\alpha_0 \text{ (بـ dg/mm) } = 50,5 \quad 33 \quad 24,1 \quad 21,7 \quad 15,7$$

وتدرس بواسطة كاشف الطيف ذي الشبكة الذي يعطي طيفاً عادياً ، الخطوط (التقلبات) التي تبديها صفيحة مثل هذه نضعها $e = 3,0 \text{ cm}$ بين مقطب P ومحلل A . ويوجه A بحيث يطفئ الشعاع $\lambda = 0,69 \mu\text{m}$.

١ - كم خطأ أسود ثرى بين ٠.٧٠ و ٠.٤٠ μm ؟ وكيف يكون توزيعها ؟

٢ - عند تدوير المحلل في جهة اليمين ، تتنقل الخطوط نحو البنفسجي . ماهي اشارة الكوارتز المدروس ؟

١٢ - و تقوم موجة مستوية وحيدة اللون ($\lambda = 589 \text{ mm}$) مستقطبة استقطاباً مستقيماً ، باختراق حوض محوي ، بشحن قدره $e = 5 \text{ mm}$ ، سائلاً ماصاً وفعالاً ضوئياً .

ابانت القياسات المناسبة من انه من اجل اهتزازة دائرية يسارية ، يكون الجزء الكسري النافذ هو $\tau_G = (0,297)^2$ ومن اجل اهتزازة مينية $\tau_D = (0,278)^2$.
١ - بين ان الاهتزازة البارزة هي اهليلجية ، وعين النسبة b/a لمحورها . في اية جهة يرسم هذا الاهليج ؟

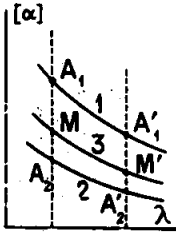
٢ - لما كان الاهليج مسطحاً جداً ، فانه يشاهد ان محوره الكبير يؤلف مع الاهتزازة الواردة زاوية $\alpha = 1,2 \text{ dg}$ ، في الجهة اليمنى ، احسب الفرق $n_D - n_G$ لقرينتي السائل من اجل الشعاعات الدائرية اليمينية واليسارية للضوء المفروض .

١٢ - ز يمثل الشكل منحنيات التبدد $f(\lambda) = [\alpha]$ للقدرة الدورانية النوعية لمختلف مزائج من اجسام صافية فعالة ضوئياً .

١ - اذا كان المنحنيان ١ و ٢ يعودان بالترتيب الى جسمين صافين ، فين ان عيار مزيج ما (المنحني ٣) يستنتج من علاقة بسيطة بين تراتيب المنحنيات الثلاثة من اجل طول موجة ما .

٢ - هنالك نموذجان من روح التربنتين التجاري ، لهما قدرتان دورانيتان

مختلفتان ، مما يبعث على التفكير بأنها تحويان عدة اجسام صافية سائلة ، فعالة ضوئياً ، موجودة بنسب مختلفة . للتحقق من ذلك يعمل منها عدة مزائج وتعين منحنيات التبدد الدوراني النوعي لثلاثة منها على الاقل .



ولدى اخذ الترتيب M, N, P و M', N', P' ، من اجل طولين موجيين ما : λ و λ' من هذين المنحنيين ، تبين ان المستقيمات MM' ، NN' ، PP' هي متلاقية . فاذا قبلنا بأن المخاليط (المزائج) تتبع قانون بيو ، فيطلب برهان

انه يمكن قبول انها تتألف من نفس الجسمين الصافين . الشكل ١٢ - ج

٣ - ان الاجسام الصافية الفعالة ضوئياً ، هي احياناً (راسمية جزئياً) اي متعادلة ضوئياً بصورة جزئية ، اي انها مخاليط من ضدين ضوئيين . برهن بأنه في هذه الحالة ما يميز الجسم هو تبدده الدوراني لا دورانه .

١٢ - ج يراد التعويض عن دوران اهتزازة ضوئية مستقيمة احدثتها صفيحة من الكوارتز يمينية عمودية على المحور الضوئي ، باعطائها دوراناً مغناطيسياً مساوياً ومعاكساً في الجهة . ولذلك يوضع بين المقلب والمحلل المتصاليين ، صفيحة الكوارتز ، يتبعها انبوب يحوي كبريت الفحم ، وفقاً لمحور ملف حلزوني طويل جداً . احسب الشدة I للتيار اللازم للتعويض .

هل يمكن بهذه الطريقة التعويض عن دوران الكوارتز اليساري ؟

يحوي الملف على $n=2000$ حلقه من السلك في كل متر من طول الملف . ويبلغ دوران صفيحة الكوارتز التي نخنها $e=1\text{ mm}$ ، زاوية قدرها $21^\circ 42'$ من اجل الشعاع المستخدمة . تبلغ ثابتة فردة لكبريت الفحم $\rho=0,042$ دقيقة في السنتيمتر والغوص و يبلغ طول الانبوب $l=20\text{ cm}$.

١٢ - ط تجنباً للقياس المباشر للحقل المغناطيسي لدى تعيين الدوران

المغناطيسي ، يوضع سائل في انبوب طويل محاط بملف قصير صغير القطر له N لفة يسري فيها تيار شدته I . اعط عبارة القدرة الدورانية M للسائل (استخدم نظرية أمبير بمراجعة الجزء ٦ ، الفقرة ٩ - ٨) .

١٢ - ي يوضع كبريت الفحم في حقل مغناطيسي $B = 1 \text{ tesla}$. احسب من اجل ضوء الصوديوم (الذي تبلغ فيه ثابتة فردة القيمة $\alpha = 0,042$ دقيقة بالسلم وبالغوص) فرق القريبتين من اجل الشعاعين الدائريين المنتشرين في استقامة الحقل .

هـسـابـوـسـفـالـلـمـوـسـي

* * *

متاح للتحميل ضمن مجموعة كبيرة من المطبوعات من صفحة

مكتبتي الخاصة

على موقع ارشيف الانترنت

الرابط

https://archive.org/details/@hassan_ibrahem

محتويات الكتاب

الصفحة

٨	مقدمة المؤلفين
ز	أهم رموز المقادير المستعملة
١	جدول الشعاعات الكهربائية
٢	جدول التصنيف الدوري للعناصر
	الفصل الأول - الاشعاع والمادة
٣	١-١ - الاضواء البسيطة والمركبة المرئية وغير المرئية
٥	١-٢ - التوهج والتألق
٦	١-٣ - النظرية الكهربائية
٨	١-٤ - الضوء في الاوساط المادية
١٠	١-٥ - قصور النظرية الكهربائية
١٣	١-٦ - مبادئ النظرية التقليدية لعلم الضوء الجزيئي
١٦	١-٧ - تدخل مقادير الكم والبنيات الذرية
١٨	١-٨ - اشعاعات مانحت الاحمر
٢٠	١-٩ - الشعاعات الهرتزية ؛ وصلها بما تحت الاحمر
٢١	١-١٠ - شعاعات ماتحت البنفسجي
٢٣	١-١١ - الاشعة السينية - وصلها بما فوق البنفسجي
	القياسات المتعلقة بالضوء
	الفصل الثاني - سرعة الضوء
٢٩	٢-١ - ملاحظات تمهيدية
٣١	٢-٢ - خسوف نوابع المشتري

الصفحة

٣٣	٣-٢ - زيغ النجوم
٣٤	٠٤-٢ - طريقة الدولاب المسنن
٣٦	٠٥-٢ - طريقة المرآة الدائرية
٣٨	٠٦-٢ - استعمال فعل كبير
٣٩	٠٧-٢ - سرعة انتشار الاشارات الكهربائية
٤١	٠٨-٢ - القياسات التي تستعمل الامواج المستقرة
٤٢	٠٩-٢ - استنتاجات متعلقة بقيمة c
٤٣	٠١٠-٢ - سرعة الضوء في المادة الساكنة
٤٤	٠١١-٢ - سرعة الضوء في المادة المتحركة
٤٨	٠١٢-٢ - تجربة ميكلسون ومورلي
٥٣	تمارين

الفصل الثالث - القياسات العائدة للانكسار

٥٧	٠١-٣ - تعاريف . طرق القياسات
٥٩	٠٢-٣ - تحويلات القرائن مع درجة الحرارة ومع الضغط
٦٠	٠٣-٣ - تحويلات القرائن مع طول الموجة . الحصر
٦٢	٠٤-٣ - استعمال موشور في وضع الانحراف الاصغر
٦٧	٠٥-٣ - طرائق أخرى للانحراف
٦٩	٠٦-٣ - مقياس الانكسار ذو الزاوية الحدية
٧٣	٠٧-٣ - القياسات التفاضلية بالطرائق السابقة
٧٥	٠٨-٣ - القياسات بالغمس المتجانس
٧٥	٠٩-٣ - قرائن انكسار البلورات
٧٧	٠١٠-٣ - قياسات الانكسار التداخلية

الصفحة

- ٧٩ ٠١١-٣ - قياس التحولات الموضعية للقرينة
٨٢ تمارين

الفصل الرابع - كشف الطيف

- ٨٥ ٠١-٤ - تعاريف وتصنيف
٨٧ ٠٢-٤ - فصل الشعاعات - المرشحات
٩٠ ٠٣-٤ - استقبال الشعاعات المختلفة
٩٢ ٠٤-٤ - مبدأ كواشف الطيف ذوات المواشير - التبديد والحل
٩٨ ٠٥-٤ - اختيار عناصر كاشف الطيف ذي الموشور
٠٦-٤ - كواشف الطيف ذوات الرؤية المباشرة والانحراف الثابت
١٠٠ والتسديد الذاتي
١٠٤ ٠٧-٤ - مبدأ كواشف الطيف ذوات الشبكة
١٠٧ ٠٨-٤ - كواشف الطيف ذوات الشبكة : أمثلة عن تحقيقها
١٠٩ ٠٩-٤ - فائدة القياسات التداخلية
١١١ ٠١٠-٤ - الاستعمالات الحديثة لمقاييس التداخل في القياس الطيفي
١١٤ ٠١١-٤ - الحل والتألق في قياس الطيف
١١٧ ٠١٢-٤ - كواشف الطيف لما فوق البنفسجي
١١٩ ٠١٣-٤ - كشف طيف الاشعة السينية
١٢٤ ٠١٤-٤ - كواشف الطيف لما تحت الاحمر
١٢٧ ٠١٥-٤ - كشف الطيف المرئوي
١٢٩ ٠١٦-٤ - عرض الخطوط الطيفية وتوقعدها
١٣٣ ٠١٧-٤ - ملاحظات على طبيعة الضوء الابيض
١٣٦ ٠١٨-٤ - القياس الطيفي الدقيق

- ١٣٧ ١٩-٤ - المعيار الأولي لأطوال الموجة ونسبته للمتر
١٤٢ تمارين

الفصل الخامس - القياسات الضوئية

والقياسات الضوئية الطيفية

- ١٤٩ ١-٥ - معلومات عامة

أ - القياسات الابصارية للشدة الضوئية

- ١٥٠ ٢-٥ - الأقدار الفوتومترية
١٥٧ ٣-٥ - الوحدات الفوتومترية
١٥٩ ٤-٥ - الطرق المختلفة لتدريج الضوء
١٦١ ٥-٥ - الرقاع الفوتومترية
١٦٤ ٧-٥ - دقة القياسات . المنابع العيارية
١٦٤ ٨-٥ - القياس الابصري للشدات الضوئية . التوزيع الفراغي
١٦٧ ٨-٥ - معياريات الشدة الضوئية
١٦٩ ٩-٥ - القياس الابصري للتدفق الضوئي
١٧١ ١٠-٥ - القياس الابصري للاستتارة والمعان
١٧٣ ١١-٥ - عوامل الانعكاس والنفاذ (التوصيل) والامتصاص
١٧٦ ١٢-٥ - الانتثار ، عامل المعان ، الامتصاص الظاهري
١٧٩ ١٣-٥ - قياس شدة الضوء المختلف الألوان
١٨١ ١٤-٥ - الأقدار الفوتومترية « الوحيدة اللون »
١٥-٥ - الفعاليات الضوئية ، الملاحظ (المراقب) الوسطي للجمعية
١٨٢ الدولية للإنارة

١٨٦ ١٦-٥ - نقص الاصطلاحات الفوتومترية

ب - استعمال المستقبلات الفيزيائية

١٨٦ ١٧-٥ - الأقدار والوحدات الطاقة

١٩٠ ١٨-٥ - المستقبلات الحرارية

١٩٣ ١٩-٥ - قياسات الشدة الضوئية بواسطة التصوير الضوئي

١٩٦ ٢٠-٥ - المستقبلات الكهروضوئية

١٩٨ ٢١-٥ - القياسات الفيزيائية لشدة الضوء

ج - القياسات الطيفية لشدة الضوء

٢٠٠ ٢٢-٥ - غايات القياسات الطيفية لشدة الضوء

٢٠١ ٢٣-٥ - المقاييس الطيفية التصويرية لشدة الضوء

٢٠٣ ٢٤-٥ - المقاييس الطيفية الإبصارية لشدة الضوء

٢٠٤ ٢٥-٥ - مقياس الشدة الطيفي الكهروضوئي ذو الموحد اللوني من

الزجاج أو من الكوارتز

٢٠٦ ٢٦-٥ - مقاييس الشدة الطيفية لما تحت الأحمر

٢٠٨ مقارن

الفصل السادس - الألوان وقياسها

٢١٤ ١-٦ - ضرورة تمييز فيزيائي للألوان

٢١٦ ٢-٦ - أسس قياس الألوان الابصري

٢١٧ ٣-٦ - الاحتياطات اللازمة للحصول على نتائج مترابطة ،

المراقبون النظاميون

أ - ألوان مختلف الاضواء

- ٢١٩ ٤-٦ . - الأضواء البسيطة والأضواء المركبة ، خلائط الأضواء
- ٢٢١ ٥-٦ . - الأضواء البيضاء . الأضواء المتتامة
- ٢٢٥ ٦-٦ . - أطوال الموجات السائدة ، عامل النقاوة . الصبغات والاشباغات
- ٢٢٨ ٧-٦ . - العتبات التفاضلية للصبغة والنقاوة
- ٢٣٠ ٨-٦ . - التركيب الجمعي الثلاثي الألوان .مقاييس الألوان الثلاثية اللون
- ٢٣٣ ٩-٦ . - تفسير التغير الثلاثي البصري . تصنيف الشذوذات
- ٢٣٤ ١٠-٦ . - جملة المقارنة أو الاسناد B.G.R. للجنة الدولية للانارة .
العوامل الثلاثية الألوان
- ٢٣٦ ١١-٦ . - جملة القياس اللوني X.Y.Z. للجنة الدولية للاضاءة
(C.I.E.)
- ٢٣٧ ١٢-٦ . - عوامل التوزيع (للملاحظ C.I.E.) حساب x, y, z
ابتداءً من المعطيات الطيفية
- ٢٣٩ ١٣-٦ . - مقاييس الألوان ذوات القراءة المباشرة
- ٢٣٩ ١٤-٦ . - مخططات القياسات اللونية
- ٢٤٢ ١٥-٦ . - المرور من X و Y الى λ_d و p (او بالعكس)

ب - لون الأجسام

- ٢٤٤ ١٦-٦ . - الأجسام البيضاء والرمادية والسوداء والملونة
- ٢٤٥ ١٧-٦ . - تعيين لون جسم ما
- ٢٤٩ ١٨-٦ . - تأثير تركيز المواد الملونة ، أو البنية الفيزيائية للجسم الملون

الصفحة

- ٢٥١ ٠١٩-٦ - مزائج المواد الملونة : مقياس اللون للوفيوند
 ٢٥٣ ٠٢٠-٦ - استعمال المعايير الملونة . جداول منسل
 ج - اعادة انتاج الألوان

- ٢٥٤ ٠٢١-٦ - ملاحظات تمهيدية
 ٢٥٥ ٠٢٢-٦ - ملونة (أو موشاة) الرسامين
 ٢٥٦ ٠٢٣-٦ - الألوان في الفنون الترسيمية (التخطيطية)
 ٢٥٧ ٠٢٤-٦ - التصوير والسينما والتلفزيون الملونة
 ٢٥٩ ٠٢٥-٦ - التسامحات في إحداث الألوان ثانية
 ٢٦١ ٠٢٦-٦ - الاشارات الملونة
 ٢٦٢ ٠٢٧-٦ - قياس الألوان وعلم الألوان
 ٢٦٣ تمارين

الفصل السابع - القياسات الخاصة بحالة الاستقطاب

- ٢٦٦ ٠١-٧ - حالات الاستقطاب المختلفة
 ٢٦٨ ٠٢-٧ - استعمال المحلات البسيطة
 ٢٧١ ٠٣-٧ - اجتياز صفيحة ثنائية الكسر بضوء مستقيم
 ٠٤-٧ - التعيين الدقيق لانتجاه اهتزازة خطية مستقيمة (أو اهليلجية
 ٢٧٨ شديدة التفلطح) . مقاييس الاستقطاب
 ٢٨٢ ٠٥-٧ - تحليل اهتزازة اهليلجية ذات توجيه معلوم
 ٢٨٦ ٠٦-٧ - تحليل اهتزازة ناقصية ما
 ٢٨٧ ٠٧-٧ - دراسة ضوء مستقطب جزئياً
 ٢٩٠ ٠٨-٧ - طريقة سريعة لتعيين طبيعة اهتزازة ضوئية
 ٢٩١ تمارين

الفصل الثامن - الانعكاس على سطح زجاجي والنفوذ منه

الانعكاس المعدني

أ - الانعكاس على الأوساط الشفافة المتائلة المناحي والنفوذ منها

(الانعكاس الزجاجي)

- ٨-١ - انعكاس الضوء المستقطب استقطاباً مستقيماً على سطح زجاجي
طرائق القياس ٢٩٤
- ٨-٢ - نتائج تجريبية. حالة حدوث الانعكاس على وسط قرينته أكبر
(من قرينة وسط الورود) ٢٩٨
- ٨-٣ - حالة حدوث الانعكاس على وسط قرينته أقل
(من قرينة وسط الورود) ٣٠٥
- ٨-٤ - انعكاس الضوء الطبيعي ونفوذه ٣٠٨
- ٨-٥ - النظرية الكهربائية في الانعكاس الزجاجي وحالة الورود
الناظمي ٣١١
- ٨-٦ - حالة ورود ما . صيغ فرنل ٣١٤
- ٨-٧ - مناقشة صيغ فرنل ٣١٧
- ٨-٨ - الاستقطاب بالانعكاس والورود البروستري ٣٢٠
- ٨-٩ - الاستقطاب بالانكسار ٣٢٢
- ٨-١٠ - نظرية الانكسار الكلي . متوازي المستطيلات لفرنل ٣٢٤
- ٨-١١ - الموجات المتلاشية ٣٢٨

ب - الانعكاس على الاوساط الماصة (الانعكاس المعدني)

- ٣٣١ ٨-١٢ - النتائج التجريبية
- ٣٣٥ ٨-١٣ - النظرية الكهربائية في الانعكاس المعدني . حالة الورود
الناظمي
- ٣٣٧ ٨-١٤ - حالة الورود المائل
- ٣٤٠ ٨-١٥ - تعيين الثابتين الضوئيين n و k
- ٣٤٤ تمارين

الفصل التاسع - الانكسار والتبدد والامتصاص

أ - حالة العوازل

- ٣٤٧ ٩-١ - التبدد النظامي والتبدد الشاذ
- ٣٥١ ٩-٢ - الصيغ التجريبية للتبدد
- ٣٥٤ ٩-٣ - علاقة مكسويل . نظرية التبدد النظامي للغازات والأبخرة
- ٣٥٦ ٩-٤ - استقطابية الجزيئات في الحقول المتغيرة
- ٣٥٩ ٩-٥ - الصيغ العامة
- ٣٦٢ ٩-٦ - حالة الاوساط المكثفة المتماثلة المناحي
- ٣٦٤ ٩-٧ - طبيعة المجاوبات الجزيئية
- ٣٦٦ ٩-٨ - الانكسار في مجال الاشعة السينية
- ٩-٩ - الانكسار في مجال ما فوق البنفسجي والضوء المرئي وما
تحت الاحمر
- ٣٦٨ ٩-١٠ - الانكسار في ما تحت الاحمر البعيد وفي المجال الهرتزي
- ٣٧١ ٩-١١ - استقطاب ثنائي الاقطاب الذري والالكتروني
- ٣٧٣

- ٣٧٨ ٩-١٢ - نظرية التبدد الشاذ في الاجسام الكهروناظية (العازلة)
 ٣٨٣ ٩-١٣ - الانعكاس والتبدد
 ٣٨٨ ٩-١٤ - صعوبات نظرية التبدد . شدات الهزازات

ب - حالة المعادن

- ٣٩١ ٩-١٥ - قصور نظرية مكسويل
 ٣٩٢ ٩-١٦ - النظرية الالكترونية
 ٣٩٥ ٩-١٧ - الخواص الضوئية للمعادن من أجل الاطوال الموجية الكبيرة
 ٣٩٦ ٩-١٨ - الخواص الضوئية للمعادن من أجل الاطوال الموجية القصيرة
 ٣٩٨ ٩-١٩ - الخواص الضوئية للمعادن في الطيف المرئي والمناطق المجاورة له
 ٤٠٠ ٩-٢٠ - الخواص الدولية لانصاف النواقل
 ٤٠٢ تمارين

الفصل العاشر - انتشار الضوء

أ - انتشار الضوء بالأوساط غير المتجانسة

- ٤٠٤ ١٠-١ - انتشار الضوء المرئي بجسيمات متناهية الناحي
 ٤٠٦ ١٠-٢ - الانتثار بجسيمات صغيرة بالنسبة الى طول الموجة
 ٣٠٩ ١٠-٣ - الانتثار بجسيمات أبعادها تقارب طول الموجة
 أو تكون أكبر منها
 ٤٠٩ ١٠-٤ - النظرية الكهروطيسية للانتثار بجسيمات صغيرة
 ٤١٣ ١٠-٥ - نظرية الانتثار بجسيمات أبعادها تقارب طول
 الموجة أو تكون أكبر منها

الصفحة

٤١٦ ١٠-٦. - التلاشي المرتبط بالانتشار

ب - انتشار الضوء بالجزيئات وبالذرات

٤١٩ ١٠-٧. - الانتشار الجزيئي للشعاعات المرئية وغير المرئية

٤٢١ ١٠-٨. - انتشار الضوء المرئي بجزيئات غاز كامل

٤٢٣ ١٠-٩. - تحقيقات تجريبية

٤٢٦ ١٠-١٠. - الانتشار الجزيئي للضوء المرئي بالاعواساط الكثيفة

٤٣٠ ١٠-١١. - الانتشار الجزيئي للضوء بالبلورات

٤٣٢ ١٠-١٢. - الانتشار الجزيئي للضوء بالمحاليل

٤٣٤ ١٠-١٣. - انتشار الاشعة السينية بالالكترونات وبالذرات والجزيئات

٤٣٨ ١٠-١٤. - فعل كمتن

٤٤٠ تمارين

الفصل الحادي عشر - عدم تماثل المناحي والانكسار المضاعف

أ - الجزيئات والبلورات غير متماثلة المناحي ضوئياً

٤٤٣ ١١-١. - عدم تماثل المناحي الضوئي في الجزيئات

٤٤٥ ١١-٢. - زوال استقطاب الضوء المنتثر بمائع

٤٥٠ ١١-٣. - منشأ عدم تماثل المناحي الضوئي في الجزيئات

٤٥٢ ١١-٤. - القرائن الاصلية للبلورات

٤٥٥ ١١-٥. - العلاقات بين الخواص الضوئية للبلورات وبين بنيتها

٤٥٧ ١١-٦. - السوائل غير متماثلة المناحي

١١-٧. - الانكسار المضاعف الناجم عن توزيع العناصر متماثلة المناحي

٤٥٩ توزيعاً غير متماثل المناحي

- ١١-٨ . - تبدد الانكسار المضاعف ٤٦٢
 ١١-٩ . - امتصاص البلورات . تعدد الالوان ٤٦٢

ب - الانكسار المضاعف الصناعي

- ١١-١٠ . - وجوده ٤٦٨
 ١١-١١ . - الانكسار المضاعف في الجوامد الناجم عن الضغط أو السحب ٤٦٩
 ١١-١٢ . - حالة ضغط غير منتظم ٤٧٢
 ١١-١٣ . - الانكسار المضاعف الناجم عن الاسقاء ٤٧٥
 ١١-١٤ . - الانكسار المضاعف الديناميكي في السوائل ٤٧٦
 ١١-١٥ . - التلون المتعدد الصناعي . تطبيقاته ٤٧٨
 ١١-١٦ . - الانكسار المضاعف الكهربائي (ظاهرة كـر Kerr) ٤٨٠
 ١١-١٧ . - فعل كر والبنية الجزيئية ٤٨٣
 ١١-١٨ . - فعل بوكلز ٤٨٨
 ١١-١٩ . - الانكسار المضاعف المغناطيسي (كوتون وموتون) ٤٩٠
 ٤٩٣ تمارين

الفصل الثاني عشر - قدرة الدوران

أ - قدرة الدوران الطبيعي

- ١٢-١ . - ظواهر مختلفة في الاستقطاب الدوراني ٤٩٦
 ١٢-٢ . - قدرة الدوران ٤٩٩
 ١٢-٣ . - الاجسام اليمينية والاجسام اليسارية ٥٠١
 ١٢-٤ . - طريقة فرينبيل والانكسار المضاعف الدائري ٥٠٢
 ١٣-٥ . - التبدد الدوراني ٥٠٥

الصفحة

- ٥٠٩ . ١٢-٦ . التلون الدائري
- ٥١١ . ١٢-٧ . قدرة دوران المزيج . المعايير الاستقطابية
- ٥١٥ . ١٢-٨ . انتشار الضوء في البلورات الفعالة ضوئياً
- ٥١٨ . ١٢-٩ . تناظر الاوساط الفعالة ضوئياً
- ٥٢١ . ١٢-١٠ . اللاتناظر الجزيئي
- ٥٢٣ . ١٢-١١ . بنية البلورات الفعالة ضوئياً
- ٥٢٧ . ١٢-١٢ . التعديل الضوئي
- ٥٢٨ . ١٢-١٣ . النظرية الذرية لقدرة الدوران الطبيعي

ب - قدرة الدوران المغناطيسي

- ٥٣١ . ١٢-١٤ . ظواهر عامة
- ٥٣٤ . ١٢-١٥ . قوانين الاستقطاب الدوراني المغناطيسي
- ٥٣٧ . ١٢-١٦ . الانكسار المضاعف والتلون الدائري المغناطيسيان
- ٥٣٩ . ١٢-١٧ . النظرية الذرية لقدرة الدوران المغناطيسي
- ٥٤٣ . ١٢-١٨ .

* * *

محمد يوسف اللواتي

متاح للتحميل ضمن مجموعة كبيرة من المطبوعات من صفحة

مكتبتي الخاصة

على موقع ارشيف الانترنت

الرابط

https://archive.org/details/@hassan_ibrahem

مسىح يوسف اللبوشى

PHYSIQUE GENERALE ET EXPERIMENTALE

P. FLEURY et J. P. MATHIEU

LUMIÈRE

مسىح يوسف (المسيح)

Tome I



Publications du Conseil Supérieur des Sciences